

Koroner Arter Hastalığı ve Dislipidemi

P-1

GEÇ DÖNEM SAFEN VEN GRAFT HASTALIĞI İLE METABOLİK SENDROMUN İLİŞKİSİ

Ahmet Taha Alper, Alper Aydin, Hüseyin Aksu, Ebru Öntürk, Şenur Ünal, Ahmet Akyol, Abdurrahman Eksik, Nazmiye Çakmak

Siyami Ersek Göğüs Kalp Damar Cerrahisi Merkezi, Kardiyoloji İstanbul

Amaç: Metabolik sendromun koroner arterlerde aterosklerotik süreç ile ilişkisi bilinmemektedir ancak koroner revaskülarizasyon yapılmış hastalarda geç dönem safen ven graft (SVG) hastalığı ile ilişkisi gösteren yeterince çalışma yoktur. Bu çalışmada metabolik sendromun koroner revaskülarizasyon olmuş hastalarda safen ven graft hastalığı ile ilişkisi araştırıldı. **Metod:** Çalışmaya, en az 5 yıl önce koroner revaskülarizasyon yapılmış ve göğüs ağrısı sebebiyle koroner anjografisi yapılan 115 hasta dahil edildi. 40 (%34,4) metabolik sendromlu olan ve 65 (%56,6) metabolik sendromu olmayan hastadan iki çalışma grubu oluşturuldu. Bunların koroner anjografilerinde SVG'leri incelendi ve bir veya daha çok SVG'de %50'nin üstünde tümde daralması tespit edilenler SVG hastası olarak kabul edildi. **Bulgular:** 115 hastadan 26'sında LAD'ye (kalan 89 hastaya LIMA graft), 81'inde Cx'e, 84'inde RCA'ya ve 18'inde diagonal artere SVG ile revaskülarizasyon uygulanmıştır. Bu hastaların 72'sinde (%63,7) SVG hastalığı tespit edildi. Metabolik sendromlu hastaların 40'ında (%80), metabolik sendromlu olmayan hastaların ise 32'sinde (%49) SVG hastalığı vardı ($p<0,000$). Metabolik sendromlu olan hastalar ile olmayanlar arasında, hiç hasta SVG olmamış, bir SVG'de hastalık olması ve birden fazla SVG'de hastalık olması yönünden de anlamlı fark mevcuttu. Yaş, cinsiyet, operasyon süresi ile düzeltildiğinde SVG hastalığı ile metabolik sendrom arasındaki bağımsız ilişki mevcuttu ve metabolik sendromlu olan hastalarda SVG hastalığı görülmeye olasılığının 5 kat fazla olduğu bulundu ($\text{Beta}=1,61, p=0,01$, Odd's oranı=5,004, güvenlik aralığı=1,9-13,2).

Sonuç: Metabolik sendromlu hastalarda SVG hastalığı anlamlı derecede daha siktir ve metabolik sendromun SVG hastalığı ile bağımsız ilişkisi olduğu saptanmıştır. Bu nedenle SVG ile revaskülarize edilmiş, metabolik sendromlu hastaların daha yakından takibi gereklidir.

P-3

YAVAŞ KORONER AKIM ORNEĞİ GOSTEREN HASTALARDA ENDOTEL DISFONKSİYONUNUN BİR GÖSTERGESİ OLARAK ARTMIŞ PLAZMA VON WILLEBRAND FAKTOR DÜZEYLERİ

Asunur Bicer, Hasan Turhan*, Ertan Yetkin*, Ali Riza Erbay, Selime Ayaz**, Ayşe Saatçi Yaşar, Onur Şahin, Hatice Şaşmaz, Sengül Çehreli*

Türkiye Yüksek İhtisas Hastanesi, Kardiyoloji Kliniği, Ankara
İnönü Üniversitesi Turgut Özal Tip Merkezi, Kardiyoloji Anabilim Dalı, Malatya*
Türkiye Yüksek İhtisas Hastanesi Hematoloji Ankara**

Amaç: Yavaş koroner akım angiografik fenomen olup, herhangi bir obstrüktif epikardiyal koroner hastalık olmaksızın damarların yavaş veya geçikmiş opasifiye olması ile karakterizedir. Küçük çap ve iyi gelişmiş media tabakası nedeniyle koroner mikrosirkülasyon koroner kan akımının major belirleyicisidir. Buradan yola çıkarak koroner yavaş akım fenomini koroner mikrovasküler endotel disfonksiyonuna bağlamıştır. Bir bu çalışmada yavaş koroner akım örneği gösteren hastalarda endotel disfonksiyonunun bir göstergesi olarak plazma von Willebrand faktör düzeylerini incelemeyi planladık.

Yöntemler: Çalışmaya angiografik olarak normal koroner arterlere sahip ancak yavaş koroner akım örneği gösteren 53 hasta (grup I, 32 erkek, 21 kadın, ortalama yaş= 49 ± 10 yıl) ve angiografik olarak normal koroner arterlere sahip, normal koroner akım örneği gösteren 50 birey (grup II, 28 erkek, 22 kadın, ortalama yaş= 51 ± 9) kontrol grubu olarak dahil edildi. Çalışma ve kontrol grubunun her üç major epikardiyal koroner arterine ait koroner akım hızları Thrombolysis In Myocardial Infarction (TIMI) frame sayısı metodu ile ölçüldü. Yavaş koroner akım grubuna TIMI frame sayıları kontrol grubunun 2 standart偏差esyonu üzerinde olan bireyler dahil edildi. Tüm hasta ve kontrol grubuna ait bireylerin plazma von Willebrand faktör düzeyleri ölçüldü. **Bulgular:** Yaş, cinsiyet, hipertansiyon, diabet, hiperlipidemi ve sigara kullanımı yönünden gruplar arasında anlamlı fark yoktu ($p>0,05$). Yavaş koroner akım örneği gösteren gruba ait plazma von Willebrand faktör düzeyleri normal koroner akım örneği gösteren kontrol grubu ile karşılaştırıldığında iatistiksel olarak anlamlı düzeyde yüksek bulundu (156 ± 33 ünite/dl ve 101 ± 19 ünite/dl sırasıyla, $p<0,001$)

Sonuç: Angiografik olarak normal koroner arterlere sahip ancak yavaş koroner akım örneği gösteren hastalarda tespit ettigimiz artmış plazma von Willebrand faktör düzeyleri, bu hastalarda endotel aktivasyonu ya da disfonksiyonu varlığını düşündürmektedir.

P-2

AKUT MIYOKARD INFARKTÜSÜ SONRASINDA GELİŞEN VENTRIKÜLER SEPTUM RUPTÜRÜ OLGULARINDA KORONER ANJİOGRAFI BULGULARI

Oğuz Yavuzgil, Bahadır Kirılmaz, Ayşegül Türkoglu, Oner Özdogan, Cemil Gürgün, Mehdi Zoghi, Can Hasdemir, Levent Can, Hakan Posacioglu*, Mustafa Özbaran*, Hakan Kültüray

Ege Üniversitesi Tıp Fakültesi, Kardiyoloji Anabilim Dalı,
Ege Üniversitesi Tıp Fakültesi*, İzmir

Akut miyokard infarktüsü (AMI) ventriküler septum ruptürü (VSR) ile komplike olduğunda her türlü tedavi yaklaşımına karşın mortalite hala yüksek seyretmektedir. VSR gelişen olgularda bazı yayınlarında çok daimar koroner arter hastalığı (KAH) bildirilmekle birlikte bazılarda on planda tek daimar KAH sorunu tutulmaktadır. Ayrıca bu olgularda koroner kollateral akımını ve iskemik öncüştürləmeyen yeterince omurgadı düşülmektedir. Klinikümüzde 1995-2004 tarihler arasında AMI sonrasında gelişen VSR tanısı alan toplam 36 olguya Jenkins teknigi ile koroner anjografisi uygulanmıştır. Ekokardiografi ve sol ventrikülografı tüm olgular yapılarak VSR'ın varlığı ve lokalizasyonu gösterilmiştir. Koroner anjografı sırasında gerek AMI'den sonra arterin antegrad dolusu ve TIMI akım skoru gerekse diğer koroner arterden retrograd dolulum varlığı ve TIMI akım skoru kaydedilmiştir. Olguların 21'i erkek (%58) ve 15'i kadın (%42) olup ortalaması yaş 66,6±11 idi. Toplam 9 olgu (%25) AMI öncesi tipik anjina pectoris (AP) tanımlanmıştır. VSR, olguların 22'sinde (%61) anterior, 14'ünde (%39) ise posterior lokalizasyondaydı. Olguların %36'nda tek damar, %22'nde 2 damar ve %41 içinde 3 damar tutulmuş izlenmektedir. Olguların ortalaması sol ventrikül ekleşyon fraksiyonu %42±6 idi. AMI'den sonra arter %61 olguda LAD ve %39 olguda RCA olup toplam 28 olgu (%78) total okluzile olarık bulundu. Olguların antegrad ve retrograd kollateral akımlarının değerlendirilmesi tablo-1'de gösterilmiştir. Sonuç olarak AMI sonrası VSR gelişen olgularımızda koroner anjografik olarak stratosra 3 damar tek damar ve 2 damar hastalık izlenmiştir. Özellikle 3 damar KAH olgularının azımsanamayacak şekilde olması bu olguların koroner anjografı uygulanması ve revaskülarizasyonun gerekliliğinin önemini hafırlatmaktadır. Ayrıca bu olguların coğunda izlenen total okluzile ve kollateralden fakir infarkt arteri, VSR'ın iskemik öncüştürləmeyen yetersiz kollateral akım zemininde anı gelişen bir miyokard hasarına bağlı ortaya çıktıığını düşündürmektedir.

Tablo 1. Olguların antegrad ve retrograd akım özellikleri (AP özellikleri)

TIWI skoru	Toplam (n=36)	AP yok (n=27)	AP var (n=9)
Antegrad akım			
0	18	13	5
1	14	11	3
2	4	3	1
3	0	0	0
Retrograd akım			
0	30	23	7
1	3	2	1
2	3	2	1
3	0	0	0

P-4

KOMPLİKASYONSUZ İNFERİYOR MİYOKARD INFARKTÜSÜNDE KORONER ANJİOGRAFI YAPALIM MI?

Ersin Sarıçam, Arslan Öcal, Neslişüllü Yıldırım, Seher Bozboğa, Cemal Özbaşır, Mehmet Doğan, Orhan Maden, Bülent Deveci, İsmet Hisar, Sakine Fuat, Omaç Tüfekcioğlu, İrfan Sabah

Türkiye Yüksek İhtisas Hastanesi, Kardiyoloji Kliniği, Ankara

Amaç: Inferior miyokard infarktüsü (MI) genel olarak anteriyor MI'a göre daha iyi prognoza sahiptir. Komplikasyonsuz inferior MI'larda sol ventrikül sistolik fonksiyonları koronuruş ve iskemik atak yoksa bu hastalara öncelikle efor testi önerilmektedir. Bu çalışmada komplikasyonsuz inferior MI'larda, koroner lezyonları, tedavi seçimi ve risk faktörlerini değerlendirdik.

Yöntem: Çalışmaya Türkiye Yüksek İhtisas Hastanesi Kardiyoloji Kliniği'ne Kasım 2001- Nisan 2004 yılları arasında akut inferior MI tanısıyla ilk 12 saat içinde kabul edilen başarılı trombolytic tedavi uygulanmış ve seyrinde komplikasyon gelişmemiş (sağ MI, tekrarlayan iskemi, mekanik ve elektriği komplikasyon), sol ventrikül sistolik fonksiyonları koronuruş toplam 80 hasta (17 kadın, 63 erkek) almıştır. Tüm hastalara koroner anjografı uygulandı. Cerrahi revaskülarizasyon gerekli (üç damar hastalık), sol on inen koroner arter proksimal ve beraberinde sağ koroner veya sirkumflex arterlerin birincisi ciddi lezyon olanlar, sol ana koroner lezyonu olanlar) hastalar grup A (38 hasta), sağ koroner arter ve/veya sirkumflex artere perkutan girişim uygulanan hastalar grup B (22 hasta) ve arterlerde kritik lezyon saptanmayan (medikal tedavi grubu) hastalar grup C (20 hasta) olmak üzere üç gruba ayrıldı. Bu hastaların cinsiyeti, hiperlipidemi, sigara, hipertansiyon, diabetes mellitus, aile öyküsü risk faktörleri ve uygulanan tedavi yönünden karşılaştırıldı.

Bulgular: Gruplar arasında yaş ortalamaları benzerdi ($p>0,05$). Hastaların %40,5'inde kritik tek damar lezyonu (sağ koroner veya sirkumflex), %25,7'sinde kritik iki damar lezyonu (sol on inen arter proksimal ve sağ koroner veya sirkumflex arter), %33,8'inde kritik üç damar veya sol ana koroner lezyonu vardı. Sigara kullanımı, hiperlipidemi, hipertansiyon, diabetes mellitus, aile öyküsü risk faktörleri üç grupta da benzerdi ($p>0,05$). Grup A'da 38 hasta (% 47,5), grup B'de 22 hasta (% 27,5), grup C'de 20 hasta (% 25) karşılaştırıldığında cerrahi lehine anlamlı fark saptandı ($p=0,004$) (Tablo 1). Grup B ve grup C arasında anlamlı fark yoktu ($p>0,05$). Sonuç: Komplikasyonsuz inferior MI'lar sıklanın aksine cerrahi tedavi gereklilikin d屯sü olduğunu göz önünde bulundurulursa, bu sonuçların rağmen, risk faktörleri dikkate alınmadan hastalara koroner anjografı uygulanmalıdır.

Tablo 1. Komplikasyonsuz inferior miyokard infarktüsünde tedavi grupperinin karşılaştırılması

Grup A	Hasta sayısı	Hasta yüzdesi
Grup B	22	%27,5
Grup C	20	%25
Toplam	80	%100
		p=0,004

Koroner Arter Hastalığı ve Dislipidemi

P-5

AKUT KORONER SENDROMLU HASTALARDA E-SELEKTİN DÜZEYLERİNİN KARDİYAK TROPONİNLE İLİŞKİSİ

Mustafa Yazıcı, Kenan Durna, Sabri Demircan, Erdoğan Yaşar,
Mahmut Şahin

Ondokuz Mayıs Üniversitesi Tıp Fakültesi, Kardiyoloji Anabilim Dalı,
Samsun

Amaç: ST elevasyonsuz akut koroner sendromlarının (NSTE-AKS) patogenezinde, endotelyumun vasodilatör etkilerini vazokonstriksiyona ve antikoagülant etkilerini prokoagülasyona çeviren inflamatuar cevap önemli rol oynamaktadır. Bu süreçte, plazma E-selektin düzeyleri endotel aktivasyonun bir belirleyicisi olarak düşünülmelidir. Bu çalışmada, NSTE-AKS'lı hastalarda E-selektinin troponin-I (Tn-I) düzeylerinde etkisi olup olmadığı değerlendirildi.

Metod: NSTE-AKS tanısı ile kabul edilen ardışık 202 hastada başvuru sırasında venöz kan örneklerinden Tn-I, E-selektin, von willebrand faktör (vWF) and fibrinojen düzeyleri ölçüldü. Troponin-I düzeyi 0.2 ng/ml'nin altındaki 129 hasta troponin negatif, 0.2 ng/ml ve üzerindeki 73 hasta troponin pozitif olarak gruplandırdı. Koroner arter hastalığının ciddiyeti koroner anjiyografi ve Gensini skorlaması ile belirlendi. **Bulgular:** Gruplar arasında vWF düzeyleri benzerdi. ($p=0.379$) Ancak, Tn pozitif gruptaki E-selektin ($p<0.01$) ve fibrinojen düzeyleri ($p<0.001$) Tn negatif grupta karşılaştırıldığında anamli derecede yüksek saptandı. E-selektin ile Tn düzeyleri ($r=0.426$, $p<0.001$) ve E-selektin ile fibrinojen düzeyleri arasında anamli bir ilişki vardı. ($r=0.623$, $p<0.001$). Yine fibrinojen ve troponin düzeyleri arasında pozitif yönde korelasyon saptandı. ($r=0.810$, $p<0.0001$). Gensini skoru ise iki grup arasında benzerlik gösteriyordu. ($p=0.107$). Regresyon analizinde, NSTE-AKS'lerde E-selektin düzeylerinin troponin pozitifliği için bağımsız bir prediktör olduğu saptandı. ($\beta=0.326$, $OR=1.05$, 95% CI: 1.021-1.080, $p<0.001$).

Sonuç: Bu bulgulara göre, NSTE-AKS'lı hastalarda artmış E-selektin düzeylerinin endotel aktivasyonu yoluyla koagülasyon aktivasyonu ve miyokardiyal hasarının gelişmesinde etkili olduğu söyleyenbilir.

P-6

TRANSÖZOFAJİYAL EKOKARDİYOGRAFİ İLE ÖLÇÜLEN AORTA INTIMA-MEDA KALINLIĞININ TOTAL TESTOSTERONLA İLİŞKİSİ

Recep Demirbağ, Remzi Yılmaz, Abdullah Uluçay, Durmuş Ünlü

Harran Üniversitesi Tıp Fakültesi, Kardiyoloji Anabilim Dalı, Şanlıurfa

Giriş ve Amaç: Sex hormonlarının koroner arter hastalığındaki koruyucu etkileri bilinmemektedir. Testosteron hormon düzeyi düşük olanlardan ateroskleroz eğilimin daha fazla olduğu bilinmektedir. Intima-media kalınlığı üzerine testosteronun etkisi net bilinmemektedir. Aorta İMK ile total testosteron düzeyleri arasındaki korelasyon araştırıldı. **Yöntem ve Bulgular:** Transözofajiyal ekokardiyografi yapılan olgular arasında koroner arter hastalığı, geçirilmiş cerebral olay hikayesi, kronik böbrek ve kollajen doku hastalığı olmaya 42 erkek hasta (yaş aralığı 37-76, ortalama: 58 ± 10 yıl) çalışmaya alındı. Aorta İMK $0.05-0.52$ cm arasında olup ortalama değeri 0.19 ± 0.14 cm ve total testosteron değerleri $67-900$ ng/dL ortalama 467 ± 281 ng/dL arasında değişmektedir. Ölçülen serum total testosteron ve diğer parametreler aorta İMK arasındaki korelasyon analizinde sadece ürik asit, HsCRP ve total testosteron arasında anamli korelasyon saptandı (Tablo-1). Çoklu lineer regresyon analizinde aorta İMK'ın ürik asit, HsCRP'den bağımsız olarak total testosteron ile ilişkilidir ($b=-0.541$, $P=0.09$).

Sonuç: Total testosteron değerleri ile aorta İMK arasında anamli negatif korelasyon izlenmektedir. Bu bulgumuz testosteron düşüklüğünün İMK artırdığını ve antiaterosklerotik özelliğini oldugunu desteklemektedir.

Tablo 1. İntima-media kalınlığı ile testosteron ve diğer faktörler arası korelasyon değerleri

	r	P
Albumin	0.031	0.885
Vitamin B12	0.003	0.981
Total Testosteron	-0.696	0.000
Ürik asit	0.445	0.002
Total Kolesterol	0.079	0.572
Triglicerid	0.113	0.421
LDL-Kolesterol	0.148	0.522
HDL-Kolesterol	-0.021	0.884
HsCRP	0.444	0.005

P-7

PREINFARKTUS ANJINASI OLAN AKUT MİYOKARD INFARKTUŞLU HASTALARDA DOPPLER-DERİVE MIYOKARDİYAL PERFORMANS INDEX DEĞERLERİ VE SEYİRİ

Cihan Örem, Mehmet Küçükosmanoğlu, Turan Erdoğan, Şahin Kaplan, Hasan Kasap, İsmet Dürmüz, Merih Baykan

Karadeniz Teknik Üniversitesi Tıp Fakültesi, Kardiyoloji Anabilim Dalı, Trabzon

Amaç: Preinfarktüs anjinanın (PIA) infarktüs büyütüğünü sunradığını gösteren çalışmalar vardır. Sol ventrikül fonksiyonlarını global olarak gösteren bir ekokardiografik parametre olan Doppler-derive miyokardiyal performans indexi (MPI) önemini, akut miyokard infarktüsündeki (AMI) negatif prognostik önemi üzerinde durulmuştur. Çalışmanızda PIA'sı olan ve olmayan AMI hastalarında MPI değerlerini ve seyrini araştırmayı planladık. **Yöntemler:** Klinikümüzde akut Q dalgalı MI ile yatanın 96 hasta, PIA'sı olan ve olmayanlar olmak üzere 2 grubu ayrıldı. PIA, MI öncesi 1 hafta içindeki 30 dakikadan daha kısa süren anjinal ağrıları olarak tanımlındı. Hastalar yatışlarının 1., 6. günlerinde ve AMI sonrası 30. günde ekokardiografi yapıldı ve MPI isovolumetrik gevşeme zamanı (IVGZ) ve kasılma zamanı (IVKZ) toplamının ejeksiyon zamanına (EZ) bölünmesiyle hesaplandı.

Bulgular: PIA'sı olan 52 hastanın 10'u kadın, 42'si erkek, yaş ortalaması 59.2 ± 8.7 , PIA'sı olmayan 44 hastanın 6'sı kadın, 38'i erkek, yaş ortalamaları 55.4 ± 10.9 idi. Yaş, cinsiyet ve diğer risk faktörleri oranları bakımdan her iki grup arasında anamli farklılık yoktu. Aynı zamanda her iki grup arasında trombolitik tedavi uygulaması, ilaç tipi, uygulama saatli bakımından anamli farklılık izlenmedi. Anterior İM'lı hasta yüzdesi bakımından PIA'sı olan (%47.7) ve olmayanlar (%61.5) arasında anamli farklılık yoktu ($p=0.1$). PIA'sı olan grupta CK-MB pik düzeyi 248.4 ± 213 olup, anjinasi olmayanlardan (341.2 ± 237.6) anamli olarak düştüğü ($p=0.02$). PIA'lı gruptaki MPI ortalama değerleri (1. gün 0.49 ± 0.2 , 6. gün 0.46 ± 0.1 , 30. gün 0.44 ± 0.1), her 3 ekokardiografik değerlendirme de PIA'sı olmayan gruptan (1. gün 0.58 ± 0.1 , 6. gün 0.56 ± 0.1 , 30. gün 0.53 ± 0.1) anamli olarak daha düşük bulundu ($p=0.003$, $p=0.001$, $p=0.01$, sırasıyla). MPI ortalama değerlerinde her iki grupta da giderken azalma gözlemlendi. PIA'sı olmayan grup içinde MPI'nin günler içindeki değişimlerinde anamli farklılık gözlenmemiz iken, PIA'sı olanlarında 1. ve 30. günlerde alınan MPI değerlerinde anamli azalma vardı (0.49 ± 0.2 ve 0.44 ± 0.1 , $p=0.04$). PIA'sı olanlarında IVKZ anamli olarak daha kısa, ejeksiyon zamanı daha uzun idi.

Sonuç: PIA'sı olanlarında miyokardiyal performans indexi daha düşük olup, bu indexte günler içinde anamli düzeye azalmalar tespit edilmiştir. PIA'sı olan hastalarda ventrikül fonksiyonlarının daha iyi olduğu ve aynı zamanda daha hızlı düzelleme gösterdiği sonucuna varılmıştır.

P-8

DIYABETİK HASTALARDA MİKROVASKÜLER PERFÜZYONUN DEĞERLENDİRİMİNDE YENİ PARAMETRELER: "MIYOKARDİAL BLUSH GRADE" VE "MIYOKARD DOLUŞ FAZI"

Serdar Soydinc, Vedat Davutoğlu, Yusuf Sezen, İlyas Akdemir, Mehmet Aksøy
Gaziantep Üniversitesi Tıp Fakültesi, Kardiyoloji Anabilim Dalı, Gaziantep

Giriş ve Amaç: Diyabeti bağlı mikrovasküler komplikasyonlar hastalığın prognozunu etkilemektedir. Diyabetik hastalarda mikrovasküler perfüzyonu anjiyografik olarak yeni mikrovasküler perfüzyon belirteçleri olan "miyokardiyal blush grade" ve "miyokardiyal doluş fazı" yöntemleri değerlendirmeyi amaçladık. Bilgilerimizde göre bu konuda literatürde çalışma mevcut değildir. **Yöntem:** Kasım 2001-Mayıs 2004 yılları arasında koroner anjiyografisi yapılan 4500 hasta populasyonundan hipertansiyon, sigara ve hipertolesterolemisi olmayan izole diyabetes mellituslu veya akut koroner sendrom olmayan toplam 70 hasta (ort. yaş: 58.1 ± 9.1) çalışmaya alındı. Bunlar da koroner lezyon varlığı göre 2 gruba ayrıldı. DM-Grup 1: Normal koroner anjiyografisi olanlar, DM-Grup 2: Koroner anjiyografisinde LAD' de %50 ve altında lezyonlu olan hastalardan oluşturuldu. Kontrol grubu olarak diyabeti, hipertansiyonu ve hiperlipidemi olmayan 60 hasta (ort. yaş: 54.8 ± 8.9) alındı. Bunlar da 2 gruba ayrıldı. Kontrol-Grup 1: koronerler normal olan 30 hasta; Kontrol-Grup 2: LAD'de %50 ve altında lezyon olan hastalardan oluştu. Miyokardiyal blush grade 0'dan 3'e kadar miyokardiyal boyanma yoğunluğu ve yıkanma hızına göre sınıflandırıldı. Miyokardiyal doluş fazı ise miyokardiyal blush başlangıcının kontrastın en yoğun olduğu faza kadar olan süre frame sayısının sanİYEye çevrilmesiyle saptandı.

Bulgular: Gruplar arasında miyokardiyal dolus fazı açısından DM-Grup-2 diğer tüm gruplara göre belirgin olarak uzun idir (1775 ± 297 msn) ($F=22.6$, $df=3$, $p<0.0001$). Kontrol-Grup 2 ile DM-Grup 1 arasında fark bulunmadı (1430 ± 233 msn karşılık 1465 ± 279 msn, $p>0.05$). Kontrol Grup 1, DM-Grup 1 ve 2'ye kıyasla daha kısa miyokardiyal dolus zamanı gösterdi (1191 ± 261 msn karşılık 1465 ± 279 msn ve 1775 ± 297 msn, $p<0.0001$). Gruplar arasında miyokardiyal blush açısından DM-Grup 2 diğer kontrol gruplarına göre anamli olarak düşük grade gösterdi (Ki-kare=11.1, $p=0.001$). DM-Grup 1'in blush skoru kontrol gruplarıyla farklılık göstermedi.

Sonuç: Diyabetik ve koroner arter hastalarında mikrovasküler disfonksiyon, non-diyabetik koroner arter hastalarına göre daha ileri düzeyedir. Çalışmamızın en çarpıcı sonucu, diyabetik hastaların koronerlerine anjiyografik olarak normal olsa da miyokardiyal blush skorları ve miyokardiyal dolus faz süreleri non-diyabetik koroner arter hastaları ile benzerlik göstermesidir. Diyabet hastalarında koronerlerde lezyon saptanmasa da mikrovasküler disfonksiyon mevcuttur ve non-diyabetik koroner arter hastaları ile benzerdir.

P-9 MIYOKARD NEKROZUNUN YAYGINLIĞIyla KAN LEPTİN SEVİYESİ ARASINDAKİ İLİŞKİ

Mustafa Gür, Abdurrahman Oğuzhan, İbrahim Özdogru, Ali Güç, Nihat Kalay, Mustafa Çalışkan, Ali Doğan, Ekrem Karakaya, İsmet Sarıkaya, Ramazan Topsakal

Erciyes Üniversitesi Tıp Fakültesi, Kardiyoloji Anabilim Dalı, Kayseri

Giriş ve Amaç: Miyokardiyal enzimlerden kreatin fosfokinaz (CK) ve izoenzimi olan MB fraksiyonunun Akut Miyokart İnfarktüslü (AMI) hastalarda yükselmesiyle nekroz yaygınlığı arasındaki ilişki daha önceki çalışmalarında gösterilmiştir. Çalışmamızın amacı AMI'lı hastalarda enzim yükselişle obesite gen türüne olan ve enfiamasyon bir belirteci olarak kabul edilen leptin arasındaki ilişkiye araştırmaktır.

Materyal ve Metod: Çalışmaya 68 AMI hastası (14 kadın, 54 erkek, yaş ortalamaları 60 ± 18), 50 sağlıklı kontrol grubu (25 erkek, 25 kadın, yaş ortalamaları $54,5 \pm 17,6$) aldı. Hastaların risk faktörleri ve vücut kitle indeksleri kaydedildi. Yaşılarının ikinci gününde 12 saat açlığı takiben kan leptin ve enzim seviyeleri için kan örnekleri alındı.

Bulgular: Vücut kitle indeksine, yaşa ve cinsiyete göre düzeltilmiş leptin seviyeleri AMI'lı grup da kontrol grubuna göre anlamlı olarak daha yüksek bulundu ($AMI = 69,4 \pm 3,7$ ng/ml, kontrol = $7,9 \pm 4,5$ ng/ml $p < 0,05$). Kan leptin seviyeleri ile zirve enzim seviyeleri arasında anlamlı pozitif korelasyon görüldü (CK için $r = +0,463$ $p < 0,05$, CKMB için $r = +0,464$ $p < 0,05$) Sonuç: Kan leptin seviyeleri AMI' de kontrol grubuna göre anlamlı derecede daha yüksek bulunmaktadır. AMI'lı grup da leptin seviyeleri enzim seviyeleriyle korelidir. Bu durum AMI' de kan leptin seviyelerinin myokardiyal nekrozuun yaygınlığının bir göstergesi olabileceğini desteklemektedir.

P-10

KORONER ARTER ANEVRİZMASI SIKLIĞI VE KLİNİK ÖZELLİKLERİ

Bilal Boztosun, Ahmet Yıldız, Yılmaz Güneş**, Mustafa Bulut, Ramazan Kargin, Hekim Karapınar, Vecih Oduncu, Cevat Kırma*

Koşuyolu Kalp Eğitimi ve Araştırma Hastanesi, Kardiyoloji, Özel Gazi Hastanesi Kardiyoloji*, Medikal Park Hospital Kardiyoloji**, İstanbul

Koroner arter anevrizması (KAA) oldukça nadir görülür. Koroner arterin lokal veya diffüzyonlu segmenter anomalik dilatasyonu ile ilişkilidir. KAA'sı tromboze veya rüptüre olarak, angina, miyokard infarktüsü veya ani ölüm nedeni olabilir.

Amaç: Koroner arter hastalığı ön tanısı ile koroner anjiyografi uygulanan hastalarda koroner arter anevrizması sıklığı ve klinik özelliklerini belirlemek. Materyal ve Metod: Bu amaçla 2001-2004 yılları arasında koroner anjiyografi uygulanan 6700 hastadan KAA'sı tespit edilen 63 (%0,9) hasta değerlendirilmeye alındı. KAA'sı olan hastaların anjiyografik, demografik ve klinik özelliklerini incelendi.

Bulgular: Yaş ortalaması 58 ± 10 olan 63 hastanın 9 (%14) tanesi kadın idi. 10 (%16) hastanın diyabetik, 33 (%52)'nın hipertansif, 40 (%81)'nın hiperlipidemik, 39 (%62)'nın sigara kullanım öyküsü, 28 (%44)'nın aile öyküsünün pozitif olduğu tespit edildi. Klinik özelliklerini incelendiğinde geçirilmiş miyokard infarktüsü 32 (%51), stable angina pektoris 42 (%67), unstable angina pektoris 12 (%19), postMİ angina pektoris 9 (%14) hastada vardi. Anjiyografik özelliklerine bakıldığından 15 hastanın (%24) koroner arterlerinde anlamlı darlık yoktu. Bu hastaların 9 (%60)'nda efor testi veya miyokard perfüzyon sintigrafisini pozitif, 3'ünde ST elevasyonusu akut koroner sendrom kliniğinin, 4'ünde geçirilmiş miyokard infarktüsünün olduğu tespit edildi. 40 hastada (%64) ise çok darın hastalığı tespit edildi. 11 (%17) hastada KAA birden fazla damarda idi. En fazla tutulum RCA'da idi (%42). RCA'yi sırasıyla Cx, LAD, LMCA izliyordu. Hastaların %41'ne medikal izlem, %44'nci cerrahi revaskülarizasyon, %15'ne ise PTCA kararı verildi. 4 (%4) hastada eşlik eden aort (2 abdominal ve 2 torasik) anevrizması tespit edildi.

Sonuç: Koroner arter anevrizması sıklığının %0,9, hiperlipideminin bu hastalarda oldukça sık görülen bir risk faktörü olduğu, koroner arterlerinde anlamlı darlık olmadığı halde iskemik olaylarla ilişkili olduğu tespit edildi.

P-11

AKUT KORONER SENDROMLARDA CD14+ MAKROFAJ YOGUNLUĞU FARKLIMIDIR?

M. Tuğrul İnanç, N. Kemal Eryol, Ali Güç, Yücel Yılmaz, İbrahim Özdogru, Mustafa Gür, İbrahim Güç, Mustafa Çalışkan, Ramazan Topsakal, Abdurrahman Oğuzhan*

Erciyes Üniversitesi Tıp Fakültesi, Kardiyoloji Anabilim Dalı, Kayseri İzzet Baysal Tıp Fakültesi, Enfeksiyon Hastalıkları, Bolu*

Giriş ve Amaç: CD14 lenfosit ve monosit yüzeyinde beliren bir inflamasyon reseptöridür. Daha önce yapılan çalışmalarında CD14+ makrofaj yüzdesi kararsız anjinada karali anjinadan yüksek bulunmuştur. Biz çalışmamızda akut koroner sendromları (AKS) klinik tipleri arasında CD14+ makrofaj yüzdeslerinin farklı olup olmadığını araştırdık.

Hastalar ve Yöntem: Çalışmamızda hastanemiz koroner yoğun bakım ünitesine yatanın 24 kadın, 64 erkek hasta olmak üzere toplam 88 hasta aldı. Hastaların 17'nde kararsız anjina (KA), 12'nde ST yükselmesi olmayan MI (NSTEMI), 59'unda da ST elevasyonlu MI (STEMI) mevcuttu. Hastalar rutin tedavilerini (ACE inh., beta bloker, statin) aldılar. Yaşılarının ilk 24 saatinden beyaz kükür (BK) ve CD14+ makrofaj düzeylerine bakıldı. Bir hafta sonra BK, CD14+ makrofajlar tekrar ölçüldü. Bulgular aşağıda tablo halinde gösterildi. STEMI grubunda birinci gün BK sayısı diğer iki gruptan anlamlı olarak yüksek saptandı ($p < 0,05$). Yedinci gün BK sayıları tüm grupparda anlamlı olarak düşmüştü ($p < 0,05$) fakat gruplar arasında fark yoktu ($p > 0,05$). CD14+ makrofaj yoğunluğu birinci ve yedinci gündeki gruplar arasında değişmemiştir ($p > 0,05$). Sonuç olarak AKS'ların klinik tipleri arasında CD14+ makrofaj yüzdesleri açısından fark yoktu. Yedinci günde total BK sayısı düşmesine rağmen CD14+ makrofaj yüzdesindeki yükseklik devam etmektedir. Bu bize inflamatuvat varlığından devam ettiğini düşündürmektedir. Bu yüksekliğin klinik önemini anlaşılması için uzun süre takipli çalışmalarla ihtiyaç vardır.

Tablo. Bulguların karşılaştırılması

	KA	NSTEMI	STEMI
BK 1.gün bin/mcl	11,4±4,0	11,0±3,5	13,2±3,2
BK 7. gün bin/mcl	8,5±2,3	8,3±2,6	9,2±2,9
CD14+ 1.gün %	83,0±11,9	88,4±6,7	87,8±12,0
CD14+ 7.gün %	84,2±8,2	88,3±16,0	86,8±10,0

P-12

AKUT KORONER SENDROMLU HASTALARDA MIKROALBUMİNÜRÜ İLE KORONER ANJİOGRAFİ BULGULARI ARASINDAKİ İLİŞKİ

Serap Bos, Tülin Kurt, Tufan Tükek

SSK Vakıf Gureba Hastanesi, İstanbul

Giriş ve Amaç: Albümün ekskresyon oranındaki subklinik artış, diğer bir deyişle mikroalbuminürü (MA) günümüzde kardiovasküler mortalite ve morbiditenin önemli bir göstergesidir. Mikroalbuminürü, bugün için akut miyokard infarktüsüne (AMI) erken bir cevap olarak kabul edilmektedir. Çalışmamızın amacı, akut koroner sendromlu hastaların ürünler albümün artılımıyla koroner aterosklerozun anjiyografik bulguları arasındaki ilişkiye saptamaktır.

Yöntem: Akut koroner sendrom tanısı ile koroner yoğun bakım ünitesine yatan 96 hasta çalışmaya aldı. Tüm hastaların ilk başvurukları andan itibaren 1. ve 3. gün 24 saatlik idrarlarında mikroalbuminürü değerlerini ölçüldü. Çalışmaya daha önceki tespit edilmiş böbrek yetersizliği, hematuri veya idrar yolu infeksiyonu olan hastalar alınmadı. Hastaların koroner anjiyografileri USAP'lı hasta grubunda ilk bir hafta içinde, AMI hastalarda ise hastaneden ayrıldıktan sonraki ilk bir ay içinde yapıldı. Hastalar koroner anjiyografi sonuçlarına göre tutulan damar sayısı yönünden ve bulunan darlığın yüzdesine göre iki ayrı gruba ayrıldı.

Bulgular: Koroner anjiyografide 5 hastada (%5,2) normal koroner arterler, 39 hastada (%40,6) tek damar hastalığı, 25 hastada (%26,0) 2 damar hastalığı ve 27 hastada (%28,3) 3 ve daha fazla damar hastalığı saptandı. Tek damar hastalığı olan hastaların 1. gün MA değeri 45,40 (2,90-909,00) mg/gün, 3. gün MA değeri 10,00 (3,50-446,50) mg/gün; 2 damar hastalığı olan hastaların 1. gün MA değeri 66,30 (3,00-235,20) mg/gün, 3. gün MA değeri 12,80 (3,60-244,40) mg/gün; 3 damar ve daha fazla damar hastalığı olan hastaların 1. gün MA değeri 68,40 (6,80-1211,50) mg/gün, 3 gün MA değeri 30,40 (3,50-626,00) mg/gün; normal koroner arterleri olan hastaların 1. gün MA değeri 30,00 (14,40-518,50) mg/gün, 3. gün MA değeri 7,10 (4,50-71,20) mg/gün olarak bulundu. Sonuçlara göre 3. gün MA düzeyi 3 damar ve daha fazla damar hastalığı bulunan hastalarda istatistiksel olarak anlamlı yükseliş bulunu ($p < 0,045$). Sonuç: Ateroskleroz ilişkili bulunan endotel disfonksiyonu, indirekt olarak mikroalbuminürünün varlığı ile ortaya konabilmektedir. Tikali damar sayısı ile orantılı olarak ortaya çıkan miyokard iskemisi, miyocard perfüzyon gücünün bozulmasına ve renal kapillerlerde geçirgenlik artmasına neden olmaktadır. Bu da çok damar hastalarında saptanan mikroalbuminürideki daha fazla artışı izah edebilir.

Koroner Arter Hastalığı ve Dislipidemi

P-13

FİBRİNOLİTİK TEDAVİ UYGULANAN AKUT ST SEGMENT ELEVASYONLU MIYOKARD İNFARKTÜSÜNDE REPERFÜZYON İLE C- REAKTİF PROTEİN İLİŞKİSİ

Merih Baykan, Cihan Örem, Şahin Kaplan, Mehmet Küçükosmanoğlu, Süki Ü Çelik

Karadeniz Teknik Üniversitesi Tıp Fakültesi, Kardiyoloji Anabilim Dalı, Trabzon

Amaç: C- reactive protein (CRP), inflamasyonun sensitif fakat nonspesifik bir göstergesidir. CRP'nin, akut miyokard infarktüsü (AMI) geçiren hastalarda yükseldiği ve yüksek CRP düzeylerinin hastalığın prognozunu olumsuz olarak etkilediği bilinmektedir. Diğer taraftan fibrinolitik tedavi uygulanan ST segment elevasyonlu AMİ'li hastalarda kısa ve uzun dönem prognozun iyi olduğu yapılan çalışmalarla gösterilmiştir. Çalışmamızda AMİ tanısı alarak fibrinolitik tedavi uygulanan hastalarda, reperfüzyon olan ve olmayan gruplar arasında CRP düzeyleri bakımından farklılık olup olmadığını araştırıldı.

Yöntem: Çalışmaya AMİ tanısı ile koroner yoğun bakım ünitesine kabul edilen, yaş ortalaması 58 ± 10 , 61 erkek, 9 kadın toplam 70 hasta aldı. Hastaların tümünde fibrinolitik tedavi uygulandı. Reperfüzyon kriteri olarak: 1. 90.dk'da toplam "ST segment" yükseltmesinin ≥ 50 düzeyinde rezolusyon göstermesi. 2. CK'ın 12 saatte pik yapması. 3. CK-MB, Troponin T veya miyoglobin 60. dk'daki değerinin, bazal değere oranının ≥ 5 düzeyinde olması. 4. Ağrının tamamen geçmemesi kullanıldı. İki kriterin mevcudiyeti reperfüzyon lehine değerlendirildi. Hastalar reperfüzyon gözlenecek (grup I) ve gözlennemeyenler (grup II) olmak üzere 2 gruba ayrıldı. Tüm hastalardan fibrinolitik tedavi sonrası alınan venöz kandan CRP düzeyleri bakıldı. Bulgular: Grup I'de; yaş ortalaması 58 ± 9 olan, 31'i erkek, 7'si kadın toplam 38, grup II'de; yaş ortalaması 58 ± 11 olan, 30'u erkek, 2'i kadın toplam 32 hasta vardı. Gruplar arasında yaş, cinsiyet, hipertansiyon, sigara kullanımı, diabetes mellitus, aile öyküsü, hiperlipidemi, AMİ lokalizasyonu, verilen fibrinolitik tedavinin çeşidi, fibrinolitik tedavi verilene kadar geçen süre bakımından farklılık yoktu ($p > 0.05$). Total kolesterol, LDL-kolesterol, HDL-kolesterol, triglycerid düzeyleri gruplar arasında benzerdi ($p > 0.05$). CRP düzeyleri ise reperfüzyon gözleneceklerde daha düşüktü. CRP düzeyleri grup I'de 3.6 ± 8.4 , grup II'de ise 6.6 ± 8.4 ($p = 0.001$) idi. Sonuç: ST segment elevasyonlu AMİ sonrası fibrinolitik tedavi uygulanan hastalarda, CRP düzeyleri başarılı reperfüzyon gözlenecek grupta, reperfüzyon gözlennemeyen gruba göre daha düşük bulundu. Ancak bu konu ile ilgili daha fazla sayıda hasta ile yapılmış çalışmalara ihtiyaç vardır.

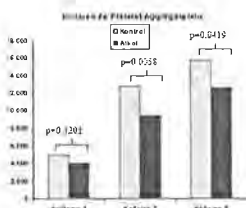
P-15

"RAT" LARDA KRONİK ALKOLİZMİN "PLATELET" AGREGASYONUNA ETKİSİ

Öben Baysan, Küçük Kaptan, Kırşad Ermiş, Tayyibe Coşkun, Hakan Kayır, Mehmet Uzun, Tayfun Uzbay, Cengiz Beyan, Ersoy İşık

Gülhane Askeri Tıp Akademisi, Kardiyoloji Anabilim Dalı, Ankara

Platelet agregasyonu thrombus patofiziolojisinde stroke ve miyocard infarktüsü gibi klinik olaylara yol açarak önemli rol oynamaktadır. Orta derecede alkol tüketimi koroner arter hastalığı insidansını ve mortalitesini azaltma ile beraber olmasına rağmen ağır alkol tüketiminde bu değerler artış göstermektedir. Bu çalışmada in vivo olarak kronik alkol tüketimine maruz bırakılan ratlardaki platelet agregasyonu değişikliklerinin ortaya konması amaçlanmıştır. 14 yetişkin erkek Wistar rat çalışmaya alındı. Ratlar iki gruba ayrıldı. 8 rata modifiye edilmiş sıvı diyet yolu ile 21 gün süre ile alkol verildi (7.2%, v/v). 6 rat ise kontrol grubunu oluşturdu ve alkol içermeyen sıvı diyeteye tabii tutuldu. 21 gün sonunda ratlara ketamin anestezisi uygulandı (1-2 mg/kg). Antikoagüle kan rat kalbine girilecek sodium sitrat içeren tüplere alındı (3.8% w/v, 9:1 v/v). Platelet aggregasyonu tam kanda ADP (1, 2, ve 5 mM final kondantrasyonda) ve kollajen (1, 2 ve 5 mg/ml ile) ile tetiklenerek ölçüldü. 21 günlük alkol tüketimi ile platelet agregasyonu, alkolik ratalarda alkol olmayanlara göre kollajenle yalnızca 2 ve 5 mg/ml dozlarında istatiksel olarak anlamlı inhibisyon gösterdi (sırasıyla $p < 0.006$ ve $p < 0.042$). ADP açısından ise yalnızca 5 mM konsantrasyonda anlamlı platelet agregasyonu inhibisyonu gözlandı ($p < 0.004$). Sonuçlarımız sıvı diyetle kronik alkol tüketimi gerçekleştirilen ratalarda tam kanda platelet agregasyonun inhibe olduğunu göstermektedir. Bununla beraber bu inhibisyonun klinik olarak anlamını ortaya koymak için diğer hemostatik parametreleri içeren daha geniş ölçekli çalışmalara ihtiyaç bulunmaktadır.



P-14

OLGU SUNUSU: AYNI HASTADA DUAL SAĞ KORONER ARTER(RCA) VE DUAL SOL ÖN İNEN ARTER (LAD)

Cenk Conkbayır, Yusuf Atmaca, Eralp Tutar

Ankara Üniversitesi Tıp Fakültesi, Kardiyoloji Anabilim Dalı, Ankara

Giriş: Literatürde dual LAD bulunan hasta sayısı oldukça az olup, bugüne dek dual RCA olgusu rastlanmamıştır. Bu yazımızda literatürde ilk kez hem dual LAD, hem de dual RCA'ya sahip bir olgu sunulmaktadır. Olgu Sunumu: Hastaneye başvurmadan 6 gün önce Non ST elevasyonlu MI öyküsü olan 60 yaşındaki erkek hastanın soy geçmişinde önemli bir özellik yoktu. Özgeçmişinde sigara içme ve sistemik hipertansiyon vardı. Fizik muayenesinde ve rutin laboratuvar inclemelerinde bir anomalilik saptanmadı. Elektrokardiyoografisinde inferior derivasyonlarında T negatiflikleri saptandı. Post MI angina tarifleyen hastaya koroner anjografi yapıldı. Sol ön inen arter kısa bir segment sonra septal ve diagonalleri veren 2 ayrı dala ayrılarak dual olarak sonlandı. Diagonelleri veren LAD ortada %40 darlık izlendi. Birinci diagonal, 2 mm çapta olup ortada %70 darlık saptandı. Ana koroner arterde ve septalleri veren LAD'de lezyon yoktu. Circumflex arterin çapı 1.5 mm olup, distalinde %70-%70-%70 ardışık darlıklar saptandı. Buna ek olarak literatürde ilk kez RCA'nın kısa bir segment sonra dual olarak seyyertiği saptandı. Sağ ventriküle yönelen RCA'nın distal çapı 1 mm olup ortada %70 darlık izlendi. Damar çapıince olması nedeniyle perkütan girişim yapılmayan hasta medikal tedavisi düzenlencere 6 gün sonra taburcu edildi.

Tartışma: Literatüre göre, koroner anjografi yapılan hastaların %1-2'sinde çeşitli koroner anomalileri görülmektedir. Koroner anomaliler, kan akımına bağlı değişikliklere neden olarak ani ölüm, miyokard iskemisi ve akut miyokard infarktüsüne sebep olabilir. Literatürde dual LAD olgusu nadir olup bunun dışında dual RCA olgusu olarak ilk kez sunulmaktadır. Koroner arter çıkış ve seyir anomalilerinin atherosklerotik koroner arter hastalığı sıklığını artırıp artırmadığı tartışılmalı bir konudur. Bizim olgumuzda yaygın atheroskleroz olması ve anomalilerin circumflex arterde de darlıklar saptanması nedeniyle lezyonlar ile anomaliler arasında bağlantı olduğunu iddia edebilmek mümkün değildir.

Sonuç: Dual LAD ve dual RCA literatürde ilk kez sunulmaktadır ve anomaliye ek olarak atheroskleroz eşlik etmektedir.

P-16

AKUT KORONER SENDROMLU HASTALARDA MIKROALBUMİNİRİ İLE KORONER ANJIOGRAFI BULGULARI ARASINDAKİ İLİŞKİ

Asife Şahin Arslan, Atiye Çengel, Kaan Okyay, Yusuf Tavil, Hüseyin Yazıcı, Bülent Boyacı

Gazi Üniversitesi Tıp Fakültesi, Kardiyoloji Anabilim Dalı, Ankara

Amaç: Yapılan klinik çalışmalarda akut koroner sendromlarda, plazma beyin natriüretik peptid (BNP) düzeyinin artışı ve BNP'nin прогнозu tahmin etmede oldukça değerli olduğu saptanmıştır. Akut koroner sendromlarda BNP'nin ventrikül disfonksiyonundan bağımsız olarak artışı düşünülmemesine rağmen, stabil koroner arter hastalığı olanlarda BNP'nin, kronik iskemisin ciddiyetini göstermediği bilinmemektedir. Biz bu çalışmada, plazma BNP düzeyi ile koroner arterlerdeki atheroskleroz yükü arasında ilişki olup olmadığını belirlemeyi amaçladık.

Yöntem: Klinikümüzde koroner arter hastalığı şüphesi ile koroner anjografi uygulanan 69 hasta işlem öncesi BNP ölçüldü. Tüm hastalar ekokardiyografı yapılarak sol ventrikül ejeksiyon fraksiyonu hesaplandı. Koroner anjografi sonrası, koroner arterlerdeki atheroskleroz derecesi skorlandı. Skorlama için koroner arterler segmentlere (sol ana koroner arter, LAD proksimal segment, LAD orta segment, LAD distal segment, sirkümpleks arter proksimal segment, sirkümpleks arter distal segment, sağ koroner arter proksimal segment, sağ koroner arter distal segment, posterior descendens arter) ayrıldı. Herbir segmentdeki atherosklerotik tutulumu 0-3 arası değerler verildi (0, normal; 1, %1-%69 darlık; 2, %70-%99 darlık; 3, tam takımlık). Her hasta için toplam atheroskleroz skoru hesaplandı.

Bulgular: Çalışmaya 69 hasta alındı. Bulanın 42'si erkek (%69.3), 27'si kadın (%39.7). Hastaların yaş ortalaması 59.5 ± 11.3 olarak saptandı. 42 hasta da hipertansiyon (%61.8) ve 20 hasta da diabetus mellitus (%29.4) vardı. Ortalama kan tıre nitrojeni ve kreatinine sırasıyla 17.9 ± 8.2 mg/dl ve 1.0 ± 0.3 mg/dl olarak bulundu. Tüm hastaların ortalama BNP düzeyi ise 85.2 ± 48.1 pg/dl idi. BNP düzeyine göre hastalar BNP<40 pg/dl, BNP=40-80 pg/dl arasında ve BNP>80 pg/dl olacak şekilde üç grupta incelendi. BNP<40 pg/dl olan grubun ortalaması ($n = 7$) atheroskleroz skoru 4.1 ± 3.2 ; BNP=40-80 pg/dl olan grubun ($n = 35$) skoru 3.2 ± 2.8 ve BNP>80 pg/dl olan grubun ($n = 26$) skoru 4.9 ± 3.1 olarak bulundu. Her üç grubun atheroskleroz skoru arasında anlamlı fark bulunmadı ($p = 0.099$). Sonuç: Bu çalışmada koroner arter hastalığı şüphesi ile koroner anjografi yapılan, kalp yetmezliği olmayan stabil hastalarda, plazma BNP düzeyi ile koroner arterlerdeki lezyon yaygınlığı arasında bir ilişki olmadığı anlaşılmıştır. Bu bulgular, daha önce yapılan çalışmalarla, akut koroner sendromlarda gösterilen BNP yüksekliğinin, kromik iskemiden ziyade; akut iskeminin yol açtığı ventrikül disfonksiyonuna bağlı olduğunu düşündürmektedir.

Koroner Arter Hastalığı ve Dislipidemi

P-17
KARARSIZ ANGINA PEKTORIS HASTALARINDA TROMBOSIT AKTIVASYONUNUN YENİ BİR GÖSTERGE OLARAK ARTMIŞ PLASMA "SOLUBLE" GLIKOPROTEIN V DÜZEYİ

Enver Atalar, İbrahim Haznedaroğlu*, Harun Kılıç, Necla Özer,
Ercan ÖzTÜRK, Serdar Aksöyek, Kenan Övüng, Şerifettin Kiraz*,
Ferhan Özmen

Hacettepe Üniversitesi Tıp Fakültesi, Kardiyoloji Anabilim Dalı,
Hematoloji Bölümü*, Ankara

Amaç: Akut koroner sendromların patobiyojolojisinde trombosit hiperreaktivitesi önemlidir. Glikoprotein V (GPV), trombositlerde bulunan integral membran proteinidir ve arter duvarına, vWF/shear bağımlı trombosit adezyonunda Ib-V-IX reseptörül olarak rol alır. Solubil GPV, aterosklerozda trombosit aktivasyonunu gösteren en yeni göstergelerdir. Çalışmadaki amacımız, kararsız angina pektoris hastalarında sGP-V düzeylerini incelemektir.

Yöntemler: Çalışmaya son altı saat içinde; istirahatte >20 dakika göğüs ağrısı olan, EKG'de ST segment depresyonu ve/veya T dalga inversionsı saptanan ve kardiyak troponin T düzeylerinde artış olmayan 21 hasta (15 erkek, yaş ortalaması 52±7) dahil edildi. Hastalardan acil polikliniğine başvuru sırasında venöz kan örnekleri alındı. Tüm hastalarda koroner anjiyografik olarak önemli koroner arter hastalığı olduğu gösterildi. Kontrol grubu olarak , yaşı ve cinsiyet uyumlu 20 sağlıklı bireyden (14 erkek, yaş ortalaması 48±7) kan örnekleri alındı. Her iki grup arasında cinsiyet, obezite, sigara içimi, plasma lipid düzeyleri ve trombosit sayıları arasında fark yoktu. Bulgular: Plazma sGP-V konsantrasyonu kararsız angina pektoris hastalarında (120 ± 46 ng/ml), sağlıklı bireylere göre (82 ± 15 ng/ml) anlamlı olarak yüksek bulundu ($p=0,01$). Sigara içen kararsız angina pektoris hastalarında sGP-V düzeyi, içmeyenlerden anlamlı olarak yüksek bulundu ($p=0,02$) ve plasma sGP-V düzeyi ile sigara içimi arasında anlamlı ilişki olduğu saptandı ($r=0,526$, $p=0,001$).

Sonuç: Trombosit aktivasyonunu yansitan yeni bir göstergesi olan sGP-V konsantrasyonu, kararsız angina pektoris hastalarında yüksektir. Sigara içilmesi, kararsız angina pektoris hastalarında, trombosit aktivasyonunu artırmaktadır.

P-18

PERKUTAN KORONER GİRİŞİMİN ERKEN DÖNEMDE AKIMLA UYARILAN BRAKİYAL ARTER DİLATASYONU ÜZERİNE ETKİSİ

Selçuk Pala, Mustafa Akçakoyun, Ramazan Kargın, Yunus Emiroğlu, Mustafa Bulut, Hekim Karapınar, Cevat Kırma

Koşuyolu Kalp Eğitim ve Araştırma Hastanesi, Kardiyoloji, İstanbul

Giriş ve Amaç: Perkütan koroner girişim ile yapılan vasküler travmanın CRP düzeylerinde artışa neden olduğu bu kaç çalışma ile gösterildi. Ancak perkütan koroner girişim sonrası CRP artışıının endotel fonksiyonları üzerine etkisi henüz araştırılmamıştır. Bu nedenle kararlı angina pektoris olan ve basal enfiamasyona olmayan olgulardaPKG sonrası CRP düzeylerinde artış olup olmadığı ve varsa bunun akımla uyarılan vazodilatasyonu (AUV) bozup bozmadığını araştırdık.

Materyal ve Metod: Son bir yıl içerisinde akut koroner sendrom yaşamamış, klinik ve labratuar bulguları işığında kararlı anjina pektoris taşıyan, sistemik enfiamasyona yol açacak herhangi hastalığı olmayan, basal CRP düzeyleri düştü olan, olusabilecek sistemik enfiamasyonu baskılayacak herhangi bir ilaç almayan ve koroner anjiyografi sonucunda perkütan koroner girişim planlanan hastalar çalışmaya alındı. PKG sonrası miyokart enfarktüsü, serebral iskemik hastalık, periferik arter iskemisi veya embolisi, girişim yerinde (inguinal bölge) hematom gelisen hastalar çalışmadan çıkarıldı. Çalışma 10 kadın ve 30 erkeken oluşan toplam 40 hasta ($yaş 56 \pm 10,3$) ile tamamlandı. PKG'nin sistemik enfiamasyona yol açıp açmadığını saptamak için koroner anjiyografiden bir hafta sonra ve PKG'den iki gün sonra plazmada yüksek duyarlılıklı CRP (yd-CRP) ölçümü yapıldı. Sistemik enfiamasyonun göstergesi olarak kabul edilen yd-CRP düzeylerinin ölçüldüğü günlerde brakiyal arterden ultrasonografik yöntemle AUV ölçümleri yapıldı.

Bulgular: Perkütan koroner girişim sonrası kan CRP düzeylerinde belirgin artış izlendi. PKG öncesi ($0,243 \pm 0,105$ mg/dl) ve sonrası ($0,434 \pm 0,130$ mg/dl) CRP değerleri arasındaki bu fark istatistiksel olarak anlamlı bulundu ($P<0,0001$). PKG sonrası AUV miktarında azalma saptanmıştır. AUV %7,5 den % 7,1 e düşmüştür. Fakat bu azalma istatistiksel olarak anlamsızdır ($P=0,4$).

Perkütan koroner girişim öncesi plazma CRP düzeyleri ile AUV arasında korelasyon saptanmadı ($r=-0,14$, $p>0,05$)

Sonuç: Basal plazma CRP değerleri düştük olan ve komplikasyonsuz perkütan koroner girişim yapılan kari angina pektorisli olgularda işlem sonrası CRP düzeylerinde hafif artışlar olmakla birlikte bu artışların AUV'yi bozacak düzeyde olmadığı gösterilmiştir.

P-19 AKUT MİYOKARD İNFARKTÜSÜ BAŞLANGIÇ ZAMANI İLE PROTROMBIN 20210 MUTASYONU İLİŞKİSİ

Merih Baykan, Remzi Yılmaz*, Cihan Örem, Hasan Kasap, Turan Erdoğan, Sami Kartı**, Mustafa Gökcé*, Şükür Çelik

Karadeniz Teknik Üniversitesi Tıp Fakültesi, Kardiyoloji Anabilim Dalı, Harran Üniversitesi Tıp Fakültesi, Kardiyoloji Anabilim Dalı, Şanlıurfa* Karadeniz Teknik Üniversitesi Tıp Fakültesi**, Trabzon

Amaç: Akut miyokard infarktüsü (AMI)'nun 6:00 ile 12:00 saatleri arasında daha sık görüldüğü bildirilmiştir. Bu durum semptomatik sinir sistemindeki sirkadiyen varyasyon, kan basıncı ve kalp hızı değişiklikleri, hemostatik durumda anormalliklerle ilişkili olabilir. Protombin 20210 mutasyonu olan hastalarda arteriel tromboz sıklığının arttığı bildirilmektedir. Çalışmamızda AMI başlangıç zamanına göre hastalar 2 gruba ayrılarak gruplar arasında Protombin 20210 mutasyonu bakımından farklılık olup olmadığını araştırdık.

Yöntem: Çalışmaya AMI tanısı ile koroner yoğun bakım ünitesine kabul edilen, yaş ortalaması 58 ± 10 , 43 erkek, 19 kadın toplam 62 hasta alındı. Hastalar AMI başlangıç saatı 6:00 ile 12:00 arasında olanlar grup I, AMI günün diğer saatlerinde gelişenler grup II olmak üzere iki gruba ayrıldı. Protombin 20210 mutasyonu PCR metodu ile belirlendi. Bulgular: Grup I'de; yaş ortalaması 61 ± 11 olan, 16'i erkek, 8'i kadın toplam 24, grup II'de; yaş ortalaması 56 ± 8 olan, 27'i erkek, 11'i kadın toplam 38 hasta vardı. Grup I'deki hastaların yaş ortalaması ($p=0,03$) ve hipertansiyon sıklığı daha fazla ($p=0,03$) idi. Gruplar arasında cinsiyet, sigara kullanımı, diabetes mellitus, aile öyküsü, hiperlipidemi, AMI lokalizasyonu bakımından farklılık yoktu ($p>0,05$). Protombin 20210 mutasyonu grup I'de 1, grup II'de ise 7 hastada tespit edildi. Bu fark istatistiksel olarak anlamlı değildi ($p>0,05$).

Sonuç: Protombin 20210 mutasyonu, saat 6:00-12:00 arasında ve günün diğer saatlerinde AMI geçiren hastalarda benzer olarak bulundu.

P-20

DİABETİK OLМАYAN AKUT KORONER SENDROM GEÇİREN HASTALARIN BOZULMUŞ AÇLIK KAN GLUKOZU İLE KALP YETMEZLİĞİ ARASINDAKI İLİŞKİSİ

Mohammed Habeb, Hakan Erkan, Firdeusi Ibi ahimov*, İbrahim Halil Bayak, Ferit Aliyev, M. Bileni Vatan, M. Tarık Ağaç, Gökmen Belli

Istanbul Üniversitesi Cerrahpaşa Tıp Fakültesi, İstanbul
Ondokuz Mayıs Üniversitesi Tıp Fakültesi, Kardiyoloji Anabilim Dalı, Samsun*

Amaç: Akut koroner sendrom sonrasında diyabetik hastalarda, diyabetik olmayanlara göre kardiyovasküler mortalite 2-4 kat daha fazla olduğunu bilinmektedir. Bu çalışmanın amacı, Amerikan Diyabet Birliği sınıflandırmasına göre bozulmuş açlık glukozu (açlık kan şekeri 100-126 mg/dl) olan hastalarda, normal açlık glukozu (açlık kan şekeri < 100 mg/dl) olan hastalara göre kalp yetersizliği gelişme insidansı araştırmaktaydı. Metod: Akut koroner sendrom geçiren 148 hasta, gelişen sonraki ilk sabaha açlık kan şekeri ölçüldü. Amerikan Diyabet Birliği sınıflandırmasına göre bozulmuş açlık glukozu açlık kan şekeri 100-126 mg/dl ve normal açlık glukozu açlık kan şekeri < 100 mg/dl olarak değerlendirildi. Kan şekeri düzeyi > 126 mg/dl olan hastalar çalışma dışı bırakıldı. Kalp yetersizliği killip sınıflandırmasına göre sınıflandırıldı.

Bulgular: Hastaların ortalaması yaşı: 58 ± 13 , hastalardaコレsterol, LDL, HDL, triglisider, hipertansyon açısından iki grupta anlamlı bir fark yoktu. 71 (%48) hastada normal açlık glukozu ve 77 (%52) hastada bozulmuş açlık glukozu saptandı. Killip sınıflandırmasına göre I/II/III Kalp yetersizliği normal açlık glukozu olan hastalarda 68/3/0, bozulmuş açlık glukozu olan hastalarda ise 65/9/3 ($p: 0,03$)

Sonuç: Akut koroner sendrom geçiren, diabetik olmayan hastaların bozulmuş açlık glukoz olan hastalarda, normal açlık glukozu olan hastalara göre kalp yetersizliği gelişmesi anlamlı olarak daha yüksek saptandı.

Koroner Arter Hastalığı ve Dislipidemi

P-21

STATİNLERİN KORONER KOLLATERAL GELİŞİMİ ÜZERİNE ETKİSİ

İrem Dincer, Aydan Ongun*, Sibel Turhan, Çağdaş Özsol*, Cetin Erol**

Atatürk Üniversitesi Tıp Fakültesi, Erzurum
Ankara Üniversitesi Tıp Fakültesi*, Ankara

Amaç: Koroner kollateral gelişiminin koroner arter hastalığının prognozunu olumlu etkilediği bilinmemektedir. Deneysel bazı çalışmalarla HMG-CoA reduktaz inhibitörlerinin (statinler) anjiyogenice stimülle ettiği gösterilse de bu konuda yapılan az sayıda klinik çalışmanın sonuçları çelişkilidir. Materal Metod: Çalışmaya koroner anjiyografisinde en az bir koroner arterinde %95 ve üzeri darlık veya total okluzyon olsan 312 ardışık hasta (239 erkek, 73 kadın, ortalaması yaş 62.4 ± 10.3) alındı. Koroner kollateral gelişimi Cohen-Rentrop skorlaması metod ile değerlendirildi. Hastaların demografik özellikleri, koroner arter risk faktörleri, klinik prezantasyonları ve kullandıkları ilaçların koroner kollateral gelişimi üzerine etkileri araştırıldı. Tek değişkenli analizde kronik böbrek yetmezliği, geçirilmiş koroner arter by-pass cerrahisi, stabil angina pektoris ve statin kullanımı koroner kollateral gelişiminin belirlili mede etkili parametreler olarak bulundu (tablo). Çok değişkenli analizde ise sadecə stabil angina pektoris ($p < 0.0011$, OR (%95 CI) 3.1 (1.7-5.7)) ve statin kullanımının ($p = 0.001$, OR (%95 CI) 3.1 (1.3-7.1)) koroner kollateral gelişimini artttığı gözlandı.

Sonuç: Ciddi koroner arter hastalığında, statin kullanımı koroner kollateral gelişimini olumlu etkilemektedir.

	Grade I-II Kollateral (n=151)	Grade III-IV Kollateral (n=160)	p
Cinsiyet (Erkek)	110	128	0.14
Yaş	62 ± 11	62 ± 10	0.9
Diabetes Mellitus	61	55	0.27
Hiperfksiyon	98	88	0.08
Sigara içimi	61	79	0.1
Geçirilmiş KABC	51	23	<0.0001
MI hikayesi	75	82	0.002
Kronik böbrek yetmezliği	22	7	0.8
Stabil angina pektoris	21	58	<0.0001
Statin kullanımı	61	98	<0.0001
EF (%)	49 ± 12	48 ± 15	

P-22

EGZERSİZ STRES TESTİNDE KALP HIZI GERİ DÖNÜŞÜNÜN KORONER ARTER HASTALIĞI TANISINDAKI ÖNEMLİ

Uğur Yuvaç, Dilek Yeşilbursa, Kemal Karaağaç, Ertuğrul Mehmetoğlu, Yelda Saltan, Ahmet Yener Odabaşı, Osman Akin Serdar, Hale Cordan

Uludağ Üniversitesi Tıp Fakültesi, Kardiyoloji Anabilim Dalı, Bursa

Amaç: Kardiyovasküler sistem regülasyonunda otonom sinir sistemi önemli bir rol oynamaktadır. Otonom sinir sistemi aktivitesine bağlı olarak recovery periyodundaki kalp hızı düşüşünün koroner arter hastalığını öngördüğüne dair birbirileyyle çelişen yayınlar vardır. Bu çalışmamız egzersiz stres testinde recovery periyodundan kalp hızı geri dönüşünün koroner arter hastalığı varlığını öngörme değerini anlamak için planladık.

Gereç ve Yöntem: Kardiyoloji poliklinigine göğüs ağrısı şikayetiley basvuran 415 hasta çalışmaya alındı. Hastaların Bruce protokolune göre egzersiz stres testi ve koroner anjiyografi uygulandı. Olgularda egzersiz stres testinde recovery periyodundan birinci, ikinci, üçüncü dakikalıkların sonunda toplam kalp hızı düşüşü ve ayrıca ikinci ve üçüncü dakikalıklar içindeki kalp hızı düşüşü incelendi. Bu değerlerin koroner arter hastalığı varlığını öngörmektedeki değeri araştırıldı. Bulgular: 276 hastada önemi koroner arter hastalığı, 139 hastada normal koroner arterler tespit edildi. Hastaların birinci, ikinci dakika sonundaki ve ikinci dakika içindeki kalp hızı düşüşünün koroner arter hastalığını öngörme açısından anlamlı olduğunu saptandı. Daha önceki çalışmalarında da kabul edilen birinci dakika sonunda kalp hızı düşüşün kesim değeri 12 olarak kabul edildiğinde duyarlılık %51, özgürlük %79 olarak saptandı.

Sonuç: Koroner arter hastalığının varlığını öngörmekte birinci, ikinci dakika sonundaki ve ikinci dakika içindeki kalp hızı düşüşünün anlamlı olduğu saptandı. Kalp hızı düşüşünün değerlendirilmesinin egzersiz testine ek katkıda sağlayabileceğini kanıtladır.

Koroner arter hastalığı varlığı ve yokluğunca kalp hızı düşüş değerlerinin karşılaştırılması

KHD1	KHD2*	KHD2	KHD3*	KHD3
KAH yok	$13,7 \pm 1,8$	$22,9 \pm 2,0$	$36,5 \pm 3,1$	$14,8 \pm 5,0$
KAH var	$12,3 \pm 2,3$	$21,8 \pm 2,9$	$34,2 \pm 3,7$	$14,7 \pm 5,3$
p değeri	<0,001	<0,001	<0,001	AD

KHD 1: Recovery periyodundaki birinci dakikadaki kalp hızı düşüşünün değeri KHD 2: Recovery periyodundaki ikinci dakika içindeki kalp hızı düşüşünün değeri KHD 3*: Recovery periyodundaki üçüncü dakika içindeki kalp hızı düşüşünün değeri KHD 3: Recovery periyodundaki üçüncü dakikadaki kalp hızı düşüşünün değeri AD: anlamlı değil*

P-23

KORONER ARTER EKTAZİLERİNDEN İNFLAMASYON

Hale Yaka Yılmaz, Gülsah Tayyareci, Ufuk Gürkan, Mehtap Şişman,

Burak Tangürek, Recep Asiltürk, Gül Bozdemir, Dilek Şimşek, Aydin Çagıl*

Siyami Ersek Göğüs Kalp Damar Cerrahisi Merkezi, Kardiyoloji, İstanbul SSK İzmir Eğitim Hastanesi*, İzmir

Amaç: Koroner arter ektazi (CAE), koroner arterin anomal olarak genişlemesidir. Yaklaşık %50'si koroner atherosklerozla beraberdir. Koroner arter hastalığı ile olan yaygın birlikteğinden yola çıkarık, bu çalışmada inflamasyonun koroner ektazideki rolü, ektazik olgularda inflamasyonun koroner arter darlığı oluşumu açısından önemini değerlendirecektir.

Yöntemler: Angina ile meşkeleyen basvuran ve koroner anjiyografisi yapılan, izole ektazili 13 hasta (Grup 1), ektazi ile beraber koroner arter darlığı (KAH) olan kararlı anginalı (SAP) 11 hasta (Grup 2), CAE ve KAH olan kararsız anginal (USAPE) 12 hasta (Grup 3), KAH ve SAP olan 10 hasta (Grup 4), KAH ve USAP olan 8 hasta (Grup 5), normal koroner arter saptanın 13 hasta (Grup 6) olmuş üzere toplam 67 hasta çalışmaya alındı. CAE, koroner arterin normal komşu segmente oranı 1,5 kat ve daha fazla genişlemesi olarak tanımlanmıştır. KAH oranı %50 ve daha fazla koroner darlığı olanlar çalışmaya alındı. Tüm hastaların fibrinojen, ICAM-1, VCAM-1 düzeyleri ve sedimentasyon hızları değerlendirildi. Verilerin değerlendirilmesinde Kruskal Wallis testi, Dunn's çoklu karşılaştırma testi, ki-kare testi kullanıldı. Sonuçlar anlamlılık $p < 0,05$ düzeyinde değerlendirildi.

Bulgular: Klinik özellikler ve risk faktörleri yönünden gruplar benzer özelliktedir. Sedimentasyon hızları arasında gruplar arasında anlamlı farklılık yoktu. Izole ektazili (Grup 1) hastaların normal koroner arterli (Grup 6) hastalar ile karşılaştırıldığında ICAM-1 ve VCAM-1 değerleri Grup 1 de anlamlı olarak yüksek bulundu (ICAM-1 762,50 \pm 4,54 vs 635,38 \pm 7,14 p<0,05; VCAM-1 1470,83 \pm 1246,87 vs 647,62 \pm 189,62 p<0,05). Grup 1 ile 4 karşılaşmında ICAM-1, VCAM-1 düzeyleri Grup 1 de daha yüksekti (ICAM-1 762,50 \pm 64,54 vs 561,00 \pm 146,70 p<0,01; VCAM-1 1470,83 \pm 1246,87 vs 674,50 \pm 169,91 p<0,05). Grup 2 nin Grup 4 ile yapılan karşılaştırmasında Grup 2 deki fibrinojen yükseklüğü istatistiksel olarak anlamlıydı (383,17 \pm 115,78 vs 286,30 \pm 51,75 p<0,05). Grup 3 ile 4'nin karşılaşmasında ICAM-1 VCAM-1 değerleri Grup 3 te daha yüksekti (ICAM-1 738,33 \pm 126,62 vs 561,00 \pm 146,70 p<0,01; VCAM-1 1126,67 \pm 911,73 vs 674,50 \pm 169,91 p<0,05).

Sonuç: Bu çalışmada koroner arter ektazilerinde ICAM-1, VCAM-1, fibrinojen gibi inflamasyon markerleri kullanılarak, CAE ile inflamasyon arasında anlamlı bir bağlantı olduğu ortaya konulmuştur.

P-24

STABİL ANGINA PEKTORİS TANISIYLA HOSPİTALİZE EDİLEN HASTALARDA METABOLİK SENDROM SIKLIGI

Burcu Demirkan, Mehmet Birhan Yılmaz, Ümit Güray, Yesim Güray, Hakan Altay, Emre Nuri Günel, Hatice Şaşmaz, Şule Korkmaz

Türkiye Yüksek İhtisas Hastanesi, Kardiyoloji Kliniği, Ankara

Metabolik sendrom (MS) ATP III' te tanımlanan ve atherosklerotik lipid profilinin eski ettiği, temelinde insülin rezistansının olduğu bir sendromdur. ATP III' e göre Kan basıncı > 130/80 mmHg, Ağrı plazma glukozu > 110 mg/dl, HDL düşüklüğü (kadın < 50, erkek < 40 mg/dl), triglisider yüksekliği (> 150 mg/dl) ve bel çevresinin erkeklerde 102, kadınlarde 88 santimetreden fazla olması MS komponentleri olarak tanımlanır ve 3 veya daha fazlasından bir arada olduğu durumlarda MS olarak tanımlanır. MS'ın yüksek risk belirleyicisi ve olumsuz kardiyovasküler sonlanımları ilişkisi doğrultusunda çalışmalar ortaya konulmaktadır. Türk toplumu bazi kardiyovasküler risk faktörlerini açısından dünyada farklı yere sahiptir. Stabil angina pectoris olan olgularda MS komponentlerini ve bu parametrelerin klinik yanışmasını araştırmayı planladık.

Material&Metod: Stabil angina pectoris tanısıyla klinikimize yatanıları ardışık 264 hastayı (151 erkek, 113 kadın, ortalaması yaş: 58) MS komponentleri açısından inceledik. Tanısal işlemler ardından uygulanan tedavi yaklaşımlarını, koroner arter hastalığı risk faktörleri ile ilişkisini değerlendirdik.

Bulgular: Bel çevresi kriteri hastaların %54,2'sinde, kan basıncı kriteri %43,6'nda, plazma glukozu kriteri %35,6'da, HDL kriteri %53,8'inde, triglisider kriteri %64,5'inde tespit edildi. Cinsiyete göre bakıldığında bel çevresi, kan basıncı ve HDL kriteri istatistiksel anlamlı farklılıklar gösterdi (Tablo 1). Hastaların %7,6'sında hiçbir kriter yokken (n=20), %3 hastada kriterlerin tümü mevcuttu (n=8). MS, kadınlarında erkeklerde oranla istatistiksel olarak olacak şekilde daha sık tespit edildi (%64,6-%31,1, p<0,001). MS (+) bireylerin ortalaması yaş MS (-) olanlarının ortalaması daha fazlaydı (60 \pm 10, 55 \pm 11 yıl, p<0,001). MS tanısı alan bireylerde MS tanısı alan bireylerin total kolesterol/HDL kolesterol oranı atherosklerotik eğilimi yansıtacak biçimde daha olumsuzdu (5,3 \pm 1,4, 4,4 \pm 1,3, p<0,001). Anjiyografik olarak gösterilmış ciddi koroner arter hastalığı MS (+) bireylerde MS (-) olan bireylere oranla daha sık tespit edildi (%66,4, %49,6, p=0,008). Stabil angina pectoris hasta grubunda MS tanısı almış olmak ciddi koroner arter hastalığına sahip olma riskini 2 kat arttırmadı (Odds ratio, %95 güven aralığı 1,2-3,3).

Sonuç: MS, stabil angina pectoris hastalarda sık karşılaşılan bir durumdur. Özellikle Türk toplumu içinde kadınların daha fazla risk altında bulunduğu söylenebilir. Mevcut durumda daha etkin mücadede yöntemlerine ihtiyac vardır.

Tablo 1. Cinsiyete göre metabolik sendrom komponentleri

	Kadın	Erkek	P
Bel çevresi kriteri	92/113	51/151	<0.001
HDL kriteri	71/113	71/151	0.011
Triglisider kriteri	51/113	69/151	AD
Kan basıncı kriteri	66/113	49/151	<0.001
Plazma glukoz kriteri	46/113	48/151	AD

Koroner Arter Hastalığı ve Dislipidemi

P-25

ST ELEVASYONLU AKUT KORONER SENDROM GEÇİREN HASTALARIN Q DALGASI GELİŞMESİNDE GÖRE KARDIYOVASKULER OLAYLAR KARŞILAŞTIRILMASI

Mohammed Habeb, Burçak Kılıçkıran Avcı, Zeki Öngen, Vural Ali Vural

İstanbul Üniversitesi Cerrahpaşa Tıp Fakültesi, Kardiyoloji Anabilim Dalı, İstanbul

Anaç: ST elevasyonlu akut koroner sendrom geçiren hastaların trombolitik sonrasında büyük bir kısmında Q dalgası gelişmektedir. Q dalgası gelişmesi ile kardiyovasküler olaylar üzerindeki etkisi artturabileceğini düşünülmektedir. Bu çalışmanın amacı Q dalgası kardiyovasküler olaylar üzerindeki etkisi karşılaştırmaktadır.

Metod: ST elevasyonlu akut koroner sendrom geçiren 75 hastaya trombolitik tedavi uygulandı. Hastalar 48 saat sonraki EKG sonuçlarına göre Q dalgası gelişip gelişmemesi değerlendirildi. Hastane içi kardiyovasküler olaylar (reinfarktüs, reiskemi ve ölüm) araştırıldı.

Sonuç: 75 hastaya ortalama olarak ağrı-trombolitik zamanı 245 dakika bulundu. 13 (%17) hastada Q dalgası gelişmedi, (62) %83 oranında ise Q dalgası gelişti. Hastane içi kardiyovasküler olaylar (reinfarktüs, reiskemi ve ölüm) Q dalgası gelişmeyen hastaların 8 hastada %61’inde, Q dalgası gelişen hastaların 17 hastada %27 oranında gelişti ($p=0.002$). Bu artışta en önemli rol oynayan etken reiskemi olarak bulundu. Tablo: Q dalgası kardiyovasküler olaylar üzerindeki etkisi.

Tartışma: Trombolitik sonrası Q dalgası gelişmeyen hastaların anlamlı olarak hastane içi kardiyovasküler olaylar (reinfarktüs, iskemi ve ölüm) arttırdığı gözlenmiştir. Bu artışta en önemli rol oynayan etken reiskemi olarak saptandı. Ölüm oranında ise anlamlı bir artış gözlenmedi.

Q dalgası kardiyovasküler olaylar üzerindeki etkisi

	Q dalgası var (62 hasta)	Q dalgası yok (13 hasta)	P değeri
reiskemi	14	6	AD
reinfarktüs	1	2	AD
ölüm	2	0	AD
Toplam	17 (%27)	8 (%61)	0.002

kardiyovasküler olaylar (reiskemi, reinfarktüs ve ölüm) Q dalgası gelişmeyen grupta daha fazla $P < 0.05$

P-27

INTRAAORTİK BALON POMPASI VE KALP HIZI DEĞİŞKENLİĞİ

Ömer Alyan, Özcan Özdemir, Fehmi Kaçmaz, Fatma Metin, Mustafa Soylu, Bilal Geyik, Erdal Duru, Şule Korkmaz

Türkiye Yüksek İhtisas Hastanesi, Kardiyoloji Kliniği, Ankara

Giriş: Kalp hızı değişkenliği (KHD) zaman içindeki sinus hızındaki sıklık değişiklikleri yansınır ve akut miyokard infarktüs (MI) sonrası dönemde mortalite ve aritmogenik olaylar için güçlü bir prediktördür. Intraaortik balon pompası (IABP) dirençli kararsız anjina pektoris, kardiyogenik şok, mekanik komplikasyonların akut tedavisi ve özellikle iskemide bağımlı dirençli ventriküler aritmiler için bir tedavi seçeneğidir. Bu çalışmada IABP’ının Akut MI döneminde KHD’ne etkisi incelemek amaçlanmıştır. Yöntemler: 7.8 yıl 8 kadın Çalışmaya yaşları 43 ile 73 arasında değişen (ortalama yaşı 66.2 ve 5 erkek olmak üzere 13 hasta alınmıştır. Hastaların tümü akut MI nedeniyle kalorin yoğun bakım servisine yatırılmış hastalarlardı (10 hasta anterior MI, 2 hasta inferior MI ve 1 hasta non ST elevasyonlu MI). Intraaortik balon pompası hastaların %7’ini kardiyogenik şok, 1 hasta yatak mitral yetersizliği, 1 hasta anjiyoplasti sonrası no re-flow gelişmesi, 1 hasta dirençli ventriküler arımı gelişimi ve 3 hasta yedekleme tedavisi dirençli iskemi nedeniyle takılmıştır. Intraaortik balon pompası takıldıkten sonra 48 saat içinde holter kayıtları alındı. Bu sırada hemodinamik bozulma olan hastalar çalışmaya alınmadı. Bir saatlik holter kayıtlarından ortalama kalp hızları, SDNN, RMSSD, PNN50, LF ve HF değerleri belirlendi (Tablo).

Bulgular: Hastaların 5.9, sol ventrikül end diyastolikortalama ejeksiyon fraksiyonu 31.1 ± 3.8 olarak bulundu. SDDN değerleri IABP 1:1 konumundabasincıları 29.3 çalışırken en yüksek olduğu, daha sonra 2:1, 3:1 ve istirahet konumunda giderek azaldığı ve gruplar arasında istatistiksel olarak anlamlı fark olduğu saptandı. Sempatik aktivitetenin göstergesi olan LF değerlerinin IABP kapalı iken en yüksek düzeye olduğu ve IABP 1:1 çalışırken en düşük düzeye ulaşlığı görüldü. Gruplar arasında yine istatistiksel olarak anlamlı farklılıklar saptandı. HF değerleri ise IABP kapalı iken daha düşük olduğu, IABP 3:1, 2:1, 1:1 çalışırken giderek arttıgı görülmüştür. Sempatovagal dengenin göstergesi olan LF/HF oranı ise yine IABP kapalı iken en yüksek düzeye ulaşlığı, IABP 3:1, 2:1, 1:1 çalışırken ise giderek anlamlı bir şekilde azaldığı görüldü. Sonuç olarak IABP’ın çalışma sıklığı arttıkça sempatik aktivitetenin azaldığı, sempatovagal dengenin düzeltiliği, kalp hızı değişkenliğinin artışı görüldü. Bu nedenle akut MI geçiren yüksek riskli hastalarda hastane içi istenmeyen olayların sıklığı azaltılmasızı için IABP’ın (zorlukla 1:1 modunda) uygun bir tedavi yaklaşımı olacağının kanısızdır.

Intraaortik balon pompası çalışma moduna göre kalp hızı değişkenliği analizi

IABP çalışma modu	SDDN	LF	HF	LF/HF
1:1	19.1 ± 79.4	26.6 ± 43.8	20.6 ± 56.2	2.3 ± 1.6
2:1	15.8 ± 65.5	23.2 ± 53.5	23.2 ± 46.5	3.8 ± 2.5
3:1	18.5 ± 60.4	20.6 ± 68.2	20.6 ± 31.8	9.8 ± 6.1
KAPALI	18.9 ± 52.6	13.7 ± 80.7	13.8 ± 19.3	14.4 ± 11.3

IABP: Intraaortik balon pompası

P-26

MİYOKARD İNFARKTÜSÜ SONRASI REMODELING GELİŞİMİNİ ÖNGÖRMEDE BNP'İN YERİ

Mesut Demir, Mahir Avkaroğulları, Yurdaer Dönmez, Onur Akpinar, Akın Ateş, Esmeray Acartürk

Çukurova Üniversitesi Tıp Fakültesi, Kardiyoloji Anabilim Dalı, Adana

Amaç: Miyokardda yeniden biçimlenmenin (remodeling) miyokard infarktüsü sonrası ventrikül miyokardi ve kavitesinde zamanla ortaya çıkan yapısal ve fonksiyonel değişiklikler olduğu bildirilmiştir. Miyokard hasarını takiben tetiklenen norepinefrin, anjiyotensin gibi nörohormonal mediyatörler miyokardda olumsuz remodelinge yol açarlar. Sempatik sistem aktivitesindeki bu artış, B tipi natriüretik peptid (BNP) düzeyini artırdığı bilinmektedir. B tipi natriüretik peptid aktivitesi artmış hastalarda ise mortalitenin daha yüksek olduğu görülmüştür. Çalışmamızda miyokard infarktüsü sonrası akut dönemdeki serum BNP düzeyinin ventriküler remodeling gelişimini öngörmekdeki yerinin araştırılması amaçlanmıştır.

Yöntemler: Akut anteriyor ST yükseltmeli miyokard infarktüsü nedeni ile tedavi edilen yaşları 46-73 arası (ortalama 56.2 ± 7.1), 35 hasta (8 kadın, 27 erkek) çalışmaya dahil edildi. Hastaların miyokard infarktüsünün dördüncü gününde BNP düzeyi ölçülmüştür. Infarktüsün beşinci gününde ve üçüncü ayında ekokardiyografik inceleme ile sistol ve diyastol sonu boyutları, volümü ve ejeksiyon fraksiyonu ölçüldü. Sistol sonu volümün vücut yüzey alanına oranı sistol sonu indeks (SSI) olarak kabul edildi. Erken dönem SSI ile 3. ay indeksi arasındaki fark remodeling kriteri olarak belirlendi. Sistol sonu indeksi >0 olan hastalar olumlu (Grup I), SSI <0 olan hastalar olumsuz (Grup II) remodeling gelişimi olarak değerlendirildi.

Bulgular: On hastada olumlu, 25 hastada olumsuz remodeling gözlemlendi. Grup I’de SSI değeri 4.3 ± 3.8 ml, grup II’de ise -8.4 ± 5.2 ml olarak saptandı. Grup I’de BNP düzeyinin daha düşük olduğu bulundu (Grup I: 2146.3 ± 1159.4 pg/ml, Grup II: 3474.7 ± 1152.3 pg/ml, $p<0.05$)

Sonuç: Miyokard infarktüsü sonrası baktılan BNP düzeyinin remodeling ile ilişkili olduğu ve remodelingi öngörmekte basit ve kolay ölçülebilir bir biyokimyasal belirteç olarak kullanılabilcegi kanısına varıldı.

P-28

AKUT ANTERIOR MİYOKARD İNFARKTÜSLÜ HASTALARDA TROMBOLİTİK TEDAVİ VE PRIMER ANJIYOPLASTİNİN SOL VENTRİKÜL TROMBÜS GELİŞİMİNE OLAN ETKİLERİNİN KARŞILAŞTIRILMASI

Fehmi Mercanoğlu, R. Deniz Acar, Aytaç Öncül, Saleh Sweileh, Mehmet Meric

İstanbul Üniversitesi İstanbul Tip Fakültesi, Kardiyoloji Anabilim Dalı, İstanbul

Amaç: Akut miyokard infarktüsü (AMI)nın tedavisinde primer anjiyoplasti yönteminin, trombolitik tedaviye göre mortalite ve morbiditeyi azaltıcı etkisinin daha belirgin olduğu bildirilmiştir. Buna karşılık, akut miyokard infarktüslü hastalarda trombolitik tedavi ve primer anjiyoplasti yöntemlerinin sol ventrikül trombüs gelişimine olan etkileri sınırlı kadar karşılaştırılmış ve sistematiğe bir şekilde araştırılmamıştır. Bu çalışmada akut miyokard infarktüslü hastalarda bu tedavi yöntemlerinin sol ventrikül trombüs gelişimine etkilerinin karşılaştırılmış amaçlanmıştır. Hastalar ve metod: Çalışmaya 60’ı primer anjiyoplasti, 60’tı trombolitik tedavi koluşuna randomize edilmiş üzere AMI’nin ilk 6 saat içinde müracaat eden 120 akut anterior miyokard infarktüslü hasta alındı. Bu hastalardan trombolitik tedavi grubundan 56 hastaya, primer anjiyoplasti grubundan 46 hastaya hasta çıkışı öncesi (ortalama 6.5 ± 2.1 gün) ekokardiyografik inceleme yapıldı. Primer anjiyoplasti uygulanan hastaların tümünde islem stent implantasyonu yapılarak ve glikoprotein IIb/IIIa antagonisti kullanılarak gerçekleştirildi. Bulgular: Trombolitik tedavi ve primer anjiyoplasti gruplarının demografik ve klinik özellikleri benzer bulundu. Primer anjiyoplasti ve trombolitik tedavi grupları arasında sol ventrikül ejeksiyon fraksiyonu (sırasıyla %49 ve %46) ve hastane içi mortalite (sırasıyla %3.9 ve %5) bakımından anlamlı farklılık bulunmadı. Ekokardiyografik değerlendirmeye alınan 102 hastanın 16’sında (%15.6) sol ventrikül trombüsü mevcuttu. Sol ventrikül trombüsü primer anjiyoplasti grubunda 3 hasta (%6.5) trombolitik tedavi grubunda ise 13 hasta (%23.2) belirlendi ($p=0.02$). Ortalama yaş, beta-blocker kullanımı, ağn-iğne/balon zamanı, sol ventrikül ejeksiyon fraksiyonu ve primer anjiyoplasti ile revaskülarizasyon parametrelerinden sadece primer anjiyoplasti ile tedavini tek değişkenli ve çok değişkenli analizde sol ventrikül trombüs sikligında öngörürtücü değeri olduğu (sırasıyla $p=0.031$ ve $p=0.046$); bu karşılık sol ventrikül ejeksiyon fraksiyonun bulunduğu ($p=0.056$)分析中

Koroner Arter Hastalığı ve Dislipidemi

P-29

İZOLE KORONER ARTER EKTAZISI SAPTANAN OLGULARDA DISTAL AORTADAN ÇIKAN DAMARLARIN ANJİYOGRAFİK OLARAK DEĞERLENDİRİLMESİ

Halil Kahraman, Mehmet Özaydin, Abdullah Doğan, Süleyman M. Aslan, Omer Gedikli, Ahmet Altınbaş

Süleyman Demirel Üniversitesi Tıp Fakültesi, İsparta

Giriş: Koroner arter ektazisi (KE) koroner anomalilerinin nadir bir formudur, konjenital veya kazanılmış orijsinal olabilir. Anjiyografik olarak, epikardiyal koroner arterlerde obstruktif lezyon olmaksızın normal luminal çaptan 1.5 kattan daha fazla genişleşme olması KE olarak tanımlanmaktadır. Çalışmamızda izole KE'si olan olgularda distal aortadan çıkan damarlardaki ektazi sıklığını araştırdık.

Metod ve Bulgular: Çalışmaya stabil angina pektoris ve atipik göğüs ağrısı ile müraçan edip erip testi pozitif bulunduğu için yapılan veya kararsız angina pektoris ile müraçan edenlerle yapılan koroner anjiyografide ektazi tespit edilenardi hastalar alındı. Koroner anjiyografisi normal saptanan 25 hastanın koroner damar çapları referans kabul edilerek, bu değerlerden 1.5 kat geniş olan segmentler ektazi kabul edildi. Bu kriterlerde uygun 80 hasta çalışmaya alındı (Grup I, 40 erkek, yaş ortalaması 57±11). Koronerler ektazik olan ve normal olan (Grup II, 9 erkek, yaş ortalaması 54±10) tüm hastaların arter aortadan çıkan major dallarının anjiyografileri ektildi. Gruplara arasında yaş, cins, diabet, hiperlipidemi, ailede koroner arter hastalığı anamnesi, periferik arter hastalığı olması, sigara içimi ve sol ventrikül ejeksiyon fraksiyonu açısından fark bulunmadı (tüm p değerleri >0.05). Grup I'deki hastaların tüm distal aort dallarının çapları grup II'ye göre istatistiksel anlamlılık taşıyordu; şekilde daha geniş tespit edildi. Çap indeksi karşılaştırılmalarında ise arteria iliaka communis dextra ve arteria iliaka communis sinistra'nın proksimal segmentleri için istatistiksel anlamlılık devam etti. Proksimal sol a. iliaca communis, proksimal sağ a. iliaca interna ve proksimal sol a. iliaca externa haric ($p>0.05$), a iliaka communis, a. iliaka interna ve a. iliaka externa'nın kalın proksimal ve distal kısımlarında ektazi sıklığı grup I'de grup II'ye göre daha fazla idi ($p<0.05$).

Sonuç: Koronerlerde ektazi tespit edilen hastalarda iliac arterlerinde de ektazi olabilecegi akla gelmemelidir.

Tablo 1. Hastaların distal abdominal aorta dallarının ortalama çapları ve çap indeksleri

	Grup I çap (mm)	Grup I çap indeksi	Grup II çap (mm)	Grup II çap indeksi	p çap	p çap indeksi
A Iliaca C Dextra p	11.03±2.11	6.00±1.26	9.54±1.32	5.50±0.95	<0.001	0.041
A Iliaca C Dextra d	11.67±2.22	6.38±1.36	10.39±1.83	6.00±1.24	0.006	0.187
A Iliaca C Sinistra p	10.73±2.15	5.84±1.33	9.10±1.38	5.29±1.05	<0.001	0.035
A Iliaca C Sinistra d	11.30±2.25	6.15±1.39	9.83±1.89	5.59±1.22	0.004	0.055
Alliaca Ext Dextra p	9.24±1.79	5.03±1.13	7.96±1.69	4.64±0.94	0.002	0.100
Alliaca Int Dextra p	7.69±1.76	4.16±0.99	6.74±1.13	3.88±0.72	0.002	0.121
Alliaca Ext Sinistra p	9.16±1.78	4.97±1.05	7.97±1.24	4.60±0.84	<0.001	0.073
Alliaca Int Sinistra p	7.75±1.95	4.15±0.96	6.63±1.48	3.80±0.93	0.003	0.106

A: arteria C: communis p:proksimal d:distal

P-31

AKUT KORONER SENDROMLARDA CD14+ MAKROFAJ YOĞUNLUĞU KARDİYAK NEKROZLA İLİŞKİLİ MIDİR?

M. Tuğrul İnanç, Namık Kemal Eryol, Ali Güll, Yücel Yılmaz, İbrahim Özdogru, Hüseyin Katlandur, İbrahim Güll, Mustafa Gür, Mustafa Çalışkan, Ali Ergin

Erciyes Üniversitesi Tıp Fakültesi, Kardiyoloji Anabilim Dalı, Kayseri

Giriş ve Amaç: Aterosklerozda inflamatuar bir prosesin rol oynadığı bilinmektedir. Daha önceki çalışmalarla inflamasyonun şiddetiyle koroner arter hastalığının ciddiyeti arasındaki ilişki gösterilmiştir. Biz çalışmamızda CD14 pozitif makrofaj miktarı ile miyokard nekroz miktarı arasındaki ilişkiye bakıldık.

Hastalar ve Yöntem: Çalışmaya hastanemiz koroner yoğun bakım ünitesine yatan 24 kadın, 64 erkek hasta olmak üzere toplam 88 hasta aldı. Hastaların 16'sında kararsız anjina (KA), 12'sinde ST yükselmesi olmayan MI(NSTEMI), 60'ında da ST elevasyonlu MI(STEMI) mevcuttu. Hastalar rutin tedavilerini (Aspirin, ACE inh., beta bloker, statin) aldılar. Yatışlarının ilk 24 saatinde pik kreatin kinaz (KK), KK-MB izotiporu ölçüldü ve CD14+ makrofaj düzeylerine flowşimetrik yöntemle bakıldı.

Bulgular: Gruplar arasında yaş ortamları arasında fark yoktu. Pık kardiyak enzim düzeyleri NSTEMI ve STEMİ gruplarında KA grubuna göre anlamlı olarak yükseltti ($p<0.05$). STEMİ grubunda ise NSTEMİ grubundan daha yüksek ($p<0.05$). AKS'ın klinik tipleri arasında CD14+ makrofaj yüzdesi açısından anlamlı fark olmamasına rağmen korelasyon analizi yapıldığında CD14+ makrofaj yoğunluğu ile CK ($r=+0.210$; $p<0.05$) ve miyokarda spesifik CK-MB fraksiyonu ($r=+0.220$; $p<0.05$) arasında anlamlı pozitif bir korelasyon bulundu.

Sonuç: CD14+ makrofaj yoğunluğunun yüksek olması inflamatuar reaksiyonun yüksek olduğunu göstermektedir. İnflamatuar reaksiyonun şiddetiyle miyokard nekroz miktarı arasında anlamlı ilişki olduğu görüldü.

Tablo. Bulguların karşılaştırılması

	KA	NSTEMI	STEMİ
Yaş	56±10	61±9	56±14
KK U/L	297±56	1489±393	2465±189
KK-MB U/L	39±8	171±98	263±112
CD14+ %	82,4±12,1	88,4±6,7	87,5±11,9

P-30

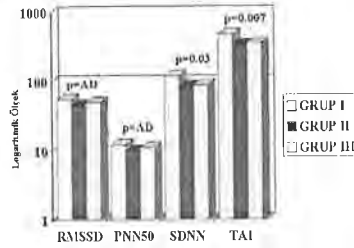
AKUT KORONER SENDROLU HASTALARDA SERUM TROPONİN-I DÜZEYİNİN KALP HIZI DEĞİŞKENLİĞİYLE İLİŞKİSİ

Sabri Demircan, Osman Yeşildağ, Mustafa Yazıcı, Muharrem Aslan, Serdar Demir, Halit Zengin, Mahmut Şahin

Ondokuz Mayıs Üniversitesi Tıp Fakültesi, Kardiyoloji Anabilim Dalı, Samsun

Amaç: Akut koroner sendromların klinik riskinin belirlenmesinde kardiyak troponinlerin önemli rolü vardır. Öte yandan, AKS'li hastalarda kardiyak otonom aktivitelerin değerlendirilmesinde kullanılan kalp hızı değişkenliği azalmaktır. Çalışmamızda akut koroner sendromlu hastaların serum troponin düzeylerinin kalp hızı değişkenliğiyle ilişkili olup olmadığı göstermeye çalıştık. **Yöntem:** Çalışmaya akut koroner sendrom tanısı ile takip edilen 110 hasta alındı. Hastalar başvurulan veya son iskelemik ataktan 12 saat sonra ölçulen pikk kardiyak troponin-I (cTn-I) ve CK-MB düzeylerine göre 3 gruba ayrıldı. (Grup I: cTn-I<1 ng/ml ve CK-MB düzeyi normal, Grup II: cTn-I>1 ng/ml ancak CK-MB normal, Grup III ise: cTn-I>1 ng/ml ve CK-MB düzeyi yüksek) Hastaların hepsine 24 saatlik holter monitörizasyonu yapılarak kalp hızı değişkenliği göstergeleri olan SDNN, triangüler indeks (TAI), PNN50 ve RMSSD incelendi. **Bulgular:** 24 saatlik SDNN ve TAI, troponin yüksek olan Grup II ve III'de troponin negatif olan Grup I'e göre anlamlı olarak düşüktü. (p değerleri sırasıyla SDNN için 0.05 ve TAI için 0.048 ve TAI için 0.009 ve 0.021) Birbirinden birlikte Grup II ile III arasında her iki gösterge açısından anlamlı fark yoktu. (p değeri SDNN için 0.996 ve TAI için 0.840) KHD'nin diğer göstergeleri olan PNN50 ve RMSSD değerleri ise üç grup arasında benzerlik göstermektedir. (p sırasıyla 0.837 ve 0.621) (Tablo)

Sonuç: Troponin yüksek AKS'li hastalarda bazı KHD göstergeleri azalmaktadır. Bu sonuç, troponini yüksek AKS'lu hastalardaki artmış mortalite riskinde KHD'deki azalanın rol oynayabileceğini düşündürmektedir.



P-32

ORTALAMA TROMBOSİT HACMİ VE OTONOM SINİR SİSTEMİ FONKSİYONLARI ARASINDAKI İLİŞKİ : ARTMIS TROMBOSİT HACMİ SEMPATİK AKTİVİTE ARTIŞINI YANSITIR MI?

Özcan Özke, Bilal Geyik, Özcan Özdemir, Arslan Öcal, Cemal Özbakır, Ömer Alyan, Fehmi Kaçmaz, Mustafa Saylı, Ahmet Duran Demir, Özgür Ulaş Özdogan, Orhan Karabal, Ali Sağzman

Türkiye Yüksek İhtisas Hastanesi, Kardiyoloji Kliniği, Ankara

Giriş : Artmış ortala tromaosit hacmi (OTH), trombositlerin fonksiyonel aktivasyonunu gösteren parametrelerden biri olup, akut koroner sendrom patogenezinde önemli rolü olan trombosit agregasyonunun oluşumunda, bu parametrenin, büyümüş bir koroner risk faktörü olduğu düşünülmektedir. Adrenerjik sistem, genetik trombosit aktivasyonunu gerçekleştirmektedir. Trombositopoezi etkilediği bilinmektedir. Bu çalışmada, akut miyokard infarktüsü (AMI) esnasında otonom sinir sistemi aktivasyonunun OTH üzerinde olan etkisi araştırıldı. **Metod** ve **Sonuçları:** Çalışmada akut bir duvar miyokard infarktüsü 47 hasta ile normal koroner arterlerle sahip 32 hasta karşılaştırıldı. Tüm hastalarda kalp hızı değişkenliğini (KHD) kaydırılmıştı. 24 saatlik holter analizi yapıldı. OTH verilerine değerlendirime ve diurnal varyasyonu arastırılmış amaçlı holter analizinin yapıldığı gündüz ve gece kan örnekleri alındı. Çalışmanın sonunda, kontrol grubunu ornatımlı hastalarda, ortala tromaosit hacmi, LF, LF/HF oranları, OTH'da yükseldi; SDNN, RMSSD, PNN50, HF ve trombosit sayısı daha düşük saptandı. Her iki grupta da günüz LF, LF/HF, OTH değerleri, gece değerlerine göre anlamlı olarak daha yüksekti; HF ise daha düşük saptandı. Birbirinden birlikte diurnal varyasyon AMİ'li hastalarda çok daha belirgin olduğu izlendi. Pearson'ın korelasyon analizi ile, OTH'ın ventrikül skoru, LF tezonyu arttı, ortala kalp hızı, LF, LF/HF ile pozitif; SDNN, HF ve trombosit sayısı ile negatif korelasyon gösterdiği saptandı. Çoklu değişken analizi ise, OTH'nın ventrikül skoru ve LF/HF oranından anlamlı derecede etkilenildiği gösterdi.

Sonuç: Bu çalışmada OTH'nın AMİ'li hastalarda daha yüksek olduğu saptandı ve her iki grupta gözlenen diurnal varyasyonun otonom sinir sistemi aktivitelerindeki değişkenlige bağlı olduğu düşünüldü. Bu nedenlerle artmış OTH'nın, AMİ'li hastalarda prognoztik rolü olduguunu düşünmektedir.

Her iki gruptaki KHD parametrelerinin karşılaştırılması

Değişkenler	Ön duvar MI'li hastalar (n=47)	Kontrol (n=32)	P
Ort. Kalp hızı(atum/dk)	71,6 ± 9,5	65,8 ± 7,1	0,001
SDNN(msn)	83,4 ± 7,5	118,8 ± 26,6	0,001
RMSSD(msn)	23,8 ± 7,7	35,9 ± 14,2	0,001
PNN50(%)	5,1 ± 2,7	10,1 ± 4,7	0,001
HF (nu)-gündüz	28,6 ± 4,6*	38,8 ± 12,1†	0,001
LF (nu)-gündüz	66,3 ± 8,9*	54,8 ± 9,2†	0,001
LF/HF-gündüz	2,4 ± 0,6*	1,6 ± 0,5†	0,001
Trombosit sayısı-gündüz	203,4 ± 35,1	234,4 ± 18,9	0,001
OTH (II)-gündüz	10,1 ± 1,4*	8,0 ± 1,1†	0,001
HF (nu)-gece	32,4 ± 5,8	44,3 ± 8,8	0,001
LF (nu)-gece	54,7 ± 9,3	50,6 ± 6,2	0,001
LF/HF-gece	1,6 ± 0,3	1,2 ± 0,2	0,001
Trombosit sayısı-gece	205,3 ± 33,4	232,6 ± 14,8	0,001
OTH (II)-gece	10,5 ± 1,6	8,2 ± 2,2	0,001

SDNN (RR sinyallerinin standart sapması) RMSSD (24 saatlik kayıtmaya özgü NIN aralıklarla ortalama karelerinin toplamının karekökü) LF (diurnal frekans) HF (yüksek frekans) PNN50 = Birbirinden >50 ms farklılık gösteren RR sinyallerinin yüzdesi *p<0,001 gevşeye kıyasla †p<0,05 her iki grupta kıyasla

P-33 AKUT MİYOKARD İNFARKTÜSÜNDE ERKEN MORTALİTENİN BİR GÖSTERGESİ OLARAK MİKROLBÜMİNÜRİ

Serap Bos, Tülin Kurt, Tufan Tükek

SSK Vakıf Gureba Hastanesi, İstanbul

Giriş ve Amaç: Mikroalbüminüri (MA) diğer bir deyişle hafif artmış üriner albümün atılması, günümüzde kardiovasküler risk profilindeki aterojenik değişikliklerle ilişkili olup, artmış mortalitenin bir göstergesi olarak kabul edilmektedir. Bu çalışmanın amacı, miyokard infarktüsü (MI) geçiren hastaların hastanedeki mortalite düzeylerinin, albümün ekskresyon oranıyla ilişkisini belirlemektir.

Yöntem: Çalışmaya koroner yoğun bakım tıminesine yatan 112 akut MI geçiren hasta ile akut MI olmayan aterosklerotik kalp hastalığı bulunan 25 hasta (unstable angina, varyant angina veya kronik iskemik kalp hastalığına sahip aneak akut MI geçirmeyen) kontrol grubu olarak alındı. Akut MI geçiren 112 hastadan 11'i hastane içinde kaybedildi ve bu kişiler ölen hasta grubunu oluşturdu. Hastaların hiçbirinde böbrek yetmezliği, hematoz veya idrar yolu infeksiyonu yoktu. Tüm hastaların ilk başvurudukları andan itibaren 1. ve 3. gün 24 saatlik idrarlarında MA değerleri ölçüldü. Hastalara ekokardiyografik inceleme yapıldı.

Bulgular: Akut MI'lı hastaların 1. gün MA değeri 98,00 (6,20-1211,50) mg/gün; 3. gün idrar MA değeri 34,10 (3,50-625,00) mg/gün; kontrol grubunun 1. gün MA değeri 13,00 (2,90-518,50) mg/gün; 3. gün MA değeri 7,10 (2,10-76,00) mg/gün bulundu. Bu sonuca göre MI'lı hasta grubunda 1. gün ve 3. gün idrar albümün atılmış oranı kontrol grubuna göre istatistiksel olarak anlamlı yüksek bulundu ($p<0,000$) ve ($p<0,000$). 1. gün idrar albümün atılmış oranı MI'lı hastalarda, 3. güne doğru progressif olarak düştü. Ayrıca MI'dan ölen hastaların 1. ve 3. gün mikroalbüminüri düzeyleri diğer MI'lı hastalara göre istatistiksel olarak anlamlı yüksek bulundu ($p<0,000$). Hastalar sol ventrikül ejeksiyon fraksiyonu (LVEF) göre 2 gruba ayrıldı. LVEF<%50 olan hasta grubunda hem 1. gün MA değeri ($p=0,003$), hem de 3. gün MA değeri; LVEF>%50 olan hastalara göre istatistiksel olarak anlamlı yüksek bulundu ($p=0,001$).

Sonuç: Akut MI sonrası MA akut fazda belirgin olarak artmaktadır. Erken mortalitenin belirleyicisi olarak artmış MA değerleri önemli bir göstergedir. Sol ventrikül fonksiyonu bozuk kişilerde MA'nın daha fazla saptanması, geç dönemde prognozda önemli bir parametre olabileceğini göstermektedir.

P-34

AORTİK SKLEROZ VE KORONER ARTER HASTALIĞI YAYGINLIĞI ARASINDAKI İLİŞKİ

Ozgür Bayturhan, Cenk Ekmekçi, Ozan Üyük, Milyar Yakar, Hakan Tıktız, Ali Rıza Bilge, Uğur Kemal Tezcan

Celal Bayar Üniversitesi Tip Fakültesi, Manisa

Amaç: Transtorasik ekokardiografide (TTE) saptanan aortik skleroz (AS) varlığı ve derecesi ile koroner arter hastalığı (KAH) yaygınlığı arasındaki ilişkiye araştırmayı amaçladık. **GiRİŞ:** Histopatolojik çalışmalar dejeneratif aortik valv hastalığı ile KAH arasında çoklu benzerlikler olduğunu ortaya koymuştur. Benzer histopatolojik özellikleri paylaşmaları nedeniyle aortik sklerozun KAH'ın bir göstergesi olabileceği düşünüldür. Ayrıca yine istenmeyen kardiyak olaylarla ilişkili olduğu bilinen enflamatuvar belirteşlerin de AS ile ilişkili olduğunu gösteren çalışmalar mevcuttur.

Metod: Çalışmaya koroner anjiografisi yapılan toplam 66 hasta alındı (ortalama 56 ± 8 , %59 erkek). Aortik kapak TTE ile parasternal uzun ve kısa aks ile beş boşlukta değerlendirildi. Aortik skleroz derecelendirilmesinde: Normal:0; hafif (bir leaflette minor tutulum)=1; orta (iki leaflette minor tutulum ya da tek leaflette yaygın tutulum)=2; ciddi (iki leaflette yaygın tutulum ya da her üç leaflette birde tutulum)=3 olarak kabul edildi. Aortik velocitiesi >2 m/sn, olan hastalar çalışma dışı bırakıldı.

Bulgular: 47 hastada AS saptanırken, (%71), 19 hastada aortik valv normaldi (%29). 15 hastada (%32) AS hafif, 28 hastada orta (%59), 4 hastada ise (%9) ciddiydi. Anjiografi sonucuna göre %76 (n=49) hastada KAH saptandı. Aortik skleroz saptanmalarında tutulan damar sayısının anlamlı derecede yükselttiği gözlemlendi ($p=0,008$). Sol ön inen arter (SÖIA) lezyonu olan hastalarda AS görülmeye oranlı derecede fazlaydı ($p=0,0014$). Ayrıca AS şiddeti ile hastalıkla damar sayısı arasındaki ilişki incelenince orta derecede korelesasyon saptandı ($R=0,43$, $p=0,004$). Aortik skleroz ile hipertansiyon, dislipidemi, serum kalsiyum düzeyi ve diyabet varlığı ile arasında anlamlı ilişki saptanmadı.

Sonuçlar: Koroner arter hastalığı saptanan hastalarda AS anlamlı derecede fazlaydı. Sol ön inen arter tutulumu olan hastalarda AS görülmeye oran yine daha fazla bulunurken AS'ın şiddeti ile KAH yaygınlığı arasında pozitif bir korelasyon olması dikkat çekiciydi. Hastalardaki incelenen diğer risk faktörleri ile AS arasında bir bağıntı bulunmadı. Bulgularımız, AS varlığı ve derecesi ile KAH şiddeti arasında anlamlı bir ilişki olduğunu göstermiştir.

P-35

ST YÜKSELİMELİ MİYOKARD İNFARKTÜSÜ SONRASI METOPROLOL VE KARVEDİLOLUN REMODELINGE ETKİLERİ

Mahir Avkaroğulları, Mesut Demir, Yurdaer Dönmez, Akin Ateş, Esmeray Acartürk

Cukurova Üniversitesi Tip Fakültesi, Kardiyoloji Anabilim Dalı, Adana

Amaç: Miyokard infarktüsü sonrasında ventriküller miyokardı ve kavitesinde zamanla ortaya çıkan yapısal ve fonksiyonel değişiklikler yeniden bireşimeye (remodeling) olarak tanımlanmıştır. Miyokard infarktüsü sonrası aktive olan sempatik sinir sistemi, renin anjiyotensin aldesteron sistemi, oksidatif stres ve miyokardiyal gerilmenin olumsuz remodellinge yol açabildiği bilinmemektedir. Metoprolol miyokard infarktüsü tedavisinde mortalite ve morbiditeyi azaltmak amacıyla sıklıkla kullanılmaktadır. Karvedilolin antioksidan etki ile oksidatif stresi ve alfa bloker etkisi ile miyokardiyal gerilmeni azaltabileceğini bu mekanizma ile remodeling üzerine daha olumlu etkisi olabileceği düşünülmüştür. Bu çalışmada akut miyokard infarktüsü sonrası metoprolol ve karvedilolin remodeling üzerine olan etkileri karşılaştırılmıştır.

Yöntemler: Çalışmaya ST yükselmeli akut anteriyor miyokard infarktüsü ile izlenen yaşları 46-73 arası (ortalama 56.2 ± 7.1), 35 hasta (8 kadın, 27 erkek) alındı. Hastalara akut dönemde metoprolol ve karvedilol tedavileri baslandı. Infarktüsün başınıcının gündünde ve üçüncü ayında ekokardiyografik inceleme ile sistol ve diyalost tonu boyutları, volümler ve ejeksiyon fraksiyonu ölçüldü. Sistol tonu volumün yüzey yüzey alanına oranı sistol tonu indeks (SSI) olarak kabul edildi. Erken dönemde SSI ile 3. ay indeksi arasındaki fark remodeling kriteri olarak belirlendi.

Bulgular: Onsekiz hasta metoprolol, 17 hasta 6.2 ml, karvedilol kullanmaktadır. Metoprolol alan grupta SSI değeri -6.8 ± 5.3 ml olarak saptandı. Karvedilol alan karvedilol alan grupta ise -4.3 hastalarda sistol tonu indeksinin metoprolole göre daha olumlu olduğu görüldü ancak bu fark istatistiksel olarak anlamlı değildi ($p=0.4$).

Sonuç: Miyokard infarktüsü sonrası sıklıkla kullanılan metoprolol ile karvedilolin remodelinge olan etkileri arasında anlamlı farklılık olmadığı kanısına varıldı.

P-36

DIYABETİK OLMAYAN AKUT KORONER SENDROMLU HASTALARDA BOZULMUŞ GLUKOZ TOLERANSI SIKLIĞI

Mohammed Habeb, Işık Baser

İstanbul Üniversitesi Cerrahpaşa Tip Fakültesi, Kardiyoloji Anabilim Dalı, İstanbul

Amaç: Diabetes Mellitus toplumdaki yaygınlığı, morbidite ve mortalite oranlarının yükseklüğü nedeni ile önemli bir halk sağlığı problemidir. Dünyada toplam 140 milyon diyabet hastasının olduğu tahmin edilmektedir. Türkiye'de yapılan TURDEP çalışmasına göre diyabetli hastalar toplumun %7,2'sini, bozulmuş glukoz toleransı olan bireyler ise %6,7'sini oluşturmaktadır. Yüksek topluk kan şekeri düzeyleri hem diyabet hastalarda hem de genel populasyonda kardiyovasküler olay sıklığını artırır ve kardiyovasküler hastalıklar açısından bağımsız bir risk faktörüdür. Bu çalışmanın amacı da Türk populasyonunda akut koroner sendrom ile başvuran ve diyabetik olmayan hastalarda bozulmuş glukoz toleransı sıklığını araştırmaktır.

Yöntem: İstanbul Üniversitesi Cerrahpaşa Tip Fakültesi Kardiyoloji Anabilim Dalı Koroner Bakım Ünitesi'ne Mart 2002 ve Ekim 2003 tarihlerinde akut koroner sendrom (ST elevasyonlu/elevasyonsuz miyokard infarktüsü ve kararsız angina pectoris) tanısıyla yatırılan bilişim diabetes mellitusu olmayan 80 hasta çalışmaya dahil edildi. Aşağı kan şekeri >126 mg/dl olan hastalar ile topluk 2 saat kan şekeri >200 mg/dl olan hastalar çalışma dışında bırakıldı. Akut koroner sendrom tanısı European Society of Cardiology/American College of Cardiology kriterlerine dayanılarak konuldu. Tüm hastalarda yataşlarının 5-10. günlerinde oral glukoz tolerans testi (OGTT) yapıldı. Test öncesi hastalar gec 24.00'den itibaren aç bırakıldı. Sabah saat 8.00-11.00 arasında hastalarla 200 ml su içerişinde eritilmiş 75 gram glukoz verildi. Bazal, 60. dakika ve 120. dakikalarda plazma glukozuna bakıldı. OGTT değerlendirme Dünya Sağlık Örgütü kriterlerine göre yapıldı: Tokluk 2 saat kan şekeri <140 mg/dl ise normal, $140-199$ mg/dl ise bozulmuş glukoz toleransı ve >200 mg/dl ise diyabet olarak kabul edildi. Sonuçlar: Hastaların yaş ortalaması 58 ± 12 yıl olup 66'sı erkek (%82,5), 14'ü kadındı (%17,5). Hastaların %73'ünde ST elevasyonlu akut miyokard infarktüsü, %27'sinde ST elevasyonsuz miyokard infarktüsü/kararsız angina pectoris vardı. OGTT'e göre hastaların %61'inde bozulmuş glukoz metabolizması (%bozulmuş glukoz toleransı %35, diabetes mellitus %26) tespit edildi. Hastaların %39'unda normal glukoz metabolizması vardı.

Tartışma: Çalışmamızda tanısı konmuş diyabet olmayan ve akut koroner sendrom ile başvuran hastaların neredeyse üçte ikisinde bozulmuş glukoz metabolizmasına rastlanmıştır. Bozulmuş glukoz toleransı kardiyovasküler olay sıklığını artırır bağımsız bir risk faktörü olduğundan özellikle akut koroner sendrom ile başvuran hastaların bu yönden araştırılması gerekmektedir.

Koroner Arter Hastalığı ve Dislipidemi

P-37

METABOLİK SENDROMLU HASTALarda KORONER ARTER HASTALIĞI VARLIĞI VE YAYGINLIĞI İLE HEPATOSTEATOZUN İLİŞKİSİ

Ahmet Taha Alper, Sinsan Şahin*, Hüseyin Aksu, Ebru Öntürk, Ahmet Akyol, Abdurrahman Eksik, Nazmiye Çakmak, Alper Aydin

Siyami Ersek Göğüs Kalp Damar Cerrahisi, Radyoloji, İstanbul

Amaç: Metabolik sendromun ve hepatosteatozun koroner arter hastalığı (KAH) ile ilişkisini gösteren birçok çalışma mevcuttur. Ancak metabolik sendromlu hastalardı hepatosteatoz düzeyinin angiografi ile belirlenmiş KAH varlığı ve yaygılılığı arasındaki ilişkiye araştırılmış çalışma yoktur. Çalışmamızda metabolik sendromlu hastalarda angiografi ile tespit edilen KAH varlığı ve yaygılığının, ultrasonografi ile değerlendirilen hepatosteatoz düzeyi ile ilişkilerinin incelenmesi amaçlandı.

Metod: Çalışmaya koroner angiografisi yapılan metabolik sendromlu 64 hasta dahil edildi. Alkol kullanımı, diabetes mellitus, viral hepatit ve hepatosteatoza neden olduğu bilinen ilaç kullanımı hikayesi olanlar çalışmaya alınmadı. Koroner angiografide %50'nin üstünde lümen darlığı tespit edilenler koroner arter hastası kabul edildi. KAH'ın yaygılığı için %50'nin üzerinde darlık bulunan damar sayısı belirlendi. Bu hastaların tümünde karaciğer ultrasonografisi uygulanarak hepatosteatoz 0-4 arasında evrelendi. Bulgular: Metabolik sendromlu 64 hastanın yaş ortalaması 64,3±9,9'du. Bunların 36'sında (%56,3) KAH bulundu. Koroner arter hastalığı tespit edilenler ile diğerleri arasında yaş ve cinsiyet açısından anamli fark yoktu. KAH bulunanlar ile bulunmayanlar arasında hepatosteatoz düzeyi açısından anamli fark mevcuttu ($p=0,01$). KAH bulunmayanlar, tek damar hastaları ve çok damar hastaları arasında da hepatosteatoz düzeyi açısından anamli fark tespit edildi ($p<0,000$). Cinsiyet ve yaşı düzeltildiğinde KAH varlığı ve hepatosteatoz varlığı arasında bağımsız ilişki bulundu ($p=0,03$, odd's oranı=4,7, güvenlik aralığı=1,6-20,1).

Sonuç: Metabolik sendromlu hastalarda hepatosteatoz düzeyi KAH varlığı ve yaygılığı ile ilişkilidir. Bu hasta grubunda hepatosteatozon tespiti KAH varlığı ve yaygılığının değerlendirilmesinde yardımcı olabilir.

P-38

ST SEGMENT ELEVASYONSUZ AKUT KORONER SENDROMLU HASTALARDA HS-CRP İÇİN HANGİ KESTİRİM DEĞERİ PROGNOZU BELİRLEMEDEN DAHA DEĞERLİDİR

Teoman Kılıç, Dilek Ural, Zeki Yumuk*, Tayfun Şahin, Göksel Kahraman, Güldiz Kozağlı, Ayşen Ağacıdiken, Ertan Ural, Ahmet Vural, Şeyda Çalışkan*, Bakı Komsuoğlu

Kocaeli Üniversitesi Tip Fakültesi, Kardiyoloji Anabilim Dalı, Mikrobiyoloji Anabilim Dalı*, Kocaeli

Amaç: Yüksek duyarlı (hs) C Reaktif Protein (CRP)'nın vasküler risk belirteci olarak yer aldığı tek kılavuz Avrupa Hipertansiyon Kılavuzudur. Bu kılavuzda hs-CRP'in dikkate alınması gerekliliği olan sunr değer 1 mg/dl olarak belirtilmiştir. Bu değer ST segment elevasyonsuz Akut Koroner Sendrom (NSTEAKS) populasyonu ile yapılan çoğu çalışmada riskli değer olarak kullanılmıştır. Ancak bu hastalarda hs-CRP'ının hangi seviyelerin üzerinde olmasının dikkate alınması gerekliliği konusunda net görüş birliği mevcut değildir. Çalışmamızın amacı, NSTEAKS tanısı olan bireyleerde hs-CRP seviyelerinin olumsuz sonuçları öngördürmek testimini değer ile 1 mg/dl'nin üzerindeki hs-CRP değerinin 6 aylık takip süresince gelişen olumsuz sonuçları belirlemektedeki etkinliğini karşılaştırmaktır.

Yöntem ve Bulgular: Çalışma grubuna Braunschweig sinif III kararsız angina ve ST elevasyonsuz miyokard infarktüsü tanısı ile yatırılan toplam 80 hasta (20 kadın, 60 erkek, yaş ortalaması 60 ± 10 yıl) aldı. Hastalardan başıvarı amında alınan kan örneklerinde serum hs-CRP düzeyleri Chemiluminescent IMMULITE One cihazıyla ölçüldü. Tüm hastalara 24-48 saatlik standart medikal tedavi altında erken invazif tedavi stratejisi uygulandı. Hastaların %8'si serezen takip edildi ve ölüm, ölümcül olmayan miyokard infarktüsü ve yatış gerektenek tekrarlayan angina, yeni koroner olay (YKO) olarak tanımlanarak çalışmanın sonlanım kriteri olarak kabul edildi. İzlem süresince hastaların 1'inde (%1,3) ölüm, 18'inde (%22,5) yatış gerektenek tekrarlayan angina ve bu 18 hastanın 3'ünde (%3,8) ölümcül olmayan miyokard infarktüsü olmak üzere toplam 19 YKO gerçekleşti. YKO gelişen kişilerde anlambil olarak farklı bulunan hs-CRP seviyesi için olay gelişimini saptamada kullanılabilecek testimini değer ROC eğrisi analizi ile belirlemeden 0,9 mg/dl'de tespit etti. Hs-CRP seviyesi 0,9 mg/dl'nin üzerinde olan 12 hastanın 10 (%83) tanesinde YKO gelişti, bu değerin altında hs-CRP seviyesi olan 49 kişinin 9'unda (%18) YKO gelişimi mevcuttu ($p=0,005$). Hs-CRP seviyesi 1 mg/dl'nin üzerinde olan 12 hastanın 8'inde (%66) YKO gelişti, bu değerin altında hs-CRP seviyesine sahip 49 hastanın 11'inde (%22) YKO geliştiği izlendi. ($p=0,04$).

Sonuçlar: NSTEAKS tanısı alan ve hs-CRP seviyesi 0,9 mg/dl'nin üzerindeki bireyleerde 1 mg/dl'nin üzerinde hs-CRP seviyesi olanlara göre YKO sıklığını dalla fıtla saptanamaz, bazı kılavuzlarda belirtilen 1 mg/dl'den daha düşük seviyedeki hs-CRP değerlerinin de vasküler risk için dikkate alınması gerekliliğini düşündürmektedir.

P-39

NORMAL VE CİDDİ KORONER ARTER HASTALIKLı OLGULARDA KORONER ARTER ŞEKLİNİN SIKLIĞI VE ÖNEMİ

Recep Demirbağ, Remzi Yılmaz

Harran Üniversitesi Tıp Fakültesi, Kardiyoloji Anabilim Dalı, Şanlıurfa

Giriş ve Amaç: Koroner arter hastalıkları (KAH) etiyolojisinde bilinen nedenler dışında angiografide tespit edilen koroner arter şeklinin de etkili olduğu bildirilmektedir. Düz sağ koroner artere sahip olgularda kıvrımlı sağ koroner artere sahip olgularda göre sağ koronerde daha fazla aterosklerotik tutulum gösterilmiştir. Koronerler normal ve ciddi hastalık tespit edilen olgularda koroner arter şekillerini karşılaştırmayı planladık.

Metod: Koroner angiografisi yapılan olgularda bypass operasyonu geçirmeyen, konjenital kalp ve kapak hastalığı ile dilate kardiyomiopatisi olmayan 330 hasta (E/K;162/168, yaş ortalaması 55 ± 11 yıl) çalışmaya aldı. Koroner angiografide en az bir damarda % 50 ve üzerinde darlık ciddi KAH olarak tanımlandı. Olgular ciddi KAH olanlar (Grup I, 168 olgu) ve normal (Grup II, 162 olgu) olmak üzere iki gruba ayrıldı. Her üç koroner arter en iyi görüldüğü pozisyonda düz seyir izleyenler düz, düz olmayan ve kıvrımlı derinliği kıvrım öncesi ve sonrası arasındaki mesafeden fazla olanlar kıvrımlı olarak sınıflandırıldı.

Bulgular: Yaş, cinsiyet, sigara, beden kitle indeksi ve kolesterol değerleri Grup I de anamli derecede yüksek iken diğer KAH risk faktörleri benzerdi.

Düz sağ koroner, düz sol onen koroner ve düz sol sirkumflex koroner arter sikliği ciddi KAH grubunda daha yüksekti (Grup I ve II de sırasıyla; %87 ve %57, %79 ve %49, %82 ve %55, $P<0,001$, her üç parametre içinde).

Coklu regresyon analizinde yaş ($P=0,001$), erkek cinsiyet ($P<0,001$), sigara içme ($P=0,002$) ve koroner şekli (her üç koroner arter içinde, $P<0,001$) ciddi KAH'ı gösteren bağımsız parametrelerdir. Ciddi KAH'ı göstermede koroner şeklinin sensitivite ve spesifite değerleri sırayla %79 ve %46 dur.

Sonuç: Ciddi KAH'lı grupta düz, normal grupta kıvrımlı koroner arterlerin sık saptanması KAH etiyolojisinde damar şeklinin de etkili olduğu sonucunu desteklemektedir.

P-40

AKUT MİYOKARD İNFARKTÜSÜ BAŞLANGIC ZAMANI İLE METILENTETRAFOLAT REDÜKTAZ GEN MUTASYONUNUN İLİŞKİSİ

Merih Baykan

Karadeniz Teknik Üniversitesi Tıp Fakültesi, Kardiyoloji Anabilim Dalı, Trabzon

Amaç: Metilentetrafolat redüktaz (MTHFR) enzimi homosistein metabolizmasında rol oynayan bir enzimdir. Homosisteinden bir metil grubu kopararak onu metionine çevirir. Böylece plazma homosistein düzeyini düşürür. Bu enzimi kodlayan gene ait mutasyon sıkılır. MTHFR gen mutasyonunun akut miyokard infarktüsü (AMI) gelişimi riskini artırdığı bazi çalışmalarla gösterilmiştir. Akut miyokard infarktüsü (AMI)'nun 6:00 ile 12:00 saatler arasında daha sık görüldüğü ve bu durumun sempatik sinir sistemindeki sirkadiyen varyasyon, kan basıncı ve kalp hızı değişiklikleri, hemostatik durumda anormalliklerle ilişkili olabileceği rapor edilmiştir. Çalışmamızda AMİ başlangıç zamanına göre hastalar 2 gruba ayrılarak gruplar arasında MTHFR gen mutasyonu bakımından farklılık olup olmadığını araştırdık.

Yöntem: Çalışmaya AMİ tanısı ile koroner yoğun bakımı ünitesine kabul edilen, yaş ortalaması 58 ± 10 , 43 erkek, 19 kadın toplam 62 hasta alındı. Hastalar AMİ başlangıç saatı 6:00 ile 12:00 arasında olanlar grup I, AMİ günün diğer saatlerinde gelişenler grup II olmak üzere iki gruba ayrıldı. MTHFR gen mutasyonu PCR metodu ile belirlendi. MTHFR enzim poliformalı, homozigot normal, homozigot mutant ve heterozigot olarak sınıflandırıldı.

Bulgular: Grup I'de; yaş ortalaması 61 ± 11 olan, 16'i erkek, 8'si kadın toplam 24, grup II'de; yaş ortalaması 56 ± 8 olan, 27'i erkek, 11'i kadın toplam 38 hasta vardı. Grup I'deki hastaların yaş ortalaması ($p=0,03$) ve hipertansiyon sıklığı daha fazla ($p=0,03$) idi. Gruplar arasında cinsiyet, sigara kullanımı, diabetes mellitus, aile öyküsü, hiperlipidemi, AMİ lokalizasyonu bakımından farklılık yoktu ($p>0,05$). Grup I'deki hastaların tespiti edildi ($p>0,05$). Heterozigot MTHFR gen mutasyonu ise grup I'deki hastaların 3'tünde, grup II'deki hastaların 8'inde tespit edildi ($p>0,05$). Grup I'deki hastaların 22'inde, grup II'deki hastaların ise 26'sında normal genotip bulundu.

Sonuç: MTHFR gen mutasyonu, saat 6:00-12:00 arasında ve günün diğer saatlerinde AMİ geçiren hastalar arasında benzer olarak bulundu.

Koroner Arter Hastalığı ve Dislipidemi

P-41

TOPLUMUMUZDA ASPIRİN DİRENCİNİN SIKLIĞI

Alp Aydinalp, Oykü Gülmek, Muarrem Yiçel*, Sadık Acikel, Çağtay Ertan, Taner Ulus, İlyas Atar, Haldun Müdderrisoğlu

Başkent Üniversitesi Tıp Fakültesi, Kardiyoloji Anabilim Dalı, Ankara
Başkent Üniversitesi Tıp Fakültesi, Ankara*

Amaç: Aspirin akut koroner sendromları ve cerebrovasküler olayları önlemek amacıyla proflaktik olarak dünyada ve ülkemizde yaygın olarak kullanılmaktadır. Bu çalışmanın amacı hasta topluluğumuzda aspirin direncinin sikliğini belirlemektir.

Metod: Hastanemizin polikliniklerine tedavi ve takip amacıyla başvuran en az üç ay süre ile 100-300 mg arası dozlarda aspirin kullanan, başka antikoagulan veya antiagreganlar kullanmayan hastalar çalışmaya alınmıştır. PFA-100'ü temeli ile kanama zamamı-epinefrin ve kanama zamamı-ADP ölçümüleri yapılarak aspirin kullanımının etkili olup olmadığı ölçülmüştür.

Bulgular: Çalışmaya alınan 80 hastanın 35'i (% 44) kadın, 45'i (% 56) erkek (ortalama yaşı 63). Bu hastaların 16'sında (%20) aspirin direnci saptandı. Aspirin direnci saptanan hastaların 11'i (%69) kadın 5'i (%31) erkek. Direnç saptanan hastaların 6'sı (%37) 300 mg, 10'u (%63) 100 mg, aspirin kullanıyordu, yine 6'sı (%37) diabetikti.

Sonuç: Hasta populasyonumuzda aspirin direncinin sikliği % 20 olarak tespit edildi. Kadın hastalarda ve düşük doz aspirin kullanlanlarda aspirin direnci sık görüldü.

Aspirin Direncinin Doz ve Cinsiyete Göre Dağılımı

	K-z-Epinefrin<165sn	K-z-Epinefrin<165sn	K-z-Epinefrin>165sn	K-z-Epinefrin>165sn	%Aspirin Direnci	%Aspirin Direnci
Aspirin Dozu	Kadın	Erkek	Kadın	Erkek	Kadın	Erkek
100 mg	8	2	11	17	42	11
300 mg	3	3	13	23	19	12

Aspirin direnci dozdan bağımsız olarak kadınlarda erkeklerden daha sık görüldü. Düşük doz aspirin kullanan kadın hastalarda (100 mg) aspirin direnci en yüksekti (%42). K-z=kanama zamamı

P-43

ST ELEVASYONSUZ AKUT KORONER SENDROMLARDA ARTMIŞ TROPONİN-I DÜZEYLERİNİN "SOLUBLE" P-SELEKTİN İLE İLİŞKİSİ

Mustafa Yazıcı, Sabri Demircan, Kenan Durna, Mahmut Şahin

Ondokuz Mayıs Üniversitesi Tıp Fakültesi, Kardiyoloji Anabilim Dalı, Samsun

Amaç: Bu çalışmanın amacı, ST elevasyonsuz akut koroner sendromlu (NSTE-AKS) hastalarda yüksek troponin-I seviyelerinin koagulasyon aktivasyonu ile ilişkisini ve soluble P-selektin (sP-selektin) düzeylerinin bu süreçteki rolünü araştırmaktır.

Metod: Çalışmaya, NSTE-AKS ile başvuran 202 ardışık hasta aldı. Başvuruarda, troponin-I, sP-selektin, vWF, fibrinojen, plazminojen, PAI-1 ve t-PA düzeyleri ölçüldü. Troponin-I düzeyi 0,2 ng/ml'nin altındaki 129 hasta troponin negatif, 0,2 ng/ml ve üzerindeki 73 hasta troponin pozitif olarak gruplandırdı. Koroner anjiyografi ve Gensini skoru ile koroner arter hastalığının şiddeti belirlendi.

Bulgular: Soluble P-selektin düzeyleri; troponin pozitif hastalarda daha yükseldi ($p<0.001$) ve troponin düzeyleri ile pozitif yönde anlamlı olarak ilişkiliydi ($r=0.313$, $p<0.005$). Troponin pozitif hastalarda fibrinojen ($p<0.001$), plazminojen ($p<0.001$) ve PAI-1 ($p<0.026$) düzeyleri ise daha düşük olarak saptandı. Bu göstergelerin hepsi sP-selektin düzeyleri ile anlamlı derecede ilişkili bulundu, ($p<0.001$) vWF düzeyleri ($p=0.379$) ve Gensini skoru ($p=0.107$) ise her iki grupta benzer bulundu. Troponin pozitif grupta sP-selektin düzeyleri ile Gensini skoru arasında güçlü bir ilişki varken, ($p=0.004$), bu ilişki Tn-I negatif grupta daha az belirgindi, ($p=0.047$). Regresyon analizinde sP-selektin düzeylerinin Tn pozitifliğinin bağımsız bir $=0.295$, OR=1.05, p-prediktörü olduğu saptandı. (<0.001).

Sonuç: Bu çalışmanın bulguları, NSTE-AKS hastalardaki troponin-I artışı, yüksek plazma soluble P-selektin seviyelerinin rolü olduğunu düşündürmektedir.

P-42

KRONİK TOTAL OKLÜZYONDA PLAZMA HOMOSİSTEİN DÜZEYİNİN KOLLATERAL OLUŞUMU ÜZERİNE ETKİSİ

Nurten Sayar, Sait Terzi, Tamer Akbulut, Tuba Bilsel, Mehmet Ergelen, Nazmiye Çakmak, Lütfullü Öi hon, Şennur Ünal Dayı, İsmail Erdem, Arda Şanlı, Emine Çakçak, Kemal Yeşilçimen

Siyami Ersek Hastanesi, İstanbul

Amaç: Homosistein, sülfit içeren bir aminoasit olup methionine sentezinde yer almaktadır. Yapılan in-vitro ve in-vivo çalışmalar homosistein anjiyogenesi olumsuz yönde etkilediğini göstermiştir. Bu çalışmanın amacı kronik total oklüzyon olan tek damar hastalarında plazma homosistein düzeylerinin kollateral oluşumu üzerine etkisini araştırmaktır. Yöntem: Çalışma Nisan 2003- Ocak 2004 tarihleri arasında gerçekleşmiştir. Koroner anjiyografiye herhangi nedenle refere edilen hastalar sırasıyla çalışmaya alınmıştır. Çalışmaya alınma kriterleri: Tek damar total oklüzyon olması, diğer damarlarda % 50 ve üzeri darlık olmasıdır. Kreatinin $>1,5$ mg/dl üzeri olan hastalar, 3 ay öncesinden daha kısa sürede miyokard infarktüs öyküsü olan hastalar ve ventrikülografiye ejeksiyon fraksiyonu %40 ve altında olan hastalar çalışmaya alınmadı. Tüm hastalardan açlık venöz kan alınıp, plazma - 20 derecede saklandı. Rentrop sınıflamasına göre 0 ve 1 kötü kollateral, 2 ve 3 iyi kollateral olarak gruplandırıldı. Bulgular: Çalışmaya 13 kadın (%23) olmak üzere toplam 56 hasta aldı. Yaş aralığı 27-78 idi. İyi kollateral grubunda 35 vakâ bulunurken, kötü kollateral grubu 21 vakadan oluşmaktadır. Her iki grubun demografik özelliklerini benzer olup arada istatistiksel anlamlı fark bulunmamıştır. Plazma homosistein düzeyleri normal koroner arterlere sahip kontrollerde 8.6 ± 3.27 mol/L iken, koroner arter hastalarında 19.03 ± 14.37 mol/L bulundu. Aradaki fark anlamlı idi ($p=0.017$). Plazma homosistein düzeyi kötü kollateral grupta 17.9 ± 13.81 mol/L iken iyi kollateral grupta 16.01 ± 9.87 mol/L olup arada anlamlı fark bulunmamıştır ($p=NS$).

Sonuç: Plazma homosistein iyi kollateral veya kötü kollateral olusan tek damar total oklüzyonlarında benzer bulunmuştur. Plazma homosistein düzeyinin kollateral oluşumu üzerinde olumsuz etkisi bulunmamaktadır.

P-44

KARARSIZ ANGINALI HASTALARDA KAN LEPTİN SEVİYELERİ TROPONİN DÜZEYLERİYLE İLİŞKİLİ MIDİR?

Mustafa Gür, Abdurrahman Oğuzhan, Mustafa Çalışkan, İbrahim Özdoğu, Ali Gül, İbrahim Gül, Hüseyin Kattalur, Yücel Yılmaz, Ramazan Topsakal, Nihat Kalay

Erciyes Üniversitesi Tip Fakültesi, Kardiyoloji Anabilim Dalı, Kayseri

Giriş ve Amaç: Troponin pozitifliğinin kararsız anjinalı hastalarda yüksek riskli olguları belirlemeye önemli olduğu olduğu çeşitli çalışmalar göstermiştir. Troponin pozitif olan hastaların erken girişimsel tedavi açısından değerlendirilmesi gerekmektedir. Çalışmamızın amacı kararsız anjinalı hastalarda leptin seviyeleriyle troponin ilişkisini araştırmaktır. Materyal ve Metod: Çalışmaya kararsız anjina tanısıyla 79 hasta (21 bayan, 58 erkek, yaş ortalamaları 60 ± 16), 50 sağlam kontrol grubu (25 erkek, 25 kadın, yaş ortalamaları 54 ± 17) alındı. Hastaların koroner arter hastalığı tanısı koroner anjiyografi ile doğrulandı. Kontrol grubu koroner anjiyografileri normal olan bireylerden seçildi. Hastalardan yaşının ikinci gününde 12 saat arlığı takiben sabah leptin ve CRP için kan örnekleri alındı. Hastaların vücut kitle indeksleri ve risk faktörleri kaydedildi.

Bulgular: Vücut kitle indeksine, yaşı ve cinsiyete göre düzeltilmiş leptin seviyeleri kararsız anjina grubunda kontrol grubuna göre anlamlı olarak daha yüksek bulundu ($p<0.05$, kararsız anjina leptin = 31.9 ± 3.4 ng/ml, kontrol grubu leptin = 7.9 ± 4.5 ng/ml). Troponin pozitifliği ile leptin seviyeleri arasında anlamlı pozitif ilişki bulundu ($r=+0.450$, $p<0.05$). Sonuç: Kararsız anjinalı hastalarda leptinin troponin ile anlamlı ilişkisi leptinin de troponin gibi koroner arter hastalığı için yüksek riskli hastaları belirlemeye bir belirteç olabileceği düşünülmektedir.

Koroner Arter Hastalığı ve Dislipidemi

P-45

AÇLIK İNSÜLN DÜZEYİ VE İNSÜLN DİRENCİNİN DİYABETİK OLMIYAN HASTALARDA KORONER ARTER HASTALIĞI İLE İLİŞKİSİ

Mesut Demir, Yurdaer Dönmez, Mehmet Kanadaş, Murat Sert*, Mahir Avkaroğulları, Onur Akpinar, Murat Çaylı, Ayhan Ural

Çukurova Üniversitesi Tıp Fakültesi, Kardiyoloji Anabilim Dalı, İç Hastalıkları Anabilim Dalı*, Adana

Amaç: Açıklı insülinin düzeyi ve insülin direnci ile koroner arter hastalığı (KAH) arasındaki ilişki hakkında çeşitli görüşler bulunmaktadır. Bazı yazarlar insülinin düzeyi yüksekliği ve insülin direncinin metabolik sendrom faktörleri ile birlikte bulunduğuunda KAH gelişimini hızlandırdığını bildirmektedirler. Çalışmamızın amacı diyabetes mellitusu (DM) olmayan hastalarda plazma insülinin düzeyi ve insülin direncinin KAH üzerindeki etkisini araştırmaktır.

Yöntemler: Göğüs ağrısı şikayeti ile klinikimize başvuran ve elektif koroner anjografisi yapılan 95 hasta çalışmamızda dahil edildi. Hastalar KAH ve metabolik sendromu (MS) olmayan 26 hasta (Grup I), KAH olan, MS'lu olmayan 41 hasta (Grup II) ve hem KAH hem de MS'lu olan 28 hasta (Grup III) olarak 3 gruba ayrıldı. Tüm olguların koroner arter hastalığı risk faktörleri sorgulandı, metabolik sendrom varlığı araştırıldı. 12 saatlik akciğer sonrası venöz kandan kan şekeri, total kolesterol (TK), LDL kolesterol (LDL-K), HDL kolesterol (HDL-K), triglycerid (TG) ve insülinin düzeyleri ölçüldü. HOMA formülü ile insülinin direnci hesaplandı. Epikardiyal arterlerde %50 ve üzeri darlık olması KAH olarak kabul edildi.

Bulgular: Hipertansiyon sıklığı grup III'te diğer iki gruptan daha fazlaydı ($p<0.05$). Aile öyküsü varlığı da grup II ve III'te daha yüksek bulundu ($p<0.05$). Triglycerid, insülinin düzeyi, insülin direnci ve TK/HDL-K oranı grup III'de diğer iki gruba göre daha fazla saptandı ($p<0.05$). HDL kolesterol düzeyi ise bu grupta daha düşük olarak bulundu ($p<0.05$). Koroner arter hastalığı açısından tek ve çok değişkenli regresyon analizi yapıldığında ise insülinin düzeyi ve direncinin gruplar arasında farklı olmadığı saptandı. Sonuç: Plazma insülinin düzeyi yüksekliği ve insülinin direnci koroner arter hastalığı gelişimi için bağımsız bir risk faktörü olarak ele alınmamaktadır. Metabolik sendrom parametreleri varlığında koroner arter hastalığı gelişimini hızlandırdıkları bilinmektedir.

P-47

AKUT MİYOKARD İNFARKTÜSÜNDE REPERFÜZYON İLE HEMATOLOJİK PARAMETRELER ARASINDA İLİŞKİ VAR MI?

Merih Baykan, Cihan Örem, İsmet Durmuş, Mehmet Küçükosmanoğlu, Turan Erdoğan, Elif Akdoğan*, Şükür Çelik

Karadeniz Teknik Üniversitesi Tıp Fakültesi, Kardiyoloji Anabilim Dalı, Karadeniz Teknik Üniversitesi Tıp Fakültesi*, Trabzon

Amaç: Çalışmamızda ST segment elevasyonlu akut miyokard infarktüsü (AMI) tanısı alarak fibrinolitik tedavi uygulanan hastalarda, reperfüzyon gözlenen ve gözlenmeyen gruplar arasında plazma antitrombin III, doku plazminojen aktivatörü (TPA), plazminojen aktivatör inhibitori-1 (PAI-1), von Willebrand faktörü (vWBF), protein C düzeyleri bakımından farklılık olup olmadığını araştırdık. **Yöntem:** Çalışmaya AMİ tanısı ile koroner yoğun bakım ünitesine kabul edilen, yaş ortalaması 58±10 olan, 61 erkek, 9 kadın toplam 70 hasta aldı. Hastaların tümüne fibrinolitik tedavi uygulandı. Reperfüzyon kriteri olarak 1. 90.dk'da toplam "ST segment" yükselmesinin ≥50 düzeyinde rezolusyon göstermesi, 2. CK'ın 12 saatte pik yapması, 3. CK-MB, Troponin T veya miyoglobin'in 60. dk'daki değerinin, bazal değere göre ≥5 düzeyinde olması. 4. Ağrının tamamen geçmesi kullanıldı. İki kriterin mevcudiyeti reperfüzyon lehine değerlendirildi. Hastalar reperfüzyon gözlenen (grup I) ve gözlenmeyen (grup II) olmak üzere 2 gruba ayrıldı. Tüm hastalardan fibrinolitik tedavi sonrası alınan venöz kandan antitrombin III, TPA, PAI-1, vWBF ve protein C düzeylerine bakıldı. **Bulgular:** Grup I'de; yaş ortalaması 58±9 olan, 31'erkek, 7'si kadın toplam 38. grupta; yaş ortalaması 58±11 olan, 30'erkek, 2'si kadın toplam 32 hasta vardı. Gruplar arasında yaş, cinsiyet, hipertansiyon, sigara kullanımı, diabetes mellitus, aile öyküsü, hiperlipidemi, AMİ lokalizasyonu, verilen fibrinolitik tedavinin çeşidi, fibrinolitik tedavi verilenle kadar geçen süre bakımından farklılık yoktu ($p>0.05$). Antitrombin III düzeyi grup I'de 30,7±7 mg/dl, grup II'de 33±8 mg/dl ($p>0.05$), TPA düzeyi grup I'de 14,4±5 ng/ml, grup II'de 3,8±6 ng/ml ($p>0.05$), PAI-1 grub I'de 30,4±10 ng/ml, grub II'de 27,6±9 ng/ml ($p>0.05$) olarak bulundu. vWBF faktör düzeyi ise grup I ve grup II'de sırasıyla %118,2±35, %108±27 ($p>0.05$), protein C düzeyi ise grup I ve grup II'de %96,7±32 ve %109,5±34 ($p>0.05$) olarak tespit edildi. Gruplar arasında bakılan parametreler bakımından anlamlı farklılıklar gözlenmedi.

Sonuç: Akut miyokard infarktüsü sonrası fibrinolitik tedavi uygulanan hastalarda, antitrombin III, TPA, PAI-1, vWBF, protein C düzeyleri reperfüzyon gözlenen ve gözlenmeyen hastalar arasında farklı bulunmadı. Bu durum hasta sayısının azlığı ile ilişkili olabilir. Daha fazla sayıda hasta ile yapılan çalışmalarla ihtiyac vardır.

P-46

METABOLİK SENDROM'LÜ HASTALARDA YAVAŞ KORONER KAN AKIMIN 'THROMBOLYSIS IN MYOCARDIAL INFARCTION' (TIMI) "FRAME" SAYISI İLE DÖKÜMENTASYONU

Ayşe Saatçi Yaşa, Hasan Turhan*, Ali Rıza Erbay, Asuman Biçer, Hatice Şaşmaz, Ertan Yetkin*

Türkiye Yüksek İhtisas Hastanesi, Kardiyoloji Kliniği, Ankara İnnövit Üniversitesi Turgut Özal Tip Merkezi, Kardiyoloji Anabilim Dalı, Malatya*

Amaç: Metabolik sendrom glükoz ve insülin metabolizma bozukluğu, aşırı kilo, samotra obezite, hafif dislipidemi ve hipertansiyon gibi çok sayıda koroner arter hastalığı için risk faktörü taşımaktadır. Metabolik sendrom'a eşlik eden kardiyovasküler risk faktörlerinin çoğu endotel disfonksiyonu ile ilişkilidir. Endotel epikardiyal ve mikrovasküler düzeyde koroner vasküler tonusun düzenlenmesinde önemli rol oynar. Thrombolysis In Myocardial Infarction (TIMI) frame sayısı koroner kan akımını kantitatif olarak değerlendirmek için basit bir klinik yöntemdir. TIMI frame sayısı ile hesaplanan koroner akım hızlarının floryate kater ile ölçulen değerlerle korelesyon gösterdiği bildirilmiştir. Bu çalışmada amacımız angiografik olarak normal koroner arterlere sahip metabolik sendromlu hastalarda TIMI frame sayısı yöntemiyle koroner kan akım hızlarını değerlendirmektir.

Yöntemler: Çalışmaya angiografik olarak normal koroner arterlere sahip ve metabolik sendrom tanısı konmuş 42 hasta (13 erkek, 29 bayan, ortalaması yaşı=49±7 yıl) ve angiografik olarak normal koroner arterlere sahip metabolik sendromlu bulunmayan 42 birey (16 erkek, 26 bayan, ortalaması yaşı=49±6 yıl) dahil edildi. Metabolik sendrom tanısı ATP llt kriterlerine göre konuldu. Çalışmaya dahil edilen tüm bireylere her üçüncü epikardiyal koroner artere ait koroner akım hızları TIMI frame sayısı metodu kullanılarak hesaplandı. **Bulgular:** Hasta ve kontrol grubu arasında yaş ve cinsiyet yönünden fark yoktu ($p>0.05$). Metabolik sendromlu bulunan gruba ait TIMI frame sayıları metabolik sendromlu bulunmayan gruba karşılaştırıldığında istatistiksel olarak anlamlı düzeyde daha yüksek bulundu (tablo).

Sonuç: Biz bu çalışmada angiografik olarak normal koroner arterlere sahip metabolik sendromlu bulunan hastaların, metabolik sendromlu bulunmayan kontrol bireyleyle karşılaştırıldığında daha yavaş koroner kan akımı sahip oldukları TIMI frame sayısı teknilini kullanılarak gösterdi. Endotel özellikle mikrovasküler düzeyde koroner vasküler tonusu ayarlayarak koroner kan akım hızını tayin eder. Metabolik sendromlu hastalarda angiografik olarak normal koroner yapıya yavaş koroner akımı ve hızlı mikrovasküler düzeye endotel hasarı ve disfonksiyonunun bir göstergesi olabilir.

Tablo. TIMI frame sayılarının karşılaştırılması

	Kontrol grubu	Metabolik sendrom	p
LAD	25±7	35±7	<0.001
LCx	25±7	32±9	<0.001
RCA	24±5	31±9	<0.001

LAD: Sol ön inen koroner arter, LCx: Sol sıri kümpleks arter,

RCA: Sağ koroner arter

P-48

PERİODONTAL HASTALIKLAR İLE KORONER ARTER HASTALIGININ YAYIGINLIĞI ARASINDA BİR İLİŞKİ VAR MI?

Osman Yesildağ, Diyar Köprülü, Murat Meriç, Zeydin Acar, Gökhan Açıkgöz

Ondokuz Mayıs Üniversitesi Tıp Fakültesi, Samsun

Amaç: Periodontal hastalıklar (PH) ve diş kaybı koroner arter hastalığının (KAH) risk faktörleri arasında sayılmalıdır. Bu çalışmanın amacı koroner arter hastalığı yaygınlığıyla periodontal hastalıklar arasındaki ilişkiye ışķurmak.

Metod: Göğüs ağrısı ile başvurup tanı amacıyla koroner anjografisi yapılan hastalardan koroner damar lezyonu saptanan 50 hasta ve 18 sağlıklı birey periodontal hastalıklar açısından karşılaştırıldı. KAH hastalığı yaygınlığı genetik skoruya değerlendirildi. Tüm hastaların kontrol grubu dahil fizik muayenesi, rutin laboratuvar testleri ve periodontal muayenesi yapıldı. Periodontal parametrelerden plak indeksi(PI), gingiva indeksi (GI), cep derinliği (CD) ve klinik attachment (KAS) seviyeleri hasta ve kontrol grubuna ayrı ayrı değerlendirildi.

Bulgular: KAH olan hastalarda kontrol grubuna göre cep derinliği daha fazla saptandı ($p=0.02$). KAH yaygınlığı ve PH arasında korelasyon bulunmadı ($p=0.2$). KAH ile diş sayısı arasında korelasyon bulunmadı ($p=0.25$). PH'da inflamasyon markerinden PI ile HDL arasında güçlü ters korelasyon saptandı ($R=0.08$, $p<0.001$).

Sonuç: Çalışmamızda KAH ile PH arasında ilişki saptandı ancak koroner aterosklerozun şiddetle korelasyon bulunamadı. Periodontal inflamasyon markerlerinden PI ile HDL arasında güçlü ters korelasyon saptandı.

Tablo 1. Dental parametrelerin göre hasta grubuya kontrol grubu arasındaki karşılaştırma (CD:Cep derinliği)

	Kontrol grubu	Tek damar hastalığı	2 damar hastalığı	3 damar hastalığı	P
Diş sayısı<15	1 (9.1%)	8(72.7%)	1(9.1%)	1(9.1%)	0.2
Diş sayısı>15	16(28.6%)	24(42.9%)	13(23.2%)	4(6%)	0.2
CD	2,22±0,11	2,67±0,14 (3 grubun ortalaması)	=	=	<0.02

Koroner Arter Hastalığı ve Dislipidemi

P-49

BETA-BOKER TEDAVİ İLE ANJİYOGRAFİK VE KLINİK DÜZELME SAĞLANAN MIYOKARDİYAL KÖPRÜLEME VAKASI

Fehmi Mercanoğlu, Oya Yonel*, Mehmet Meriç

İstanbul Üniversitesi İstanbul Tıp Fakültesi, Kardiyoloji Anabilim Dalı, İç Hastalıkları Anabilim Dalı*, İstanbul

Giriş ve Amaç: Miyokardiyal veya müsküler köprüleme ('bridge') koroner iskemisinin nadir sebeplerindendir. Ciddi iskemisi olan hastalarda cerrahi veya perkütan stent girişimlerinin faydalı olabildikleri bildirilmektedir. Miyokardiyal 'bridge' sebebiyle ciddi koroner iskemisi bulunan ve bu nedenle invazif tedavi girişimi planlananken beta-blocker tedavisi ile klinik ve anjiyografik olarak belirgin düzelleşme sağlanan vaka sunulmaktadır.

Vaka: Ellibeş yaşında kadın hasta 6 aydır devam etmekte olan tipik efor anginası şikayeti ile müracaat etti. Altı yıldır tip II diyabetes mellitus ve 5 yıldır hipertansiyon mevcut. ACE-Inhibitör, uzun etkili nitrat, aspirin ve stüdyonilüre şeklinde düzenlenen tedaviyi son 5 aydır uygulamaktadır. Fizik muayenesinde arter basıncı 110/70 mmHg, kalp hzı 76/dk bulundu. Biyokimyasal incelemesinde hafif dislipidemi (LDL-K: 108 mg/dl, HDL-K: 38 mg/dl, triglycerid 189 mg/dl) dışında özellik yoktu. Egzersiz testinde 4. dakikada V3-6 derivasyonlarında tipik angina ile birlikte 2 mm horizontal ST yükselişi gelişti. Koroner anjiyografide sol ön inen arter (LAD) orta kesiminde %90 darlığı yol açan müsküler 'bridge' görüldü. İşlem sırasında verilen IV nitrat ile darlık derecesi değişmedi. Tedaviye beta-blocker (metoprolol 100 mg, PO) ilave edildi. Müsküler 'bridge' gelişen bölgeye stent implantasyonu amacıyla 6 gün sonra tekrarlanan koroner anjiyografide LAD arterinde daha önce %90 darlığı yol açan 'bridge' bölgesindeki darlığın tamamen ortadan kaldırıldığı görüldü. İki gün sonra yapılan egzersiz testinde (7,5 dk) angina ve/veya ST yükselişi gelişmedi. Hastalar beta-blocker tedavi ve daha önce kutlandığı ilaçlarla takip edilmek üzere hastameden çıkarıldı. Altı ay sonra yapılan poliklinik kontrollünde bu süre içinde anginanın olmadığı anlaşıldı. Tekrarlanan egzersiz testi 'negatif' bulundu.

Sonuç: Nadir bir iskemi sebebi olan miyokardiyal köprüleme ('bridge') vakalarında invazif tedavi girişimleri denenmeden önce beta-blocker tedavi sonuçları beklenmedi, bu tedavi ile dramatik sonuçların alınabileceğinin hatırlanmalıdır.

P-50

MİYOKARD İNFAKTÜS LOKALİZASYONU İLE TROMBOLİTİK SONRASI ST REZOLUSYONU ARASINDAKI İLİŞKİ

Mohammed Habeb, Burçak Kılıçkıran Avcı, Vural Ali Vural, Zeki Öngen

İstanbul Üniversitesi Cerrahpaşa Tıp Fakültesi, Kardiyoloji Anabilim Dalı, İstanbul

Amaç: ST elevasyonlu akut koroner sendrom geçiren hastalara trombolitik uygulandıktan 90 dakika sonrası ST rezolusyonu ile infarktüsten sorumlu arterdeki (IRA) TIMI akımı arasındaki parallel bir korelasyon bulunmaktadır. Miyokard infarktüs sonrasında, IRA'de normal akımı olması durumunda, fakat ST rezolusyonu olmayanlarda mortalite ve kalp yetersizliği olanlara göre daha sık bilinmemektedir. Bu çalışmanın amacı MI geçiren hastalara trombolitik sonrası ST rezolusyonu ile MI lokalizasyonu arasındaki fark olup olmadığı araştırmaktadır.

Metod: ST elevasyonlu akut koroner sendrom geçiren 75 hastaya trombolitik uygulandı, bazal ve trombolitik bitimi 90. dakikada EKG çekildi ve ST rezolusyonu hesaplandı. ST rezolusyonu >70 ise tam rezolusyon, %30-70 kısmı rezolusyon, <30 ise rezolusyonuz yorumlandı. Sonuç: Ağrı-trombolitik zamanı ortalama olarak 245 dakika, 32(%42) hasta anterior miyokard infarktüs, 43(%58) hasta ise inferior miyokard infarktüs geçirmiştir, tüm hastalarda: tam ST rezolusyonu %44, kısmı ST rezolusyonu %39, rezolusyon olmayan ise %17 oranda saptandı. Tam rezolusyon inferior miyokard infarktüs geçiren hastalarda (%60), anterior miyokard infarktüs geçiren hastalarda ise (%22) anlamlı olarak daha fazladır (P:0.007) Tablo: MI lokalizasyonuna göre ST rezolusyon oranı.

Tartışma: 90 dakika trombolitik sonrası ST rezolusyonu inferior miyokard infarktüs geçiren hastaların, anterior miyokard infarktüs geçiren hastalara göre anlamlı olarak daha yüksek bulundu.

MI lokalizasyonuna göre ST rezolusyon oranı
ST tam rezolusyon oranından anlamlı olarak inferior MI geçiren hastalarda daha siktir

	<%30	%30-%70	>%70
anterior	9	16	7
inferior	4	13	26
total	13	29	33
P değeri	anlamlı değil	anlamlı değil	0.007

P-51

AKUT MİYOKARD İNFAKTÜSLÜ REPERFÜZYON TEDAVİSİ UYGULANAN HASTALARDA GELİŞ AGRI SÜRESİNİN ENZİM PROFİLİ VE KLINİK SONUÇLAR ÜZERİNE ETKİSİ

Ahmet Yıldız, Seçkin Pehlivanoglu*, Rasim Enar*

Ozel Gazi Hastanesi Kardiyoloji, İstanbul Üniversitesi Cerrahpaşa Tıp Fakültesi, Kardiyoloji Anabilim Dalı, İstanbul*

AMİ'de ağrı süresi reperfüzyon tedavi stratejisinin belirlenmesinde ve başlarında önemli rol oynamaktadır. Bu çalışmada geliş ağrı süresinin enzim profili ve hastane içi klinik sonuçlara etkisi araştırıldı. (In this study we research the effect of presenting angina duration to enzyme profile and clinical outcome)

Yöntem (Methods): Geliş ağrı süresi (ağrı başlangıcından reperfüzyon tedavisi başlanıncaya dek olan süre) 180 dk üzerinde olan 84 hasta (grup A) ve ağrı süresi 180 dk altında olan 84 hasta (grup B) olmak üzere toplam 168 hasta çalışmaya dahil edildi. (Study population was composed of 168 patients who presenting angina duration is over the 180 minute (group A=84) and presenting angina duration under the 180 minute (group B=84).)

Bulgular (Results): Her iki grupta yaş, cinsiyet ve risk faktörleri benzerdi. (In two group age, gender and risk factor were similar.) Her iki grup arasında geliş fibrinojen ve CRP düzeyleri açısından fark yoktu. 72 saatteki CRP değeri grup A'da 9,7 mg/L, grup B'de ise 3,6 mg/L idi ve bu fark istatistiksel olarak anlamlı bulundu ($p=0,001$). Geliş ve 24. saat CPK-MB seviyeleri grup A'da 112 U/L ve 287 U/L, grup B'de 30 U/L ve 182 U/L olup gruplar arası fark istatistiksel olarak anlamlı idi ($p=0,07$, $p=0,01$). Grup A'da hastane içi ritim ve iletisi bozukluğu (%24 ve %17), İABP (%7 ve %0) ve pace maker (%5 ve %0), uygulaması post MI anjina pektoris (%22 ve %19) ve yatış süresi (9,9 gün ve 9,4 gün) daha fazla olmasına karşın fark istatistiksel olarak anlamlı degildi. Sol kalp yetmezliği ve/veya kardiyojenik şok grub A'da %17, grub B'de %0 bulunu (p=0,01). Reinfarktüs, rescue PTCA veya CABG sıklığı her iki grupta benzerdi. Mortalite A grubunda %5 ve B grubunda %0 idi (p=AD).

Sonuç: Reperfüzyon tedavisi uygulanan AMİ hastalarında, geliş ağrı süresinin uzun olması CRP düzeylerinin yüksek seyretmesine ve CPK-MB pikinin gecikmesine neden olmuştur. Bu grupta pompa yetersizliği ön planda olmak üzere hastane içi klinik olay sıklığı daha fazladır.

P-52

KORONER ATEROSKLOROZ VE AKUT MİYOKARD İNFAKTÜSÜNDE ORTALAMA TROMBOSIT HACMİNİN ÖNGÖRÜSEL DEĞERİ

Nurcan Kılıçlı Çamur, Refik Demirtunç, Cüneyt Konuralp*, Arzu Eskiser**, Yelda Başaran***

Haydarpaşa Numune Eğitim ve Araştırma Hastanesi, 3. Dahiliye Kliniği, Siyami Ersek Göğüs, KDC Merkezi, Kalp ve Damar Cerrahisi*, Koşuyolu Kalp Eğitim ve Araştırma Hastanesi**, Koşuyolu Kalp Eğitim ve Araştırma Hastanesi Kardiyoloji, İstanbul***

Amaç: Akut koroner sendromların esas sebebi olan intravasküler trombus oluşumunda trombositlerin önemli rolleri vardır. Trombositlerin hacmi arttıkça metabolik ve enzimatik olarak da aktif oldukları ve trombotik potansiyellerinin arttığı bilinmektedir. Bu çalışmada ortalama trombosit hacminin (OTH), koroner atheroskleroz ve akut miyokard infarktüsunun (AMI) kabul edilen risk faktörlerarasındaki yeri ve öngörüsü değerlendirilmüştür.

Yöntemler: Çalışmaya koroner anjiyografi tetkiki yapılmış 200 hasta alındı. Kontrol grubu (n=60) göğüs ağrısı olan, ancak koroner anjiyogramları normal bulunan hastalarдан oluştu. Koroner arter hastalığı koroner anjiyografi ile gösterilmiş olan hastalar klinik özelliklerine göre dört çalışma grubuna ayrıldı: Stabil angina pectoris (SAP) (n=35), anstabil angina pectoris (USA-P) (n=35), ST elevasyonlu MI (n=35) ve non-ST elevasyonlu MI (n=35). Tüm gruplar aşağıdaki parametreler açısından karşılaştırıldı: Yaş, cinsiyet, sigara kullanımı, diyet, hipertansiyon, aile hikayesi, hasta ömrü sayısı, lipid profili, tam kan sayımı, CK-MB, Troponin I ve OTH. Gruplar arasında anlamlı bulunan faktörler için multiregresyon analizi yapıldı.

Bulgular: Gruplar arasında yaş, diyet, hipertansiyon, ailede iskemik kalp hastalığı öyküsü, serum triglicerid, total-LDL-VLDL-HDL-Kolesterol ve hemoglobin düzeyleri, eritrosit, trombosit sayısı ve hematokrit değerleri, anjiyografide atherosklerotik lezyon saptanınan damar sayısı açısından anlamlı bir fark yoktu. Erkek cinsiyet ($p<0,01$), sigara içimi ($p<0,001$) ve lökosit sayısı ($p<0,001$) AMİ olan grupları yükseltti. OTH; AMİ grubunda, kontrol ($p<0,001$), SAP ($p<0,05$), USA-P ($p=0,05$) gruplarına göre ve anjiyografide damar lezyonu olan gruplarda olmayanlara göre ($p<0,001$) yükseltti. AMİ açısından anlamlı bulunan faktörler bir arada değerlendirildiğinde; yüksek OTH ($\geq 12fL$) ve lökosit sayısı, bağımsız bir risk faktörü olarak saptandı. Yüksek OTH ile CK-MB ve Troponin I pozitifliğinin, AMİ'nü belirleyen özellikleri sırasıyla %87 ve %70 olarak saptandı.

Sonuç: Çalışmamız, yüksek OTH'un koroner atheroskleroz ve AMİ'nin öngörülmesinde güvenilir bir marker olduğunu göstermiştir. Özellikle ortalamalı trombosit ömrünün 7-11 gün olduğu göz önünde bulundurulursa, OTH'un akut koroner sendromlarının öngörülmesinde ekstra avantajı olduğu ileri sürülebilir. Basit, ucuz, pratik ve hemen her laboratuvara yapılabilecek bir tetkik olduğu için OTH'un konvansiyonel risk faktörleri arasında alınmasını ve özellikle tercih edilen bir parametre olarak kabul edilmesini öneriyoruz.

Koroner Arter Hastalığı ve Dislipidemi

P-53

AKUT MİYOKARD İNFARKTÜSÜ GEÇİREN HASTALARDA N-ASETİL SİSTEİNİN OKSIDATİF STRES VE QT DİSPERSİYONU ÜZERİNE ETKİSİ

Tunay Sentürk, Dilek Yeşilbursa, Osman Akin Serdar, Zehra Serdar*, Saim Sağı, Hale Cordan

Uludağ Üniversitesi Tıp Fakültesi, Kardiyoloji Anabilim Dalı, Biyokimya Anabilim Dalı*, Bursa

Amaç: İskemî ve reperfüzyon sırasında reaktif oksijen ıritinlerinin aşırı üretimi, erken aritmileri içeren doku hasarının yol açmaktadır. Çeşitli çalışmalarla, antioksidanların iskemî-reperfüzyon hasarındaki zararlı etkileri olduğu bildirilmiştir. QT dispersiyonu bölgeleri polarizasyon farklılıklarını gösteren invaziv olmayan bir belirtice olarak kullanılmaktadır. Çalışmanın amacı, miyokard infarktüstünde ek tedavi olarak N-asetil sistein (NAS) malondialdehid (MDA) düzeyleri ile saptanan oksidatif stres, infarkt büyüklüğü ve QT dispersiyonu üzerine olan etkisinin değerlendirilmesidir.

Yöntemler: Akut miyokard infarktüsü geçiren hastalar, streptokinaz ile birlikte 24 saatte 15 gram N-asetil sistein alanlar ve almayanlar şeklinde iki gruba ayrıldı.

Biyokimyasal parametelerin ölçümlü için senî olarak alınan periferik venöz kan örnekleri kullanıldı. Kabulde, 4 saatte ve 24 saatte plazma malondialdehid düzeyleri ölçüldü.

Tüm hastaların başlangıçta, 4, ve 24 saatte 50 mm/sn ile elektrokardiografileri çekildi. QT dispersiyonları ve "Bazett" formülü ile hız göre düzeltilmiş QT dispersiyonları hesaplandı.

Bulgular: Hastaların yaş, cinsiyet, infarkt lokalizasyonu, trombolize kadar geçen süre, pik kreatin kinaz düzeyleri ile alaklı olarak tedaviler arasında farklılık yoktu. N-asetil sistein alan veya almayan hastalarda 1 ve 4. saatte maksimum ve minimum QT ve QTc süreleri açısından fark saptanmadı. Sadece 24. saatte NAS alan hastalarda hızla göre düzeltilmiş QT dispersiyonu (36.6 ± 8.3 msn), NAS almayan hastalarda (46.1 ± 17.7 msn) göre anlamlı olarak daha düşük ($p=0.03$). 24 saatte maksimum ve minimum QT ve QT dispersiyonu değerleri her iki grupta istatistiksel açıdan anlamlı farklılık göstermedi. Kabulde plazma MDA düzeyleri her iki grupta farklı değildi. N-asetil sistein ile tedavi edilen hastalarda, plazma MDA düzeyleri azaldıken, NAS ile tedavi edilmeyen hastalarda, plazma MDA düzeyleri 4. saat ve 24. saatte artış gösterdi (srasıyla $p<0.01$ ve $p<0.001$) (Tablo-1). Her iki grupta CK-MB düzeylerine göre infarkt alanında azalmaya gösteren bir bulgu saptanmadı.

Sonuç: Streptokinaz ile birlikte NAS kullanımının akut miyokard infarktüsü geçiren hastalarda anlamlı olarak oksidatif stresi azalttığı ve 24. saatte QTc dispersiyonunda alzalma yol açtığı ispatlanmıştır.

P-54

ST SEGMENT ELEVASYONLU MİYOKARD İNFARKTÜSÜNDE, YÜKSEK DOZ IV ENOKSAPARIN UYGULAMASI

Asife Şahinarslan, Yusuf Tavil, Fadime Şimşek, Sedat Türkoğlu, Ridvan Yalçın, Atilye Çengel

Gazi Üniversitesi Tıp Fakültesi, Kardiyoloji Anabilim Dalı, Ankara

Amaç: Son dönemde yapılan çalışmalarda fibrinolitik tedaviye ek olarak enoksaparin tedavisinin, standart heparin kadar etkili olduğu, hatta uzun dönemde klinik sonuç üzerinde daha olumlu etkilerle sahip olduğu gösterilmiştir. Ancak bazı çalışmalarla, istatistiksel olarak belirlenmiş olmasa da fibrinolitik ve antiagregan tedaviye ek olarak enoksaparin verilen hasta gruplarında, fraksiyonu olmayan heparin verilenlere göre daha yüksek kanama oranı saptanmıştır. Biz bu çalışmada klinigimize akut miyokard infarktüsü ile başvuran, fibrinolitik ve antiagregan tedaviye ek olarak yüksek doz iv enoksaparin verilen hastalarda kanama komplikasyonlarında artış olup olmadığı araştırmayı amaçladık.

Yöntem: Klinigimize akut ST segment elevasyonlu miyokard infarktüsü tanısı ile kabul edilen ve yükseltik doz iv enoksaparin uygulanan 57 hastanın klinik seyrini retrospektif olarak incelendi. Hastalarla geliste 1mg/kg olacak şekilde enoksaparin(iv) yapılmıştı. 12 saat sonra 1 mg/kg (sc) içinde 2 kez olsun üzere enoksaparin tedavisine devam edilmişti. Koroner anjografi yapılan 49 hastanın anjografiye izlenerek, koroner arterlerde açıklık oranı TIMI klasifikasiyonuna göre değerlendirildi.

Bulgular: Fibrinolitik tedaviye ek olarak yükseltik doz iv enoksaparin uygulanan 57 hastanın (10 kadın, 47 erkek) 24'üne streptokinaz, 33'üne t-PA uygulanmış. Hastalardan 20'si akut anterior miyokard infarktüsü tanısı ile, 37'si anterior olmayan miyokard infarktüsü tanısı ile klinigimize kabul edilmişti. Hastaların yaş ortalaması 54,0 (maksimum 75, minimum 33) idi ve 20'sinde hipertansiyon öyküsü mevcuttu. Ortalama hastanede kalp süresi 5,7 gün bulundu. Hastalardan 52'sinde fibrinolitik tedavi sonrası EKG'de ST segment resolusyonu saptandı (%92,9). 3 hastada ST segment resolusyonu sağlanamazken (%5,2); 2 hastada gec resolusyon (%3,5) izlendi. Koroner anjografi yapılan 49 hastanın 30'unda TIMI 3 akım (%61,2), 15'inde TIMI 2 akım (%30,6), ve 4'ünde TIMI 0 akım (%8,1) izlendi. 57 hastanın hiçbirinde TIMI kanama klasifikasiyonuna göre major kanama ortaya çıkmamıştı. 6 hasta minor kanama (2 gastrointestinal kanama, 2 makroskopik hematuri, 2 kasıkta hematom) izlendi (%10,5). Sonuç: Klinigimize başvuran hastalarda elde ettigimiz sonuçlar, fibrinolitik tedaviye ek olarak yükseltik doz iv enoksaparin uygulanan 75 yaşın altındaki hastalarda, kanama riskinin beklediği kadar yüksek olmadığını göstermiştir. Yüksek doz iv enoksaparin uygulanan hastalarda ST segment resolusyonu ve infarkt sorumlulu koroner arterdeki TIMI açıklık oranı bilinen değerlerden daha iyi bulunmuştur.

P-55

İNSÜLINE BAĞIMLI OLMAYAN DİYABETES MELLİTUS'LU HASTALARDA MİKROALBÜMİNÜRİ İLE SOL VENTRİKÜL FONKSİYONLARI VE EFOR TESTİNDE SAPTANAN İSKEMİ ARASINDAKI İLİŞKİNİN DEĞERLENDİRİLMESİ

M. Kılıçgedik, S. Aytekin, V. Aytekin, Z. D. Ersoylu, I.C.C Demiroğlu

Kadir Has Üniversitesi Tıp Fakültesi, Florence Nightingale Hastanesi Kardiyoloji Anabilim Dalı, İstanbul

Giriş ve amaç: Koroner arter hastalığı (KAH) riski, diyabetes mellitus (DM)'lu hastalarda çok yaygındır ve en sık ölüm nedenidir. DM'lu hastalarda KAH genellikle asemptomatik. Yüksek riskli DM'lu hastalar, tam olarak gösterecek, bir belirleyici ihtiyaç vardır. Kardiyovasküler olaylarda, bağımsız bir risk faktörü olduğu düşünülen, mikroalbuminürü (MA) üzerinde yoğunlaşmıştır. Bizi de çalışmamızda, insüline bağımlı olmayan diyabetes mellitus (NIDDM)'lu hastalarda MA ile sol ventrikül (SV) fonksiyonları ve efor testinde saptanan iskemi arasındaki ilişkisi araştırmaya amaçladık. Gereç ve Yöntem: Yaşları 45-75 arasında, yaş ortalaması $62,78 \pm 7,22$ olan, 35 yaşından sonra başlayan DM'lu olan ve beş yıldan daha uzun süre insülin kullanılmayan, kardiyak açıdan asemptomatik, 50 NIDDM'lu hasta çalışmaya alındı. Hastaların 36 (%72)'si kadın, 14 (%28)'ü erkekti. Her hastada iki farklı güne ait, sabah saat 8:00'den ertesi saat 8:00'e kadar olan 24 saatlik, iki ayrı idrar örneğinde MA bakıldı. Tüm hastalara ekokardiografi yapılarak, SV fonksiyonları ve egzersiz efor testi yapılarak iskemi araştırıldı. Bulgular ve Sonuç: MA düzeye 30 mg üzerinde olan [MA (+)] hastalarla, 30 mg'ın altında olan [MA (-)] hastalar, SV fonksiyonları açısından karşılaştırıldığında; SV sistolik fonksiyonları ve diastolik fonksiyonları açısından iki grup arasında, istatistiksel olarak anlamlı fark saptanmadı ($p=0.24$). Fakat iskemi açısından karşılaştırıldığında; MA (+) olan hastalarda iskemi oram %75, MA (-) olan hastalarda ise %31,6 olarak saptandı. Bu sonuç istatistiksel olarak ileri derecede anlamlı bulundu ($p=0.01$). Sonuç olarak, çalışmamızda; MA (+)'lı olan hastalarda, efor testi pozitifliğinin daha sık olduğunu saptadık. MA; yüksek riskli grubu belirlemek için, geleneksel risk faktörleri ile birlikte kullanılabilir.

ORTALAMA TROMBOSİT HACMİ (MPV) MİYOKARD İNFARKTÜSÜ İÇİN BİR RİSK FAKTORU MÜ?

Ahmet Uludağ, Bülent Çağlar, Müjdat Batur Canöz, Betül Canöz*, Habip Gedik

SSK İstanbul Eğitim Hastanesi, İstanbul
İstanbul Üniversitesi Kardiyoloji Enstitüsü, Kardiyoloji Anabilim Dalı, İstanbul*

Giriş: Koroner arterdeki aterosklerotik plak rüptürü sonrası görülen MI'ine yol açan trombus formasyonunda, trombositer oldukça önemli rol oynarlar. Ortalama trombosit volumünün (MPV) yüksekliği daha reaktif ve büyük trombositerin varlığını gösterir buda miyokard infarktüsü (MI) için bir risk faktörü olabilir. Trombosit hacmi ne kadar büyükse trombositer hemostatik olarak o kadar akutur. Koroner arterde başlangıçta oluşan bir plak rüptürü ve damar duvarındaki trombojenik materyalin trombositerle teması trombus oluşumunu presipite eden faktör olabilir. Plag'in protrombotik meyili ne olursa olsun, daha büyük ve daha reaktif trombositerler trombus oluşumu ve gelişimine katkısı olasılık vurur. Bu çalışmamızın amacı; trombosit fonksiyonlarının basit ve güvenilir bir parametresi olan ortalama trombosit hacminin (MPV), MI öncesi tansıyla koroner yoğun bakım ünitesinde takip edilen hastalardaki değerini araştırmaktır.

Gereç ve Yöntem: Koroner yoğun bakım ünitesinde AMI tanımla takip ve tedavi edilen 114 hasta (94 erkek, 20 kadın) ile 61 (33 erkek, 28 kadın) sağlıklı kontrol hasta çalışmaya alındı. MI tanısı tipik göğüs ağrısı, tipik elektrokardiografik bulgular ve/veyaenzim yüksekliği (CK-MB) ile konuldu. Akut dönemde başvuran hastalardan alınan kan örneklerinde, Coulter sayıcı ile ortalama trombosit hacimleri ve trombosit sayısı ölçüldü. Hastaların yaş, cinsiyet ve MI lokalizasyonları göz önüne alındı. İki grup verilerinin istatistiksel değerlendirilmesinde student t testi kullanılmıştır.

Bulgular: Koroner yoğun bakımındaki erkek hastaların yaş ortalaması $55,05$ bayanların ise $64,81$ iken kontrol grubundaki bayanların yaş ortalaması $53,46$; erkekler ise $55,79$ bulundu. AMI geçirmekte olan hastalardaki MPV ortalaması $11,512 \pm 1,08$ iken sağlıklı kontrollerde $10,161 \pm 1,08$ saptandı. İki grubun MPV ortalaması değerleri karşılaştırıldığında istatistiksel olarak anlamlı fark bulunmuştur ($p=0,0005$) AMI hasta grubundaki trombosit sayısı $215,63 \pm 54,427$ iken kontrol grubunda $280,342 \pm 105,577$ bulundu. İki grubun trombosit sayıları karşılaştırıldığında istatistiksel olarak anlamlı fark bulunmuştur. ($p=0,0055$) Sonuç: Yapılan bu çalışmada, miyokard infarktüsünün akut döneminde trombosit sayısının düşüşlüğü ve yüksek MPV'nin protrombotik durumun bir göstergesi olabileceğini saptandı. Sonuç olarak düşük trombosit sayısı ve yüksek MPV miyokard infarktüsü için major risk faktörü olabilir.

AORTA İNTİMA-MEDIA KALINLIĞININ TOTAL ANTIOKSIDAN KAPASİTEYLE İLİŞKİSİ

Recep Denirbaş¹, Remzi Yılmaz², Durmuş Ünlü³, Abdullah Uluçay⁴

Harran Üniversitesi Tıp Fakültesi, Kardiyoloji Anabilim Dalı, Şanlıurfa

Giriş ve Amaç: Ateroskleroz koroner damarlar dışında diğer damarları da etkileyen sistemik bir hastalıktır. Oksidatif stresin ateroskleroz patogenezinde rol oynamaktadır. Koroner arter hastalığı olanlar da karotis ve aorta intima-media kalınlığının (İMK) artığı bilinmektedir. Total antioksidan kapasite (TAOK) ve vücudun oksidatif stresse karşı tüm antioksidanların verdiği cevabı tek elde toplayan bir parametredir. Transozofajyal ekokardiografi (TEE) yapılan olgularda ile ölçülen aorta İMK ile TAOK arasında korelasyon araştırıldı.

Yöntem ve Bulgular: Çalışmaya değişik nedenlerle TEE yapılan, koroner ve periferik arter hastalığı, hipertansiyon ve diabeti olmayan 22 hasta (6 kadın, 16 erkek yaş ortalaması: 56 ± 10 yıl) alındı. TAOK ile aorta İMK arasındaki korelasyon Spearman'ın rho korelasyonu ile değerlendirildi. Aorta İMK 0.12 ± 0.19 cm arasında olup ortalama değeri 0.16 ± 0.09 cm ve total antioksidan kapasite ortalama 1.558 ± 0.326 mm Trolox Equiv./L olup 1.413 ± 1.703 mm Trolox Equiv./L arasında değişmektedir. Aorta İMK ile yapılan korelasyonda TAOK hariç diğer parametreler ile anlamlı korelasyonun olmadığı Tablo 1'de gösterilmektedir.

Sonuç: Total antioksidan kapasite ile aorta İMK arasında negatif bir korelasyon izlenmektedir. TAOK değerleri düştükçe aorta İMK artmaktadır.

Table 1. İntima-media kalınlığı ile TAOK ve diğer faktörler arası Korelasyon değerleri

	T	P
Albumin	-0.221	0.599
Vitamin B12	0.074	0.718
TAOK	-0.525	0.012
Ürik asit	0.283	0.190
Total Kolesterol	0.052	0.798
Triglicerid	0.038	0.850
LDL-Kolesterol	0.055	0.872
HDL-Kolesterol	0.124	0.565
Total Biliрубin	-0.190	0.498
hsCRP	0.015	0.950

SERUM HOMOSİSTEİN DÜZEYİNİN ÇOK DAMAR HASTALIĞI İLE İLİŞKİSİ

Cenk Conkbayır¹, Aydan Ongun², Deniz Kumbasar³, Eralp Tutar⁴, Çetin Erol⁵, Derviş Oral⁶

Ankara Üniversitesi Tıp Fakültesi, Kardiyoloji Anabilim Dalı, Ankara

Amaç: Artmış serum homosistein düzeyinin koroner ateroskleroz için sadece bağımsız bir risk faktörü olmadığı, aynı zamanda koroner ateroskleroz miktarı ve yaygınlığı ile de ilişkisinin olduğunu destekleyen veriler mevcuttur. Bu çalışmanın amacı, serum homosistein düzeylerinin, çok damar hastalığı ile ilişkisi olup olmadığını saptamamıdır.

Gereç ve Yöntem: Bu amaçla 101 hasta çalışmaya alındı. Koroner anjiyografi yapılan hastalarda, damar tutulumuna göre 3 skor belirlendi. Damar skoru(0-3 puan: 0-3 damar tutulumu), stenoz skoru (0-3 puan: koroner stenoz veya lezyonun yayılması ve stenoz şiddeti: 0:normal, 1: lezyon %50 nin altında, 2: darlık %50-75 arasında, 3: darlık %75'in üzerinde), yayılım skoru (0-3 puan: koroner arterdeki lezyon, segment tutulumuna göre puanlanması). Bu 3 skorun toplamından toplam darlık skoru elde edilmiştir. Verilerin istatistiksel analizi t-testi, Kruskal Wallis, Fisher kesin X2 testi kullanılarak yapılmıştır.

Bulgular: Tüm hastalar daha önce belirtilen toplam darlık skoruna göre hafif(Grup A), orta(Grup B) ve ağır(Grup C) koroner arter hastalığı olmak üzere 3 gruba ayrıldı. Kruskal Wallis Varyans analizi yöntemi ile 3 grup homosistein düzeylerini göre karşılaştırıldı. Orta (grup B) ve ağır (grup C) şiddette koroner arter hastalığı olan bireylerde, koroner arter hastalığı şiddeti hafif olan (Grup A) bireylere göre daha yüksek homosistein düzeyleri saptandı. Ancak bu farklılık Kruskal Wallis Varyans analizi yöntemi ile incelendiğinde istatistiksel olarak anlamlı bulunmadı (Grup A: $13,75 \pm 4,16$ mikromol / L, Grup B: $16,97 \pm 6,21$ mikromol / L, Grup C: $14,82 \pm 4,16$ mikromol / L, $p>0,05$).

Sonuç: Çalışmamızda çok damar tutulumu ile homosistein düzeyleri arasında bir ilişki saptanmamıştır.

PRİMER HİPERKOLESTEROLEMİLİ HASTALARDA FLUVASTATİN 80 MG KONTROLLÜ SALINIM FORMÜLASYONU TEDAVİSİNİN LDL-KOLESTEROL ÜZERİNE ERKEN DÖNEMDEKİ ETKİSİ

Barış İlerigelen¹, Yağız Üresin¹, Sema Güneri², Mustafa Şan³, Akın Serdar⁴, Hakan Kültürsay⁵, Sadi Gülləc⁶, Bülent Boyacı⁷, Nizamettin Toprak⁸, Dilek Ural⁹, Vedat Sansoy¹⁰, Mahmut Şahin¹¹, Enverullah Başar¹², Ayşe Belge¹³, Ali Serdar Kabak¹⁴, Hasan Hüseyin Tellisi¹⁵, Hande Pencemdemir¹⁶

İstanbul Üniversitesi Cerrahpaşa Tıp Fakültesi, Kardiyoloji Anabilim Dalı, İstanbul Üniversitesi İstanbul Tıp Fakültesi, Farmakoloji ve Klinik Farmakoloji ABD, İstanbul¹

Dokuz Eylül Üniversitesi Tıp Fakültesi, Kardiyoloji Anabilim Dalı, İzmir²

Cukurova Üniversitesi Tıp Fakültesi, Kardiyoloji Anabilim Dalı, Adana³

Uludağ Üniversitesi Tıp Fakültesi, Kardiyoloji Anabilim Dalı, Bursa⁴

Ege Üniversitesi Tıp Fakültesi, Kardiyoloji Anabilim Dalı, İzmir⁵

Ankara Üniversitesi Tıp Fakültesi, Kardiyoloji Anabilim Dalı, Ankara⁶

Gazi Üniversitesi Tıp Fakültesi, Kardiyoloji Anabilim Dalı, Ankara⁷

Dicle Üniversitesi Tıp Fakültesi, Kardiyoloji Anabilim Dalı, Diyarbakır⁸

Kocatepe Üniversitesi Tıp Fakültesi, Kardiyoloji Anabilim Dalı, Kocatepe⁹

İstanbul Üniversitesi Kardiyoloji Enstitüsü, Kardiyoloji Anabilim Dalı, İstanbul¹⁰

Ondokuz Mayıs Üniversitesi Tıp Fakültesi, Kardiyoloji Anabilim Dalı, Samsun¹¹

Akdeniz Üniversitesi Tıp Fakültesi, Kardiyoloji Anabilim Dalı, Antalya¹²

Erciyes Üniversitesi Tıp Fakültesi, Kardiyoloji Anabilim Dalı, Kayseri¹³

Marmara Üniversitesi Tıp Fakültesi, Kardiyoloji Anabilim Dalı, Altunizade¹⁴

Selçuk Üniversitesi Meram Tıp Fakültesi, Kardiyoloji Anabilim Dalı, Konya¹⁵

Novartis Ürünleri İlaç Şirketi¹⁶

Amaç: Fluvastatin 80 mg kontrollü salının formülasyonu, etken maddenin karaciğere daha yavaş ama stırek bir şekilde ulaşmasını ve sistemik ilaç düzeyini yükseltmekstir hepatic saturasyon engellemeyi ve lipid parametrelerin lizerine daha yüksek etki sağlayamamaktadır. Lipid profili deger toplamlardan farklılık gösteren Türk populasyonunda, 12 hafta süreyle uygulanılanolar fluvastatin 80 mg kontrolü salının formülasyonu ile tedavinin plazma lipidleri ve inflamasyon göstergeleri lizerine olan etkilerinin değerlendirileceğini doğrulayan bir çalışma yapılmıştır.

Yöntemler: Çok merkezli (16 merkez), açık ve prospektif olan çalışma, primer hipercolesterolemisi olan ve son 3 aydır lipid düşürücü ilaç tedavisi almamış ATP III kriterine uygun 124 hasta (59 erkek, yaş ortalaması 54 ± 10) almıştır. Hastalarla alt hafiflik diyet sonrasında, fluvastatin XL 80 mg/gün tedavi başlanmıştır. İki hafiflik tedavi sonrasında yapılan analizlerde, primer etkinlik parametresi olan LDL-kolesterol düzeylerinin başlangıcıne göre değişim oranı olarak belirlenmiştir.

Bulgular: Başlangıçta 168 ± 23 mg/dl olan LDL-K düzeyi, 2 haftalık fluvastatin tedavisi sonrasında 101 ± 22 mg/dl olarak ölçülmüş ve LDL-K düzeyindeki azalma $\%38.7 \pm 12$ olarak bulunmuştur. Hastaların LDL-kolesterol düzeyleri arttıkça başlangıçna göre yüzdeki değişiminden de anlamlı olarak artışı saptanmıştır. Tedavi öncesi LDL-K 130 ± 160 mg/dl olan hastalarda $\%35.5$, LDL-K 160 ± 190 mg/dl olan hastalarda $\%38.5$ ve LDL-K 190 ± 220 mg/dl olan hastalarda $\%44.5$ olarak azalma olduğu gösterilmiştir.

Sonuç: Primer hipercolesterolemisi olan hastalarda, 2 hafta süreyle uygulanan fluvastatin 80 mg kontrolü salının formülasyonu tedavisi, LDL-K düzeyinde erken dönemde etkin azalma sağlamanmaktadır. Tedavi öncesi LDL-K düzeye arttıkça, fluvastatin tedavisi ile elde edilen etkiler artmaktadır. Bu etkinin fluvastatin'ın kontrollü salının yeni formülasyonundan kaynaklanlığı düşünülebilir.

MİTRAL DARLIĞI OLAN KADIN HASTALARDA WILKINS KAPAK SKORU İLE LİPID PROFİLİ İLİŞKİSİ

Mehmet Birhan Yılmaz¹, Burcu Demirkan², Vedat Çaldır³, Yeşim Güray⁴, Ümit Güray⁵, Hatice Şaşmaz⁶, Şule Korkmaz⁷

Türkiye Yüksek İhtiyaç Hastanesi, Kardiyoloji Kliniği, Ankara

Kapak hastlığı ile lipid profili arasındaki ilişki aort darlığı olan hastaların kapakçıklarının histopatolojik açısından incelemesile başlamıştır. Bu incelemelerde subendotelial dokudaki kalınlaşma, mineralizasyon, lipid birkimi ile beraber olmaktadır. Ardından familial hiperlipidemi hastalarında aort darlığından da sık ve erken olusutumun gösterilmesi ile ilgi dahı astırılmış. Ancak mevcut ilişkili mitral darılık (MD) hastalarında değerlendirilmemiştir. Wilkins kapak skoru, özellikle mitral balon valvulooplasti başarısını ve hasta sevmisin belirlemeye yönelik olarak hazırlanan ekokardiyografik bir parametredir. Semti kantitatif olarak mitral aparatı değerlendirir ve puani verir. Bu puanlamada mitral kapakçıkların kalınlığı, kalsifikasiyonu, hareketi ve subvalvüler aparatın durumu iydén kötüye doğru dört kademeli derecelendirilir. Mevcut durumda mitral kapakın durumunu yansıtan bu parametreler tipik aort darlığındaki lipid profiliyle ilişkili olabilir. Materyal & Metot: Ocak 2001-Aralık 2003 arasında klinigimize orta-çiddi MD tanısıyla yatırılmış ekokardiyografisi yapılan ve Wilkins kapak skoru buldırılan 316 kadın hasta retrospektif olarak değerlendirildi. Önceden lipid disüritci ejan kullanıldığı bilinen hastalar çalışma dışarılandı.

Bulgular: Ortalama yaşı 37 ± 11 , ortalama kapak alanı 1.1 ± 0.6 cm², ortalama maksimum ve mean gradientler sırasıyla 19.5 ± 10.5 mmHg ve 10.5 ± 5.5 mmHg'ydı. Toplam kapak skoru lipid parametrelerinin hiçbirbirle korelasyon göstermemiştir. Her bir parametre tek tek değerlendirildiğindeye; mitral kapak kalınlığı triglycerid ve total kolesterol/HDL orantıyla düşük derecede anlamlı pozitif korelasyon ($r = 0.134$ ve $p = 0.037$ ile $r = 0.187$ ve $p = 0.004$), HDL kolesterol ile anlamlı negatif korelasyon ($r = -0.127$, $p = 0.049$), subvalvüler appären kilitatit derecelendirmesi de triglycerid düzeyi ile anlamlı pozitif korelasyon ($r = 0.199$, $p = 0.002$) göstermektedir. Mitral kapak skoru 8 ve daha az (Grup 1) ve 8' den fazla (Grup 2) olmak üzere iki gruba ayrıldığında triglycerid ve HDL kolesterol düzeylerinin arasındaki anlamlı farklar izlendi (Tablo 1). Sonuç: Mitral darlığı olan kadın hastalarında Wilkins kapak skorunun alt unsurları (kalınlık, kalsifikasiyon, subvalvüler appären) lipid düzeyleri ile korelasyon göstermektedir. Mevcut durum terapötik planları yön göstermeye katkıda bulunulabilir.

Table 1. Kapak skoruna göre grupper

	Grup 1	Grup 2	P
Yaş (yıl)	36 ± 11	38 ± 13	AD
Kapak alanı	1.1 ± 0.6	1 ± 0.1	AD
HDL kolesterol	45 ± 13	39 ± 10	0.023
Triglycerid	103 ± 54	128 ± 92	0.032
Total kolesterol	173 ± 38	172 ± 38	AD

Koroner Arter Hastalığı ve Dislipidemi

P-61

AKUT MIYOKARD İNFARKTÜSÜNDE LIPOPROTEİN (a) REPERFUZYON İLİŞKİSİ

Merih Baykan, Şahin Kaplan, Cihan Örem, Mehmet Küçükosmanoğlu, Remzi Yılmaz*, Hasan Kasap, Mustafa Gökcə, Şükür Çelik

Karadeniz Teknik Üniversitesi Tıp Fakültesi, Kardiyoloji Anabilim Dalı, Trabzon
Harran Üniversitesi Tıp Fakültesi, Kardiyoloji Anabilim Dalı, Şanlıurfa*

Amaç: Lipoprotein (a) koroner arter hastalığı için bağımsız risk faktörlüdür. Lipoprotein (a) plazminojenle yapısal benzerlik göstererek onun yerine fibrine bağlanarak pıhtı erimesinde gecikmeye neden olur. Çalışmamızda akut miyokard infarktüsü (AMI) geçiren hastalarda, fibrinolitik tedavi sonrası reperfüzyon gözlenen ve gözlenmeyen gruplar arasında lipoprotein (a) düzeyi bakımından farklılık olup olmadığını araştırdık. Yöntem: Çalışmaya AMİ tamisi ile koroner yoğun bakım ünitesine kabul edilen, yaş ortalaması 58 ± 10 , 51 erkek, 15 kadın toplam 66 hasta aldı. Hastaların tümüne fibrinolitik tedavi uygulandı. Reperfüzyon kriteri olarak; 1. 90. dk'da toplam "ST segment" yükselmesinin $\geq 5\%$ düzeyinde rezolusyon göstermesi, 2. CK'ın 12 saatte pik yapması, 3. CK-MB, Troponin T veya miyoglobin 60. dk'daki değerinin, basal değere oranının ≥ 5 düzeyinde olması, 4. Ağrının tamamen geçmemesi kullanıldı. İki kriterin mevcudiyeti reperfüzyon lehine değerlendirildi. Hastalar reperfüzyon gözlenen (grup I) ve gözlenmeyenler (grup II) olmak üzere 2 gruba ayrıldı. Tüm hastalardan fibrinolitik tedavi sonrası alınan venöz kandan lipoprotein (a) düzeylerine bakıldı.

Bulgular: Grup I'de; yaş ortalaması 58 ± 9 olan, 22'si erkek, 12'si kadın toplam 34, grubu II'de; yaş ortalaması 58 ± 10 olan, 20'si erkek, 12'si kadın toplam 32 hasta vardı. Gruplar arasında yaş, cinsiyet, hipertansiyon, sigara kullanımı, diabetes mellitus, aile öyküsü, hiperlipidemi, AMİ lokalizasyonu, verilen fibrinolitik tedavinin çeşidi, fibrinolitik tedavi verilene kadar geçen süre bakımından farklılık yoktu ($p > 0.05$). Total kolesterol, LDL-kolesterol, HDL-kolesterol, triglycerid düzeyleri gruplar arasında benzerdi ($p > 0.05$). Lipoprotein (a) düzeyleri grup I'de 18.2 ± 13 mg/dl, grubu II'de ise 22.8 ± 18 mg/dl olarak bulundu ($p > 0.05$).

Sonuç: Akut miyokard infarktüsü ile başvurulanlar fibrinolitik tedavi uygulanan hastalarda, lipoprotein (a) düzeyleri reperfüzyon olan hastalarda daha düşük olsa da bu istatistiksel olarak anlamlı düzeye ulaşmadı. Bu durum hasta sayısının azlığı ile ilişkili olabilir. Bu konu ile ilgili daha fazla hasta sayısı ile yapılmış çalışmalarla ihtiyaç vardır.

P-63

OMEGA-3 YAĞ ASİTLERİNİN HMG-KOA REDÜKTAZ İNHİBITÖRLERİNE İLAVE EDİLMESİYLE LİPİD PARAMETRELERİNDE GÖZLENEN DEĞİŞİKLİKLER

Mehmet Akbulut, Yılmaz Özbay, İlgin Karaca, Erdoğan İlkay, Cemal Lüleci, Nadi Arslan

Fırat Üniversitesi Tıp Fakültesi, Kardiyoloji Anabilim Dalı, Elazığ

Giriş: Ölümelü miyokard infarktüsüne karşı, kalp sağlığının sürdürülmesi ve konusundasında uzun zincirli, özellikle de omega-3 gibi yağ asitlerinin önemli rol üstlendikleri bildirilmektedir. Çalışmamızda hiperlipidemi nedeniyle HMG-KoA redüktaz inhibitörleri bulunan hastaların omega-3 yağ asitlerinin ilave edilmesiyle lipid profilindeki değişikler araştırıldı.

Yöntemler: Çalışmaya, hiperlipidemi nedeniyle HMG-KoA redüktaz inhibitörleri bulunan hastaların toplam 55 koroner arter hastalıkları vaka bulundu. Dahı sonra 4 hafta süreyle hastaların bir bölümünde (Grup-A, YO:49±5 yıl, n:27, 11 kadın) atorvastatin (20 mg/gün), diğer bir bölümünde ise (Grup-B, YO:51±9 yıl, n:28, 13 kadın) atorvastatin (20 mg/gün) + omega-3 yağı asidi (500 mg/gün) verildi. Bu süreçten bitiminde ise, tüm hastaların total kolesterol (TK), LDL kolesterol (LDL), HDL kolesterol (HDL) ve triglycerid (TG) gibi lipid parametreleri tekrar incelenerek gruplar arasında fark olup olmadığı araştırıldı.

Bulgular: Grupların bazal klinik özelliklerini benzerdi ($p > 0.05$). Bununla birlikte takip süresince, Grup-A'daki hastaların TK'de $\%28$ ($p:0.01$), LDL'de $\%35$ ($p:0.001$), TG'de $\%28$ ($p:0.01$) düşme ve HDL'de $\%5$ ($p:0.067$) artma olmasına karşılık; Grup-B'deki hastaların TK'de $\%39$ ($p:0.001$), LDL'de $\%40$ ($p:0.001$), TG'de $\%41$ ($p:0.001$) düşme ve HDL'de $\%19$ ($p:0.02$) artma görüldü (Table 1). Tedavi sonrası özellikle Grup-B'de gözlenen TK ve TG düşme oranı Grup-A'dan belirgin derecede daha yükseltti ($p < 0.05$).

Sonuç: Bu çalışmada, HMG-KoA redüktaz inhibitörlerine omega-3 yağ asitlerinin ilave edilmesiyle lipid parametre düzeylerinde beklenen düşüşün daha fazla olabileceği kanaatinde varıldı.

Tablo 1. Grupların lipid parametre düzeylerinde meydana gelen değişiklikler

	Tedavi Öncesi	Tedavi Sonrası	P Değeri
Grup-A (n:27)			
Total kolesterol (mg/dl)	232±35	167±29	0.01
LDL kolesterol (mg/dl)	145±33	95±15	0.001
HDL kolesterol (mg/dl)	37±6	39±8	0.067
Triglycerid (mg/dl)	248±46	178±31	0.01
Grup-B (n:28)			
Total kolesterol (mg/dl)	239±42	146±38	0.001
LDL kolesterol (mg/dl)	145±37	87±10	0.001
HDL kolesterol (mg/dl)	36±9	43±9	0.02
Triglycerid (mg/dl)	235±41	139±28	0.001

P-62

ATORVASTATİNİN SERUM PARAOXANASE-1 DÜZEYLERİNE ETKİSİ: ANTİHİPERLİPIDEMİK ETKİYE İLAVETEN ANTOKSİDAN ETKİ

Mustafa Kemal Erol, Fuat Gündoğu, Fevzi Polat, Engin Bozkurt, Serdar Sevimli, Yekta Gürler top, Mahmut Açıkel, Mustafa Yılmaz

Atatürk Üniversitesi Tıp Fakültesi

Ateroskleroz multifaktöriyel bir hastaluktur. Sigara içimi, diabetes mellitus, LDL-kolesterol yüksekliği, HDL-kolesterol düşüküğü gibi klasik risk faktörlerine ilaveten son yıllarda yapılan çalışmalar düşük serum paraoxanase-1 (PON-1) aktivitesinin artmış ateroskleroz riski ile birlikte olduğunu göstermiştir. PON-1 HDL partikülünün üzerinde bulunan ve lipid peroksidadı hidrolize ederek ateroskleroz patogenezine santral rol oynayan LDL-kolesterolün oksidatif modifikasiyonunu önleyen bir enzimdir. Bu çalışma hipercolesterolemili hastalarda atorvastatinın PON-1 düzeyleri üzerine bir etkisi olup olmadığını araştırmak amacıyla planlandı. Yaş ortalaması 59 ± 10 yıl olan 14 erkek, 9 kadın toplam 23 hipercolesterolemik hasta çalışmaya aldı. Serum kolesterol, triglycerid, HDL-kolesterol, LDL-kolesterol, lipoprotein a, apolipoprotein A, apolipoprotein B, fibrinojen ve PON-1 aktivitesi atorvastatin 10 mg/gün tedavisi öncesi ve tedavinin 6. haftası sonunda ölçüldü. PON-1 düzeyi ölçümleri hem basal hem de 1 M NaCl ile stümi edilerek spektrofotometrik olarak yapıldı. Serum kolesterol (283.5 ± 33.8 vs 238.2 ± 32.2 mg/dl, $p < 0.001$), triglycerid (204.3 ± 69.5 vs 181.8 ± 67.5 mg/dl, $p < 0.01$) düzeyleri 6 haftalık atorvastatin tedavisi sonrasında anlamlı derecede azalırken, HDL kolesterol (38.1 ± 3.8 vs 40.0 ± 3.2 mg/dl, $p < 0.05$), apolipoprotein A (135.7 ± 25.1 vs 151.4 ± 28.4 mg/dl, $p < 0.01$) anlamlı derecede artmış bulundu. Lipoprotein-a (48.0 ± 45.22 vs 47.9 ± 48.9 mg/dl, $p > 0.05$) ve fibrinojen düzeyleri (323.8 ± 95.2 vs 307.2 ± 71.6 mg/dl, $p > 0.05$) anlamlı düzeyde değişmedi. Hem basal (139.7 ± 40.7 vs 166.8 ± 56.2 , $p < 0.001$) hem de tuzlu stümü (160.0 ± 45.6 vs 184.6 ± 57.6 , $p < 0.001$) serum PON-1 aktivitesi 6 haftalık atorvastatin tedavisi sonrasında anlamlı derecede artmış bulundu. Bu çalışmanın sonuçları atorvastatinin lipid profili üzerine olumlu etkilerinin yanında serum PON-1 aktivitesini artıran serum antioksidan kapasitesini artırılmış göstermektedir. Bu sonuç statinlerin PON-1 aktivitesine olumlu etkilerinin antianterosklerotik etkilerine katkıda bulunabileceğini düşündürmektedir.

P-64

KORONER ARTER HASTALIĞINDA TRİGLİSERİD DÜZEYLERİNE VERİLEN ÖNEM YETERLİ DEĞİL!

Meral Kayıkçıoğlu, Müge İldizli, Levent Can, Oğuz Yavuzgil, Cemil Gürgün, Hakan Kültürsay, İnan Soydan

Ege Üniversitesi Tıp Fakültesi, Kardiyoloji Anabilim Dalı, İzmir

Epidemiyolojik çalışmalar yüksek plazma triglycerid (TG) düzeylerinin de koroner arter hastalığı (KAH) riskini artırıldığını göstermiştir. TG yüksekliginde kullanılan fibratların da KAH mortalite ve morbiditesine düşürmede etkin olduğuna dair veriler elde edilmiştir. Bu çalışmada KAH'da TG düzeylerine tedavi yaklaşımının düzeyi ve etkinliğinin araştırılması amaçlanmıştır. Hastalar populasyonu, bir üniversitede hastanesi kardiyoloji kliniği anjinal yakınınlığıyla başvuran ve elektif koroner anjografi amacıyla ilk son 1 ay içinde yatırılarak KAH saptanan ardışık 100 olgudan oluşmuştur. Bu olguların hastane dosya kayıtlarından demografik ve klinik özellikleri, risk faktörleri, yatanmadan önce ve taburcu olurken verilen tedavi, aşıltk serum lipid düzeyleri, byiyomikusal tetkikleri, kan basıncı, anjiografik bulguları, önerilen tedavi planı ve izlemi yapan asistan doktorlara ait faktörler elde edildi. Olguların yaş ortalaması 58 ± 10 olup $\%21$ 'i kadın, Tüm olguların $\%66$ 'sı hiperlipidemik, $\%59$ 'ı hipertansiv, $\%18$ 'ı diyetik, $\%18$ 'ı obez, $\%41$ 'i sigara içicisidir. Tüm olguların $\%57$ 'i hipertansiv, $\%20$ 'si hiperlipidemik olduğunu bilmektedir. $\%37$ hastadan önceden geçirilmiş miyokard infarktüsü tamisi vardı. Çalışma grubunun lipid düzeyleri tablodada görülmektedir. Olguların yaşına ± 31 statin kullanımkıyatı ve taburcu olurken $\%65$ 'ine statin önerilmiştir. Olguların hiçbir yataşka fibrat tarevi kullanmamaktı olup taburcu olurken 3 hastaya fibrat tedavisi eklenmiştir. TG yükseklüğü değerlendirildiğinde 10 hastada TG düzeylerin ölçülmemiği görüldü. Olguların $25 (\pm 28)$ inde TG düzeyleri yüksek normaldir ($150-199$ mg/dL). Bulanların sadece 10 'unda LDL yüksekligi önlendi ve 14'üne taburcu olurken statin eklenmiştir. ATP-III kılavuzuna göre olguların $34 (\pm 38)$ nde TG düzeyleri yükseldi ($200-499$ mg/dL). Bu hastaların hepsinde TG yüksekligi LDL den önl planda olup 27 sine statin verilmiş ancak sadec 3 hastaya fibrat (birinci statinli kombin) taburcu olurken önerilmiştir. 1 olguda TG düzeyi çok yükseldi (>500 mg/dL). LDL düzeyi normal olan bu hastaya da herhangi bir lipid düşürücü ajan başlanması anjiyografi sonrasında taburcu edilmiştir. Sonuç olarak, statin kullanımının yararları bireylere bireysel bilirtilenlere yaklaşımına birlikte hala yetersizdir. KAH da giderek örtaya çıkan TG düzeylerine ise genetik önemini gösterilmemiştir ve hipertriglicerideride tedavisi amıla fibrat kullanımının olduğu ortadadır. Hastalarımızda TG yüksekligi oranı göz önünde alındığında özellikle hekimlerin hipertriglycerideride ve tedavisi konusunda bilinclendirilmesi gereklidir.

P-65

BÖBREK NAKLI YAPILAN HASTALARDA İMMUNSUPRESİF İLAÇLARIN SERUM LİPID DÜZEYLERİNE ETKİSİ

Mehmet Kanbay, Aylin Yıldırı, Taner Ulus, Muhammet Bilgi,
Ali Seydi Özgür, Haldun Müderrisoğlu

Başkent Üniversitesi Tıp Fakültesi, Kardiyoloji Anabilim Dalı, Ankara

Giriş: Hiperlipidemi, ateroskleroz gelişmesinde önemli nedenlerden biridir. Bu çalışmada amaç, böbrek nakli yapılmış hastalarda, serum lipit düzeyine böbrek naklinin ve immunsupresif ilaçlarının etkisini belirlemektir. **Metod:** Başkent Üniversitesi hastanesinde 1998-2002 tarihleri arasında böbrek nakli yapılmış 179 hastanın verileri retrospektif olarak incelendi. Her hastanın serum total kolesterol (TC), düşük yoğunluklu kolesterol (LDL), yüksek yoğunluklu kolesterol (HDL) ve trigliserit (TG)düzeyleti böbrek naklinin önce ve 6 ay sonrasında düzeyleri kayıt edildi. Her hastanın böbrek yetmezliği etiyolojisi ve kullandığı immunsupresif ilaçlar kayıt edildi.

Sonuç: 69 hasta bayan (%38.5) ve 110 hasta erkek (%61.5) olup yaş ortalamaları 35.7 ± 11.8 (yaş aralığı, 11-62) olarak saptandı. Serum lipit düzeyleri nakil öncesi ve sonrası sırası ile: TC, 171.6 ± 42.4 mg/dL - 204.7 ± 45.3 mg/dL, $P < 0.001$; LDL, 114.5 ± 34.5 mg/dL - 142.2 ± 39.7 mg/dL, $P < 0.001$; HDL, 46.7 ± 13.6 mg/dL - 42.5 ± 12.3 mg/dL, $P = 0.001$; TG, 142.9 ± 55.7 mg/dL, 178.8 ± 71.8 mg/dL, $P < 0.001$ olarak tespit edildi. Serum lipit düzeylerinin böbrek naklinin sonra kullanılan immunsupresif ajanın tipinden, hastanın cinsiyetinden bağımsız olarak arttıgı saptandı. **Tartışma:** Bu sonuçlara göre böbrek nakli yapılan bütün hastalarda kullanılan immunsupresif ilaç tipinden bağımsız olarak hiperlipidemi geliştiğinden dolayı, lipit düşürücü ilaç tedavisi başlanmalıdır.

P-66

KAN GRUBU VE HIPERLİPİDEMİ İLİŞKİSİ: GENETİK PREDİSPozİSYON?

Mehmet Kanbay, Aylin Yıldırı, Hüseyin Bozbash, Taner Ulus,
Muhammet Bilgi, Sadık Açıkel, Haldun Müderrisoğlu

Başkent Üniversitesi Tıp Fakültesi, Kardiyoloji Anabilim Dalı, Ankara

Amaç: Koroner arter hastalığı ile düşük yoğunluklu kolesterol (LDL) yüksekligi ve yüksek yoğunluklu kolesterol (HDL) azlığı arasındaki ilişki bilinmemektedir. Kan grubu ile serum lipidleri arasındaki ilişki net olarak bilinmemektedir. Bu çalışmada amaç kan grupları ile serum lipit düzeylerinin ilişkisinin olup olmadığını saptamakur.

Metot: Başkent Üniversitesi Hastanesinde 1998-2002 tarihleri arasında koroner arter by-pass ameliyatı olmuş 978 hastanın verileri retrospektif olarak incelendi. Her hastanın koroner arter hastalığı için risk faktörü olan diabet mellitus, sigara, obezite, hipertansiyon, kan grupları ve serum lipit düzeyleri (total kolesterol (TC), düşük yoğunluklu kolesterol (LDL), yüksek yoğunluklu kolesterol (HDL) ve trigliserit (TG)) not edildi. Sonuç: 978 hastanın %80.4'ü erkek olup, yaş ortalamaları 59.3 ± 9.7 (yaş aralığı 25-84) olarak tespit edildi. Hastaların %29.8'ü diabet mellituslu, %52.4'ü hipertansif ve %50.3'ü sigara içicisi olarak tespit edildi. Hastaların kan grubu dağılımı sırası ile O %31.5, A %45.7, B %15.1, AB %7.7, Rh+ %87.6, Rh- %12.4 olarak saptandı. Koroner hastalığı risk faktörleri ve serum lipit düzeyleri ile kan grubu arasında bir ilişki tespit edilmedi ($p > 0.05$). Rh+ hastalarda HDL düzeyleri (41.6 ± 10.4 mg/dL) Rh- (46.9 ± 9.9 mg/dL) olanlara göre daha düşük olarak saptandı ($p = 0.001$).

Sonuç: Sonuç olarak, ABO kan grubu ile serum lipit düzeyleri arasında bir ilişki bulunamamıştır. Rh+ olan hastaların serum HDL düzeyleri daha düşük olarak saptanmıştır. Bu ilişkinin nedeninin belirlenmesi için genetik çalışma yapılmasına ihtiyaç varıdır.

Ekokardiyografi

P-67

VÜCUT GELİŞTİRME SPORU YAPAN KİŞİLERDE ANABOLİK ANDROJENİK STEROİDLERİN ENDOTEL FONKSİYONLARI ÜZERİNE ETKİSİ

Tayfun Şahin, Zafer Nart Baytugan, Teoman Kılıç, Dilek Ural, Ahmet Vural, Erhan Ural, Baki Komşuoğlu

Kocaeli Üniversitesi Tıp Fakültesi, Kardiyoloji Anabilim Dalı, Kocaeli

Amaç: Anabolik androjenik steroidler kas kuvarını artırmak için atletler arasında yaygın olarak kullanılmaktadır. Endotel fonksiyon bozukluğu aterosklerozun erken bulguları olarak kabul edilmektedir. Endotel fonksiyonları non-invaziv olarak brakikal arterin ultrasonografik incelemesile değerlendirilebilmektedir. Çalışmamızda vücut geliştirme (VG) sporu yapan kişilerde yaygın olarak kullanılan anabolik androjenik steroidlerin endotel fonksiyonları üzerine olan etkilerini ortaya koymayı amaçladık.

Metod: Çalışmaya dört farklı spor merkezinden bir yıldan daha uzun süre düzenli olarak vücut geliştirme sporu yapan ve belirli periyotlarda anabolik androjenik steroid (AAS) kullanan ortalaması yaşı 32.7 ± 6.4 yıl olan sağlıklı 20 erkek (Grup I) ve ilaç kullanmayan yahtırca egzersizde VG sporu yapan ortalaması yaşı 29.5 ± 6.9 yıl olan 23 erkek (Grup II) olmak üzere toplam 43 kişi alındı. Diyabetes mellitus, hipertansiyon, dislipidemi, skut yada kronik ağrıcker, böbrek, karaciğer hastalığı ve psikiyatrik bozuklukları olanlar çalışma alınmadı. Bütün sporculara, standart ekokardiyografik incelemelerin yanında 7.5 megaHertz'lik yüksek rezolusyonlu vasküler problemler endotelial fonksiyonları değerlendirildi. Brakikal arterin basal çapı ölçüldükten sonra endotel bağımlı vazodilatasyon (FMD) ve nitratla indüklenecek dilatasyon (NID) basal çapa göre ofan artışların yüzdeleri karşılaştırılarak değerlendirildi.

Bulgular: AAS grubunda ortalaması 91.7 ± 8.5 kg, vücut yüzey alanı 2.09 ± 0.1 m², kol çevresi 38 ± 2 cm, ön kol çevresi 32 ± 1.5 cm, ilacılık grupta ise ortalaması $kilo 84.3 \pm 8.3$ kg, vücut yüzey alanı 1.9 ± 0.1 m², kol çevresi 35 ± 2 cm, ön kol çevresi ise 30 ± 1.5 cm idi (p değerleri sırasıyla, 0,005, 0,005, 0,001, 0,004). Brakikal arter basal çapı, grup I'de 4.4 ± 0.4 mm grup II'de 4.1 ± 0.4 mm şeklindeydi. ($p = 0.02$) Endotel bağımlı vazodilatasyon açısından Grup I'de basal çapa göre değişim %12, Grup II'de ise %10 şeklindeydi ve gruplar arasında fark bulunmadı. Nitratla indüklenecek vazodilatasyon ise ilaçsız grupta daha belirginindi (Grup I'de %18, Grup II'de %13, p=0.02).

Sonuç: Çalışma populasyonunda, AAS alan ve VG sporu yapan kişilerde kilo, BSA, kol ve önl kol çevresi ilaç almayanlara göre daha yüksek ve nitratla indüklenecek vazodilatasyon ilaç almayan kişilerde daha belirginindi. Bu bulgular VG sporu yapan kişilerde AAS'lerin endotel fonksiyonları üzerine olumsuz etkileri olabileceğini düşündürmektedir.

P-68

DİYABETİK HASTALARLA NORMAL POPULASYONDA SOL VENTRİKÜL HIPERTROFİSİNİN M MOD KİLE OLÇÜMÜ İLE KARŞILAŞTIRILMASI

Aslı Atar, İlyas Atar, Hakan Ünal, Aslı Doğru, Hüseyin Bozbash, Vahide Simşek, Aylin Yıldırı, Bülent Özün, Nilgün Güven, Haldun Müderrisoğlu

Başkent Üniversitesi Tıp Fakültesi, Ankara

Amaç: Diyabetik ve hipertansif olan kişilerde sol ventrikül (SV) hypertrofisının sadece hipertansiyonu olanlara göre daha belirgin olduğu gösterilmiştir. Glisemik kontrolün SV hypertrofisindeki etkilemeye yardımcı olabileceğine dair veriler mevcuttur. Bazi oral antidiyabetik ajanlarla (OAD) yapılan çalışmalar gelişkili sonuçlar vermiştir. Bu çalışmada oral antidiyabetik kullanan hastalarda, kan şekeri kontrol altında olan ve olmayan grubu normal populasyonda SV kitlesi açısından karşılaştırmayı amaçladık. **Yöntemler:** Hastanemiz endokrinoloji polikliniğinde Tip 2 Diabetes Mellitus (DM) tanısı ile en az 1 yıldır takiple olan 94 hasta bilgilendirme aldı. DM olmayan 27 hasta normal populasyonu oluşturdu. Bilinen koroner arter hastalığı, SV disfonksiyonu, ciddi kalp kapak hastalığı ve eşlik eden sistemik hastalık olan kişiler çalışmaya alınmadı. Hastalar Grup 1: HbA1c değeri %7'nin altında olanlar, Grup 2: HbA1c değeri %7'nin üstünde olanlar ve Grup 3: normal kontroller şeklinde 3 gruba ayrıldı. Her 3 grubun konvansiyonel 2 boyutlu ve Doppler ekokardiyografileri ve SV M mod ölçümü yapıldı. SV kitlesi boyaya ve vücut yüzey alanına göre hesaplandı. **Bulgular:** Grup 1; 45 hasta (Ortalama yaşı 58.2 ± 8.7 , 19 erkek), Grup 2; 49 hasta (Ortalama yaşı 59.3 ± 7.6 , 17 erkek) ve Grup 3; 27 hasta (Ortalama yaşı 57.6 ± 7.2 , 16 erkek) arasında yaş, cins, demografik özellikler ve laboratuvar verileri bakımından fark saptanmadı ($p > 0.05$). Hipertansif hasta sayısı gruplar arasında benzerdi. Her 3 grubun 2 boyutlu ve Doppler ekokardiyografi ölçümleri benzerdi. Grupların SV kitleleri karşılaştırıldığında hem OAD ile kontrollü hem de kontrollsüz diyabeti olan hastaların SV kitleleri normal populasyondan fazla bulundu (Grup 1: 181 ± 52 gr, Grup 2: 214 ± 56 gr, Grup 3: 150 ± 24 gr, $p < 0.005$). Bu farkın, SV kitlesi vücut yüzey alanı ve boyaya göre düzeltildiğinde de korunduğu görüldü (Grup 1: 105 ± 27 gr/m², Grup 2: 122 ± 27 gr/m², Grup 3: 92 ± 15 gr/m², $p < 0.05$; Grup 1: 1.1 ± 0.3 gr/cm, Grup 2: 1.3 ± 0.3 gr/cm, Grup 3: 0.9 ± 0.2 gr/cm, $p < 0.005$). Sonuçlar: Bu çalışma sonunda elde ettigimiz veriler diyabetik hastalarda kan şekeri kontrollünden bağımsız olarak SV kitesinin normal populasyona göre arttığını göstermektedir.

Ekokardiyografi

P-69

DİYASTOLİK DİSFONKSİYONLU SOL VENTRİKÜL HİPERTROFİLİ VE HİPERTROFİSİZ HASTALARIN İSTİRAHAT VE EGZERSİZ "STRAIN RATE" EKOKARDİYOGRAFI DEĞERLERİNİN KARŞILAŞTIRILMASI

Aydın Yıldırım, Arda Şanlı Ökmen, Özge Soylu, Seden Çelik, Ertan Okmen, Tuna Tezel

Dr. Siyami Eşek Göğüs Kalp ve Damar Cerrahisi Eğitim ve Araştır, İstanbul

Amaç: Strain rate ekokardiyografi miyokardial sistolik fonksiyonların değerlendirilmesinde, görsel duvar hareket bozukluğu ve sistolik katınlama anormalliklerinin henüz belirgin olmadığı erken evrelerde, özellikle induklenebilir iskemi tansında oldukça değerli bir yöntemdir. Bu çalışmada amaç diyastolik disfonksiyonlu hastalarda sol ventrikül hipertrifosun istirahatte ve egzersizde strain rate ve strain üzerinde etkisini araştırmak ve strain rate ekokardiyografinin bu hastalarda sol ventrikül sistolik disfonksiyon gelişiminde öngörücü değerinin olup olmadığını saptamaktır.

Yöntem: Çalışmaya grade 1 diyastolik disfonksiyonlu ve sol ventrikül hipertrifoslu hasta (yaş ort 59±9) ve yine grade 1 diyastolik disfonksiyonlu olan ancak sol ventrikül hipertrifoslu olmayan 26 kontrol hasta (yaş ort 54±7) dahil edildi. B mode renkli miyokardial ve洛site bilgileri, istenilen strain rate ve strain değerleri elde edildi. Bulgular: İki grup arasında sistolik fonksiyonları, Dopppler ve doku Doppler ile değerlendirilen diyastolik fonksiyon parametreleri arasında fark saptanmadı. İstirahat ve egzersizde ağırlıklı 4-bölselik strain rate tablosu ve istirahatte strain rate ve strain değerleri kontraktiliteli hipertrifoslu hastalarla göre anlamlı derecede daha iyi bulunmuştur. Hipertrifos grubun egzersiz strain rate değerleri istirahatte %55 artarken, hipertrifos grupta bu artış %88 olarak gerçekleşmiş ve istirahatte mevcut olan fark kapandı.

Sonuç: Sol ventrikül hipertrifoslu hastalarda klasik ekokardiyografi yöntemlerle değerlendirilen sistolik ve diyastolik fonksiyon parametreleri hipertrifoslu hastalara benzer olmasına rağmen, sol ventrikül hipertrifoslu hastaların istirahatte nispeten daha iyi strain rate değerlerine sahip oldukları ve hipertrifoslu hastalarla göre eğzersiz esnasında daha hızlıstrain rate artış oranına sahip olduğu gözlandı. Eğzersizde yanıtların strain rate artışıındaki hızlaşmanın hipertrifos zemininde gelişen sistolik disfonksiyonun habercisi olabileceği ve erken tanda strain rate ekokardiyografinin değerli olabileceği düşünüldü.

Tablo 1. İstirahat ve egzersiz strain rate ekokardiyografi bulguları

	Hipertrifos (+)	Hipertrifos (-)	P
İstirahat strain rate	1.35 (0.2)	1.06 (0.2)	0.002
Egzersiz strain rate	2.1 (0.4)	2.0 (0.2)	AD
İstirahat strain	21 (4)	18 (4)	0.044
Egzersiz strain	30 (4)	29 (4)	AD

P-70

DOKU DOPPLER GÖRÜNTÜLEME İLE ELDE EDİLEN MIYOKARDİYAL PERFORMANS İNDEKİSİ ÜZERİNE "SAMPLE VOLUME" GENİŞLİĞİNİN ETKİSİ

Kurtulus Özdemir, Ahmet Soylu, Mehmet Akif Düzenli, Nazif Aygül, Akif Vatançlı, Ülkü Aydın, Mehmet Tokac

Selçuk Üniversitesi Meram Tıp Fakültesi, Kardiyoloji Anabilim Dalı, Konya

Amaç: Kalbin kombin sistolik ve diyastolik performansını yansıtan miyokard performans indeksi (MPI), son zamanlarda kalp hastalıklarının tanı ve takibinde yer almıştır. Önceleri konvansiyonel metoda elde edilen MPI doku Doppler görüntüleme (DDG) tekniği ile de elde edilebilir. DDG ile elde edilen MPI hipotetik olarak değişik etkenlerden etkilenebilir. DDG ile MPI hesaplanması etkileyecek değişkenler yeterince izlenmemiştir. Bu değişkenlerden biri olabilecek "sample volume" genişliğinin MPI üzerinde etkisi olup olmadığı araştırılmış amaçıyla bu çalışmaya şahitlik edildi.

Metod: Bilinen herhangi bir kardiyovasküler hastalığı olmayan 34 olgu (26 erkek, 8 kadın, yaş ort: 37±9 yıl) çalışmaya dahil edildi. Tüm olgularda sol ventrikül apikal iki boşuk ve dört boşuk görüntülerde PW Doppler "sample volume" anteriyor, inferior, interventriküler septum, lateral duvar ve triküspid annuluslerin yerleştirilerek her bir segmente 2.5 mm, 3.5 mm ve 5 mm "sample volume" genişliğinde ölçümle yapıldı. Her diyalostik miyokardiyal hızın bitimi ile sistolik hızın başlangıcı arası izovolumetrik kontraksiyon zamanı (IKZ), sistolik miyokardiyal hızın başlangıcı ve bütiş arası ejeksiyon zamanı (EZ) ve sistolik miyokardiyal hızın bitimi ile erken diyalostik miyokardiyal hızın başlangıcı arası izovolumetrik gevşeme zamanı (IGZ) olarak ölçüldü. Herbir segment için (IKZ+IGZ)/EZ formülü ile MPI hesaplandı. Dört segmentin ortalaması sol ventrikül ortalaması MPI olarak hesaplandı. Bulgular: "Sample volume" genişliğine göre her bir sol ventrikül segmenti ve ortalaması sol ventrikül MPI ile triküspid annulusundan elde edilen sağ ventrikül MPI değerleri tablodada gösterilmiştir. 2.5 mm, 3.5 mm ve 5 mm "sample volume" genişliğinden sağ ventrikül MPI değerlerinin benzer olduğu tespit edilmişdir ($p>0.05$). Sonuç: DDG ile elde edilen MPI üzerinde "sample volume" genişliğinin ilk kez etkilenmediği bu çalışmada sol ve sağ ventrikül MPI'nin sample volume genişliğinden etkilenmediği tespit edilmiştir.

"Sample volume" genişliğine göre her bir sol ventrikül segmenti ve ortalaması sol ventrikül MPI ile triküspid annulusundan elde edilen sağ ventrikül MPI değerleri

	SVG 2.5 mm	SVG 3.5 mm	SVG 5 mm
IVS MPI (%)	49±8	50±8	51±8
LAT MPI (%)	43±9	41±8	44±9
ANT MPI (%)	45±9	46±8	46±8
İNF MPI (%)	46±10	48±7	48±8
SV ort MPI (%)	46±7	46±5	47±7
Svg MPI (%)	38±9	37±8	36±8

SVG: "Sample volume" genişliği, MPI: miyokard performans indeksi, IVS: içte veni ikililer septum, LAT: lateral duvar, ANT: Anterior duvar, INF: Inferior duvar, Svg: Sağ ventrikül

P-71

HEMATOKRİT İLE SOL VENTRİKÜL DİYASTOLİK FONKSİYON DOPPLER PARAMETRELERİ ARASINDA BİR İLİŞKİ VAR MIDİR?

Bülent Kalender*, Tayfun Şahin, Erkan Şengül*, Dilek Ural, Ahmet Yılmaz*

Kocaeli Üniversitesi Tip Fakültesi, Kardiyoloji Anabilim Dalı, Kocaeli
Kocaeli Üniversitesi Tip Fakültesi*

Amaç: Kardiyovasküler hastalıklar, Hemodiyaliz (HD) ve Sürekli Ayaktan Periton Dıyalizi (SAPD) hastalarında morbitite ve mortalitenin en sık rastlanan nedenidir. Kardiyovasküler hastalık gelişiminde bilinen risk faktörlerinin başında hipertansiyon ve kronik hipervolemi gelmektedir. Çalışmamızda HD ve SAPD hastalarının kan basımları, Brain Natriüretik Peptid (BNP), Kardiyotorasik İndeks (KTI) ve Ekokardiyografik olarak değerlendirilen kardiyak fonksiyonlar açısından karşılaştırılmıştır.

Yöntem: Çalışmaya alınan 27 (19 kadın 8 erkek) HD hastasının ortalaması yaşı 57,66±11,52 yıl, ortalaması tedavi süresi 22,81±16,97 ay, 29 SAPD (11 kadın 18 erkek) hastasının ortalaması yaşı 52,44±7,11 yıl, tedavi süresi 24,65±27,04 ay idi. Böbrek yetmezliği olgusuyla orta derecelik nefropati (HD: %44,4 SAPD: %27,6) ile başvurular HD hastalarında hafta ortası HD seansı öncesi, SAPD hastalarında rutin aylık kontrollerde ambulatuvar kan basıncı ölçümleri, plazma BNP düzeyleri, Kardiyotorasik İndeks (KTI), ekokardiyografik ölçümlerden intraventriküler septum kalınlığı-diyastol (IVS), sol ventrikül end-diyastolik çapı (LVEDD), sol ventrikül kitle indeksi (LVM) ve sol ventrikül ejeksiyon fraksiyonu (EF) kaydedildi. İstatistiksel analizler SPSS (Statistical Package for Social Science) for Windows Version 10.0 sistemi ile Student's t testi ve Mann-Whitney U testi kullanarak yapıldı.

Bulgular: HD ve SAPD hastalarının ortalaması sistolik kan basıncıları (134,81±21,90 ve 141,37±22,94), ortalaması diyastolik kan basıncıları (75,92±8,88 ve 83,44±12,03) ortalaması kan basıncıları (93,11±14,20 ve 102,48±15,19), ortalaması nabız basıncıları (60,16±17 ve 57,24±13,33) mmHg, ortalaması KTI (0,46 ve 0,47), ortalaması BNP düzeyleri (800,57±1052,72 median: 525,00 ve 610,79±926,40 median: 285 pg/ml), ortalaması IVS (10,94±1,55 ve 11,24±1,97), LVEDD (49,79±6,65 ve 51,83±6,40), LVM (145,74±54,56 ve 150,53±58,85), EF (66,69±13,53 ve 64,50±13,11) olarak bulundu. HD ve SAPD hastaları arasında ortalaması diyastolik kan basıncı ve nabız basıncı açısından anlamlı farklılık yoktu ($p>0,05$). HD hastalarının ortalaması ortalaması sistolik kan basıncı ve nabız basıncı açısından ortalaması kan basıncı SAPD hastalarından anlamlı olarak daha düşükü ($p<0,05$). HD ve IVS, LVEDD, LVM ve EF gibi ekokardiyografik ölçümlerden ortalaması KTI değerleri ($p>0,05$).

Sonuç: HD hastalarında kan basıncı kontrolü SAPD hastalarından daha iyi bulunmuştur. Ancak gerçek plazma BNP düzeyleri gerekse sol ventrikül fonksiyonları açısından SAPD tedavilerinin birbirine ışınılığı saptanamamıştır.

468

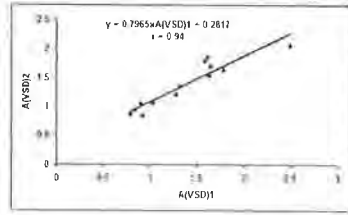
P-73

ÜÇ BOYUTLU EKOKARDİYOGRAFİ İLE İNTERVENTRİKÜLER SEPTAL DEFECT ALANININ HESAPLANMASI

Mehmet Uzun, Celal Genç, Oben Bayan, Kürşad Erinç, Hayrettin Karaer, Ersoy Işık

Gülhane Askeri Tıp Akademisi Kardiyoloji, Anabilim Dalı, Ankara

Ventriküler septal defect (VSD) yurdumuzda sık görülen doğumsal kalp hastalıklarından biridir. Derecesinin belirlenmesinde genellikle sant akımı kulfanları ancak bunun sınırlamaları vardır. Ventriküler septal defect alanının ölçümü iki boyutlu ekokardiyografi ile hemen hemen imkansızdır. Bu çalışmada VSD alanının üç boyutlu ekokardiyografi (3BE) ile ölçüm sonuçları araştırılmıştır. Çalışmaya 22 genet erkek hasta (yaş 21±1 yıl) alındı. Pulmoner ve aort kapak hastanlığının yaşlarında çatışma dışında tutuldu. Her hasta rutin ekokardiyografi yanında 3BE uygulandı. VSD alanı iki ayrı yöntemle ölçüldü: (1) A(VSD)1=Sant volumu/VSD'ının zaman hızı integrali; (2) A(VSD)2=3BE ile elde edilen üç boyutlu VSD ve mitral kontraktanın çapraz kesit alanının planimetrik alanı. Sant volumu, sağ ventrikül disa akım yoğunluğunun elde edilen sağ ventriküler kardiyo atrium volumünün sol ventriküler disa akım yoğunluğunun hesaplanan sol ventriküler atrium volumleri farklı olarak kabul edildi. Tüm işlemler ardılık 5 kayıtu yapıldı. 3BE için önce veri toplandı, daha sonra bilgisayar yardımıyla 3 boyutlu rekonstrüksiyon yapıldı. Elde edilen görüntünden bilgisayar yardımıyla istenilen düzeylerde kesit alan yapıldı. VSD alanı için VSD'ye sit venen kontraktanın en dar yerinin çapraz kesit alan kulfanları kullanıldı. Karsılıklırmalıda linear regresyon analizi kullanıldı. Sonuç: A(VSD)1, 17 hastada (%77, A(VSD)2, 14 hastada (%64) hesaplanabildi. İstatistiksel analiz bu 14 hastada yapıldı. Ortalama sant volumu: 53±22 ml, ortalama sant oranı: 1.9±0.4, ortalama A(VSD)1: 1.37±0.49, ortalama A(VSD)2: 1.38±0.41 bulundu. A(VSD)1 ile A(VSD)2 arasındaki ilişkili şekilde görülmektedir. Sonuç olarak 3BE, VSD alanının hesaplanmasıda kullanılabilir bir yöntem gibi görülmektedir. Rutin uygulama için henüz erkenmdir, daha kısa zaman ve daha fazla uygulanabilirlik deneyimler artıktan sonra mümkün olacaktır.



P-75

DİYABETİK HASTALARDA GLİSEMİK KONTROLÜN SOL VENTRİKÜL DİYASTOLİK FONKSİYONLARINA ETKİSİNİN STANDART TRANSMİTRAL DOPPLER EKOKARDİYOGRAFI VE "PULSED" DOKU DOPPLER EKOKARDİYOGRAFİ YÖNTEMLERİ İLE DEĞERLENDİRİLMESİ

Aslı Atar, İlyas Atar, Hakan Ünal, Aslı Doğruh, Hüseyin Bozbay, İnan Anaforoğlu, Vahide Şimşek, Aylin Yıldırı, Neslihan Tütüncü, Bülent Özür, Nilgün Güvener, Halduan Müderrisoğlu

Başkent Üniversitesi Tip Fakültesi, Ankara

Amaç: Diabetik hastalarda diyastolik fonksiyon bozukluğu (DFB) kardiak tutulumun erken dönem bulgularındandır. Bu çalışmada, diyabetik hastalarda kan şekeri kontrolünün diyastolik fonksiyonlar üzerine olan etkileri, standart transmitral Doppler ekokardiyografi ve mitral annulus "pulsed" doku Doppler ekokardiyografi (DDE) yöntemleri kullanılarak araştırılmıştır. Yöntemler: Hastanemiz endokrinoloji polikliniğinde Tip 2 DM tanısı ile en az 1 yıldır takipke olan 112 hasta çalışmaya alındı. Hastalar son 6 aylık HbA1c değerlerinin ortalamasına göre, Grup 1: HbA1c değeri %6,5'in altında olanlar, Grup 2: HbA1c değeri %6,5-7,4 arasında olanlar ve Grup 3: HbA1c değeri %7,5'in üstünde olanlar şeklinde 3 gruba ayrıldı. Her 3 grubun klasik konvansiyonel Doppler indeksleri olarak erken diyastolik mitral akım hızı (E dalgası) ve bunun deselerasyon zamanı (Edz), izovolumetrik gevşeme zamanı (IVGZ), ve geç diyastolik mitral akım hızları ölçüldü. Doku Doppler ölçümü için iki boyutlu ekokardiyografi ile apikal 4 boşulma görünütünden mitral annulus septal ve lateral yüz bazallarından erken diyastolik maksimal hız, geç diyastolik maksimal hız, sistolik maksimal dalgası (s dalgası) ve süresi, IVGZ ve izovolumetrik kasılma zamanı (IVKZ) hesaplandı.

Bulgular: Grup 1: 38 hasta (Ortalama yaş 59 ± 8 yıl, 14 erkek), Grup 2: 40 hasta (Ortalama yaş 59 ± 9 yıl, 14 erkek) ve Grup 3: 34 hastadan (Ortalama yaş 60 ± 8 yıl, 12 erkek) oluşuyordu. Gruplar arasında yaş, cins, demografik özellikler ve laboratuvar verileri bakımından farklılık saptanmadı ($p>0.05$). Klasik transmítal Doppler parametrelerini incelemelerinde Grup 1 ile Grup 2, Grup 1 ile Grup 3 ve Grup 2 ile 3 karşılaştırıldı ve fark bulunmadı. DDE ölçümlerinde, mitral annulusun septal tarafından ölçülen s dalga süresi (Grup 1: 260 ± 33 msn; Grup 3: 238 ± 37 msn, $p=0.03$) ve lateral tarafından ölçülen s dalga süresi (Grup 1: 253 ± 20 msn; Grup 3: 225 ± 44 msn, $p=0.007$) Grup 1'de Grup 3'ten anamli olarak daha uzundu. Üç grubun diğer DDE bulguları karşılaştırıldığında fark saptanmadı. Sonuçlar: Verilerimiz diyabetik hasta grubunda kan şekeri kontrol altında tutulmasının diyastolik fonksiyonlar üzerinde olumlu etkilerinin olduğunu düşündürmektedir.

P-74

SOL VENTRİKÜL HİPERTROFİLİ DİYASTOLİK DİSFONKSİYONLU HASTALARDA BNP DÜZEYLERİ VE EKOKARDİYOGRAFİK KLİNİK ÖZELLİKLER İLE KORELASYONU

Aydın Yıldırım, Arda Şanlı Ökmen, Özer Soylu, Seden Çelik, Ertan Ökmen, Tuna Tezel

Dr. Siyami Ersek Göögüs Kalp ve Damar Cerrahisi Eğitim ve Araştırma Merkezi, İstanbul

Amaç: Brain natriüretik peptid (BNP) ventrikül kavitesindeki basıncın yükseltmesi sonucunda duvar geriliminde artış ile miyositlerden salınan bir peptididir. Çalışmanın amacı sistolik kalp yetersizliğinin yanı, tedavi ve prognostik değerlendirmesinde oldukça faydalı olan BNP'nin sistolik fonksiyonları normal olan ancak diyastolik relaksasyon bozukluğu olan sol ventrikül hipertrofili hastalarındaki düzeylerini araştırmak ve BNP düzeyleri ile korelasyon gösteren ekokardiyografik ve klinik parametreleri saptamaktır. Metod: Çalışmaya transtorasik 2-D, Doppler ve doku Doppler inclemeleri yapılarak sistolik fonksiyonları normal, sol ventrikül hipertrofisi (IVS ve PW >1.2 cm) beraberinde diyastolik relaksasyon bozukluğu (grade 1 diyastolik disfonksiyon) olan hastalar alındı. Bu kriterlere uygun 23 hastadan (yaş ort. 59 ± 9) BNP düzeyleri için kan örnekleri alınarak BNP değerleri ölçüldü. BNP düzeyleri ile ekokardiyografik ve klinik özelliklerin korelasyonu araştırıldı.

Bulgular: Çalışma grubunun sol ventrikül duvar kalınlıkları IVS: 1.4 ± 0.1 cm, PW 1.3 ± 0.1 cm, ve LV kitlesi 330 ± 87 gr olarak saptandı. BNP düzeyleri ort. 61 ± 99 ng/dl (range: 5-352 ng/dl) olarak saptandı. Pearson korelasyon analizi ile BNP düzeyleri ile sol ventrikül kitlesi ($r: 0.50$, $p: 0.016$) ve sol atrium çapı ($r: 0.43$, $p: 0.042$) arasında anamli korelasyon saptandı. Sonuç: Diyastolik disfonksiyonlu ve sol ventrikül hipertrofili hastalarda sol ventrikül kitlesi arttıkça BNP düzeyleri yükselmektedir. Bu durum sol ventrikül hipertrofisi ile beraber olan diyastolik disfonksiyonda sol ventrikül duvar geriliminin hipertrofi ile doğru orantılı olarak artmış olduğunu düşündürmektedir. Sol atrium çapındaki artışın sol ventrikül kitlesi ve diyastolik disfonksiyona paralel olarak artacağı dikkate alındığında BNP düzeyleri yüksek olan hastalarda daha geniş sol atrium çapı bulunması beklenen bir bulgu olarak yorumlandı.

P-76

HEMODİYALİZ VE PERİTON DİYALİZİ HASTALARINDA BRAİN NATRİÜRETİK PEPTİT VE SOL VENTRİKÜLER FONKSİYONLAR ARASINDAKI İLİŞKİ

Betül Kalender, Tayfun Şahin, Erkan Şengül, Dilek Ural, Ahmet Yılmaz

Kocaeli Üniversitesi Tıp Fakültesi, Kardiyoloji Anabilim Dalı, Kocaeli

Amaç: Hemodiyaliz (HD) ve SAPD hastalarında sol ventrikül hipertrofisi (SVH) ve sol ventrikül (SV) disfonksiyonu çok siktir. Brain Natriüretik Peptit (BNP) konsantrasyonu SV kitlesi ve SV disfonksiyonu ile yakın ilişkilidir. Bu çalışmada, HD ve SAPD hastalarında BNP ile sol ventriküler fonksiyonlar arasındaki ilişkileri araştırılmıştır.

Yöntemler: Çalışmaya alınan 27 (19 kadın 8 erkek) HD hastasının ortalaması yaşı 57.66 ± 11.52 yıl, ortalaması tedavi süresi 22.81 ± 16.97 ay, 29 SAPD (11 kadın 18 erkek) hastasının ortalaması yaşı 52.44 ± 17.11 yıl, tedavi süreleri 24.65 ± 27.04 ay idi. Böbrek yetmezliği etyolojisinde diyabetik nefropati (HD: %44.4 SAPD: %27.6) ilk sıradaydı. HD hastalarında hafta ortası HD scansi öncesi, SAPD hastalarında rutin aylık kontrollerinde plazma BNP düzeyi, ekokardiyografik ölçümlerden intraventriküler septum kalınlığı-diyastolik (IVS), sol ventrikül end-diyanstolik çapı (LVEDD), sol ventrikül kitle indeksi (LVM) ve sol ventrikül ejeksiyon fraksiyonu (EF) kaydedildi. İstatistiksel analizler SPSS (Statistical Package for Social Science) for Windows Version 10.0 sistemi ile Pearson korelasyon testi kullanılarak yapıldı.

Bulgular: HD ve SAPD hastalarının ortalaması plazma BNP düzeyleri (800.57±1052.72 median: 525.00 ve 610.79±926.40 median: 285 pg/ml) bulundu. HD ve SAPD hastalarının (%11.1 ve %18.5'inde) EF azalması ($EF<60$), (%81.5 ve %82.8'inde) IVS artışı (>11 mm), (%12.5 ve %20.8'inde) LVEDD'de artma (>56 mm) vardı. HD hastalarında, plazma BNP ile IVS arasında ilişkili yoktu ($p>0.05$), BNP ile LVEDD arasında anamli orta düzeyde pozitif ilişki ($r=0.540$, $p=0.004$), BNP ile LVM arasında anamli yüksek düzeyde pozitif ilişki ($r=0.772$, $p=0.001$) ve BNP ile EF arasında anamli yüksek düzeyde negatif ilişki ($r=-0.858$, $p=0.000$) bulundu. SAPD hastalarında ise, BNP ile IVS arasında anamli düşük düzeyde pozitif ilişki ($r=0.390$, $p=0.036$), BNP ile LVEDD arasında anamli yüksek düzeyde pozitif ilişki ($r=0.733$, $p=0.000$), BNP ile LVM arasında anamli yüksek düzeyde pozitif ilişki ($r=0.650$, $P=0.000$), BNP ile EF arasında anamli yüksek düzeyde negatif ilişki ($r=-0.764$, $p=0.036$) saptandı.

Sonuç: Hemodiyaliz ve Sürekli ayaktan periton diyalizi hastalarında plazma BNP konsantrasyonu ölçümlü, sol ventrikül fonksiyonlarının saptanmasında faydalı bir göstergeler olabilir.

Ekardiyografi

P-77

MİTRAL DARLIĞI OLAN HASTALARDA ANNÜLER FONKSIYONLAR BOZULMUŞTUR

Murat Çaylı, Mehmet Kanadaşı, Mesut Demir, Esmeray Acartürk

Çukurova Üniversitesi Tıp Fakültesi, Adana

Amaç: Mitrال darlıktı (MD) mitral aparatusta skar oluşumu nedeniyle anıllar fonksiyonlarında bozulma olmasının beklenmesidir. Ancak anıllar fonksiyonları bilinen ekardiyografik yöntemlerle tam olarak değerlendirilememektedir. Bu çalışmada MD olan hastalarda doku Doppler ekardiyografi (DDE) ile mitral anıllar fonksiyonlarını değerlendirmesini amaçlandı. Yöntemler: Çalışmaya saf MD olan 51 hasta (9 erkek, 42 kadın, yaş ort: 38.1±3.3 yıl) ve 51 sağlıklı kontrol (10 erkek, 41 kadın, yaş ort: 37.3±2.1 yıl) aldı. Tüm bireylerin M-Mod ile sol ventrikül (SV) ve sol atriyum ölçümü yapıldı. Simpson yöntemiyle SV ejeksiyon fraksiyonu hesaplandı. Planimetric olarak ölçülen kapak alanlarına göre MD hafif ($\geq 1.5 \text{ cm}^2$), orta ($1.0 \text{--} 1.49 \text{ cm}^2$) ve ciddi ($<1.0 \text{ cm}^2$) olarak değerlendirildi. Mitrال anıllıstan 4 bölgelerden DDE ile zirve sistolik (S dalgası) ve zirve diastolik miyokardiyal hızları (E ve A dalgaları) kaydedildi ortalamanızı aldı. Bulgular: Hastaların 27'sinde hafif derece, 24'ünde orta derece MD mevcuttu. Hafif ve orta derece MD ile kontrol grubunun SV ejeksiyon fraksiyonları benzer bulundu (sırasıyla %69.1±9.4, %67.3 ve %70.1±6.7, $p>0.05$). Kontrol grubuna göre MD derecesine arttıkça S, E ve A dalgalarında azalma olduğu görüldü (tablo). Korelasyon analizinde kapak derecesi ile S ($r=0.77$, $p<0.001$) ve E ($r=-0.75$, $p<0.001$) dalgalarının güclü. A dalgasının ($r=0.34$, $p=0.001$) ise zayıf ancak anıllı ilişkili gösterdiği saptandı. Sonuç: Mitrال darlığı olan hastalarda sol ventrikül sistolik fonksiyonları korunduğu halde, darlık derecesine göre lokal anıllar sistolik ve diastolik fonksiyonlarda bozulma olduğunu ve bu bozulmanın değerlendirilmesinde doku Doppler ekardiyografinin yararlı tek yöntem olarak kullanılabilceği kanısına varıldı.

Anıllı (cm/s)	Kontrol	Hafif Mitrال Darlık	Orta Mitrال Darlık	p
S Dalgası	17.0±1.9	13.2±3.0	11.4±2.1	<0.001
E Dalgası	22.9±4.6	15.5±3.8	13.9±2.8	<0.001
A Dalgası	18.3±3.3	17.9±4.3	14.0±3.4	<0.001

P-79

DİYASTOLİK DİSFONKSİYONLA BİRLİKTE OLAN SOL VENTRIKÜL HIPERTROFİSİ MIYOKARDİAL PERFORMANS İNDEKSİ UZERİNE ETKİLİ MI?

Arda Şanlı Ökmen, Aydn Yıldırım, Özer Soylu, Seden Çelik, Ertan Ökmen, Tuna Tezel

Dr. Siyami Ersek Göğüs Kalp ve Damar Cerrahisi Eğitim ve Araştırma Merkezi, İstanbul

Amaç: Sol ventrikül hipertrofisi bir yandan diastolik doluşun bozulmasına yol açarken diğer taraftan sistolik fonksiyonların bozulmasına da neden olabilir. Miyokardial performans indeksi hem sistolik hem de diastolik zaman intervallerinin birlikte kullanılması ile global ventriküler performans hakkında bilgi sağlayıcı bir metoddu. Bu çalışmada amac sol ventrikül hipertrofisinden miyokardial performans üzerine etkisini araştırmaktır. Yöntem: Çalışmaya grade I diastolik disfonksiyonlu (bozulmuş relaksasyon) ve sol ventrikül hipertrofili 23 hasta (yaş ort 59±9) ve yine grade I diastolik disfonksiyonlu olan ancak sol ventrikül hipertrofisi olmayan 26 kontrol hasta (yaş ort 54±7) dahil edildi. Doppler akım örnekleri ile izovolumik kontraksiyon zamanı (IKT), ejeksiyon zamanı (EZ) ve izovolumik relaksasyon zamanı (IRZ) saptanarak miyokardial performans indeksi MPI=(IKT+IRT)/EZ formülü ile hesaplandı.

Bulgular: Sol ventrikül hipertrofili hastaların IVS ($1.4\pm0.1 \text{ cm}$), PW ($1.3\pm0.1 \text{ cm}$) kalınlıkları ve sol ventrikül kitlesi ($330\pm87 \text{ gr}$) sol ventrikül hipertrofisi olmayanlara göre (IVS: $0.9\pm0.1 \text{ cm}$, PW: $0.9\pm0.1 \text{ cm}$, sol ventrikül kitlesi: $182\pm35 \text{ gr}$) anıllı derecede fazlaydı (p değeri tüm parametreler için <0.0001). Transmitral ve aort akımından hesaplanan miyokardial performans indeksleri arasında istatistiksel olarak anıllı fark saptanmadı (sol ventriküler hipertrofili grupta 0.39 ± 1.0 , sol ventriküler hipertrofisi olmayan grupta 0.41 ± 8.4 ; p AD).

Sonuç: Diastolik disfonksiyonun erken evrelerinde (grade 1) sol ventrikül hipertrofisi varlığının miyokardial performans indeksi ile değerlendirilen global sol ventrikül performansı üzerine etkisini olmadığı düşünüldü.

P-78

KORONER ARTER HASTALIĞINDA POSTÜRAL DEĞİŞİKLİĞİN DOPPLER VE DOKU DOPPLER PARAMETRELERİ ÜZERİNE ETKİLERİ

Bahar Pirat, Aylin Yıldırım, Aslı Atar, Vahide Şimşek, Bülent Özün, Haldun Müderrisoğlu

Başkent Üniversitesi Tıp Fakültesi, Kardiyoloji Anabilim Dalı, Ankara

Amaç: Bu çalışmada koroner arterler normal olan ve ciddi koroner arter hastalığı (KAH) olan hastalarda, postürel değişiklikle bağlı venöz dönüş artışıının ekardiyografik parametreler üzerindeki etkilerinin saptanması amaçlandı. Yöntemler: Koroner arter hastalığı şüphesiyle koroner anjiyografi planlamış 31 hasta çalışmaya dahil edildi. Koroner arter cerrahisi geçmiş olan, ciddi kapak hastalığı olan, sinus ritmi dışında ritim olan, ejeksiyon fraksiyonu %40'ın altında olan ve kronik böbrek yetmezliği olan hastalar değerlendirilmeye alınmadı. Başlangıçta ve 45 derece bacak kaldırma ve 2 dakika stabilizasyon sonrasında ekardiyografik değerlendirme yapıldı. Transmural "pulsed" Doppler parametreleri ve mitral anıllus septal ve lateral kemarlarından doku Doppler ölçümleri kaydedildi. Ayrıca sol ventrikül ejeksiyon süresi ölçülderek, miyokard performans indeksi (MPI) hesaplandı. Anjiyografik verilere dayanarak tüm hastaların sol ventrikül diastol sonu basınçları kaydedildi.

Bulgular: Koroner anjiyografi sonucunda 14 hastada normal koroner arterler veya kritik olmayan darlık (<70%), 17 hastada ise ciddi KAH saptandı. Gruplar arasında demografik özellikler ve ejeksiyon fraksiyonları yönünden farklı yoktu. Ciddi KAH olan grubun sol ventrikül diastol sonu basınçları, koronerlerin normal olanlara göre yüksekti ($p=0.002$). Bacak kaldırma sonrası, her iki grupta da erken diastolik mitral akım hızı (E), erken diastolik mitral anıllus hızı (EA) ve sol ventrikül ejeksiyon süresi anıllı olarak arttı (tüm ölçümler için $p<0.05$). Koroner arterleri normal olan hastalarda E dalga desesyonu zamanında kısalma, sistolik mitral anıllus hızında (S) artma izlenirken (sırasıyla $p<0.001$ ve $p=0.036$), ciddi KAH olanlarda bu parametrelerde değişiklik saptanmadı ($p>0.05$). Her iki grupta da bacak kaldırma sonrası MPI değerlerinde anıllı düzelmeye izlendi (normal koroner arter grubunda 0.54 ± 0.14 'den 0.48 ± 0.11 'e, $p=0.016$, ciddi KAH grubunda 0.57 ± 0.08 'den 0.52 ± 0.10 'a, $p=0.02$). Koroner arterleri normal olan grupta bacak kaldırma öncesi ve sonrasında MPI ile E, EA ve E/A değerleri arasında anıllı bir ters ilişkili saptanırken (sırasıyla $r=-0.77$, $p=0.001$; $r=0.61$, $p=0.02$; ve $r=-0.75$, $p=0.002$), ciddi KAH olan grupta bu ilişkili izlenmedi. İki grupta da E/EA değerleri postürel değişiklikten etkilenmedi. Sonuç: Bacak kaldırma ile sağlanan venöz dönüş artışıının sebebi olduğu miyokard kasılma ve gevşemesinde gözlenen iyileşme, ciddi KAH'nın varlığında baskılanmaktadır. Ayrıca bu hastalarda MPI ile Doppler parametreleri arasındaki ilişki de bozulmaktadır.

P-80

AİDS TANISI ALMIŞ OLAN HASTALARDA ENDOTELYAL FONKSİYONLARININ BRAKİYAL ARTER ULTRASONOGRAFI YÖNTERMİ İLE DEĞERLENDİRİLMESİ

Ergün Barış Kaya, Gülay Sain*, Enver Atalar, Harun Kılıç, Bünyamin Yavuz, Necla Özer, Serdar Aksöyek, Kenan Övünç, Serhat Ünal*, Ferhan Özmen

Hacettepe Üniversitesi Tıp Fakültesi, Kardiyoloji Anabilim Dalı, Hacettepe Üniversitesi Tıp Fakültesi*, Ankara

Amaç: AİDS hastalarında kardiyovasküler sistem tutulumuna sık olarak rastlanmaktadır. Bu duruma, HIV enfeksiyonun direkt etkileri yanı sıra kullanılan proteaz inhibitörlerinin de etkisi olabildiği gösterilmiştir. Bu çalışmada AİDS tanısı ile izlenmeye olan hastaların endotel fonksiyonları brakiyal arter ultrasonografi yöntemi ile değerlendirilmiştir. Yöntemler: Çalışmaya AİDS tanısı ile izlenen 20 hasta (10 kadın, yaş ortalaması 40 ± 11) ve yaş ve cinsiyet olarak uyumlu 20 sağlıklı birey alınmıştır. Hastaların endotel fonksiyonları brakiyal arter ultrasonografi değerlendirildi. Bilinen kardiyovasküler sistem hastalığı, hipertansiyon, diyetbet, böbrek yetmezliği gibi endotel fonksiyonunu etkileyebilecek hastalığı olanlar çalışmaya alınmadı.

Bulgular: Akıma bağlı dilatasyon (FMD) AİDS olan hastalarda $9\pm7\%$ kontrol grubunda 20 ± 6 bulundu ($p=0.0001$). Proteaz inhibitörlerini kullanılarak ilaç tedavisi almayan hastalar değerlendirildiğinde FMD iki grup arasında benzer olarak bulundu (sırasıyla $8.4\pm8\%$ vs $11.1\pm6.1\%$ $p=0.2$). Hastalık süresine göre gruplandırıldığından, hastalık süresi 5 yılдан az olan AİDS hastalar ile 5 yıl ve daha fazla olan hastalarda FMD değerlerinin farklılığı izlendi.

Sonuçlar: AİDS hastalarında endotel fonksiyonları bozulmuş olarak izlenmektedir. Proteaz inhibitörlerin benzer olarak bulunmayan hastalarda endotel disfonksiyonunun benzer bulunumlu, endotel fonksiyon bozukluğunun esas nedeni HIV enfeksiyonuna bağlı olduğunu düşündürmektedir.

p-81

SİNÜS RİTMİNDEKİ MITRAL DARLIKLI OLGULAR İLE ATRİYAL FİBRİLASYONDAKİ MITRAL DARLIKLI OLGULARIN SOL ATRİYAL APENDİKS FONKSIYONLARININ KARŞILAŞTIRILMASI

Serkan Saygı, Öner Özdogan, Meral Kayıkçıoğlu, Cemil Gürgün,
Cahide Soydas Çınar

Ege Üniversitesi Tıp Fakültesi, Kardiyoloji Anabilim Dalı, İzmir

Anaç: Sol Atrial Apendiks (SAA) sistemik emboliye sebep olan trombuslerin en önemli kaynağı olarak bilinir. Özellikle atriyal fibrilasyonu (AF) olan mitral Darlıklı (MD) olgularında, azalmış SAA fonksiyonları trombus oluşumunu sebebi olmaktadır. Oral antikoagüdan (OAK) tedavi AF' u olan MD' li olgulara rutin olmak kullanılırken, sinus ritimindeki MD' li olguları kullanmayı açığa getirir. Biz bu çalışmada AF' u olan orta-ciddi MD' li olgular ile SR' deki MD' li olguların SAA fonksiyonlarını karşılaştırdık. Genel ve Yöntem: Çalışmaya Ege Üniversitesi Tip Fakültesi Kardiyoloji kliniğinde, orta-ciddi MD tanısıyla transforstör (TTE) ve transozetlageal (TOE) ekokardiyografi inceleme yapılan 36 olgu aldı. Olgular bazal ritimlerine göre AF ve SR olmak üzere iki gruba ayrıldı. TTE Sonos 2500 cihazı ile 2.5MHz transducer kullanılarak yapıldı. Sol atriyum (SA) çapları parasternal uzun aksta iki-boyutlu görüntüler ile ölçüldü. Mitral kapak alanı (MKA) iki-boyutlu planimetrik inceleme ve transvalvüler gradiyentlerin doppler ölçümü ve hasarı yanıtname zamanı ile hesaplandı. TOE incelemede 5MHz multiplan transducer kullanıldı. SAA horizontal kırıksız aks ve longitudinal planda görüntüllendi. TOE incelemede SAA maksimum boşalma hızı, spontan eko kontrast (SEK), SAA dolum paterni ve SA ve SAA trombuslu değerlendirildi.

Bulgular: Her iki grup arasında yaş ve cinsiyet açısından istatistiksel anlamlı fark yoktu. MKA, SA çapı, Sistolik pulmoner arter basincı (SPAB) ve EKO skoru açısından iki grup arasında anlamlı fark saptanmadı. SEK AF grubundan 15 olguda, SR grubundan 13 olguda saptandı ve istatistiksel olarak anlamlı değildi. Her iki grubun SAA maksimum boşalma hızları benzer olarak saptandı (AF:20±6 cm/sn, SR:22±6cm/sn p:0,3). SAA trombuslu 8 hasta saptandı (4 olgu AF, 4 olgu SR). (Tablo)

Sonuç: Biz bu çalışmada SAA fonksiyonlarının orta-ciddi MD' da bozulduğunu gösterdik. Yine bu çalışmada SR' deki MD' li olgularda SAA fonksiyonlarının, AF' deki MD' li olgulara benzer şekilde bozulduğunu, SEK ve SAA trombuslu her iki grupta benzer oranda gözlemlenmiş saptadık. Bu sonuç bize mitral darlığı olan sinus ritimindeki olgularda da, AF' deki mitral darlıklı olgulara benzer şekilde azalmış SAA fonksiyonları sebebiyle trombus ve sistemik emboli riskinin artmış olabileceğini ve klinik uygulamada AF' u olan MD' li olgularda rutin olmak kullanıldığımız OAK tedavinin orta-ciddi MD' i olan ancak SR' deki olgularda da kullanım endikasyonunun olabileceğini gösterebilir.

Tablo. MKA:Mital Kapak Alanı (cm²) SPAB: Sistolik Pulmoner Arter Basinci (mmHg)

	AF	SR	p
n	19	17	
Yaş	54±10	45±8	0.4
Kadın/Ekek (%)	78/22	88/12	0.9
SA çapı (mm)	49±4	48±5	0.3
SAA maks. boşalma hızı (cm/sn)	20±6	22±6	0.6
MKA (cm ²)	1.4±0,3	1.3±0,3	0.6
SPAB (mmHg)	37±8	43±9	0.9
EKO skoru	7±1	7±2	0.9

P-82

ROMATOİD ATRİTLİ HASTALARDA DİYASTOLİK FONKSIYONLARIN EKOKARDİYOGRAFİK OLARAK DEĞERLENDİRİLMESİ

Ibrahim Özdoğu, Mustafa Gür, Mustafa Çalış*, Ali Doğan, Tuğrul İnanç, Ibrahim Gülb, Mustafa Çalışkan, Ali Gülb, Ramazan Topsakal, N Kemal Eryol

Erciyes Üniversitesi Tıp Fakültesi, Kardiyoloji Anabilim Dalı, Fizik Tedavi ve Rehabilitasyon Anabilim Dalı*, Kayseri

Amaç: Romatoid artitili (RA) hastalarda diyastolik disfonksiyon tespit edilmektedir. Bu grup hastalarda diyastolik fonksiyonları doku Doppler ekokardiyografi (DDE) ile inceleyen sınırlı sayıda çalışma mevcuttur. Çalışmamızda RA'lı hastalarda diyastolik fonksiyonları konvansiyonel ve DDE ile değerlendirilmeyi amaçladık.

Yöntemler: Çalışmamızda 35 RA'lı hasta (24 kadın, 11 erkek, ortalama yaşı: 45±9.5) ve 39 sağlıklı birey (10 kadın, 29 erkek, ortalama yaşı: 40±11) kontol grubu olarak alındı. Hastalarla konvansiyonel ve DDE ile inceleme yapıldı. Koroner arter hastalığı hikayesi, hipertansiyon ve diabeti olanlar çalışmaya alınmadı. Bulgular: Tablo I'de bulgular gösterilmiştir. Her iki grubun sistolik ve diyastolik çapları ve ejeksiyon fraksiyonu benzer bulundu. Mitral E dalga hızları benzedi, A dalga hızında hasta grubunda belirgin artış izlendi. IVRT hasta grubunda daha uzun bulundu. DDE ile mitral lateral anulus Ea ve AA hızı belirgin azalmıştı.

Sonuç: RA'lı hastalarda sistolik fonksiyonlar korunurken diyastolik fonksiyonlar konvansiyonel ve DDE ile bozulmuş olarak bulunmuştur.

Tablo 1.

	hasta grubu n:35	kontrol grubu n:39	p değeri
LV sistolik çap (cm)	3,10±0,54	3,28±0,43	p:0,11
LV diastolik çap (cm)	4,76±0,57	4,84±0,47	p:0,48
LVEF (%)	71,4±7,80	69,9±7,26	p:0,41
Mitral E (m/s)	0,80±0,23	0,80±0,14	p:0,09
Mitral A (m/s)	0,76±0,24	0,58±0,12	p:0,00
IVRT (ms)	85±20	72±20	p:0,01
Pulmoner S (m/s)	0,60±0,15	0,58±0,12	p:0,76
Pulmoner D (m/s)	0,50±0,09	0,46±0,09	p:0,14
Pulmoner AR hızı (m/s)	0,42±0,13	0,33±0,12	p:0,01
Lateral anulus E (m/s)	0,10±0,03	0,13±0,02	p:0,01
Lateral anulus A (m/s)	0,10±0,02	0,09±0,02	p:0,01
Lateral anulus Edec (ms)	143±52	169±43	p:0,01

P-83

HİPERTROFİK KARDİYOMİOPATİDE KALP YETMEZLİĞİ SEMPTOMLARI İLE İLİŞKLİ EKOKARDİYOGRAFİK PARAMETRELER

Fatih Bayrak, Bülent Mutlu, Gökhan Kahveci, Kürşat Tigen, Hakan Fotbolcu, Elif Eroğlu, Tansu Karaahmet, Muhsin Türkmen, Yelda Başaran

Koşuyolu Kalp Eğitim ve Araştırma Hastanesi, İstanbul

Anaç: Hipertrofik kardiyomiyopati (HKMP) klasik olarak normal sistolik fonksiyon ve diyastolik disfonksiyonla seyreden heterojen klinik prezantasyonlu bir hastalıktır. HKMP'li vakalar sıkılıkla kalp yetmezliği semptomları ile başvuruda bulunmakla beraber, semptomlarla ilişkili ekokardiyografik parametreler sınımda kadar net olarak tanımlanmamıştır. Bu çalışmada HKMP'de semptomatik durumun ekokardiyografik belirteçlerini test etmeye amaçladık.

Yöntemler: Çalışmaya sol ventrikül sistolik fonksiyonu normal olan 50 HKMP hasta (Ort yaş: 47±16, 26 kadın, 24 erkek) dahil edildi. Diyabet, koroner arter hastalığı ve renal yetersizliği olan hastalar çalışma dışına bırakıldı. Standart ekokardiyografik ölçümler sonrası hastalar 2 gruba ayrıldı. (Grup 1 = asemptomatik-NYHA Class 1 / Grup 2 = semptomatik- NYHA Class II, III, IV).

Bulgular: Her iki grup standart ekokardiyografik parametreler yönünden kıyaslandı. İstatistiksel olarak farklılık gösteren ekokardiyografik parametreler; sol ventrikül çıkış yolu maksimum gradiyenti ($p<0,01$), sol ventrikül çıkış yolu ortalama gradiyenti ($p<0,01$), E dalgası deselerasyon zamanı ($p<0,02$), mitral yetersizliği etkin kaçak alanı ($p<0,05$), mitral yetersizlik volümü ($p<0,05$), sol ventrikül diyastol sonu çapı ($p<0,05$) ve akım propagasyon hızı ($p<0,1$) olarak saptanmıştır. Takiben yapılan regresyon analizinde E dalgası deselerasyon zamanı ($p<0,05$), sol ventrikül diyastol sonu çapı ($p<0,05$), sol ventrikül çıkış yolu ortalama gradiyenti ($p<0,05$), akım propagasyon hızı ($p<0,05$), HKMP'de semptom varlığının bağımsız prediktörleri olarak bulundu.

Sonuç: HKMP'de bozulan global diyastolik fonksiyon, ciddi mitral yetersizliği varlığı ve sol ventrikül çıkış yolu gradiyenti yüksekliği semptomlarda artıla ilişkilidir. Semptomlarla ilişkili görülen bu ekokardiyografik parametrelerin yakın klinik takip ve gjirişimsel tedavi yöntemleri uygulanması gereken hastaların seçilmesinde yardımcı parametreler olarak kullanılması faydalıdır.

P-84

AKROMEGALİDE KARDİYAK DİSFONKSİYON GERİYE DONUŞLUMUDUR?

Ali Gülb, Fatih Tanrıverdi*, Abdurrahman Oğuzhan, Fahri Bayram*, Yücel Yılmaz, Sibel Gülb**, Hüseyin Atmaca*, Mustafa Gür, Mustafa Çalışkan, Ali Ergin

Erciyes Üniversitesi Tıp Fakültesi, Kardiyoloji Anabilim Dalı, Endokrinoloji Anabilim Dalı*, Kayseri Devlet Hastanesi, Kardiyoloji Kliniği, Kayseri**

Giriş ve Amaç: Akromegalik kardiyomiyopatının en erken bulgusu kardiyak hipertrofi ve diyastolik disfonksiyondur. Heri erivedi sistolik disfonksiyon olduğunda genellikle geriye dönüsmezdir. Bizi çalışmamızda hastalığın tedavisinin sol ventrikül sistolik ve diyastolik fonksiyonları üzerinde olan etkisini araştırdık.

Metod: Çalışmamızda 22 aktif akromegalik (AA), 13 küt akromegalik (KA) hasta ve kontrol grubu (KG) olarak 32 sağlıklı birey aldı. Her üç gruba 2 boyutlu, doppler ekokardiyografi ile ejeksiyon fraksiyonu (EF), transmitral E/A velositesi, E/A oranı ve izovolumtrik gevşeme zamanı (IVGZ) ölçüldü. Bölgesel diyastolik fonksiyonların değerlendirilmesinde daha hassas bir yöntem olan doku doppler ekokardiyografi (DDE) ile mitral lateral anulus Ea, Ea/Ea/oranı ve IVGZ'a ölçüldü. Bulgular tablo halinde gösterilmiştir. P<0,05: istatistiksel anlamlı SVK: sol ventrikül kütlesi AD: anlamlı değil Her üç grubun EF'leri arasında fark yoktu. SVK KA grupta AA gruba göre azalmıştır. Diyastolik fonksiyon parametrelerinde KA grupta kütßenin düzleme olduğu saptandı. Sonuç olarak akromegalinin tedavisi ile kardiyak yapısal ve fonksiyonel anomalilikler düzellebilirler. Hastalığın kardiyak tutulumunun tanı ve tedaviye yanıtın takibinde ekokardiyografi yatarır bir yöntemdir.

Tablo 1. Bulgularını karşılaştırılmıştır

	AA grubu	KA grubu	KG	AA ile KG p değeri	AA ile KA p değeri	KA ile KG p değeri
Yaş	42±11	37±7	37±6	AD	AD	AD
EF	71±3	70±3	71±5	AD	AD	AD
SVK(gr)	290±80	212±35	132±33	0,0001	0,001	0,0001
E m/sn	0,68±0,13	0,80±0,16	0,90±0,19	0,0001	AD	0,04
A m/sn	0,72±0,13	0,62±0,19	0,62±0,10	0,02	AD	AD
E/A oranı	0,96±0,23	1,3±0,27	1,51±0,26	0,0001	0,001	AD
IVGZ msn	115±16	96±21	62±12	0,0001	0,007	0,001
Ea/cm/sn	10,6±2,7	15,5±3,6	16,6±3,3	0,0001	0,0001	AD
Aa/cm/sn	12,3±3,5	9,9±2,6	9,3±1,8	0,0001	0,04	AD
Ea/Aa oranı	0,91±0,28	1,6±0,4	1,8±1,4	0,0001	0,0001	AD
IVGZa msn	102±21	79±26	49±8	0,0001	0,005	0,001

Ekokardiyografi

P-85

“DOPPLER-DERIVE” MIYOKARDİYAL PERFORMANS İNDEKSİNİN DIYABETİK HASTALARDAKİ ALBÜMİNÜRİYLE İLİŞKİSİ

Mehmet Küçükosmanoğlu, Cihan Örem, Hasan Kasap, Mustafa Gökcé, Turan Erdoğan, Ismet Durmuş, Salih Turan, Sükrü Çelik

Karadeniz Teknik Üniversitesi Tıp Fakültesi, Kardiyoloji Anabilim Dalı, Trabzon

Amaç: Albüminürü, diyabetik hastalarda kardiyovasküler hastalıkların ve ölümün önemli bir belirleyicisidir. Bu çalışmada albüminürü varlığının miyokardiyal disfonksiyonla ilişkisi, Doppler-derive miyokardiyal performans indexi (MPI) ve klasik ekokardiyografik fonksiyon parametreleri kullanılarak araştırıldı.

Yöntemler: Aşikar koroner arter hastalığı ve kalp yetmezliği olmayan 123 diyabetik hasta çalışmaya aldı. Hastalar 50'si albüminürleri olmayan, 49'u mikroalbüminürleri, 24'ü makroalbüminürleri olmak üzere 3 gruba ayrıldılar. Bu gruplarda HP SONOS 5500 ekokardiyografi cihazı kullanılarak sol ventrikül çapları, duvar kalınlıkları, sol ventrikül kitle indexi (SVKI), ejeksiyon fraksiyonu, duvar hareketleri, diastolik mitral akım paterninden E ve A dalga velocitiesi, E/A oranı, E deselerasyon zamamı (EDZ), isovolumetrik gevşeme (IVGZ) ve kasılma zamamı (IVKZ), ejeksiyon zamamı ölçüldü. IVGZ ve IVKZ toplam, ejeksiyon zamamına bölümlere MPI hesaplandı.

Bulgular: Ortalaması MPI diyabetik hastaların tımmünde artmış olarak bulundu (0.59 ± 0.12). MPI değeri albüminürleri olmayan gruptan makroalbüminürleri olan gruba kadar anamlı progresif artış gösterdi (albüminürüsiz grupta 0.51 ± 0.1 , mikroalbüminürülerde 0.61 ± 0.1 , makroalbüminürülerde 0.7 ± 0.08). MPI, IVGZ ($r=0.61$, $p<0.001$), IVKZ ($r=0.75$, $p<0.001$), diyabet süresi ($r=0.34$, $p<0.001$), fibrinojen ($r=0.4$, $p<0.001$), kreatinin ($r=0.24$, $p=0.007$), total ($r=0.39$, $p<0.001$) ve düşük dansiteli lipoprotein kolesterol ($r=0.4$, $p<0.001$) seviyesi ile pozitif. EF ($r=0.22$, $p=0.01$) ve E/A oranı ile negatif ilişkiliydi ($r=-0.36$, $p<0.001$). Albüminürü varlığının ekokardiyografik fonksiyon parametreleri (MPI, EF, E/A oranı, EDZ, IVGZ) ve SVKI ile ilişkileri regresyon analizi ile değerlendirildiğinde sadece MPI'nin albüminürü varlığının bağımsız bir belirleyicisi olduğu görüldü (OR: 1.1 %95 CI: 1-1.17 $p<0.001$). Sonuç: Bu çalışmada miyokardiyal performans indexinin albüminürü varlığı ve dolayısıyla diyabetin прогнозunu belirlemeye duyarlı bir parametre olabileceğini sonucuna varıldı.

P-86

BÜYÜME HORMONU EKSİKLİĞİNDE AORTUN ELASTİK ÖZELLİKLERİ

Ali Güç, Fatih Tanrıverdi*, Abdurrahman Oğuzhan, Fahri Bayram*, Sibel Güç**, Yücel Yılmaz, Tiğrul İnanç, Mustafa Gür, N. Kemal Eryol

Erciyes Üniversitesi Tıp Fakültesi, Kardiyoloji Anabilim Dalı, Endokrinoloji Anabilim Dalı*, Kayseri Devlet Hastanesi, Kardiyoloji Kliniği, Kayseri**

Büyüme hormonu eksikliğinde (BHE) kardiyovasküler mortalite artmaktadır. BHE kardiyovasküler fonksiyonları, dislipidemi, hiperkoagüabiliti ve aterosklerozun yanı sıra endotelyal disfonksiyon ile kötü yönde etkilemektedir. Ateroskleroz kendini aortik stiffnessde artma ve distensibilitede azalma şeklinde göstermektedir.

Amaç: Çalışmamızda BHE olan hastalarda aortun elastik özelliklerini ekokardiyografik olarak değerlendirmeyi amaçladık.

Metod: Çalışmaya BHE olan (hastalık süresi: 6.7 ± 5.8 yıl) 20 hasta (16 kadın, 4 erkek) alındı. Kontrol grubu olarak aynı yaş ve beden kitle indeksine sahip 28 sağlıklı birey (20 kadın, 8 erkek) alındı. Çalışmadan diyetbesin mellitus, hipertansiyon, koroner arter hastalığı öyküsü ve kalp kapak hastalığı olan bireyler dışlandı. Parametremiz uzun aks görünürlüle aort kapapının 3 cm üzerinden geçen M mod kesitlerde aortun sistolik (AoS) ve diastolik (AoD) çapları ölçüldü. Aortik strain, aortik distensibilite ($\text{cm}^2 \times \text{dyn}^{-1} \times 10^{-3}$) ve aortik stiffness indeksleri hesaplandı.

Bulgular: Aşağıda tablo halinde gösterildi. $P<0.05$: istatistiksel anlamlı, AD: anlamlı değil. SKB: Sistolik kan basıncı DKB: Diastolik kan basıncı BHE olan hastalarda aortik strain ve distensibilite kontrol grubuna göre azalmıştır, aortik stiffness indeksleri de artmıştır.

Sonuç: BHE'de aortik strain ve distensibilitedeki azalma, aortik stiffnessdeki artma aortik özelliklerin bozulmuş olduğunu göstermektedir. Aortun elastik özelliklerinin bozulması BHE olan hastalarda aterosklerozun erken bir belirtisi olabilir. Bu hastalarda aterosklerozun kesin tanısı için daha ileri çalışmalarla ihtiyaç vardır.

	Hasta (n:20)	Kontrol (n:28)	p değeri
Yaş	45 ± 8	44 ± 6	AD
SKB(mmHg)	120 ± 17	120 ± 8	AD
DKB(mmHg)	74 ± 14	69 ± 10	AD
AoS(cm)	$2,8 \pm 0,3$	$2,9 \pm 0,3$	AD
AoD(cm)	$2,7 \pm 0,3$	$2,5 \pm 0,3$	AD
Aortik strain(%)	$5,2 \pm 3,2$	$17,5 \pm 6,4$	$<0,0001$
Aortik distensibilite	$2,2 \pm 1,2$	$7,0 \pm 2,3$	$<0,0001$
Aortik stiffness indeksi	$14,9 \pm 11,9$	$3,5 \pm 1,3$	0,001

P-87

MİGRENLİ HASTALARDA PATENT FORAMEN OVALE VE ATRİYAL SEPTAL ANEVİRİZMA SIKLIĞI

Necati Dağlı, Mehmet Akbulut, Yılmaz Özbay, Özlem Gindoğu, Murat Gönen*, Erdoğan İlkay, Nadi Arslan

Fırat Üniversitesi Tıp Fakültesi, Kardiyoloji Anabilim Dalı, Nöroloji Anabilim Dalı*, Elazığ

Giriş: Son zamanlarda, paradoskal mikroembolizasyonların önemli bir migren nedeni olduğu görüşü giderek önem kazanmaktadır. Bu nedenle migrenli hastalarda, uzun yıllardan beri masumluğuna inanılan patent foramen ovale (PFO) ve atriyal septal anevrizma (ASA) gibi durumların sikliğini araştırmayı amaçladık.

Yöntemler: Çalışmaya, Uluslararası Baş Ağrısı Cemiyeti kriterleri doğrultusunda migren tarası konulmuş hastalar (Grup-I: yo: 34 ± 9 yıl, n:50, 39 kadın) ile, seirebilir ve kardiyovasküler hastalığı olmayan vakalar (Grup-II: yo: 33 ± 7 yıl, n:46, 33 kadın) aldı. Daha sonra tüm vakalar standart transesofageal ekokardiyografi (TEE) inceleme programına alınarak, gruplar arasında PFO ve ASA oranı açısından fark olup olmadığını bakıldı.

Bulgular: Grupların bazal klinik özellikleri arasında iyi bir denge vardı ($p>0.05$). Bununla birlikte TEE incelemeleri sonucunda, Grup-I'deki PFO, ASA ve sağdan sola şant oranı Grup-II'den belirgin şekilde daha yüksek bulundu [39 (%78) hastaya karşı 15 (%33) hasta, $p<0.001$; 18 (%36) hastaya karşı 3 (%7) hasta, $p<0.001$ ve 21 (%42) hastaya karşı 6 (%13) hasta, $p<0.001$] ve Grup-I'deki PFO ve ASA olan hastaların önemli bir bölümünden aura ile seyreden migrenli vakalardan oluşuyordu [aural migren olan hastalardaki %86 (n:25) PFO ve %48 (n:14) ASA'ya karşı aurasyon migren olan hastalarda %43 (n:9) PFO ve %19 (n:4) ASA; $p<0.05$]. Sonuç: Sonuç olarak bu çalışmada, migren ile PFO ve ASA arasında yakın bir ilişki olduğu kanaatine varıldı. Özellikle PFO ve ASA'sı olan migrenli hastaların önemli bir bölümünde auranın bulunması diğer bir dikkat çekici bulguydu.

P-88

ORAK HÜCRELİ ANEMİDE DİYASTOLİK FONKSİYON BOZUKLUĞU SIK DEĞİLDİR: DOKU DOPPLER ÇALIŞMASI

Mehmet Kanadaşı, Onur Akpinar, Murat Çaylı, Yurdaer Dönmez, Esmeray Acartürk

Çukurova Üniversitesi Tıp Fakültesi, Kardiyoloji Anabilim Dalı, Adana

Giriş: Orak hücreli anemi, intrakoroner oraklaşma, ön yükteki artış ve hiperdinamik miyokard nedeniley kardiyak dilatasyon ve kalp fonksiyonlarında bozukluğa neden olmaktadır. İleri dönemde sol ventrikül sistolik fonksiyonlarındaki bozulma için fikir birliği olmasına karşın erken dönemdeki diyastolik fonksiyonlara konusunda farklı görüşler bulunmaktadır. Bu çalışmada kalp yetersizliği olmayan orak hücre anemili hastalarda diyastolik fonksiyonlarının değerlendirilmesinde klasik ekokardiyografik yöntemler ile ön yük artışından bağımsız yeni bir yöntem olan doku Doppler yöntemi karşılaştırıldı.

Metod: Kalp yetersizliği olmayan 31 homozigot orak hücre anemili hasta (18 erkek ve 13 kadın, yaş ort: 26.4 ± 8.5 yıl) ve 31 sağlıklı birey (19 erkek ve 12 kadın yaş ort: 26.5 ± 7.6 yıl) çalışmaya aldı. Ekokardiyografik inceleme M-mod, iki boyutlu, nabız (PWD) ve doku Doppler yöntemlen kullanılarak yapıldı. Sol ventrikül sistol ve diyastol sonu boyaları, ejeksiyon fraksiyonu, diyastolik septum ve posterior duvar kalınlıkları ölçüldü. PWD ile E ve A dalgaları, E/A, deselerasyon zamanı ve izovolumetrik relaksasyon zamanı, doku Doppler ölçümü ile diyastolik miyokardiyal E ve A dalgaları esas alınarak sol ventrikül diyastolik fonksiyonları değerlendirildi.

Bulgular: Hastaların kalp boşullıkları, duvar kalınlıkları, transmitral E ve A, diyastolik miyokardiyal E ve A dalgaları, kontrol grubuna göre artmış bulundu ($p<0.05$). PWD ile 4 hastada restritif tip, 3 hastada ise relaksasyon bozukluğu tipinde olmak üzere toplam 7 hastada (%23) diyastolik fonksiyon bozukluğu saptandı. Doku Doppler ile incelemede PWD ile relaksasyon bozukluğu saptanan 3 hastada (%10) diyastolik fonksiyon bozukluğu teyit edildi. Bununla birlikte PWD ile restritif tipte diyastolik fonksiyon bozukluğu bulunan 4 hastanın doku Doppler ile incelenmesinde diyastolik parametrelerin normal olduğu saptandı. Sonuç: Kalp yetersizliği olmayan orak hücre anemili hastalarda diyastolik fonksiyon bozukluğunun sık görülmemiği ve restritif tipte diyastolik fonksiyon bozukluğu saptanan hastaların ön yükten etkilenmemeyen bir yöntem olan doku Doppler ile yeniden değerlendirilmelerinin uygun olacağı kanısına varılmıştır.

Ekokardiyografi

P-89

SAĞ ATRİAL KİST HİDATİK

Ramazan Akdemir, Hakan Özhan, Enver Erbilen, Hüseyin Gündüz*, Hüseyin Arıng*, Sinan Albayrak, İlker Özer, Hakan Ünlü, Yakup Balaban, Serkan Bulut, Denyan Mansuroğlu**, Cihangir Uyan

Abant İzzet Baysal Üniversitesi, Düzce Tıp Fakültesi, Kardiyoloji Anabilim Dalı, Düzce

Abant İzzet Baysal Üniversitesi, İzzet Baysal Tıp Fakültesi*, Bolu Koşuyolu Kalp Eğitim ve Araştırma Hastanesi, İstanbul**

Giriş ve Amaç: Kardiyak kist hidatik oldukça ender görülen bir parazit hastalığıdır. Sıklıkla perikart ve miyokart tutulsa da kavite içine yerleşen vakalar da bildirilmiştir. Burada enduk eden görünen ve sağ atrial yerleşen gösteren bir kist hidatik vakası sunulmuştur.

Gereç, Yöntem ve Bulgular: 13 yaşında bayan hasta, 5 yıldır, yılda 1-2 kez 4 hafta kadar süren pnömoni tanıtlarıyla bir göğüs hastalıkları uzmanı tarafından takip ediliyor. Telegrafide her iki akciğer alanlarında tediyye yanıştır infiltrasyonlar mevcut ancak, kardiyomegalı yok. Hastada öncelikle KOAH zemininde tekrarlayan akciğer enfeksiyonu düşünülmüş. Ancak yine de bir ekokardiyografik inceleme takip eden doktor tarafından istenmiş. Ancak yine de bir ekokardiyografik inceleme için hastadan transtorasik eko istenmiş. Hastanın kardiyovasküler sistem muayenesinde bir özellik saptanmadı. Ekokardiyografide sağ atrium içinde zaman zaman triküspit kapaklı ucuna kadar uzanan yer yer veziküler görünümleri mevcut olduğu 2-3 cm boyutlarında kitle saptandı (Şekil). Hastanın bu görünümleri ile klinik büyükün de birlikte düşünlmesi sonucu öncelikle bir sağ atrial miksozma düşünüldü. Akciğerdeki pnömonik infiltrasyonları da tümör üzerine zaman zaman yerleşen trombusların embolize olmasına bağlı. Hastaya "Sağ Atrial Miksozma" ön tanısı açık kalp cerrahisi uygulandı. Patolojik inceleme Kist Hidatik tanımı kondu. Yapılan tüm viçüt tamamında başka bir odak kist hidatik saptanmadı. Hastada 3 ay Albendazol tedavisi izlendi. Aylık yapılan ekokardiyografik tekrıklarında nüks izlenmedi. Hastanın tam öncesi akciğer problemlerinin tekrarlayan emboliye ikincil olduğu düşünüldü. Sonuç: Kardiyak kist hidatik kalbin her yapısını tutabılır ve kalp ile ilişkili kitlelerin yanı sıra akciğerdeki kist hidatiklerin de tutulması gereken önemli bir parazit enfeksiyonudur.



P-91

DİYABETES MELLİTUSU BULUNAN HASTALARDA KAN ŞEKERİ VE HEMOGLOBİN A1C DEĞERLERİNİN SOL VENTRİKÜL PERFORMANS PARAMETRELERİ İLE KORELASYONU VAR MİDIR?

Kurtuluş Özdemir, Mehmet Yazıcı, Mehmet Akif Dizenli, Ahmet Soylu, Nazif Aygül, Akif Vatankulu, Gürcan Kisakol*, Sait Gönen*

Selçuk Üniversitesi Meram Tıp Fakültesi, Kardiyoloji Anabilim Dalı, Endokrinoloji Anabilim Dalı*, Konya

Amaç: Bilindiği gibi diyabetes mellitus (DM), kalp performansını etkileyerek fonksiyon bozukluğunu yol açabilmektedir. DM'da kan şekeri regülasyonu ile sol ventrikül performansı ilişkisine ait veriler yetersizdir. DM bulunan hastalarda kalp performansının göstergesi olarak son zamanlarda sıklıkla kullanılan sol ventrikül miyokardiyal performans indeksi (MPI), akım iletme hızı (FPV), miyokardiyal hızları ve konvansiyonel parametrelerin kan şekeri regülasyon göstergeleri olan açık kan şekeri (AKŞ), toklus kan şekeri (TKŞ) ve hemoglobİN A1c (HbA1c) değerleri ile ilişkisi olup olmadığı belirlemek için bu çalışmaya planladık.

Metod: En az 6 aydır DM tanısı almış kan basinci $\leq 150/90$ mmHg olan insulin veya oral antidiabetik ilaç kullanan 73 hasta (yaş ort: 50 ± 11 yıl) da 8 saatlik AKŞ, TKŞ ve HbA1c değerleri belirlendi. Tüm hastalara sol yan pozisyonda ekokardiyografi yapılarak sol ventrikül ejeksiyon fraksiyonu (EF), sol ventrikül erken dolus (E) ve geç dolus (A) kan akım hızları ölçüldü ve E/A oran hesaplandı. Doku Doppler görüntüleme metodü ile sol ventrikül 4 segmentinde stolistik miyokardiyal hız (Sm), erken ve geç diastolik hızlar (Em, Am), ejeksiyon zamanı, izovolumetrik kontraksiyon ve gevşeme zamanları ve ejeksiyon zamanı ölçülerle MPI hesaplandı. Segmenten değerlerin ortalaması alınarak sol ventrikülün ortalama Sm, MPI ve Em/Am değerleri elde edildi. Yine sol ventrikül giriş yolunda FPV ölçüldü. Bulgular: AKŞ, TKŞ ve HbA1c değerleri ile sol ventrikül MPI, Sm, FPV ve EF arasında herhangi bir ilişki tespit edilemekten sadece konvansiyonel metodla elde edilen Em/A orani ve doku Doppler metodu ile elde edilen sol ventrikülün ortalama Em/A orani ile AKŞ ve TKŞ arasında zayıf ama anlamlı pozitif bir korelasyon tespit edildi (sırasyyla; E/A için $r=0.24$, $p=0.03$ ve $r=0.31$, $p=0.009$; Em/Am için $r=0.23$, $p=0.04$ ve $r=0.29$, $p=0.01$).

Sonuç: Nispeten az sayıda hastayı iltiyâ eden bu çalışma sonuçları, DM bulunan hastalarda kan şekeri regülasyonu ile ilgili parametrelerin daha ziyade sol ventrikül dolus parametreleri ile ilişkili olduğunu yanlısol ventrikül diastolik dolusunu etkileyebileceğini dışlandırmaktadır. Bununla birlikte bu parametrelerin FPV ile korelasyon göstermemesi bir çelişki gibi görülmektedir.

P-90

AORT YETERSİZLİKLİ OLGULARDA YENİ BİR GÖSTERGE OLAN SOL VENTRİKÜL ELONGASYON İNDEKSİNİN DEĞERLENDİRİLMESİ

Oben Bayan, Mehmet Uzun, Mehmet Yokuşoğlu, Kürşad Erinç, Celal Genç, Cemal Sağı, Hayrettin Karaeren, Ersoy Işık

Gülhane Askeri Tıp Akademisi, Kardiyoloji Anabilim Dalı, Ankara

Aort yetersizliği (AY) diyastolik yüklenme yaparak sol ventrikülde egzantrik hipertrofiye neden olur. Hipertrofinin miktarı ile hastalık progresyonu ve yaşam oranı arasında yakın ilişki vardır. Bu çalışmada sol ventrikül büyümelerini yeni bir indeksi olan elongasyon indeksi (EI) aort yetersizlikli hastalarda geliştirilmiştir. Çalışmada 20-32 yaşları arasında 36 hasta almıştır. Hastalar, AY derecesine göre hafif, orta ve ılıeri olmak üzere üç gruba ayrıldı. AY derecesi, ırgurjitan jetin sol ventrikül dışa akım yolu oranına göre belirlendi. Çalışmada rutin eko parametreleri yanında sol ventrikül iç yüzey alanı (IYA) ve hacmi (IH) apikal dört odadan Simpson yöntemi yardımıyla hesaplandı. El, şu şekilde tanımlandı: (IYA-Aynı hacme sahip sanal kürenin alanı)/(Aynı hacme sahip sanal kürenin alanı). Karsılaştırmalar Mann-Whitney U testi ve Kruskal Wallis testi ile yapıldı. Sonuçlar tabloda görülmektedir. EI ile EF arasında doğru orantılı, LVIDd arasında ters orantılı bir ilişki vardı ($p=0.012$ ve $p=0.001$). Sonuç olarak, EI, AY derecesi ile yakın ilişkili olan ve tek tip kullanılabilecek bir parametredir.

Tablo. Gruplar Arası Karşılaştırmalar

AY şiddeti	EI	EF	LVIDd
Hafif (n=14)	0.12 ± 0.02	0.61 ± 0.12	54 ± 6
Orta (n=14)	0.09 ± 0.03	0.58 ± 0.10	56 ± 6
Ciddi (n=8)	0.07 ± 0.02	0.56 ± 0.05	68 ± 6
KWT p değeri	0.003	0.037	0.004

P-92

MEKANİK MITRAL KAPAK PROTEZİ OLAN HASTALARDA TRANSÖZAFAJİYAL EKOKARDİYOGRAFİ İLE TESPİT EDİLEN KÜÇÜK KABARCIKLARIN INTRAVASKÜLER HEMOLİZ İLE İLİŞKİSİ

Behzat Heshnai, Taner Gören, Melih Aktan*, Ahmet Kaya Bilge, Zehra Büğra, Berrin Umman, Beste Özben, Mehmet Meriç

Istanbul Üniversitesi İstanbul Tıp Fakültesi, Kardiyoloji Anabilim Dalı, İç Hastalıkları Anabilim Dalı*, İstanbul

Amaç: Mekanik mitral prostetik kapaklarda (MPV) ekokardiyografi ile tespit edilen küçük kabarcıkların (KK) öncemi henüz yeterince aydınlatılmıştır. Bunların intravasküler hemoliz ile ilişkisini araştıran çalışmalar ise kısıtlı sayıda olup, sonuçları çelişkilidir. Çalışmamızda KK'ların intravasküler hemoliz ile ilişkisi araştırılmıştır. Metod ve Bulgular: Normal fonksiyone eden MPV'li 39 hastada transözafajiyal eko (TEE) yapıldı (26 kadın; yaşı ortalaması 45 ± 11 yıl). Kapakların 34 tanesi bileaft idi. Hemoliz parametrelerini kıyaslamak için benzer yaş grubundan 30 sağlıklı gönüllü ile kontrol grubu oluşturuldu (18 kadın; yaşı ortalaması 45 ± 12 yıl). TEE ile sol atrium (SA) içinde tespit edilen KK'lar yoğunluklarına göre 4 katagoriye ayrıldı: 0 (n=2); KK yok; 1+ (n=11); KK bazi kalp sıklıklarında ve kapak yakınında seyrekl; 2+ (n=9); KK tüm kalp sıklıklarında ve kapaktan 1 cm uzaga kadar olan bölgelerde görülmekte; 3+ (n=17); KK tüm kalp sıklıklarında yoğun olarak ve kapaktan 1 cm'den daha uzakta da tespit edilmekte. Hastalar KK yoğunlığını göre ayrıca iki subgrubu ayrırlı: grup 1 (n=13): yoğunluğun düşük olduğu grup [katgori 0 ve 1+]; grup 2 (n=26): yoğunluğun yüksek olduğu grub (katgori 2+ ve 3+)]. Hemoliz varlığı, serum haptoglobin, laktat dehidrogenaz (LDH), indirekt bilirubin, retikülosit sayısı, hemoglobini ve sitosit düzeyleri ile değerlendirildi. Ilave olarak serum demir ve demir bağlama kapasiteleri ölçüldü. Hemoliz gelişimi yönünden hem iki subgrub kendi arasında hem de kontrol grubu ile karşılaştırıldı. Yaş, cins, kapak replasman zamanı, ritm, EF ve SA çapı açısından iki subgrup arasında fark yoktu. Serum haptoglobin, LDH ve sitosit düzeyleri hasta ve kontrol grubları arasında anlamlı düzeyde farklılık gösterdi (sırasyyla, 0.22 ± 0.07 vs 117.7 ± 58.21 g/L, $p<0.001$; 679.5 ± 218.6 vs 354.8 ± 69 U/L, $p<0.001$; $% 0.29\pm 0.37$ vs $0 \% 0.05\pm 0.08$, $p<0.001$). Ilave olarak, hasta grubunda serum demiri anlamlı olarak daha düşükü (74.7 ± 29.3 vs 102.3 ± 36.6 g/dL, $p=0.002$). Eldeki veriler protез kapaklı olana da anlamlı düzeyde hemoliz olduğunu göstermektedir. Buna karşılık grup 1 ve grup 2'deki hemoliz parametreleri benzer bulunup, KK yoğunluğu ile hemoliz arasında anlamlı bir ilişkili gösterilememiştir.

Sonuç: Bu çalışmada elde edilen veriler, MPV olana da intavasküler hemolizin gelişliğini bir kez daha teyit etmekle birlikte, mikrokavitasyonların bir sonucu olarak gelişen KK'ların ilave hemolitik etkileri olmadığını göstermektedir.

Ekokardiyografi

P-93

VÜCUT GELİŞTİRME SPORU YAPAN KİŞİLERDE EGZERSİZ VE ANABOLİK ANDROJENİK STEROİDLERİN SOL VENTRIKÜL BÖLGESİ DİYASTOLİK FONKSİYONLARI ÜZERİNE OLAN ETKİLERİNİN DOKU DOPPLER İLE DEĞERLENDİRİLMESİ

Tayfun Şahin, Teoman Kılıç, Zafer Nart Baytuğan, Dilek Ural, Cem Tahir Yılmaz, Gülliz Kozağ, Ahmet Viral, Ayşen Ağaoğlu, Göksel Kahraman, Ertan Ural, Baki Komsuoğlu

Kocaeli Üniversitesi Tıp Fakültesi, Kardiyoloji Anabilim Dalı, Kocaeli

Amaç: Vücut geliştirme (VG) sporu yapan kişilerde egzersiz yanında anabolik steroidler yaygın olarak kullanılmaktadır. Çalışmamızın amacı anabolik steroid kullanım ve kullanmayan VG sporu yapan kişilerde sol ventrikül anatomi yapısını karşılaştırmak ve bölgelerdiyastolik fonksiyonları doku Doppler (DD) inceleme ile değerlendirmektir.

Metod: Çalışmaya dört farklı spor merkezinden bir yıldan daha uzun süreli düzenlenen olarak VG sporu yapan ve belirli periyotlarda anabolik steroid kullanan sağlıklı 20 erkek (ort.yaş 32.7 ± 6.4) (Grup I) ile ilaç kullanmayan yalnızca egzersizde VG sporu yapan 23 erkek (ort.yaş= 29.5 ± 6.9) sporcusu (Grup II) alındı. Bütün sporcular hangi sporcunun ilaç kullandığını bilmeyen bir kardiyolog tarafından standart ekokardiyografik inceleme yapılarak sol ventrikül duvar kalınlıkları, EF, FS ve sol ventrikül kitle indeksleri hesaplandı. PW-Doppler incelemesiyle E, A hızları, E/A, DT, IVRZ ve pulmoner ven akım hızları ölçüldü. Color M-mode yöntemiyle slope ve propagasyon süreleri saptandı. CW-Doppler inceleme ile aort kapaktan ölçülen ejeksiyon süresinin ICT + IVRZ'ye bölünmesi elde edilen miyokard performans indeksleri bulundu. Bölgesel diyastolik fonksiyonlar PW-DD ekokardiyografisi ile mitral anulusun dört bölgésinden (lateral, septal, anterior, inferior) Sın. Em. Am hızları, Em hızının deselerasyon zamanı ile Em / Am hız oranları değerlendirildi. Bulgular: Anabolik steroid kullanım ve kullanmayan VG sporu yapan kişilerde sol atrium çapı, duvar kalınlıkları, sol ventrikül volume ve çapları, ejeksiyon fraksiyonu, sol ventrikül kitle ve miyokard performans indekslerinde arasında fark saptanmadı. Doku Doppler incelemesinde lateral duvar deselerasyon zamanının ilaç kullanılan grupta daha uzun ($p=0.02$) ve anterior duvar Em hızının ise daha düşük saptanması ($p=0.05$) dışında anlamlı bulgu mevcut değildi. Diyastolik fonksiyonları yansitan parametrelere arasında mitral E hızı ilaçlı grupta daha düşük bulundu ($p=0.04$). Slope ve propagasyon süreleri, pulmoner ven akım hızları her iki grupta benzerdi. Sonuç: VG sporu yapan ve anabolik steroid kullanan kişilerde global olarak sol ventrikül sistolik ve diyastolik fonksiyonlarında etkileme olmasa da bölgelerde diyastolik fonksiyonlar etkilenebilir.

P-94

SAĞ VENTRIKÜL FONKSİYONLARI SUBKLİNİK HİPOTROIDİDE DEĞİŞMekte MIDİR?

Hüseyin Arımcı, Hüseyin Gündüz, Ali Tamer*, Hakan Özhan**, Ramazan Akdemir**, Şahbender Koç, Oğuz Karabay***, Cihangir Uyan

İzzet Baysal Tıp Fakültesi, Kardiyoloji Anabilim Dalı,

İç Hastalıkları Anabilim Dalı*, Bolu

Düzelci Tıp Fakültesi, Kardiyoloji Anabilim Dalı, Düzelci**

Abant İzzet Baysal Üniversitesi, İzzet Baysal Tıp Fakültesi***

Amaç: Tiroid hormonu kalp üzerine dolaylı yada direk olarak önemli etkilerde bulunmaktadır. Tiroid bezi fonksiyon bozukluğu durumunda kalp kasının kasılma, gevşeme, uyarlabilirlik ve metabolizmasında değişiklikler olmaktadır. Kardiyak değerlendirmeler denildiğinde daha çok sol ventrikül fonksiyonlarından bahsedilmektedir. Son zamanlarda sağ ventrikül değerlendirmesi de giderek önem kazanmaktadır. Doku Doppler sayesinde sağ ventrikül fonksiyonu daha kolay şekilde değerlendirilebilmektedir. Çalışmamızda subkllinik hipotiroidi hastaların ve sağlıklı kişilerin doku Doppler ekokardiyografi ile saptanan sağ ventrikül fonksiyonları karşılaştırılmıştır.

Yöntem: Çalışmaya subkllinik hipotiroidi tanısı alan 32 (28 kadın, 4 erkek) ve sağlıklı 15 (12 kadın, 3 erkek) kişi alındı. Subkllinik hipotiroidi hastaların ortalama yaşı 49 ± 12 , kontrol grubunun 45 ± 12 idi. Doku Doppler ekokardiyografi kullanılarak sağ ventrikül lateral miyokard ve lateral triküspit anulus sistolik, erken ve geç diyastolik hızları ölçüldü. Çalışma ve kontrol grubundan elde edilen sonuçlar istatistiksel olarak karşılaştırıldı.

Bulgular: Subkllinik hipotiroidi hastalarda ve kontrol grubundan lateral triküspit anulus sistolik, erken ve geç diyastolik hızları sırasıyla; 13.4 ± 2.5 , 13.1 ± 1.4 , 14.5 ± 2.9 , 13.3 ± 2.2 ve 16.0 ± 3.8 , 16.1 ± 3.7 cm/sn idi ($p > 0.05$).

Sağ ventrikül lateral miyokard için bu değerler 11.8 ± 2.6 , 11.7 ± 2.1 , 14.6 ± 4.0 , 13.9 ± 3.4 ve 16.5 ± 4.7 , 15.9 ± 4.7 cm/sn idi ($p > 0.05$).

Sonuç: Subkllinik hipotiroidide doku Doppler ekokardiyografi ile saptanan sağ ventrikül fonksiyonları sağlıklı bireylerden farklı değildir.

P-95

MİTRAL DARLIĞINDA MİYOKARDİYAL TUTULUMUN DOKU DOPPLER TEKNİĞİ İLE İNCELEMESİ

Ersin Sarıçam, Arslan Öcal, Sakine Fırat, Cemal Özbakır, Scher Bozboğa, Mehmet Doğan, Bülent Deveci, Orhan Maden, Omaç Tüfekçioğlu, İrfan Sabah

Türkiye Yüksek İhtisas Hastanesi, Kardiyoloji Kliniği, Ankara

Amaç: Mitral darlığının en büyük nedeni akut romatizmal ateşdir (ARA). ARA mitral kapak aparatı kommissural, küspal, kordal ve kombin olarak etkileyip darlığı neden olur. Otoskop çalışmalarında mitral darlıklı hastalarda miyokardta da fibrosis, perivasküler hücre infiltrasyonu izlenmiştir, bu durum ARA'nın miyokardiyumu etkilemesine bağlanmıştır. Bu çalışmada hafif etkilenmiş izole mitral darlıklı hastalar ile sağlıklı insanlar doku Doppler teknigile miyokardiyal tutulum açısından karşılaştırılmıştır.

Yöntem: Çalışmaya hafif mitral darlıklı (kapak alanı 1.5 – 2.5 cm 2) 20 hasta ve 10 sağlıklı kişi alınmıştır. Mitral kapak konusu miyokardiyal alanlar (posterobazal ve lateralbazal segmentler) incelenmiştir. Izovolumik kasılma zamanı (IVKZ), sistolik dalga amplitüdü (S), izovolumik gevşeme zamanı (IVGZ), erken dolus (E), atrial katki dönemi (A) ve E'nin tepe değerinin iniş zamanı (deselerasyon zamanı, DZ) değerlendirilmiştir.

Bulgular: Hastalar ile kontrol grubu arasındaki yaş dağılımı benzerdi ($p > 0.05$). Posterobazal ve lateralbazal segmentlerin IVKZ, S dalga amplitüdü, IVGZ, E dalga amplitüdü, A dalga amplitüdü, E dalga deselerasyon zamanı (DZ), hasta ve kontrol grubunun median değerleri Tablo 1 ve Tablo 2'de gösterilmiştir. Sonuç: Hafif mitral darlıklı hastaların sağlıklı insانlara göre, miyokardiyal doku Doppler incelemesinde posterobazal IVKZ, S dalga amplitüdü, E dalga amplitüdü ve lateralbazalde IVKZ, S dalga, E dalga amplitüdü, A dalga amplitüdü anlamlı farklılıklar göstermektedir. Bu durum, romatizmal mitral darlıkta hastalığın kapsaklı sunuru olmayıp, miyokardın da etkili olduğunu desteklemektedir.

Tablo 1. Posterobazal ve lateralbazal segmentin doku Doppler ile değerlendirilmesi

Posterobazal Hasta (n=20)	Kontrol (n=10)	p	Lateralbazal Hasta (n=20)	Kontrol (n=10)	p		
IVKZ (ms)	59	35	0.028	IVKZ (ms)	61	36	0.003
S (cm/s)	11	14	0.025	S (cm/s)	12	15	0.014
IVGZ (ms)	72	65	>0.05	IVGZ (ms)	82	66	>0.05
E (cm/s)	12	21	<0.0001	E (cm/s)	12	20	<0.0001
A (cm/s)	11	13	>0.05	A (cm/s)	12	14	0.025
DZ (ms)	85	79	>0.05	DZ (ms)	85	82	>0.05

P-96

OBSTRÜKTİF "SLEEP APNE" SENDROMLU HASTALARDA DİYASTOLİK FONKSİYONLAR VE SOL VENTRIKÜL KİTİLESİ

İsmet Sarıkaya, N. Kemal Eryol, Ali Göl, Mustafa Güç, Yücel Yılmaz, İbrahim Güll, İbrahim Özdogru, Tuğrul Inanç, Nihat Kalay

Erciyes Üniversitesi Tıp Fakültesi, Kardiyoloji Anabilim Dalı, Kayseri

Obstruktif sleep apne sendromu(OSAS) diyabet ve hipertansiyondan bağımsız olarak kardiyovasküller fonksiyonları kötü yönde etkilemektedir. Biz çalışmamızda sol ventrikül fonksiyonları ekokardiyografi ile değerlendirildik.

Metod: Çalışmaya apnehipnopneumtiği begin istidine olan 48 hasta (30 erkek 18 kadın) alındı. Kontrol grubu olarak 28 sağlıklı (18 erkek, 10 kadın) birey alındı. Hipertansiyon, diyabet ve koroner arter hastalığı olan bireyler çalışmadan dışlandı. OSAS tanısı polisomnografi ile kondu. Her iki gruba iki boyutlu M mod, konvansiyonel ve doku Doppler ekokarditografi yapıldı. Bulgular aşağıda tablo halinde gösterildi $P < 0.05$: istatistiksel anlamlı AD: anlamlı değil SVK:sol ventrikül kitilesi Hastaların SVK'i kontrol grubundan fazlaydı. Diyastolik fonksiyonların hem konvansiyonel hem de doku Doppler ekokardiyografi ile bozulmuş olduğu saptandı. Sonuç olarak OSAS'lı hastalarda hipertansiyon, diyabet ve koroner arter hastalığından bağımsız olarak SVK'ı artırmaktı ve diyastolik fonksiyonlar etkilenmektedir. Hastalığın kardiyak komplikasyonlarının takibinde ekokardiyografi yarlı bir yöntemdir.

Tablo. Bulguların karşılaştırılması

	Hasta n:48	Kontrol n:28	P değeri
Yaş yıl	48±9	45±9	AD
SVK gram	234±75	169±59	<0.05
Mitral E m/sn	0,66±0,12	0,80±0,13	<0.05
Mitral A m/sn	0,67±0,16	0,59±0,08	<0.05
Mitral E/A oranı	1,0±0,3	1,3±0,2	<0.05
Lateral anulus E cm/sn	10,1±2,9	13,6±3,0	<0.05
Lateral anulus A cm/sn	10,4±2,0	9,1±1,8	<0.05
Lateral anulus E/A oranı	1,0±0,3	1,3±0,2	<0.05
Septal anulus E cm/sn	7,4±1,8	10,4±2,4	<0.05
Septal anulus A cm/sn	9,2±1,7	8,1±1,1	<0.05
Septal anulus E/A oranı	0,8±0,2	1,3±0,3	<0.05

P.97

KALP YETMEZLİĞİNDE DOBUTAMİN İNFÜZYONUNUN MYOKARD PERFORMANS İNDEKSİNE ETKİLERİ

Melek Zekye Uluçam, Mehmet Emin Korkmaz*, Haldun Müderrisoğlu, Bülent Özün, Aylin Yıldırım, Egemen Tayfun

Başkent Üniversitesi Tıp Fakültesi, Kardiyoloji Anabilim Dalı, Ankara
Güven Hastanesi A Blok*

Bilgi: Myokard performans indeksi (MPI), sol ventrikül (SV) global fonksiyonunun bir ölçütür. Kalp yetmezliğinde artar ve SV diastol sonu basincı ile koreledir. Dobutamin (DOB), kalp yetmezliğinde myokard performansını artırmak için değişik protokollerle kullanılmaktadır. Dobutamin'in istirahattaki SV fonksiyonunu düzeltmemekle beraber, egzersiz performansı ve klinik tablou düzelttiği gösterilmiştir. 24 saatlik DOB infüzyonunun SV MPI'ye etkileri araştırılmıştır. Bu çalışmamın amacı, kalp yetmezliğinde, standart tedaviye 24 saat süreyle eklenen 2,5 µg/kg/dk dozda DOB infüzyonunun SV fonksiyonları ve MPI üzerinde etkisini araymaktadır.

Yöntem: Iskemik veya idiopatik dilate kardiyomyopati nedeniyle kalp yetmezliğinde olan, ejeksiyon fraksiyonu %35'in altında ve sinüs ritimindeki 26 hasta, 0,25 mg/gün digital, 40 mg/gün furosemid ve 20 mg/gün enalapril ile 1 ay süreyle tedavi edildi. Dobutamin infüzyonundan önce ve infüzyonun 24. saatinde ekokardiografi ile standart parametreler ve SV MPI' incelendi ve kıyaslandı. Sol ventrikül MPI'si, MPI=izovolumik kontraksiyon zamanı (IKZ)+izovolumik relaksasyon zamanı (IRZ)/ejeksiyon süresi (ES) formülüyle hesaplandı.

Bulgular: Çalışma grubu 18 erkek ve 8 kadın hastadan oluşuyordu (ortalama yaşı sırasıyla 64,3±12,6 ve 71,6±10,3, p>0,05). Kalp yetmezliği %65 vakada iskemik, %35 vakada idiopatik dilate kardiyomyopatiye bağlı idi. Dobutamin infüzyonu sonrası kalp hızı ve diastolik kan basıncı değişmedi. (tüm p>0,05), fakat sistolik kan basıncı azaldı (130,8±19,6 ve 121,1±19,3 mm Hg, p=0,03). Diastolik sonu hacmi ve atria hacmi değişmedi (tüm p>0,05), sistol sonu hacmi azaldı (164,1±63,9 ml ve 149,4±59,2 ml, p=0,004), SV ejeksiyon fraksiyonu arttı (26,5±1,8% ve 31,7±7,0%, p=0,004). E/A oranı ve deselerasyon zamanı değişmedi (tüm p>0,05). Sol ventrikül ES, IRZ ve IKZ, tedaviden önce ve sonra benzer idi (tüm p>0,05). Bunun bir sonucu olarak, SV MPI, DOB infüzyonu sonrasında değişmedi (sırasıyla 0,81±0,3 ve 0,78±0,3, p>0,05).

Sonuç: Kalp yetmezliğinde 24 saat süreyle, 2,5 µg/kg/dk dozda DOB infüzyonu, SV MPI'ni düzeltmemekte, ancak sistol sonu hacminin azalmasına ve EF artışına yol açmaktadır. Bununla beraber, diastolik fonksiyon parametreleri ve MPI, bu protokolle verilen DOB infüzyonundan etkilenmemektedir. Sol ventrikül global fonksiyonunun düzeltmesi için uygulanması gereken optimál DOB infüzyon dozu daha büyük çalışmalarında incelenmelidir.

P-98

DİYASTOLİK DİSFONKSİYONLU HASTALARDA SOL VENTRİKÜL HIPERTROFİSİNN EGZERSİZ ESNASINDA DİYASTOLİK DÖLÜS PARAMETRELERİNDEKİ DEĞİŞİKLİKLER ÜZERİNE ETKİSİ

Aydın Yıldırım, Arda Şanlı Ökmen, Özer Soylu, Seden Çelik, Tuna Tezel

Dr. Siyami Ersek Göğüs Kalp ve Damar Cerrahisi Eğitim ve Araştır., İstanbul

Amaç: Sol ventrikül hipertrofisinin bozulmuş relaksasyonlu (grade 1 diyastolik disfonksiyon) hastalarда egzersiz esnasında hipertrofisi olmayan bozulmuş relaksasyonlu hastalarara nazaran sol ventriküler diyastolik dolusu dâha kötü yönde etkileyen etkilemeyeceğinin araştırılması planlanmıştır.

Yöntemler: Araştırılmaya grade 1 diyastolik disfonksiyonlu, yaş ortalaması 59±9 olan 23 sol ventrikül hipertrofili (IVS: 1,4±0,1 cm, PW 1,3±0,1 cm, LV mass 330±87 gr) ve yine grade 1 diyastolik disfonksiyonlu olan ancak sol ventrikül hipertrofisi olmayan yaş ort 54±7 26 hasta (IVS ort: 0,9±0,1 cm, PW: 0,9±0,1, LV mass 182±35 gr) dahil edildi. İstirahette ve bisiklet ergometresi ile uygulanan egzersiz esnasında sol ventrikül diyastolik fonksiyon parametrelerindeki değişiklikler incelendi.

Bulgular: İstirahet esnasında sol ventrikül hipertrofili ve hipertrofisiz grade 1 diyastolik disfonksiyonlu hastaların diyastolik fonksiyon parametreleri (E dalga, A dalga, E/A orantı, deselerasyon zamanı) arasında anlamlı fark saptanmadı (Tablo 1)

Sonuç: Sol ventrikül hipertrofili diyastolik disfonksiyonlu hastaların transmural Doppler incelemesiyle elde edilen diyastolik dolus parametrelerinin egzersize yanıtı hipertrofisi olmayan diyastolik disfonksiyonlu hastalarla benzerdir. Bozulmuş relaksasyonlu hastalarda sol ventrikül hipertrofisi egzersiz esnasındaki diyastolik dolus değişiklikleri üzerine tek başına önemli etki oluşturmaktadır.

Table 1. Hipertrofisi olan ve olmayan hastaların istirahet ve egzersizde diyastolik fonksiyon parametreleri

İSTIRAHAT	Hipertrofi (+)	Hipertrofi (-)	p
E (m/sn)	0,6 (0,1)	0,6 (0,06)	AD
A (m/s)	0,87 (0,1)	0,90 (0,1)	AD
E/A	0,72 (0,1)	0,68 (0,06)	AD
Deselerasyon zamanı	312 (45)	312 (40)	AD
IVRT	127 (14)	129 (8)	AD
EGZERSİZ			
E (m/s)	1,07 (0,03)	1,17 (0,2)	AD
A (m/s)	1,22 (0,2)	1,31 (0,3)	AD
E/A	0,89 (0,3)	0,88 (0,2)	AD
Deselerasyon zamanı	293 (43)	300 (43)	AD

P.99

DÜZENLİ EGZERSİZİN SAĞ VENTRİKÜLÜN MORFOLOJİK VE FONKSİYONEL ADAPTASYONU ÜZERİNE ETKİSİ

Erdem Kaşkıcıoğlu, Hüseyin Oflaz*, Hülya Akhan**, Fehmi Mercanoglu*, Abidin Kayserilioğlu*, Berrin Ummun*, Zehra Buğra*

İstanbul Üniversitesi İstanbul Tıp Fakültesi, Spor Hekimliği Anabilim Dalı, Kardiyoloji Anabilim Dalı*, İstanbul
Siyami Ersek Göğüs Kalp Damar Cerrahisi Merkezi, Kardiyoloji, İstanbul**

Amaç: Düzenli ve yoğun egzersizin sol ventrikül morfoloji ve fonksiyonunda yaptığı etkilerin bittimesine rağmen sağ ventrikül ait morfoloji ve fonksiyon ölçümünün güçlüğü dolayısıyla ilişkili çalışma sayısı azdır. Bu çalışmada, düzenli şekilde yoğun egzersiz yapan bireylerde sağ ventrikül morfoloji ve fonksiyonadaki değişiklikleri ortaya koymaya çalıştık.

Yöntemler: Çalışmaya, yaş ortalaması 23±4 olan 25 orta mesafe koşucusu, benzer yaşlarda olan 30 sedanter üniversite öğrencisi alındı. Her bir deneğe ekokardiografik ölçümlerle sağ ventriküle ait kavite ölçümü ve pulse Doppler ile sağ ventriküle ait akım örnekleri alındı. Bu örneklerden miyokardiyal performans değerleri hesaplandı. Miyokardiyal performans indeksi (a-b)/b formülü kullanılarak bulundu. Formülde kullanılan bir süresi; tricuspid akımın sonlanmasından tekrar başlamasına kadar olan zaman dilimi, b süresi ise; pulmoner akım başlangıcı ve bitiş arasındaki süredir. Ayrıca, her bir deneğe Bruce protokolüyle uygulanan kardiyopulmoner egzersiz testiyle maksimal oksijen tüketimi değerleri bulundu. Bulgular: Sporculardan alınan sağ ventriküle ait kavite ölçümü, diastolik akım parametreleri ve maksimal oksijen tüketim değerleri kontrol grubundan daha yüksek bulundu (maksimal oksijen tüketim değeri sırasıyla, 65,4±5,7, 44,3±3,8; p<0,01). Bunlarla birlikte, sporcularda sağ ventrikül miyokard performans indeksi değeri control grubundan daha düşük bulundu (0,28±0,01, 0,41±0,04; p<0,01).

Sonuç: Morfolojik ve fonksiyonel değerlendirmesini güç olan sağ ventrikülin egzersize adaptasyonu sol ventriküle görülen değişikliklere benzerlik göstermektedir. Sağ ventriküler global fonksiyonların ölçümü, egzersiz performansının değerlendirilmesi açısından yardımcı olabilir.

P-100

DEV KONJENİTAL SAĞ ATRİUM ANEVİRİZMASI: SAĞ ATRİUMU BÜYÜ滕 NADİR BİR ANOMALI VE EKOKARDİYOGRAFİK TANISI

Nesligül Yıldırım, Zehri Gölbaşı, Özcan Özeke

Türkçe Yüksek İhtisas Hastanesi, Kardiyoloji Kliniği, Ankara

Sağ atrium anevrizması sıklıkla atrial aitlerle ilişkilik gösteren çok nadir bir konjenital anomali olup literatürde toplam 8 vakı bildirilmiştir. Bu vaka bildiriminde, dev sağ atrium anevrizmasının bir hastanın klinik ve ekokardiografik özellikleri sunulmuştur. 42 yaşındaki bayan hasta, Ebstein anomalisi ve ASD ön tanlarıyla hastanemize yönlendirildi. Çarpıntı ve efor dispnesi şikayetleri olan hastanın travma öyküsü yoktu. Oskültasyonda sağ sternal kenarda 2/6 sistolik ıslürüm mevcuttu; diğer fizik muayene bulguları normaldi. Elektrokardiografide atrial fibrilasyon ve sağ dal bogu vardı. Telekardiografide kardiyomegalii gözlenen hastaya tanısal amaçlı transtorasik ekokardiografi yapıldı. Parasternal uzun aks görüntülerde: alınlımsın dışında; sağ atrial anevrizma olduğu düşünülen bölümün, sağ ventrikül üzerinde bindiği izlendi. Apikal görüntülerde ise triküspit kapak nedeniyle sınırları çizilebilen küçük sağ atrium dışında, 11x12 cm boyutlarında büyük anevrizmal yapı olduğu görüldü ve sekundum tip küçük ASD izlendi. Triküspit ve mitral kapak seviyeleri arası uzaklık 3 mm idi. Ek konjenital anomaliler varlığından daşlamak amacıyla yapılan transsefagal ekokardiografide de ASD ve sağ atrial anevrizma tanıları teyit edildi, sağ atrium içinde grade 2-3 SEK gözlemlendi. Hastaya ASD onarımı ve anevrizma rezeksiyonu planlandı. Konjenital sağ atrium anevrizması, hemen her yaşta görülebilir ve sağ atriumu büyütmen diğer sebeplerle sıkılıkla karıştırılan nadir bir anomaliidir. Literatürde belirtilen vakaların çoğu ile olarak Ebstein anomalisi tanısı ile izlenmiş olup tekrarlanan ekokardiografiler sonrasında sağ atrial anevrizma tanısı almışlardır. Bizim hastamız da ASD ve Ebstein anomalisi tanıları ile hastanemize yönlendirilmiş ancak triküspit kapagının normal yerleşimi olması nedeniyle Ebstein anomalisi tanısından uzaklaştırılmıştır. Daha önce yayınlanmış vakalara bakıldığından, ASD ve sağ atrial anevrizma bireyliliklerin de oldukça nadir olduğu görülmektedir. Asemptomatik sağ atrial anevrizmeli hastaların doğal klinik seyi kesin olarak bilinmemektedir ancak atial aritmiler, trombus, pulmoner emboli ve atrial rüptür gibi komplikasyonlara yol açabildiğinden cerrahi tedavi önerilmektedir. Sonuç olarak; konjenital sağ atrium anevrizması, yaygın olarak bilinen bir anomali değildir. Bu nedenle sağ atrium çok büyüğü durumlarda ancak akla gelirse tanı konulabilir.

Ekokardiyografi

P-101

ROMATOİD ARTRİT HASTALARINDA SOL VE SAĞ KALP FONKSİYONU: DOKU DOPPLER ÇALIŞMASI

Mevlüt Koç, Mesut Demir, Mğmet Kanadaşı, Onur Akpinar,
Yurdal Dömez, Süleyman Özbeş, Ayhan Ural

Çukurova Üniversitesi Tıp Fakültesi, Adana

Giriş: Romatoïd artrit (RA) kronik sistemik bir hastalık olup, kardiyovasküler sistem tutulumu görülebilimtedir. Kardiyak tutulum ise her zaman semptomatik olmamakta ve sistolik fonksiyona nazaran diastolik fonksiyon daha fazla bozulmaktadır. Kardiyak tutulumun erken dönemde saptanması ve progresyonun durdurulması hastalığın progresyonunu etkilemektedir. Biz çalışmamızda kardiyak açıdan semptomuz olan RA hastalarında nabız dalgalı (PWD) ve doku Doppler yöntemleri kullanılarak sol ve sağ kalp fonksiyonlarını inceledik. Materyal ve Metod: Çalışmada ortalaması 10 ± 5 yıl olan RA'lı olan 49 hasta (35 kadın, 14 erkek, yaş 46 ± 10 yıl) ve kontrol olarak 23 sağlıklı kişi (12 kadın, 11 erkek, yaş 45 ± 14 yıl) değerlendirildi. Ekokardiyografik inceleme PWD ve doku Doppler yöntemleri kullanılarak yapıldı. PWD ile sol ventrikül için mitral kapak uçlarından, sağ ventrikül için trikuspit kapak uçlarından E ve A dalgaları, E/A oranı, deselerasyon zamanı (DZ) ve izovolumetrik relaksasyon zamanı (IVRZ) hesaplandı. Doku Doppler yöntemi ile mitral lateral annulus, trikuspit lateral annulustan sistolik s., diastolik E ve e dalgaları, e/a oranı esas alınarak sol ve sağ ventrikül sistolik ve diastolik fonksiyonları değerlendirildi.

Bulgular: Her iki grupta sol ventrikül E dalgası, DZ, IVRZ, s ve e dalgaları arasında fark yoktu. PWD ile sol ventrikül A dalgası RA hastalarında büyük ve E/A oranı ise anlamlı küçük olarak bulundu. Doku Doppler incelemesinde PWD sonuçlarına benzerdi. Sağ ventrikül Doppler incelemelerinde E dalgası, DZ, s ve e dalgaları, e/a oranları her iki grupta benzer olarak bulundu. PWD ile sağ ventrikül A dalgası RA hastalarında büyük ve E/A oranı ise anlamlı küçük bulundu. Sağ ventrikül doku Doppler incelemesinde e dalgası RA hastalarında büyük olmasını karşılık e/a oranının anlamlı fark bulundu.

Sonuç: Romatoïd artriti olan ve kardiyak olarak asemptomatik hastalarda sistolik fonksiyonları korumasına rağmen diastolik fonksiyon bozukluğu görüldüğü ve bunun her iki ventrikülde benzer şekilde ortaya çıktıgı saptanmıştır.

Tablo

Bulgular	Romatoïd artrit	Kontrol	P
Sol ventrikül E/A	1.04 ± 0.3	1.40 ± 0.3	<0.01
Sağ ventrikül E/A	0.98 ± 0.32	1.32 ± 0.48	<0.01
Doku mitral s (cm/sn)	15.2 ± 3.0	13.8 ± 4.0	AD
Doku trikuspit s (cm/sn)	17.8 ± 3.0	16.5 ± 3.0	AD
Doku mitral e/a	1.31 ± 0.5	1.82 ± 0.7	<0.01
Doku trikuspit e/a	0.9 ± 0.4	1.1 ± 0.02	AD

Girişimsel Kardiyoloji

P-102

KORONER REVASKÜLARİZASYON SIRASINDA VERILEN GLÜKOZ-İNSÜLİN POTASYUM İNFÜZYONUNUN MIYOKARDİYAL İSKEMİ VE HASAR ÜZERİNE ETKİSİ

Mustafa Yazıcı, Sabri Demircan, Zeydin Acar, Erdoğan Yaşaş, Kenan Durna, Firdovsi İbrahimli, Mahmut Şahin

Ondokuz Mayıs Üniversitesi Tıp Fakültesi, Kardiyoloji Anabilim Dalı, Samsun

Amaç: Glukoz-insülin-potasyum (GIK) infüzyonun postiskemik miyokardiyuma olan faydalari onun metabolik etkileri ve miyokardın O2 kullanımını artırmasıyla açıklanmaktadır. Çalışmamızda, perkütan koroner revaskülarizasyon boyunca verilen GIK infüzyonun miyokardiyal iskemi ve hasarına etkisini belirlemeyi amaçladık.

Yöntem: Çalışmaya elektif koroner revaskülarizasyon planlanan ST elevasyonsuz akut koroner sendromlu (NSTE-AKS) non-diabetik ardışık 52 hasta alındı ve çift kör, randomize olarak GIK (n=27) ve salin (n=25) gruplarına ayrıldı. GIK grubuna prosedürden 24 saat önce GIK infüzyonu (500 ml 30% glukoz, 300 U insülin ve 60 mEq KCL) başlandı ve prosedür süresince infüzyona devam edildi. Girişim öncesi ve hemen sonrasında laktat, troponin-I (Tn-I) ve O2 saturasyonu (SO2) ölçümü için koroner sinus ve koroner ostiumdan kan örnekleri alındı. Prosedürden 12 ve 24 saat sonra Tn-I ölçümü için kan örnekleri tekrar alındı. Revaskülarizasyon sırasında hastalardaki göğüs ağrısı, EKG'de ST segment ve T dalga değişiklikleri, kan basincı ve kalp hızı kaydedildi.

Bulgular: GIK grubunda prosedür sonrası laktat düzeyleri girişim öncesine göre azaldı. ($p=0.002$) Kontrol grubunda ise laktat düzeylerinde girişim öncesine göre girişim sonrasında anlamlı olsayan bir artış vardı. ($p=0.281$) Revaskülarizasyon sonrasında GIK grubunda koroner sinüsten ölçülen SO2 girişim öncesine benzerken ($p=0.473$), kontrol grubunda anlamlı bir azalma saptandı ($p=0.019$). Yine miyokardiyal oksijen sunumunun bir besirleme içisi olan double product (sistolik kan basinci X kalp hızı) GIK grubunda girişim öncesi ve sonrası benzerlik gösterirken ($p=0.217$), kontrol grubunda girişim sonrasında anlamlı derecede arttı. ($p=0.02$) 12 ve 24 saatteki Tn-I düzeyleri girişim sonrasında öncesi göre kontrol grubunda anlamlı olarak artarken, (p sırasıyla 0.16 ve 0.005) GIK grubunda aynı artış saptanmadı. (p sırasıyla 0.362 ve $p=0.221$) Kontrol grubunda revaskülarizasyon sırasında ST-T değişiklikleri ve göğüs ağrısı GIK grubuna göre daha fazla gözleendi. (p sırasıyla 0.028 ve $p=0.015$)

Sonuç: GIK infüzyonu, koroner revaskülarizasyon sırasında görülen miyokardiyal iskemi ve hasarı azaltmaktadır. İnsülin, vazodilatör ve metabolik etkileriyle mikrovasküler perfüzyonu ve miyokardın O2 kullanımını artırabilir.

Girişimsel Kardiyoloji

P-103

YENİ TANIMLANAN BİR ANJİYOGRAFİK KOLLATERAL SINIFLAMA YÖNTEMİNİN KOLLATERAL AKİM İNDEKSI İLE KARŞILAŞTIRILMASI

Adnan Abacı, Ramazan Topsakal*, Namik Kemal Eryol*, Abdurrahman Oğuzhan*, Emrullah Başar*, Ali Ergin*

Gazi Üniversitesi Tıp Fakültesi, Kardiyoloji Anabilim Dalı, Ankara
Erciyes Üniversitesi Tıp Fakültesi, Kardiyoloji Anabilim Dalı, Kayseri*

Koroner kollateral akım indeksi (KAI) koroner kollateral dolaşımı değerlendirilmede anlamlı standart olarak kabul edilmektedir. Bunun yanında koroner kollateral dolaşımı anjiyografik olarak değerlendirilmek için değişik sınıflama yöntemleri kullanılmaktadır. Çalışmamızın amacı Werner ve ark tarafından yeni tanımlanan bir anjiyografik kollateral sınıflama yöntemini kollateral akım indeksi ile karşılaştırmaktır.

Metod: Çalışmaya tek bir koroner arterde tam oklüzyon saptanan ve perkütan koroner girişim ile okuryonun açılabilirliği 52 hasta (39 erkek, ortalaması yaşı: 57 ± 10 yıl) alındı. Oklüzyon sonrası koroner tikanma basincı 0.014 inch, basing ölçer kılavuz tel ile, beş dikakalı balon şişirilmesi sonrası elde edildi. Santral venöz basıncı (CVP) ölçüldü ve anjiyoplasti kılavuz kateterinden aort basıncı alındı. KAI, (Pukanna-CVP)/(Paort-CVP)±100 formülü ile hesaplandı. Koroner kollateral dolaşımı sınıflaması Werner ve arkadaşları tarafından tanımladığı gibi yapıldı; 0=kollateral veren ve alan damarlar arasında görünürtü bağıntı yok, 1=kollateral veren ve alan damar arasında iplik şeklinde kollateral var, 2=kollateral veren ve alan damar arasında küçük yan dal şeklinde kollateral var. Kollateral dolaşım klasifi Rennert sınıflamasına göre de derecelendirildi.

Bulgular: Ortalaması aort basıncı, koroner oklüzyon basıncı, CVP ve KAI sırası ile 89.7 ± 16.1 mm Hg (66-122), 30.9 ± 10.1 mm Hg (11-60), 6.7 ± 2.6 (3-13) mm Hg ve 31 ± 10 % (8-52) olarak bulundu. Werner sınıflamasına göre hastaların 11% inde 0. derece, 31% inde 1. derece ve 10% unda 2. derece kollateral saptandı. Bu sınıflara karşılık gelen ortalaması KAI değerleri sırası ile 26 ± 5 , 31 ± 11 ve 35 ± 10 idi. KAI ile ile Werner ve Rennert kollateral dereceleri arasında zayıf ama istatistiksel olarak anlamlı bağıntı saptandı (sırası ile $r=0.354$, $p<0.01$ ve $r=0.379$, $p<0.01$). Koroner oklüzyon basıncının sistolik değeri ile Werner (0.358 , $p<0.01$) ve Rennert (0.465 , $p<0.01$) sınıflaması arasında anlamlı bağıntı saptanırken, diastolik oklüzyon basıncı ile her iki kollateral sınıflama arasında anlamlı bağıntı gözlemedi.

Sonuç: KAI ile karşılaştırıldığında Werner ve arkadaşları tarafından yeni tanımlanan anjiyografik kollateral sınıflaması, Rennert sınıflamasına benzer sonuçlar vermektedir. Kollateral sınıflama yöntemleri koroner sistolik oklüzyon basıncı ile korelasyon gösterirken, diastolik oklüzyon basıncı ile korelasyon göstermemesi, kollateral kan akımının esas olarak sistol sırasında meydana geldiğini göstermektedir.

P-104

İLAÇ KAPLI STENTLERİN "CHYPHER" İSKEMİK KALP HASTALIKLARINDA KISA VE UZUN DÖNEMDE DEĞERLENDİRİLMESİ

Bokeriya L.A., Alekyan B.G., Buziashvili Y.I., Goluhova E.Z., Zakaryan N.V., Staferov A.V., Dinler G., Ayalp M.R.

Russian Academy of Medical Sciences Bakoulev Scientific Center

Amaç: Kaplı stentlerin kullanım efektivitesinin değerlendirilmesi. Materyal ve metod: Temmuz 2002 tarihinden şubat 2004 tarihine kadar klinikimizde iskemik kalp hastalığı olan 286 hastaya 541 Cypher implant edildi. Bumlardan 34 hasta (%12) akut miyokard infarktüsü, 26 hasta (%9) unstable angina pectoris, 206 hasta (%72) class II-III angina pectoris, 20 hasta (%7) class I angina pectoris vardı (CCS klasifikasiyonu). Ejeksiyon fraksiyonu %28-62, olup ortalaması 46 ± 2.5 olarak hesaplandı. Stentler 492 koroner artere implant edildi. 1 artere implant edilen stent sayısı ortalama 1.91 ± 0.6 olarak bulundu. Stenotik damarın ortalama resepsan çapı 2.81 ± 0.47 mm, stent implant edilen segmentin ortalama uzunluğu 22 ± 6.2 mm olarak tespit edildi.

Sonuçlar: 541 stente de başarılı anjografik sonuç elde edildi. Stent implantasyonu sonrası ejeksiyon fraksiyonu $%46 \pm 2.5-56 \pm 2.8$ aralığında bulundu. İnvaziv girişim sonrası hastaların klinik tablosunda şu şekilde değişimler oldu: 203 hasta (%71) angina pectoris ortadan kalktı, 74 hasta (%25.7) class I, 8 hasta (%3) class II angina pectoris görüldü. Akut miyokard infarktüsü olan 21 hasta infarkta nit EKG bulguları kayboldu. 8 hasta EKG de simili infarktüs bulguları kaldı. Hastanede ölüm oranı $\%0.35$ (1 hasta) oldu. 2 vakada (%0.37) akut stent trombozu, başka 2 vakada da subakut oklüzyon (28-72 saat içinde) görüldü. Uzun dönem takibinde (6-12 ay) 246 hasta (%86) kontrolden geçirilebildi. Bumlardan 152 (%53) tanesi sadece klinik kontrollden geçirilirken 94 tane (%33) koroner anjografı yapıldı. 2 hasta (%2.1) instant restenoz, 1 hasta (%1.06) inlesion restenoz tespit edildi.

Tartışma: Alınan sonuçlar sitotitiklerle kaplı stentlerin efektif olduğunu göstermiştir. Anjografik restenoz sıklığı $\%3.16$ olarak gözlenmiştir. Bir yıllık ciddi komplikasyon olmadan sağkalım oranı $\%97.9$ olarak edilmiştir.

Girişimsel Kardiyoloji

P-105

KALP KATETERİZASYONU SONRASI ARTERİYAL GİRİŞ BÖLGESİNİN KAPATILMASINDA EPICLOSE-T İLE İLK KLİNİK DENEMİ

Atila İyisoy, Hürkan Kurşaklıoğlu, Cem Barçın, Turgay Çelik,
Sedat Köse, Basri Amasyali, Ersoy İşık

GATA Kardiyoloji Anabilim Dalı, Ankara

Epiclose-T kalp kateterizasyonu sonrası arteriyal giriş bölgesinin kapatılması için geliştirilmiş yeni bir cihaz olup klinik etkinliği ilk kez bu çalışma ile test edilmiştir. Epiclose-T iki balonlu olmaktadır, birinci balon arteriotomi sahnesine yönelik olarak ikinci平衡的 balon arteriotomi sahnesine direkt baskı uygulayarak kanamayı engellemekte ve doğal koagülasyona izin vererek hemostazis sağlamaktadır. İşlem sonrası geride hiçbir yabancı madde bırakmaması Epiclose-T'ının en önemli üstünlüğüdür. Bu çalışmada Epiclose-T'nin tansal kalp kateterizasyonu sonrası etkinlik ve güvenilirliği manuel kompresyonla randomize edilerek prospektif olarak test edilmiş olup ayrıca hasta konforu da değerlendirilmeye alınmıştır. Çalışma grubu kanama kontrolü Epiclose-T ile sağlanan 32 hastadan (17 erkek, ortalama yaşı $52,8 \pm 11$) oluşuyordu. Kontrol grubu ise kanama kontrolü manuel kompresyon ile sağlanan 39 hastadan (20 erkek, ortalama yaşı $55,5 \pm 11$) oluşuyordu. İki grup arasında yaş, cinsiyet, vücut kitle indeksi, antiaggregan tedavi, hipertansiyon, femoral arter çapı ve kateterizasyon süresi bakımından bir farklılık bulunmuyordu. Çalışma grubundaki hastaların %90,6'sında başarılı bir hemostazis sağlandı. Otuz günde takipte major ve minor komplikasyonlar açısından iki grup arasında anlamlı bir farklılık saptanmadı ($p>0.05$). Hastaların büyük çoğunluğu Epiclose-T uygulamasını iyi ya da mükemmel olarak tanımladılar. Altı grup analizinde çalışma grubunda başarısız olunan hastaların yarısı kitle indeksinin daha düşük olduğu saptandı. Sonuç olarak Epiclose-T ile başarılı bir hemostazis sağlanabilir. Bu yöntem ile bir personel aynı anda birçok hastada kanama kontrolü yapabilir. Cihazın geride hiçbir yabancı madde bırakmaması bunlara bağlı komplikasyonları önleyecektir.

P-106

AKUT MİYOKARD İNFARKTÜSÜNÜN GİRİŞİMSEL TEDAVİSİNDE DİREKT STENT UYGULAMASI İLE PREDILATASYONLU STENT UYGULAMASININ ANJİYOGRAFİK SONUÇLARININ KARŞILAŞTIRILMASI

Akın İzgi, Ceyat Kırma, Bülent Mutlu, Nihal Özdemir, Kenan Sönmez, Cevat Tanalp, Cihan Dündar

Koşuyolu Kalp Eğitim ve Araştırma Hastanesi, Kardiyoloji, İstanbul

Amaç: Bu çalışmada akut myokard enfarktüslü (MI) hastalarda direkt stent yönteminin anjiyografik sonuçlarıyla predilatasyon takiben stent konulması yönteminin sonuçları karşılaştırıldı.

Materiyal ve Metod: ST segment elevasyonu tespit edilen ve semptomların başlangıcını takiben ilk 12 saat içerisinde primer perkütan koroner girişim uygulanan 212 hastadan direkt stent 10'lu işlem öncesi uygulanan 47 hastanın (Grup I, 41 erkek, yaş ortalaması 53 klinik ve işlem sonrası anjiyografik özellikler, predilatasyon takiben stent 11) verileriyle uygulanan 165 hastanın (Grup II, 142 erkek, yaş ortalaması 51 karşılaştırıldı). Gruplar arasında cinsiyet, yaş ve koroner risk faktörleri açısından fark saptanmadı (hepsi için $p>0.05$). İşlem öncesi enfarktüsle ilişkili damarda TIMI akım yüzdesi Grup I hastalarda anlamlı olarak yükseltti (TIMI 1-2-3 akım %80.8 karşılık %33.9, $p<0.0001$). Grup I hastalarda işlem sonunda reperfüzyon başarısı (TIMI 3 akım) Grup II'ye oranla anlamlı olarak yükseltti (%95.7 karşılık %76.9 $p<0.003$). İşlem sırasında gelişen distal embolizasyon Grup I de anlamlı olarak düşük bulundu (%2, I karşılık %15.8, $p<0.01$). Gruplar arasında akut stent trombozu yönünden fark tespit edilmedi (%4.2 karşılık %2.1, $p=0.6$).

Sonuç: Akut MI'ın girişimsel tedavisinde direkt stent uygulaması etkili ve güvenilir bir yöntem olup, işlem öncesi hedef damarda bazal akım bulunan hastalarda öncelikle direkt stent uygulması düşünülmeli.

P-107

KORONER ARTER EKTAZİLİ HASTALARDA EKTAZİK SEGMENT SAYISI VE EŞLİK EDEN KORONER DARLIĞIN DÜZELTİLMİŞ TIMI KARE SAYISI ÜZERINE ETKİSİ

Feridun Koşar, Nusret Açıkgöz, Ergün Topal, Yıldız Aksoy, Necip Ermış, İbrahim Şahin*, Nevzat Erdil*, Ramazan Özdemir, Sengül Çehreli

İnönü Üniversitesi Turgut Özal Tıp Merkezi, Kardiyoloji Anabilim Dalı, Malatya

İnönü Üniversitesi Tip Fakültesi, Malatya*

Amaç: Koroner kan akımının değerlendirilmesinde kullanılan düzeltilmiş TIMI kare sayısı (cTFC) kolay ve güvenilir bir yöntemdir. Koroner arter ektazili (KAE) hastalarında, eşlik eden koroner darlık veya ektazik segment sayısının koroner kan akımına olan etkisi yeterince araştırılmamıştır. Yöntemler: Çalışmaya KAE'li 97 hasta ve anjiyografik bulguların normal 35 kontrol grubu alındı. Ektazili hastalar kendi içinde farklı grupper ayrıldı. İlk aşamada koroner arter lezyonun eşlik edip etmemesine göre 3 grup oluşturuldu: (1) İzole ektazi grubu (koroner lezyon yok), (2) KAE ve kritik koroner arter darlığı olmayan (<%50) grup, (3) KAE ve kritik koroner darlığı olan (>%50) grup. İkinci aşamada ise aynı damarda ektazik tutulum lokalizasyonuna göre, ektazi grubu ayrıca 3 alt kategoriye ayrıldı: (1) tek segmentte ektazi varlığı (2) iki segmentte ektazi varlığı (3) üç segmentte ektazi varlığı veya diffuz tutulum.

Bulgular: Ektazi grubunda sağ koroner arter, sol sirkümpleks arter ve sol ön men arterlerin cTFC'leri kontrol grubuna göre anlamlı düzeyde yüksek bulundu ($p<0.001$, $p<0.05$, $p<0.05$). Koroner arterde mevcut darlığın kritik olup olmadığını cTFC'yi etkilemedi ($p>0.05$). Üstelik, ektazik segment lokalizasyonu veya hangi koroner arterde bulunduğu cTFC'yi değiştirmedi. Sonuç: Bu çalışmamızda, eşlik eden koroner lezyon darlığının veya ektazik segment sayısının, KAE'li hastalarda düzeltilmiş TIMI kare sayısını değiştiremediğini gösterdik.

P-108

KORONER GİRİŞİM SIRASINDA İNTRAKORONER MEDİKASYONUN DİSTAL HÜCRE HASARINA ETKİSİ: KARŞILAŞTIRMALI ÇALIŞMA

Sinan Dağdelen, Murat Yüce, Mehmet Ergelen, Selçuk Pala, Mustafa Akçakoyun, Ahmet Taha Alper, Nevinhal Eren, Nuri Çağlar

Acıbadem Hastanesi Kardiyoloji Bölümü, İstanbul

Perkütan koroner revaskülarizasyon (PCI) sırasında koruyucu distal aletlerin yararı iyi bilinmemektedir. PCI sırasında yapılan intrakoroner medikal yaklaşımın distal hasara etkisiini gösteren klinik çalışmalar oldukça kısıtlıdır. Metod: Çalışmamızı elektif olarak PCI planlayan, prospektif ve randomize olarak katılıan 304 hasta (59 ± 11 yaşı, 56 si kadın) aldı. Çalışma grubu ardışık olarak intrakoroner medİKasyonlarına göre 4 gruba yerleştirildi; adenosin (76 olgu, 150 µg), nitrit (76 olgu, 300 µg), verapamil (76 olgu, 250 µg) ve placebo (76 olgu, 5 ml). Intrakoroner ilaçlar, herbir lezyon için ayrı ayrı balon inmesinden hemen sonra uygulandı. PCI işleminden önce ve 12-18 saat sonrasında tüm hastalardan kardiyak troponin-t (Tn-t), CPK-MB, hsCRP ve laktat ölçümü yapıldı.

Sonuçlar: Otuz damara sadece balon anjioplasti (PTCA), 68 damara predilatasyon sonrası stent uygulama ve 334 damar segmentine ise direkt stent uygulaması yapıldı. Her 4 grupta sadece PTCA, predilatasyon +stent ve direkt stent uygulaması benzer oranda idi (hepsi için $p>0.05$). Her 4 grupta yaş, cinsiyet, diyalbet, hipertansiyon, aktif sigara içiciliği, ailesel koroner arter hastalığı hikayesi, son 7 günde aspirin kullanımı, ACEİ ve beta bloker kullanımını, sol ventrikül ejeksiyon fraksiyonlarını, TIMI ve Rentrop akımları istatistiksel olarak farklı değildi (hepsi için $p>0.05$). PCI sonrası adenosin, nitrit, verapamil ve placebo grupplarında Tn-t de >%50 artış sıklığı sırasıyla 10, 9, 7 ve 16 olgu olarak bulundu. İşlem sonrası adenosin, nitrit, verapamil ve placebo grupplarında CPK-MB de >%50 artış sıklığı sırasıyla 12, 16, 7 ve 15 olgu olarak bulundu. hsCRP de ise =>2 artış sıklığı adenosin, nitrit, verapamil ve placebo grupplarında sırasıyla 20, 21, 21 ve 28 olgu olarak bulundu. İşlem sonrası adenosin, nitrit, verapamil ve placebo grupplarında laktat seviyesinde >2 kat artış sıklığı sırasıyla 18, 5, 0 ve 5 olgu olarak bulundu. İşlem sonrası 10 ıncı günde tekrar anjio ve rePCI ihtiyacı adenosin grubunda en düşük iken, verapamil grubunda en düşük total mortalite görüldü. Subakut tromboz nitrit ve placebo grubunda 2 ser olguna, verapamil grubunda 1 olguna görülürken, adenosin grubunda hiç görülmmedi. Karar: PCI sırasında yapılan intrakoroner medİKasyon distal myokardial hasarı azaltmak bakımından yararlı etkilere sahiptir. Bu etki erken MACE de azaltmak bakımından anlamlı yarar sağlayabilir.

Girişimsel Kardiyoloji

P-109

LIMA-LAD ANASTOMOZUNA STENT SONUÇLARI

Bilal Boztosun, Yılmaz Güneş*, Ahmet Yıldız*, Mustafa Bulut, Mustafa Sağlam, Cevat Tanalp, Hekim Karapınar, Ramazan Kargin, Cevat Kırmacı

Koşuyolu Kalp Eğitim ve Araştırma Hastanesi, Kardiyoloji, İstanbul Medikal Park Hospital, Kardiyoloji*

Özak 2002- Mayıs 2004 arasında Koşuyolu Kalp Araştırma Hastanesi ve Medical Park Hastanesi'nde LIMA-LAD greftlerine stent uygulanan toplam 14 hastanın takip sonuçları incelendi. Hastaların ortalaması yaşı 62 + 13 olup 9'u (%66) erkek, 5'i (%34) kadın idi. LIMA-LAD greftinde darlığın saptanması CABG sonrası 1 ay ile 9 yıl arasında değişmektedir. Hastaların 8'i (%57) diyabetik, 6'sı (%43) hipertansif, 2'si (%14) sigara içmeyec devam etmektedir, 2'si (%14) aspirin dabit diziendi tedavi almamaktadır. Altı hastada (%43) ciddi sol ventrikül sistolik disfonksiyonu (<%35) mevcuttu. LIMA'ının ileri derecede kıvrımlı olduğu, hastanın kabul etmediği, natif LAD yoluya darlığı ulaşabilecek ve anterior miyokard sahanında iskemik saptanmayan olgular çalışmaya alınmadı. Perkütan girişim yeri olarak 2 hasta da sol brakial arter, 12 hasta da sağ femoral arter kullanıldı. Stent implantasyonu hedef lezyona greft yoluya ulaşarak gerçekleştirildi. Beş hasta da (%36) predilatasyon, 11 (%64) hastada direk stent uygulandı. Ortalama 18+10 ay takip süresinde 5 hastaya (%36) tekrarlayan angina nedeniyle tekrar anjiyografi yapıldı ve kritik darlık saptanmış bir hasta (%7) redilat edildi. Diyabetik olan 2 hasta da (%14) nonkistik darlık saptandı. Sol ventrikül fonksiyonlarında ileri bozulma saptanmış olan üç hasta da (%21) takip eden 4 ay içinde kalp yetersizliğine bağlı mortalite gelişti. Sonuç olarak, reopresyonun mortalite ve morbiditesinin yüksek olduğu gözönüne alındığında, darlığı natif LAD yoluya ulaşamayan olgularda, LIMA-LAD anastomozuna greft yoluya stent uygulanması tercih edilebilecek bir yöntemdir.

P-110

KORONER ANJİYOGRAFİNİN OKSİDATİF VE ANTİOKSİDATİF SİSTEDE ETKİSİ

Remzi Yılmaz, Recep Demirbağ, Şahbettin Selek*, Özcan Erel*

Harran Üniversitesi Tıp Fakültesi, Kardiyoloji Anabilim Dalı, Şanlıurfa Biyokimya Anabilim Dalı*, Şanlıurfa

Amaçlar: Çalışmamızda koroner anjiyografi yapılan hastalarda işlem öncesi göre işlem sonrasında oksidatif ve antioksidatif durumda meydana gelen değişiklikleri araştırdık.

Yöntemler: Koroner anjiyografi uygulanan 75 birey çalışmaya alındı. Koroner anjiyografi öncesinde ve sonrasında venöz kan örneklerinden antioksidatif durumu değerlendirmek için total antioksidan potansiyel ve toplam sulfidril içeriği ölçüldü. Oksidatif durumu değerlendirmek üzere plazma total peroksit seviyeleri ölçüldü. Total peroksit seviyelerinin total antioksidan potansiyele oranı da oksidatif stres indeksi olarak değerlendirilmeye aldı.

Bulgular: Anjiyografi öncesi ve sonrası değerleri Tablo'da verildi. Anjiyografi işlemi ile oksidatif durum, antioksidatif durum ve oksidatif stres indeksinde görülen değişikliklerin, işlem süresi ve kullanım radyokontrast madde miktarı ile korelasyon göstermediği tespit edildi ($p>0.05$). Gözlenen değişiklikler koroner arter hastaları ile koroner anjiyografisi normal olanlarda benzer düzeylerde oldu.

Sonuçlar: Koroner anjiyografi işlemi, işlem süresinden ve kullanım radyokontrast madde miktarından bağımsız olarak toplam sulfidril içeriğinde ve total antioksidan potansiyelde azalmaya neden olmaktadır. Oksidatif durumu yansitan plazma total peroksit seviyelerinde de bir azalma gözlenmesine rağmen antioksidan potansiyelde daha belirgin azalma olmasının sebebi ile oksidatif stres indeksi artmaktadır.

Tablo

	Anjiyografi öncesi	Anjiyografi sonrası
Total Antioksidan Potansiyel (mmol Trolox equiv./L)	1.587±0.106	1.430±0.105*
Total Sulfidril (μmol/L)	437±38	415±34
Total Peroksit (pmol H ₂ O ₂ /L)	25.2±1.8	24.0±1.6*
Oksidatif Stres İndeksi (Arbitrary Unit)	16.1±1.6	16.9±1.6*

*: Anjiyografi öncesine karşı $P<0.001$.

P-111

İNFLAMATUVAR YANIT AÇISINDAN PERKÜTAN KORONER GİRİŞİM TEKNİKLERİ ARASINDA FARK VAR MIDİR?

Cüneyt Türkoğlu, Hamza Duygu, Uğur Türk, Oğuz Yavuzgil, Mehdi Zoghi Ege Üniversitesi Tıp Fakültesi, Kardiyoloji Anabilim Dalı, İzmir

Giriş: İnflamasyon aterotrombozda merkezi bir rol oynamaktadır. Yüksek duyarlılıklı C-reaktif protein(hs-CRP) bu inflamatuvat süreçin önemli belirteci ve vasküler riskin önemli bir öngördüründüsündür. Perkütan koroner girişimler aterom plağı üzerindeki mekanik etkileri ile lokal ve sistemik inflamatuvat yanıt yol açarlar. Bu çalışmada, uygulanan PKG teknigi ile tekilenen inflamatuvat yanıt arasındaki ilişki, işlem öncesinde ve işlemden 24 saat sonra bakılan hs-CRP düzeyleri ile değerlendirilmiştir.

Yöntem ve Sonuçlar: Çalışmaya elektifPKG uygulanan 48 hasta (42E, yaş ortalaması: 52±12) aldı. Hastaların işlem öncesi ve işlemden 24 saat sonra da örnekleri alındı. 14 olguya sadece anjioplasti (grup I), 24 olguya anjiyoplasti+stent implantasyonu (grup II), 10 olguya da aterektomi+stent implantasyonu (grup III) uygulandı. Bazal değerleri ile karşılaştırıldığında 24 saat hs-CRP'deki artış, grup II'de grup I ile karşılaştırıldığında anamlı olarak daha yüksek bulundu (grup II: 2.4±0.4 mg/dL, grup I: 0.9±0.2 mg/dL, $p<0.05$). Grup III olgularda hs-CRP düzeylerinde artış (3.8±0.8 mg/dL) diğer iki grup ile karşılaştırıldığında daha belirgindi ($p<0.05$). Grup I olgularından 6 olguya instant restenoz nedeni ile anjioplasti uygulandı. Grup I'deki olgular instant ve denovo lezyonlara yapılanPKG sonrası hs-CRP değerlerindeki artış açısından karşılaştırıldığında instant restenoz olgularında daha düşük olarak bulundu. Ancak istatistiksel olarak anamli değildi. Tartışma: Stent, anjiyoplasti ve aterektomi uygulamalarının koroner damarlarda oluşturdukları mekanik travmayla bağlı inflamatuvat yanıt farklı derecelerinde olmaktadır. Bu sonuçlar uygulanan perkütan koroner teknikten sonra erken ve geç gelişen komplikasyonlarla ilişkili olabilir. Koroner damarlarda yüksek inflamatuvat yanıt neden olan girişimlerde yoğun antikoagulan, antitrombosit ve antiinflamatuvat tedavi uygulanması gelebilecek komplikasyonlar açısından yararlı olabilir.

P-112

KORONER ARTER STENT İMLANTASYONU SONRASI UYGULANAN MAGNETİK REZONANS GÖRÜNTÜLEME YÖNTEMİNİN ERKEN VE GEÇ DÖNEMDE KLINİK ÖNEMLİ

Mehmet Kaya, Hüseyin Yazıcı, Timur Timurkaynak, Yusuf Tayıl, Sedat Türkoğlu, Mustafa Cemri, Murat Özdemir, Atiye Çengel

Gazi Üniversitesi Tıp Fakültesi, Kardiyoloji Anabilim Dalı, Ankara

Amaç : Koroner arter stent implantasyonu sonrası , Magnetik Rezonans Görüntüleme (MRG) yönteminin erken ve geç dönemde hastaların prognozuna etkilerini incelemekti.

Metod: Klinigümüz Aralik 98 ve Kasım 03 tarihleri arasında 1520 hastaya perkütan koroner anjioplasti ve stent implantasyonu yapıldı. Hastaların ortalaması 1,4 stent implante edildi (1-4). İşlem sonrası ortalaması 14 ay içinde 28 MRG incelemesi yapılan 26 hasta çalışmaya dahil edildi. 1.5 Tesla MRG kullanıldı, 2 (%7,6) hasta ekstremite , 15 (%57,6) hastaya baş-boyun ve 11 (%42,3) hastaya da vertebral MRG çekildi. Stent implantasyonu sonrası 3 ay içinde MRG incelemesi yapılan 9 hasta erken dönem grubu, sonrasında MRG incelemesi yapılan 17 hasta ise geç dönem grubu olarak kabul edildi. Hastalar klinik bir olay (akut koroner sendrom, MI, ölüm ve cerebrovasküler olay) açısından değerlendirildi.

Bulgular: Erken dönemde hastaların 6'sında (%6,7) ve geç dönemde hastaların 5'inde (%29,4) klinik olay görüldü ($p=0,06$). Akut ve subakut stent trombozu görülmemeyle birlikte, erken dönemde hastalarının birinde MRG'den 5 ay sonra prostat hiperplazisi için yapılan operasyon sonrası geç stent trombozu görüldü ve akut miyokard infarktüsüne yol açması nedeni ile perkütan koroner girişim yapıldı. Erken dönemde grubunda; 2 hastada stent içi restenoz saptandı ve bir hastada acil by-pass operasyonu yapıldı. 3 hastada de novo lezyonlar saptandı ve 2'sine PTCA-stent implantasyonu uygulandı. Geç dönemde grubunda; 2 hastada stent içi restenoz ve 1 hastada de novo lezyonlar saptandı ve hastalar medikal tedavi ile izlendi. Geç dönemde hastaların 2'sinde nonkardiyak olay; bir hastada cerebrovasküler olay ve bir hastada da bacak kırığına sekonder pulmoner emboli görüldü.

Sonuç: Intrakoroner stent implantasyonu sonrasında MRG görüntüleme akut ve subakut stent trombozu neden olmaz. Hem erken hem de geç dönemde güvenli bir yöntem olarak görülmektedir.

P-113

KORONER EKTAZİLİ HASTALarda Eser Element Konsantrasyonları

Feridun Koşar, Çağatay Taşkapan*, Zehra Küçükbay*, Nusret Açıkgöz, Necip Ermiş, Ergün Topal, Yüksel Aksoy, Hülya Taşkapan*, Ramazan Özdemir, Sengül Çehreli

İnönü Üniversitesi Turgut Özal Tip Merkezi, Kardiyoloji Anabilim Dalı, İnönü Üniversitesi Tip Fakültesi*, Malatya

Anaç: Eser element eksikliğinin birçok dokuda oksidatif stres yol açabildiği öne sürülmüş ve bir çok çalışmada kalp yetersizliğinin etyoloji veya gelişiminde rol oynadığı gösterilmiştir. Ancak, eser element düzeyinde koroner arter ektazisi (KAE) arasındaki ilişki araştırılmamıştır. Çalışmamızın amacı, KAE'li hastaların serumunda eser element (Se, Cu ve Zn) ve temel elementlerden K, Mg düzeylerini araştırmak; koroner arter hastalığı olan (KAH) olgular ve sağlıklı bireylerin serum düzeyleriyle karşılaştırılmaktır. **Yöntemler:** 37 KAE'li hasta, 56 KAH grubu ve 30 kontrol grubu çalışmaya alındı. Serum eser element ölçümü için atomik absorbsiyon spektrofotometri yöntemi kullanıldı.

Bulgular: KAE ve KAH'lı hastaların serum Se, Cu ve Zn düzeyleri, kontrol grubuna göre belirgin olarak düşük (sırasıyla Se için $127 \pm 10 \mu\text{g/l}$, $126 \pm 9 \mu\text{g/l}$ ve $147 \pm 12 \mu\text{g/l}$, $p=0.001$; Cu için $836 \pm 323 \mu\text{g/l}$, $869 \pm 258 \mu\text{g/l}$ ve $1069 \pm 298 \mu\text{g/l}$, $p=0.005$; Zn için $557 \pm 116 \mu\text{g/l}$, $554 \pm 131 \mu\text{g/l}$ ve $620 \pm 130 \mu\text{g/l}$, $p<0.05$). Ancak, kontrol grubuya karşılaştırıldığında serum K ve Mg konsantrasyonları bakımından gruplar arasında anlamlı fark yoktu ($p>0.05$). Ayrıca ektazik damar sayısına göre, gruplar arasında serum eser ve temel element konsantrasyonları bakımından fark saptanmadı ($p>0.05$). **Sonuç:** Eser element eksikliği, KAE ve KAH patogenezinde önemli rol oynayabilir.

P-114

SİGMA VE C SEKLİNDEKİ SAĞ KORONER ARTER MORFOLOJİSİ İLE SAĞ KORONER ARTER TUTULUMU ARASINDAKI İLİŞKİ

Mehmet Kaya, Yusuf Tavil, Adnan Abacı, Ülgen Merdanoglu, Sedat Türkoğlu, Mustafa Cemri, Bülent Boyacı, Deniz Demirkar

Gazi Üniversitesi Tip Fakültesi, Kardiyoloji Anabilim Dalı, Ankara

Sağ koroner arter, koroner anjografide bazı hastalarda Sigma, bazı hastalarda ise C şeklinde bir morfoloji gösterir (Figür 1,2). Daha önce yapılan bir çalışmada sağ koroner arter hastalığı olanlarında C şeklindeki sağ koroner morfolojisinden daha sık olduğu görülmüştür. Çalışmamızın amacı, sağ koroner arter aterosklerozu ile sağ koroner morfolojisinde arasındaki ilişkiye incelemektir.

Metod: Koroner anjografileri tamamen normal olan 100 hasta ile sağ koroner arterde posterior desenden arteri vermeden önce en az bir yerde %50 darlık bulunan 100 hastanın koroner anjografileri değerlendirildi ve sağ koroner arterin şekli belirlendi. Sağ koroner arteri non dominant olan hastalar çalışmaya alınmadı. **Bulgular:** Çalışmaya toplam 200 hasta (133 erkek ve 67 kadın, ortalaması yaşı: 56 ± 11) alındı. Koroner arter hastalığı olan grupta; erkek cinsiyet (%77'ye karşı %56, $p=0.002$) ve diabetes mellitus (%33'ye karşı %16, $p=0.008$) daha sık; yaş ortalaması daha yükselt (61±11 karşı 53±10, $p<0.001$) idi. Her iki grupta hipertansiyon sikliği, sigara kullanımı ve serum kolesterol seviyesi benzer bulundu. Koroner arterleri normal grupta hastaların %28'inde Sigma, %72'sinde C şeklinde sağ koroner arter morfolojisini saptandı. Sağ koroner arter hastalığı olanların %7'sinde Sigma, %93'ünde C şeklinde sağ koroner arter morfolojisini varlığı belirlendi ve aradaki fark istatistiksel olarak anlamlı idi ($p<0.001$).

Sonuç: Çalışmamızda koroner arter hastalığı olanlarında C şeklindeki sağ koroner arter morfolojisinden daha sık bulunmuştur ve bu konudaki daha önceki veriyi desteklemiştir. Dolayısı ile sağ koroner arter morfolojisini ile sağ koroner arter hastalığı arasında ilişki olabilir.



Sağ koroner arter morfolojisini: Sigma şeklinde



Sağ koroner arter morfolojisini: C şeklinde

P-115

RADİAL ARTER GİRİŞİMLİ PİRİMER PTKA'NIN SONUÇLARI

Erdogan İlkay, Mustafa Yavuzkırı, Mehmet Balın, İlgin Karaca, Necati Dağlı, Naci Coşkun, Hidayet Kayaççıek, Ünal Öztürk, İ. Nadi Arslan

Fırat Üniversitesi Tip Fakültesi, Kardiyoloji Anabilim Dalı, Elazığ

Femoral işlem yıllardır güvenilirliği ispatlanmış bir girişim bölgesidir. Son yıllarda yardımcı antitrombosit tedaviler ile girişimde alternatif girişim bölgeleri araştırılmaktadır. Bu amaçla akut myokard infarktüstünde pırimer anjiyoplasti için radial arterden girişim yaptığımız olguları inceledik. Kliniğimizde yaş ortalaması $56,8 \pm 7,5$ yıl olan 35 olguya (26 erkek, 9 kadın) sağ radial arterlerinden girerek pırimer anjiyoplasti yapıldı. Olguların 18'inde ön duvar, 2'sinde lateral duvar, 15'inde inferiör duvar tutulumu vardı. Tüm olgularda Gp IIb/IIIa reseptör inhibitörü kullanıldı. Ortalama Stent uzunluğu $15,2 \pm 4,1$ mm, referans damar çapı $3,1 \pm 1,8$ mm idi. İşlem sırasında ortalama aktive koagülasyon zamanı (ACT) $210,20 \pm 25,12$ sn idi. İşlem sonrası kateter laboratuvarında arter kılıfı tüm olgularda çekildi. Girişim bölgесine ait hiçbir komplikasyon gözlenmedi. Ortalama işlem süresi $21,2 \pm 5,4$ dakika idi. Otuzuncu günde tüm olgular radial doppler incelemlerinde sağ radial arter açık olarak izlendi. Sonuç olarak Gp IIb/IIIa reseptör inhibitörü alan olgularda radial arter girişimi güvenilir bir girişim bölgesidir.

P-116

KALSIYUM KANAL BLOKERLERİNİN PERKÜTAN KORONER GİRİŞİMLER SONRASI CK-MB SALINIMINA ETKİSİ

İlyas Atar, Öykü Gülmek, Aslı Atar, Hüseyin Bozbash, Sadık Açıkel, Koray Demirtaş, Didem Konaş, Alp Aydinalp, Aylin Yıldırı, Bülent Özün, Haldun Müderrisoğlu

Başkent Üniversitesi Tip Fakültesi, Ankara

Amaç: Koroner vazospazm ve no-reflow fenomeni perkütan koroner girişimler (PKG) sonrası önemli problemlerdir ve miyositnekrozuna neden olabilirler. Kalsiyum kanal blokerlerinin (KKB) vazospazm ve no-reflow fenomenini azaltarak miyositnekrozunu azalttığı düşünülmektedir, ancak literatürde bu konu ile ilgili yeterli veri yoktur. Bu çalışmada işlem öncesinden başlayan dilatizemini PKG uygulamaları sonrası CK-MB salınımu üzerine etkisi prospektif olarak araştırıldı. **Yöntemler:** Çalışmaya üniversitemiz katereter laboratuvarından koroner anjiyografi yapılmış, elektif PKG uygulanması kararı alınan 451 hasta alındı. Hastalar 2 gruba ayrıldı. Grup 1'deki hastalara dilatizem (Günde 3 kez 60 mg) başlandı, grup 2'deki hastalar herhangi bir KKB almadı. Hastaların işlem öncesi hemen ve işlem sonrası 6., 24. ve 36 saatlerde CK-MB düzeyi ölçülmüştür. **Çalışma:** Çıktılar 2 gruba ayrıldı. CK-MB'nin normal aralığı 0-24 Ü/L kabul edildi. CK-MB değerinin normalin iki katına çıkmasının CK-MB artışı olarak kabul edildi. **Bulgular:** Hastalarдан 177'si grup 1'e (ortalama yaşı: 60 ± 9 yıl), 274'sü grup 2'ye (ortalama yaşı: 60 ± 10) alındı. İki grubun klinik özelliklerini, ilaç kullanım oranlarını ve laboratuvar testleri benzerdi. Hastaların tamamında işlem öncesi CK-MB değerleri normal sınırlardaydı ve gruplar arasında fark yoktu. Ortalama CK-MB değerleri, 24. ve 36 saatlerde grup 1'de anlamlı olarak grup 2'ye göre düşük saptandı ($p<0.05$) (Tablo). Grup 1'deki hastaların %15.8'inde (28 hasta), grup 2'deki hastaların %20.1'de (55 hasta) CK-MB artışı izlendi ($p>0.05$). Sonuç: Çalışmamız KKB kullanımının PKG sonrası CK-MB düzeyleri üzerine etkisini değerlendiren ilk prospektif araştırmadır. Bu çalışmada PKG sırasında KKB kullanımının işlem sonrası miyositnekrozunu azalttığı saptanmıştır.

Girişimsel Kardiyoloji

P-117

AKUT MYOKARD İNFARKTÜSLÜ OLGULARDA SOL VENTRİKÜL DİYASTOLİK FONKSİYONLARI ÜZERİNE PRIMER ANJİOPLASTİNİN ETKİLERİ

İhsan Dursun, Muharrem Arslançag, Korhan Soylu, Ozcan Yilmaz, Fırat Ural, Sabri Demircan, Mustafa Yazıcı, Mahmut Şahin

Ondokuz Mayıs Üniversitesi Tıp Fakültesi, Kardiyoloji Anabilim Dalı, Samsun

Amaç: Akut myokardial iskemi hem sistolik hem de diyastolik fonksiyonlarda bozulmaya neden olur. Akut myokard infarktüslü (AMI) olgularda myokard iskemisini azaltmaya yönelik erken dönemde uygulanan revaskülerizasyon yöntemlerinin sistolik fonksiyonlarda düzelmeye neden oldukları gösterilmiştir. Bu çalışmada, akut myokard infarktüslü olgularda uygulanan revaskülerizasyon yöntemlerinin sol ventrikül diyastolik fonksiyonları üzerine olan etkileri araştırıldı.

Yöntemler: AMI'lı toplam 73 hasta (60 erkek, ortalaması yaşı 55 ± 11 yıl) çalışmaya alındı. Hastalar uygulanan tedavi yönteminde göre iki gruba ayrıldı: grup 1 (n=26) primer anjioplasti uygulanan, grup 2 (n=47) trombolytik tedavi streptokinaz, doku tipi plazminojen aktivatörü (TPA) uygulanan hastalardan oluşmaktadır. Sol ventrikül diyastolik fonksiyonlarını değerlendirmek için hastalara yatanlarının ilk haftasında doppler ekokardiografi yapılarak transmural akım hızlarından erken diyastolik akım hızı ($E, m/s$), atriyal akım hızı ($A, m/s$), E/A oranı ve deselerasyon zamanı (DT, ms) ölçüldü. Sol ventrikül sistolik fonksiyonları ejeksiyon fraksiyonu (EF, %) ile değerlendirildi.

Bulgular: İki grupta arasında başlangıç parametreleri arasında fark saptanmadı. Ortalaması E akım hızı $0,59 \pm 0,16$ m/sn ve karşılıkta $0,66 \pm 0,18$ m/sn ($p=0,13$), ortalaması A akım hızı $0,69 \pm 0,12$ m/sn ve karşılıkta $0,58 \pm 0,17$ m/sn ($p=0,01$) ölçüldü. İki grupta arasında E/A oranında anlamlı farklılıklar saptandı (srasıyla $0,88 \pm 0,28$, $1,25 \pm 0,65$, $p<0,01$) (Tablo). Ortalama DT değerleri ($p=0,76$) ve EF ($p=0,40$) açısından gruplar arasında fark bulunmadı. İki grupta arasında diyastolik disfonksiyonu göstergelarından olan uzunış gevşeme paterni ($E/A < 1$) gösteren olgu oranları anlamlı farklılıklar gösterdi (srasıyla 20 hasta (%76), 21 hasta (%52), odds oranı 3,01, %95 güven aralığı 1,00-9,09, $p<0,05$). Sonuç: AMI'lı olgulara yapılan birçok çalışmada primer anjiyoplastinin trombolitik tedavide üstünlüğünü kanıtlamış olması karşın, bizim çalışmamızda primer anjioplasti uygulanan olgularda diyastolik fonksiyonlarda daha fazla bozulma saptanmıştır. Primer anjioplasti grubunda saptanan diyastolik fonksiyonlardaki bozulma, bu grupta damar açıklıkları oranları ve de iskemi-reperfisyona hasarı oranlarının daha fazla olmasına bağlı olabilir.

Tablo. Hastaların doppler ekokardiografi sonuçları

	Grup 1 (n=26)	Grup 2 (n=47)	p değeri
E akım hızı (m/sn)	$0,59 \pm 0,16$	$0,66 \pm 0,18$	0,13
A akım hızı (m/sn)	$0,69 \pm 0,12$	$0,58 \pm 0,17$	0,004
E/A oranı	$0,88 \pm 0,28$	$1,25 \pm 0,65$	<0,01
DT(ms)	59,19±56,84	161,15±49,97	0,76
E/A<1 olgu sayısı	20 (%76)	21 (%52)	<0,05
EF (%)	51±12	53±10	0,40

DT: Deselerasyon zamanı EF: Ejeksiyon fraksiyonu

P-119

PERKÜTAN GIRİŞİM SONRASI GELİŞEN MINÖR MIYOKARD HASARINI TESİTİTE MYOGLOBİN'İN YERİ

Çağdaş Ozdöl, Uzeyir Rahimov, Timuçin Altın*, Özgür U Özcan*, Sibel Turhan*, Sadi Güleç*, Derviş Oral, Çetin Erol**

Ankara Üniversitesi Tıp Fakültesi, Ankara Üniversitesi Tıp Fakültesi, Kardiyoloji Anabilim Dalı*, Ankara

Giriş: Perkütan koroner girişim sonrası CK-MB ve troponin düzeylerinde sıklıkla artış olmuştur ve bu hastalarda прогнозun daha kötü olduğu bilinmektedir. Bu çalışmanın amacı, perkütan koroner anjiyoplasti yapılan hastalarda troponin, CK-MB izoenzimi ve myoglobin salınımlarını karşılaştırmak ve bu markerların yüksekliği ile klinik ve anjiyografik bulguları incelemektir.

Yöntem: Başarılı elektif koroner anjiyoplasti yapılan toplam 116 hasta çalışmaya dahil edildi. CPK, CK-MB, Troponin T ve miyoglobin düzeylerine işleminden önce ve işlemden sonra 8. ve 16.saatlerde bakıldı. Tüm hastaların bazal enzim düzeyleri normaldi. Koroner girişim sonrası CK-MB ve troponin düzeylerinin üst limite üstünde çıkışması minor myokard hasarı olarak kabul edildi. Akut koroner sendromlu hastalar ve işlem sırasında yan dal oklüzyonu gelişen hastalar çalışmaya alımdır.

Bulgular: Perkütan koroner girişim yapılan 116 hastadan, işlem sonrası 30'unda (%25) CK-MB düzeyleri normalin üzerine çıktıken, troponin düzeyleri 32 (%28) hasta yükseltmiştir. Pk CK-MB ve troponin değerleri arasında iyi derecede korelasyon gözlenmiştir ($r=0,8$, $p<0,0001$). İşlem sonrası sadece 6 hasta (%5) myoglobin yükselmesi gözlandı. Sekizinci saatte bakılan myoglobini sensivitesi %17 iken, 16.saatlik myoglobin sensivitesi %10 tespit edilmiştir. Koroner girişim sonrası enzym yükselmesi ile klinik ve anjiyografik parametreler arasında ilişki saptanmamıştır. Sonuç: Bu çalışmada elde edilen bulgular, başarılı perkütan koroner girişim sonrasında minor myokard hasarının tesbitte myoglobin ek bir faydasının olmadığını göstermektedir.

P-118

KALP KATETERİZASYONU SONRASI DÖRT FARKLI BAKIM METODUNUN KOMPLİKASYONLARA ETKİSİ

Meral Gün Altıok, Nuray Eng, Zerrin Yiğit***

Mersin Üniversitesi Sağlık Yüksekokulu, Mersin

İstanbul Üniversitesi, Florence Nightingale Hemşirelik Yüksekokul İç Hastalıkları Hemşireliği ABD, İstanbul*

İstanbul Üniversitesi Kardiyoloji Enstitüsü, Kardiyoloji Anabilim Dalı, İstanbul**

Giriş: Sırt, bel, kasık ağrılara neden olabilmesine rağmen kalp kateterizasyonu sonrası geleneksel olarak hastalar düz yatırlarak ponksiyon bölgesine kum torbası uygulanmaktadır. Bu amaca yatak başının 45-60 derece yükseltmesi ve kum torbası kullanılmamasının temel gereklilikleri karşılamadıkça kolaylığı ve femoral arteriotomi komplikasyonlarına etkisi değerlendirildir.

Metod: Çalışmaya ardışık 160 olgu (yaş ortalaması $57,27 \pm 9,98$ yıl; %20,7'si kadın, %79,3'ü erkek) alındı. Hastalar dört gruba randomize edildi. Grup 1(kontrol): sırtüstü düz yatan, kum torbası kullanan, grup2: sırtüstü düz yatan, kum torbası kullanmayan, grup3: Yatak başı seviyesi 45-60 derece, kum torbası kullanan, grup4: Yatak başı seviyesi 45-60 derece, kum torbası kullanmayan hastalar. İşlem sonrası altı saat içinde ve 24 saat içinde ortaya çıkan komplikasyonların tipi sıklığı ve ağrı/rahatlılıkla ilgili veriler toplandı.

Bulgular: Çalışmada %1,89 hafif kanama, %1,26 minör hematom tespit edildi. Major komplikasyon tespit edilmedi. Grup4 diğer gruplara göre daha az sırt, bel, kasık ağrısı (srasıyla; $p<0,0001$, $p=0,001$, $p<0,0001$) ve yemeğine, tırinner elemenasyon sorunu (srasıyla; $p<0,0001$, $p<0,0001$, $p<0,0001$) deneyimlendi.

Karar: Kalp kateterizasyonu sonrası hastanın yatak başının 45-60 derece yükseltmesi ve kum torbasının kullanılmaması ile femoral arteriotomi komplikasyonlar arasında bir ilişki yoktur. Bu gruptaki hastalar komplikasyonsuz ve daha rahat bir yatak istirahati dönemi geçirmiştir.

P-120

KORONER STENTLEME İLE TEDAVİ EDİLEN 5 MIYOKARDİYEL "BRIDGE" VAKASININ 1 YILLIK ANJİOGRAFİK TAKİBİ

Akin Izgi, Cevat Kırma, Ali Cevat Tanalp, Cihan Dündar, Mustafa Akçakoyun, Selçuk Pala

Koşuyolu Kalp Eğitim ve Araştırma Hastanesi, İstanbul

Amaç: Miyokardiyal bridge, bir koroner arter segmentinin bir kardiyak kas bandının altında seyretmesidir. Genellikle asemptomatik seyretele de myokardial iskemi, ventriküler taşkırdı ve ani ölüm ile ilişkisi gösterilmiştir. Medikal tedaviye rağmen semptomatik olan vakalarada intrakoroner stentleme iyi bir tedavi opsiyonudur. Bu çalışmada kliniğimizde koroner stentleme ile tedavi edilen 5 myokardiyal bridge vakasının 1 yıllık anjiografik sonuçlarını yayınıyoruz.

Yöntemler: İki hastada anteroseptal MI geçirme öyküsü vardı. İki hastada anterior bölgeyi iskemi gösteren talyum sintigrafisi ve bir hastada pozitif efor testi mevcuttu. Tüm hastaların sol ön inen koroner arterlerinde %90-98 darlık oluşturan myokardiyal bridge mevcuttu. Hiç bir hastada aterosklerotik damar hastalığı bulunmamaktaydı. Myokardiyal bridge uzunlukları 18-35 mm arasında değişmekteydi. Koroner stentleme işleminde yüksek radial kuvvette sahip stentler primer olarak yerleştirildi. Hiç bir işlemede komplikasyon olmadı.

Bulgular: 1 yıllık klinik izlenimde üç hasta tamamıyla asemptomatik olarak izlendi. İki hastada ilk ay içerisinde tekrarlayan angina nedeniyle kontrol koroner anjiografi yapıldı. Her iki hastada stent içi restenoz (>%50 darlık) saptandı ve tekrar koroner stentleme uygulandı. Asemptomatik olan üç hastanın birincisi yıl sonunda kontrol koroner anjiografileri yapıldı ve stentlerin patent olduğu görüldü.

Sonuç: Intramyokardiyal segmentin stentlenmesi koroner lümenin dök basıya karşı korunabilmesini sağlar ve semptomların giderilmesinde oldukça etkilidir. Ne yazık ki bu işlemenin başarısı literatürde oldukça yüksek (%46) olarak kaydedilen restenoz fenomeni ile gölgelenmektedir. Bizim 5 vakalık serimizde restenoz oranı %40 olarak izlenmiştir. Yüksek radial kuvvette sahip stentlerin kullanımı, yüksek şırınga basınçlarına çökülmesi ve intramyokardiyal segmentin tüm uzunluğunun tespit edilip stentlenmesi ile stent içi restenoz oranlarının azaltılabilceğini düşünülmektedir.

P-121 RUTİN KLINİK UYGULAMADA SIROLIMUS SALINIMLI STENT KULLANILAN HASTALARIN UZUN SURELİ DEĞERLENDİRİMESİ

Vedat Aytekin, Gökmen Gemici*, K. Hamit Askin*, Umit Aker*, Nurcan Yazıcıoğlu*, Murat Gülboraç*, Saitde Aytekin, Deniz Güzel, C. Burak Özme, I. C. Cemşid Demiroğlu*

Kadir Has Üniversitesi Tıp Fakültesi, Florence Nightingale Hastanesi Kardiyoloji Anabilim Dalı, İstanbul
Florence Nightingale Hastanesi, İstanbul*

Amaç: Stent içi restenoz, perkütan koroner girişimler sonrasında önemli bir sorundur. Son yıllarda yayınlanan çalışmalarla ilaç salının stent kullanılmışının stent içi restenoz olasılığının belirgin olarak azaltılabilirliğini göstermiştir. İlaç salının stentler, restenozu azaltmak yarınca klinik son nökteleri bütünüyle olumlu etkilemektedir. Bizim çalışmamızda, rutin klinik uygulamamız içinde sirolimus salımlı stent kullanılan hastalarlardaki major kardiyovasküler istenmeyen olayların (MKIO) erken ve uzun süreli sonuçları değerlendirilmiştir.

Yöntem: Çalışmaya kliniğimizde 1 Haziran 2002 – 5 Ocak 2004 tarihleri arasında sirolimus salımlı stent (SSS) uygulanmış ilk yüz hasta (79 erkek, 21 kadın; ortalama yaşı 62±10 yıl) alındı. Hastaların izlenme süreleri ortalaması 15.8 ± 5 aya (en az 5, en çok 24 ay) ulaşmıştır. Çalışmanın birincil sonlanması noktası MKIO (kardiyak ölüm, ölümle olmayan miyokard infarktüsü ve hedef damar revaskülezasyonu) olarak belirlendi. Hastaların demografik özellikleri Tablo 1'dedir.

Bulgular: Yüz hastaya standart yöntemler kullanılarak uygulanan toplam 131 sirolimus salımlı stent yerleştirme işlemi hastaların %99'unda başarı ile gerçekleşti. Bir hastaya (%1) büyük yan etki takmasının ve akut stent trombozu nedîmîyle acil koroner arter by-pass cerrahisi uygulandı. Ortalaması 15.8 ± 5 aylık izlem sonunda iki olguda (%2) major kardiyovasküler istenmeyen olay gerçekleşti. Bu olaylardan ikisi venöz by-pass greftinde bulunan 2 stent içinde gelişen restenoz lezyonlarına balon dilatasyonu yapılması ve tekrar restenoz geliştiği için her ikisi için ikinci İA (SSS) yerleştirilen, işlem öncesi de geçirilmiş miyokard infarktüsü ve ecdi sol ventrikül disfonksiyonu bulunan, işlenmeden 15 ay sonra ami kardiyak ölüm gerçekleşen 70 yaşında bir kadın hastayı, ikinci olsa ise LAD lezyonuna SSS uygulanmasından 4 ay sonra restenoz nedîmîyle elektif koroner arter by-pass cerrahisine verilen 64 yaşında bir kadın hastayıdır. Sonuç: Klinikümüzde dejektif hasta grupperinde uygulanan ilk yüz SSS olgusunda işlem başarısı %99, uzun izleme süresi içinde MKIO sıklığı %2 bulunmuştur. Bu bulgular diğer büyük çalışma sonuçları ile uyumludur ve SSS'lerin güvenle kullanılabilecek cihazlar olduğunu düşündürmektedir. Bildirilen olguların izlenmesi sürdürülmemektedir.

Tablo 1. Hastaların ve kullanılan stentlerin özellikleri

Hasta sayısı	100
Kullanılan toplam stent sayısı	131
Bir hasta'dan kullanılan ortalamalı stent sayısı	1,31
Diyabetik hasta sayısı	23 (%23)
Ortalama stent uzunluğu	20.25 ± 7 mm
Ortalama stent çapı	2.95 ± 0.2 mm
Ortalama balon şişme basıncı	14.35 ± 2.74 atm
Nativ koroner arterine girişim yapılan hasta sayısı	96 (%96)
Graft lezyonuna girişim yapılan hasta sayısı	4 (%4)
Stent restenozunu girişim yapılan hasta sayısı	3 (%3)

mm: milimetre atm: atmosfer

P-123

PRIMER PTCA'NIN P DALGA DISPERSİYONUNA ETKİSİ VAR MI?

Turgay Çelik, Hürkan Kurşaklıoğlu, Atila İyisoy, Sait Demirkol, Sedat Köse, Basri Amasyali, Ersoy İşık

GATA Kardiyoloji Anabilim Dalı, Ankara

Amaç: P-dalga dispersiyonunun (PDD) atriyumlardaki heterojen iletiyi yansıtığı bilinmektedir. Akut miyokard infarktüsü (MI) ile gelen hastalarda tedavi olarak yapılan akut revaskülezasyonun PDD'na etkisi olduğu konusunda literatürde veri yoktur. Biz de bu çalışmamızda akut MI ile başvuran hastalarda uygulanan primer PTCA'nın PDD etkisini ve klinik önemini araştırmayı amaçladık. Materyal-Metod: Mayıs 2003-Şubat 2004 tarihleri arasında ST segment elevasyonlu miyokard infarktüsü (STEMI) ile göğüs ağrısının başlangıcının 12 saatı içinde başvuran 57 hastanın primer PTCA'dan önce ve işlemden hemen sonra 12 derivasyonlu yüzey EKG'leri alınarak PDD hesaplandı. Her bir derivasyon için en az 3 kompleksden ortalamalı P dalga süreleri hesaplandı. PDD 12 derivasyonlu EKG'de en uzun P dalga süresinden en kısa P dalga süresi çıkarılarak hesaplandı. P dalga başlangıcı pozitif dalgalar için temel çizgiden yukarı çıkan ilk nokta, negatif dalgalar için aşağı inen ilk nokta, P dalgasının sonu olarak temel çizgiye dönüs olan son nokta kabul edildi. Bulgular: STEMI ile başvuran 57 hasta (ort. yaşı 57.9 ± 10.1 yıl, 52 erkek) çalışmaya alındı. Hastaların 18'inde sol onen koroner arter (%32), 9'unda sirkumflex koroner arter ve 30'unda ise sağ koroner arterde infarktüstürden sorumlu lezyonu müdahale edildi. Primer PTCA öncesi ve sonrası Pmax (98 ± 15.9 °C) ve karsılık 85 ± 12.2 msn ($p<0.001$) ile PDDnin (48.5 ± 15.7 msn; $p<0.001$) anlamlı şekilde değiştiği gösterilmiştir. Primer PTCA sonrası tam olarak reperfüzyon sağlanan grup ile tam olarak reperfüzyon sağlanamayan grup karşılaştırıldığında maksimal P dalga ve PDD süreleri reperfüzyonu tam olan grupta anlamlı olarak daha düşük bulundu (Tablo). Sonuç: STEMI ile başvuran hastalarda primer PTCA, PDD'yi anlamlı şekilde azaltmaktadır. P dalga dispersiyonu primer PTCA sonrası reperfüzyonu noninvasif yöntemlerden biri olabilir.

Tablo. Reperfüzyona göre P-dalga dispersiyonu

	Komplet Reperfüzyon (n=47)	İnkomplet Reperfüzyon (n=10)	p*
P maksimum	83.4 ± 11.3	92.7 ± 13.4	0,02
P minimum	59.5 ± 8.1	60 ± 12.6	0,88
P-dalga Dispersiyonu	23.9 ± 9.7	32.7 ± 16.1	0,02

*Student T-test

P-122

ST YÜKSELMELİ MIYOKARD INFARKTÜSÜNDE PRİMER ANJIYOPLASTİ İLE SAĞLANAN REVASKÜLİZASYON SONRASI, QRS SÜRESİNDEKİ DEĞİŞİMİN DOKU PERFUZYONUNU GöSTERMEDEKİ ETKİNLİĞİ

Erdogan İlkay, Ilgm Karaca, Hidayet Kayançicek, Mustafa Yavuzkuz, İ. Nadi Arslan

Fırat Üniversitesi Tıp Fakültesi, Kardiyoloji Anabilim Dalı, Elazığ

ST yükselmeli akut Miyokard İnfarktüsünde (AMI) sorumlu damarda başarılı reperfüzyona rağmen doku düzeyinde reperfüzyon her zaman olmamak ve miyokard hasarı sorumlu damarın açık olmasına rağmen gelmektedir. ST yükseltmesi olan AMI'de reperfüzyon sonrası ST'nin çökme derecesi doku perfüzyonunu göstermede etkin bir yöntemdir. Reperfüzyondan hemen sonra %70 yada daha fazla ST rezolusyonunun olması doku düzeyinde olumlu perfüzyonu önemli bir belirticidir. Biz QRS süresindeki daralmanın primer koroner anjioplasti (PTKA) ile sağlanan reperfüzyon takiben doku düzeyindeki perfüzyonunu göstermedeki prediktif değerini araştırmayı amaçladık. Yaş ortalaması 59.9 ± 10.9 ; 35 erkek, 5 kadın olmak üzere toplam 40 ST yükseltmesi olan AMI alındı. MI lokalizasyonu: 23' Anterior MI (%57,5), 11' Inferior MI (%27,5), 5 Inferoposterior MI (%12,5), 2 Lateral MI (%2,5). Hastaların tamamına primer PTKA uygulandı. Kapı balon zamanı ortalaması 60.4 ± 13.5 dak. Tüm hastalarda işlem öncesi ve hemen sonrası çekilen EKG de, ST rezolusyonu derecesi değerlendirildi. ST rezolusyon derecesine göre hastalar 3 gruba ayrıldı. Grup-I: ST rezolusyon derecesi %70 üzerinde olanlar, Grup-II: ST rezolusyon derecesi %70-30 arasında olanlar, Grup-III: ST rezolusyon derecesi %30 altında olanlar. Her üç gruptaki hastaların, bazal ve işlem sonrası çekilen EKG'lerinde, QRS genişliğindeki değişiklik değerlendirildi. Grup-I de QRS daralma süresi üzerine diğer gruplara göre belirgin olarak azalma izlendi (120 ± 17.8 msn'den 100 ± 14.4 msn $p<0.001$). Grup-II ve Grup-III de uygulanan başarılı reperfüzyon QRS süresine etki etmedi ($p=0.48$). Sonuç olarak, ST yükseltmeli AMI tanısı alan hastalarda, başarılı primer PTKA işlemi ile sağlanan revaskülezasyon sonrası, QRS süresindeki azalma, doku perfüzyonunu göstermede belirleyicidir.

P-124

İZOLE KORONER ARTER EKTAZİLİ HASTALarda EKTAZİ BOYUTU VEYA EKTAZİ ORANININ DÜZELTİLMİŞ TIMİ KARE SAYISI ÜZERİNE ETKİSİ

Feridun Koşar, Nusret Açıkgöz, Ergün Topal, Yiğit Aksoy, Necip Ermis, Ramazan Özdemir, Sengül Çehreli

İnönü Üniversitesi Turgut Özal Tıp Merkezi, Kardiyoloji Anabilim Dalı, Malatya

Amaç: Koroner kan akım hızının ölçümlünde kullanılan düzeltilmiş TIMI kare sayısı (cTFC), Doppler flow wire sonuclarıyla yakın korelasyon gösteren kantitatif bir yöntemdir. Koroner arter ektazisinde (KAE) kan akım hızında yavaşlama olduğu bildirilmiştir. Çalışmamızda, KAE'li hastalarda ektazi çapı ya da oranının cTFC üzerine olan etkisini araştırdık. Yöntemler: Sağ koroner arterde izole KAE olan 58 hasta çalışmaya alındı. Koroner arterdeki ektazik segment çapının aynı damarluk bitişik normal segment çapına oranı, ektazi oranı olarak kabul edildi. Ektazi oranı ölçütlenince göre hastalar iki gruba ayrıldı: ektazi oranı 1.5-2.0 olanlar (grup A) ve >2.0 olanlar (grup B). Ektazik damarın herhangi bir yerinde kritik darlığı (>%50) olan hastalar çalışma dışı bırakıldı. Anjiyografik bulguların normal olan 35 hasta kontrol grubu olarak seçildi. Bulgular: Ektazi ve kontrol grubu hasta karakteristikleri benzerdi. Kontrol grubuna göre, ektazili hastalarda sağ koroner arterde (RCA) cTFC anlamlı düzeyde artmış olarak bulundu (23 ± 8 ve 43 ± 12 , $p<0.001$). Aynı zamanda, Grup B hastaların cTFC'si Grup A'dan anlamlı derecede daha fazlaydı (51 ± 15 ve 43 ± 10 , $p<0.001$). Sonuçlarımız, cTFC'nin KAE çapı veya oranına bağlı olarak etkilendiğini ve KAE'li hastalarda artmış ektazi oranının cTFC'yi anlamlı düzeyde artırdığını göstermektedir.

P-125

KORONER ANJİYOGRAFİNİN AKUT İNFLAMATUVAR YANIT ÜZERİNDEKİ ETKİLERİ

Özlem Gündoğdu, Mehmet Akbulut, Yılmaz Özbay, Necati Dağılı, Necati Dağılı, Dilara Seçkin, Erdoğan İlkkay, İlgin Karaca, Nadi Arslan

Fırat Üniversitesi Tıp Fakültesi, Kardiyoloji Anabilim Dalı, Biyokimya Anabilim Dalı*, Elazığ

Giriş: Dokusuz, infeksiyon veya homeostaz bozuklukları gibi olaylar, lokal ve sistemik inflamatuvvar yanıt tetikleyebilirler. Bu yüzden, anjiyografik işlemlerin inflamatuvvar cevap üzerindeki etkisini araştırmayı amaçladık. **Yöntemler:** Çalışmaya, bazal inflamatuvvar cevabı etkileyen hastatı olmayan, koroner anjiyografi planlanan göğüs ağrılı hastalar alındı. Femoral kanülezasyonla eş zamanlı olarak venöz kan örnekleri alındıktan sonra, benzer teknik yaklaşımla ve aynı kontrast madde ile tüm hastaların koroner anjiyografileri yapıldı. Anjiyografik analizler doğrultusunda hastalar, epikardiyal koroner arterler normal ve lezyonlu olmak üzere iki gruba ayrıldı (Grup-I; YO:54±9 yıl, n:10, 8 kadın ve Grup-II; YO:55±11 yıl, n:13, 10 kadın). Daha sonra, grupların inflamatuvvar cevaplarındaki değişiklikleri takip etmek için 1/2, 2, 4, 6, 12, 24. ve 48. saatlerde kan örnekleri tekrar alındı.

Bulgular: Grupların bazal klinik özellikleri ve inflamatuvvar parametre düzeyleri [c-reaktif protein (CRP), fibrinojen (F), haptoglobulin (H) ve sitokinler (IL-1, IL-6, IL-8, TNF- α)] benzerdi ($p>0.05$). Koroner anjiyografi sonrası, her iki grupta da inflamatuvvar parametre düzeyleri arttı. Ancak istatistiksel açıdan anamlıtlık düzeylere, Grup-I'de CRP (4.5 ± 0.3 mg/dl'den 12.2 ± 0.73 mg/dl'ye, $p<0.01$) ve sitokinlerden IL-6 (6.2 ± 0.5 pg/ml'den 16.8 ± 1.2 pg/ml'ye, $p<0.01$) ile TNF- α (4.5 ± 0.2 pg/ml'den 5.4 ± 1.2 pg/ml'ye, $p<0.05$) ulaşırken; Grup-II'de ise CRP (3.9 ± 1.3 mg/dl'den 33.6 ± 13 mg/dl'ye, $p<0.001$) ve sitokinlerden IL-6 (5.9 ± 0.7 pg/ml'den 17 ± 2.5 pg/ml'ye, $p<0.01$), IL-8 (67 ± 5 pg/ml'den 244 ± 25 pg/ml'ye, $p<0.01$) ve TNF- α (4.7 ± 2 pg/ml'den 5.9 ± 2.4 pg/ml'ye, $p<0.05$) ulaştı. Bununla birlikte anjiyografi sonrası gruplar arasında sadece CRP (12.2 ± 0.73 mg/dl'ye karşı 33.6 ± 13 mg/dl, $p<0.05$) ve IL-8 (112 ± 23 pg/ml'ye karşı 244 ± 25 pg/ml, $p<0.05$) açısından fark oluştu. Sonuç: Sonuçta koroner anjiyografik işlemlerinin, koroner arter hastalığı olan hastalarda daha fazla olmak üzere, hem normal hem de lezyonlu vakalarda akut inflamatuvvar cevabı artırbileceği kanaatine varıldı.

P-126

İSKEMİK NEFROPATİLİ HASTALarda RENAL ARTERE STENT UYGULMANIN RENAL FONKSİYONLARA ETKİSİ

Erdoğan İlkkay, Ali İhsan Günal*, Mustafa Yavuzkırı, Necati Dağılı, İlgin Karaca, Mehmet Balın, Hüseyin Çeliker*, Ayhan Doğukan*, Nadi Arslan

Fırat Üniversitesi Tıp Fakültesi, Kardiyoloji Anabilim Dalı, Elazığ Fırat Üniversitesi Fırat Tip Merkezi*

Çalışmamızın amacı proksimal-ostial aterosklerotik renal arter darlığı olan ve üre-kreatinin değeri yüksek olan hastalarda renal artere stent yerleştirilmesinin böbrek fonksiyonlarına ve kan basıncına olan etkisini iddelemekti. Çalışmaya renal arter darlığına sahip ve kreatinin değeri yüksek olan 13 hasta (5 kadın, 8 erkek; yaş ortalaması 62.7 ± 8.3) alındı. Tüm hastaların kan basıncı, Glomerüler filtrasyon hızı ve Kreatinin seviyeleri işlem öncesi, sonrası ve takipterde kontrol edildi. Tüm hastalar başarılı bir şekilde stent implant edildi. Ortalama Stent çapı 7.2 ± 0.5 mm, stent uzunluğu 17.2 ± 3.4 mm idi. On iki aylık takipte kan basıncına olan etkisi; bir hastada ilaç tamamen kesildi. On hastada ilaç dozu azaltıldı. İki hastada ise kan basıncında değişiklik izlenmedi. Serum kreatinin düzeyinde (2.56 ± 0.88 'den 1.83 ± 0.62 , $p<0.001$) ve Glomerüler filtrasyon hızında (18.38 ± 4.64 'den 22.67 ± 3.81 , $p<0.0001$) belirgin olarak düzelmeye izlendi. Takip süresinde bir hastada renal fonksiyonlar kötüleşti, iki hastada renal fonksiyonlarında değişiklik izlenmedi. On hastada belirgin olarak düzelmeye izlendi. Bir hastada kaybedildi. Anjiyografik restenoz iki hastada izlendi. Sonuç olarak kreatinin değeri yüksek olan renal arter darlığına sahip hastalarda renal artere stent uygulamak renal fonksiyonları düzeltken etkili bir yöntemdir.



Renal Stent

Kalp Yetersizliği

P-127

KALP YETMEZLİKLİ HASTALarda EGZERSİZ TESTİ SONRASI AZALMIŞ KALP HIZI TOPARLANMASI

Tuba Bilsel, Tamer Akbulut, Sait Terzi, Nurten Sayar, Kemal Yeşilçimen

Siyami Ersek Hastanesi, Kardiyoloji Bölümü, İstanbul

Amaç: Birçok çalışmada azalmış kalp hızı toparlanmasıının artmış mortalite ile beraber olduğu bulunmuştur. Kalp yetmezlikli hastalarda ise bu parametrenin prognostik değeri bilinmemektedir. Çalışmanın amacı; egzersiz testi ardından azalmış kalp hızı toparlanması ile egzersiz parametreleri ve maksimum oksijen tüketimi arasındaki ilişkili araştırmaktır.

Metod: Çalışmaya NYHA sınıfıamasına göre sınıf II-III kalp yetmezlikli, sol ventrikül ejeksiyon fraksiyonu %40'in altında olan 84ardısk hastadı edildi. Atrial fibrilasyon, anemisi ($hb<10$ gr/dl), kalp pili, congenital kalp hastalığı, organik kapak hastalığı, ileri derecede kronik obstruktif akciğer hastalığı, egzersizle indüklenen anjinası ve/veya iskemik EKG değişikliği olan, beta bloker veya kalsiyum kanal blokeri kullanan hastalar çalışmaya alınmadı. Hastaların tümüne semptom sınırlı treadmill kardiyopulmoner egzersiz testi uygulandı. Kalp hızı toparlanması; peki egzersizdeki kalp hızı ile egzersiz durdurulduğundan 1 dakika sonraki kalp hızı arasındaki fark olarak tanımlandı. Bu değerin ≤ 18 /dak olması azalmış kalp hızı toparlanması olarak kabul edildi. Azalmış değerli hastalar grup 1, normal değerli hastalar ise grup 2 olarak sınıflandırıldı. Her iki grup, demografik özellikleri, egzersiz parametreleri ve maksimum oksijen tüketim değerleri açısından birbirleriley karşılaştırıldı. Bulgular: Çalışmaya alınan hastaların yaş ortalaması 61.5 ± 9.7 , ortalama sol ventrikül ejeksiyon fraksiyonları 30 ± 5.5 , fonksiyonel kapasiteler NYHA sınıfı 2.4±0.4 idi. Hastaların 26'sı (%31) grup 1'i, 58'si (%69) grup 2'yi oluşturdu. Her iki grup arasında yaş, cinsiyet, koroner arter hastalığı, diyabet, hipercolesterolemii, hipertansiyon ve sigara kullanımı arasında fark yoktu. Ancak NYHA sınıfına göre fonksiyonel kapasite grup 1'de daha kötüydü (grup 1 ve 2'de sırasıyla; 2.6 ± 0.4 ve 2.3 ± 0.4 , $p=0.006$). Grup 1'deki hastaların egzersiz kapasiteleri grup 2'deki hastalardan daha kötüydi. Grup 1'deki hastaların egzersiz süreleri daha kısa (54 ± 3 dak ve 7.5 ± 3.8 dak, $p=0.006$), kronotropik indeksleri daha az (63 ± 27 ve 85 ± 25 , $p=0.01$) ve maksimum kalp hızları daha az (132 ± 17 /dak ve 141.8 ± 18 /dak, $p=0.04$) idi. Ayrıca grup 1'deki hastaların maksimum oksijen tüketimleri grup 2'deki hastalardan daha az saptandı (sırasıyla, 14.4 ± 3.6 ml/dak/kg ve 16.8 ± 4.4 ml/dak/kg, $p=0.01$).

Sonuç: Kalp yetmezlikli hastalarda egzersiz testi ardından 1. dakikada ölçülen azalmış kalp hızı toparlanması egzersiz kapasitesinde azalma ve daha az maksimum oksijen tüketiminin bir göstergesi olabilir.

P-128

KONJESTİF KALP YETERSİZLİĞİNDE KREATİN VE KREATİN KLİRENSİNİN EKOKARDİYOGRAFİK BULGULAR VE MORTALİTE İLE İLİŞKİSİ

Gülüm Kozağ, Dilek Ural, Aygen Ağaçdiken, Göksel Kahraman, Tayfun Şahin, Çağatay Durmaz, Teoman Külgür, Ahmet Viral, Baki Komsuoğlu

Kocaeli Üniversitesi Tıp Fakültesi, Kardiyoloji Anabilim Dalı, Kocaeli

Amaç: Konjestif kalp yetersizliği hastalarında kreatin (Kr) ve tahnini kreatin klirensi (KrKl) bilinen прогноз göstergelerinden bağımsız olarak mortaliteyi öngördürmek. Bununla birlikte metabolik ve ekokardiyografik parametreler Kr ve KrKl arasındaki ilişki yeterince değerlendirilmemiştir. Bu çalışmanın amacı; (1) Kr ve KrKl ile metabolik ve ekokardiyografik parametreleri araştırmak (2) Konjestif kalp yetersizliği nedeni ile hastanede takip edilen dilate kardiyomyopati hastalarda mortalite ile ilişkisini değerlendirmektir. **Metod:** Hastane yataşları sırasında serum Kr'ardısk olarak 125 DKMP'li hastada ölçüldü (35 kadın, 90 erkek, ortalama yaşı 61 ± 13 yıl) ve kreatin klirensi hesaplandı. Tüm hastalara hematolojik, biyokimyasal ve ekokardiyografik tıpkıları yapıldı. Hastalar 17 ± 8 ay izlendi. Sonuçlar; 30 hastada Kr'düzeyinde hafif artış (Kr > 1.2 - 2 mg/dl arası) (%24), 7'sinde (%5,6) ciddi artış (Kr > 2.0 mg/dl) görüldü. Kr, serum albumin seviyesi ile ($r=-0.23$, $p=0.01$), hematokrit ile ($r=-0.26$, $p=0.006$), serbest tıroksin ($r=0.34$, $p=0.002$), düşük triyiodotironin/tıroksin oranı ile ($r=0.23$, $p=0.04$), BNP ile ($r=0.51$, $p<0.001$), ileri mitral yetersizliği ile ($r=0.21$, $p=0.02$) anamlı derecede korele bulundu. KrKl'ı aspirin kullanımı ile ($r=0.21$, $p=0.03$), hematokrit oranı ile ($r=0.25$, $p=0.009$), BNP seviyesi ile ($r=0.40$, $p=0.01$), sağ ventrikül genişliği ile ($r=-0.19$, $p=0.04$), kardiyak indeks ile ($r=0.24$, $p=0.02$) ve sol ventrikül diyalostik deselerasyon zamanı ile ($r=0.30$, $p=0.001$) anamlı düzeye korele bulundu. İzlem süresinde 20 hasta (%16) öldü, Kr seviyeleri yüksek (1.4 ± 0.6 mg/dl) karşın 1.1 ± 0.7 , $p=0.03$) ve KrKl'leri yaşayanlara göre (57 ± 20 ml/dak, $karşın 72\pm24$ ml/dak., $p=0.02$) daha düşüktü. Bununla birlikte azalmış renal fonksiyon daha önce saptanmış mortalite belirleyicilerine (BNP seviyesi, düşük triyiodotironin/tıroksin oranı) göre ayarlandıktan sonra artmış mortalite ile korele degildi. **Tartışma:** DKMP'li hastalarda yüksek Kr seviyesi ve düşük KrKl'si kötü metabolik ve hemodinamik durum ile anamlı bir ilişki içindedir. Her iki parametrede izlem süresinde ölen hastalarda anamlı derecede bozulmuş olmamak birlikte mortaliteyi önceden saptayan bir düzey, Kr ve KrKl'si için belirlenmemiştir.

P-129

DÜŞÜK DOZ DOBUTAMİN SOL VENTRİKÜL DISFONKSİYONU BULUNAN OLGULARDA SİSTOLİK FONKSİYONLARA EK OLARAK DİYASTOLİK FONKSİYONLarda DA DÜZELME SAĞLAMAKTADIR

Yüksel Çavuşoğlu, Emre Entok, Eser Kaya*, Alparslan Birdane, Ayşe Çitak, Bülent Görenek, Bilgin Timuralp*

Osmangazi Üniversitesi Tıp Fakültesi, Kardiyoloji Anabilim Dalı, Eskişehir Nükleer Tıp Anabilim Dalı*, Eskişehir

Amaç: Düşük doz dobutaminin sol ventrikül sistolik disfonksiyonu bulunan olgularda, sistolik fonksiyonlar üzerine düzeltici etkileri olduğu bilinmektedir. Ancak aynı olgu grubunda dobutaminin diyastolik fonksiyonlar üzerine olan etkisi hakkında çok az bilgi vardır. Sistolik disfonksiyon varlığında diyastolik disfonksiyonunda sistolik disfonksiyona eşlik ettiği kabul edilmektedir. Bu çalışmamın amacı; sol ventrikül disfonksiyonu bulunan olgularda, düşük doz dobutaminin, sistolik fonksiyonlara ek olarak diyastolik fonksiyonlara üzerinde olan etkisinin radyonüklid ventrikülografî (RVG) ile değerlendirilmeyi.

Metod: Çalışmada; ekokardiografide duvar hareket anormalligi ile birlikte sol ventrikül disfonksiyona tespit edilmiş (ejeksiyon fraksiyonu <45%) ve ekokardiografik diyastolik fonksiyon parametrelerinde (E/A oranı, deselerasyon zamanı, izovolumetrik rölaksasyon zamanı, reverse a dalgası) bozulma saptanın, 17'si erkek, yaş ortalaması 61 ± 4 yıl olan, asemptomatik veya semptomatik kalp yetmezliği bulunan 22 olgu alındı. Tüm olgulara invivo eritrosit işaretlemeye yöntemi ile istirahat ve 10mgr/kg/dk dobutamin infüzyonu altında RVG yapıldı ve sol ventrikül ejeksiyon fraksiyonu (EF), "peak ejection rate" (PER), "time to peak ejection rate" (TPER), "1/3 ejection rate" (1/3ER), "peak filling rate" (PFR), "time to filling rate" (TPFR) ve "1/3 filling rate" (1/3FR) değerlerine bakıldı.

Bulgular: İstirahat değerleri ile karşılaştırıldığında, düşük doz dobutamin ile EF (sırasıyla; 35.4 ± 5.6 ve 46.5 ± 2 , p<0.05), PER (sırasıyla; 1.2 ± 01 ve 1.6 ± 01 , p<0.05), PFR (sırasıyla; 1.7 ± 03 ve 2.6 ± 01 , p<0.01) ve 1/3FR (sırasıyla; 1.5 ± 0.3 ve 2.1 ± 01 , p<0.05) değerlerinde anamali artış gözlandı. TPER, 1/3ER, TPFR değerleri düşübü doz dobutamin ile istatistiksel anamaliği ulaşamasa da artma eğilimi göstermektedir. Sonuç: Bulgularımız, sol ventrikül disfonksiyonu bulunan olgularda düşük doz dobutamin ile sistolik fonksiyon parametrelerinde düzelmeye ek olarak diyastolik fonksiyonlarda da düzelmeyi sağladığını desteklemektedir.

P-130

KALP YETMEZLİĞİNDE ARTMIŞ CA-125 DÜZEYLERİ VE FONKSİYONEL KAPASİTE İLE İLİŞKİSİ

Onur Şahin, Hasan Tunhan, Ertan Yetkin*, Nurcan Başar, Ali Rıza Erbay, Ayşe Saatçi Yaşa, Asuman Biçer, Erdal Duru*

Türkiye Yüksek İhtisas Hastanesi, Kardiyoloji Kliniği, Ankara İnnü Üniverstesi Turgut Ozal Tıp Merkezi, Kardiyoloji Anabilim Dalı*, Malatya

Amaç: Over kanseri ile ilişkili bir tümör markeri olan CA-125'in serozal epitelen de (peritoneal, plevar ve perikardiyal) üretiltiği daha önce yapılan araştırmalarla gösterilmiştir. Bunun yanında sınırlı sayıda çalışmada CA-125 düzeylerinin kalp yetmezliği bulunan hastalarda artış gösterdiği ileri sürülmüştür. Biz bu çalışmada kalp yetmezliğinde CA-125 düzeylerini ve fonksiyonel kapasite ile ilişkisini inclemeyi planladık.

Yöntemler: Çalışmaya konjestif kalp yetmezliği bulunan (sol ventrikül ejeksyon fraksiyonu <35%) 103 hasta ve kalp yetmezliği bulunmayan sağlıklı 80 birey kontrol grubu olarak dahil edildi. Tüm hasta ve kontrol grubuna ait bireylerin sol ventrikül disfonksiyonları transtorasik ekokardiografî ile değerlendirildi. Hasta ve kontrol grubuna ait serum CA-125 düzeyleri ölçüldü. Fonksiyonel kapasite NYHA sınıflamasına göre belirlendi. Konjestif kalp yetmezliği bulunan hastalar NYHA sınıflamasına göre 2 alt gruba ayrıldı. Grup I fonksiyonel kapasitesi NYHA 1-2 olan 43 hasta, grup II ise fonksiyonel kapasitesi NYHA 3-4 olan 60 hasta içeriyordu. **Bulgular:** Hasta grubuna ait CA-125 düzeyleri kontrol grubundan istatistiksel olarak anamli düzeyde daha yüksek tespit edildi (141.8 ± 138.5 U/mL ve 9.3 ± 4.4 U/mL sırasıyla, p<0.001). Hasta grubuna ait sol ventrikül ejeksyon fraksiyonu beklentiği üzere kontrol grubundan anamli düzeyde daha düşüktü (30 ± 6 ve %64±11 sırasıyla, p<0.001). Grup I (NYHA 1-2) hastaların CA-125 düzeyleri grup II (NYHA 3-4) hastalardan istatistiksel olarak anamli düzeyde daha diştü (38.2 ± 23.1 U/mL ve 216.0 ± 139.1 U/mL sırasıyla, p<0.001). Yani, NYHA fonksiyonel sınıf kötüleşikçe CA-125 düzeylerinde istatistiksel olarak anamli artış izlendi. **Sonuç:** Biz bu çalışmada kalp yetmezliği bulunan hastalarda CA-125 düzeylerinde anamli artış olduğunu ve CA-125 düzeylerindeki artışın NYHA fonksiyonel sınıf kötüleşmesi ile istatistiksel olarak anamli ilişki içinde olduğunu gösterdik. Elde ettigimiz bu bulguların kalp yetmezliği bulunan hastalarda klinik ve прогнозik önemini belirlemek için daha geniş seriler içeren ve daha uzun takip içeren prospektif çalışmalarla ihtiyaç vardır.

P-131

DİLATE KARDİYOMİOPATİDE ANEMİNİN PROGNOSTİK ÖNEMLİ

Enver Gürel, Bülent Mutlu, Kürşat Tigen, Tansu Karaahmet, Gökhan Kahveci, Erdem Türkyılmaz, Fatih Bayrak, Hakan Fotbolcu, Muhsin Türkmen, Yelda Başaran

Koşuyolu Kalp Eğitim ve Araştırma Hastanesi, Kardiyoloji, İstanbul

Amaç: Kronik kalp yetersizliği vakalarında anemi ve prognostik önemi son dönem çalışmalarla vurgulanmıştır. Bununla birlikte bu grupta hala hemoglobin sunr değeri ve bu değere göre prognozla ilgili araştırmalar devam etmektedir. Bu amacla idiyopatik dilate kardiyomiyopatili (IDK) hasta grubunda anemi ve prognostik önemini araştırıldı.

Yöntem: Sol ventrikül ejeksiyon fraksiyonu <35 olan 36 IDK'lı hasta çalışmaya dahil edildi. Sonlandırma kriterleri kardiyak sebepli ölüm (ani kardiyak ölüm, kötüşen kalp yetmezliğine bağlı ölüm) ve kalp transplantasyonu (Tx) olarak belirlenerek hastalar takibe alındı. Hastaların tümünde başvuru hemoglobin, hematokrit değerleri ve eritrosit sayıları ölçüldü.

Bulgular: Bir yıllık takip sonunda 36 hastanın 10'unda (kötüşen kalp yetmezliği nedeniyle 3 hasta) Tx uygulandı, 7 hasta kaybedildi) sonlandırma kriterleri gelişti. Vakalar sonlandırma kriterlerine göre iki gruba ayrılarak incelendi (Tablo 1). Grup I'de hemoglobin, hematokrit ve eritrosit sayısı grup 2'e göre istatistiksel anamli olarak düşük bulundu. Gruplara göre ROC analizlerini yapıldığında hemoglobin için sınırlı değer 12.6 g/dl hesaplandı. Bu değerin klinik sonlanımı belirlemedeki duyarlılığı %60, özgüllüğü %73, negatif prediktif değeri %83 ve pozitif prediktif değeri %46 olarak saptandı.

Sonuç: Hemoglobin değerlerinde azalma idiyopatik dilate kardiyomiyopatili hasta grubunda kötü prognostik belirtelarından birisidir. IDK grubunda anemi tedavisi için kullanılan sunr değerler daha kapsamlı çalışmalarla yeniden değerlendirilmelidir.

Table 1

	GRUP 1 (10)	GRUP 2 (26)	P
YAS	39±19	46±15	AD
CİNSİYET kadın (%)	6 (%60)	11 (%43)	AD
HEMOGLOBİN (g/dl)	12.4±1.5	13.7±1.8	0.05
HEMATOKRİT (%)	36.4±4.4	42.1±4.5	0.02
RBC (x106)	4.4±0.49	4.9±0.5	0.02
GFR(mil/ml)	106 ±4.1	93.6±32.5	AD
KREATİNİN (mg/dl)	0.91±0.41	1.09±0.27	AD

P-132

İDİYOPATİK DİLATE KARDİYOMİOPATİLİ HASTALARDA MORTALİTENİN KLINİK, EKOKARDİYOGRAFİK VE BIYOKİMYASAL BELİRLİYICİLERİ

Kürşat Tigen, Bülent Mutlu, Tansu Karaahmet, Gökhan Kahveci, Erdem Türkyılmaz, Fatih Bayrak, Hakan Fotbolcu, Muhsin Türkmen, Yelda Başaran

Koşuyolu Kalp Eğitim ve Araştırma Hastanesi, İstanbul

Amaç: Pro-BNP'nin aminoterminal bölgesinin 76 aminoasittil kalınlığı N-Terminal proBNP (NT pro-BNP) dominat olarak ventrikülerden miyokardiyal gerilme, hasarlarına ve iskeletin derecelendirmektedir. İdeyopatik dilate kardiyomiyopati'li (IDK) hastalarla NT pro-BNP'nin prognostik değerini göstermeye yönelik genel kapsamlı çalışma yapılmamaktadır. Bu amacla çalışmamızda IDK'lı hastalarla 6 aylık takip sonucunda meydana gelen olumsuz sonlanımın belirteçleri araştırıldı. **Yöntem:** Normal sinus ritimindeki 78 IDK'lı hasta çalışmaya dahil edildi. Hastaların tümünde fizik muayene yapıldı ve hastaların fonksiyonel kapasiteleri sorgulandı. Tüm hastalar 12 Lead elektrokardiyografi çekildi, ekoardiografik inceleme, koroner anjiyografi ve kalp karterizasyonu yapıldı. Plazma pro-BNP seviyelerinin içini kan örnekleri aldı. Koroner arter hastalığı olan, ekoardiografik olarak kapak hastalığı ve konjenital kalp hastalığı tespit edilen, böbrek yetmezliği bulunan, atrial fibrilasyonu ve ölümlü sağlamış ek hastalığın bulanan vakalar çalışma dışı bırakıldı. Sonlandırma kriterleri kardiyak sebepli ölüm (ani kardiyak ölüm, kötüşen kalp yetmezliğine bağlı ölüm) ve kalp transplantasyonu (Tx) olarak belirlenerek hastalar takibe alındı.

Bulgular: Altı aylık takip sonunda 18 hasta prime sonlanımı gerçekleşti (5 Tx, 4 ani kardiyak ölüm, 9 kötüşen kalp yetmezliğine bağlı ölüm). Univaryan analizde prime sonlanımı korelasyon gösteren parametrik ve nonparametrik değişkenler; Yaş (p=0.0005), Sistolik kan basincı (SB, p=0.0005), Diyalostik kan basincı (DBK, p=0.0001), Sol Ventrikül Ejeksiyon Fraksiyonu (LVEF, p=0.01), E/A oranı (p=0.05), E deselerasyon zamanı (EDT, p=0.005), Izovolumetrik relaksasyon zamanı (IVRZ, p=0.05), Interventriküler septum diyastolik çapı (IVSd, p=0.005), Aortik maksimal sevizi (Aov, p=0.001), NYHA sınıfı (NYHA, p=0.0001), S3 varlığı (p=0.0001) ve plazma NT pro-BNP seviyeleri (p=0.0005) olarak bulundu. Lojistik regresyon analizinde prime sonlanının korelasyon gösteren bağımsız klinik, biyokimyasal ve ekoardiografik parametrelere Tablo 1'de gösterilmektedir.

Sonuç: Çalışmamızda, rutin klinik uygulamada plazma NT pro-BNP seviyelerinin yüksek riskli idiyopatik dilate kardiyomiyopati'lı hasta grubunun belirlemesine ve takibinde kullanılabilecek faydalı bir biyokimyasal belirteç olduğunu saptanmıştır.

Table 1.

	Score	p
SKB (mmHg)	19.62852	0.0001
YAŞ	15.45324	0.0001
NYHA Sınıfı	9.45377	0.002
EDT	9.32445	0.003
IVsd (cm)	9.05764	0.003
IVRZ	7.41948	0.01
SKB (mmHg)	7.38005	0.01
AO sevizi	6.76632	0.01
LVEF	5.96627	0.01
NT pro-BNP	4.54737	0.03

Kalp Yetersizliği

P-133

İDİYOPATİK DİLATE KARDİYOMİOPATİDE PLAZMA NT PRO-BNP SEVİYELERİ İLE ELEKTROKARDİYOGRAFİK DEĞİŞİKLİKLERİN PROGNOSTİK DEĞERİ

Tansu Karahanmet, Büllent Mutlu, Kürşat Tigen, Gökhan Kahveci, Erdem Tuyluklu, Fatih Bayrak, Hakan Fotbolcu, Muhsin Tuyluklu, Yelda Başaran

Koşuyolu Kalp Eğitim ve Araştırma Hastanesi, İstanbul

Amaç: Yüksek plazma N-Terminal pro-Brain Natriüretik Peptid (NTproBNP) seviyeleri, QTc disperiyonu ve QRS süresinde uzama konjektür kalp yetmezliğinde artmış kardiyak mortalite ile ilişkilidir. İdiyopatik dilate kardiyomiyopatili (IDK) hasta grubunda plazma NTproBNP seviyelerinin prognostik değerini ve elektrokardiyografik (EKG) değişikliklerle ilişkisini gösteren geniş kapsamlı çalışma yoktur. Bu amaçla IDK'lı hastalarda EKG bulguları ve NTproBNP'nin prognostik değerini inceleyen prospektif bir çalışma planlandı. Öğütler: Normal sinus ritmindeki, sol ventrikül ejeksiyon fraksiyonu <35 olan 78 IDK'lı hasta çalışmaya dahil edildi. Tüm hastalar fizik muayene, ekokardiyografik incelenme, koroner anjiyografi ve kalp katereterizasyonu uygulandı. Ekokardiyografik inceleme sonrasında 12 derivasyon EKG ve plazma NTproBNP seviyeleri için kan örnekleri alındı. Koroner arter hastalığı, renal yetmezliği, kapak hastalığı veya konjenital kalp hastalığı olan vakalar çalışma dışı bırakıldı. Sonlandırma kriterleri ani kardiyak ölüm, kötüleşen kalp yetmezliğine bağlı ölüm ve kalp transplantasyonu (Tx) olarak belirlenerek hastalar takibe alındı. Bulgular: Altı aylık takip sonunda 18 hastada primer sonlanan gerçekleşti (5 Tx, 4 ani kardiyak ölüm, 9 kötüleşen kalp yetmezliğine bağlı ölüm). Kaplan-Meier analizine göre sınır değer olarak belirlenen log NTproBNP<480 pmol/L değerinin altındaki hasta grubundan yaşam beklenisi anlamına yüksek bulundu (nominal p<0,0001, log-rank test). Plazma NTproBNP seviyeleri sınır değerin üzerinde ve altında olan hasta grupları arasında QTc disperiyonu anlamına olarak farklı saptanmadı ($r=0,26$, $p=0,05$), QRS süresi anlamlı sınırlara ulaşmadı ($p=0,424$). Ancak QTc disperiyonu ve QRS süresi primer sonlananı predikte etmeye başarısız oldu. QRS süresiyle korelasyon gösteren klinik ve ekokardiyografik değişkenler, sol ventrikül end-diastolik çapı ($r=0,36$, $p=0,002$), sol ventrikül end-sistolik çapı ($r=0,36$, $p=0,002$), dP/dT ($r=-0,35$, $p=0,001$), yaş ($r=0,23$, $p=0,005$), mitral anterior leaflet end point septal separation ($r=0,23$, $p=0,005$) olarak bulundu. Hastalar QRS süresi 150 msec üzerinde ve altında olacak şekilde iki gruba ayrılarak inceleinendiği iki grubun plazma NTproBNP seviyeleri ve sol ventrikül ejeksiyon fraksiyonlarının anlamına olarak farklı olmadığı belirlendi. Sonuç: Çalışmamızda IDK'lı hasta grubunda, QRS süresi ve QTc disperiyonunun primer sonlanımı ve yüksek plazma NTproBNP seviyelerinin predikte edemediği gözlandı. Rutin klinik uygulamada yüksek riskli hastaların belirlenmesinde NTproBNP'nin daha faydalı bir parametre olduğu saptandı.

P-134

BNP ÖLÇÜMLERİNİN EFOR KAPASİTESİNİN GÖSTERİLMESİNDEKİ ÖNEMİ

Alp Aydinalp, Gaye Ulubay*, Serpil Taymaz, Öykü Gürmez, Sadık Açıkel, Çağtay Ertan, İlyas Atar, Haldun Müderrisoğlu

Başkent Üniversitesi Tip Fakültesi, Kardiyoloji Anabilim Dalı, Ankara
Başkent Üniversitesi Tip Fakültesi*, Ankara

Amaç: Efor kapasitesi ölçülmüşde kardiyopulmoner efor testi değerlendirmektedir. Biz bu çalışmada kardiyopulmoner efor kapasitesi ile Brain Natriüretik Peptid (BNP) değerleri arasındaki ilişkiye çalıştık. Metod: Polikliniklerde başvurulan efor ile nefes darlığı tarif eden kirk dokuz hastayı çalışmaya aldık. Hastaların tümüne serum BNP değeri ölçümü ve kardiyopulmoner efor testi yapıldı.

Bulgular: Hastaların 40'ı kadın, 9'u erkekti (ortalama yaşı 59). 16'sında (%32) tepe oksijen kullanımını (PVO2) 21 ml/kg/dk'ın üstünde idi (fonksiyonel sınıf I), 19'unda (%39) PVO2 21 ile 17,5 ml/kg/dk arasında (fonksiyonel sınıf II), ve 14'ünde (%29) PVO2 17,5 ml/kg/dk'nın altında idi (fonksiyonel sınıf III). PVO2'si 7 ml/kg/dk altında olan hasta yoktu (fonksiyonel sınıf IV). Fonksiyonel sınıf I'de ortalama BNP değeri 33 pg/ml, fonksiyonel sınıf II'de 32,6 pg/ml, fonksiyonel sınıf III'de 83,7 pg/ml idi. Fonksiyonel sınıf I ve II'ye ortalama BNP değerleri arasında fark bulunamadı, ancak fonksiyonel sınıf III'de ortalama BNP değeri sınıf I ve II'ye oranla belirgin artmıştır ($p=0,028$). Sonuç: BNP değerlerindeki artış fonksiyonel kapasite azalmasının objektif bir göstergesidir.

Fonksiyonel Sınıf ile BNP İlişkisi

Fonksiyonel Sınıf III'de ortalama BNP değeri belirgin yüksek bulundu.

Fonksiyonel Sınıf	PVO2 (ml/kg/min)	Ortalama BNP (pg/ml)	p
Sınıf I	PVO2 > 21	33	0,28
Sınıf II	21 > PVO2 > 17,5	32,6	0,28
Sınıf III	17,5 < PVO2	83,7	0,028

P-135

SİSTOLİK KALP YETERSİZLİĞİ NEDENİYLE HOSPİTALİZE EDİLEN HASTALARDA ÇIKIŞTA YÜKSEK DOZDA "LOOP" DÜRETİK REÇETE EDİLMESİNE ETKİLEYEN FAKTORLAR:

Hakan Altay, Meltem Ege Refiker, Mehmet Birhan Yılmaz, Emre Nuri Günel, Yeşim Güray, Umut Güray, Halil L. Kisacik, Şule Korkmaz

Türkiye Yüksek İhtisas Hastanesi, Kardiyoloji Kliniği, Ankara

Sistolik kalp yetersizliği (SKY), yüksek morbidite ve mortaliteye sahip bir durumdur. Dilate grubu ilaçlar, aldosteron antagonistleri hariç, mortalite faydası sağlanamayan ancak SKY tedavisinde, sağladığı semptomatik iyileşme nedeniyle vazgeçilemeyen ilaç grubunu oluşturur. Bu bize nedenle klinimize SKY tanısıyla yatırılmış hastaların dosyasını retrospektif olarak inceledik ve çıkışta yüksek doz loop düretiği (gündük 40 mg'dan fazla furosemid, per oral) verilmesini etkileyen faktörleri değerlendirdik.

Materiyal&Metot: Retrospektif olarak 700 (491 erkek, 209 kadın) SKY tanısı olan hastanın epikrizlerini ve çıkış reçetelerini değerlendirdik. Ejeksiyon fraksiyonu (EF) % 45'ini üzerinde olanlar çalışma dışı bırakıldı. Sonuçlar: Ortalama yaş 57±15 yıl, ortalama EF 34±7, median fonksiyonel kapasite 3'tü. Hastaların %87,6'sında loop düretiği (ülkemizde en sık tercih edilen furosemid) çıkış reçetesine dahil edilmiştir. Günlük furosemid dozu 40 mg baz alınarak düşük ve yüksek doz şeklinde ikiye ayrıldığında önemli farklılıklar tespit edildi. Yüksek doz reçete edilenlerin fonksiyonel kapasitesi median olarak daha yüksekti ($p=0,050$). Yüksek doz reçete edilenlerin kan kreatininin değerleri düşük doz reçete edilenlere göre daha yüksekti ($1,4\pm1,2-1,1\pm0,5$ mg/dl, $p=0,033$). Yüksek doz ve düşük doz loop düretik reçetelerini ile EF ilişkili değil. Diabetes mellitus (DM) varlığı ile düretik dozu ilişkiliydi ve DM'si olanların %22,3'ünde, olmayanlarında %10,8'inde yüksek doz reçete edilmiş ($p=0,001$). ACE inhibitör reçete edilmesi ile düretik dozuyla ilişkiliydi. Yüksek doz düretik, ACE inhibitör reçete edilenlerin %11,7'sinde, reçete edilmeyenlerin %22'sinde tespit edildi ($p=0,024$). Çıkışa spironolaktone reçete edilmesi durumunda hastaların %14,5'inde yüksek doz loop düretik reçete edilirken, spironolaktone reçete edilmeyenlerin %6,6'ında yüksek doz loop düretik reçetesi izlendi ($p=0,015$). Fonksiyonel sınıf 1-2 ve 3-4 olacak şekilde ikiye ayırdığında düretik reçetelemesile iliski olduğu gözlandı. Fonksiyonel kapasitesi 3-4 olan hastaların %15,5'inde çıkışa yüksek doz loop düretik reçetelerinden, fonksiyonel kapasitesi 1-2 olan hastaların %9,5'inde yüksek doz loop düretik reçetelerinden izlendi ($p=0,026$). Sonuç: Düretikler SKY'de vazgeçilemeyen ilaç sınıflarından birisidir. Hastaneden taburculuk reçetelerinde de yüksek oranlarda bulunmaktadır. Yüksek dozda kullanımı muhtemelen düretik direnci, kreatinin yüksekliği, daha bozuk fonksiyonel kapasite gibi durumlarda tercih edilmektedir.

P-136

DİLATE KARDİYOMİOPATİLİ OLGULARDA OKSİDATİF STRES İNDEKİSİ VE TOTAL ANTIOKSIDAN KAPASİTE

Recep Demirbağ, Remzi Yılmaz, Ünal Gültekin*, Duman Aşçı*, Zafer Elbasan*, Özcan Erol**

Harran Üniversitesi Tip Fakültesi, Kardiyoloji Anabilim Dalı, Şanlıurfa Şanlıurfa Devlet Hastanesi, Kardiyoloji Kliniği, Şanlıurfa*
Harran Üniversitesi Tip Fakültesi, Biyokimya Anabilim Dalı, Şanlıurfa**

Giriş: Serbest oksijen radikalleri ve oksidatif stresin dilate kardiyomiyopati (DKM) etiolojisinde ve progresyonunda sorumlu faktörler arasında olduğu bildirilmektedir. Oksidatif stres indeksi (OSI) düzeylerinin DCM olgularındaki durumu net bilinmemektedir. Amaç: DCM'li ve normal olgularda total antioksidan kapasite (TAOK), oksidatif stres ve oksidatif stres indeksi (OSI) değerlerini karşılaştırmayı amaçladık.

Metod ve Bulgular: Antioksidan değerlendirme için; TAOK, tiyol (SH) ve vitamin C oksidatif stres göstergesi olarak da total peroksit (TP) ölçüldü. TAOK'un TP oranlanması ile OSI hesaplandı. Olguların DCM'li 28 hasta Grup 1 (21 erkek, yaş ortalaması: 63 ± 12 yıl) ve normal 24 hasta Grup II (16 erkek, yaş ortalaması 58 ± 13 yıl) olmak üzere iki gruba ayrıldı. Total antioksidan kapasite (TAOK), oksidatif stres ve oksidatif stres indeksi (OSI) değerlerini karşılaştırmayı amaçladık. TP değerleri arasında OSI değerlerini anlamlı derecede düşüktü (0.22 ± 0.24 pmol/L ve 0.30 ± 0.13 pmol/L, $P<0,001$). TAOK Grup I de 0.36 ± 0.17 mmol Trolox Equiv, Grup II de 1.61 ± 0.24 mmol Trolox Equiv/L bulundu ($P<0,001$). OSI değeri DCM'lerde belirgin yükseltti (0.91 ± 0.4 Arbitrary unit ve 0.59 ± 0.2 Arbitrary unit, $P=0,002$). Ejeksiyon fraksiyonu ile TAOK arasında anlamlı pozitif ($r=0.693$, $P<0,001$), ejeksiyon fraksiyonu ile OSI ve total peroksit arasında da anlamlı negatif korelasyon tespit edildi (sırasıyla: $r=-0.522$, $P<0,001$ ve $r=-0.337$, $P=0,015$).

Sonuç: DCM olgularında antioksidan kapasitenin daha düşük ve oksidatif stresin yüksek olduğu, bununda DCM etiolojisinde oksidatif stresin rol oynadığını gösteren çalışmalarla uyumlu olduğudur.

Kalp Yetersizliği

P-137

KONJESTİF KALP YETMEZLİĞİ İLE HASTANEYE YATIRILAN HASTALARIN TEDAVİSİNDE, KANITA DAYALI TEDAVİ ORANINDA, YILLAR İÇERISİNDE DEĞİŞIKLIK OLDU MU?

Osman Beton, Çağdaş Özdel, Aydan O. Özdemir, Menekşe Gerede, Sibel Turhan, Timuçin Altın, Çetin Erol

Ankara Üniversitesi Tıp Fakültesi, Kardiyoloji Anabilim Dalı, Ankara

Amaç: Konjestif kalp yetmezliği (KKY) giderek artan insidansı, yüksek oranda mortalite ve morbiditesi ile toplum sağlığı açısından önemli bir yer tutmaktadır. Yapılmış olan birçok randomize çalışma ve bunların işliğinde hazırlanan kılavuzlarda önerilen tedavilere ne oranda uydugumuz ve bunun yıllar içerisinde ne oranda değiştiğini araştırmayı amaçladık. Yöntem: Çalışmaya 1999, 2001 ve 2003 yılları içerisinde konjestif kalp yetmezliği tanı ile İbnü Sina Hastanesi Kardiyoloji kliniğine yatırılmış olan toplam 1025 hasta alındı. Hastaların medikal kayıtları, taburculuk tedavileri dahil klinik bilgileri, retrospektif olarak inceletildi. Yıllara göre kullanılan ilaç tedavi oranları karşılaştırıldı. Olguların yaş ortalaması 64 ± 12 yıl olup, %64'ü erkektir. Etiyolojik yönden olguların %71'i iskemik kalp hastalığı idi. Hastaların %28'de atrial fibrilasyon mevcuttu. Sinif III veya IV kalp yetmezliği olguların %79'u oluşturuyordu. Hastalar yatırıldıkları yıla göre 3 gruba ayrıldı: Grup 1: 1999 yılı (n:343 hasta), Grup 2: 2001 yılı (n:368 hasta) ve Grup 3: 2003 yılı (n:314 hasta). İlaç kullanımı açısından gruplar arasındaki farklar tablo 1'de gösterilmektedir. Optimal tedavi ACE-inhibitörleri, beta-bloker ve aldosteron antagonisti tedavilerinin bir arada kullanılması olarak tanımlandı. Sonuç: Yıllar içerisinde kalp yetmezliği tedavisinde kanita dayalı ilaç kullanımında belirgin bir artma saptanmıştır. Ancak halen optimal tedavi oranları yeterli düzeylerde değildir ve yetersiz kullanımın nedenleri ayrıca araştırılmalıdır.

Tablo 1. Yıllara göre hastaların aldığı ilaç tedavi oranları

	Grup 1	Grup 2	Grup 3	p
Yaş	62±13	64±12	65±11	0,004
Aspirin	86	89	96	0,0001
Digoksin	76	48	48	0,0001
Furosemid	72	63	67	0,03
Statin	26	37	59	0,0001
ACE-I + B-bloker	5	32	59	0,0001
Optimal	0,9	16	34	0,0001

P-138

DİYASTOLİK FONKSİYON BOZUKLUĞU VE KARDİYOPULMONER EGZERSİZ TESTİ

Erdem Kaşıkçıoğlu, Hülya Akhan, Hüseyin Oflaz**, Berrin Umman**, Levent Tabak***, Abidin Kayserilioğlu, Faruk Erzengin***

Istanbul Üniversitesi İstanbul Tıp Fakültesi, Spor Hekimliği Anabilim Dalı, İstanbul

Siyami Ersek Göğüs Kalp Damar Cerrahisi Merkezi, Kardiyoloji, İstanbul* İstanbul Üniversitesi İstanbul Tıp Fakültesi, Kardiyoloji Anabilim Dalı**, Göğüs Hastalıkları Anabilim Dalı***, İstanbul

Amaç: Kalp hastalarında, egzersiz kapasitesini belirleyen birçok faktör olduğu bilinmektedir. Bu faktörlerden en önemlisinin hastaların sistolik fonksiyonlarında görülen düşme olduğu kabul edilmektedir. Bununla beraber, sistolik fonksiyonlarda herhangi bir bozulma olmadan diyastolik fonksiyonlarda bozulma ortaya çıkmış olan hastalarda egzersiz parametrelerindeki değişiklikler tam olarak ortaya konamamıştır. Çalışmamızda diyastolik fonksiyon bozukluğu tespit edilmiş olan hastalarda kardiyopulmoner egzersiz parametrelerinde ortaya çıkan değişiklikleri tespit etmeye amaçladık.

Yöntemler: Çalışmaya yaş ortalaması 51 ± 7 nefes darlığı yakınlamasıyla başvuran sinüs ritiminde, sol ventrikül diyastolik dolum örneklerinden alınan transmitral E/A<1, sol ventrikül ejeksiyon fraksiyonu >%55 olan 11 hasta ve benzer yaşlarında sintis ritiminde E/A>1, sol ventrikül ejeksiyon fraksiyonu >%55 olan 15 denek kontrol amacıyla çalışmaya alındı. Her denegi kardiyopulmoner egzersiz test öncesi standart ekokardiyografik değerlendirme yapıldı.

Bulgular: Diyastolik fonksiyon bozukluğu olan grup pik oksijen tüketim değeri, fonksiyon bozukluğu olmayan gruptakine göre anameli derecede düşük bulundu (19.1 ± 3.3 , 27.4 ± 5.1 ; p<0,01). Aynı şekilde ventilasyon anearrebik eşik değerleri diyastolik fonksiyon değeri, fonksiyon bozukluğu olmayan gruba göre daha düşük bulundu (7.1 ± 2.3 , 14.4 ± 3.7 ; p<0,01). Sonuç: Sol ventriküler diyastolik fonksiyon bozukluğu olan hastalarda egzersiz kapasite parametreleri fonksiyon bozukluğuna parel olarak değişmektedir. Kardiyopulmoner egzersiz testi, diyastolik fonksiyon bozukluğu olan hastaların fonksiyonel takibinde yardımcı bir değerlendirme yöntemi olarak kullanılabilir.

P-140

KALP YETMEZLİĞİNDE EVRELERE GÖRE N-TERMINAL PRO-BARİN “Natriuretic Peptide” (NT-proBNP) DÜZEYLERİ

Aziz Karabulut, Kenan İltümür, Cetin Aslan, Abdurrahman Kaplan*, Nizamettin Toprak, İbrahim Halil Dedeoğlu*

Dicle Üniversitesi Tıp Fakültesi, Kardiyoloji Anabilim Dalı, Biyokimya*, Diyarbakır

Giriş ve amaç: Natriuretic peptidler kalp yetmezliği tanısında yaygın olarak kullanılan imkan bulmugradır. Bu alanda literatürde çok sayıda veri mevcuttur. Natriuretic peptitlerde biri olan brain natriuretic peptide (BNP) düzeyleri konusunda da pek çok araştırma yapılmıştır. Ancak BNP'nin inaktif formu olan NT-proBNP düzeyleri hakkında yapılan çalışmalar daha azdır. BNP'nin ventrikül basınç artışı cevap olarak ilk etapta salgılanan inaktif formu olan NT-proBNP'nin kardaki düzeyi ventrikül disfonksiyonunun derecesine daha iyi yansımaktır. Bu amaçla kalp yetmezliği evresi Amerikan kalp cemiyeti sınırlandırılmış esas alınrak evre 1-2-3 ve 4 kalp yetmezliği olan toplam 64 hasta ve kontrol grubu olarak toplam 36 hasta NT-proBNP düzeyleri incelenmek üzere çalışmaya alındı.

Materyal ve Metod: Çalışma başlangıçta literatürdeki özelliklerle kalp yetmezliği evrelere 1 kalp yetmezliği hastalarla NT-proBNP düzeylerini nasıl çıkaracağı merak ediyorlandı.

Çalışma grubunun demografik özellikleri, ventrikül fonksiyonları, fonksiyonel kapasiteleri ve laboratuvar değerleri de karşılaştırıldı. Veriler SPSS 11.0 istatistik programı ile analiz edildi.

Sonuçlar: Hasta grubunda yaş ortalaması $58,26 \pm 10,59$ sağılıklı grupta $57,42 \pm 10,83$ idi. Bu ve diğer demografik faktörler iki grup arasında anamli farklılık göstermemiştir. Hasta grubunda $2647,4 \pm 2291,78$ pg/ml olan NT-proBNP düzeyleri kontrol grubunda $82,9 \pm 33,3$ pg/ml idi (p<0,001). Aradaki farklılık gibi istatistiksel olarak oldukça anamli idi. Bunun yanı sıra kontrol grubu ile evre-1 kalp yetmezliği olan hasta grubu arasında, evre-1'in NT-proBNP düzeyleri referans değerlerin üzerinde olmasına rağmen, istatistik olarak anamli bir sınırmış (p=0,04) farklılık saptandı. Hasta grubunun diğer evrelere göre de NT-proBNP değerleri kontrol grubuna göre anamli olarak yüksekti (Tablo-1). Hasta grubunun NT-proBNP değerleri de tüm evrelere arasında birbirlerine göre istatistiksel açıdan anamli olarak farklı idi.

Ozet: Sonuç olarak çalışmamızda Amerikan kalp cemiyeti tarafından üzerinde titizlikle durulan evre-1 kalp yetmezliği hastalarında NT-proBNP düzeylerini yüksek bulundu. Bu grup hastaların takibi konusunda bu ve benzer verilerin ortası tedavinin yönlendirilmesinde yardımcı olabilir. Ayrıca hastanın NT-proBNP düzeylerine bakılarak mewcut kalp yetmezliğinin evresi hakkında fikir sahibi olunabilir ve böylece NT-proBNP düzeyleri yapılması gerekenlerin iyedilikle yapılabilmesi için çıkış kuralı verilmesine yardımcı olabilir.

Tablo 1. Kontrol grubu ile kalp yetmezliği evreleri arasında NT-proBNP değerleri arasındaki ilişki. (Kontrol grubu evre 0 olarak değerlendirilmiştir)

Kontrol	Kalp yet. evresi	NT-proBNP	p
0	1	$35,56 \pm 11,93$,040
0	2	$1493,98 \pm 306,72$,012
0	3	$3076,51 \pm 358,87$,000
0	4	$8509,84 \pm 849,81$,000

Olguların özellikleri

	SVKI	BNP
SVH GURUBU	$143,7 \pm 38$ g/m ²	$96,7 \pm 12,5$
KONTROL GURUBU	$103,8 \pm 16$ gr/m ²	$11,4 \pm 4,6$
P DEĞERİ	p<0,001	p<0,001

SVH: Sol ventrikül hipertrofisi, SVKI: Sol ventrikül kitle indexi

Kalp Yetersizliği

P-141

KALP YETERSİZLİĞİNDE İL6 VE BNP'NİN SAĞKALIM ÜZERİNE ETKİSİ

Mahir Avkaroğulları, Abdi Bozkurt, Onur Akpinar, Akin Ateş,
Mustafa Demirtaş

Çukurova Üniversitesi Tip Fakültesi, Kardiyoloji Anabilim Dalı, Adana

Amaç: Kalp yetersizliğinde artan sempatik aktivite nedeniyle interleukin 6 (IL6), tümör nekrosi faktör alfa (TNFα) gibi sitokinlerin serum düzeylerinde artış olduğu çeşitli çalışmalarda gösterilmiştir. Ayrıca kalp yetersizliğinin tanısında ve takibinde kullanılan B tipi natriütreitik peptid'in (BNP) mortalite ile ilişkisi olduğu bilinmektedir. Bu çalışmada kalp yetersizliğinde IL6 ve BNP düzeylerinin mortalite üzerine etkisi incelenmesi amaçlandı.

Metod: Kardiyoloji polikliniğinde kalp yetersizliği tanısı ile izlenen ve kompanse durumda olan 100 hasta (33 kadın, 67 erkek, yaş ort: 64.2 ± 10.2 yıl) çalışmaya kabul edildi. Hastaların serum örnekleri alınırken aktif enfeksiyon, malignensi yada romatolojik hastalığı mevcut değildi. Kalp yetersizliği yönünden kompanse durumda olan hastalar NYHA'ya göre evrelendirildi, ekokardiyografik inceleme sonrası IL6, TNFα ve BNP incelemesi için kan örnekleri alındı. Hastalar 3 ay sonrasında telefon ile ulaşıldı ve mortalite oranları kaydedildi.

Bulgular: Hastaların ortalaması 4.5 ± 0.8 ay takibi sırasında toplam 11 (%11,0) hasta kaybedildi. Ölen hastaların IL6 ve BNP düzeyleri anlamlı olarak yüksek ve sol ventrikül ejeksiyon fraksiyonu daha düşük bulundu. (Tablo 1) Çok değişkenli regresyon analizi ile IL6 ve sol ventrikül ejeksiyon fraksiyonunun mortalite için bağımsız birer risk faktörü olduğu görüldü. ($p<0.05$)

Sonuç: Kalp yetersizliği olan hastalarda sol ventrikül ejeksiyon fraksiyonunun yanı sıra IL6'nın da mortalite için bağımsız bir risk faktörü olduğu, IL6'nın bilinmesinin mortaliteyi öngörmekte faydalı olabileceği kanısına varıldı.

Tablo 1. Hastaların İnterlokin-6, BNP ve EF Değerleri

	Yaşayan	Kayıbedilen	p
IL6 (ng /ml)	4.5 ± 6.6	10.2 ± 6.9	<0,05
BNP (ng /ml)	2041.7 ± 3084.8	5223.6 ± 8397.6	<0,05
EF (%)	33.0 ± 5.4	29.0 ± 6.5	<0,05

P-142

METOPROLOL TEDAVİSİNİN KALP YETERSİZLİĞİ BULUNAN SINÜS RİTİMİ HASTALARDA SOL VENTRİKÜL MIYOKARDİYAL HİZLARI ÜZERİNE ETKİSİ

Mustafa Aydin, Metin Gürsürer, Aydin Dursun, Rale Camuzcuoğlu, Mehmet Ali Elbey, Fatih Çam, Alper Gündördük, Tolga Onuk

Karaelmas Üniversitesi Tip Fakültesi, Kardiyoloji Anabilim Dalı, Zonguldak

Amaç: Bu çalışma kalp yetersizliği olan hastalarda metoprolol tedavisinin miyokardiyal hızları üzerine etkisini gözlemek amacıyla planlandı.

Yöntem: Kalp yetersizliği bulunan 32 hasta (yaş ort 58 ± 10) ve 20 sağlıklı birey çalışmaya dahil edildi. Hastalara 12.5 mg'dan başlayıp, haftalık aralıklarla tıtre edilerek 50 mg metoprolol, kontrollü salının tabletleri, verildi. Tedavi öncesi ve 1 ay sonrası konvansiyonel ekokardiyografi ve miyokardiyal doku Doppler görüntüleme uygulandı. Miyokardiyal hızlar doku Doppler görüntüleme tekniği ile mitral ve triküspit halka düzeyinde sağlandı. Mitral halka düzeyinde apikal 4 ve 2 boşlukta septal, lateral, inferiör ve anteriör kenarlardan ölçümlü yapıldı. Mitral halka hızları için 4 kenarın ölçümlerinin ortalamaları alındı. Sağ ventrikül longitudinal fonksiyonunu değerlendirmek için triküspit halkasının lateral kenarı seçildi. Sistolik hız, erken diyastolik hız ve geç diyastolik hızlar kaydedildi. Tedavi sonrası elde edilen sonuçlar tedavi öncesi ile karşılaştırıldı.

Bulgular: Kalp yetersizliği bulunan hastalarda kontrole göre mitral ve triküspit halka sistolik hızları anlamlı olarak düşük bulundu (mitral halka için 3.8 ± 1.1 'e karşı 9.3 ± 0.9 cm/s, $p < 0.01$, triküspit halka için 5.1 ± 2.5 'e karşı 14.6 ± 1.9 cm/s, $P < 0.001$). Erken diyastolik hız sağlıklı bireylere göre belirgin azalmış idi (mitral halka için 3.9 ± 1.1 cm/s'e karşı 11.9 ± 2.1 cm/s, $P < 0.001$, triküspit halka için 4.8 ± 1.2 cm/s'e karşı 12.9 ± 2.4 cm/s, $p < 0.01$). Metoprolol tedavisi sonrası sistolik miyokardiyal hızda anlamlı değişiklik olmazken erken diyastolik hızda ise anlamlı artış izlendi (mitral halka için 3.9 ± 1.1 'e karşı 4.6 ± 1.2 , triküspit halka için 4.8 ± 1.2 ye karşı 5.7 ± 1.4 , $p < 0.05$, $p < 0.05$ sırasıyla).

Sonuç: Metoprolol tedavisi ile erken dönemde sistolik miyokardiyal hızlarında düzelleme olmadan erken diyastolik hızlarda artış izlenmiştir.

Hipertansyon

P-143

AKUT DEKOMPANSİ KALP YETERSİZLİĞİNDE LEVOSİMENDAN TEDAVISİNİN ETKİNLİK VE GÜVENİLİRLİĞİ

Süleyman Korkmaz, Dursun Aras, Gökhan Cihan, Bülent Deveci,
Serkan Topaloğlu, Bilal Geyik, Orhan Maden, Özcan Özdemir,
Mustafa Soylu, Ahmet Duran Demir, Halil Lütfi Kisacik

Türkiye Yüksek İhtisas Hastanesi, Kardiyoloji Kliniği, Ankara

Akut dekompanse kalp yetersizliğinin ileri tedavisinde sıklıkla kullanılan beta agonistler ve fosfodiesteraz inhibitörleri kısa dönemde kontraktilitenin önemli oranda artırırken, sakincalar da yof aşılmaktadırlar. Yakın zamanda kullanım giren ve kalsiyum duyarlılığı bir inotropik ajan olan levosimendan'ın diğer inotropik ajanlara göre daha etkili ve güvenilir bir tedavi olduğu öne sürülmüştür. Ancak tüm dünyada ve ülkemizde bu ajanla ilgili henüz yeterli deneyim ve bilgi birikimi mevcut degildir.

Amaç: Akut dekompanse kalp yetersizliği hastalarında levosimendan tedavisinin hastanede içi etkinlik ve güvenilirliğini değerlendirilmesi amaçlandı.

Yöntem: Ekim-2003 ile Haziran-2004 tarihlerini arasında akut dekompanse kalp yetersizliği tanısı olan ve optimal medikal tedaviye rağmen belirgin semptomatik iyileşme sağlanamayan 26 hasta (20 erkek, 6 kadın; ortalama yaşı: 57 ± 16 yıl) çalışmaya alındı. Levosimendan tedavisi öncesi bütün hastalarda transtorasik ekokardiyografik (TTE) inceleme yapıldı. Tedavi öncesi ve sonrası rutin hematolojik ve biyokimyasal testler, 24 saatlik diürez miktarı, santral venöz basıncı (CVP) değerleri incelendi. Levosimendan tedavisi koroner bakım ünitesinde sürekli ritim ve kan basıncı monitörizasyonu altında uygulandı. Tedavi sonrası hastalar tedaviden yarar görmemiştiğinden surgrundı.

Bulgular: 26 hastanın 11'inde (%42) idiopatik dilate kardiyomyopati (kmp), 15'inde (%58) iskelemik kmp etiyojisi mevcuttu. Tedavi öncesi fonksiyonel sınıf 19 hasta (%73) NYHA sınıf III, 7 hasta (%27) NYHA sınıf IV olarak belirlendi. Sol ventrikül ejeksiyon fraksiyonu $\%27 \pm 7$ idi. Levosimendan tedavisi sonrası 23 hasta (%89) belirgin semptomatik düzelmeye izlendi. 3 hasta (%11) önemli hipotansiyon nedeni ile levosimendan infüzyonuna ara verildi ve dopamin eşiğinde tekrar başlandı. Yalnız 1 hasta da tedaviden 2 gün sonra ani ölüm oldu. Tedavi öncesine göre tedaviyi takiben CVP'de belirgin düşme (15 ± 3 , 12 ± 2 mmHg, $p < 0.001$) ve diürez miktarında belirgin artış (998 ± 480 , 1168 ± 475 cc/gün, $p < 0.001$) izlendi. Hastaların hiçbirinde tedavi boyunca önemli bir arıtmı izlenmedi. Tedavi öncesi ve sonrası üre, kreatinin, AST, ALT değerleri arasında fark saptanmadı.

Sonuç: Bizim çalışmamızda 24 saatlik levosimendan infüzyonu akut dekompanse kalp yetersizliğinde iyi tolere edilmiş olup, kalp yetersizliği semptomlarında anlamlı derecede iyileşme sağlanmıştır. Kullanımı yeni olan bu ajanın etkinlik, güvenilirlik ve daha önemlisi mortaliteye katkısı daha ileri çalışmalarla desteklenmelidir.

ESANSİYEL HİPERTANSİYONDA HS-CRP DÜZEYLERİ HEDEF ORGAN HASARI SAYISI VE CİDDİYETİNİ ÖNGÖREBİLİR Mİ?

Filiz Özerkan, Serdar Akyüz, Öner Özdoğan, Bahadır Kirılmaz,
Aysegül Türkoglu, M.Remzi Önder

Ege Üniversitesi Tip Fakültesi, Kardiyoloji Anabilim Dalı, İzmir

Amaç: Çalışmamızda esansiyel hipertansiyon (ESH) tanısı almış hastalarda hs-CRP düzeyleri ve hipertansiyona bağlı gelişen hedef organ hasarı (HOH) arasında bir ilişki olup olmadığını araştırmaktır amaçlandı.

Yöntemler: Çalışmaya ESH tanısı almış 60 hasta alındı; 44'ü kadın 16'sı erkek olan olguların yaş ortalaması 57.2 ± 7.9 bulundu. Diabetes mellituslu olan, sekonder hipertansiyonlu olgular, kan hs-CRP düzeylerini etkileyebilecek ilaç kullanan, enfeksiyon tabloslu olan, hiperlipidemi olan olgular çalışmaya alınamadı. Antihipertansif tedavi almaktak olan olguların tedavisi 48 saat arası verildi. İnceleme günü aç karına rutin biyokimyasal testler ve hs-CRP ölçümü için venöz kan örnekleri alındı, kan basıncı ölçümleri ve fizik muayenerleri yapıldı. Hipertansiyon hastaları hs-CRP düzeylerine göre hs-CRP < 3 mg/l ve ≥ 3 mg/l olmak üzere 2 gruba ayrıldı. İki grup yaş, HT süresi, cinsiyet, VKL kan basıncı değerleri ve hipertansiyona bağlı hedef organ hasarı (HOH) (retinopati, sol ventrikül hypertrofisi –SVH-, mikroalbuminürü) açısından karşılaştırıldı. $P < 0.05$ anlamlı kabul edildi (ad: anlamlı değil).

Bulgular: Her iki grupta yaş, cinsiyet, vücut kitle indeksi ve HT süresi açısından fark bulunmadı. Diğer bulgular tabloda özeti verilmiştir. Sonuç: hs-CRP düzeylerinin esansiyel hipertansiyonda hedef organ hasarı sayısı ve ciddiyetini öngörmekte yeterli bir kriter olmadığı sonucuna varıldı.

	hs-CRP < 3 mg/l (n=30)	hs-CRP ≥ 3 mg/l (n=30)	p
Sistolik KB (mmHg)	145.4 ± 18.2	146.9 ± 21.8	ad
Diyastolik KB (mmHg)	90.4 ± 13.4	91.5 ± 13.7	ad
Retinopati (n) (%)	2 (%7)	5 (%17)	ad
SVH (n) (%)	5 (%17)	5 (%17)	ad
Mikroalbuminürü (n) (%)	2 (%7)	3 (%10)	ad
0 HOH (n) (%)	25 (%83)	21 (%70)	ad
1 HOH (n) (%)	3 (%10)	7 (%24)	ad
2 HOH (n) (%)	2 (%7)	1 (%3)	ad
3 HOH (n) (%)	0 (%0)	1 (%3)	ad

P-145

HİPERTANSİF RENAL HASAR İLE LEPTİN DÜZEYİ ARASINDAKİ İLİŞKİ

Ali Güll, Mustafa Gür, İbrahim Özdogru, Abdurrahman Oğuzhan,
Mustafa Çalışkan, İbrahim Güll, Nihat Kalay, Ekrem Karakaya,
Enverullah Başar

Erciyes Üniversitesi Tıp Fakültesi, Kardiyoloji Anabilim Dalı, Kayseri

Esansiyel hipertansiyonda plazma leptin düzeyleri yüksek bulunmuştur. Leptin düzeyini renal plazma akımında azalma, vasküler rezistansa artma yapmaktadır. Leptin düzeyi ile renal komplikasyonlar arasında bir ilişki olup olmadığı bilinmemektedir.

Amaç: Biz çalışmamızda mikroalbuminürük olan ve olmayan yeni tanı hipertansif hastaların leptin düzeyleri arasında fark olup olmadığı araştırdık. Metod: Yeni tanı konan hiç tedavi almamış diyabeti olmayan 35 hipertansif hasta çalışmaya alındı. Yirmi dört saatlik idrarda MA düzeyi çalışıldı, >15mcg/dl olanlar MA+, altında olanlar MA- kabul edildi. Olguların kan leptin düzeyi çalışıldı. Kontrol grubu(KG) olarak 27 sağlıklı kişi aldı. Bulgular aşağıda tablo halinde gösterildi: a: p<0,05, MA+ ile KG karşılaştırılması b: p<0,05, MA+ ile MA- karşılaştırılması c: p<0,05, MA- ile KG karşılaştırılması SKB: Sistolik kan basıncı, DKB: Diyastolik kan basıncı VKI: Vücut kitle indeksi Hipertansif hastaların yaş, VKI, sistolik ve diyastolik kan basınçları arasında fark yoktu. MA+ grupta diğer iki gruba göre kan leptin düzeyi yüksek saptandı. Sonuç olarak renal hasarın bir göstergesi olan MA+ hipertansif hastalarda kan leptin düzeyi yüksek bulundu. Hipertansif renal hasar ile leptin düzeyi arasındaki ilişkiye anlamlı içeriği çalışmalarla ilhtiyaç vardır.

	MA+ (n:18)	MA- (n:17)	KG (n:27)
Yaş	45±7 a	43±8	38±6
MA düzeyi mcg/dl	31,7±23,5 b	5,3±3,5	
SKB mmHg	155±14 a	150±18 c	119±21
DKB mmHg	98±9 a	95±9c	69±9
VKI	28,9±4,9	28,2±4,0	27,2±3,9
Leptin ng/ml	32,4±20,8 ab	15,2±10,0	12,2±7,4

P-146

KALSIYUM KANAL BLOKERİ KULLANIRKEN AYAK BİLEĞİ ÖDEMI GELİŞEN HASTALARDA FARKLI BİR KALSIYUM KANAL BLOKERİNİN AYAK BİLEĞİ ÖDEMI GELİŞİMİ ÜZERİNE ETKİSİ:

Özgül Uçar, Ayşe Gececi Yüksel, Murat Sakallı, Deniz Şahin, Erdem Diker, Sinan Aydoğdu

Ankara Numune Hastanesi, Kardiyolji Kliniği, Ankara

Giriş: Kalsiyum kanal blokerleri (KKB) gerek tek başlarına, gerekse dijital ilaçlar ile kombin edilerek hipertansiyon tedavisinde sıkça kullanılır. Ancak ayak bileği ödemi gelişmesi kullanımını kısıtlamaktadır. Amaç: Çalışmanın amacı KKB ile hipertansiyon tedavisi sırasında ayak bileği ödemi gelişen hastalarda, farklı etken maddeye sahip bir kalsiyum kanal blokerinin ayak bileği ödemi gelişimi üzerine etkisini araştırılmıştır. Metod: Çalışmaya KKB tedavisi sırasında ayak bileği ödemi gelişen, böbrek fonksiyonları normal ve sistolik /diyastolik kalp yetmezliği olmayan 17 hasta alındı (9 kadın, 8 erkek, ortalama yaşı: 63 ± 12).

Bulgular: Ortalama hipertansiyon süresi 8,4 ± 6,7 yıldır. Ayak bileği ödemi gelişmesine neden olan molekul 17 hastanın 15'inde amlodipin (9 hastada 10 mg ve 6 hastada 5 mg), bir hastada nifedipin 30 mg ve bir hastada felodipin 10 mg idi. Hastalarda ayak bileği ödemi ilaç bırakıldıkları sonra ortalama 6 gün içinde geriledi ve alternatif KKB olarak 6 (%35) hastaya lasidipin, 10 (%59) hastaya felodipin ve bir hastaya diltiazem (%6) başlandı. Hastalar 2. hafta, 1. ay, 3. ay ve 6. ayda kontrole çağrıldılar. Çalışma sonunda ortalama lasidipin dozu 4 mg ve ortalama felodipin dozu 6,25 mg idi. Tedavinin değiştirilmesiyle hastaların kan basıncı regülasyonunda bozulma olmadı. Bir hasta bulantı nedeniyle lasidipini tolere edemedi. Lasidipin başlayan hastaların hiçbirinde ayak bileği ödemi tekrarlamazken, felodipin başlayan hastalardan ikisinde (%20) yeniden ayak bileği ödemi gelişerek tedavi kesildi. Felodipin ile ayak bileği gelişen hastalarda lasidipin başlandı ve üç aylık takipte ayak bileği ödemi tekrarlamadı.

Sonuç: Hipertansiyon tedavisi için kalsiyum kanal blokeri kullanılmak isteniyorsa, ayak bileği ödemi gelişen hastalarda, farklı grup bir antihipertansif yerine, farklı bir kalsiyum kanal blokeri başlanabilir.

P-147

DIPPER VE NONDIPPER HİPERTANSİFLER ARASINDA MIYOKARDİYAL FIBROZİSİN GÖSTERGESİ OLAN SERUM KARBOKSI-TERMINAL PROPEPTİD PROKOLLAJEN TİP İ DÜZEYLERİ FARKLı MIDİR?

Ersel Onrat, Mustafa Sereser, Ataç Çelik*, Dayimi Kaya*, Ahmet Kahraman, Celal Kılıç*, Tulay Koken, Mete Alpaslan**, Mehmet Melek*

Afyon Kocatepe Üniversitesi Tıp Fakültesi, Kardiyoloji Anabilim Dalı, Afyon

Selçuk Üniversitesi Meram Tıp Fakültesi, Konya**

Amaç: Esansiyel hipertansiyonu olan hastalarda tip I fibriller kolajen, miyokardın serbest duvarında ve interventriküler septumunda birikir. Miyokardda kolajen içeriğinin artması miyokardiyal seriliğin artmasına, kardiyak fonksiyon ile elektriksel aktivitede anomaliliklere sebep olur. Tip I prokollojenin karboksi terminal propeptidi (PIP) hücre dişı kolajen sentezinin bir göstergesidir. PIP'in miktarı arteriel hipertansiyonu olan hastalarda miyokardiyal fibrozisin ciddiyetinin göstergesi olduğu saptanmıştır. Çalışmanın amacı dipper ve nondipper hipertansiyon hastalarında PIP seviyelerini belirlemek ve karşılaşturmaktır.

Metod: Alkolik karaciğer hastlığı, metabolik kemik hastlığı, hipertiroidi, sekonder hipertansiyon, renal arter anomalisi, adrenokortikal bozukluğu veya feokromasitomasi olan hastalar çalışma dışı bırakıldı. Çalışmaya alınan hipertansif hastalar daha önceden herhangi bir antihipertansif tedavi almıyorlardı. Hipertansif hastaların dipper ve nondipper ayırmayı 24 saatlik ambulatuvar kan basıncı ölçümü ile yaptı. On dipper (6 erkek; ortalaması yaşı 59±12) ve 29 nondipper (11 kadın; ortalaması yaşı 58±11) hipertansiyon hastası çalışmaya alındı. PIP seviyeleri radioimmunoassay metoduyla ölçüldü.

Bulgular: Yaş ve cinsiyet dikkate alındığında dipper ve nondipper hastalar arasında bir fark yoktu. Dipper ve nondipper hastaların 08:00 ve 22:00 arasında ölçülen ortalama sistolik ve ortalama diyastolik kan basınçları arasında fark bulunmadıken 22:00 ve 08:00 arasında ölçülen ortalama sistolik kan basınçları nondipper hastalarda daha yüksek ölçüldü (141 ± 12 mmHg, 130 ± 12 mmHg; $p<0,05$). Dipper ve nondipper hastaların ortalama PIP seviyeleri sırasıyla 134 ± 41 ng/ml ve 111 ± 43 ng/ml idi. Her iki grubun da PIP seviyeleri benzer olması karşın dipper hastaların ortalama PIP seviyesi miyokardiyal fibrozis için kritik seviye olan 127 ng/ml'den fazla olması dikkat çekiciydi.

Sonuç: Çalışmamızda, hipertansiyonda miyokardiyal fibrozis belirteci olan PIP seviyesi dipper hipertansif hastalarda nondipper hipertansiflere göre daha yüksek bulundu.

P-148

OBSTRÜKTİF UYKU APNE HİPOPNE SENDROMLU OLĞULARDA OTOMATİK CPAP AYGITININ HEMODİNAMİK PARAMETRELER ÜZERİNE AKUT ETKİSİ

Neşe Aydemir, Dursun Dursunoğlu, Çağlar Çuhadaroğlu*, Zeki Kültçüşan*

Pamukkale Üniversitesi Tıp Fakültesi, Kardiyoloji Anabilim Dalı, Denizli İstanbul Üniversitesi İstanbul Tıp Fakültesi*, İstanbul

Amaç: Obstrüktif uykı apne hipopne sendromu (OUAHS), uykı sırasında üst hava yolunun sürekli tekrarlayan tıkanmaları ile seyreden ve kalp yetersizliği, aritmii, inme, miyokard infarktüsü, sistemik ve pulmoner hipertansiyon gibi kardiyovasküler komplikasyonlara neden olabilen bir sendromdur. Çalışmamızda, OUAHS tedavisi içinde otomatik continuos positive airway pressure (CPAP) ağıtının hemodinamik parametreler üzerinde akut etkisini araştırdık.

Yöntem: 12 OUAHS'lu hasta polisomnografi ve tansiyon Holter monitorizasyonu ile izlendiler. Holter tansiyon ölçümleri, gece (saat 22:00 - 06:00 arası) ve gündüz (06:00 - 22:00 arası) olarak kaydedildi ve hastaların tanı günü sistolik, diyastolik ve ortalama kan basınçları ile kalp hızlarının gece ve gündüz değerleri tedavi günü ile karşılaştırıldı.

Bulgular: Olgular, orta veya ağır OUAHS'lu olup yaş ortalaması $52,8 \pm 4,2$ idi. Hastaların tanı günü sistolik, diyastolik ve ortalama kan basınçları ile kalp hızlarının gece ve gündüz ölçümleri, CPAP tedavisi gecesi ve gündüzü ölçümleri ile anlamlı bir fark oluşturmadı. Hastaların tanı günü sistolik, diyastolik ve ortalama kan basınçları ile kalp hızlarının gece ölçümlerinin standart sapmaları (sırasıyla $12,6 \pm 4,9$, $10,8 \pm 3,5$, $11,6 \pm 4,4$ ve $6,9 \pm 1,6$) CPAP tedavisi gecesinde (sırasıyla $9,1 \pm 4,5$, $p=0,023$, $7,5 \pm 3,3$, $p=0,004$, $8,0 \pm 3,0$, $p=0,006$ ve $4,8 \pm 1,5$, $p=0,003$) istatistiksel olarak anlamlı derecede azalmaktayken; bu durum gündüz ölçümlerinde saptanmadı.

Sonuç: OUAHS'lu hastalarda CPAP tedavisinin akut olarak sistolik ve diyastolik kan basınçlarını ve kalp hızını anlamlı ölçüde değiştirmemekle beraber, tüm bu parametrelerin gece boyunca yaşanan dalgalanma aralıklarını anlamlı olarak azalttığını belirtebiliriz.

Anahtar kelimeler: Obstrüktif uykı apne hipopne sendromu, CPAP tedavisi, kan basınçları, kalp hızı

Hipertansiyon

P-149

ESANSİYEL HIPERTANSİYONDA GÖRÜLEN SOL VENTRİKÜL FONKSİYON BOZUKLUKLARININ İNCELENMESİ

Hüseyin Süriüç, Sedat Üşüntü, Ali Değirmenci, Ersan Tatlı, Osman Akdemir, Gültac Özboy

Tıakya Üniversitesi Tip Fakültesi, Kardiyoloji Anabilim Dalı, Edirne

Amaç: Çalışmamızda esansiyel hipertansif hasta popülasyonunda karşılaşılan tüm alt gruplardaki sol ventrikül fonksiyonlarının incelenmesini amaçlamıştır. Bu amaçla yeni testler edilmiş veya son bir ayda tedavi alınmayan (grup 2), esansiyel hipertansiyon tanısı tedavi gören EKO'sunda sol ventrikül hipertrofisi (LVH) olmayan (grup 3) ve tedavi altında EKO'sunda LVH gelişen toplam 149 hasta incelenmiştir. Sistemik bir hastalığı olmayan, maksimal efor testi negatif olan 34 sağlıklı bireyden kontrol grubu (grup 1) olarak alındı.

Yöntem: Standart EKO ve pulsed wave doku Doppler görüntüleme (TDI) parametreleri kullanıldı.

Bulgular: Gruplar arasında hasta sayısı, yaş, cinsiyet, body mass indeks ve nabız sayısı açısından farklılık yoktu. Grup 3 ve grup 4'te sistolik ve diastolik kan basıncı grup 2'ye göre düşük, grup 1'e göre yükseltti (tüm sonuçlar için p<0,002). Sol ventrikül kitle indeksi grup 4'te tüm grupparda göre grup 2'de ise grup 1 ve 3'e göre yüksük bulundu (tüm sonuçlar için p<0,004). Teicholet yöntemi ile ölçulen EF grublar arasında benzer olmasına rağmen proksimal aorta, sol atriyum, sol ventrikül sistolik ve diastolik çapları grup 4'te büyüklikte (tüm sonuçlar için p<0,047). Sol ventrikül erken diastolik velocities grubalar arasında farklılık göstermekten grup 4'te geç diastolik velocities daha büyük, isovolumik relaksasyon zamanı daha uzun bulundu (tüm sonuçlar için p<0,002). Basal septal, basal lateral, basal anterior, basal inferior bölgelerde alınan TDI parametrelerinin ortalamaları incelenmiştir. Grup 4'te isovolumik relaksasyon döneminin negatif dalgalası (IVRb), erken diastolik velocities (Ea), Ea-VT1'da düşük, Ea yavaşlama zamanı daha uzundu (tüm sonuçlar için p<0,037). Grup 4'te isovolumik kontraksiyon döneminin ilk dalgası (IVCa) ve pik sistolik dalga (Sa) velocitiesi daha düşük, Q-Sa zamanı daha uzun saptandı (tüm sonuçlar için p<0,050). Tüm bu değişikliklerin diastolik basınçtan etkilenmediği görüldü.

Sonuç: Esansiyel hipertansiyonda organ hasarı olarak LVH gelişimini paralel olarak sol atriyum, proksimal aorta, sol ventrikül sistolik ve diastolik çaplarının artışı, bu değişikliklerde ilave olarak sistolik ve diastolik fonksiyonlarında bozulduğu söylemektedir. Diastolik fonksiyon bozuklukları hem standart EKO parametrelerine hem de pulsed wave TDI parametrelerine yansımamasına rağmen fonksiyon bozuklukları sadece pulsed wave TDI parametrelerine lüstip edilebilmiştir.

Esansiyel hipertansif hastaların ekokardiyografi parametreleri

Parametreler	Grup 1(n:34)	Grup 2(n:35)	Grup 3(n:47)	Grup 4(n:67)
Sol atriyum (mm)	32±5	33±6	31±5	35±5
Pto, aorta (mm)	27±4	28±4	27±4	29±4
LVdSC (mm)	47±7	47±6	46±5	50±6
LVSSC (mm)	32±4	31±5	30±4	33±5
Va hızı (m/sn)	0,71±0,16	0,73±0,21	0,67±0,16	0,81±0,25
IVRZ (msn)	88±16	87±24	90±13	109±21
IVCa (cm/sn)	7,09±1,69	7,55±2,02	7,67±1,92	6,73±1,52
Sa (cm/sn)	9,57±1,12	9,75±1,76	9,57±1,3	8,93±1,61
Q-Sa (msn)	192±26	191±28	198±27	211±53
IVRb (cm/sn)	5,88±1,3	6,12±1,01	6,36±1,28	5,55±1,22
Ea (cm/sn)	11,91±2,28	11,78±3,12	12,40±2,49	9,87±2,64
Ea-dt (msn)	137±32	139±29	136±28	152±33
Ea-HZI (cm)	1,59±0,79	1,50±0,29	1,53±0,40	1,29±0,31

LVDSC ve LVSSC: sol ventrikül diastolik sonu ve sistolik sonu çapları, IVRZ: isovolumik relaksasyon zamanı

P-151

GEBELIKLE OLUSAN HIPERTANSİYON BULUNAN HASTALARDA SOL VENTRİKÜL MIYOKARDİYAL PERFORMANS İNDEKİSİ

Mustafa Aydin*, Alper Tanrıverdi, Metin Gürsürer*, Aydin Dursun*, Fatih Çam*, Volkan Aktoplu, Aykut Barut

Karaelmas Üniversitesi Tip Fakültesi, Kadın Hastalıkları-Doğum Anabilim Dalı, Kardiyoloji Anabilim Dalı* Zonguldak

Amaç: Kalıcı tür sistemik hipertansiyon olan hastalarda kardiyak fonksiyonlardaki etkileşmeler tanımlanmıştır. Ancak geçici bir dönemde izlenen gebeliğin indüktedigi hipertansiyonda (GIH) bu değerlendirme yeteneği yapılmamıştır. Miyokardiyal performans indeksi (MPI) miyokardiyal sistolik ve diastolik fonksiyonları birlikte gösteren bir parametredir. MPI=izovolumetrik kasılma zamanı (IVKZ)+ izovolumetrik gevşeme zamanı (IVGZ) / ejeksiyon zamanı (EZ) formülü ile hesaplanır. Bu çalışmada GIH olan hastaların MPI'lerinin değerlendirilmesi amaçlandı.

Yöntemler: GIH olan 11 hasta (yaş ort 29±3.7 yıl) gebeliğin üçüncü üç aylık döneminde iken değerlendirildi. Kontrol grubu olarak gebeliğin üçüncü üç aylık döneminde 14 normotansif (yaş ort 30.2±4.1 yıl) gebe aldı. Sol ventrikül ejeksiyon fraksiyonu ve MPI hesaplandı.

Bulgular: GIH ve kontrol grubu arasında konvansiyonel ekokardiyografi ve MPI değerleri açısından anlamlı değişiklik saptanmadı.

Sonuç: Her iki grupta elde edilen MPI sonuçları benzer bulundu. GIH olan hastalarda MPI değerleri anlamlı olarak bozulmamaktadır.

Dipper Non-dipper p IVS (cm) 1,14±0,07 1,1±0,06 AD AK (cm) 1,09±0,05 1,07±0,06 AD DSC (cm) 4,8 ± 0,4 4,9 ± 0,4 AD SSÇ (cm) 2,9 ± 0,3 3,1 ± 0,3 AD EF (%) 70,85±5,19 68 ± 7 AD Izovolumetrik gevşeme zamanı (msn) 105 ± 14 112 ± 15 AD Izovolumetrik kasılma zamanı (msn) 63±18 65±21 AD Ejeksiyon zamanı (EZ) (msn) 268±272±26 AD MPI 0,58±0,12 0,59±0,14 AD

P-150

L-NOME İLE HIPERTANSİF YAPILMIŞ SIÇANLARDA ANJİYOTENSİN II İNFÜZYONUNA BAĞLI OLUŞAN KAN BEYİN BARIYERİ GEÇİRGENLİĞİNİN ATORVASTATİN TEDAVİSİYLE ÖNLЕНMESİ

Hasan Kudat, Rivaze Kalaycı*, Mehmet Kaya**, İmdat Elmas** Nadir Arıcan**, Bülent Ahışlı**, Hafize Uzun***, Bilge Bilgili***, Mutlu Küçük*

Istanbul Üniversitesi İstanbul Tip Fakültesi, Kardiyoloji Anabilim Dalı, İstanbul Üniversitesi DETAE*

Istanbul Üniversitesi İstanbul Tip Fakültesi**

Istanbul Üniversitesi Cerrahpaşa Tip Fakültesi***, İstanbul

Üç hidroksi 3 metilglutaril CoA redüktaz inhibitörlerinin (statinler) bozulan damar endotel fonksiyonunu düzelttiği bildirilmektedir. Çalışmamızda nitrit oksit sentez inhibitörü olan L-NOME (L-nitro L-arginin metil esteri) ve L-NOME+AT-II (Anjiyotensin II) ile hipertansif yapılmış siçanlarda Atorvastatin'ın KBB (kan beyin bariyeri) üzerinde koruyucu etkisini araştırdık. KBB geçirgenliği Evans mavisi ile değerlendirildi. Ayrıca plazma NO (nitrik oksit), serum katalaz, kolesterol ve malondialdehit düzeyleri ölçüldü. L-NOME ile kontrole göre NO vekatalaz düzeyi belirgin olarak azaltırken,コレsterol ve malondialdehit düzeyi arttı (p<0,01). L-NOME+Atorvastatin alan grupta L-NOME alan gruba göre NO ve katalaz düzeyi anlamlı artı,コレsterol ve malondialdehit düzeyi ise anlamlı düşüş göstermektedir (p<0,01). Kan beyin bariyeri geçirgenliği ile ilgili değerlendirmede; L-NOME+AT-II alan grupta kontrole göre cerebeller, sol cerebral hemisfer ve diensefalonda Evans mavisi geçirgenliğinin arttığı saptandı (p<0,05). Bu çalışma NO sentezinin L-NOME ile inhibe edilmesi sonrasında hipertansif yapılmış siçanlarda atorvastatin tedavisinin, AT-II verilmesine bağlı ortaya çıkan KBB geçirgenliğini belirgin olarak azalttığını göstermektedir. Buna göre statinlerin endotel fonksiyonu üzerine olan düzeltici etkisi sonrasında artan NO salınınının rolü olduğunu düşünülmektedir. Hipertansif olgularda kan basıncında yaşanan dalgalanmalarda statin tedavisinin hedef organ hasarını önleyici rol oynayabileceğini görüşüyoruz.

P-152

DIABETİK OLAN VE OLМАYAN KİŞİLERDE YЕDİ FARKLI ANTIHIPERTANSİF AJANIN NABIZ BASINCI ÜZERİNE ETKİSİ

Gökhan Alıcı, Gökmen Bellur, Mohammed Habeb, Hakan Karpuz

İstanbul Üniversitesi Cerrahpaşa Tip Fakültesi, Kardiyoloji Anabilim Dalı, İstanbul

Amaç: Sistolik ve diastolik kan basıncı arasındaki fark olarak tanımlanan nabız basıncının artışı bağımsız bir kardiyovasküler risk faktörü olarak bilinmektedir. Ancak günümüzde antihipertansif tedavide kullanılan ajanların nabız basıncı (NB) üzerinde olan etkileri ile ilgili bilgiler yetersizdir. Bu çalışmada amacımız diabetik olan ve olmayan kişilerde sık kullanılan yedi farklı antihipertansif ajanın nabız basıncı üzerinde olan etkilerini araştırmaktır.

Yöntem: Prospektif, randomize, paralel-grup özelişliklerine sahip olan bu çalışma, 2 haftalık çalışmaya alınma ile 12 haftalık aktif tedavi kollarından oluşmaktadır. Yeni tan konulmuş esansiyel hipertansiyonlu olan 140 hasta, lisinopril (10 mg/gün), lisinopril hidroklorotiazid (10/12,5 mg/gün), valsartan (80 mg/gün), valsartan hidroklorotiazid (80/12,5 mg/gün), amlodipin (5 mg/gün), indapamid (2,5 mg/gün), atenolol (50 mg/gün) gruplarına randomize edildi. Dördüncü haftada kinini kan basıncı ölçümleri yapıldı ve kan basıncı değerleri >140/90 mmHg olan hastalarda ilaç dozları iki katına çıkarıldı. Kan basıncı ölçümleri 12.hasta sonunda tekrar yapıldı.

Bulgular: Diabetik grupta toplam 46 hastanın ortalaması 51 ± 6 iken, diabetik olmayan 94 hastanın yaşı ortalaması 49 ± 5 idi. Yaş, cinsiyet, hipercolesterolemii, statin kullanımı gibi klinik ve demografik özellikler açısından iki grupta arasında istatistiksel fark saptanmadı. Her iki grupta da nabız basıncındaki düşüş lisinopril, lisinopril hidroklorotiazid, valsartan ve valsartan hidroklorotiazid grupplarında indapamid, atenolol ve amlodipin göre daha fazla idi. Diabetik olmayan hastalarda p<0,05 (Tablo 1) iken diabetik hastalarda ise p<0,001 (Tablo 2) idi.

Sonuç: Antihipertansif ajanların nabız basıncı üzerindeki etkileri farklılık göstermektedir. Bu çalışmamızda lisinopril, lisinopril hidroklorotiazid, valsartan ve valsartan hidroklorotiazid moleküllerinin nabız basıncını düşürmek açısından indapamid, atenolol ve amlodipin üstün bulundu. Ayrıca, 12-haftalık takip stırcesinde lisinopril, lisinopril hidroklorotiazid, valsartan ve valsartan hidroklorotiazid ile nabız basıncının sağlanan düşüş diabetik hastalarda diabetik olmayanlara göre daha belirginidi. Bu bulgular hipertansif ve diabetik hastalarda renin-angiotensin sistemi blokajının nabız basıncını düşürmeye daha etkili bir yol olduğunu göstermektedir.

Tablo 1. Diabetik olmayan hipertansif hastalarda 12 hafta sonunda NB'deki değişiklikler (LIS,LIS+HCT,VAL ve VAL+HCT için p<0,05)



Tablo 2. Diabetik hipertansif hastalarda 12 hafta sonunda NB'deki değişiklikler (LIS,LIS+HCT,VAL, VAL+HCT için p<0,001)



P-153

SİSTOLİK DİSFONKSİYONU OLAN HİPERTANSİF BIREYLERE UYGULANAN RENIN ANJİOTENSİN BLOKAJININ SERUM ÜRİK ASIT DÜZEYLERİNE ETKİSİ

Aysun Erdem, Giyel Ateş, Nurgül Keser, Müslüm Şahin, Ayşegül Sümbül, Burak Teymen, Hande Türel

Maltepe Üniversitesi Tıp Fakültesi İstanbul

Giriş ve Amaç: Bir oksidatif stres göstergesi olan ürik asit serum düzeylerindeki artışın hipertansiyon, ateroskleroz ve kalp yetersizliğinde kötülesmeye neden olduğu ileri sürülmektedir. Anjiyotensin konverting enzim inhibitörlerinin ve AT1 reseptör blokerlerinin hafif ürikozüük etkisi olduğu bilinmemektedir. Bu ilaçların kalp yetersizliği olan hastalarda serum ürik asit düzeylerine olan etkisi araştırılmamıştır. Bu nedenle bu çalışma planlanmıştır.

Yöntem: Çalışmaya hastanemiz kardiyoloji polikliniğine başvuran ACE inhibitörü veya AT1 reseptör blokeri alan, diüretik almayan 24 hipertansif hasta alınmıştır. Bu hastalarla ekokardiografik inceleme yapılmış Ejeksiyon Fonksiyonu (EF) Simpson metod ile hesaplanmış, diyastolik fonksiyonlar için mitral E, A, E/A, deselerasyon zamanı ve izovolemitik relaksasyon zamanı (IVRZ) ölçülmüştür. Aynı zamanda hastalardan ürik asit için kan örnekleri alınmıştır.

Bulgular: Hastaların 18'i kadın 6'sı erkek olup, yaş ortalaması 69.2 ± 7.3 dır. Hastaların hepsinde sol ventrikülde grade 1 diyastolik disfonksiyon olup, 1'inde $EF > \%55$, 10'unda $EF < \%55$ (ortalama EF $\%44 \pm 10$)'dır. $EF > \%55$ olan grupta ortalama serum ürik asit düzeyi 4.67 ± 1.01 mg/dl, $EF < \%55$ olan grupta ortalama serum ürik asit düzeyi 5.52 ± 2.8 mg/dl ($p=0.0006$) bulunmuştur.

Sonuç: ACE inhibitörleri veya AT1 reseptör blokerleri sistolik disfonksiyonu olan hastalarda serum ürik asit düzeylerinde anlamlı bir artışa neden olmuştur.

P-154

HİPERTANSİYONUN ENDOTEL DİSFONKSİYONUNDAKI ROLÜNEN YÜKSEK REZOLÜSYONLU ULTRASONOGRAFİ İLE BELİRLENMESİ

Yonca Aktaş, Elif Günaydin, Hülya Çiçekçioglu, Levent Altın, Vasfi Ulusoy, M. Alp Karademir

Ankara Numune Eğitim ve Araştırma Hastanesi, Ankara

Amaç: Akım bağımlı dilatasyonun Doppler ultrasonografi ile belirlenmesine dayanarak hipertansiyonun endotel fonksiyon üzerindeki etkisini tespit etmek. **Materyal ve Metod:** Çalışmaya kan basıncı $140/90 \text{ mmHg}$ nin üstünde olan 28 kadın ve 17 erkek hipertansif hasta katıldı. Kontrol grubu olarak 12 kadın ve 9 erkek normotansif olmuş çalışmadı. Her iki gruptaki hastalarda 10 dakikalık istirahat sonrası sağ brakial arter gri skala ultrasonografi incelemesi kubitál fossamı $5-10 \text{ cm}$ proksimalinden, brakial arterin en iyi şekilde vizualize edildiği yerden gerçekleştirildi. Gri skala ultrasonografi incelemesi sağda brakial arter çapı her hasta için belirlendi. Ardından hasta istirahet eder pozisyonunda iken 15 kola bir tansiyon aleti manşonu bağlanarak 5 dakika boyunca 250 mmHg içinde kalacak şekilde sıkıldı. 5 dakika sonunda manşon çıkarıldıklarında brakial arter çapı yeniden belirlendi ve akıma bağlı (endotel bağımlı) dilatasyon hesaplandı. Basal degerle ulaşmak için hastaların tekrar 5 dakika dinlemeleri sağlanmış ve sublingual izosorbid dinitrat verildi. Beş dakika sonunda brakial arter çapları tekrar ölçülerek endotelden bağımsız vazodilatasyon hesaplandı.

Bulgular: Akım bağımlı dilatasyon hipertansif hasta grubunda $\%5.52 \pm 2.94$ ve normotansif kontrol grubunda $\%14.28 \pm 6.82$ olarak bulunmuş. Her iki grup arasında istatistiksel olarak anlamlı farklılık saptandı ($p<0.05$). Sublingual izosorbid dinitrat ile endotelden bağımsız olarak elde edilen vazodilatasyon hipertansif hasta grubunda $\%13.20 \pm 5.07$ ve normotansif kontrol grubunda 24.42 ± 7.85 olarak ölçüldü. Bu verilere göre hem hipertansif hem normotansif kontrol grupplarında endotelden bağımsız vazodilatasyonda istatistiksel olarak anlamlı farklılık saptandı ($p<0.05$). Buna birlikte sublingual izosorbid dinitrat ile endotelden bağımsız olarak elde edilen vazodilatasyon hipertansif hasta grubunda ve normotansif kontrol grubunda endotel bağımlı vazodilatasyonu göre istatistiksel olarak anlamlı farklılık gösterdi ($p<0.05$). **Sonuç:** Hipertansiyon akıma bağlı vazodilatasyonu azaltmaktadır, endotel disfonksiyonu oluşturmaktadır. Ateroskleroz için bir risk faktörü olan hipertansiyonun endotel fonksiyonu üstündeki etkisi ateroskleroz oluşmadan çok daha önce yüksek rezolusyonlu gray skala ultrasonografi incelemesi ile belirlenebilir.

	Total	Hipertansif	Normotansif	P değeri
Olgu sayısı	70	50	20	
Yaş	59.01 ± 10.55	59.88 ± 10.68	56.85 ± 10.16	$p>0.05$
İstirahat	43.67 ± 6.19	44.40 ± 6.49	41.85 ± 5.06	$p>0.05$
Stres	47.04 ± 6.11	46.80 ± 6.60	47.65 ± 4.76	$p<0.05$
NO	50.60 ± 6.09	50.10 ± 6.46	51.05 ± 4.97	$p<0.05$
Stres%		5.52 ± 2.94	14.28 ± 6.82	$p<0.05$
NO%		13.20 ± 5.07	24.42 ± 7.85	$p<0.05$
Sistolik KB	145 ± 26.94	160.50 ± 14.68	108.75 ± 8.25	$p<0.05$
Diyastolik KB	91.07 ± 14.11	98.40 ± 8.77	72.75 ± 5.49	$p<0.05$

P-155

ESANSİYEL HİPERTANSİYONLU HASTALarda KAN BASINCINDAKİ SİRKADYEN DEĞİŞİM İLE MİYOKARDİYAL PERFORMANS İNDEKSİNİN İLİŞKİSİ

Mustafa Aydin, Mejin Gürsürer*, Aydin Dursun*, Fatih Çam*, Mehmet Ali Elbey*, Rale Camuzcuoğlu*, Tolga Onuk*, Alper Güngördekk

Karaelmas Üniversitesi Tıp Fakültesi,

Karaelmas Üniversitesi Tıp Fakültesi, Kardiyoloji Anabilimdalı, Zonguldak*

Amaç: Non-dipper hipertansiyonların dipper'le göre daha fazla kardiyovasküler risk'e sahip oldukları bilinmektedir. Miyokardiyal performans indeksi (MPI) miyokardiyal sistolik ve diyastolik fonksiyonları birlikte gösteren bir parametredir. MPI= izovolumetrik kasılma zamanı (IVKZ)+ izovolumetrik gevşeme zamanı (IVGZ)/ ejeksiyon zamanı (EZ) formülü ile hesaplanır. Bu çalışmada kan basincındaki değişime göre sınıflanan hipertansif hastaların MPI'lerinin değerlendirilmesi amaçlandı.

Metod: Çalışmaya ambulatuvar kan basıncı ölçümlerine göre saptanan 25 dipper (12 E, 13 K, yaşı ort. 56 ± 18) ve 25 non-dipper, (13 K, 12 E yaş ort. 57 ± 12) hasta aldı. Çalışmada Rozinn RZ-250 model ambulatuvar kan basıncı ölçüm cihazı ve Vivid FiVe ekokardiyografi cihazı kullanıldı. Gece ölçülen sistolik ve diyastolik kan basıncı değerlerinin gündüz ölçülen değerlerle göre $\%10$ 'dan daha az azalma olması non-dipper, diğerleri ise dipper olarak tanımlandı. Her iki gruba ekokardiyografi uygulandı. Sol ventrikül ejeksiyon fraksiyonu ve MPI hesaplandı.

Bulgular: Elde edilen konvansiyonel ekokardiyografi ve doku Doppler bulguları tabloda özetlendi.

Sonuç: Her iki grupta elde edilen MPI sonuçları benzer bulundu. Hipertansif hastalarda gözlenen sirkadenin değişim bu hastaların MPI değerlerine anlamlı etkide bulunmamaktadır.

Dipper(n=25) Non-dipper(n=25) p LA (cm) 3.8 ± 0.4 3.9 ± 0.7 AD IVS (cm) 1.28 ± 0.19 1.30 ± 0.19 AD AK (cm) 1.22 ± 0.16 1.23 ± 0.19 AD DSC (cm) 4.8 ± 0.4 4.9 ± 0.4 AD SSÇ (cm) 2.9 ± 0.3 3.1 ± 0.3 AD EF (%) $70.85 \pm 19.68 \pm 7$ AD Izovolumetrik gevşeme zamanı (IVGZ) (msn) 105 ± 14 112 ± 15 AD Izovolumetrik kasılma zamanı (IVKZ) (msn) 58 ± 18 60 ± 21 AD Ejeksiyon zamanı (EZ) (msn) 310 ± 35 306 ± 29 AD MPI 0.52 ± 0.12 0.53 ± 0.14 AD

Hipertansiyon

P-157

HİPERTANSİYONDA MİKROALBUMİNÜRİNİN SOL VENTRİKÜL DİYASTOLİK FONKSİYONLARI İLE İLİŞKİSİ

Mustafa Gür, Ali Güç, Nihat Kalay, Mustafa Çalışkan, İbrahim Özdoğu, İbrahim Güç, Yücel Yılmaz, Tuğrul İnanç, Arif Yalçın, Ali Ergin

Erciyes Üniversitesi Tıp Fakültesi, Kardiyoloji Anabilim Dalı, Kayseri

Giriş ve Amaç: Hipertansiyonda diyastolik fonksiyon bozukluğu yaygın bir bulgudur. Renal hasarı en erken bulgusu olan mikroalbuminürü (MA) kardiyovasküler fonksiyonları kötü yönde etkilemektedir. Biz çalışmamızda MA ile sol ventrikül (SV) diyastolik fonksiyonları arasındaki ilişkisi araştırdık. Metod: Daha önce hiç tedavi almamış diyeti olmuş 35 hipertansif hasta 24 saatlik idrarدا MA düzeyine göre iki gruba ayrıldı. MA>15 mcg/dl ise MA+<15 mcg/dl olanlar ise MA- kabul edildi (Grup A: MA+ 10E/SK, Grup B: MA- 9E/SK). Kontrol grubu (Grup C) olarak 27(18E/9K) sağlıklı kişi aldı. Her üç gruba konvansiyonel ve doku doppler ekokardiografi (DDE) uygulandı. Transmural E, A velocitiesi, ölümlü, E/A oran hesaplandı. DDE ile SV lateral ve septal anuluslardan E, A velocitiesi ölçüldü. E/A oranları elde edildi. Bulgular tablo halinde gösterildi. P<0,05 istatistiksel anamlı AD: anamlı değil SKB:sistolik kan basıncı DKB:diyastolik kan basıncı Grup A'da mitral E velocitiesi ve E/A oranı daha düşüktü. DDE ile elde edilen anular E velocitiesi ve E/A oranları grup A'da grup B ve C'e göre daha düşük saptandı. Grup A ile B arasında mitral ve anular A velocitiesi açısından fark yoktu. Sonuç olarak MA+ hastalarda SV diyastolik fonksiyonlarının daha erken bozulduğu söylenebilir.

Tablo bulguların karşılaştırılması

	Grup A n:18	Grup B n:17	Grup C n:27	A ile C p değeri	A ile B p değeri	B ile C p değeri
Yaş yıl	45±7	43±8	38±6	0,006	AD	AD
SKB mmHg	155±14	150±18	119±7	0,0001	AD	0,0001
DKB mmHg	98±9	95±9	69±9	0,0001	AD	0,0001
MA düzeyi	31,7±23,5	5,3±3,5	-	-	0,0001	-
Mitral E m/sn	0,70±0,10	0,90±0,26	0,91±0,17	0,004	0,01	AD
Mitral A m/sn	0,70±0,12	0,73±0,20	0,61±0,10	AD	AD	AD
Mitral E/A oranı	1,00±0,21	1,30±0,40	1,40±0,20	0,0001	0,04	AD
Septal E cm/sn	7,9 ± 2,0	9,6 ± 2,8	11,4 ± 1,8	0,0001	AD	0,03
Septal A cm/sn	10,4 ± 1,9	9,4±0,02	8,0 ± 1,4	0,0001	AD	AD
Septal E/A oranı	0,77±0,18	1,02±0,41	1,44±0,17	0,0001	0,006	0,0001
Lateral E cm/sn	10,0±2,8	11,4±3,1	16,5 ± 3,2	0,0001	AD	0,001
Lateral A cm/sn	10,4 ± 1,8	10,5 ± 2,8	10,0 ± 2,2	AD	AD	AD
Lateral E/A oranı	0,97±0,28	0,97±0,28	1,80±0,46	<0,0001	AD	<0,0001

P-158

HİERTANSİF ERİŞKİN HASTADA RENAL ARTER FENESTRASYONU

Mehmet Kaya, Adnan Abacı, Ülgen Merdanoglu, Ridvan Yalçın, Atiye Çengel

Gazi Üniversitesi Tıp Fakültesi, Kardiyoloji Anabilim Dalı, Ankara

Altıñ yaşında erkek hasta kardiyoloji kliniğimize stabil anjina pektoris ile başvurdu. Yatar pozisyonunda bakiyan kan basıncı 160/90 mmHg, nabzı 88/dak vücut sıcaklığı 36,7°C idi. Risk faktörü olarak 10 yıldır regüle edilmemiş olan bir hipertansiyon öyküsü mevcuttu. Fizik muayenesinde normaldi. Elektrokardiografisi ve transtorasik ekokardiografisi normaldi. Serum kan üre, kreatinin düzeyleri ve idrar analizi normaldi. Hastanın eforlu EKG testi pozitif olduğu için, koroner anjiografi ve kontrollsuz hipertansiyon öyküsü olduğu için eş zamanlı seเลktif renal anjiografi yapıldı. Koroner anjiografisi normal olan hastanın renal anjiografisinde, sağ renal arter normaldi fakat, sol renal arterde fenestrasyon izlendi. Fenestrasyon terimi, bir arter lümeninde kisa ve fokal divizyon gösteren alanlar için kullanılan bir terimdir. Daha önceki bilgilerimize göre serebral arterlerde fenestrasyonlara sıkılıkla rastlanmasına rağmen, renal arterlerde fenestrasyon ve klinik önemi bildirilmiş bir gelişimsel anomalidir. Renal ven renin örnekleme yapılmadığı için, hastanın kombine antihipertansif tedaviye rağmen iyi kontrol edilemeye hipertansiyonun bu anomalii ile ilişkili olduğunu konusunda yorum yapmak oldukça güçtür.



Selektif Renal Arter Anjiogram Reanal Arter Fenestrasyonunu gösteriyor

Kapak Hastalıkları

P-160

MİTRAL KAPAK REPLASMANI YAPILAN HASTALarda FONKSİYONEL TRIKÜSPİD YETERSİZLİĞİ CİDDİYETİNİN MORBİDİTEYLE İLİŞKİSİ

A.Yaça Boyacı, Veli Gökcé, Serkan Topaloğlu, Şule Korkmaz, Siber Göksel Türkiye Yüksek İhtisas Hastanesi, Kardiyoloji Kliniği, Ankara

Amaç: Mitral darlığı (MD) nedeniyle mitral kapak cerrahisi uygulanan hastalarda ciddi triküspid yetersizliği (TY) morbidite ve mortalite de artısa yol açmaktadır. Bu çalışmada mitral kapak replasmanı (MKR) uygulanan MD'li hastalarda preoperatif fonksiyonel TY'nin geç dönemde klinik sonuçlar üzerine etkisi araştırıldı.

Yöntem: Çalışmaya dört-ontuyluk yıl (8,1±2,6 yıl) önce MKR yapılan ancak birlikte triküspid kapak cerrahisi uygulanmayan 68 rotamatik MD'li hasta alındı (54 kadın, 14 erkek; yaş ortalaması 45±10). Tüm hastalara preoperatif ve geç postoperatif dönemde transtorasik ekokardiografı yapıldı. TY'nin ciddiyeti renkli Doppler ekokardiografik görüntüler ve inferior vena cava ve hepatik venlerdeki akımlar incelenerek derecelendirildi ve hastalar iki gruba ayrıldı; 42 hasta (%61) hafif, 26 hasta (%39) ciddi TY olarak gruplandırıldı.

Bulgular: Ciddi TY olan hastaların preoperatif semptomatik dönemleri daha uzun, atriyal fibrilasyon görülme sıklığı daha fazlaydı. MKR sonrası her iki gruptaki hastaların NYHA sınıfları ve fonksiyonel kapasiteler belirgin şekilde düzeltildi. Geç postoperatif dönemde semptomatik kalp yetmezliği (fonksiyonel sınıf 3 ve 4) (%86'ya karşılık %54, p<0,05) ve hospitalizasyon sıklığı (1,8±0,7'ye karşılık 1,1±0,4, p<0,05) ciddi preoperatif TY olan grupa daha siktı.

Sonuç: Ekokardiografiyle saptanan ciddi preoperatif fonksiyonel TY geç dönemde artmış morbidite ile ilişkilidir. MKR ile birlikte triküspid kapak cerrahisi uygulanmasının geç dönem sonuçları üzerine etkisi geniş klinik çalışmalarla incelenmelidir.

Tablo 1. Grupların bazal, EDD ve EID değerleri

		Bazal	6 hafta	1 yıl
Grup 1	EDD %	14,2±3,7	18,3±6,8	12,7±7,2
Fosinopril	EID %	17,5±5,3	21,0±6,0	14,4±6,8
Bazal mm		3,9±0,9	3,7±0,7	3,7±0,6
Grup 2	EDD %	17,9±6,5	20,8±6,9	13,1±5,7
Valsartan	EID %	20,4±4,3	23,1±8,4	15,4±5,8
	Bazal mm	3,6±0,5	3,5±0,5	3,5±0,5
Grup 3	EDD %	13,2±3,9	16,4±4,3	14,6±5,9
Irbesartan	EID %	18,6±5,3	21,3±5,7	18,0±6,3
	Bazal mm	3,4±0,5	3,4±0,6	3,4±0,6
Grup 4	EDD %	13,4±5,3	16,4±6,0	12,5±5,3
Quinapril	EID %	16,5±5,3	19,2±6,1	15,2±5,6
	Bazal mm	3,4±0,5	3,4±0,6	3,5±0,5

EDD: Endotela bağımlı dilatasyon, EID: Endotelden bağımsız dilatasyon

P-161

MİTRAL DARLIĞININ ŞİDDETİYLE SAĞ DAL BLOĞU ARASINDAKI İLİŞKİ

Arslan Öcal, Ersin Sarıcam, Cemal Özbakır, Özgür Ulaş Özdoğan, Seher Bozboğa, Bülent Deyevci, Bilal Geyik, Orhan Maden, Sakine Fırat, Kenan Yalta, İsmet Hisar, İrfan Sabah

Türkiye Yüksek İhtisas Hastanesi, Kardiyoloji Kliniği, Ankara

Amaç: Mitrال darlığında genellikle p mitrale, atriyal fibrilasyon, sağ ventrikül hipertrofi bulguları görürler. Ancak hastalığın şiddeti ile ilişkili belirgin bir elektrokardiografi (EKG) bulguları yoktur. Bu çalışmada sağ dal bloğu ile rotomatizmal nedenli mitral darlık yakalarında darlığın şiddeti arasındaki ilişkisi araştırılmıştır.

Yöntem: Çalışma için 2001-2004 yılları arasında Türkiye Yüksek İhtisas Hastanesi ne başvuran orta ve şiddetli mitral darlık tanısı almış 436 hasta (300 kadın, 136 erkek) retrospektif olarak incelenmiştir. Beraberinde ciddi aort darlığı, aort yetmezliği, ciddi triküspit ve mitral yetmezliği, kronik akeşiger hastalığı ve ciddi pulmoner hipertansiyonlu hastalar çalışma dışı bırakılmıştır. Hastalar sağ dal bloğu kriterlerini taşıyanlar grup A ve kriterleri taşımayanlar grup B olarak iki gruba ayrılmıştır. Grup A'da 83, grup B'de 353 hasta ekokardiyografik incelemeyle saptanan kapak alanı, gradiyent ve sistolik pulmoner arter basıncı açısından karşılaştırılmıştır.

Bulgular: Her iki grupta hastaların yaş ortalamaları benzerdi ($p>0.05$). Grup A'da ortalama gradiyent 12.63 ± 4.43 mmHg, grup B'de ortalama gradiyent 10.58 ± 3.37 mmHg ölçüldü ($p<0.0001$). Kapak alanları grup A'da 1.05 ± 0.2 cm² ve grup B'de 1.14 ± 0.52 cm² idi ve iki grupta arasında anlamlı fark vardı ($p=0.011$). Pulmoner arter basıncı grup A'da 53.5 ± 16.2 mmHg, grup B'de 46.9 ± 13.2 mmHg ölçüldü ve anlamlı fark bulundu ($p=0.001$) (Tablo 1).

Sonuç: Mitrال darlığında sağ dal bloğu ile kapak alanı, ortalama kapak gradiyenti ve sistolik pulmoner arter basıncı arasında anlamlı ilişki saptanmıştır. Kolay elde edilebilir bu bilgi, mitral darlığının şiddeti açısından klinik seneye yardımcı olup ileri tetkik için yönlendirebilir.

Tablo 1. Mitrال darlığında sağ dal bloğunun kapak alanı, gradiyent ve pulmoner arter basıncı arasındaki ilişki

	Grup A (n=83)	Grup B (n=353)	p
Kapak alanı (cm ²)	1.05 ± 0.2	1.14 ± 0.52	0.011
Ortalama gradiyent (mmHg)	12.63 ± 4.43	10.58 ± 3.37	<0.0001
Sistolik pulmoner arter basıncı (mmHg)	53.5 ± 16.2	46.9 ± 13.2	0.001

P-162

AORT DARLIĞI İLE KAN HOMOSİSTEİN DÜZEYİ ARASINDAKI İLİŞKİ

Hüseyin Gündüz, Hüseyin Arımcı, Ali Tamer, Ramazan Akdemir*, Hakan Özhan*, Serhan Özylıđırı̄m, Cihangir Uyan

Abant İzzet Baysal Üniversitesi, İzzet Baysal Tip Fakültesi, Abant İzzet Baysal Üniversitesi, Düzce Tip Fakültesi, Düzce*

Amaç: Kalsifik aort kapak stenozu tanısı almış hastalarda kardiyak risk faktörleri koroner arter hastalığı benzerdir ve homosistein seviyesi yükseklilī koroner arter hastalığı için bağımsız bir risk faktörüdür. Çalışmanın amacı, plazma homosistein seviyeleri ile aort kapak stenozu arasındaki ilişkilī inceleme ayrıca orta-ilerī aort darlığı hastalarında homosistein seviyelerinin koroner arter hastalığı varlığı üzerine etkisini arastırmaktır.

Yöntem: Ortalı-ilerī aort darlığı tanısı almış 58 hasta ve kontrol grubunu oluşturan aort darlığı veya koroner arter hastalığı tanısı almamış 47 sağlıklı vakıa çalışmaya dahil edildi. Bu nüfus birlikte aort darlığı hastalar koroner angiografilerinde koroner arter hastalığı olup olmamasına göre ikiye ayrıldı. 12 saat açılı̄ venöz kan örnekleri toplandı ve total kolesterol, LDL, HDL, triglycerit ve homosistein seviyeleri ölçüldükten sonra iki grupta arasında karşılaştırıldı.

Bulgular: Aort darlığını olan hastalarda kan homosistein seviyeleri 10.8 ± 3.3 umol/L iken kontrol grubunda 8.1 ± 4.7 umol/L idi ve bu farklı istatistiksel olarak anlaşılmadı. Buna karşın aort darlığı olan hastalar önemli derecede yüksek total kolesterol seviyeleri, hipertansiyon ve daha fazla ailede koroner arter hastalığı hikayesine sahipti. Aort darlığı olan hastalar koroner arter hastalığı mevcutudur. Göre 2 alt gruba ayrılmıştır. Aort darlığından orantala kan homosistein seviyeleri sırasıyla 13.2 ± 3.1 umol/L ve 8.3 ± 2.2 umol/L olarak bulundu, kan homosistein seviyesi koroner arter hastalığı olan grupta önemli derecede daha yükseldi. Ayrıca koroner arter hastalığı olan hastalar kontrol grubundan orantala total kolesterol, LDL seviyeleri ve sigara içicilīī anlaşılmıştır.

Sonuç: Aort darlığı varlığı ile kan homosistein seviyeleri arasında ilişki tespit edilmemīcak aort darlığı olan hastalarda homosistein seviyesi yükseklilī koroner arter hastalığı varlığı ile anlamlı derecede ilişkilī idi.

Aort kapak hastalığı olan ve olmayan hastaların klinik, laboratuvar ve ekokardiografik bulgularının karşılaştırılması

Hastaların özellikleri	AVS'lu hastalar (n: 58)	AVS olmayan hastalar (n:47)	P değeri
Yaş (yıl)	64 ± 11	62 ± 13	AD
Sigara içimi (%)	46	38	AD
Hipertansiyon (%)	43	24	p<0.05
Diabetes Mellitus (%)	20	16	AD
Ailesel KAH varlığı (%)	38	20	p<0.05
Dislipidemi (%)	24	22	AD
Aort Kapaklı alanı (cm ²)	1.0 ± 0.5	2.89 ± 4.38	P<0.01
Total kolesterol (mg/dL)	235 ± 52	201 ± 61	P<0.01
Triglycerid (mg/dL)	158 ± 90	127 ± 77	AD
LDL kolesterol (mg/dL)	153 ± 44	117 ± 49	P<0.01
HDL kolesterol (mg/dL)	46 ± 7	47 ± 10	AD
Homosistein (umol/L)	10.8 ± 3.3	8 ± 4.7	AD

AD: Anlamlı değil AVS: Aort Valv Stenozu KAH: Koroner arter hastalığı

P-163

ROMATİZMAL KAPAK HASTALIĞINDA ESER ELEMENT DÜZEYİ KLINİK OLARAK ÖNEMLİ Mİ?

Feridun Koşar, Ergün Topal, Yüksel Aksoy, İbrahim Şahin*, Zehra Küçükbay*, Çağatay Taşkapan*, Nusret Açıkgöz, Necip Ermis, Hülya Taşkapan*, Sengül Çehreli

İnönü Üniversitesi Turgut Özal Tıp Merkezi, Kardiyoloji Anabilim Dalı, İnönü Üniversitesi Tip Fakültesi*. Malatya

Amaç: Romatizmal kapak hastalığının (RKH) patogenez ve progesyonunda anormal immünolojik-inflamatuvar yanıt önemli rol oynamaktadır. Aynı zamanda, bu yanıtın eser element düzeyindeki değişiklikle ilgili olabileceği iltırı̄ları sürtülmüştür. Bu çalışmanın amacı, RKH olan hastaların serumunda bazı eser elementlerin konsantrasyonlarını belirlemek ve bunun kronik RKH ve kapak tutulumunun şiddetine olan ilişkisini ortaya koymaktır. Yöntemler: 72 romatizmal kalp hastalığı olan ve 32 sağlıklı kontrol grubu çalışmaya alındı. Tüm hastalara transtorasik ekokardiyografik inceleme yapıldı. Serum Se, Zn, Fe ve Cu düzeyleri atomik absorbsiyon spektrofotometri yöntemiyle ölçüldü.

Bulgular: RKH olan hastaların serumunda, kontrol grubuna göre Se, Zn, Fe düzeyleri belirgin olarak düşüktü (sirasıyla $p<0.05$, $p=0.001$ ve $p=0.001$). Bu karşın, RKH olan hastalarda kontrol grubuna göre serum Cu düzeyleri anlamlı olarak yükseltī bulundu (1.93 ± 0.59 µg/l ve 1.06 ± 0.29 µg/l; $p=0.001$). Benzer şekilde Cu/Zn oranı RKH hastalarda daha yükseltī (4.70 ± 0.92 ve 1.68 ± 0.45 ; $p=0.001$). Ayrıca serum eser element düzeyiyle, romatizmal kapak tutulumunun şiddeti ve fonksiyonel kapasite arasında korelasyon bulunmadı ($p>0.05$).

Sonuç: RKH olan hastalarda serum Se, Zn, Fe element düzeylerinde azalma ve Cu düzeyinde artma, bu hastalığın gelişimine ve inflamatuvar süreçte katkıda bulunabilir.

P-164

MITRAL BALON VALVÜLOPLASTİ UYGULANAN HASTALARDA FONKSİYONEL TRİKÜSPİD YETERSİZLİĞİ CİDDİYETİNİN MORBİDİTEYLE İLİŞKİ

A.Yaşa Boyacı, Ümit Guray, Hatice Şaşmaz, Şule Korkmaz

Türkiye Yüksek İhtisas Hastanesi, Kardiyoloji Kliniği, Ankara

Amaç: Mitrال darlığı nedeniyle mitral kapak cerrahisi uygulanan hastalarda ciddi triküspid yetersizliği (TY) morbidite ve mortalite de artı̄a yol açmaktadır. Bu çalışmada perkütan mitral balon valvüloplasti (PMBV) uygulanan hastalarda ciddi fonksiyonel TY'nin erken ve geç dönem sonuçlara etkisi incelenmiştir.

Yöntem: Çalışmaya yaş ortalamaları 37.4 ± 7.1 olan 79 ardışık hasta (64 kadın, 15 erkek) retrospektif olarak alındı. Tüm hastaların işlem öncesi ve sonrası 1.yıl kontrollerinde transtorasik ekokardiyografı ile mitral kapak alanı, mitral gradiyent ve pulmoner arter basınçları ölçüldü. TY'nin ciddiyeti renkli Doppler ekokardiyografik görüntüler ve inferior vena cava ve hepatik venlerdeki akımlar incelenerek derecelendirildi ve hastalar iki gruba ayrıldı; 60 hasta (%77) hafif, 19 hasta (%23) ciddi TY olarak grupperlendirildi. Bulgular: İşlem öncesi ciddi TY olan hastaların pulmoner arter basınçları daha yüksek, atriyal fibrilasyon sıklığı daha fazla, klinik tablolari da hafif TY olan hastalardan daha kötüydü. PMBV sonrası mitral kapak alanı, pulmoner arter basıncı, NYHA sınıfı ve fonksiyonel kapasite iyileşti. Ciddi TY olan 19 hastanın 6'sında (%31) TY geriledi.

Sonuç: Ciddi TY olan mitral darlıklı hastalarda PMBV ile transmитral gradiyent önemli ölçüde azaltulabilmesine rağmen pulmoner vasküler hastalık daha ciddidir ve bu nedenle hastaların geç dönem klinik tablolari da daha kötüdür.

Kapak Hastalıkları

P-165

MİTRAL DARLIKLI HASTALARDA SOL ATRIUM İÇİNDE KAN AKIM HİZLARINDA, SEK VE TROMBÜS OLUSUMUNDА BOLGESEL EŞİTSİZLİK VAR MI?

Olcay Özveren, Cihançir Kaymaz, Nihal Özdemir, Cihan Cevik, Cemil Izgi, Mehmet Özkan

Koşuyolu Kalp Eğitim ve Araştırma Hastanesi, İstanbul

Romatizmal mitral darlığında (MD) sol atrium(LA) içinde kanın durağanlaşmasından dolayı, SEK ve trombus (T) insidansında artış vardır. LA kavitesi ve LA appendaksi (LAA) tek bir anatomik boşluk olarak düşünülsede LA ve LAA'da stagnasyonun ciddiyeti SEK ve T oluşum sıklığı MD hastalarında eşit değildir. LA içinde MD hastalarında kan akım hızında SEK ve T oluşumunda bölge sel eşitsizlik olup olmadığı ve LA ve /veya LAA içinde spesifik bölgelerde SEK ve T ile ilişkili parametreleri araştırdık. Çalışma grubu; Rom. MD'li 479 hasta (F360,M119) dan oluşuyordu. 282 hasta AF idi. PikLAA çıkış akımı (LAA-V) ve LA kavitesindeki pik hızları (LA-V) TEE ile 0 derecede ölçüldü. LA-V ve LAA-V arasında orta derecede korelasyon saptandı. ($r=0.55, p<0.001$). T ve SEK LA'da 48 ve 143; LAA'da 67 ve 53; LA+LAA'da 36 ve 143 hastada sırası ile bulundu. LAA'ya sınırlı SEK diğer gruppala oranla daha büyük mitral kapak alanı ile ilişkili idi. (1.5 ± 0.5 vs 1.2 ± 0.3 ve 1.3 ± 0.4 cm²; $p<0.05$). LAA ve LA+LAA grupplarında SEK daha düşük LAA-V ile ilişkili idi. (0.12 ± 0.12 , 0.12 ± 0.12 vs 0.22 ± 0.15 ; $p<0.05$). Fakat LA SEK'li hastalarda LA-V daha düşüktü. (0.12 ± 0.1 , 0.13 ± 0.12 vs 0.23 ± 0.11 m/sn). ($p<0.05$). LA çapı, LAA alanının fraksiyonel değişimi (%FAC), ortalama mitral gradient, SEK lokalizasyonu ile ilişkili değildi. LA'da T varlığında büyük LA çapı ile ilişkili idi. (6.1 ± 1.8 vs 5.3 ± 0.9 , 5.5 ± 1.1) ($p<0.05$). Fakat mitral kapak alanı ve gradienti, LAA-V, LA-V ve FAC% T lokalizasyonu ile ilişkili değildi. Sonuçlar: 1) MD'li hastalarda LA/LAA akım hızları referans alındığında spesifik SEK ve T lokalizasyonlarında eşitsizlik mevcut gözükmemektedir. 2) SEK'in LA ve LA kavitesine uzaması MD ciddiyeti ile ilişkili. 3) T yerleşim yeri LA büyütülüğü ile ilişkili. 4) LA'da genişleme olmadan T, LAA'da oluşup, LA'ya yayılabilir. 5) LA çapı büyük hastalarda LA kavitesi T için primer odaktır.

P-166

ROMATİZMAL MİTRAL KAPAK HASTALIĞI VE MVP'YE BAĞLI KORDA RÜPTÜRÜ AYIRICI ÖZELLİKLERİ VE İNFETİF ENDOKARDİTİN KORDA RÜPTÜRÜNE ETKİSİ

Olcay Özveren, Cihançir Kaymaz, Nihal Özdemir, Cihan Cevik, Cemil Izgi, Evren Kaynak, Mehmet Özkan

Koşuyolu Kalp Eğitim ve Araştırma Hastanesi, İstanbul

Amaç: Çalışmamızın amacı romatizmal mitral kapak hastalığı (RMKH) veya mitral valv prolapsusuna (MVP) sekonder korda rüptürü (KR) vakalarının klinik ve ekokardiografik özelliklerini araştırdı. Çalışma grubu kliniğimizde ileri mitral yetersizliği (MY) nedeni ile opere edilen 176 KR vakasından oluştu. Hastaların 64'ü (%36) MVP, 79'u (%45) RMKH, 23'ü (%13) infekatif endokardit (IE), 20'si (%11) iskemik kalanları ise nadir etyolojilerdir. Anterior mitral kapak tutulumu romatizmal KR ile ilişkili idi. (%87 vs %20) ($p<0.05$). Posterior mitral kapak tutulumu ise MVP'ye sekonder KR ile ilişkili idi. (%75 vs %11) ($p<0.05$). MVP'ye bağlı KR vakaları ileri yaş ($p<0.0001$), erkek cinsiyet, uzun mitral önb, arka yaprak ve kordal yapılar, daha büyük mitral anulus çevresi ile ile ilişkili idi ($p<0.05$). MY derecesi ve sol atrium boyutları arasında her iki grup arasında anlamlı fark yoktu. ($p>0.05$). Romatizmal etyolojili KR vakalarında fonksiyonel sınıf ve pulmoner arter sistolik basıncı yüksek olup ($p<0.05$), AF (%56 vs %25 $p<0.05$), akut kötüleşme (%91 vs %20 $p<0.005$), eslik eden infekatif endokardit (%16 vs %4) ($p<0.05$), mitral kapak rüptürü (%24 vs %4) ($p<0.05$), ve ilk 3 ay içinde mitral kapağı yönelik cerrahi ihtiyacı (%100 vs %64) ($p<0.05$) daha siktı. Sonuç olarak, RMKH'na bağlı KR vakaları genelde mitral ön yapraklı tutarken; MVP'ye bağlı olanlar mitral arka yapraklı etkilediğini saptadık. MVP'ye bağlı KR erkek cinsiyet, ileri yaş, uzami leaflet ve kordal yapılar ile ilişkilidir. Romatizmal KR olgularında ise eşlik eden IE, AF, akut kötüleşme ve erken mitral kapak cerrahi ihtiyacı daha siktır.

P-167

EMBOLİK OLAY GEÇİREN İNFETİF ENDOKARDİT OLGULARININ KLINİK ÖZELLİKLERİ

Filiz Özkan, Hamza Duygu, Bahadır Kırılmaz, Oğuz Yavuzgil, Cemil Gürgün, Samem Nalbantgil, Mehdi Zoghi, İnan Soydan

Ege Üniversitesi Tip Fakültesi, Kardiyoloji Anabilim Dalı, İzmir

Giriş: Kliniğimizde 1996-2003 yılları arasında infekatif endokarditi (IE) tanısı alan 84 hasta içinden embolik olay geçiren 29 hastanın klinik özellikleri araştırıldı. Sonuçlar: Embolik komplikasyon gelişen 29 olgu (17 erkek, 12 kadın yaş ortalaması 39.48 ± 16.8) tüm serimizin %35'ini oluşturuyordu. Embolilerin organ dağılımı ve oluşturdukları klinik tabloya bakıldığında %38 oranla santral sinir sistemi (n=11) tutulumu ön planda kaldı. Santral sinir sistemi embolilerinin coğunu nörolojik defisi yaratın inme tablosuna (%98) neden olduğu görüldü. Santral sinir sistemi embolilerini %13 dakal (n=4, infarkt, abse), %11 böbrek (n=3, hepsi akut böbrek yetersizliği), %7 akciğer (n=2, ARDS tablosu), %4 cilt (cildi cilt nekrozu) ve %27 ormanında da (n=8, santral sinir sistemi, dala, periferik arter vb birlikte) multipl organ embolisi izlemektedir. Embolik olguların %63'ünde mitral kapak, %25'inde aort kapığı, %6 aort+mitral, %3 trikuspit kapak, %3 ormanında da pacemaker lead tutulumu saptandı. Embolik olay gelişen hastaların transtorasik veya transzofagiyal eko ile %90'ında vegetasyon saptanabildi. Subakut IE'ler embolik vakaların %60'ından sorumluydu ve en sık üretilen mikroorganizma %51 oran ile S. aureus idi. Embolik olay gelişen olgularda mortalite oranı %17 bulundu ve renal emboli gelişen hastalarda mortalite oranı %100 oranındaydı.

Tartışma: IE'de görülen embolik olaylar en çok inme şeklinde kliniğe yansımaktadır. Mitral kapak tutulumu olan ve hemokultürde S. aureus üreyen IE'li olgularda embolik olayların sıklığı artmaktadır. Santral sinir sistemi embolilerinde nörolojik sekelle iyileşme sık görülürken, akut böbrek yetersizliği yaratın böbrek embolilerinin sıkılıkla ölümçül seyrettiği görülmüştür.

P-168

ANTERIOR MİTRAL KAPAĞIN PROLAPSUNIN MİTRAL YETMEZLİĞİ VE PANİK BOZUKLUK ÜZERİNE ETKİSİ

Ata Kırılmaz, Eralp Ulusoy, Bekir Suki Çebeci, Namık Özmen, Ejder Kardeşoğlu, Ergün Demiralp

Gülhane Askeri Tıp Akademisi, Haydarpaşa Eğitim Hastanesi, Kardiyoloji Kliniği, İstanbul

Amaç: Bu çalışmada mitral kapak prolapsusu ile panik bozukluğun birbirlerine eşlik etme oranı (ko-morbidite) araştırıldı. METOD: Mitral kapak prolapsusu tüm popülasyonda % 5-10 sıklıkla izlenen yaygın bir kapak hastalığıdır. Panik bozukluk ise benzer yaygınlıkta, yaş ve cinsiyetlerin yanı sıra genelde olup aynı zamanda spesifik olmayan semptomlara sahiptir. Nonkardiyak göğüs ağrısı, çarpıntı ve yorgunluk ile kardiyoloji poliklinigine gelen %9 hasta panik bozukluk nedeni ile psikiyatrist tarafından değerlendirilirken bu hastalarla aynı zamanda transtorasik ekokardiografik inceleme de yapıldı. Ekokardiografik çahışmalarla Sistem V cihazı ve (GE Vingmed Sound, Horten, Norway) aynı cihaza ait 23 MHz duplex faz dizi limital prob kullanıldı. İki boyutlu görüntüler, sol ventrikül parasternal uzun akş kesitinden Amerikan Ekokardiografi Topluluğu ve Türk Ekokardiografi Çalışma grubunun belirtmiş olduğu noktalardan yapılan ölçümle ile kayıt edildi. Panik bozukluk Amerikan Psikiyatリー Cemiyeti'nin koymuş olduğu standartlara göre teşhis edildi. Buna göre son 3 haftalık dönemde en az 3 kez panik atak veya son bir ay içerisinde korku dönemleri ve bunun arkasındaki degerlendirilmesi. Çarpıntı, göğüs içerisinde herhangi bir çarpma hissi, düzensiz bir atış veya kalp ritiminde atlama, boşluk olarak tarif edilip dikkatle edilmiş gerçek görülmeden değerlendirilmeye alındı. Yorgunluk ise herhangi standart sapma olarak bildirilerek i testi ve k-i-kare testleri ile karşılaştırılmıştır. Bulgular: Mitral kapak prolapsi olan vakaların yaş ortalaması 40±8 yıl oldular. Bu grupta kadınlar daha yüksek oranda bulunuyorlardı (%53). Panik bozuklukla panik bozukluk insidansı %69 olarak saptandı. Mitral yetmezliği bulunanlarında panik bozukluk arasında ciddi istatistiksel korelasyon saptandı ($p=0.004$). Sonuçlarda göre, kontrol grubuna oranla bu hastalıkların beraber görülmeye şansı çalışmada grubunda göreveli olarak %45 daha fazla saptanmıştır. Sonuç: Anterior mitral kapağın prolapsusuna mitral yetmezliği ve panik bozukluğu üzerinde artıru etkisi saptanmıştır. Panik bozukluk ile mitral kapak prolapsi beraber görülebilimekte olup, bu durum ileyiere yönelik klinik çalışmalarına ihtiyac göstermektedir.

Kapak Hastalıkları

P-169

SOL ATRİYUM İÇİNDE SERBEST HAREKET EDEN TROMBUSA BAĞLI MİTRAL KAPAGIN GEÇİCİ OLARAK TAM TIKANMASI: BİR VAKA ÇALIŞMASI

Ömer Ayan, Omaç Tüfekçioğlu, Fehmi Kaçmaz, Özcan Özdemir, İhsan Sabah, Erdal Duru

Türkiye Yüksek İhtisas Hastanesi, Kardiyoloji Kliniği, Ankara

Giriş: Mitrall darlığı (MD) olan hastalarda sol atriyum (SA) içinde serbest hareket eden trombus, hem SA duvarına hemde kapakçıklara bağlı olmayan son derece nadir görülen klinik bir durumdur. Ancak trombusun parçasıyla ayrılarak koroner arterler, beyine ve ekstremiteler atipik semptomlarla ortaya çıkarır. Ayrıca mitral kapagın serbest hareket eden trombus tarafından tamamıyla tikanması senkop ve pulmoner konjeysona neden olabilir.

Vakat Almış yedi yaşındaki bayan hasta, acil servisimize ciddi nefes darlığı, ortopne, çarpıntı, senkop atakları ve sağ bacagında ağrı ve renk değişikliği ile başvurdu. Yâhâşik dört gündür bu şikayetlerinde muzdarip olduğunu ve daha önceden araya eforla nefes darlığı şikayeti olduğunu, ancak herhangi bir tedavi almadığını öğrendi. İlk başvuru sırasında kan basincı 100/70 mmHg, kalp hz 120/dakika idi. Fizik muayenesinde; sağ bacagi dizden itibaren soguk ve pembe ularınorma morarmış olduğu ve bacak nabızlarının peptealtı arterden itibaren alınamadığı görüldü. Akciğer muayenesinde bilateral orta zonlarda kardiovasküler raler duyuluyordu. Kardiyak muayenesinde apikalde diystostolik rulman ve mitral açılıma sesi incevutlu ve intermittent türümün kaybaldığı görüldü. Tele kardiografisinde kardiyoomegali, pulmoner venoz konjeyson ve pulmoner arterlerin dilate olduğu görüldü. Bu ilk değerlendirme sonrası MD düzünlüğün hastaya acil ekoangiografi yapıldı. Transtoraksik ekoangiografi ile sol atriyum içinde serbest hareket eden 3.9x3.6 cm büyükliğinde ve intermittent mitral kapagi tamamen tikyan trombus görüldü (Figür 1). Mitral kapakta ikimur olsadığı M-mod renkli Doppler ile doğrulandı (Figür 2). Mitral kapak alanı=1.4 cm² (PHT) ve pulmoner arter basincı 55 mmHg olarak ölçüldü. Acil atip ekstremiteler Doppler ultrasonografide tibial arterin trombusla sıkış olduğu görüldü. Hastaya kateterizasyon yapılmadan acil cerrahiye verildi.

Tartışma: Sol atriyum ball trombus çok nadir görülür. İlk kez 1814 yılında MD olan 15 yaşındaki bir kızda otopside tanımlanmıştır. Klinik tanı zordur, fakat MD ve atriyal fibrilasyonu ve intermittent veya değişen üfürümü olan hastalarda şüphelenilebilir. Sol atriyumda serbest hareket eden trombusun不稳定 naturundan dolayı tanı konulur konulmaz trombus cerrahi olarak çıkarılmalı ve eş zamanlı olarak da alta yatan patoloji düzeltilmelidir. Sonuç olarak MD ve atriyal fibrilasyonu olan ve senkopla başvuran hastalarda ayıncı tanıda sol atriyal trombus da düşünülmelidir.



P-171

PEDIATRİK YAŞ GRUBUNDA ARİTMİLERİN RADYOFREKANS KATETER ABLASYONU: İLK DENYEYİMLERİMİZ

Basri Amasyali, Ayhan Kılıç, Sedat Köse, Kudret Aytemir*, Gülmismer Heper**, Izzei Tandoğan***, M.Koray Lenk, Ersoy Işık

Gülnâhe Askerî Tip Akademisi, Kardiyoloji Anabilim Dalı, Hacettepe Üniversitesi Tip Fakültesi, Kardiyoloji Anabilim Dalı*, Ankara SSK Bölge Hastanesi, Kardiyoloji Bölümü**, Eskişehir Cumhuriyet Üniversitesi Tip Fakültesi, Kardiyoloji Anabilim Dalı***, Sivas

Giriş: Bu yazında çocuklarda taşarıtmımların radyofrekans kateter ablasyonu (RFKA) ile tedavisinde ilk deneyimlerimiz sunulmaktadır. **Yöntem:** Merkezimizde 16 yaş ve altında 21 hastaya RFKA uygulandı. Olguların yaşları 10.4±4.2 yıl, vücut ağırlığı 32.1±10.0 kg (22-55 kg), 13 erkek ve 8 kızdan oluşuyaktaydı. Taşkırdı dokümente edilebilen veya öyküsü kuvvetle taşarırtımı düşündürünen olgular öncelikle fizik muayene, yüzey EKG, telekardiografi ve ekokardiyografi ile değerlendirildiler. Bir olgudaki inferior vena kava kesintisi ve azigos ven devamlılığı dışında diğer olgularda yapısal anomaliler saptanmadı. Ortalama 8 saatlik açılıt sonrası laboratuara alınan olgulara derin sedasyon ve lokal anesteziz altında femoral venler kullanılarak yüksük sağ atriyum, His demeti, koroner sinus ve sağ ventrikül apektine tansal elektro kateterler yerleştirildi. Hastaların elektrofizyolojik tanıları 9 olguda nivôventriküler nodal reentrant taşkırdı, 7 olguda gizli aksesuar yola bağlı ortodromik taşkırdı, 3 olguda Wolf-Parkinson-White sendromu, 2 olguda idiyotipik sol ventriküler taşkırdı olarak belirlendi. **Bulgular:** Tüm olgularda programlı elektriksel stimülasyon ile taşkırdı indüklenidi ve 4-mm çaplı ablasyon ve haritalama kateteri ile uygun bölgelere RF enerji vererek tedavileri sağlandı. Tüm olgularda ablasyon işlemi başarılı oldu. Bir günlik gözlem sonrası tabure edilen hastalarda ortalama 17.6±3.3 aylık izlem süresince rekürrens ve komplikasyon gözlemlenmedi. Sonuç: Pediatrik hastalarda RFKA ile ilgili deneyimler artmaktadır. Çocuklarda RFKA konusundaki endişeler, taşarıtmımların doğal seyri, küçük kalplerde RFKA kateterlerinin kullanımını ile ilgili teknik sorunlar ve gelişen miyokard üzerinde RF uygulamanın uzun dönemdeki potansiyel etkileri üzerinde yoğunlaşmaktadır. Kullanılan malzemelerin boyulları çocuk yaş grubuna uygun olarak giderek küçülmektedir. Operatör deneyiminin artışı ile paralel olarak başarı istikrarlı bir şekilde artmaktadır, komplikasyon oranları azalmaktadır. Taşkırdı ve buna bağlı hemodinamik bozulma ile başvuran çocukların RFKA'nın etkili ve güvenli bir tedavi yöntemini olduğu sonucuna varıldı.

Elektrofizyoloji-Aritmi, Ablasyon Pacemaker

P-172

TAKILABİLEN KARDİYOVERTER DEFİBRİLATÖR UYGULAMASININ ERKEN VE GEÇ DÖNEM KOMPLİKASYONLARI

Kamil Adalet, Ahmet Kaya Bilge, Beste Özben, Ercüment Yılmaz, Mehmet Meriç, Faruk Erzengin

İstanbul Üniversitesi İstanbul Tıp Fakültesi, Kardiyoloji Anabilim Dalı, İstanbul

Bu çalışmada kardiyoverter defibrilatör (IKD) takılan hastalarda gelişen komplikasyonlar İrdelendi. İkiz yedek seksen hastaya (250 E, 30 K; yaş ort. 55±14.5 yıl) 310 adet IKD takılması veya lead reposizyonu umacya ile toplam 316 işlem gerçekleştirildi. Yüzde 1'li hastaya anı kalp durması, 135'ine sürekli ventriküler taşkırdı (VT) ve 19'una da diğer nedenlerle IKD implant edildi. Etiyolojik tanı: Koroner kalp hastalığı 193, dilate kardiyomiyopati (KMP) 23, hipertrofik KMP 19, aritmogenik sağ ventrikül displazisi 15, uzun QT sendromu 8, idiyotipik kardiyak arrest 7, Brugada sendromu 2, diğerler 13 hasta. Ort. EF% 36.9±14.5; fonksiyonel kapasite 109 hastada 1, 145'inde II ve 26'sında III idi. Kirk dört (%16) hastaya ball anjiyoplasti/stent, 61'ine (%22) koroner by-pass uygulandı. On beş hastaya işlem öncesi, 7'sine de işlem sonrası konvansiyonel ya da "non-contact" haritalama ile radyofrekans kateter ablasyonu (RFA) yapıldı. Kirk sekiz (%17) hastada betabloker, 182'inde (%65) amiodaron ve 154'ünde (%55) diğer antiarritmik ilaçları kullanıldı. Yüz doksanbir (%69) hastaya tek odacıklı IKD, 85'ine (%30) çift odacıklı IKD, 3'üne (%1) biventriküler pacing+IKD ve 1'ine (%0.3) atriyal+ventriküler defibrilitör taktıldı. İşlem başarısı %100 idi. İşlem süresi 75.4±21.8 dakika idi. Cerrahi komplikasyonlar: Erken dönemde, 316 işleminin % 1.6'sında (1 hemiperikardiyum, 1 pnömotoraks, 1 hematom, 2 lead mikrodiskolasyonu), geç dönemde ise %2.8'inde (3 lead mikrodisksolasyonu, 2 lead fraktürü, 2 konnektör problemi, 1 lokal infeksiyon, 1 tromboslebit) komplikasyonlar gelişti. Hastane içinde ölüm olmadı. Diğer komplikasyonlar: Kirk altı (%16) hastada değişik nedenlerle (21 atriyal fibrilasyon, 16 sinus taşkırdı, 3 atriyal flutter, 1 AVN reentrant taşkırdı, 2 konnektör problemi, 1 interferans, 1 lead fraktürü, 1 T dalgası "oversensing") cihaz tarafından "uygunusuz şok" uygulandı. Yirmi üç (%8) hasta "multipl şoklar" nedeni ile yatarak tedavi görmüş, 7'sine RFA yapılmış ve tümünde başarılı olmuşmustur. Dokuz hastada erken (<48 ay) jeneratör tükemesi, 2'sinde konnektör problemi nedeniyle, 19 hastada ise beklenen sürede cihaz yenilendi. Ort. 39.4±24.6 (1-118 ay) aylık takip döneminde, 213 (%76) hastada indeks aritmi (VT ve/veya VF) nedeni ile IKD tarafından uygun tedavi uygulanmış, bu dönemde 18 hasta (%6) değişik nedenlerle (12 kalp yetersizliği, 2 ani kardiyak ölüm, 4 non-kardiyak ölüm) kaybedilmiştir. İki hastaya ilerleyen kalp yetersizliği yüzünden kalp nakli yapıldı. Sonuç olarak, IKD uygulamasının kabul edilebilir risklerle uygulanabilen yaşam kurtarıcı bir metod olduğu teyid edildi.

P-172

ORAL AMİODARON TEDAVİSİ SÜREKLİ VENTRIKÜLER TAŞIKARDİ İNDÜKLEMESİ奈ON EMİYOR

Erdem Diker, Nermi Çakıcı, Alper Canbay, Nihal Akar, Deniz Şahin, Murat Sakallı, Özgür Uçar, Sinan Aydoğdu

Ankara Numune Eğitim ve Araştırma Hastanesi, Ankara

Amaç: Yapısal kalp hastalığı (YKH) zemininde ortaya çıkan sürekli ventriküler taşkırdılarda (S-VT) oral amiodaron (A) sıklıkla kullanılan, kısmen etkinliği olduğuna inanılan bir tedavi yöntemidir. Bu çalışmada YKH zemininde S-VT olan olgularda bir aylık A tedavisinin S-VT indüklenebilirliği üzerine etkisi araştırılmıştır.

Yöntem: Çalışmaya spontan S-VT veya senkubo olup, antiarritmik ilaç almadan yapılan elektrofizyolojik çalışmada (EFC) sürekli VT indüklenen 15 olgu (11 koroner arter hastalığı, 3 iskemik olmayan dilate kardiyomiyopati, 1 aritmogenik sağ ventrikül displazisi, ortalama yaşı 61, 5 ± 14.9 yıl, 11 erkek, 4 kadın) alındı. S-VT indüklenen hastalar defibrillatör implantasyonu kararı alındıktan sonra, bekleme süresi içerisinde (1 ayda toplam 11.2 gr) oral A verildi. Ardından EFC ile ayni stimulasyon protokoli tekrarlandı. Bulgular: Hastaların ortalama sol ventrikül ejeksiyon fraksiyonu %37.2 ± 6.6 idi. A öncesi ventriküller efektif refrakter periyodu (VERP) 400 ms pacing ile 204.0 ± 5.4 ms bulundu. Hastaların tümünde 2 veya 3 ekstrastimulus ile sıklık uzunluğu ortalama 264.0 ± 37.8 ms olan S-VT veya ventriküler fibrilasyon (VF) indüklandı. A sonrası 1. ayda VERP 246.0 ± 15.1 ms (p=0.002) bulundu. Tüm hastalarda benzer stimulasyon protokolü ile sıklık uzunluğu 250.0 ± 60.4 ms (p>0.05) olan S-VT veya VF indüklenmedi. Hiçbir hasta A sonrası VT indüklenemez hale gelmedi.

Sonuç: YKH zeminde olan S-VT'lerde bir aylık yükleme dozunu içeren amiodaron tedavisi sonrası S-VT indüklenebilirliği değişmez.

Elektrofizyoloji-Aritmi, Ablasyon Pacemaker

P-173

FASİKÜLOVENTRİKÜLER AKSESUAR YOLLARIN KLINIK OZELLİKLERİ

Ata Kırılmaz, Ergün Demiralp, Fethi Kılıçaslan*, Murat Yalçın,
Kürşad Erinc, Oben Baysan**, Eralp Ulusoy, Mehmet Uzun**,
Mehmet Dingtürk

Gülhane Askeri Tıp Akademisi, Haydarpaşa Eğitim Hastanesi, Kardiyoloji Kliniği, İstanbul
600 Yataklı Mevkii Asker Hastanesi, Kardiyoloji Servisi, Ankara*
Gülhane Askeri Tıp Akademisi, Kardiyoloji Anabilim Dalı, Ankara**

Amaç: Klüsük olarak atrial doku ile ventriküler dokuyu birbirlerine bağlayan aksesuar yollar yanında atipik yerlesim gösteren aksesuar yollar da mevcuttur. Elektrofizyolojik çalışmalarında (EFÇ) bazen sadece seyirci olarak, bazen de reentrant taşikardi halsasının bir parçası olarak yer alırlar. Bu çalışmada çok ender izlenen ve elektroanatomik özelligini nedeni ile aritmije neden olanın fasiküloventriküller aksesuar yolların (FVAY) elektrofizyolojik ve klinik özelliklerini incelemeyi amaçlıyoruz.

Yöntemler: Çarpıntı şikayetinin nedeni ile tanısal veya tedavi amaçlı elektrofizyolojik çalışmaya alınan 400 hastadan fasiküloventriküller aksesuar yol saptanmış 4’ü olgu elektrofizyolojik ve klinik olarak incelemmiş ve tanı kriterleri belirlenmiştir. Bu hastaların demografik özellikleri ve semptom dereceleri 30 yaş altında benzer şikayetleri ile EFÇ yapılan 290 hasta ile karşılaştırılmıştır.

Bulgular: FVAY’lu hastaların demografik özellikleri diğer grupla anlamlı bir fark göstermemektedir, ancak semptom dereceleri daha azdır (tablo). Hiçbir vakada FVAY’ın sorunu olduğu taşikardi indüklenmemiştir. 1 hasta AVNRT, 1 hasta AVRT indüklenmemiştir. 1 hasta dual AV nodal fizyoloji saptanmıştır. 1 hasta taşikardi indüklenmemiştir. Tüm vakalarda aksesuar yol “bystander” olarak yer almıştır. İki vakada aksesuar yol üzerinden retrograd ileti saptanmıştır. AF ostantran 3 hasta da hemodinamik bozulmamıştır. IV propafenon (140 mg) 4 hastanın 3’ünde kısa süreli olarak aksesuar yolun integrat ilerisini bloke etmiştir.

Sonuç: Yapılan EFÇ sonucunda aşağıdaki kriterler Fasiküloventriküller aksesuar yolların tanı kriterlerine olarak sunulmuştur. (1) kusa PR aralığı; (2) septal lokalizasyonu destekleyen siliç delta dalgası; (3) AH uzamasına karşılık sabit HV aralığı (20 msec üzerinde değişiklik göstermemeyen); (4) preeksitasyon varlığı için AV noda bağlı olması (5) çarpıntıya neden olmaması ve (6) basal AH intervalının kusa olması.

Tablo. Parametrelerin karşılaştırılması

Parametre	FVAY hastaları (n=4)	EFÇ yapılanlar hastaları (n=290)	P değeri
Yaş (yıl)	22±3	22±3	AD
Cins (Erkek/kadın)	4/0	231/59	AD
Boy/kilo (cm/kg)	173±3/67±7	174±7/69±10	AD
1 yılda toplam minimum/maksimum çarpıntı süresi (saat)	2±2/15±63	77±141/333±1300	<0.05/<0.05

AD: anlamlı değil

P-175

“PERMANENT JUNCTIONAL” RESİPROKAN TAŞIKARDİ OLGULARINDA KATETER ABLASYON UZUN DÖNEM TAKİP SONUÇLARI

Basri Amasyali, Sedat Köse, Kudret Aytemir*, Güllümser Heper**, İzzet Tandoğan***, Hurkan Kurşaklıoğlu, Atila İyisoy, Turgay Çelik, U.Çağdaş Yıldız, Ersay Işık

Gülhane Askeri Tıp Akademisi, Kardiyoloji Anabilim Dalı, Ankara
Hacettepe Üniversitesi Tip Fakültesi, Kardiyoloji Anabilim Dalı, Ankara*
SSK Bölge Hastanesi, Kardiyoloji Bölümü, Eskişehir**
Cumhuriyet Üniversitesi Tip Fakültesi, Kardiyoloji Anabilim Dalı, Sivas***

Giriş: Permanent junctional resiprokan taşıkardi (PJRT), atrioventriküler reentrant taşıkardilerin oldukça nadir görülen bir formu olup, dekremental retrograd ileti özelligini gösteren aksesuar yollarla bağlı olarak olmaktadır. İlaç tedavisi dirençli incessant formda olabilmesi sebebiyle sıkılıkta taşıkardide bağlı kardiyomyopati olusturma eğilimi göstermektedir. Bu çalışmada PJRT’ın nedeniyle merkezimizde radyofrekans kateter ablasyon (RFKA) işlemi uygulanan hastalarla, PJRT’ın elektrofizyolojik özellikleri, başarılı ablasyon bögelerinin detaylı lokalizasyonu ve taşıkardide bağlı gelgen kardiyomyopatının uzun dönem takip sonuçları sunulmuştur.

Yöntem: Çalışmaya 8’i erkek 3’ü kadın olmak üzere toplam 11 hasta dahil edildi.

Hastaların ortalaması yaşı 30±5 yıl idi (21-35). Hastaların tümünden tbbi tedavi ile kontrol edilemeyen taşıkardi atakları mevcuttu. 3 hasta taşıkardide bağlı kardiyomyopati vardı.

Bulgular: Elektrofizyolojik çalışmada hastaların tamamında klinik taşıkardi örneğinde dar QRS kompleksli taşıkardi indüklandı. Taşikardi sıkılık uzunluğu ortalaması 331±29 msec idi. Tüm olgularda RFKA işlemi ile aksesuar yol iterimi ortadan kaldırıldı. Ventriküler stimülasyon ya da taşıkardi altında en erken retrograd atrial aktivasyonun tespiti edildiği başarılı ablasyon bölgesinde 9 olguna (%82) sağ posteroseptal, 1 olguna (%9) sağ midseptal ve 1 olguna (%9) da sol posterolateral bölgelerde lokalize idi. Posteroseptal bölge lokalizasyonu gösteren 1 olguna başarılı ablasyonu uygulaması “middle kardiyak ven” içinden sağlanmıştır. Ablasyon işlemi ortalaması işlem süresi 91±7 dk., floroskopik süresi 24±5 dk. ve Radyofrekans enerji sayısı da 5±1 idi, 21±10 aylık takip dönemi boyunca hiçbir hasta nüks gözlemlenmedi. Taşikardide bağlı kardiyomyopati bulunan 3 olgunun tamamında ablasyon sonrası ilk 6 ay içerisinde sol ventrikül ejeksiyon fraksiyonu düzeltilti (%42±3 %’ye karşı %66±6, p<0.007).

Sonuç: PJRT olgularından sorumlu aksesuar yollar sıkılıkla posteroseptal bölge lokalizasyonu göstermekle birlikte, mitral ve triküspid kapak anülüsünün herhangi bir bölgesinde yerleşim gösteremek bilir. İlaç tedavisi dirençli olmaları ve RFKA işlemi ile etkili ve güvenli bir şekilde tedavi edilebilmeleri sebebiyle, PJRT olgularında RFKA işlemi tercih edilecek tedavi seçeneklerinin başında gelmelidir.

P-174

SOL YERLEŞİMLİ AKSESUAR YOLLARIN ABLASYONUNDAN TEK KATETER YAKLAŞIMININ KONVANSİYONEL YÖNTEMLE KARŞILATIRILMASI

Basri Amasyali, Sedat Köse, Kudret Aytemir*, İzzet Tandoğan**, Hurkan Kurşaklıoğlu, Atila İyisoy, Turgay Çelik, Ayhan Kılıç, Ersay Işık

Gülhane Askeri Tıp Akademisi, Kardiyoloji Anabilim Dalı, Ankara
Hacettepe Üniversitesi Tip Fakültesi, Kardiyoloji Anabilim Dalı, Ankara*
Cumhuriyet Üniversitesi Tip Fakültesi, Kardiyoloji Anabilim Dalı, Sivas**

Giriş: Sol yerlesimli aksesuar yolların kateter ablasyonunda farklı teknikler kullanılabilmektedir. Bu çalışmada, sol yerlesimli aksesuar yol bulunan Wolff-Parkinson-White sendromlu olgularda tek kateter teknigi kullanılarak yapılan radyofrekans kateter ablasyon (RFKA) işleminin konvansiyonel teknige göre kısa ve uzun dönem klinik takip sonuçları sunulmaktadır. Yöntem: Merkezimizde sol yerlesimli aksesuar yola bağlı aşikar preeksitasyon bulunan 36 hasta (Grup-1, %61’i erkek, ortalaması yaşı 34±11) tek kateter teknigi ile 158 hasta (Grup-2, %60’ı erkek, ortalaması yaşı 31±15) yüksek sağ atriyum, His demet ve koroner sinüs kateterlerinin kullanımındaki konvansiyonel yöntemle RFKA işlemi uygulanmıştır. Tek kateter tekniginde sadece ablasyon kateteri kullanılarak retrograd transaortik yaklaşımın mitral anüfusde haritalama ve ablasyon işlemi uygulanmıştır. Hedef bölgele 70 derece ısı kontrolünde Radyofrekans enerjisi uygulanmıştır. Her iki grupta da tüm olgularda RFKA işlemi başarılı oldu. Tek kateter teknigi ile RFKA işlemi uygulanan bir olguda sol yerlesimli çift aksesuar yol tespiti edildi ve ikinci aksesuar yol da aynı teknike hazırlıya ablate edildi. Grup-1’de işlemi floroskopı süreleri belirgin olarak daha kısaydı (Tablo-1). 27±11 aylık takip dönemi boyunca Grup-2’de 1 hasta nüks gözleendi ve ikinci seansta konvansiyonel RFKA işlemi ile başarıyla tedavi edildi.

Sonuç: Sol yerlesimli aksesuar yollarında tek kateter teknigi konvansiyonel yöntemle aynı oranda etkili ve yüksek başarı oranlarıyla birliktedir. Floroskopı sürelerinin daha kısa olması nedeniyle tek kateter tekniginde operatör ve hastanın daha az radyasyona maruz kalması önemli bir kazançtır.

Tablo 1. Grupların RFKA verileri

	Grup-1 (n=36)	Grup-2 (n=158)	p
RF sayısı	4,3±4,6	3,9±5,5	>0,050
İşlem Süresi (dk)	41±12	79±20	<0,001
Floroskopı Süresi (dk)	17±4	26±5	<0,001
Rekürrens n (%)	-	1(1)	>0,050
Takip (ay)	29±13	26±11	>0,050

P-176

SOL VENTRİKÜLER FAŞİKÜLER TAŞIKARDİLERİN BAŞARILI ABLASYONUNUN ÖNGORÜLMESİ

Ata Kırılmaz, Ergün Demiralp, Fethi Kılıçaslan*, Kürşad Erinc**, Eralp Ulusoy, Oben Baysan**, Mehmet Uzun, Mehmet Dingtürk

Gülhane Askeri Tıp Akademisi, Haydarpaşa Eğitim Hastanesi, Kardiyoloji Kliniği, İstanbul
600 Yataklı Mevkii Asker Hastanesi, Kardiyoloji Servisi, Ankara*
Gülhane Askeri Tıp Akademisi, Kardiyoloji Anabilim Dalı, Ankara**

Amaç: Fasiküler ventriküler taşıkardiler (VT) mekanizmasını artırmış otomatikleşme veya “middle” olabiliyor, tedavide verapamil ve cevap veren, yapısal olarak normal kalplerde oluşan sık izlenmeyecek bir nonisemik VT’dir. Radyofrekans ablasyonu kateter tedavi sağları. Başarılı ablasyonun öngörülmesinde klinik ve elektrofizyolojik kriterler tam olarak saptanmıştır. Bu çalışmada fasiküler VT nedeni ile elektrofizyolojik çalışmaya alınan ve ablasyon denenen hastalarda kateter başarının öngörülmeli anlaşılmamıştır.

Yöntemler: Fasiküler VT nedeni ile tedavi amaçlı elektrofizyolojik çalışmaya alınan ve ablasyon uygulanan fasiküler VT’li 5 hasta çalışma grubunu oluşturmuştur. Hastaların demografik ve klinik özelliklerini ile elektrofizyolojik çalışma parametreleri başlangıçta nedeni VT’li ablasyonu uygulanan 15 hasta grubu (kontrol grubu) ile karşılaştırıldı. Bulgular: Fasiküler VT’li hastaların demografik özellikleri ve semptom dereceleri kontrol grubu ile anlamlı bir fark göstermedi. Diğer parametreler tablodada gösterilmiştir. Sonuçlar: Fasiküler VT’nin başarılı ablasyonunun öngörülmesinde Purkinje potansiyeli veya devamlı aktivasyonun varlığı anımlı değer taşımaktır. Lokal aktivasyon zamanı kisa olması ve ‘pacematch’in başlığı öngörmektedeki yetersizliği Purkinje sisteminin reentrant halka içinde yer almamasına bağlanmıştır.

Tablo. Parametrelerin karşılaştırılması

PARAMETRE	Fasiküler VT hastaları (n=5)	Kontrol grubu (n=15)	P değeri
Yaş	27±8	24±6	Anlamlı değil
Cins (Erkek/kadın)	5/0	12/3	Anlamlı değil
Boy/kilo (cm/kg)	175±5/77±9	173±5/70±6	Anlamlı değil
Başarılı RF ablasyonu	5/0	9/6	-
Pace matching (12’de 10)	1/4	11/4	0,075
Lokal aktivasyon zamanı	11±8	25±11	0,02
Purkinje potansiyeli veya Fraksiyonel aktivasyon	4/1	4/11	0,075
RF sayısı	9±6	7±4	Anlamlı değil
En yüksek ısı (C)	63±11	59±6	Anlamlı değil
Toplam RF süresi	186±60	182±116	Anlamlı değil

RF: radyofrekans uygulaması

P-177

AVR'DEKİ ST SEGMENT YÜKSELMESİ DAR QRS KOMPLEKSLİ TAŞIKARDİLERDE TAŞIKARDİ TİPİNİ GÖSTERİR Mİ?

Erdem Diker, Tuğba Kayhan, Nihal Akar, Alper Canbay, Murat Sakallı, Deniz Şahin, Özgül Uçar, Sinan Aydoğdu

Ankara Numune Eğitim ve Araştırma Hastanesi, Ankara

Amaç: Dar QRS kompleksli taşikardilerde yüzey EKG'si ile taşikardı tipini ayırt etmek her zaman kolay değildir. Bu çalışmada, taşikardi sırasında aVR derivasyonundaki ST segment yükseltmesinin varlığını göre, taşikardı tipini tanyum tanyamayacağımız araştırılmıştır.

Yöntem: Çalışmaya dar QRS kompleksli taşikardisi olup, elektrofizyolojik çalışma ile atrioventriküler nodal reentrant taşikardi (AVNRT) ve atrioventriküler reentrant taşikardi (AVRT) tanısı konan 52 hasta (ortalama yaşı 42.4 ± 6.7 yıl, 28 erkek, 24 kadın) alındı. Çalışmada indüklenen taşikardide dalgıç morfolojisi olan 4 hasta çalışmaya dışı bırakıldı. Kalan hastalarda AVR derivasyonunda 1 mm ve üstündeki ST segment yükseltmesi olup olmadığı bağımsız bir göz tarafından değerlendirildi. Bulgular: AVNRT'si olan 32 hastanın 6'sında (%18) aVR'de ST yükselmesi varken, AVRT'si olan 16 hastanın 14'ünde (%87) aVR'de ST yükselmesi tespit edildi. AVNRT siklus uzunluğu 331.0 ± 37.7 ms, AVRT siklus uzunluğu 305.0 ± 32.8 ms ($p>0.05$), aVR'de ST yükselmesi olmayan olgularda taşikardı siklus uzunluğu 339.0 ± 32.6 ms, olan olgularda 299.0 ± 32.0 ($p=0.008$) bulundu. AVR'deki ST yükselmesinin taşikardı tipini göstermedeki sensitivitesi %87.5, spesifisitesi %81.2, pozitif prediktif değeri %70, negatif prediktif değeri %92.8 olarak hesaplandı.

Sonuç: Bu çalışmada taşikardi sırasında AVR derivasyonunda 1 mm ve üstündeki ST segment yükseltmesi bulgusunun varlığının taşikardı tipini tayininde yardımcı olduğu, ancak bu yükselenmenin taşikardı hızı ile ilişkili bir fenomen olabileceği sonucuna varılmıştır.

P-179

BİVENTRİKÜLER ICD SİSTEMLERİ İLE KONVANSİYONEL ICD SİSTEMLERİNİN VENTRİKÜLER TAKİARİTMİ BURDEN ANALİZİ AÇISINDAN KARŞILAŞTIRIMLARI

Cengiz Ermis

Akdeniz Üniversitesi Tip Fakültesi, Kardiyoloji Anabilim Dalı, Antalya

Giriş: Biventriküler (BiV) uyarı kalp yetmezliği (KY) vakalarında önemli hemodinamik kayıtlar sağlar. Ancak BiV uyarının ventriküler takiaritmî (VTA) duyarlılığını azaltıp azaltmadığı ise daha az belirginidir. Bu konuyu araştırmak amacıyla BiV ya da konvansiyonel implant edilebilir kardiyovertör defibrillatör (ICD) uygulanan hastalarda prospektif izlem sırasında kaydedilen VTA'ların sikligını (aritmî burden analizi) gözlemezdik.

Yöntem: 1998 ve 2002 yılları arasında BiV ya da konvansiyonel ICD sistemleri takılan 57 ardışık hasta klinik ve ICD bilgileri incelendi. Ventriküler Takikardi (VT) ve Ventriküler Fibrilasyon (VF) epizotları cihaz programlarının uygun şekilde tamamlandı. İstatistiksel karşılaştırmada Ki-kare, Fisher testi ve t-testi kullanıldı.

Bulgular: 18 (31.6%) hastada BiV ICD ve 39 (68.4%) hastada konvansiyonel ICD implantasyonu uygulandı. BiV ICD hastalarında, BiV pacing'in takip süresince zamanının >85% inde gerçekleştiği, konvansiyonel ICD vakalarında ise ventriküler pacing'in takip süresince zamanının <20% inde gerçekleştiği gözleendi. Ortalama takip dönemi BiV ve konvansiyonel gruplar için sırasıyla 15 ± 10 ve 18 ± 21 ay idi. Ortalama yaşı (66 ± 11 ve 71 ± 11 yıl), erkek-bayan oranı (4.5 ve 2.6), sol ventrikül ejeksiyon fraksiyonu (23±6% ve 23±11%), ilk geliş aritmisi ve bağlı semptomlar ve kuşkuulan ilaçlar gibi klinik ve demografik özellikler BiV ve konvansiyonel ICD hastaları için benzerdi. BiV ve konvansiyonel ICD grupları için hasta başına her ay görülen toplam VT, VF epizot sayısı (takiaritmî burden) sırasıyla 0.01 ± 0.04 ve 0.3 ± 1.2 idi ($p=0.3$). Her iki grup için sırasıyla tek olarak VT burden incelenmesinde bu sayılar 0.01 ± 0.02 ve 0.2 ± 0.7 ($p=0.3$). VF burden incelenmesinde ise 0.01 ± 0.02 ve 0.08 ± 0.4 ($p=0.5$) olarak hesaplandı. Konvansiyonel ICD grubuna oranla BiV ICD hastalarında ortalama aritmî süresinin daha kısa (0.2 ± 0.6 sn ve 19 ± 89.7 sn) ve ortalama siklüs boyunun daha uzun (357 ± 59.4 msn ve 308 ± 17.3 msn) olduğu gözlemlendi.

Sonuç: BiV ICD hastalarında, konvansiyonel ICD vakalarına oranla spontan VTA burden ve VTA süresi daha kısa ve VTA siklüs boyu da uzun olma eğilimindedir. Bu bulgular benzer kalp hastalığı ciddiyetinde sahip bireyleerde BiV uyarıının daha az VT ile birlikte olduğunu ve bu nedenle bu hastalarda uzun dönemde daha az ICD tedavi girişimlerine ihtiyaç duyulacağının öne rmektedir.

P-178

ELEKTROFİZYOLOJİ KORONER SINÜS KATETERİNİN FEMORAL VEN YOLU İLE YERLEŞTİRİLEBİLMESİ EKOKARDİYOGRAFİK OLARAK ÖNGÖRÜLEBİLİR

Ata Kirılmaz, Ergün Demiralp, Mehmet Uzun*, Fethi Kılıçalan, Kürşad Ering, Eralp Ulusoy, Namık Özmen, Bekir Sütki Cebeci

Gülhane Askeri Tıp Akademisi, Haydarpaşa Eğitim Hastanesi, Kardiyoloji Kliniği, İstanbul
Gülhane Askeri Tıp Akademisi, Kardiyoloji Anabilim Dalı, Ankara*

Amaç: Elektrofizyolojik çalışmalarla (EFC) koroner sinüs (KS) kanal kateterlerin yerleştirilmesi aritmilerin tani ve tedavisinde önemli bir maniplasyondur. KS, özellikle distal kısmı, en kolay sağ juguler veden kanilize edilir. Ancak hasta konforu ve işlem süresi göz önüne alındığında femoral veden kateterin yerleştirilmesinin avantajları mevcuttur. Ekokardiyografik olarak özellikle modifiye parasternal kisa eksen ile KS'ün ilk birkaç santimetresini görmek ve sağ atriyum ile ilişkisini değerlendirmek mümkündür. Bu çalışmada KS kateterinin femoral ven yolu ile yerleştirilebilmeye başarısının ekokardiyografik olarak öngörlümesi amaçlanmıştır.

Metodlar: Çalışmaya EFC planlanan ve femoral ven yolu ile KS kateteri yerleştirilmesi istenen hastalar aldı. Bu hastalarda EFC öncesi veya sonrasında ekokardiyografik değerlendirme yapıldı. Femoral ven yolu ile KS'e kateter yerleştirilebilen (Grup 1, n=44) ve yerleştirilemeyen (Grup 2, n=12) olmak üzere iki gruba ayrılan hastalar ekokardiyografik parametreler yönünden karşılaştırıldı. Apikal 4-oda görüntüde sağ atrial parametreler değerlendirilirken, posterior tilt hareketi ile koroner sinus gösterilerek KS ağzının genişliği ve septum-KS arası açı (KS çıkış açısı) saptandı. Ayrıca sistol ve diastolda KS ağzının yer değiştirmeye miktarı da ölçüldü. Sonuçlar t testi ile karşılaştırıldı.

Bulgular: Sonuçlar aşağıdaki tabloda özetiştir.

Sonuç: Koroner sinüs femoral ven yolu ile kateter konup konamayacağı öncesi yapılacak ekokardiyografik incelemede öngörlülebilir. Hastanın yaşının hieri olması, koroner sinüs ağzının dar olması, septumda koroner sinüs arasındaki açının geniş olması kateterizasyonu zorlaştırmaktadır.

Gruplar arasında değişkenlerin karşılaştırılması

Değişken	Grup 1 (n=44)	Grup 2 (n=12)	P değeri
Yaş	24 ± 7	35 ± 12	0.01
Vücut yüzey alanı (m^2)	1.8 ± 0.5	1.9 ± 0.3	AD
Sağ atriyum alanı (cm^2)	13.3 ± 2.3	11.2 ± 3.4	AD
Sağ atriyum çevresi (cm)	13.7 ± 1.1	11.3 ± 1.8	AD
Sağ atriyum ön-arka çapı (cm)	34 ± 4	31 ± 7	AD
KS ağzı genişliği (mm)	10 ± 3	7 ± 3	0.048
KS çıkış açısı	116 ± 17	143 ± 25	0.043
KS ağzı hareketi (mm)	13 ± 3	14 ± 4	AD

AD: Anlamlı değil. KS: Koroner sinüs

P-180

HASTA SINÜS SENDROMU NEDENİ İLE PACEMAKER TAKILAN OLGULARDA ATRIAL FİBRİLASYON GELİŞİMİNİ ETKİLEYEN FAKTORLAR

Kenan Aydin, Murat Yesil, Serdar Bayata, Nusen Postaci, Mustafa Karaca, Erdinç Arıkan, Serdar Biçeroglu

İzmir Atatürk Devlet Hastanesi, Kardiyoloji, İzmir

Metod: Hasta Sinüs Sendromu nedeniyle kalıcı pacemaker implantasyonu gereken ve implantasyon esnasında sinüs ritiminde olan 31 olgu çalışmaya aldı. Olguların 10'una DDD pacemaker (grup 1), 21'ine VVI pacemaker (grup 2) takıldı. Çalışma sonnamı noktası olarak atrial fibrilasyon (AFib) gelişimi seçildi.

Sonuçlar: DDD pacemaker'lı olgular 7.8 ± 2.6 yıl süre ile, VVI pacemaker'lı olgular 7.4 ± 2.8 yıl süre ile takip edildi. Çalışma sonunda DDD grubunda hiç AFib gelişmemekten, VVI grubundaki 7 hastada (%33) AFib geliştiği gözleendi. DDD ve VVI takılan ve takipte AFib gelişmeye hastaların implantasyon öncesi ve çalışma sonundaki kalp hızları ve PR değerleri mukayese edildiğinde gruplar arasında anlamlı bir fark bulunmadı. Sonuçlar tabloda gösterilmiştir. AFib gelişen ve gelişmeyen VVI pacemaker'lı hastaların implantasyon öncesi değerleri mukayese edildiğinde iki grup arasında cinsiyet, yaşı, pacemaker öncesi P amplitüsü ve PR stresi bakımından anlamlı bir fark olmamakla birlikte pacemaker takılı öncesi kalp hızları bakımından her iki grup arasında anlamlı bir fark bulundu. Takipte AFib gelişmeyen VVI pacemaker'lı hastalarda implantasyon öncesi kalp hızı 65 ± 17 iken, AFib gelişenlerde bu hız 50 ± 9 idi ($P<0.005$). Özeti: Sinüs ritimindeki hasta sinüs olgularına DDD pacemaker implant edildiğinde VVI pacemaker implantasyonunu göre, takipte çok daha az AFib geliştiği, VVI pacemaker takıflarında ise implantasyon öncesi kalp hızı yavaşlığının AFib gelişim riskini artırdığı söylenebilir.

Elektrofizyoloji-Aritmi, Ablasyon Pacemaker

P-181

İKİ ODACIKLI KALICI KALP PİLİ OLGULARINDA VVI UYARIMIN P DALGA DISPERSİYONUNA ETKİSİ

Basri Amasyali, Kudret Aytemir, Sedat Köse, İlknur Can*, Ayhan Kılıç, Ali Oto*, Eisoş İşik*

Gülhane Askeri Tıp Akademisi, Kardiyoloji Anabilim Dalı, Ankara
Hacettepe Üniversitesi Tıp Fakültesi, Kardiyoloji Anabilim Dalı, Ankara*

Giriş: Atrial fibrilasyon (AF) oranı VVI mod uyarımı olgularda DDD mod uyarımı olgulara oranla daha fazladır ancak olası mekanizma henüz tam olarak anlaşılmış değildir. Bu çalışmada P-dalga dispersiyonunu kullanarak kısa dönem VVI uyarımın atriyal refrakterlikte dispersiyona yol açıp açmadığı araştırılmıştır.

Yöntem: DDD modlu pacemaker programına sahip 47 hasta (32 erkek, 15 kadın, ortalama yaşı 54 ± 13 yıl) çalışmaya aldı. Hastaların tamamından bir haftalık gözlem periyoduonda sonra VDD mod uyarımı altında 12 derivasyonlu yüzey EKG kaydi alındı. Daha sonra pace modu VVI'ye alınarak bir haftalık gözlem sonucunda 12 derivasyonlu EKG kayıtları tekrarlandı. VDD ve VVI modlarında kaydedilmiş olan EKG'lerin tüm derivasyonlarında P dalga süreleri hesaplandı. Maksimum P (Pmax) ve minimum P (Pmin) dalga süreleri arasındaki fark P dalga dispersiyonu (PWD) olarak değerlendirilmeye aldı ($PWD = P_{max} - P_{min}$).

Bulgular: VVI uyarım altında elde edilen maksimum P dalga süresi VDD uyarım altındaki oranla anlamlı ölçüde daha VVI ve VDD uyarım arasında minimum P dalga süreleri yönünden anlamlı fark yoktu. VVI uyarımında P dalga dispersiyonu değeri VDD moduna göre daha yükseldi (Tablo 1). Sonuç: Kısa-dönem VVI uyarım Pmax uzanmasına ve PWD'nin artışı neden olmuştur. Bu durum, VDD mod'da ile kıyaslandığında VVI mod uyarımı pacemaker implantlı olgulara daha sık gözlenen AF gelişiminden sorumlu olabilir.

Tablo 1. Değişik uyarım modlarında ölçülen P dalga parametreleri

	VDD uyarımı	VVI uyarımı	p
Pmax (ms)	113±16	128±9	0.001
Pmin (ms)	79±12	80±13	0.7
P dalga dispersiyonu (ms)	34±7	48±8	0.001

P-183

KALP YETMEZLİKLİ HASTALARDA KARVEDİLOL TEDAVİSİNİN ARİTMİ GÖSTERGELERİNE ETKİSİ

Bahri Akdeniz, İlke, Z. Savaş, Sema Güneri, Nezih Barış, Özgür Aslan, Volkan Bozdemir, Özer Badak, Önder Kirimli, Samet Uyar

Dokuz Eylül Üniversitesi Tıp Fakültesi, Kardiyoloji Anabilim Dalı, İzmir

Genel Bilgiler ve Amaç: Karvedilol tedavisi kalp yetmezlikli hastalarda aritmik mortaliteyi azaltmaktadır. Karvedilol tedavisinin çeşitli aritimi göstergelerine etkisi net olarak bilinmemektedir. Bu çalışmada Karvedilol'un kalp yetmezlikli hastalarda QT dispersiyonu ile değerlendirilen ventriküler repolarizasyon özelliklerine ve kalp hızı değişkenliğine (KHD) etkilerini incelemeyi amaçladık.

Gereç ve Yöntemler: Çalışmaya alınan fonksiyonel kapasitesi NYHA evre 2-3 olan, sistolik kalp yetmezlikli (EF<40) 23 hasta (19'u erkek, 4'u kadın ortalama yaşı 64.4 ± 9.7 yıl) prospektif olarak 6 ay izlendi. Kalp yetmezliğinin standart tedavisine ek olarak tüm hastalara 6,25 mg /gün dozunda karvedilol başlandı ve maksimum tolare edilen doza kadar çıktı. Maksimum ve minimum QT intervalleri, QT dispersiyonu ve düzeltilmiş QT dispersiyonu (QTd) başlangıçta ve tedavinin sonunda 50 m/sn hızla çekilmiş 12 derivasyonlu EKG' den hesaplandı. Zaman ve frekans domain KHD (SDNN, rMSSD, LF/HF oranı) parametreleri 24 saatlik holter EKG ile tedavinin başında ve sonunda değerlendirildi.

Bulgular: Karvedilol tedavisi ile QTd anlamlı olarak azaldı. ($60.6 \pm 18.7 - 50.1 \pm 15.1$) ($p=0.01$). QTd'da istatistiksel olarak anlamlılık sınırları yaklaşan düşme gözlemlendi ($52.3 \pm 15.6 - 46.5 \pm 15.2$ $p=0.06$). Maksimum ve minimum QTc değerlerinde tedavisi sonrası anlamlı düşmeler oldu. ($496 \pm 45.9 - 469 \pm 38.4$ $p=0.001$ ve $435.7 \pm 34.5 - 419.6 \pm 37.1$ $p=0.01$). Kalp hızı tedavi sonrası bekleniği üzere anlamlı olarak azaldı ($81 \pm 14.8 - 70.7 \pm 11.8$ $p=0.005$). Ortalama SDNN ($77 \pm 31.5 - 96.3 \pm 44.1$ $p=0.3$) rMSSD ($25 \pm 18.2 - 31.1 \pm 36.3$ $p=0.7$) ve LF/HF oranı ($3.2 \pm 2.9 - 3.9 \pm 3.7$)- karvedilol tedavisi sonrası anlamlı olarak değişmedi.

Sonuç: Kalp yetmezlikli hastalarda Karvedilol tedavisi, ventriküler repolarizasyon homojensizliğinde düzelmeye neden olurken, bu tedavinin otonomik disfonksiyona etkisi olmamaktadır.

P-182

KRONİK BÖBREK YETMEZLİKLİ HASTALARDA ATRİYAL FİBRİLASYON SIKLIĞI VE ATRİYAL FİBRİLASYON GELİŞİMİNDE ETKİLİ OLAN FAKTORLAR

İlyas Atar, Didem Koşa, Sadık Açıkel, Murathan Uyar, Aylin Yıldız, Siren Sezer, Nurhan Özdemir, Bülent Özün, Haldun Müderrişoğlu

Başkent Üniversitesi Tıp Fakültesi, Ankara

Amaç: Atrial fibrilasyon (AF) en sık karşılaşılan sürekli ritim bozukluguudur. Kronik böbrek yetmezlikli (KBY) hastalarda AF sıklığı belirgin olarak artırılmıştır. Ancak, KBY hastalarda AF gelişiminin fizyopatolojisi ve AF gelişimini artıran faktörlerle ilgili yeterli veri yoktur. Bu çalışmada KBY'li hastalardaki sürekli ve paroksismal AF sıklığını belirlemeyi ve AF gelişimini belirleyen faktörleri saptamayı amaçladık.

Yöntem: Hastanemizde en az 6 aydır HD programında olan 275 KBY'li hasta çalışmaya aldı. En az 5 dakika süre ile ritminin AF olduğu gösterilmiş olan hastalardan, zaman zaman kendiliğinden sinus ritmine dönen hastalar paroksismal, sinus ritminin hiç gözlenmediği hastalar sürekli AF olarak tanımlandı. Hastaların kardiyak risk faktörleri kaydedildi. İki diyaliz seansı arasındaki dönemde hastaların 2 boyutlu ve Doppler ekokardiyograflerinde bazal ölçütleri, kapak fonksiyonları ile sistolik ve diastolik fonksiyonları değerlendirildi. Hastaların rutin biyokimyası testleri yapıldı, hemodiyaliz girişisi ve çıkışı BUN, kreatinin, sodyum ve potasyum düzeyleri ölçüldü. **Bulgular:** Çalışmaya alınan hastaların ortalama yaşı 49.0 ± 15.8 yaşdı, 111'i kadın ve ortalama HD süreleri 5.6 ± 4.3 yıldı. Otuz hastada (% 10.9) AF saptandı ve bu hastaların 10'unda (% 3.6) sürekli AF, 20'sinde (% 7.3) paroksismal AF vardı. AF saptanın griptaki hastaların daha yaşlı olduları saptandı (62.9 ± 10.7 vs 47.3 ± 15.5 yıl; $p < 0.05$). Hipertansiyon (% 96.6 ya % 78), koroner arter hastalığı (% 72.4% vs 16.4), sistolik fonksiyon bozukluğu (% 42.3% vs 14.5) ve mitral ve/veya aort kalsifikasyonu (% 42.3% vs 16.4) sıklığının AF grubundan anlamlı oranda yüksek olduğu izlendi ($p < 0.05$). Albümün düzeyleri AF olan grupta anlamlı olarak düşükü (3.9 ± 0.6 ya 3.7 ± 0.5 mg/dl; $p < 0.05$), HD süreleri, lipid parametreleri, kalp boşluk boyutları her iki grupta benzerdi. Lojistik regresyon analizinde, sistolik fonksiyon bozukluğu varlığının ve metabolik durumun bir göstergesi olan serum albümü düzeyi düşüğünün AF' u belirlemekte bir faktör olduğu saptandı. Sonuç: Verilerimiz KBY hasta grubunda AF'nun sık gözlenen bir ritim bozukluğu olduğunu ve genellikle paroksismal AF şeklinde ortaya çıktıığını göstermiştir. Bu hasta grubunda atriyal fibrilasyon gelişimini göstermede sistolik fonksiyon bozukluğu varlığı ve albümün düşüğünü bağımsız bir faktör olarak saptanmıştır.

P-184

EPİLEPSİLİ HASTALARDA KALP HİZI DEĞİŞKENLİĞİNIN TIME VE FREKANS DOMAIN ANALİZİ

Harun Evrenç, Ömür Kuru, Dursun Dursunoğlu, Özgür Taşköylü, Asuman Kaftan, Mustafa Kılıç

Pamukkale Üniversitesi Tıp Fakültesi, Kardiyoloji Anabilim Dalı, Denizli

Kalp hızı değişkenliği (KHD), ani ölüm (AO) riski altındaki hastalarda otonom sinir sisteminin sempatik ve parasympatik dengesinin saptanması için kullanılır bir araçtır. AO, epilepsili hastalarda oldukça yaygın olup AO'nun kesin mekanizması bilinmemektedir. Epilepsili hastalarda otonom sinir sistemi fonksiyonlarını araştıran çalışma sayısı oldukça az olup sonuçları çelişkilidir. Amacımız, normal bireylerle karşılaştırıldığında epilepsili hastalarda KHD'de değişim olup olmadığını saptamaktır. İlaç tedavisi, epilepsi tanısını doğrulamak için kısa süreli kesilen jeneralize tonik klonik nobetleri olan askerlik çağında 43 erkek, hasta grubunu oluşturdu. Aynı yaş ve cinsiyettedeki 43 sağlıklı olgu, kontrol grubu olarak aldı. Frekans ve time domain parametreleri, kısa süreli kalp hızı değişkenliği analizinden elde edildi. Time domain analizinde hasta grubundan, kontrollere göre daha yüksek SDNN, SDANN ve triangüler indeks (her biri için, $p < 0.0001$) değerleri mevcuttu. Hastalarda, sağlıklı kontrollere göre daha yüksek pNN50 ve RMSSD değerleri saptandı ancak bunlar istatistiksel olarak anlamlı değildi ($p > 0.05$). Frekans domain analizinde yüksek frekans (HF) değerlerinde azalma, düşük frekansa (LF) artma ve bunun neticesinde sempatovagal uyaranın göstergesi olan LF/HF oranında anlamlı artış gözleendi ($p < 0.0001$ ve $p < 0.001$). Bulgularımız, epilepsili hastalarda kalp hızının sempatik kontrollünün artmış olduğunu göstermiştir. Bu artmış sempatik aktivite, epilepsili hastalarda ventriküler taşıartımların gelişmesinden ve kontrollerle karşılaştırıldığında epilepsili hastalarda daha sık görülen ölümlerden sorumlu olabilir.

P-185

SAĞLIKLI GENÇ BİREYLERDE CİNSİYETİN QT DİSPERSİYONU ÜZERİNDEKİ ETKİSİ

Halil Tanrıverdi, Dursun Dursunoğlu, Harun Evrengül, Mehmet Öztürk, Özgür Taşköylü

Pamukkale Üniversitesi Tıp Fakültesi, Kardiyoloji Anabilim Dalı, Denizli

Amaç: QT dispersiyonu (QTd), 12 kanallı yüzey Elektrokardiyografi (EKG)'de derivasyonlar arası QT değişkenliği olarak tanımlanmaktadır ve ventriküler depolarizasyon bölgeleri değişikliklerini yansıtıcı kabul edilmektedir. Artmış QT dispersiyon mortaliteyi bağımsız bir prediktördür. Kadınlarda uzun bir QT intervalline sahip olmalarına rağmen aynı ölüm sıklığı erkek bireylerde kadınlardan daha fazladır. Biz bu çalışmamızda sağlıklı genç bireylerde QT dispersiyonun cinsiyet ile ilişkisini araştırmayı amaçladık. Yöntem: Çalışmamızda 50 sağlıklı erkek (yaş: 22,3±1,7) ile 40 sağlıklı kadın (yaş: 23,2±1) birey aldı. Tüm hastalardan 50mm/sn hızında 12 derivasyonlu EKG kaydı alındı. QTd herhangi bir derivasyondaki en büyük QT aralığı ile en küçük QT aralığı arasındaki fark olarak hesaplandı. Düzeltilmiş QT değeri (QTc) Bazet formülünde göre hesaplandıktan sonra, en büyük ve en küçük QT değerleri arası fark düzeltilmiş QT dispersiyonu (QTed) olarak kabul edildi.

Sonuç: Kadın bireylerde erkeklerle kıyasla QTc max (388,7±21,9 vs 383,4±30,4, ms), QTc min (339,9±18,7 vs 341,3±28,3, ms) ve QTed (48,7±23,2 vs 42,1±14,6) fazla bulunmasına rağmen, bu değerler istatistiksel olarak anlamlılaşmadı ($p>0,05$).

Tartışma: Çalışmamızın sonuçları genç sağlıklı bireylerde cinsiyetin QT dispersiyonu ile ilişkisi olmadığını ortaya koymustur. Daha önce yapılan çalışmalar genellikle yaşlı bireyler üzerinde yapılmış ve erkek bireylerde QT dispersiyonunun daha fazla olduğu sonucunu ortaya koymustur. Bu sonuçlar, yaşın erkek bireylerde QT dispersiyonu üzerindeki etkisinin daha belirgin olduğu sonucunu verebilir.

P-186

MARMARA BÖLGESİNDEKİ İŞİTME ENGELLİLER İLKÖĞRETİM OKULLARINDA DOĞUMSAL SENSÖRİ-NÖRAL İŞİTME KAYBI OLAN ÇOCUKLarda İDIYOPATİK UZUN QT SENDROMU SIKLIĞI

Hakan Ünlü*, Ramazan Akdemir, İlker Özer*, Yaşa Sezbaş*, Hakan Özhan*, Fatma Silan, Cihangir Uyan

Abant İzzet Baysal Üniversitesi Düzce Tıp Fakültesi, Kardiyoloji Anabilim Dalı*, Düzce

Giriş ve Amaç: Doğumsal uzun QT sendromu (DUQTS) EKG de QT uzaması, tekrarlayan senkop atakları ve ani ölümle sonuçlanabilen ventriküler taşikardi atakları ile karakterizedir. Daha önce yapılan çalışmalardan elde edilen verilere göre konjenital sağlığı olan çocukların, LQTS, %0,21 sikliğinde görülen nadir bir hastalıktır. Bu hastalıkta sahip çocukların, fatal ventriküler aritimi ve tekrüren senkop riski yüksektir. Bu çalışmada Marmara bölgesindeki çocukların DUQTS (Özellikle Jervell Lange Nielson Sendromu) prevalansını belirlemek amaçlanmıştır.

Gereç ve Yöntem: Marmara bölgesinde Ekim 2003 – Kasım 2003 tarihlerinde üç ayrı işitme engelleri ilköğretim okulundaki öğrencilerden doğumsal işitme kaybı olan 301 çocuk çalışmaya dahil edildi. Organik kalp hastalığını dışlamak için bütün çocukların, bir kardiyolog tarafından muayene edildi, okul kayıtlarından özeçmişlerine yönelik bilgiler edinildi. Yeterli bilgi alınamayanlarında, yüz yüze veya telefon ile aile bireylerine ulaşılıp bilgi alındı. EKG çokildi ve bilgisayar ortamında adobe photoshop programı kullanılarak L2, V5 veya en uzun QTc aralığına sahip derivasyondan QTc hesaplandı. Schwartz kriterleri kullanılarak LQTS sahip olgular identiflere edildi. LQTS şüphelenilenlerin, ekokardiyografik olarak ta değerlendirilir. Bulgular: Hastaların EKG analizlerinden, 9 çocukta 450 msn üzerinde, 2 çocukta da 480 msn üzerinde uzun QT saptandı. Bu çocukların arasında Schwartz skoru 3 ile 4,5 arasında idi. Çalışmada 5 çift varken üçüz yoktu. Sonuçta 2 olgu uzun QT varlığına sahipti. Bu hastada ilavealtı tekrarlayan senkop atakları mevcuttu. Bu olgularda, 2D ekokardiyogram ve Doppler akım çalışmalarında, anamlı, yapisal veya fonksiyonel kardiyak anomaliler saptanmadı.

Sonuç: Bu çalışmada Marmara Bölgesinde Jervell-Lange-Nielsen Sendromu prevalansı %0,66 olarak saptandı.

P-187

KRONİK ATRİYAL FİBRİLASYONLU HASTALarda KARDİYOVERSİYON SONRASI TAKİPTE AMIODARON VE PROPAFENONU ATRİYAL REMODELING ÜZERİNDE ETKİSİ

Mehmet Melek, Alpaslan Birdane*, Mustafa Alkan**, Ömer Göktekin*, Bilgin Timurtaş*

Ayfen Kocatepe Üniversitesi Tıp Fakültesi, Kardiyoloji Anabilim Dalı, Afyon
Osmangazi Üniversitesi Tıp Fakültesi, Kardiyoloji Anabilim Dalı, Eskişehir*
Ada-Tıp Hastanesi, Kardiyoloji Bölümü, Adapazarı**

Giriş - Amaç: Kronik atriyal fibrilasyonda (AF), refrakter periyodun kısalması, intraatriyal ve interatriyal iletinin yavaşlaması, kontraktilité kaybı, fibrozis ve atrial dilatasyon ile giden bir elektriksel, kontraktif ve yapısal atriyal remodelling gelişti bilinmektedir. Bir çalışmamızda, kronik AF'li hastalarda elektriki kardiyoversiyon (EKV) sonrası amiodaron ve propafenon kullanılan hastalarda atriyal değişiklikleri karşılaştırmayı amaçladık.

Materiyal - Metod: Kronik AF nedeniyle EKV yapılan ve sinus ritmi (SR) sağlanan 53 hasta (29 bayan, yaş ort. 64 ± 11 yıl, ortalama AF süresi $6,5 \pm 4$ yıl) çalışmaya alındı. Tüm hastalarda transözfageal ekokardiyografi kılavuzluğunda EKV uygulandı. İlkibi hastaya EKV öncesi antiarritmik verilmemi. Başarılı EKV sonrası hastalar rastandomize edilerek iki gruba ayrıldı. 1. gruba (29 hasta) amioduron tedavisi (bir hafta 1200 mg/gün yatkınlama tedavisi sonrası 200 mg/gün idame tedavisi), 2. gruba (28 hasta) propafenon (450 mg/gün) tedavisi başlandı. EKV'den önce ve 3. ayın sonunda SR'de kalan hastalara transtorasik ekokardiyografi yapıldı. Ayrıca EKV sonrası ilk bir saatte ve 3 ay sonra SR'de kalan hastalarda, P dalga sinyal ortalama elektrokardiyografi (PSOEKG) kullanarak, filtrelenmiş P dalga süresi ölçüldü. Grup 1 ve grup 2 arasında yaş, cinsiyet, AF süresi, sol atriyum çapı, EKV hemen sonrası alınan P dalga süreleri açısından fark yoktu. Bulgular: 3. ayın sonunda 1. grupta 18 hastada (%65), 2. grupta 10 hastada (%39) SR korunmuştu. Grup 1'de 3. ay sonunda AF rekürensi daha azdı ($p < 0,05$). Ayrıca 3. ayın sonunda grup 1'de filtrelenmiş P dalga süresi ve sol atriyum çapında belirgin azalma saptandı ($150,4 \pm 6,5$ msn - $144,6 \pm 7,6$ msn, $p < 0,01$ ve $51,8 \pm 7,2$ mm - $46,4 \pm 5,1$ mm, $p < 0,001$, sırasıyla). Grup 2'de her iki parametrede de değişiklik görülmeli ($148,8 \pm 8,1$ msn - $147,9 \pm 9,1$ msn, $p > 0,05$ ve $51,1 \pm 6,7$ mm - $49,3 \pm 5,7$ mm, $p > 0,05$, sırasıyla).

Sonuç: Amiodaron KV sonrası rekürensi azaltmadı propafenondan daha üstünür. Ayrıca intraatriyal iletim ve sol atriyum çapına olumlu etkileri mevcuttur. Amiodaronun bu etkilerinden dolayı elektriksel ve yapısal atriyal remodellingi geriletiği ve bu nedenle daha iyi rekürens oranına sahip olduğu kanaatine varıldı.

P-188

SAĞLIKLI BİREYLERDE SİGARA İÇİMİNİN KALP HİZI DEĞİŞKENLİĞİ ÜZERİNDE ETKİSİ

Fehmi Kaçmaz, Ömer Alyan, Özcan Özdemir, Ramazan Atak, Gökhan Cihan, Fatma Metin, Mustafa Soylu, Yücel Balbay, Hatice Şaşmaz

Türkiye Yüksek İhtisas Hastanesi, Kardiyoloji Kliniği, Ankara

Giriş: Sigara içimi akut olarak sempatik aktivitesini artırır ve plazmada catekolamin düzeyinde bir artışa neden olur. Bu da sigara içenlerde koroner kalp hastalığı riski için major bir mekanizma olarak kabul edilir. Bir çok çalışmada akut myokard infarktüsü (MI) sonrası kalp hızı değişkenliği (KHD) analizi kullanılarak kardiyak vagal kontrolda bir azalma olduğu ve bunun ani kardiyak ölüm ve akut MI sonrası mortalite de ilişkili olduğu bulunmuştur. Sigara içenlerde kardiyak ölüm ve sigara içimi arasındaki ilişkini azaltmış kalp hızı değişkenliğine bağlı olabileceği düşünüren sınırlı sayıda çalışma mevcuttur. Bu da çalışmada sağlıklı bireylerde sigaranın KHD üzerinde etkisini incelemeye çalışıldık.

Yöntem ve Bulgular: Çalışmaya subat 2004-mayo 2004 tarihleri arasında nonspesifik kardiyak yakınımlarla kardiyoloji polikliniğine başvuran yaş ortalaması 36,13±8,5 yıl olan 39 (Erkek: 18, Kadın: 21) sigara içen ve yaş ortalaması $32,6 \pm 8,7$ yıl olan 36 (Erkek: 10, Kadın: 26) sigara içmemeyen toplam 75 sağlıklı gönüllüwere bulundu. Tüm gönüllülerin en az 8 saat önceinde alkol ve kafeinli içecek alınmamaları söylendi. Yarım saat dinlendirdikten sonra 3 kampta 24 saat holtet kayıtları alındı. Günlük (saat 10:00-18:00 arası) ve gece (saat 23:00-04:00) holtet kayıtlarında ortalamalı kalp hızları, SDNN, SDANN, PNN50, RMSSD, VLF, LF, HF, LFnu (nu:normalize unite), HFnu, LF/HF ve LFnu/HFnu değerleri belirlendi(tablo). Sigara içenlerin kullandığı ortalamalı sigara sayısı $14,8 \pm 6,9$ tan ve ortalamalı kullanım süresi $11,3 \pm 7,4$ yıl idi. Sigara içenlerde hem günüz hemde gece SDNN, SDANN ve VLF değerleri sigara içmemeyenlere göre anamlı olarak daha düşük, ortalamalı kalp hızları ve PNN50 değerleri ise daha yüksek bulundu. Sempatik aktivitenin göstergesi olan LF değerleri sigara içenlerde anamlı olarak daha yüksek bulunurken HF değerleri ise anamlı olarak daha düşük bulundu. Sempativ aktivitenin göstergesi olan LF/HF değerleri ise sigara içenlerde içmemeyenlere göre anamlı olarak daha yüksek bulundu. Aynı sigara içenlerde içmemeyenlere göre ventriküler ekstra sistol sayısı anamlı olarak daha fazla bulundu ($246,4 \pm 208,9$ karşılık $42,1 \pm 49,03$). Sonuç olarak sigara içenlerde sempatik aktivitesinin artığı, kalp hızı değişkenliğinin azalması ve sempatik aktivitenin bozulduğu görüldü. Sigaranın bilinen proaritmik, proaterosklerotik ve protrombotik etkisinin yanında, sigara içenlerde bu bozulumsuz olan otonomik dengi kardiyovasküler olayları nedeni olabilir. Ancak daha fazla klinik çalışmala ihtiyaç varıdır.

Tablo. Çalışma grubunun kalp hızı değişkenliğine analizi

	Değişkenler	SIGARA(+)	SIGARA(-) P	P
G	SDNN	70,7±35,4	157,8±60,0	<0,001
Ü	SDANN	56,2±23,6	125,8±48,9	<0,001
N	PNN50	13,9±10,6	4,9±6,5	<0,001
D	RMSSD	40,9±20,6	49,6±35,7	0,2
Ü	VLF	718,8±22,7	1321,5±340,9	<0,001
Z	LFnu	85,4±7,2	47,7±25,1	<0,001
	HFnu	14,6±7,2	52,3±25,1	<0,001
	LFnu/HFnu	7,8±4,7	1,6±1,7	<0,001
	OKH	93,6±10,6	75,4±6,8	<0,001

nu: Normalize unite OKH: Ortalamalı kalp hızı

Elektrofizyoloji-Aritmi, Ablasyon Pacemaker

P-189

AÇIK KALP CERRAHİSİ SONRASI GELİŞEN ATRİYAL FİBRİLASYONU ÖNLEMİR İÇİN KULLANILAN İLAÇLARIN ETKİNLİK YÖNÜNDEN KARŞILAŞTIRILMASI

E. Emre Men, Saitte Aytekin, Vedat Aytekin*, Z. Demet Ersoylu*,
Mehmet Kılıçgedik, İ.C. Cemşid Demiroğlu**

Florence Nightingale Hastanesi, İstanbul
Kadir Has Üniversitesi Tıp Fakültesi, Florence Nightingale Hastanesi
Kardiyoloji Anabilim Dalı, İstanbul*

Giriş ve Amaç: Atrial fibrilasyon (AF); açık kalp cerrahisi sonrasında en sık görülen komplikasyonlardan biridir. Postoperatif AF'un, hastanede yaş süresi, mortalite ve morbidite üzerine olumsuz etkileri bilinmektedir. Sıklığını azaltmak amacıyla çeşitli tedavi şemaları önerilmektedir. Biz çalışmamızda; farklı sınıflarda yer alan çeşitli antiaritmik ilaçların, operasyondan bir süre önce başlamamasının, postoperatif AF sikligi, hastanede yaş süresi, ve morbidite üzerine etkisini karşılaştırmak ve klinik pratikte uygulanabilir bir tedavi şeması geliştirmek amacıyla çalıştığımızı planladık. **Gereç ve Yöntem:** Çalışmaya kliniğimiz kardiyoloji polikliniğinde değerlendiriliip, açık kalp cerrahisi planlanan 180 hasta (Erkek: 130/Kadın: 50, ortalama yaşı: 58.13±11.71) alındı. Hastalar beş gruba ayrıldı. Birinci gruba (G1); Propofenon, operasyondan 6.5±1.0 gün önce 300 mg/gün/oral, ikinci gruba (G2); Sotalol, operasyondan 7.4±2.4 gün önce, 80 mg/gün/oral, üçüncü gruba (G3); Amiodarone, operasyondan 7.8±2.6 gün önce, 400 mg/gün/oral olarak başlandı. Dördüncü gruba (G4); Diltiazem, operasyondan 10.4±3.3 gün önce, 180 mg/gün/oral başlandı ve operasyon sonrası tüm gruplarda tedaviye 10 gün devam edildi. Beşinci gruba (G5) antiaritmik ilaç verilmedi.

Bulgular ve Sonuç: Postoperatif AF'un gruplara göre dağılımı incelendiğinde; G1 grubunda; çalışmaya dahil edilen 33 hastanın 6'sında (%18.1), G2 grubunda; 33 hastanın 3'ünde (%9.1), G3 grubunda; 37 hastanın 6'sında (%16.2), G4 grubunda; 35 hastanın 10'unda (%28.6), G5 grubunda; 42 hastanın 16'sında (%38.1) postoperatif AF görüldü ve çok değişkenlik analiz ile gruplar arasındaki fark anlamlı bulundu ($p=0.026$). Ileri ki-kare testi ile yapılan incelemede bu farkın G5 grubunda en belirgin olduğu saptandı. Morbidite ve hastanede yaş zamanı açısından gruplar karşılaştırıldıında; ilaçsız grup olan G5 grubunun; 12.0 ± 7.3 gün ile hastanede en uzun süre yatan grup olduğu ve en fazla postoperatif morbiditeye sahip olduğu saptandı ($p<0.05$). Sonuç olarak; preoperatif ortalaması 7 gün önce başlayan ve postoperatif ~10 gün devam ettiren antiaritmik ilaç kullanımının postoperatif AF'u ve morbiditeyi azalttığını, hastanede yaş zamanı kısalttığını tespit etti. Ancak bu ilaçlar içinde sotalol ve amiodaron'un daha etkili olduğunu saptadık.

P-190

TÜRKİYEDE ERİŞKİNLERDE KALP HASTALIKLARI ÖZELLİKLÉ HİPERTANSİYON (HT) VE KORONER KALP HASTALIĞI (KKH) VE RİSK FAKTORLERİ SIKLIGI (TEKHARF) VE PRESLAV VE DİĞER ÇALIŞMALARIN KARŞILAŞTIRILMASI

Musa Hacımusaogulları

İstanbul Üniversitesi Avcılar Mediko Sosyal, İstanbul

Giriş ve Amaç: Preslav ve TEKHARF çalışmaları erişkinlerde hipertansif Kalp (KKH), Koroner Kalp Hastalığı (KKH), risk faktörleri ve ölümler üzerinde işlenmiştir. Bu araştırmalar sonucu belirli risk faktörleri kesinlik kazanmıştır. **Materyel ve Metod:** Preslav çalışması 1970 ve 1977 yıllarında genelde screening, bir kısmı ise başvuru TEKHARF çalışmasında ise yava yöntemi kullanılmıştır. Bu çalışmada nüfusun nerede tamamı taramaya, çalışan ve öğrenciler ise incelemeye TEKHARF çalışmasında (1990-2004) Marmara, Ege, İç Anadolu, Akdeniz, Karadeniz, Doğu Anadolu, Güneydoğu Anadolu nüfusu mikrotaramaya tabi tutulmuştur.

Bulgu ve Tartışma: Bu çalışmalarda KKH'nın risk faktörleri incelenmiştir. Obezite katin derma-hipoderma kalınlığı ($>2cm$) ve BK1 ile belirlenmiştir. Preslav çalışmasında toplam nüfusta obezite %45.44 ve aşırı obezite %17.99, obezlerde HT toplam %12.04 (erkeklerde %6.31 ve kadınlarda %16.78), hipertansiflerde yüksek total kolesterol %26.0-32.7, HT derecesinde göre 1970 yılı için toplam on %26, 1975 yılı için ort.%32.71-erkeklerde ortalaması %29.5, kadınlarda ort.%34.25 ve toplamda ort.%32.71, BL-P 1972 yılı için ort.%24.4, 1975 yılı için ort.%38.7, LVH 1972 yılı için toplam ort.%7.37 ve 1975 yılı için %9.5 yaş guruplarında HT sikliği vs; çeşitli kaynaklı BBH ve nefropatiler bulunmuştur. Toplam diyalitlerde DH %32.07 (erkeklerde %23.27 ve kadınlarda %42.02), EH%8.3, diğer SH toplam %25.87, Koroner At Bulgarlarında %11.44, KKH-AP 9.79, o.d. MI %17.30, Türklerde Koroner At 12.13, KKH-AP %6.09, o.d. MI %25.22, toplam halkta koroner At %16.65, KKH-AP %8.38, o.d. MI %16.0 dir. TEKHARF çalışmasında obezite (BK1 ve bel çevresi) sikliği erkeklerde %9 ve kadınlarda %9.0, KKH'lı kadınlarda %42, DM'lı erkeklerde %2.79 ve kadınlarda %4.18 ve obezlerde hipercolesterolemli erkeklerde %11.5, kadınlarda %5.8 ve toplamda %6.8, HT %9.7-%14.8, saptanmış izole SKB, kolesterol ve sigara içimi KKH'nın morbidite ve mortalitesinin en güçlü göstergelerdir. Yukarıda bahsettiğimiz risk faktörleri KKH morbidite ve mortalitesi için önemli KKH sigara içmeye yerde %3.4 ve içenlerde ise %5.6, Türkiye genelinde KKH toplamda %3.8 (erkeklerde %4.1 ve kadınlarda %3.5), KKH sikliği toplamda %2.2 (erkeklerde %1.5 ve kadınlarda %2.84) ve diğer KKH prevalansı toplamda %0.3 (erkeklerde %0.2 ve kadınlarda %0.3) dolayındadır. KB larından KKH gelişmesinde en önemli SKB dir. Preslav çalışmasında KKH sikliği ve KKH-kökenli ölümler, TEKHARF ve diğer ülke çalışmalarındaki daha düşük olduğu saptanmıştır. Bu, o sularla Bulgar halk sağlığına daha fazla önem verilmesinden ileri gelmektedir.

P-192

SAĞLIKLI ORTA YAŞ TÜRK ERKEKLERİNDE QT ARALIĞINI KALP HİZINA GORE DÜZELTEN DÖRT YÖNETİMİN KARŞILAŞTIRILMASI

*Abdullah Doğan, Ercan Tunç, Mehmet Özaydin, Mustafa Öztürk,
Ömer Gedikli*

Süleyman Demirel Üniversitesi Tıp Fakültesi, Isparta

Amaç: Orta yaşı sağlıklı Türk erkeklerinde, farklı istirahat kalp hızlarında QT aralığını değerlendirmek ve bilinen dört QT düzeltme formülüne karşılaştırmaktır.

Gereç ve Yöntem: QT aralığı 210 sağlıklı erkeğin (yaş aralığı: 35-60 arası) elektrokardiyogramlarından ölçüldü. QT aralığı ile kalp hızı (45 ile 135 vuru/dı aralığında) arasındaki ilişkisinin eğrisi çizildi. Bu kalp hızlarında, Bazett, Fridericia ve Framingham formüllerine göre QT aralığı ayrı ayrı hesaplandı. Kalp hızının 60 vuru/dı olduguunda ölçülen QT aralığı esas alınarak farklı kalp hızlarında QT aralığını belirlemek için bir nomogram elde edildi (QTNo=QT+düzeltilme sabiti). Bu dört düzeltme yöntemi karşılaştırıldı. **Bulgular:** Kalp hızı 60 vuru/dı olduguunda ortalamalı QT aralığı 382 ms idi ve bu değer referans alındı. QT ile RR aralıkları arasında lineel bir ilişki vardı ($r=0.66$, $p<0.001$). Nomogram yöntemi, tüm kalp hızlarında QT aralığını diğer üç yönteme göre daha doğru düzelttiyordu ($p<0.001$). Kalp hızı 60-100 vuru/dı arasında olduğunda, QT ile RR arasında QT=237+0.158xRR lineer eğitili elde edildi ($p<0.001$). Bazett formülü tüm kalp hızlarında uyumlu sonuçları verdi. Fridericia ve Framingham formülleri Bazett formülünden üstünü anacak kalp hızının 60-110 vuru/dı olduğu aralıktı, QT aralığını olduğundan fazla gösterdiler ($p<0.01$). Düşük kalp hızlarında (<60 vuru/dı), nomogram hariç diğer yöntemler QT aralığını olduğundan küçük hesaplıyordu ($p=0.03$).

Sonuç: Sağlıklı erkeklerde, mevcut dört formülinden nomogram yöntemi, kalp hızına göre düzeltilmiş en doğru QT değerlerini vermektedir. Bazett formülü ise tüm kalp hızlarında QT aralığını düzeltmede yetersiz kalmaktadır.

P-193 BÜYÜK ARTERLERİN TRANSPOZİSYONU NEDENİYLE MUSTARD OPERASYONU YAPILAN ERIŞKİN HASTALARDA T DALGA ALTERNANSI

Ömer Göktekin, Sonya V Babu-Narayan*, Richard Sutton*, Philip J Kilner*, Michael Gatzoulis*

Osmangazi Üniversitesi Tıp Fakültesi, Eskişehir
Royal Brompton Hospital London, UK*

Giriş: Büyük arterlerin transpozisyonu nedeniyle yapılan atrial değişimle operasyonu (Mustard veya Senning) sonrası, hastaların sağ ventriküllerini yaşamları boyunca sistemik kan basınç yüküne maruz kaldığından (sistemik sağ ventrikül), bu hastaların bir kısmında ileri dönemde sistemik sağ ventrikül disfonksiyonu gelişmektedir. Diğer yandan aritimi ve ani ölüm, bu hastalarda geç dönemde karşılaşılan önemli bir mortalite ve morbotide sorunudur. Mikrovolt T dalga alternansı (TDA), iskemik kalp hastalığı ve kardiyomiyopati hastalarında görülebilinen ciddi ventriküler aritmi ve ani ölüm riskini belirlemeye kullanılan yeni bir non-inziviz metotdur. Biz çalışmamızda, Mustard operasyonlu erişkin hastalardaki TDA prevalansı yanı sıra, TDA ile kardiyak manyetik rezonsansla saptadığımız sağ ventrikül fibrosis ilişkisini araştırmaya amaçladık.

Metod: Çalışmaya gadoliniumlu kardiyak manyetik rezonsans taraması yapılan 17 hasta alındı (11 erkek, postop takip süresi 26 ± 12.4 yıl). Dokuz hastanın sağ ventrikülünde fibrosis saptanırken, 8 hastada fibrosis saptanmadı. T dalga alternans ölçümü CH2000 system (Cambridge Heart, Inc) cihazıyla submaksimal tredmil egzersiz testi sırasında yapıldı. Egzersiz sırasında, kalp hızı $105-120$ /dk arasındaki T dalga alternans amplitüdünü 1 dk süreyle $1.9 \mu\text{V}$ ve üzerinde olması (alternans ratio ≥ 3 iken) pozitif TDA olarak yorumlandı.

Bulgular: Hastaların 5 tanesinde TDA pozitif (%29), 10 tanesinde negatif (%58), saptanırken 2 hastada sonuç tanımlanamadı. T dalga alternansı saptanan hastaların daha düşük sağ ventrikül ejeksiyon fraksiyonu ve artmış sağ ventrikül kitleşine sahip olma eğilimi mevcuttu (44 ± 23 vs $62 \pm 5\%$, NS, 119 ± 53 vs 81 ± 18 , NS). Pozitif TDA olan hastaların hepside miyokardiyal fibrosis saptanmış gruptaydı ($5/9$ vs $0/6$, $p < 0.05$). Ayrıca sağ ventrikül fibrosis saptanan hastalar daha yaşı idiler (32 vs 23 , $p < 0.01$). Sonuç: Mustard operasyonu nedeniyle takip edilen erişkin hastalarda TDA görülmektedir. Ayrıca TDA'nın sistemik sağ ventriküler fibrosis gelişimiyle ilişkisi mevcuttur. Dolayısıyla bu hastalarda geç dönemde görülen ani ölümde sağ ventrikül miyokardında saptanan fibrosis gelişimi önemli rol oynayabilir.

P-195

ATİOVENTRİKÜLER NODAL REENTRANT TAŞIKARDİNIN ATRIOVENTRİKÜLER REENTRANT TAŞIKARDİDEN AYIRT EDİLMESİNE EKG'NIN KLINİK ÖNEMİ

Külli Aytemir, Basri Amasyali*, Sedat Köse*, Ayhan Kılıç*, İzzet Tandoğan**, Hürcan Kurşaklıoğlu*, Atila İyisoy*, Turgay Çelik*, Ali Oto, Ersoy Işık*

Hacettepe Üniversitesi Tıp Fakültesi, Kardiyoloji Anabilim Dalı, Ankara
Gülbahçe Askeri Tip Akademisi, Kardiyoloji Anabilim Dalı, Ankara**
Cumhuriyet Üniversitesi Tıp Fakültesi, Kardiyoloji Anabilim Dalı, Sivas***

Giriş: Kater ablasyon işlemi öncesi atrioventriküler nodal reentrant taşikardi (AVNRT)'lerin, ortodromik atrioventriküler reentrant taşikardiler (AVRT)'den ayırt edilmesi, işlemi yönlendirilebilmesi bakımından oldukça önemlidir. Bu çalışmada supraventriküler taşikardilerin ayrıcalı tamında 12 derivasyonlu EKG'de son yıllarda tanımlanan farklı kriterlerin AVNRT ile AVRT'ni ayırt etme能力和değerleri araştırılmıştır.

Yöntem: Merkezimize kater ablasyonu yapılmak üzere elektrofizyolojik çalışma (EFÇ) yapılan ve ortodromik taşikardi saptanın 115 olgu ile yine aynı dönemlerde EFÇ yapılan ve AVNRT saptanın 335 olgunun taşikardi arasında alınan 12 derivasyonlu yüzey EKG'leri retrospektif olarak incelendi. EKG'ler EFÇ sonucunu bilmeyen ve birbirinden habersiz olan iki farklı elektrofizyolojik tarafından değerlendirildi. ST segment depresyonu ($\geq 2\text{mm}$), VI'de "pseudo R", inferior derivasyonlarda "pseudo S", aVR'de ST segment elevasyonu ($\geq 2\text{mm}$), QRS alternansının varlığı ve görünenin P dalgası varlığı ile RP intervali kriterleri değerlendirilmeye aldı.

Bulgular: EKG'de görünenin P dalgası (%90 duyarlılık, %65 özgüllük), ≥ 100 msn RP intervalı (%86 duyarlılık, %92 özgüllük), ≥ 2 mm ST segment depresyonu (%50 duyarlılık, %76 özgüllük), QRS alternansı (%61 duyarlılık, %51 özgüllük) ve aVR'de ≥ 2 mm ST segment elevasyon (%68 duyarlılık, %74 özgüllük) kriterleri AVRT'nin belirleyicileri olarak tespit edildi. VI'de "pseudo R" (%64 duyarlılık, %100 özgüllük) ve inferior derivasyonlarda "pseudo S" (%35 duyarlılık, %100 özgüllük) kriterlerinin varlığı da AVNRT'nin belirleyicileri olarak tespit edildi. Sonuç: Taşikardi sırasında alınan 12 derivasyonlu EKG'nin iyi bir şekilde incelemesi ile dar QRS kompleksli taşikardilerden olan tipik AVNRT ve AVRT ayrıcalı tanısının yapılabileceğini kansına verdi.

P-194

SAĞ VENTRİKÜLER APİKAL KARDİYOMİYOPATİ: DAHA ÖNCÉ BİLDİRİLMEMİŞ BİR VAKA

Ergün Demiralp, Eralp Ulusoy, Ata Kirılmaz, Namık Özmen, Yılmaz Cingözbaş, Bekir Sıtkı Cebeci, Mehmet Dinçtürk

Gülbahçe Askeri Tip Akademisi, Haydarpaşa Eğitim Hastanesi Kardiyoloji Kliniği, İstanbul

Amaç: Apikal hipertrofik kardiyomiyopati (HKMP) ender olarak izlenen bir KMP formudur. Sol ventrikül apeksini bazende tüm apikal bölgeyi septumla beraber tutarak, sol ventrikül kavitesinde yer ısgal eder. Daha önce hiç bildirilmemiş, sadece sağ ventrikül apikoseptal bölgeye lokalize bir hipertrofik kardiyomiyopati olgusu sunmayı amaçladık. Metodlar ve Bulgular: Atipik göğüs ağrısı ve çarpıntı şikayetleri ile başvuran 21 yaşındaki erkek hasta EKG anomalligi nedeni ile ileri tetkik altına alındı. Hastanın EKG'sinde sadece V5 elektroda 55 mV QRS amplitüdü yazdırıldı. V6 amplitüdü 30 mV diğer QRS yükseklikleri normaldi (resim). Ekokardiyografik incelemede distal septum ve apексi içine alan bir hipertrofik bölge mevcuttu (resim). Hastanın yapılan sol ventrikülografisi normalken, sağ ventrikülografide septum ve apikal içine alan dolma defekt izlendi. Aynı bölgede elektriksel aktivite artışı EKG yüksekliğindeki artış ve bunun solunumla değişimi ile teyid edildi. Bu bölgenin nükleer sintigrifi ile artan tutulumu da gösterildi.

Sonuç: Bu vaka EKG'de dev QRS yüksekliği yapan ve sağ ventrikülde lokalize hipertrofi (sağ ventriküler apikal hipertrofik kardiyomiyopati) ile karakterize olup, literatürde benzer bir vakaya rastlanmamıştır.



P-196

DÜZENLİ SPOR YÜZEY ELEKTROKARDİYOGRAFİSİNDE QT PARAMETRELERİNE ETKİLER MI?

Turgut Karabağ, Kurtuluş Özdemir, Fatih Koç, Hakan Güleç, Uğur Dal*

Selçuk Üniversitesi Meram Tıp Fakültesi, Konya
Cumhuriyet Üniversitesi Tıp Fakültesi, Fizyoloji Anabilim Dalı, Sivas*

Amaç: Yüzey elektrokardiyografisinden (EKG) ölçülen QT uzunluğu ve QT dispersiyonu (QTd), ventriküler repolarizasyonun heterojenliğini yansıtır. Düzeltilmiş QTd (QTc) uzamasının ventriküler aritmilerde ve ani ölüme neden olduğu bilinmemektedir. Çalışmamızda, düzeltli spor yapan kişilerdeki QT parametreleri ile sedanter yaşayan kişilerdeki parametreleri ve egzersiz testi sırasında ullaşıkları maksimum kalp hızları ile maksimum iş yükleri arasındaki ilişkilerini kıyasladık.

Metod: Çalışmaya spor akademisinde eğitimini sürdürme ve haftada 5 gün düzenli spor yapan 20 kişi (Grup 1) ile hizli spor yapmanın 20 sedanter kişi (Grup 2) dahil edildi. Tüm vakaların 50 mm/sn hızında 12 derivasyonlu EKG'leri çekildi. Tüm derivasyonlarda QRS kompleksinin başlangıç noktası ile T dalgasının TP izoelektrik çizgisine dönüs noktası arasındaki mesafe QT aralığı olarak kabul edildi. En az 8 derivasyondan QT ölçümü yapılmış EKG'ler değerlendirilmeye alındı. Ölçülen maksimum QT (QTmax) ve minimum QT (QTmin) arasındaki fark QTd olarak kabul edildi. QT sıklıklarını Bazzett formülü kullanılarak kalp hızına göre düzeltilemiş QT (QTc) elde edildi. QTc dispersiyonunda (QTcd=QTmax QTcm) olarak hesaplandı. Daha sonra deneklerde 10 dakika egzersiz testi yapıldı. 10. dakikada ullaşıkları nabız ile iş yükleri kaydedildi. Sonuçlar ortalaması \pm standart sapma olarak ifade edildi. Sporcu grup ile sedanter grup arasındaki fark eşleştirilmiş t testi ile hesaplandı. Grupların 10. dk'da ullaşıkların nabız ve iş yükleri arasındaki ilişki Pearson's korelasyon testi ile elde edildi. Bulgular: Gruplar arasında demografik özellikler arasında fark yoktu. Gruplar arasındaki QT parametreleri ve 10. dk'da ullaşıkları maksimum nabız ve iş yükleri arasındaki farklılıklar Tablo 1'de gösterilmiştir. Grup 1'in basal kalp hızı, QTd, QTcd değerleri ve 10 dk'da ullaşıkları kalp hızı, grup 2'ye göre anlamlı olarak düşük idi. QTmax, QTmin ve 10. dk'da ullaşıkları iş yükü değerleri ise grup 1'de grup 2'ye göre anlamlı olarak yüksük idi. Bununla birlikte grup 1'in 10. dakikada daha düşük kalp hızına ulaşması ragmen grup 2'ye göre daha fazla iş yüküne ulaşmış gözlemdi. QT parametreleri ile deneklerin 10. dakikada ullaşıkları maksimum kalp hızları ve iş yükleri arasında korelasyon saptanmadı. Sonuç: Düzeltli spor yapanlar daha düşük nabız sayılarında daha fazla iş yüküne ulaşabilmektedirler. Düzeltli spor yapan kişilerde konjenital hastalık veya iltifa yatan predispozan nedan olmuşdur. Sedanter yaşayan kişilere göre, aritmije eğilimin izalimiyle olabileceğini düşünmektediriz.

Tablo 1.

	Grup 1 (n=20)	Grup 2 (n=20)	P
Kalp hızı (vuru/dk)	56±7	72±11	<0.001
Maximum QT (msn)	416±25	383±17	<0.001
Minimum QT (msn)	369±31	329±17	<0.001
QTd (msn)	44.5±16.5	49.5±15	AD
QTcd (msn)	41±16	48.5±14.5	=0.01
10. dk KH (vuru/dk)	175±7	181±7	=0.05
10. dk iş yükü (watt)	202±27	167±42	<0.05

QTd: QT dispersiyonu, QTcd: düzeltilmiş QT dispersiyonu, KH: Kalp hızı, AD: Anlamlı değil

Elektrofizyoloji-Aritmi, Ablasyon Pacemaker

P-197

FEMORAL VEN'DEN UYGULANAN GEÇİCİ PACEMAKERLAR PULMONER EMBOLİ İÇİN RİSK FAKTÖRU MÜDÜR? RUTİN OLARAK PROFLAKTİK DÜŞÜK MOLEKÜL AGIRLIKLI HEPARİN KULLANALIM MI?

Hamza Duygu, Bahadır Kırılmaz, Oğuz Yavuzgil, Mehdi Zoghi, Serdar Payzin, Cemil Gürgün, Cüneyt Türkoğlu

Ege Üniversitesi Tıp Fakültesi, Kardiyoloji Anabilim Dalı, İzmir

Amaç: Femoral ven aracılığı ile implant edilen geçici pacemaker(GPM)lar, uzun süren alt ekstremité immobilizasyonu ve venöz sistem ile sağ kalp boşlukları içinde yabancı cisim etkisi yaratarak venöz tromboz ve pulmoner emboliye predispozyiton yaratırabilir. Bu çalışmada plazma D-Dimer düzeylerine bakılarak bu hasta grubunda tromboemboliye olan eğilim ve proflaktik düşük molekül ağırlıklı heparin (LMAH) kullanımının etkinliği araştırıldı.

Yöntem: Çalışmaya GPM implant edilen 46 hasta(yaş ort:66,4±7, 27 kadın, 19 erkek) alındı. GPM 33 hasta'da total AV blok, 13 hasta'da hasta sinüs sendromu nedeni ile implant edildi. Femoral GPM implant edilen hastalar LMAH verilen (grup 1, 16 hasta, enoxaparin 30mg 2x1/gün) ve verilmeyen(grup 2, 15 hasta) olmak üzere iki altgrubu ayrıldı. Ayrıca subklavian GPM uygulanan 15 kontrollü olgusu aldı. GPM öncesi, implantasyondan sonra 24, 48, saatlerde ve GPM çıkarıldıkten sonra plazma D-Dimer düzeyleri ölçüldü. Akut miyokard infarktüsü, sepsis, malignite gibi D-Dimer düzeylerinde yanlış yükselmelere neden olabilecek nedenler çalışma dışı bırakıldı.

Sonuçlar: DMAH verilmeyen femoral GPM grubunda D-Dimer düzeyleri (1819 ± 1351 mikrogr/L) subklavian GPM grubuna göre (618 ± 317) anamli olarak daha yüksek bulundu ($p < 0,05$). DMAH verilmeyen grupta D-Dimer düzeyleri 24.saatte (1819 ± 1351 mikrogr/L) pik yaparak 48.saatte de (2147 ± 1398) bazal değerlere göre (297 ± 139 mikrogr/L) anamli olarak yüksek seyretti ($p < 0,05$) ve GPM çıkarıldıkten sonra 24.saatte bazal düzeye geriledi (386 ± 106 mikrogr/L). LMAH verilen grupta (345 ± 149 mikrogr/L) ise D-Dimer düzeyleri grup 2'ye (1819 ± 135) göre anamli olarak daha düşük bulundu ($p < 0,05$). Implantasyon süresi (ortalama 81,6±19,8 saat) ile D-Dimer düzeyleri arasında anamli ilişki yoktu ($p > 0,05$). Sonuç: Femoral GPM uygulamaları subklavian uygulamalara göre tromboza daha fazla eğilim yaratmaktadır. Bu tür uygulamalar pulmoner emboli için bir risk faktörü oluşturabilir. Bu hastalarda proflaktik LMAH kullanımını tromboemboliye önlemede yararlı olabilir.

P-199

PREMATÜR KORONER ARTER HASTALIĞI BULUNAN ERKEK VE KADIN HASTALARIN METABOLİK SENDROM VARLIĞI YONUNDEN KARŞILAŞTIRILMASI

Ayşe Saatçi Yaşa, Hasan Turhan, Ertan Yetkin*, Nurcan Başar, Asuman Biçer, Ali Rıza Erbay, Hatice Şaşmaz, Sengül Çehreli**

Türkiye Yüksek İhtisas Hastanesi, Kardiyoloji Kliniği, Ankara
İnönü Üniversitesi Turgut Özal Tıp Merkezi, Kardiyoloji Anabilim Dalı, Malatya*

Amaç: Metabolik sendrom insülin direnci, santral obezite, HDL-kolesterol düşüklüğü, trigliceride yüksekliği, ve hipertansiyon gibi çok sayıda koroner arter hastalığı için risk faktörü taşımaktadır. Taşlığı çok sayıda koroner risk faktörü nedeniley metabolik sendrom bulunan hastalar prematür koroner arter hastalığı yönünden yüksek riskli grulardan birini temsil ediyor olabilir. Genel olarak hastalıkların risk faktör prevalansı cinsiyet farklılığı göstermesine karşılık prematür koroner arter hastalığı bulunan erkek ve kadın hastalar metabolik sendrom varlığı yönünden karşılaştırılmıştır. Bütün bu çalışmada prematür koroner arter hastalığı tanısı almış erkek ve kadın hastaları metabolik sendrom varlığı yönünden karşılaştırılmıştır ve planlandı.

Yöntemler: Çalışmaya prematür koroner arter hastalığı tanısı konmuş 436 erkek (ortalama yaşı=38±4 yıl) ve 63 kadın (ortalama yaşı=39±4 yıl) hasta dahil edildi. Tüm hastalar hastanemizde koroner anjiyografileri yapılan ve koroner arter hastalığı tespit edilen hastalar arasından seçildi. Aşikar diabeti olan ya da antidiabetik ilaç kullanan hastalar çalışmaya alınmadı. Metabolik sendrom tanısı ATP III klinik kriterlerine göre konuldu.

Bulgular: Yaş yönünden gruplar arasında anamli fark yoktu ($p > 0,05$). Sigara kullanımı yönünden iki grupta arasında istatistiksel olarak anamli fark tespit edildi (erkek:305/436 (%70) ve bayan:23/63 (%37) $p < 0,001$). Total kolesterol ve LDL kolesterol değerleri yönünden gruplar arasında anamli fark yoktu. Erkek prematür koroner arter hastalarının %26 (113/436)'sında metabolik sendrom varken, bu oran bayan prematür koroner arter hastalarında %60 (38/63) tespit edildi ($p < 0,001$).

Sonuç: Metabolik sendrom prematür koroner arter hastalığı bulunan erkek hastalarda genel populasyona yakın oranda (%26) tespit edilirken, prematür koroner arter hastalığı bulunan kadınlarında %60'a varan çok yüksek bir oranda tespit edildi. Bu bulgungan metabolik sendrom'un erkeklerle kıyasla kadınlar için ne ölçüde bir tehdit olduğunu değişik bir boyuttan göstermesi açısından önemli olduğunu düşünüyoruz.

Epidemiyoloji

P-198

KORONER REVASKÜLARİZASYON SIRASINDA OLUŞAN DİSTAL HASARA, ANTEGRAT VE RETROGRAT AKIM DERECELERİNİN KORUYUCU ETKİSİ

Sinan Dağdelen, Murat Yüce, Mehmet Ergelen, Selçuk Pala, Ahmet Karabulut, Mustafa Akçakoyun, Nevnihal Eren, Nuri Çağlar

Acıbadem Hastanesi Kardiyoloji Bölümü, İstanbul

Antegrat (TIMI) ve retrograd (Rentrop) koroner dolasının myokardial viabilité ile arasında iyi derecede korelasyon mevcutur.TIMI ve Rentrop koroner dolasının koroner revaskülarizasyon sırasında distal myokardial hasarı azaltıcı etkisinin olup olmadığı konusunda henüz yeterince araştırılmıştır. Metod: Çalıştığımız prospektif olup elektif PCI planlanan ardılık 304 olgudan (56 K, yaş ort: 59±11 yıl) oluşmaktadır. Hastalardan standart PCI işlemi uygulanmadan hemen önce ve 12-18 saat sonra troponin-t (Tn-t), CPK-MB, hsCRP ve laktat ölçümü yapıldı. Olguların tüm lezyonlarının TIMI akımları/lezyon sayısı (TIMI-skor) ve Rentrop akımları/lezyon sayısı (Rentrop-skor) hesaplandı. TIMI-skor ≥ 2 iyi ve < 2 kötü antegrat akım olarak, Rentrop-skor > 2 iyi ve < 2 kötü retrograd akım olarak değerlendirildi. Her bir olsa için, TIMI-skor-TIMI akım toplamı/lezyon sayısı ve Rentrop skor=Rentrop akım toplamı/lezyon sayısı olarak hesaplandı. Bulgular: TIMI-skor 47 olguda düşük iken 257 olguda yüksek bulundu. Rentrop-skor 297 olguda düşük iken 7 olguda yüksek idi. Girişimsel müdahale bir damar 200 olguda, 2 damar segmentine 85 olguda, 3 damar segmentine 14 olguda, 4 damar segmentine 3 olguda ve 5 damar segmentine 2 olguda aynı seansda uygulandı. Otuz damara sadece balon angioplasti, 68 damara predilatasyon+stent işlemi ve 334 damara ise direkt stent işlemi uygulandı. Düşük TIMI-skor grubunda predilatasyon ihtiyacı anamlı olarak daha yüksek idi. Yüksek ve düşük TIMI ve Rentrop akım grupları arasında yaş, cinsiyet, diyet, hipertansiyon, aktif sigara içimi, ailesel koroner arter hastalığı hikayesi ve aspirin, ACEİ ve beta bloker kullanımından bakımdan farklılık yoktu (hepsi için $p > 0,05$). Sol ventrikül ejeksiyon fraksiyonundan düşük TIMI ve Rentrop-skor gruplarında yüksek olanlara anamlı olarak daha az idi ($p = 0,016$, $p = 0,001$; sırasıyla). İşlem sonrası Tn-t de > 50 artışı, düşük TIMI grubundan 13 olguda (%28), yüksek TIMI grubundan 29 olguda (%11) görüldü ($p = 0,07$), fakat aynı bu farklılık düşük ve yüksek Rentrop akım gruplarında yoktu ($p > 0,05$). CPK-MB deki > 50 artış oranı her iki grupta da aynı idi. Düşük ve yüksek TIMI ve Rentrop akım gruplarında, > 2 kat hsCRP ve laktat artışı aynı oranlarında idi.

Karar: PCI sırasında, düşük TIMI antegrat akım derecesi distal myokardial hasar oranının artmaktadır, fakat aynı durum düşük Rentrop akım grubunda gösterilememiştir. Yüksek TIMI ve Rentrop akım distal myokardi, PCI işlem hasarından koruyabilir. Tn-t küçük distal myokardial hasarı göstermek bakımından diğer laboratuar parametrelerinden daha duyarlıdır.

P-200

YÜKSEK RİSKLİ BİR ÖRNEKLEMİMİZDE LİPOPROTEİN(A):DAGILIMI VE BAGINTILARI ZEMİNİNDE TÜRK ERKEKLERİNDE İNSÜLINEMI İLE TERS İLİSKİSİ GOZLEMİ

Altan Onat, Huseyin Uyarel, Gülay Hergenç**, Mehmet Yazıcı***, Bülent Uzunlar*, Serdar Türkmen****, İbrahim Sarı*, Günay Can****, Vedat Sansoy******

Türk Kardiyoloji Derneği, İstanbul

Dr. Siyami Ersek Göğüs Kalp ve Damar Cerrahisi Eğitim ve Araştırma Hastanesi İstanbul*

Yıldız Teknik Üniversitesi, Biyokimya, İstanbul**

Abant İzzet Bayal Üniversitesi Tip Fakültesi, Kardiyoloji Anabilim Dalı, Düzce***

Gaziantep Üniversitesi Tip Fakültesi, Kardiyoloji Anabilim Dalı, Gaziantep***

İstanbul Üniversitesi Cerrahpaşa Tip Fakültesi, Kardiyoloji Anabilim Dalı, İstanbul*****

İstanbul Üniversitesi Kardiyoloji Enstitüsü, Kardiyoloji Anabilim Dalı, İstanbul*****

Amaç: TEKHAN Çalışmasının Marmara ve İç Anadolu bölgelerinde oturan eski ve yeni kohortundan düşük riskli kişilerin an teşilliği 214 kişide, başka muayene ve tahliller arasında, serum lipoprotein(a) (Lp(a)) belirlendi. Çalışma amacı, halkımızda Lp(a)'nın kardiyovasküler risk faktörleri, metabolik sendrom (MS) ve koroner kalp hastalığı (KKH) ile ilişkisini incelemekti.

Materyal ve Metod: MS tanısı ATP-III kriterlerine, KKH tanısı anamnezde angina varlığı ve 12-derivasyonlu İstirahat EKG'inin Minnesota kodlamasına dayanarak kondu. Öneklemin %48'inde MS, %23'ünde KKH mevcuttu. Serumda Lp(a) Behring nefelometresiyle ölçüldü; değerler normal dağılım sergilemediğinden analizler log-transformasyona yapıldı.

Bulgular: Yaş ortalaması $59,6 \pm 12$ olan 98 erkek ve 116 kadında geometrik ortalama değer sırasıyla $9,6 \pm 2,8$ U/L ve $12,1 \pm 3$ mg/dL bulundu ($p < 0,001$). Konsantrasyonları yaşla anamlı ilişkili yoktu. Kadında 15 risk parametresinden hiçbir ile anamlı korelasyon bulunmadı. Erkekte, risk faktörlerinin coğuyla ilişkili elde edilmişdir. Lp(a) yalnız LDL ($r = 0,29$) ve total kolesterol ($r = 0,22$) ve çok ilginç olarak - ters birincide - erkeklerde insülin ($r = -0,36$, $p = 0,002$), bel çevresi ($r = -0,21$) ve beden kitle indeksi ($r = -0,26$) ile anamlı korelasyonlar saptandı. MS tanısı ile de erkeklerde ters korelasyon eğilimi kaydedildi ($r = -0,17$, $p = 0,095$). Çokdeğerli linear regresyonla erkek ve kadınlarda serum total kolesterol, LDL-kolesterol ve triglycerid ile Lp(a) arasında pozitif, gamma GT ile Lp(a) arasında ters anamlı ilişkili kaydedildi. Lojistik regresyon analiziyle KKH olasılığının Lp(a) ile ilişkili olduğunu, ya da evinsteysinten bağımsız bir faktör olarak görünümedi (odds ratio 1,10 ile anamlı çıktı). Sonuç: Değişkenlerinin ezici bir oranda apo(a) genine bağlı olduğu bilinen Lp(a)'nın bu çalışmada, çögü geleneksel risk faktörlerle ilişkili olmadığı doğrulandı. İlgili erkeklerde, erkeklerde kanda insulinin düzeyi ile ters korelasyonunun erkeklerde ve bazı erkeklerde özgür bir gen özelliğinden kaynaklandığı düşünüldü. Koroner kalp hastalığı olasılığının ne ölçüde etkilendiği konusunun, iceride daha geniş öneklemlerde araştırılması yararlı olur.

P-201

VAZOVAGAL SENKOP HASTALARINDA SİRKADIYEN RİTM

Aysegül Türkoğlu, Mehdi Zoghi, Hamza Duygu, Serdar Akyüz, Filiz Özerkan, Azem Akıllı, Mustafa Akın

Ege Üniversitesi Tip Fakültesi, Kardiyoloji Anabilim Dalı, İzmir

Kardiyovasküler pek çok hastalık sirkadiyen ritm göstermektedir. Tekrarlayan senkop atakları ve pozitif "tilt-table" testi olan ardışık 202 hasta (152 erkek, yaş ortalamaları: 38 ± 12) çalışmaya dahil edildi. Biz bu hastalarda senkop epizotlarının zamanı dağılımını araştırdık. 188 hastanın (140 erkek, yaş ortalaması: 37 ± 11) toplam 264 senkop atağıının zamanı değerlendirilebildi. Yapısal kalp hastalığı, nöro-psikiyatrik hastalık, vazodilatatör veya beta-bloker tedavisi alan hastalar çalışmaya dahil edilmedi. Tüm atakların haftanın günlerine göre 3 zaman diliminde (06-12AM, 12-18 PM, 18-24PM) incelendi. Bu ataklarının ilişkiliyini ayrıca hastaların cinsiyet ve yaş gruplarına (20-29, 30-39, 40-49 yıl) göre olan ilişkisi araştırıldı.

Bulgular: "Tilt-table" testin sonuçları doğrultusunda 75 hastada (%40) kardiyonihitör, 47 hastada (%25) vazodepresör, 56 hastada (%30) miks ve 10 hastada (%5) ise "postural orthostatic tachycardia" tip vazovagal senkop vardı. Senkop epizotları ile hastaların cinsiyet ve yaşları arasında anlamlı bir korelasyon saptanmadı ($p > 0.05$). Senkop ataklarının sıklığı 3 farklı zaman dilimine göre olan dağılımı sırasıyla %24, %58 ve %18 oranlarında idi ($p < 0.001$). Epizotların pik noktası hastanın ortasında (Perşembe %43) ve 12-18 PM saatleri arasında idi ($p < 0.05$). Senkop atakları açısından Pazar günü en az atığın tesbit edildiği gün olarak tesbit edildi (%5, $p = 0.038$). Sonuç olarak, vazovagal senkop atakları belirgin bir sirkadiyen değişim göstermektedir. Senkop ataklarının yaş ve cinsiyetin bağımsız olarak hastanın ortasında ve 12-18 PM saatleri arasında en sık görülmektedir.

	Pzt.	Salı	Çarş.	Pers.	Cuma	C tesi	Pazar
06-12AM	11	7	5	22	9	4	5
12-18PM	22	14	20	58	20	12	7
18-24PM	7	5	6	17	8	3	2
$\Sigma n=264$	40	26	31	97	37	19	14
	(%15)	(%10)	(%12)	(%37)	(%14)	(%7)	(%5)

Senkop ataklarının gün ve saat dağılımı

P-202

KORONER ARTER HASTALIĞI VE AŞIKAR DİYABETİ BULUNMAYAN METABOLİK SENDROMLU OLGULARDA KORONER MIKROVASKÜLER DISFONKSİYONA BAĞLI MIYOKARDİYAL PERFUZYON ANORMALLİĞİ GÖRÜLME ORANI

Yüksel Çavuşoğlu, Afşin Parspur, Emre Entok*, Alparslan Birdane, Ayşe Çitak, Canan Demirüstü**, Bilgin Timuralp

Osmangazi Üniversitesi Tip Fakültesi, Kardiyoloji Anabilim Dalı, Nükleer Tip Anabilim Dalı*, Biyoistatistik Anabilim Dalı**, Eskişehir

Amaç: Endotelial disfonksiyon, ateroskleroz sürecinin başlangıç döneminde yet alan vasküler fonksiyon bozukluğu olarak kabul edilmektedir. Endotelial disfonksiyon ile koroner mikrovasküler disfonksiyon arasında sıkı bir korelasyon olduğu bilinmektedir. Epikardiyal koroner arterlerde normal bulunan ve koroner akım rezervi ölçümeli ile koroner mikrovasküler disfonksiyon varlığı gösterilmiş olgularda miyokardiyal perfüzyon görüntülenmede perfüzyon anormallikleri saptanır. Metabolik sendromlu bulunan olgularda endotelial ve koroner mikrovasküler disfonksiyon söz konusu olabilir. Bu çalışmanın amacı; koroner arter hastalığı ve aşikar diyabet bulunmayan sekillerin metabolik sendromlu olgularda öngörülen koroner mikrovasküler disfonksiyona bağlı perfüzyon anormallüğü görülmeye oranının miyokardiyal perfüzyon görüntülenme yöntemi ile araştırılması idi.

Metod: Çalışmaya; koroner arter hastalığı kliniği olmayan, aşikar diyabet tanısı bulunmayan 39'lu kadın, yaş ortalaması 51 ± 6 yıl olan, sefilmiş metabolik sendromlu 49'lu erkekler dahil edildi. Metabolik sendrom tanısı için l-βel çevresinin erkeklerde >102 cm, kadınlarda >88 cm, 2- triglycerid düzeyinin >150 mg/dl, 3-) HDL-kolesterol düzeyinin erkeklerde <40 mg/dl, kadınlarda <50 mg/dl, 4-) kan basıncının $>130/85$ mmHg, 5-) aşıklı kan şekeri >110 ve <126 mg/dl kriterlerinden 3 tanesinin bulunması koşuluna bakıldı. Klinik olarak iskeletik göğüs ağrısı tanımlayıcılar, etof testi pozitif olanlar çalışma dışı bırakıldı. Tüm olgulara miyokardiyal perfüzyon SPECT çalışmasında perfüzyon defekt saptanılan olgulara koroner anjiyografi yapıtlarak koroner arter hastalığı ekarte edildi.

Bulgular: Çalışmaya dahil olan 49 olgunun 20'inde (%40) perfüzyon defekt saptandı, 29 olguda (%60) perfüzyon anormallüğü gözlemlenmedi. Perfüzyon defekt saptanan olgularla, perfüzyon defekt bulunmayan olgular arasında yaş (sırasıyla: 49 ± 5 ve 51 ± 7 yıl, $p > 0.05$), cinsiyet (sırasıyla: 17 kadın olgu ve 22 kadın olgu), Ki kare testinde ($p > 0.05$) ve kardiovasküler risk faktörlerinin bulunma oranlarında fark yoktu. Metabolik sendrom elementleri açısından perfüzyon defekt olanlar ve olmayanlar arasında bir fark saptanmadı ($p > 0.05$).

Sonuç: Bulgularımız, koroner arter hastalığı ve aşikar diyabet olmadısa, öngörülen koroner mikrovasküler disfonksiyona bağlı olarak, metabolik sendromlu olguların önemli bir kısmında miyokardiyal perfüzyon anormallüğünün gözlemlendiğini desteklemektedir.

P-203

DİYABETİK HASTALARDA PLAZMA HOMOSİSTEİN DÜZEYLERİ İLE KORONER ARTER HASTALIĞI PREVELANSI ARASINDAKİ İLİŞKİ

Emil Aliyev, İstemihan Tengiz, Ertuğrul Ercan, Serkan Saygı*,

Mustafa Akın*, İstemci Nalbantgil*

Central Hospital Kardiyoloji Kliniği,
Ege Üniversitesi Tip Fakültesi, Kardiyoloji Anabilim Dalı İzmir*

Amaç: Diyabetik hastalarda hiperhomositesteinemi ile kardiovasküler morbidite ve mortalite arasındaki nedensel ilişkisi tam olarak aydınlatılmamıştır. Bu çalışmada, diyabetik hastalarda plazma homositestein düzeyleri ile koroner arter hastalığı (KAH) prevalansı arasındaki ilişkili değerlendirildi.

Yöntemler: Çalışmaya, KAH şüphesiyle eftort testi veya Talyum-201 miyokard perfüzyon sintigrafisi yapılan 50 insülin bağımlı olmayan diabetes mellituslu (NIDDM) hasta alındı. Miyokardiyal iskelet belirtileri ve anjiyografik bulgulara göre hastalar iki gruba ayrıldı; Grup I (n=25), KAH olan olgular ve Grup II (n=25) KAH olmayan olgular. Bu iki grupta arasında plazma homositestein düzeyleri karşılaştırıldı. Çalışma populasyonunu aynca plazma homositestein düzeylerine göre de iki farklı gruba ayırdı; Grup H (n=23), hiperhomositesteinmeli olgular ve Grup N (n=27), normohomositesteinmeli olgular. Bu iki farklı grupta arasında endotel fonksiyonlarının göstergesi olarak brakiyal arterde akına bağlı dilatasyon (FMD) ve nitratla indüklenmiş dilatasyon (NID) değerleri karşılaştırıldı.

Bulgular: Grup I ve hiperhomositesteinmeli olgularda erkek cinsiyet baskındı. Gruplar arasında diğer klinik özellikler, lipid profilleri, hemoglobin A1c, fibrinolitik ve inflamatuar aktivite göstergeleri açısından anlamlı farklılıklar saptanmadı. Plazma homositestein düzeyi, Grup I'de Grup II ye göre anlamlı derecede yükseldi (ortalama 16.4 ± 5.1 ve 9.2 ± 2.2 $\mu\text{mol/L}$, $p < 0.0001$). Homositestein endotel fonksiyonlarına olan etkisiin değerlendirilen ikinci analizde, Grup H ve N arasında FMD ve NID değerlendirmeleri benzerdi (Tablo 1).

Sonuç: Hiperhomositesteinmeli insülin bağımlı olmayan diyabetik olgularda KAH prevalansı yüksektir. Bulgularımız hiperhomositesteinmeminin bu hastalarda KAH gelişimine sinerjistik bir katkısı olduğunu göstermektedir. Diyabetik hastalarda hiperhomositesteinmeminin tanınması risk ve прогноз tahmininde önemli olabilir.

Tablo 1. Hiperhomositesteinmeli ve normohomositesteinmeli olgularda baktan endotel fonksiyonları göstergeleri

Parametre	Grup H (n=23)	Grup N (n=27)	P
FMD (%)	7.3 ± 3.5	7.1 ± 3.6	ad
NID (%)	11.4 ± 5.4	12.2 ± 4.6	ad

Grup H: Hiperhomositesteinmeli olgular, Grup N: Normohomositesteinmeli olgular, FMD: Akına bağlı dilatasyon, NID: Nitratla indüklenmiş dilatasyon.

P-204

BİR GRUP TÜRK ERKEK VE KADINADA APOLİPOPROTEİN A-II PILOT ÇALIŞMASI: DÜZEYLER VE KORONER KALP HASTALIĞI, METABOLİK SENDROM, DİYABET RİSKİ İLİŞKİLERİ

Gülay Hergenc, Altan Onat*, Vedat Sansoy**, Serdar Türkmen***, İbrahim Sarı****, Bülent Uzunlar****, Mehmet Yazıcı****, Hüseyin Uyarel****, Güney Can*****

Yıldız Teknik Üniversitesi, Biyoloji, İstanbul

Türk Kardiyoloji Derneği, İstanbul*

İstanbul Üniversitesi Kardiyoloji Enstitüsü, Kardiyoloji Anabilim Dalı, İstanbul**

Gaziantep Üniversitesi Tip Fakültesi, Kardiyoloji Anabilim Dalı, Gaziantep***

Siyami Ersek Göğüs Kalp Damar Cerrahisi Merkezi, Kardiyoloji, İstanbul****

Abant İzzet Baysal Üniversitesi Tip Fakültesi, Kardiyoloji Anabilim Dalı, Düzce*****

İstanbul Üniversitesi Cerrahpaşa Tip Fakültesi, İstanbul*****

Amaç: Yüksek koroner kalp hastalığı (KKH) riskine sahip bireylerde apo AII düzeylerinin ilk defa belirlenmesi ve KKH, metabolik sendrom (MS), diyabet (DM) ve diğer risk faktörleri ile ilişkilerinin pilot bir çalışmada araştırılması.

Metod: TEKHARF çalışmasından 2003 yılı takibinde Marmara ve İç Anadolu bölgelerinde yüksek riskli 194 erkekte ve kadınlardaapo AII ilk defa ölçüldü. Metabolik sendrom tanısı NCEP ATP III kılavuzu, diyabet Amerikan Diyeti Derneği kriterlerine göre kondu, risk durumu TEKHARF risk puanıyla belirlendi. Apo AII, yükseks hassasiyetli C-reaktiv protein (CRP), kompleman C3 (C3), apo A1, apo B, Lipoprotein (a) [Lp(a)] nefelometrik olarak, Total fosfolipitler, total kolesterol, triglicerider, şeker, HDL-K (direkt-çökütmesiz), trik asid, ve GGT biyokimya otoanalizöründe enzimatik metod ile, insülin kemilüminasesin immunoassay ile ölçüldü. Sitrath plazmada fibrinojen ölçümü Clause yöntemi ile sahada yapıldı. İstatistiksel analizler SPSS-9 paket programı kullanılarak yapıldı.

Bulgular: TEKHARF risk puanına göre orafalama risk puanı erkeklerde 22.5, kadınlarda 25.0 idi. Çalışma grubumuzda MS %49, KKH %29.9, DM %19.6 ve bozulmuş açlık glukozu %22, olarak görülmektedir. Kadınlarda MS (%65.9) erkeklerde ise iki kat sıktı. Erkek (30.4 ± 4.4 mg/dl) ve kadın (33.7 ± 7.2 mg/dl) apo AII düzeyleri arasında anlamlı fark bulunmadı. Korelasyon analizinde 26 risk parametresi içerisinde apo AII, fosfolipit, apo A1, HDL-K, total kolesterol ($r=0.66$ ile 0.38 , $p<0.0001$), kompleman C3, triglycerider ($r=0.26$ ve 0.21 , $p<0.01$), LDL-K, beden kitle indeksi ($r=0.17$ ve 0.15 , $p<0.05$) ile anlamlı, sigara kullanım ($r=0.26$, $p=0.002$) ve yaş ($r=0.15$, $p<0.05$) ile ters anlamlı ilişki gösterdi. MS ile apo AII arasında sınırlı anlamlı ilişki kaydedildi. Oniki değişkeni kapsayan linear regresyon analizinde HDL-K ($p<0.001$) ve kompleman C3 ($p=0.013$) apo AII'nin yegane bellişiricileri olarak saptandı. Lojistik regresyon analizinde yaş ve cinsiyet ayırlı apo A-II KKH, MS ve diyabet açılardan anlamlı bir ilişki sergilemedi.

Sonuç: Sağlıklı kişileri daha geniş şekilde içeren bir kitlede apo A-II'nin KKH, MS ve DM açılardan incelenmesi ve prospektif olarak takip edilmesinde yarar gömekteyiz.

Epidemiyoloji

P-205

AKUT İNFERİYOR MİYOKARD İNFARKTÜSÜNDE SAĞ VENTRİKÜL TUTULUMUNU GÖSTEREN 12 DERİVASYON EKG KİTRERLERİ

Alparslan Birdane, Savaş Beyaztaş, Serhat Kuşkuş, Ayşe Çitak, Cengiz Bal*, Necmi Ata, Ömer Göktekin, Bilgin Timur alp

Osmangazi Üniversitesi Tıp Fakültesi, Kardiyoloji Anabilim Dalı, Biyoistatistik Anabilim Dalı*, Eskişehir

Amaç: Akut inferiyor miyokard infarktüsüne (AIM) sağ ventrikül tutulumunun eşlik etmesinin eikilenen miyokardiyal alanı ve mortaliteyi artırdığı bilinmektedir. Çalışmanın amacı; sağ ventrikül MI teshisinde kullanılan V4R derivasyonunun her hastanede rutin çekilebilirliğinin hemiz yerleşmemesi olması veya umutulmasından hareketle standart EKG de V4R (+)lığını gösterebilecek, önceki çalışmalarla tarif edilen EKG kriterlerini gözden geçirmektir.

Metod: Prospektif olarak, 2000-2004 tarihlerinde AIM ile başvuran 130 hasta (116 erkek/14 bayan ortalama yaşı 56 ± 11 (29-86) alındı. Ortalama başvuru süresi 0,5-9 saat (3,9±2,1). Standart 12 ve sağ derivasyonlu EKG çekilekler V4R de ST segmentinin en az 1mm yüksük olup olmadığına bakıldı. V4R (+) olan grup için gözden geçirilecek EKG kriterleri; AVL>1mm ST çökmesi, ST yüksekliğinin DIII>DII olması, ST yüksekliğinin D II < DIII ve DI ve AVL de ST çökmesi olarak belirlendi.

Bulgular: Vakaların 56'sında (%43) V4R derivasyonunda 1 mm üzerinde ST yüksekliği mevcuttu. AVL derivasyonunda ST çökmesinin 1 mm den fazla olmasına ve ST yüksekliğinin DIII de DII den fazla olmasına V4R (+)lığını belirlemektedir. Tablo 1'de kriterlerin istatistiksel değerler verilmiştir.

Sonuç: Akut inferiyor MI'nın ilk saatlerinde sağ ventrikül derivasyonlarına ait bir EKG çekilmemiş olsa bile başlangıçtaki standart EKG deki kriterlere bakarak V4R (+)lığını yüksek bir hassasiyetle tahmin edilebilir.

P-206

TÜRKİYE'DE SAĞLIKLI GENÇ ERİSKİN ERKEK POPULASYONUNDAN KORONER RISK FAKTÖRLERİNİN İNCELENMESİ: KESİSEL BİR ANALİZ

Cem Barçın, Atilla İyisoy*, Hürkan Kurşaklıoğlu*, Serkan Tapan, Sedat Köse*, Hasan Fehmi Töre*, Ersoy Işık*

Jandarma Hastanesi, Kardiyoloji Servisi, GATA Kardiyoloji, AD Ankara*

Amaç: Bu çalışmada düzenli egzersiz yapan ve benzer bir diyetle hesteneş岐善的 genç erişkin erkeklerde koroner risk faktörlerinin belirlenmesi, TEKHARF kohortundan saptanan değerler ile karşılaştırılması amaçlanmıştır. Yöntem: Askeri okulda okuyan 1179 birey çalışmaya aldı. Bireylerin biyokimyasal ölçümleri en az 10 saatlik açık sonrası alındı. Arteriyal kan basıncıları 5'er dakika arayla sağ koldan, oturur pozisyonda ölçulen değerlerin ortalaması olarak kaydedildi. Bireylerin bel ve kafça çevreleri iç çamuru üzerinden ölçüldü. Sigara içenler 3 kademe ile skorlandı (1:Günlük ortalaması 1-10 sigara, 2:ortalama 11-20 sigara, 3:20'den fazla). Sigara içmeyenlere, daha önce içip bırakılanlara dahil olmak üzere 0 skor verildi.

Bulgular: Bireyler en az 6 aydır günde yaklaşık 1 saat düzenli egzersiz yapmaktadır. Günlük kalori alımı yaklaşık 4000-4500 kcal olarak hesaplandı. Bu şartlar altında elde edilen değerler Tablo'da gösterilmiştir.

Sonuç: Bu çalışma Türkiye nin tüm bölgelerinden gelen ancak egzersiz ve diyet açısından benzer koşullarda yaşayan bir populasyonun incelenmesi açısından önemlidir. Elde edilen sonuçlar TEKHARF 1990 kohortu Türkiye ortalaması ile karşılaştırıldığında, çalışmamızda tüm risk faktörleri olumlu yönde farklıdır. Bu sonuçların çalışma bireylerinin seçilmiş sağlıklı bireyler olmasından, dengeli beslenmeden ve en önemlisi düzenli egzersizin kaynaklandığı düşünülmektedir.

Koroner risk faktörleri ortalamaları

	Ortalama	SD
Yaş (yıl)	21.4	1.5
Sistolik KB (mmHg)	107.6	11.2
Diyastolik KB (mmHg)	68.0	9.4
T. Kolesterol (mg/dL)	148.6	26.9
HDL-K (mg/dL)	47.8	10.3
LDL-K (mg/dL)	84.5	23.7
VLDL-K (mg/dL)	16.6	10.5
Triglicerid (mg/dL)	79.9	31.2
Bel Çevresi (mm)	77.1	5.2
VKI (kg/m ²)	22.6	8.9
Glukoz (mg/dL)	85.5	8.2
Sigara Kademesi	1.05	0.7

VKİ: Vücut kitle indeksi, KB: kan basıncı

P-207

PREMATÜR KORONER ARTER HASTALIĞI BULUNAN ERKEK VE BAYAN HASTALARIN MAJÖR KORONER RISK FAKTÖRLERİ YÖNÜNDEN KARŞILAŞTIRILMASI

Ayşe Saatçi Yaşa, Hasan Turhan*, Ertan Yetkin*, Nurcan Başar, Asuman Biçer, Ali Rıza Erbay, Onur Şahin, Hatice Şaşmaz

Türkiye Yüksek İhtisas Hastanesi, Kardiyoloji Kliniği, Ankara İnönü Üniversitesi Turgut Özal Tıp Merkezi, Kardiyoloji Anabilim Dalı, Malatya*

Amaç: Yaş koroner arter hastalığı için önemli bir risk faktördür. Ancak son yıllarda koroner arter hastalığının genç yaşlarında da görülmeye sıklığı artmıştır. Genç ve yaşlı koroner arter hastaların koroner risk faktörlerini yönünden farklılık göstermektedir. Genç koroner arter hastalarında sigara kullanımı, ailede prematür koroner arter hastalığı ölümlü ve hiperlipidemi daha önceden deplasman, yaşlı hastalarda diabet ve hipertansiyonla ilişkilidir. Genel olarak hastalıkların risk faktörlerinin prevalansı cinsiyet farklılığı göstermesine karşılık prematür koroner arter hastalığı bulunan erkek ve bayan hastaların koroner risk faktörlerini yönünden karşılaştırmamıştır. Bu veriden yola çıkarak biz bu çalışmada prematür koroner arter hastalığı bulunan erkek ve bayan hastaları majör koroner risk faktörlerini yönünden karşılaştırmayı planladık.

Metod: Çalışmaya hastanemizde koroner arter hastalığı tanısı alınmış 45 yaş ve altı 489 erkek hasta (ortalama yaşı=38±4) ve 83 bayan hasta (ortalama yaşı=39±4) dahil edildi. Hastalar majör koroner risk faktörleri olan hipertansiyon, sigara kullanımı, diabet, ailede prematür koroner arter hastalığı ölümlü, yüksek total ve LDL kolesterol ve düşük HDL kolesterol varlığı yönünden değerlendirildi. Bulgular: Her iki cinsiyet majör koroner risk faktörlerini yönünden karşılaştırmadığında prematür koroner arter hastalığı bulunan bayan hastalarında diabet ve hipertansiyon anamli derecede daha yüksek tespit edildi (diabet: bayan: 23/83 (%27,7) ve erkek: 60/489 (%12,3), p<0,001, hipertansiyon: bayan: 47/83 (%56,6) ve erkek: 116/489 (%23,4), p<0,001). Sigara kullanımının yönünden karşılaştırmadığında prematür koroner arter hastalığı bulunan erkek hastalarında sigara kullanımı istatistiksel olarak anlamlı düzeyde daha yüksekti [bayan: 24/83 (%28,9) ve erkek: 344/489 (%70,3), p<0,001]. Ailede prematür koroner arter hastalığı ölümlü yönünden karşılaştırmadığında her iki cinsiyet arasında anlamlı fark yoktu [bayan: 35/83 (42,2) ve erkek: 228/489 (%46,6), p=0,45]. Ayrıca, dislipidemi yönünden değerlendirildiğinde de gruplar arasında anlamlı fark tespit edilmedi [bayan: 56/83 (%67,5) ve erkek: 286/489 (%58,5), p=0,12].

Sonuç: Biz bu çalışmada prematür koroner arter hastalığı bulunan erkek ve bayan hastaların majör koroner risk faktörlerini yönünden farklılık gösterdiği tespit ettiğimizde bu bulgumuz prematür koroner arter hastalarına yaklaştırmada genelde gözardı ettiğimiz cinsiyet faktörünün önemine dikkat çekmesi yönünden anlamlı olduğunu düşünüyoruz.

P-208

KRONİK DÜŞÜK DOZ KURŞUN MARUZİYETİNİN ADOLESEN ERKEKLERDEKİ KARDİYAK ETKİLERİ

Çağatay Arslan, Meltem Koyuncu Arslan, Ahmet Altınbaş, Ömer Gedikli, Güleren Alsancak, Mustafa Gültepe*

Süleyman Demirel Üniversitesi Tıp Fakültesi, Isparta GATA Haydarpaşa Eğitim Hastanesi*, İstanbul

Amaç: Adolesan erkek otomatımlılarla kronik düşük doz kurşun maruziyetinin kardiyovasküler etkilerini araştırmak.

Yöntem: Oto tamirhanelerinde çalışan 83 adolesan erkek hasta ve sosyodemografik özellikleri benzer, normal liseli eğitime giren 75 öğrenci kontrol grubu olarak alındı. Kan kurşun düzeyi atomik absorbsiyon spektrofotometri, cinkoproporfin (ZnPP) hematoftlormetri, delta-aminolevulinikasitdehidrataz (ALAD) spektrofotometri, serum proBNP düzeyleri elektrokromiluminansimmunoassay ile ölçüldü. Dinystolik fonksiyonları konvansiyonel pulsed-wave Doppler ile transmítrial ve pulmoner veden ölçüldü. Sol ventrikül ve atriyum çap ölçümü yapıldı. Doku Doppler ekokardiyografi ile ölçümler mitral anulusten yapıldı. Bulgular: Ortalama yaş hasta grubunda 17,2±1,0, kontrol grubunda 17,0±1,1, hasta grubunda ortalama çalışma süresi 3,4±1,6 yıldır. Kan kurşun düzeyleri hasta grubunda 7,7±3,9, kontrol grubunda 1,6±0,8 µg/dl idi ($p<0,001$). ALAD ve ZnPP düzeyleri hasta grubunda daha yüksekti. Kan basıncı, kalsiyum, kalsitonin, elektrokardiyografi bulgular ve serum pro-BNP düzeyleri her iki grupta normaldi. Sol ventrikül diystolik sistol somu ve sol atriyum çapları normaldi ancak hasta grubunda daha yükseldi. Ejeksiyon fraksiyonları, mitral A dalgası velocitiesi, izovolumetrik relaxasyon zamanı ve deselerasyon zamanı her iki grupta benzer ve normaldi. Mitral E dalgası velocitiesi ($1,056\pm0,158$ ve $1,006\pm0,130$ m/sn, $p<0,05$) ve E/A oranı hasta grubunda daha yükseldi. Pulmoner ven diystolik akım velocitiesi hasta grubunda daha yükseldi ($0,746\pm0,178$ ve $0,746\pm0,178$ m/sn, $p<0,001$) ancak sistolik akım velocitiesi her iki grupta benzerdi. Doku Doppler ekokardiyografi ile mitral anüller E değerleri ($0,184\pm0,025$ ve $0,166\pm0,026$ msn, $p<0,001$) ve E/A oranı hasta grubunda daha yükseldi. S akım velocitiesi benzerdi. Doku Doppler ekokardiyografi ile mitral anüller A değerleri hasta grubunda daha düşükü ancak istatistiksel fark saptanmadı. Sonuç: Hasta grubunda pulsed-wave Doppler ile mitral E ve pulmoner ven diystolik akım velocitiesi ile mitral E ve pulmoner ven diystolik akım velocitiesi mitral E/oranının artması sol ventrikül kompliyansında azalma ve sol atriyum basıncında artışı gösterebilir. Bu sonuçlar hasta grubunda saptanan daha geniş sol atriyum ventrikül çapları ile ilgili olabilir. Hernikadar diystolik disfonksiyon kriterlerine uyması da buriler ve doku Doppler ekokardiyografi sonuçları kardiyovasküler sistemini bu hastalarda dışılık dozlu kronik kurşun maruziyetine erken adaptif yanıtları olarak ortaya çıkarabilir. Bu popülasyonun daha uzun dönemdeki kardiyak etkilenme açısından izlenmesi gerekmektedir.

P-209

TESTESTERON VE SENDROM X

Kenan İltümür, Aziz Karabulut, Güllen Toprak*, Dilek Ülker Çakır*, Beran Yokus*, Nizamettin Toprak

Dicle Üniversitesi Tıp Fakültesi, Kardiyoloji Anabilim Dalı, Biyokimya*, Diyarbakır

Amaç: Erkeklerde düşük testesteron düzeyinin kardiyovasküler riskle ilişkili olduğunu ait güçlü kanıtlar vardır. Testesteron düzeyi düşüklüğü ile ateroskleroz arasında bir ilişkinin olduğunu inanılmaktadır. Bu çalışmada Sendrom-X ile testesteron arasındaki ilişkinin incelenmesi amaçlandı. Sendrom X tanısı almış 50 (25 E, 25 K yaş 51 ± 10) hasta ile herhangi bir kardiyak risk faktörü olmayan 50 (25 E, 25 K, yaş 48 ± 11) kontrol vakası çalışmaya alındı. Kan basinci, lipid profili, acların sekeri ve beden kitle indeksi (BKİ) ile beraber total testesteron ölçümü yapıldı.

Bulgular: Total testesteron düzeyi kontrol grubu ile karşılaştırıldığında Sendrom X grubundaki erkeklerde önemli düzeyde düşüktü (4.9 ± 2.2 ve 3.6 ± 1.1 , $p < 0.01$). Aynı zamanda Sendrom X grubundaki kadınların testesteron düzeyi göre düşük olsada istatistiksel olarak önemli bir fark yoktu (0.43 ± 0.17 ve 0.35 ± 0.22 , $P > 0.05$). Ayrıca yapılan incelenmelerde testesteron düzeyi ile BKİ ($r = -0.34$, $p < 0.001$) ve diystolik arter basinci ($r = -0.29$, $p = 0.21$) arasında negatif bir korelasyon saptandı.

Sonuç: Sendrom X hastalarında önemli derecede total testesteron düşmektedir. Özellikle obezite ile ilişkili olan bu durum aterosklerozun gelişimi ve ilerlemesine katkı sağlıyor olabilir.

P-211

KALP NAKLI SONRAŞI ERKEN ATEROSKLEROZUN ENDOMİYOKARDİYAL BIOPSİ SKORU İLE OLAN İLİŞKİSİ

Serkan Saygı, Mehdi Zoghi, Sanem Nalbantgil, Tahir Yağız*, Mustafa Akın, Mustafa Özbaran*, İsa Durmaz*

Ege Üniversitesi Tıp Fakültesi, Kardiyoloji Anabilim Dalı, İzmir
Ege Üniversitesi Tıp Fakültesi*, İzmir

Transplant vaskülopatisi (TV) hızlı gelişen atersklerozun bir formudur. Intravasküler USG (IVUS) yöntemi TV tanısında koroner anjiyografide göre daha hassas olan bir tanı yöntemidir. Biz bu çalışmada kalp transplantasyonu (KT) uygulanan hastalarda IVUS yöntemi ile test edilen TV'nin yaygınlığı ve doku reddinin derecesi (biopsi skoru) ile otan ilişkisini araştırmayı planladık. 1998-2003 yılları arasında kalp transplantasyonu uygulanan 24 hastanın (yaş ortalamaları: 47 ± 12 yıl, %83'ü erkek) IVUS yöntemi kullanılarak damar alan, lümen ve plak alanları yanısına intimal kalınlığı toplam 195 koroner arter segmentinde ($24:LMC, 63:LAD, 57:Cx, 51RCA$) ölçüldü. Tüm hastaların endomiyokardiyal biyopsi (EMB) işlemleri transplant protokolüne uygun olarak yapıldı. Histolojik rezeksiyonun rakamsal olarak ortalama değeri iki yıl içerisindeki total biyopsi sayısına bölünerek biyopsi skoru olarak ifade edildi ve intimal kalınlaşma ile korelasyonu değerlendirildi.

Bulgular: Hastaların %26'sında da TV ve bu grubun %66.6'sında >2 koroner arterde belirgin intimal kalınlaşma (>0.5 mm) saptanırken segmentlerin %25'inde distal lokalizasyon söz konusu idi. Aterosklerozun yaygınlığı döner yaşı ($r = 0.42$, $p = 0.02$) ve biyopsi skoru ($r = 0.40$, $p = 0.001$) ile korelasyon göstermektedir. İzlem süresinde (12 ± 4 ay) incelenen tüm segmentlerdeki damar lümeni alanında anlamlı bir değişiklik gözlenmedi. 10 hastada intimal hiperplazi (%43 segmette) saptanırken hastaların 4 hastada tüm koroner segmentlerinde pozitif yeniden biçimlendirme (remodeling) saptandı. Intimal kalınlaşma LAD'de diğer arterlere göre daha fazla idi ($p < 0.001$).

Sonuç olarak; Allograft vaskülopati gelişimi koroner arterler ve aynı hastanın koroner segmentleri arasında farklılık göstermektedir. Kalp nakli hastaların izleminde doku reddinin derecesi ve sıklığı (biopsi skoru) aterosklerozun hızlı gelişimi ile doğru orantılıdır.

P-210

SOL VENTRIKÜL ANEVRYİZMALARININ CERRAHİ TEDAVİSİ

Hikmet Koçak, Necip Becit, Münacettin Ceviz, Yahya Ünlü, Yekta Gürler top*, Yusuf Velioğlu

Atatürk Üniversitesi Tıp Fakültesi, Aziziye Araştırma Hastanesi, Kardiyoloji Anabilim Dalı*, Erzurum

Amaç: Miyokardial infarktüs sonrası gelişen sol ventriküler anevrizmaların yükselen morbidite ve mortaliteleri nedeniyle takibi, cerrahi zamanlaması ve cerrahisi önemlidir. Sol ventriküler anevrizmalarla uyguladığımız cerrahi teknikler ve sonuçları sunuldu.

Yöntem: Kalp ve Damar Cerrahisi ABD'da 1992-2004 yılları arasında myokardial infarktüs sonrası gelişen sol ventrikül anevrizmasını nedeniyle aynı ekip tarafından opere edilen 32 olgu retrospektif olarak değerlendirilmiştir. Uyguladığımız cerrahi metodlar; endovenküller sirküler patch plasty (Dor operasyonu), sentetik yama ile endoanevrizmografi, anevrizmektoni + linear tamir, anevrizmektoni + perikard veya sentetik yama ile septoplasti + linear tamir idi. Preoperatif ve postoperatif klinik, hemodinamik ve ekokardiografik bulguları değerlendirildi. Bulgular: Çalışmaya katılan olgulardan 26'sı erkek (%81.3), 6'sı (%18.7) kadındır. En genç 33, en yaşlısı 80 yaşındaydı. Olguların ortalaması yaşı 55.7 olarak hesaplanmıştır. Operasyon için primer endikasyon 20 olguda (%62.5) angina pektoris (CCS class II veya daha fazla) ve 12 olguda (%37.5) dispne (fonksiyonel kapasitesi NYHA Class III veya IV) idi. Preoperatif global olarak sol ventrikül ejeksiyon farksiyonu (LVEF) ortalaması %32.9 (%20-40) idi, 15 olguya (%46.9) Dor operasyonu, 13 olguya (%40.5) anevrizmektoni + lineer tamir, 2 olguya (%6.3) sentetik yama ile endoanevrizmografi ve 2 olguya (%6.3) anevrizmektoni + septoplasti + linear tamir yapılmıştır. Sadece anevrizma cerrahisi 2 olguda yapılrken, 30 olguya CABG (%93.8) yapıldı. Bu olguların 15'inde yalnızca sol anterior descending arter (LAD) revaskülarize edildi. Ortama bypass greft sayısı 1.94 (1-5 greft) idi. 1 olguya (%3.1) postinfarktüs VSD tamiri, 1 olguya (%3.1) da MVR yapıldı.

Sonuç: Hastane mortalitesi %6.5 (2 olgu) dir. Olgularımızın %90'ı anginasızdır ve fonksiyonel kapasitesi NYHA Class II veya daha azdır. Yorum: Sol ventrikül anevrizma cerrahisi ve CABG, regional afterloadı azaltarak olguların noninfarkte myokardiumun ejeksiyon performansını, kardiyofonksiyonlarını iyileştireceği ve olguların fonksiyonel kapasitelerini anlamlı olarak düzeltebileceğini kanaatindeyiz.

P-212

KRONİK RENAL YETMEZLİKDE MİYOKARDİYAL REVASKÜLARİZASYON

Vedat Erentuğ, Nihan Kayalar, Adil Polat, Başar Sareyyüboğlu, Nilgün Ulusoy Bozbuğa, Kaan Kiralı, Esat Akıncı, Cevat Yakut

Koşuyolu Kalp Eğitim ve Araştırma Hastanesi, Kardiyoloji, İstanbul

Amaç: Kronik böbrek yetmezliği varlığında koroner revaskülarizasyon yapılan olgular perioperatif ve erken dönem sonuçları ile retrospektif olarak değerlendirildi.

Yöntem: Kliniğimizde, diyalize bağımlı olan veya olmayan kronik renal yetmezliği olan 31 hasta çalışmaya alındı. Onbir hasta preoperatif dönemde diyaliz programındaydı. Operasyon sırasında ortalama yaşı $62,45 \pm 9,34$ (41-75) idi. Ortalama EF %50,00 ± 7,99 (%35-64) olarak tespit edilmiştir. Hastaların preoperatif ortalama kreatinin değeri diyaliz programına dahil olmayan hastalarda $2,4 \pm 1,4$ g/dl, diyaliz programına dahil hastalarda $5,88 \pm 2,84$ g/dl olarak ölçüldü. Hastalarımızın 13'ü atan kalpte bypass tekniği ile opere edilirken 18 hasta kardiyopulmoner bypass yardımı ile koroner bypass uygulandı. Kardiyopulmoner bypass yardımı ile opere edilen hastalarda ortalamalı greft sayısı $2,8 \pm 0,9$ iken atan kalpte opere edilen hastalarda bu sayı $1,6 \pm 0,7$ olarak tespit edildi. Komplet revaskülarizasyon kardiyopulmoner bypass ile opere edilen hastaların %77,7'sinde gerçekleştirilebilirken atan kalpte opere edilen hastaların %76,9'unda gerçekleştirildi. Her iki grup postoperatif komplikasyonlar, mortalite/morbidite, hastane ve yoğun bakım kalış sürelerini açısından inceldi.

Bulgular: Erken mortalite 3 hasta ile %9,67 olarak gerçekleşti. Perioperatif dönemde 2 hasta anteriyor miyocard enfarktüsü gelişti ve iki hastaya intraortik balon pompası (IABP) desteği sağlanması gereklili oldu. Sternal dehisans, enfeksiyon gelişimi ve nörolojik problemler gibi komplikasyonların kardiyopulmoner bypass yardımı ile opere edilen hastalarda atan kalpte opere edilen hastalara göre daha sık geliştiği tespit edildi ($p = 0,02$). Her iki grupta mortalite, aritmii, perioperatif miyocard enfarktüsü ve drenaj miktarları açısından farklılık gözlemedi. Atan kalpte opere edilen hastaların entubasyon sürelerinin, yoğun bakım ve hastane kalış sürelerinin daha kısa olduğu görülmekte birlikte hasta sayısı az olduğundan istatistiksel olarak anlamlı farklılık bulunamadı. Sonuç: Kronik renal yetmezlik nedeniyle takip edilen ve eşlik eden koroner arter hastalığı olan hastalar preoperatif olarak risk faktörleri ve eşlik eden hastalıklar ile olası komplikasyonlar açısından iyi değerlendirilmeli ve operasyon stratejisi dikkate alınmalıdır. Koroner arter anatomisinin uygun olduğu durumlarda atan kalpte koroner revaskülarizasyonun bu hastalarda uygun bir seçenek olduğunu düşünmektediriz.

INTRAOPERATİF INTERNAL MAMMARIYAL ARTER GRAFT DISSEKSIYONU: FARKLI SENARYOLAR

Gerçek Çamur, İlyas Kayacıoğlu, Cüneyt Konu Alp, Abdullah Kemal Tuygun, Mine Tavlı, Atilla Kanca, İbrahim Yekeler

Siyami Ersek Göğüs, KDC Merkezi, Kalp ve Damar Cerrahisi, İstanbul

Amaç: Internal mammarial arter (IMA) koroner arter cerrahisinde en çok tercih edilen greftidir. Ancak, diğer greftlere göre daha nazik bir yapıdadır ve kolayca diseske olabilir. Bu çalışmada, kliniğimizde rastladığımız olgular nedeniyle ameliyat sırasında olusabilecek farklı IMA disseksiyonu (DS) senaryolarını ve cerrahi stratejileti tattışıyoruz.

Olgular: İlk senaryo, IMA'nın çıkartılırken travmatize edilmesine bağlı olarak görülen DS'lardır. Bu olgularda IMA kesildikten sonra kan akımının olmadığı veya çok yetersiz olduğu gözlemdir. Hemen tüm olgularda DS'nın başlama veya intimal flap noktası dikkatli bir muayene ile dışarıdan saptanabildi. Bu noktaya ve DS'nın yayılmasına göre bazı vakalarda IMA serbest greft olarak kullanılabildi. İkinci senaryo, distal anastomozdan ve kros klempl (KK) alındıktan sonra kalbe yapılan manipasyonlar nedeniyle IMA'nın gerilmesi ve diseske olmuştur. Bir olgumuzda kardiyopulmoner bypass altında kalbe yapılan bir manipasyonun hemeni sonrasında IMA'nın tonusunda azalma olduğu ve anastomoz hattında greftin ucundaki bombeliginin kaybolduğu farkedilmiş ve tekrar KK konarak greft sökülmüştür. Eksplorasyonda IMA'da yaygın DS olduğu gözlenmiş ve anastomoz safen ven ile yenilemiştir. Üçüncü senaryo, greft anastomozundan sonra IMA'ya direkt olarak yapılan manipasyonlar nedeniyle gelişen travmatik DS'lardır. Bir olgumuzda, IMA üzerinde kanama kontrolu yapılan klips damar lumenini takip eden bir manipasyonla kapatılmıştır. Klips tekrar çıkartıldığı anda DS gelişti. DS'nın iki tarafına doğru yavaşça iterlediği gözle izlenmiştir. Bu naktanın her iki tarafında sağlam segmentlere Bulldog klempli konularak DS'nın durması sağlanmıştır. Daha sonra ikinci klemplin distalinden IMA kesildi. Geri akımın olduğu ve greftin uzunluğunun yeterli olduğu görülmeyece IMA'nın proksimal ucu daha önce yapılmış olan diyalognal artere bağlı safen ven greftine uç-yan olarak anastomoz edildi. Bu senaryoda DS'nın hemen farkedilerek durdurulması ve distal anastomozun bozulmaması nedeniyle hem arteriel greft korunabilmiş, hem de tamir KK kommadan yapılmıştır.

Sonuç: IMA'nın DS'u hemen daima ameliyat sırasında gerçekleşir. IMA'nın çıkartılırken travmatize edilmesi, prob sokulması, çeşitli nedenlerle gerilmesi, grefti veya kalbe yapılan manipasyonlar DS ihtiyalini artıran faktörlerdir. Ameliyat sırasında fark edilmeyen DS'lar hastanın ölümü ile sonuçlanabilir. Bu nedenle, DS riskini azaltacak tedbirlerinin alınması, muhtemel bir DS'nın ameliyat sırasında teşhis edilmesi ve teşhis eder etmez DS'u sınırlıracak stratejiler geliştirerek daha kompleks cerrahi çözümlerden kaçınılması çok önemlidir.

GEÇ DÖNEM SAFEN VEN GRAFT HASTALIĞINDA HEMOSTATİK SİSTEMLİN GENEL DEĞERLENDİRİMESİ

Orhan Maden, Dursun Aras, M. Timur Selçuk, Hatice Selçuk, Cemal Özbakır, Arslan Öcal, Bilal Geyik, Omaç Tıfekçioglu, Yücel Balbay, Hatice Şaşmaz, Şule Korkmaz

Türkiye Yüksek İhtisas Hastanesi Kardiyoloji Kliniği, Ankara

Giriş: CABG cerrahisinden sonra yıllar geçtikçe daha fazla karşımıza çıkan greft tikanıklığı halen önemli bir problem olmuştu devam etmektedir. Koroner arter hastalığının patogenezinde öne sürülen hemostatik sistemin çeşitli kollarındaki artırmalar ya da azalmalar aktivite varlığı (trombosit aktivasyonu veya prokoagulan mekanizmaların baskınlığı) ya da fibrinolitik sistemindeki yetersizlik gibi sonucu greft hastalığında ayrıntılı bir çalışma konu olmuştur.

Amaç: Bu çalışmadaki amaç, safen ven greftlerinde geç dönemde gözlenen greft tikanıklığı ile, trombosit aktivasyonu, koagülasyon sistem inhibitörleri, fibrinolitik sistem aktivitesi ve endotel disfonksiyonu arasındaki ilişki ortaya koymaktır.

Metod: Bu çalışmada, daha önce koroner angiografisi yapılmış, CABG işlemi uygulanan ve koroner bypass için en az 1 tanesi safen ven kullanılan, TYHİ Kardiyoloji kliniğinde kasım 1999 ve ocak 2002 yılları arasında kontrol koroner angiografisi yapılan, toplam 91 hasta (64 erkek, 27 kadın) alınmıştır. Safen ven greftleri kontrol koroner angiografisinde açık ve kapalı olarak tarifedilmiştir. Her hasta en az 8 saatlik bir açlık, sigara içiminin olmadığı ve 1 saatlik supın istirahattan sonra koroner angiografi amaci ile laboratuvarı alınmıştır ve kan örneklemesi yapılmıştır.

Bulgular: Yapılan kontrol koroner angiografide toplam 91 hastadan 44'ünde tikanıklık safen ven greftlerinden en az birisinin tıkalı olduğu saptandı. 47 hastadaki safenler açık idi. Hastalar safenleri açık olanlar ve en az bir safen tıkalı olanlar olarak iki gruba bölünderek istatistiksel değerlendirme gerçekleştirildi. Her iki grup yaş, cinsiyet, koroner arter hastalığı, ijen klasik risk faktörleri, geçirilmiş MI, safenlerin anastomoz edildiği damar bakımından benzerdi ($p>0.05$). İncelenen hematolojik parametrelerden, iki grupta koagülasyon faktörleri fibrinojen, koagülasyon faktörlerin inhibitörleri protein C, protein S ve antitrombin 3, fibrinolitik sistemin aktivitesi, yanstan dimer açısından istatistiksel anamaliği oluşan farklılıklar saptayamazken greftlerin tıkalı grupta trombosit aktivasyonunu gösteren PF4 ($p<0.001$) ve endotel disfonksiyonunun rolü olduğu yöndeştir. Bu dönemdeki tikanıklıklarla endotel disfonksiyonu neticesi tetiklenen trombosit aktivasyonu merkezi rolü üstleniyor olabilir.

Tablo 1. Grupların Hemostatik Parametreler Açısından Karşılaştırılması

	Safen açık	Safen tıkalı	p
Protein C(%)	97,37±21,24	92,39±20,38	0,24
Protein S(%)	72,87±25,95	67,76±25,72	0,34
Antitrombin 3(%)	111,51±16,92	108,51±17,75	0,58
APCR	1,79±0,51	1,88±0,47	0,28
D dimer(g/ml)	308,225±104,21	316,79±107,14	0,66
Fibrinojen(g/L)	4,67±1,7	4,48±1,4	0,58
PF4	42,6±31,25	77,1±31,13	0,001
vWF	116,88±50,60	153,46±56,38	0,02

SAFEN VEN GRAFT TİKAŞI OLAN HASTALARDA ASPIRİN DIRENCİ

Göksel Çağırıcı, Ozcan Özdemir, Dursun Aras, Sevinç Yılmaz, Selime Ayaz**, Yücel Balbay, Hatice Şaşmaz, Şule Korkmaz*

Türkiye Yüksek İhtisas Hastanesi, Kardiyoloji, Hematoloji*, Biyokimya**, Ankara

Amaç: Bu çalışmada koroner arter bypass operasyonu geçiren ve safen ven grefti kullanılan hastalarda, bu greftin tıkanması ile aspirin direnci arasındaki ilişki incelenmiştir.

Yöntem: Çalışmaya postoperatif semptomları nedeniyle kardiyak kataterizasyon yapılan 44 hasta dahil edilmiştir. Tüm hastalar öncesinde safen ven greftinin kullandığı koroner arter bypass operasyonu geçirmiştir. Hastaların tamamı 150-300 mg/gün aspirin kullanmaktadır. Tüm koroner angiogramlar hastaların semptom durumlarını ve laboratuvar bulgularını bilmeyen uzman kardiyologlar tarafından incelenmiştir. Hastaların kan örnekleri Platelet Function Analyzer-100® (PFA-100®) tarafından analiz edildi.

Bulgular: Çalışmaya alınan 44 hasta (34 Erkek, 10 Kadın) 13'ünde (%29,5) aspirin direnci mevcuttur. Safen ven greft tıkanıklığı olan grup ile olmayan grupta aspirin direnci olan hasta sayısı benzerdi (%35 ve %24, p=0,4). Safen ven greft tıkanıklığı olan 23 hasta, tıkanıklığı olmayan 21 hasta ile yaş, cinsiyet, vücut kitle indeksi, operasyon sonrası geçen süre, majör kardiyovasküler risk faktörleri, günlük aspirin dozu, miyokard enfartüsü öyküsü, sol ventrikül ejeksiyon fraksiyonu, trombosit sayısı, ortalama trombosit hacmi, fibrinojen ve kolesterol seviyeleri, greft sayıları, ortalama kollagen/ADP ve kollagen/epinefrin değerleri ve aspirin direncine sahip hasta sayıları açısından fark yoktu. Ortalama kollagen/ADP ve kollagen/epinefrin değerleri aspirin direnci olan hasta grubundan daha yüksekti. Operasyon sonrası 12 ay içinde safen ven grefti tıkanan grup ile 12 aydan sonra safen ven grefti tıkanan grup arasında ortalama kollagen/ADP ve kollagen/epinefrin değerleri benzerdi. Safen ven grefti operasyondan sonra 12 ay içinde tıkanan ve 36 aydan sonra tıkanan grup ile safen ven grefti tıkalı olmayan grup ortalama kollagen/ADP ve kollagen/epinefrin değerleri açısından karşılaştırıldığında gruplar arasında önemli bir fark yoktu.

Sonuç: Bu çalışmada aspirin direnci olan hastalarla, olmayan hastalar arasında önemli bir fark yoktu. Bunun nedeni, safen ven greft hastalığının multifaktöryel olması ve hemostatik faktörlerin de bunlardan sadece biri olması ile ilişkili olabilir. Sonuç olarak aspirin direnci safen ven greft tıkanlığında önemli bir rol oynamamaktadır.

PLÖROTOMİ YAPILMASIZ ITA GRAFT HAZIRLANMASININ SOLUNUM FONKSİYONLARI VE ERKEN DÖNEM İYILEŞME PERİYODU ÜZERİNE ETKİLERİ

Ahmet Özkar, Murat Mert, Gürkan Çetin, Özge Köner, Alican Hatemi, Kubilay Korkut, Can Çağlar Erdem, Cenk Eray Yıldız, Sertaç Haydin, Serdar Çelebi, Kaya Süzer*

İstanbul Üniversitesi Kardiyoloji Enstitüsü, Kardiyoloji Anabilim Dalı, İstanbul

İstanbul Üniversitesi Kardiyoloji Enstitüsü, İstanbul*

ITA'ın 2 ayrı hazırlanmış tekniğinin postoperatif solunum fonksiyonları, arteriel kan gazları, kanama miktarı ve erken dönem klinik sonuçları üzerinde etkileri prospektif randomize bir çalışmada kurasılaştırılmıştır. Grup I (n:28) de pleura ITA preperasyon esnasında açılmışken, grup II (n:26) de intakt bırakılmıştır. Preoperatif ve postoperatif arteriel oksjen satürasyonları arasında istatistiksel olarak anlamlı bir fark bulunmuştur ($p<0,15$; $p<0,23$). Pre ve postoperatif vital kapasite değerleri bir farklılık göstermemektedir ($p=0,158$). FEV1 ve FVC değerleri her iki periyod arasında anlamlı olarak farklı bulunmuştur. Radyolojik değerlendirmede kostosferenik sinüs açılığının anlamlı derecede grup II lehine farklılık göstermektedir ($p=0,0005$). Grup I de kardiyotorasik endeks ölçümleri grup II ye orantılı istatistiksel açıdan anlamlı olacak düzeyde fazla olarak hesaplanmıştır (Group I: $p=0,133$; Group II: $p=0,001$). Ayrıca ilk 24 saatlik kanama miktarı açısından bakıldığında da grup I de belirgin olarak ak kanama görülmüştür ($p=0,001$). Intrapulmoner şant ölçümü (Qs/Qt) kıyaslandığında ameliyat öncesi değerler ve postoperatif 1 saat değerleri anlamlı farklılık göstermemektedirken 24 saatte ölçülen değerler grup I de belirgin olarak yükseklik arzediyor ($p=0,001$). Her iki hasta grubu arasında yoğun bakım sücüleri açısından bir fark bulunmazken, hastane tabureci süreleri grup II de daha kısa olarak gözlemlenmiştir ($p=0,039$). Kanımızca; tüm bu sonuçların değerlendirilmesi sonucunda, CABG operasyonlarında pleuranın intakt olarak korunmasının kanama miktarı üzerine, ateletik olumsuzuna, solunum fonksiyonları ve dolayısıyla da hastanın erken dönemde iyileşme periyodu üzerinde pozitif etkileri mevcuttur.

P-217

RESTRIKTİF VSD SONUCU GELİŞEN SUBAORTİK STENOZ TANILI OPERE FONTAN HASTASINA EŞ ZAMANLI SUBAORTİK STENOZ TAMİRİ VE FONTAN'IN TCPC'YE DÖNÜSTÜRÜLMESİ

Gürkan Çetin, Ali Kubilay Korkut, Kadir Babaoglu, Levent Saltik, İlhan Güney

İstanbul Üniversitesi Haseki Kardiyoloji Enstitüsü, İstanbul

Amaç: Subaortik Stenoz, tek ventrikül fizyolojisinde, dominant sol ventriküllü ventriküler arteriel diskordansı olan hastaların uzun dönemde takibinde gelişen bir komplikasyondur. Tek ventriküllü tamirinde uygulanan ekstrakardiyal kondukt ile total kavopulmoner anastomoz (TCPC), hem akım dinamiklerinin üstünlüğü, hem de uzun dönemde tromboz ve aritimi gibi komplikasyonların daha az görülmeye nedeniyle Fontan ameliyatına tercih edilmektedir.

Yöntem: Triküspit atrezisi, sağ ventriküllü hipoplazisi, büyük arter transpozisyonu (TGA) ve ventriküler septal defect (VSD) tanılarıyla 2 aylık banding ve atrial septektomi ameliyatı olan hastaya 5 yaşına geldiğinde Fontan operasyonu yapılmıştır. Hastanın uzun dönemde takibinde VSD'nin küçülmesiyle ileri derecede subaortik stenoz ve buna bağlı efor kapasitesinde azalma gelişmiştir. 9 yaşında olan hastaya VSD genişletilmesi ile beraber Fontan'ın TCPC'ye dönüştürülmü ameliyatı yapılmıştır. TCPC'da kondukt ile sağ juguler veni (Contegra) tercih edilmiştir. Hasta sorunsuz taburcu olmuştur.

Bulgular ve Sonuç: Fizyolojik olarak dominant sol ventriküllü transpozisyon hastalarında Fontan operasyonunu takiben gelişen VSD küçülmesi ciddi subaortik darlık yapmaktadır. Bu darlığın giderilmesinde VSD genişletilmesine ek olarak, açık olsa bile Fontan sirkülasyonunun ekstrakardiyal kondukt ile TCPC'a dönüştürülmesi uzun dönemde yararlı olacaktır. Kondukt seçiminde kullanılan Contegra bioprotezi hem trileafet kapak ve doğal sinüslerinin olması, kolayca manipüle edilebilmesi ve farklı ölçülerinin kolayca sağlanabilmesi nedeniyle tercih edilebilir bir konduktürdir.

P-218

AORTAKORONER BY-PASS OPERASYONU GEÇİREN KADIN HASTALarda SIGARA ALIŞKANLIĞININ AKCIĞER FONKSİYONLARINA, KAN GAZLARINA ve POST-OPAKCİGER KOMPLİKASYONLARINA ETKİSİ

Zerrin Yiğit, Hülya Akbur*, Ayşem Kaya**, Alev Arat

İstanbul Üniversitesi Kardiyoloji Enstitüsü, Kardiyoloji Anabilim Dalı, Beden Eğitimi ve Spor Yüksek Okulu*, Kardiyoloji Enstitüsü, Biyokimya Laboratuvarı**, İstanbul

Amaç: Elektif aortakoroner by-pass greft (ACBG) operasyonu geçiren 180 arkadaş kadın hastada, sigara alışkanlığının postoperatif akciğer fonksiyonlarına, kan gazlarına ve akciğer komplikasyonlarına etkisi araştırıldı.

Metod: Çalışmaya elektif ACBG planlanmış, ardışık, yaş ortalaması $58,97 \pm 6,09$ olan ve sigara kullanan 68 hasta (Grup I) ile yaş ortalaması $58,00 \pm 6,16$ olan ve sigara içmeyen 112 hasta (Grup II) alındı. Hastaların demografik özellikleri, cerrahi ve anestezî uygulamaları benzerdi. Tümünde pre-op ve post-op akciğer fonksiyon testleri, kan gazi analizleri ve göğüs röntgen kontrolleri yapıldı. Post-op akciğer komplikasyonları kayıt edildi.

Bulgular: Grup I'de fazla olarak (pre-op $77,34 \pm 3,02$ mmHg, post-op $65,11 \pm 3,04$ mmHg) her iki grupta pre-op değerlere göre post-op parsiyel arterial oksijen basincı (PaO₂) değerleri anamli düzük bulundu. Grup I'de parsiyel karbondioksit basincı anamli olarak yükseldi (PaCO₂ $34,83 \pm 2,04$ mmHg'den $38,62 \pm 3,06$ mmHg). Post-op solunum fonksiyon testlerinde her iki grupta da kötüleşme oldu. Özellikle Grup I'de FMFT anamli olarak azaldı. Sigara içen grupta pre-operatif mVC/pFV (%) değeri normal değerin alt sınırında idi (hafta reaktif problem). Her iki grupta da ciddi restriktif solunum problemleri saptandı (her iki grup için p<0,001). Fakat restriksiyon derecesi Grup I'de Grup II'ye kıyasla daha fazla idi (strasiyol; Grup I'de mVC/pFVC, %76,82±13,35 den %50,26 ± 10,28'e, Grup II'de mVC/pFVC, %78,15±15,48'den %62,75±13,59%'dü). Grup I'de Grup II'den farklı olarak, büyük solunum yollarında obstrüksiyona işaret eden FEV₁/FVC oranı anamli olarak azaldı (FEV₁/FVC 75,52±10,41'den 71,95±10,66'yu indi; p=0,036). Post-op akciğer komplikasyonları Grup I'de % 17,85 (12 hasta) ve %6,25 (7 hasta) oranında gelişti. Grup I'de Grup II'ye göre post-op ekstibasyon süresi, cerrahi yoğun bakım ünitesi ve hastane yataş süresi anamli olarak daha uzun bulundu (strasiyol: 17,31±6,68 saat ve 13,74±4,49 saat, 3,29±1,34 gün ve 2,60±0,75 gün, 16,94±6,52 gün ve 12,57±2,54 gün; tüm parametreler için p<0,0001).

Sonuç: Çalışmamız, sigara alışkanlığının akciğer fonksiyonlarını obstrüktif tipe solunum problemine bağlı olarak olumsuz etkilediğini ve post-op dönemde restriktif solunum probleminin ise daha kötüleştiğini göstermiştir. Post-op kötüleşme, sigara içenlerin kan gazi ölçümü ile ve içmeyenlere göre iki kat artmış akciğer komplikasyonlarıyla, ayrıca daha uzun ekstibasyon süresi ve yoğun bakım ile hastanede kalış süreleriyle ortaya konmuştur.

P-219

MULTİPLE MÜSKÜLER VENTRİKÜLER SEPTAL DEFEKT TAMİRİ: SEPTAL OBLITERASYON TEKNİĞİ

Ali Kubilay Korkut, Gürkan Çetin, Ahmet Özkar, Özge Köner, Emin Tireli*, İlhan Güney

İstanbul Üniversitesi, Haseki Kardiyoloji Enstitüsü, İstanbul Üniversitesi İstanbul Tip Fakültesi*, İstanbul

Amaç: Apikal müsküler septal defektlerin (VSD) tedavisi günümüzde tartışılmaktadır. 'swiss-cheese' VSD'lerin kapatılması için birçok cerrahi teknik ve yaklaşım tarif edilmiştir. Bu yazida müsküler VSD'lerin septal obliterasyon tekniği ile kapatılmasının sonuçları bildirilmiştir. Yöntem: Septal obliterasyon tekniğini 5 'swiss-cheese' tanılı hastada sağ atriotomi yoluyla yaptı. Bunlardan 4'ünde izole VSD, birinde buna ilave olarak tip-A aortik ark interruptsiyon vardı, ki bu kardiopulmoner bypass'a gitmeden önce düzeltildi. Hastaların yaşları 43 gün ile 6 yıl arasında değişmektedir.

Bulgular ve Sonuç: Mortalite ve morbidite görülmemi. Bir hastada trakeostomi gereklili oldu. Bir hastada hemodinamik etkilemeye minimal rezidüel kaçak gelişti. 'swiss-cheese' trabeküler multiple VSD'lerin tek büyük bir yama ile tamiri cerrahi olarak kolay bir yöntemdir. Ayrıca atriotomi yoluyla yapıldığı için ventrikül insizyonun komplikasyonlarından kaçınılmış olur. Büyüük iğneli ve büyük pledged li iğne dokulara derin penetrasyonu sağlar ve rezidüel kaçakları engeller.

P-220

HAFIF-ORTA DERECEDE AORT KAPAK HASTALIKLARININ ONARIMINDA ERKEN DÖNEM SONUÇLARIMIZ (13 OLGUNUN SUNUMU)

Hayrettin Tekkümit, Ali Rıza Cenal, Tekin Yıldırım, Kemal Uzun, Meral Özen, Fatma Bilgin, Mehmet Balkanay, Esat Akancı

Özel Şafak Hastanesi, İstanbul

Amaç: Mitral kapak cerrahisi ve/veya miyokardiyal revaskülarizasyon gerekken ve beraberinde hafif-orta derecede aort kapak hastalığı bulunan hastaların, aort kapağına yönelik girişim ne olmalıdır?

Yöntem: Nisan 2003 ile Mayıs 2004 tarihleri arasında ,13 hastaya mitral kapak ve/veya koroner cerrahisi ile birlikte, hafif-orta derecede aort kapak hastalığına onarım (traşlama, kommissürel plikasyon, kommissürotomi) uygulandı. Bu hastaların 7'sine mitral kapak replasmanı (MVR), 2'sine koroner bypass (CABG) yapılrken birer tane de MVR+tricuspid devega anuloplasti, MVR+CABG, açılıc mitral kommissürotomi (AMK), AMK+tricuspid devega anuloplasti yapıldı. Hastaların 8'i kadın, 5'i erkek. Ortalama yaşı 44,7 (29-75) idi. Etyoloji coğulunkla romatizmalı. Aortik patoloji olarak; 10'unda aort yetersizliği, 2'sinde aort darlığı, 1'inde ise mikst lezyon vardı. Onarımdan sonra, aort kapak fonksiyonları direkt gözlem ile değerlendirildi.

Bulgular: Erken mortalite 1 hasta oldu (%8,3). Bu hasta septik şok tablosunda kaybedildi. Ekokardiyografi normaldi ve endokardit lehine bulgu yoktu. Diğer hastalar sorunsuz taburcu edildi. Seri olarak yapılan transtorasik ekokardiyografler ile aort kapak fonksiyonları değerlendirildi. Hastaların 9'unda eser aort yetersizliği, 2'sinde ise hafif aort yetersizliği mevcuttu. Hastalar ortalama 3,54 ay (1-7) izlendi. Bu dönemde herhangi bir morbidite veya mortalite olmadı. Reoperasyon gerekmedi. Hastaların tümü asptomatiktı.

Sonuç: Esas kardiyak patolojiye eşlik eden orta derecedeki aort kapak patolijelerinde; ihmali veya profilaktik replasman yerine çeşitli teknikler ile onarım yapmak alternatif bir yaklaşım olabilir. Romatizmal patolojinin ilerleme hızını azaltabilir ve reoperasyona gitme süresini uzatabilir. Ancak romatizmal etyolojide durabilite sınırlıdır.

Kalp Damar Cerrahisi

P-221

ANJİYOGRAFİK OLARAK INTERNAL TORASİK ARTER GREFTİNİN DEĞERLENDİRİLMESİ

Atilla Sezgin, Tankut Akay, Ahmet Arslan, Süleyman Özkan, Bahadır Gültekin, Aydin Ayalp, Haldun Müderrisoğlu, Sait Aşlamacı

Başkent Üniversitesi, Ankara Hastanesi, Ankara

Amaç: Koroner bypass ameliyatı olup kontrol anjiyografisini yapılan, rasgele seçilen 99 hastada anjiyografik olarak İTA 'in fonksiyon yetetsizliklerini araştırdık.

Yöntem: Hastaların ameliyat öncesi ve sonrası konsey notlarından veriler toplandı. Ameliyat sonrası yapılan anjiyografiler izlenerek koroner arter, İTA çapı, anastomoz kalite ve biçimini, İTA akımı, koroner arter yatağı ve ventrikül fonksiyonları değerlendirildi. Graft yetetsizliği olan hastalarda ameliyat öncesi ve sonrası yapılan koroner anjiyografiler incelendi. Tüm hastalarda sol İTA, LAD'e anastomoz yapıldı. İTA'ın tam tikanıklığı ve fonksiyonel olmaması graft yetetsizliği olarak kabul edildi. Ameliyat ile kontrolo anjiyo arasında geçen süre 41.8 ay idi. Bu sürede 4 (%4.3) tikanıklık, 8 (%9.2) hastada fonksiyonel yetetsizlik olmak üzere 12 (%12.1) hastada graft yetetsizliği tespit edildi. İTA'ın fonksiyonel olmadığı hastalarda sol ventrikül diastol sonu basıncı (LVEDP) 8.7 mmHg, açık olanlarda LVEDP 11.0 olup anlamlı değildi. İTA enjeksiyonunda, 88 hastada LAD apeksi dönerken 11 hastada dönmüyordu. Bu hastalarda İTA'nın açık ve kapalı oranları değerlendirildiğinde anlamlı bulundu ($p=0.002$). İTA'ın fonksiyonel olmadığı hastalarda, ameliyat öncesi LAD de darlık %70 iken açık olanlarda %87 idi. Ameliyat öncesi LAD deki darlık oranı anlamlı ($p=0.01$) idi. İTA'nın açık olduğu hastalardan 4'ünde LAD lezyonu %70'ün altında idi. LAD ve İTA arasında akım yarışması olan 16 (%16.2) hastada; 9 (%9.1)'unda hafif, 7 (%7.1)'sında önemli olduğu tespit edildi. Hafif olan hastalardan 8 (%88.9)'inde İTA açık ve ameliyat öncesi LAD'de darlık oranı %73 idi. Hastaların ameliyat öncesi anjiyografileri kontrol edildiğinde 5 hastada darlığın olduğundan fazla değerlendirildiği, 3 hastada LAD distalinde darlık olduğu görüldü. İTA'nın tıkanıldığı 2 hastada ameliyat öncesi LAD darlığı %80 ve üzerinde olup ameliyat ile kontrol anjiyo tarihi arasındaki süre 89 ± 8 ay idi. İTA'ın kapalı olduğu hastalardan 1'inde İTA'ın incelip tıkanıldığı, 2'sinde ameliyat öncesi darlığın olduğundan fazla değerlendirildiği ve diğerinde distal LAD'in yaygın hasta olduğu görüldü. Hastaların 3'ünde anastomoz stenозu görüldü. Sonuç: Koroner cerrahi içinde graft yetetsizliği anatomik veya teknik faktörlere bağlı olabilir. Çalışmamızda anjiyografik olarak ameliyat öncesi LAD darlık derecesinin ve apeksi dönmüyor olmasının istatistiksel olarak önemli olduğu gösterildi. Sonuç olarak ameliyat öncesi LAD darlığının ve koroner arter yatağının iyi değerlendirilmesi İTA'ın açık kalma oranını dahaza yükseltilebilir.

P-223

GEÇ SAFEN GRAFT HASTALIĞINDA ASPIRİN REZİSTANSI ETKİLİ MİDİR?

Mehmet Birhan Yılmaz, Yücel Balbay, Vedat Çaldir, Selime Ayaz, Yeşim Güray, Ümit Güray, Şule Koikmaz

Türkiye Yüksek İhtisas Hastanesi, Kardiyoloji Kliniği, Ankara

Rekürren iskemiye yol açan geç dönem safen grafted trombozu sıkılıkla ilerlemiş aterosklerotik plak oluşturmuş eski ve dejenere venöz greflerde gözlenir. Aspirin post operatif dönemde venöz grefi açıklığını idame ettiirmede endikedir. Ancak, venöz by passı olan hastalarda aspirin direnci klinik sonlanımlara etkiyebilir. Materyal & Metot: Koroner by pass sonrası geç dönemde yapılan koroner anjiyogramında en az bir safen graftede tikanıklık bulunan 14 hasta (11 erkek, 3 kadın, Grup 1) çalışmaya dahil edildi. Geç dönem koroner anjiyogramlarında venöz grefleri patent ve fonksiyonel bulunan yaş ve cinsiyet açısından eşleştirilmiş 14 hasta (10 erkek, 4 kadın, Grup 2) kontrol grubu olarak seçildi. Aspirin direnci PFA-100 cihazı kullanılarak değerlendirildi.

Bulgular: Grup 1 ve 2 arasında ürik asit ve vücut kitle indeksleri farklıydı (Table 1). Kollajen/epinefrin kartuşunun ortalaması tıkanma zamanı Grup 1'de 197 ± 85 sn idi ve Grup 2'den (279 ± 44 sn) istatistiksel anlamlı biçimde kısıydı. Benzer cihazla daha önce tanımlanmış sinir baz alındığında Grup 1'deki hastaların %50'sinde aspirin direnci gözlenenken bu oran Grup 2'de %7.1'di ($p=0.033$). Çok değişkenli regresyon analizinde vücut kitle indeksi ($p=0.038$, Beta=-.322), ürik asit ($p=0.023$, Beta=-.355), kolajen/epinefrin kartuşuya tıkanma zamanı ($p=0.008$, Beta=-0.431) safen ven grefinin geç dönemde tıkanma riskini bağımsız ön görmekteydi. Sonuç: Geç dönem safen grafted hastalığında aspirin direnci önemli sıkılıktadır ve klinik sonlanımlara etkiyebilir.

Table 1. Gruplar arası özellikler

	Grup 1	Grup 2	p
Yaş (yıl)	64±8	66±6	AD
Bypass sonrası süre	7.5±3.9	6.5±2.5	AD
Total kolesterol (mg/dl)	189±65	209±46	AD
HDL kolesterol (mg/dl)	40±11	42±8	AD
Triglicerid (mg/dl)	187±80	182±120	AD
Ürik asit (mg/dl)	7.4±1.3	5.8±1.4	0.006
VKİ (kg/m ²)	30±4.5	26.3±2.5	0.017
Aspirin dozu (mg/day)	214±90	189±100	AD

P-222

ETEKLİ KOMPOZİT GRAFT İLE AORT KÖK REPLASMANI: UZUN DÖNEM SONUÇLAR

Vedat Erentuğ, Adil Polat, Deniz Göksedef, Mustafa Güler, Kaan Kiralı, Mehmet Balkanay, Gökhane İpek, Esat Akinci, Füsun Güzelmerci, Tuncer Koçak, Ömer İşık, Cevat Yakut

Koşuyolu Kalp Eğitim ve Araştırma Hastanesi, İstanbul

Amaç: Aort kökünün cerrahi rekonstrüksiyonunda, mekanik protez kapak ile hazırlanan kompozit graft kullanılması tercih edilen prosedürdür. Bu çalışmanın amacı uygulamış olduğumuz modifiye Bentall metodu ile olan 8 yıllık tecrübeimi sunmaktır.

Yöntem: Ocak 1996 ile Haziran 2004 arasında 154 hastaya etekli kompozit graft kullanılarak aort kök replasmanı uygulandı. Ameliyat indikasyonları gerçek veya yalancı anevrizma (%55,2), dilate asendan aortası olan ciddi kalsifik aort darlığı (%11,03) veya aort yetmezliği (%1,3), akut diseksiyon (%3,2) veya bunların kombinasyonu (%32,4) idi. 38 hastaya (%24,7) konkomitant kardiyak prosedür uygulandı. Toplam takip süresi 517,9 hasta/yıl oldu.

Bulgular: Operatif mortalite 9 hasta ile % 5,8 olarak gerçekleşti. Hastane mortalite nedenleri ciddi kanama (3 hasta), düşük debi (3), ARDS (2) ve cerebrovasküler olay (1) idi. Hiçbir hastada reoperasyon ihtiyacı olmadı. Etek ile ilişkili komplikasyon yaşanmadı.

Sonuç: Etekli kompozit graft mükemmel uzun dönem takip sonuçları vermekle olup protez ilişkili komplikasyon oranı çok düşüktür. Yeni oluşturulan sinusler ve etek, aort kökünün fizyolojik fonksiyonuna yardımcıdır.

Kardiyak Görüntüleme, Nükleer Kardiyoloji

P-224

KORONER ARTER HASTALIĞININ TESPİTİNDEN BİLGİSAYARLI TOMOGRAFİ VE KATETER ANJİYOGRAFİNİN KARŞILAŞTIRILMASI

Murat Gürbüz, Duran C, Geceer G, Ulusoy L, E*

Kadir Has Üniversitesi, Florence Nightingale Hastanesi, Florence Nightingale Hastanesi*, İstanbul

Amaç: Koroner arter hastalığının tespitinde çok kesitli bilgisayarlı tomografi giderek dikkat çekmektedir. Bu çalışmada koroner darlıkların incelemesinde kalter koroner anjiyografisi (KKA) altı standart olarak 16 kesitli bilgisayarlı tomografik koroner anjiyografı (BTKA) verilerini kateter sonuçları ile karşılaştırıldı.

Yöntemler: Ortalama yaşı 49 ± 13 olan 15 olguda (11 erkek) bu iki yöntemi birbirinden farklı 10 gün arayla uyguladık. Kalp hızının BTKA için 60 civarında tutulması için ihtiyaç halinde IV metoprolol verildi. Kontrast madde olarak her 2 yöntemde iopromide 370 mg/ml kullanıldı. Kontrendikasyon olmaması halinde sublingual nitroglycerin uygulaması yapıldı. Koroner anatomi AHA sınıflamasına göre 15 ayrı segmente, birbirinden bağımsız uzmanlarca incelendi. Koroner arterler hafif (<%50), orta (%50-70) ve ileri (>%70) olarak sınıflandırıldı.

Bulgular: İncelemeye alınan 225 segmentin 27'si (%12) BTKA'deki teknik sorunlar nedeniyle değerlendirilemedi. Darlık oranları %50 ve 10'lu aralıkları içeren 10'lu aralıkları içeren BTKA ile %93 duyarlılık ve %81 özgüllük bulundu. Karar vermede en zorlanılan segment distal sirkumfleks segmenti oldu (duyarlılık %77).

Sonuç: Non-invasif görüntüleme teknolojisindeki ilerlemelere paralel olarak BTKA, günümüzdeki yıllarda kateter yoluyla yapılan kimi anjiyografik tetkiklerin yerini alacak gibi görülmektedir.

P-225

KORONER STENT AÇIKLIĞININ ÇOK KESİTLİ BİLGİSAYARLI TOMOGRAFİ YÖNTEMİ İLE ARAŞTIRILMASI

Murat Gülbaran, Geceer G, Ulusoy L, Duran C, H*

Kadir Has Üniversitesi, Florence Nightingale Hastanesi
Florence Nightingale Hastanesi*, İstanbul

Amaç: Aterosklerotik kalp hastalığında koroner darlıkların incelenmesinde bilgisayarlı tomografi ile yapılan koroner anjiyografi (BTKA) verilerinin kateter anjiyografi ile anamli derecede uyumlu gösterdiği izlenmektedir. Çalışmamızda stent içi darlıkların bu yeni yöntem ile görüntülenmesini inceledik.

Yöntemler: Çalışmamızda 17 hastanın (14 erkek) 21 koroner stentli segmenti stent implantasyonu işleminden en az 6 ay sonra 16 kesitli bilgisayarlı tomografi ve kateter anjiyografi ile incelendi. Her iki yöntemde de iopromide 370 mg/ml kontrast maddesi kullanıldı. BTKA incelenmesinde kalp hızını 60/dakika civarında tutabilmek için gerekli olgularda IV metoprolol uygulandı. Veriler birbirinden bağımsız uzmanlarca değerlendirildi. Darlık oranının %50'un üzerinde olması restenoz olarak adlandırıldı.

Bulgular: BTKA görüntülerinde artefaktlar nedeniyle 3 adet stentli segment (%14) değerlendirilme dışı bırakıldı. Stentlerin hepsi paslanmaz çelik yapıda ve $3,2 \pm 0,6$ mm çapında ve $14,4 \pm 3,1$ mm uzunluğundaydı. 11 stent LAD proksimal ve orta segmentlerde, 3 stent sirkumflex proksimal ve ortasında ve 7 stent ise sağ koroner arterin proksimal, orta ve distal segmentlerinde implante edilmişti. BTKA ile stent içi restenoz için duyarlılık %43, özgürlük %94, pozitif öngörme değeri %98 ve negatif öngörme değeri ise %84 bulundu.

Sonuç: Koroner stent açıklığının takibinde BTKA güvenli ve nispeten güvenilir bir yöntemdir. Metodun bugün için süregelen kısıtlılıklarının giderilmesi ile yöntemin stent restenozundaki yeri daha da güçlenmiş olacaktır.

P-227

ANJİYOGRAFİK OLARAK KORONER ARTER HASTALIĞI KANITLANMIŞ HASTALARDA MULTIDEDEKTÖR BİLGİSAYARLI TOMOGRAFİNİN YERİ

Nihal Akar, Alper Canbay, Tuğba Kayhan, Deniz Şahin, Nihan Erdoğan*, Erdem Diker, Sinan Aydoğdu

Numur Eğitim ve Araştırma Hastanesi, Kardiyoloji Kliniği, Ankara Medmar Görüntüleme Merkezi*, Ankara

Amaç: Multidetktör bilgisayarlı tomografi (MDBT), invazif olmayan koroner anjiyografisinin yeni jenerasyon yöntemlerinden biridir. Çalışmamızda, anjiyografik olarak kanıtlanmış koroner arter darlığı olan hastalarda MDBT'nin tamsız doğruluğunu test etmeyi amaçladık.

Yöntem: Çalışmaya akut miyokard infarktüsü geçirmiş 18 hasta alındı. Daha önce CABG operasyonu geçirmiş, düzensiz kalp hızı, iyot içeren kontrast maddesi allerjisi, renal yetmezliği olan hastalar çalışmaya dahil edilmedi. Tüm hastalar koroner anjiyografi işlemi sonrası 16 detektörlü MDBT ile 1 mm kesit kalınlığı, 0,75 mm kolimasyon ve 0,5 mm rekronstrüksiyon ile volumetrik aksiyal kesitler alınarak değerlendirildi. İşlem öncesi kalp hızı 65 atım/dk üzerinde olanlara, 50mg metoprolol suksinat verildi. ACC/AHA sınıflandırmasına göre belirlenmiş 16 koroner arter segmenti, çap bükülmeksız değerlendirildi. Anjiyografik olarak tespit edilen %50 ve üzerindeki darlıklar, MDBT ile elde edilen sonuçlar ile karşılaştırıldı.

Bulgular: Koroner anjiyografik olarak değerlendirilen 288 segmentin 48 tanesinde %50 ve üzerinde darlık saptandı. MDBT ile bu lezyonların 24 tanesi tespit edilebildi (duyarlılık: %50; özgürlük: %98,3). İnceleme sadece proksimal lezyonlar için yapıldıında 10 adet lezyonun 9'u MDBT ile belirlendi (duyarlılık: %90; özgürlük: &97,7). Benzer biçimde orta ve distal segmentler kendi içinde değerlendirildiğinde duyarlılığın %38,4e düşügü görüldü.

Sonuç: MDBT proksimal koroner arter segmentlerinin değerlendirilmesinde güvenle kullanabilecek invazif olmayan bir görüntüleme yöntemi olarak karşımıza çıkmaktadır. Ancak aynı şeyleri orta ve distal koroner arter segment değerlendirmesi için söylemek mümkün gözükmektedir.

P-226

KONJESTİF KALP YETMEZLİĞİ TEDAVİSİNE EKLENEN KARVEDİLOLUN SERUM DIGOKSİN DÜZEYLERİ ÜZERİNE OLAN ETKISİNDE CINSİYET FARKLILIĞININ ROLÜ

Nezih Bariş, Şule Kalkan*, Sema Güneri, Volkan Bozdemir, Hilya Güven*

Dokuz Eylül Üniversitesi Tıp Fakültesi, Kardiyoloji Anabilim Dalı, İzmir Dokuz Eylül Üniversitesi Tıp Fakültesi*, İzmir

Giriş: Serum digoksin konsantrasyonu beraber kullanımın bir çok ilaçtan etkilenmektedir. Digoksin ve karvedilol bir P-glikoprotein (P-gp) substratıdır. P-gp ve karacılık enzim aktivitesi cinsiyet farkı ile değişebilmektedir. Araştırmamızda, digoksin ile karvedilolin kombini kullanıldığında KKY olan hastaların karvedilolin serum digoksin düzeyine etkisi göstermek ve bu etkide erkek ve kadınlar arasında bir fark bulunan bulunmadığını arayışımızdır.

Yöntem: Çalışmaya NYHA sınıf II-III KKY tanısı ile klinikimize yatan 50 yaş ve üzerindeki 9 kadın ve 9 erkek toplam 18 hasta alındı. Hastaların serum digoksin düzeyleri terapötik analitik sabit bir ilaç dozuyla ($0,0625 - 0,25$ mg) sağlanmaktadır. Tedavide karvedilolin 6,25 mg tablet/günde iki kez eklenildi. Hastaların karvedilol tedavisi eklenmeden önceki gün (0.gün) ve eklenmekten sonra 7. gün (0., 1., 2., 4., 8., ve 16. saatlerde, aradaki 6 giờ boyunca sadece 0. saatte) kaalı. Serum digoksin düzeyleri enzim multipl inaktivasyon teknigi ile ölçülüdür. Serum digoksin konsantrasyon-zaman eğrisi içinde eğri altında kalan alan (EAA 0-16 saat ng/mL/saat) ölçülüdür. Serum digoksin konsantrasyon-zaman eğrisinden digoksin maksimum konsantrasyonu (Cmax) ve maksimum konsantrasyona ulaşma zamanı (tmax) hesaplanır.

Bulgular: Her iki grubun yaş ve kiloları benzerdi (erkek: yaş: $66,6 \pm 9,1$, kilo $74,8 \pm 10,5$, kadın: yaş: $70,0 \pm 7,5$, kilo $68,1 \pm 7,2$, p>0,05). Kadın ve erkek hastaların karvedilol tedavise başlamadan önce (0.gün) serum digoksin konsantrasyon zaman eğrisi çizgeler hesaplanır, eğri altında kalan alan arasında istatistiksel olarak anamli bir fark bulunmadı (p>0,05). Erkeklerde karvedilol tedavisi 7. gününde hesaplanan değerlerinde 0.gün'e göre istatistiksel olarak anamli bir artış saptandı (p<0,05). Kadınlarda ise digoksin tedavisi eklenen karvedilol, EAA 0-16 saat değerlerinden 0.gün ile 7. gün arasında istatistiksel olarak anamli bir değişiklik ortaya çıkmadı (p>0,05). Her iki grupta karvedilol tedaviseden sonra 7. gününde maksimum serum digoksin konsantrasyonu (Cmax) ve serum digoksin'in maksimum düzeye ulaşma zamanı (tmax) 0. gün'e göre istatistiksel olarak anamli bir değişiklik göstermedi (srasıyla p>0,05) (Tablo 1).

Sonuç: Her iki grupta Cmax ve tmax değerlerinin değişimnesi digoksin ile karvedilol arasında emlilik düzeyinde bir etkileşim olmadığını düşündürmektedir. Digoksin tedavisine eklenen karvedilol erkeklerde serum digoksin düzeylerini artırırken, kadınlarda antimali bir değişiklik yok açılamıştır. Sonuç olarak karvedilolun digoksin serum düzeye etkilesimi cinsiyet farkından etkilenmemektedir.

Tablo 1. Erkek ve kadınlarda karvedilol eklenmeden önce ve sonra digoksin'in farmakokinetic özellikleri

	Erkek (n=9)		Kadın (n=9)	
	Digoksin (0.gün)	Digoksin + karvedilol (7.gün)	Digoksin (0.gün)	Digoksin + karvedilol (7.gün)
(EAA 0-16 saat ng/mL/saat)	$17,1 \pm 1,9$	$23,9 \pm 3,4 *$	$13,5 \pm 2,2$	$18,1 \pm 2,2$
Cmax (ng/mL)	$1,7 \pm 0,2$	$2,2 \pm 0,4$	$1,7 \pm 0,3$	$1,9 \pm 0,3$
tmax (sاعت)	$1,7 \pm 0,2$	$2,1 \pm 0,4$	$1,6 \pm 0,2$	$2,3 \pm 0,4$

*p>0,05, erkeklerde 7. gündeki (EAA 0-16 saat ng/mL/saat) değerlerinin 0.gün'e göre

P-228

ST YÜKSELMESİZ AKUT KORONER SENDROMLARDA 99MTC-MIBI GATED SPECT'İN ERKEN DÖNEM RİSKLİ OLGULARIN BELİRLENMESİ VE GEÇ DÖNEM PROGNOZUN ÖNGÖRÜLMESİNDENDEKİ DEĞERİ

Emre Entok, Yüksel Çavuşoğlu*, Eser Kaya, Alparslan Birdane*, Ayşe Çitak*, Ahmet Ünalı*, Bülent Gök*, Necmi Ata*, Canan Demirüstü**, Bilgin Timurtaş*

Osmangazi Üniversitesi Tip Fakültesi, Nükleer Tip Anabilim Dalı, Kardiyoloji Anabilim Dalı*, Osmangazi Üniversitesi Tip Fakültesi**, Eskişehir

Amaç: Koroner arter hastalığının yaygınlığı yüksek risk ve kötü prognoz kriterleri arasında yer alır. Bu nedenle akut koroner sendromlu (AKS) olgularda, kardiyak troponinlerin yanı sıra total perfüzyon defektleri ve sol ventrikül sistolik fonksiyon anomaliliklerinin derecesi riskli olguların ve прогнозun belirlenmesinde önemli göstergeler olmak kabul edilmektedir. Gated SPECT yöntemiyle miyokardial perfüzyon ile istirahet ventrikül fonksiyonlarını birlikte değerlendirmek mümkün olabilemektedir. Bu çalışmanın amacı; troponin artışıyla seyreden ST yükselmesiz AKS tanısı alan olgularla erken dönemde yapılan 99m Te-MIBI gated SPECT'in riskli olguların belirlenmesi ve geç dönemde прогноз gösterilemesindeki değerini araştırmaktır.

Metod: Çalışmaya, >30 dakika göğüs ağrısıyla başvuran, ST-T dalga depresyonu bulunan, takipterde troponin I ve/veya diğer kardiyak enzimlerde yükselsem gözlenen, yaş ortalaması 60 ± 2 yıl olan 29 olgu aldı. 7-48 saat içinde (ort. 30 ± 2 saat) istirahet 99m Te-MIBI gated SPECT çalışması yapılarak, perfüzyon defektinin yayılmış skoru (ES), reversibilite skoru (RS) ile ejeksiyon fraksiyonu (EF), end-diyalistik volüm (EDV), end-sistolik volüm (ESV), stroke volüm (SV) gibi ventrikül sistolik fonksiyonları birlikte değerlendirildi. Tüm olgulara gated SPECT sonrası 1-6 gün içinde koroner anjiyografi yapılarak, koroner arter hastalığı (KAH) yaygınlığı değerlendirildi. 12 aylık takipteki ölüm, MI ve kalp yetmezliği (KY) nedeniyle hospitalizasyon oranları belirlendi.

Bulgular: Tek damar hastalığı (10 olgu) ile karşılaşıldığında çok damar hastalığı (19 olgu) bulunan grupta ES anamli yükselt (srasıyla 78 ± 14 ve 166 ± 04 pixel, p<0,01), EF anamli düşüklü bulundu (srasıyla 51 ± 11 ve 39 ± 12 , p <0,04). Korelasyon analiziinde, ES ile EF arasında anamli negatif korelasyon saptandı (p<0,01). 16 olguya revaskülarizasyon yapıldı. 12 aylık takipte; ES:>%20 olan 16 olgunun 2'inde ölüm (%12,5), 2'inde MI, 4'inde KY (%25), RS:>%10 olan 6 olgunun 1'inde ölüm (%16,6), 1'inde KY, -EF:>%45 olan 21 olgunun 1'inde ölüm (%4,7), 2'inde MI (%9,5), 6'ında KY (%28), -EF:>%45 ve ESV:>70 olan 10 olgunun ise 2'inde ölüm (%20), 5'inde KY (%50) gelişti. EF:>%45 olan 8 olguda ölüm, MI, KY gözlenmedi.

Sonuç: Bulgularımız, stres protokollerini uygulamak istenilen hem perfüzyon hemde ventrikül fonksiyon normalitelerinin birlikte değerlendirilebilirliği 99m Te-MIBI gated SPECT yönteminin, AKS'larda KAH yaygınlığı ile erken dönemde riskli olguların belirlenmesi ve uzun dönemde прогнозun öngörülmesinde kullanılabilen etkin bir yöntem olduğunu desteklemektedir.

Kardiyak Görüntüleme, Nükleer Kardiyoloji

P-229

SOL VENTRİKÜL DİYASTOLİK FONKSİYON BOZUKLUĞUNDA TALYUM 201 AKÇİĞER/KALP TUTULUMU

Alparslan Birdane, Emre Entok*, Yüksel Çavuşoğlu, Bülent Görenek, Ömer Göktekin, Ahmet Ünalı, Necmi Ata, Bilgin Timurtaş

Osmangazi Üniversitesi Tip Fakültesi, Kardiyoloji Anabilim Dalı, Nükleer Tip Anabilim Dalı*, Eskişehir

Amaç: Talyum 201 akciğer/kalp tutulum oranının artmasının sol ventrikül sistolik fonksiyonların değerlendirilmesinde ve koroner arter hastalığının proğnozunu göstermedeki değeri bilinmektedir. Fakat diyastolik fonksiyon bozukluğundaki öncemi yeterince incelenmemiştir. Bu çalışmada izole sol ventrikül diyastolik fonksiyon bozukluğu bulunan hastalarda Talyum 201 akciğer/kalp tutulum oranı araştırılmıştır.

Metod: Çalışmaya şimdide kadar prospektif olarak sol ventrikül sistolik fonksiyonları normal, koroner arter hastalığı bulunan, ekokardiografi parametrelerinden mitral kapak Doppler akımı E/A oranı, isovolumetrik gevşeme zamanı ve deselerasyon zamanına göre diyastolik disfonksiyonu test edilen 21 hasta (9 erkek, 11 bayan ve yaş ortalaması 62.6 ± 6.7) alındı. Ortalama sol ventrikül ejeksiyon fraksiyonu: % 69.4 ± 4.8 idi. Tüm hastalara pulmoner venöz Doppler incelemesi ve doğrudan Doppler görüntüleme teknigi de uygulandı. Ortalama yaşı benzer olan diyastolik fonksiyon bulunmayan 11个性de sağlıklı grup olarak alındı. Çalışmada her iki grubun talyum 201 akciğer/kalp tutulum oranı incelenmiştir. Grupların karşılaştırılmasında t testi kullanılmıştır.

Bulgular: Talyum 201 akciğer/kalp tutulumu hem istirahat ve hem de stres fazında sağlıklı grubu göre diyastolik fonksiyon bozukluğu olan grubda istatistiksel olarak anlamlı olarak artmıştır (sırasıyla istirahatde 0.40 ± 0.03 , 0.54 ± 0.08 , $p < 0.001$ - Stres fazında ise 0.32 ± 0.02 , 0.46 ± 0.08 , $P < 0.001$). Sonuç: Daha fazla sayıda hasta üzerinde devam edecek olan araştırmamızın ilk sonuçlarına göre Talyum 201 akciğer/kalp tutulumu sadece sistolik fonksiyon bozukluğunda değil, aynı zamanda izole diyastolik fonksiyon bozukluğu olan hastalarda da artmıştır.

P-230

KARBONMONOKSİT INTOKSİKASYONU BULUNAN OLGULARDA MIYOKARDİYAL TUTULUMUN PERFUZYON SPECT GÖRÜNTÜLEME İLE DEĞERLENDİRİLMESİ

Emre Entok, Yüksel Çavuşoğlu*, Serhat Kuşkuş*, Eser Kaya, Bilgin Timurtaş*

Osmangazi Üniversitesi Tip Fakültesi, Nükleer Tip Anabilim Dalı, Kardiyoloji Anabilim Dalı*, Eskişehir

Amaç: Karbonmonoksit intoksikasyonu miyokardiyal hasara neden olabilen ve ülkemizde özellikle kiş aylarında (şöfön, mangal, kömür sobası kullanımıyla bağlı) sık rastlanan zehirlenmeler arasında yer almaktadır. Karbonmonoksit gazının miktarı ve maruz kalanın süreye bağlı olarak somonlans ve komaya varan nörolojik bozuklıklar ile hastaneye yattırılan olguların büyük bir bölümünde EKG'de ST-T dalga anomalilikleri ortaya çıkmaktır, olguların bir kısmında kardiyak enzim düzeylerinde yükselsem olmaktadır, ekoda sol ventrikül duvar hareket anomalilikleri saptanmaktadır ve miyokardiyal hasar yönünden kardiyograflar tarafından siklikla değerlendirilmektedir. Bu çalışmanın amacı, karbonmonoksit intoksikasyonu bulunan olgularda bilinen EKG, kardiyak enzimler ve ekokardiografi yöntemlerine ilave olarak miyokardiyal perfüzyon SPECT ile miyokardiyal tutulum anomaliliklerinin araştırılması idi.

Metod: Çalışmaya karbonmonoksit intoksikasyonu nedeniley hastaneye yatanın yaş ortalaması 32 ± 5 yıl olan, 22'si kadın, 16'sı erkek toplam 38 olgu aldı. Olguların 3'tünde hipertansiyon, 1'inde diabet, 2'inde dislipidemi, 3'ünde sigara içimi, 7'inde aldede kardiyovasküler hastalık öyküsü mevcut. Hastane içi takiple olguların 18'inde EKG'de ST-T dalga anomaliliği gelişen 20 olguda belirgin EKG değişikliği gözlenmedi. Olgulara, klinik durumları SPECT çalışmasına için uygun duruma geldiği zaman miyokardiyal perfüzyon görüntülemesi yapıldı (ortalama 11.5 ± 7 gün). Olguların 12'inde talyum-201 SPECT yöntemi ile 26'sında 99m Tc-MIBI SPECT yöntemi ile miyokardiyal perfüzyon değerlendirildi. Bulgular: Çalışma grubunu oluşturan 38 olgunun 18'de (%47.3) perfüzyon defektı saptandı. Perfüzyon defekt, EKG'de ST-T dalga anomaliliği gelişen 20 olgunun 7'inde (%35) gözlenenin, ST-T dalga anomaliliği gelişmeyen 18 olgunun 11'inde (%61) tespit edildi. EKG anomalilikleri ile perfüzyon SPECT anomalilikleri arasında korelasyon bulunamadı ($p > 0.05$). 17 olguda perfüzyon defekt reversibile paterni göstergen, 1 olguda perfüzyon defektinin sabit defekt patterni şeklinde olduğu saptandı. Perfüzyon anomaliliği gösteren olguların 7'sinde kardiyak troponin-t' de yükselseme gözleendi.

Sonuç: Bulgularımız, karbonmonoksit intoksikasyonda, tek başına EKG ve enzim takiplerinin miyokardiyal tutulum varlığının değerlendirilmesi için yeter olmayacağı, beraberinde miyokardiyal perfüzyon görüntüleme tekniklerinde, tamamlayıcı yöntemler olarak kullanılması gerektiğini desteklemektedir.

P-231

GLİKOZ TOLERANS BOZUKLUĞUNDA KAN GLİKOZ DÜZEYİ İLE KARDİYAK DİSFONKSİYON ARASINDAKİ İLİŞKİ

Abdurrahman Oğuzhan, Mustafa Çalışkan, Ali Güll, Mustafa Gür, İbrahim Özdogru, Nihat Kalay, İbrahim Güll, Ramazan Topsakal, Fatma Kayaaltı, N.Kemal Eryol

Erciyes Üniversitesi Tip Fakültesi, Kardiyoloji Anabilim Dalı, Kayseri

Giriş ve amaç: Glikoz Toleran Bozukluğu (GTB); özellikle tip 2 diyabetiklerde tanı konulmadan önce başlayan, asemptomatik hiperglisemi ile karakterize bir durumdur. Diyabetik hastalarda; HbA1c, açlık ve postprandiyal glikoz düzeyi ile sol ventrikül diyastolik fonksiyon bozukluğu arasında ilişki saptanmıştır. Çalışmanın amacı; konvansiyonel pulse dalga (PDE) ve doku Doppler ekokardiografi (DDE) ile GTB'de OGTT'nin ikinci saat glikoz düzeyi ile sol ventrikülün (SV) diyastolik parametreleri arasındaki ilişkinin değerlendirilmesidir.

Metod: Dünya Sağlık Örgütü Kriterlerine göre GTB tanısı konan asemptomatik, normotansif, efor testi negatif 50 olgu (yaş ortalaması= 37 ± 8 yıl; 12 erkek, 38 kadın) çalışmaya alındı. Konvansiyonel PDE ile apikal dört boşluk pencerelerden transmital erken E, geç A dalga hızı ölçüldü ve bu iki dalgadan E/A oranları hesaplandı. Benzer şekilde DDE ile de apikal dört boşluk pencerelerden; sol ventrikül septal anulusa ait bölgelerden erken Ea ve geç Aa dalga hızları ile Ea/Aa oranları elde edildi. Apikal iki boşluk pencerelerden ise SV inferiyor duvara ait Ea, Aa ve Ea/Aa oranları saptandı. Bulgular: Transmital E/A oranı ters dönen olgularda OGTT'nin ikinci saat glikoz düzeyi anlamlı şekilde yüksek bulundu (168.6 ± 20 ; 158.2 ± 16 , $p < 0.05$). DDE'de ise, septal anulus bölgeler Ea/Aa oran ile OGTT'nin ikinci saat glikoz düzeyi arasında anlamlı negatif ilişki saptandı ($p = 0.003$; $r = -0.418$). Benzer ilişkiye SV inferiyor duvar anulus Ea/Aa oran ile de ($p = 0.004$; $r = -0.396$) rastlandı.

Sonuç: GTB'de glikoz düzeyinde bozulmanın derecesiyle orantılı, konvansiyonel PDE ve DDE ile sol ventrikül diyastolik fonksiyonları etkilenmektedir.

P-232

KRONİK ATRİYAL FİBRİLASYONDA ELEKTRİKİ KARDİYOVERSİYON SONRASI DÜŞÜK VE YÜKSEK DOZ RAMİPRİL KULLANIMININ REKÜRENSE ETKİSİ

Mehmet Melek, Sait Mesut Doğan*, Savaş Beyaztaş**, Bülent Görenek**, Ali Taner, Bilgin Timurtaş**

Afyon Kocatepe Üniversitesi Tip Fakültesi, Kardiyoloji Anabilim Dalı, Afyon SSK Bölge Hastanesi, Kardiyoloji Bölümü, Eskişehir*, Osmangazi Üniversitesi Tip Fakültesi, Kardiyoloji Anabilim Dalı, Eskişehir**

Giriş-Amaç: Kronik atriyal fibrilasyonda (AF) basılı elektriği kardiyoversiyon (EKV) sonrası AF'nın rekürüsünü en önemli problemdir. EKV sonrası gelişen AF rekürüsü üzerinde anjiyotensin dönüştürücü enzim inhibitörleri (ACE-1) ve anjiyotensin reseptör blokeörleri (ARB) olumlu etkileri birçok çalışmada gösterilmiştir. Biz çalışmamızda EKV ile anusus time (SR) sağlanan hastaların takibinde, düşük ve yüksek dozda kullanılan ACE-1'in rekürüsü tizerlerini karsılaştırdık. Materyal-Metod: Prospektif, çok merkezeli, randomize çalışma kronik AF'ye yönelik EKV yapılan ve SR sağlanan 68 hasta (yaş ort. 58 ± 13 yıl, 44 bayan) aldı. Gecikilmiş miyokard infarktüste, dışlık ejeksiyonu ($EF < 55\%$) ve randomizasyon öncesi herhangi bir tedavide ACE-1 veya ARB kullanımının hastaların gelişmeye sağlamadı. AF etyolojisi hipertansiyon (HT) olan vakalardan, kan basincı (KB) ACE-1 ve ARB düzeltti anjiyotensin (HT) olan vakalardan, kan basincı (KB) ACE-1 ve ARB düzeltti anjiyotensin ile regülör olanlar (<140/90 mmHg) gecikme dahil edildiler. Hastalar, EKV'de 4 hafta önce mevcut tedavilerine 2.5 mg/gün (grup I, $n = 34$) veya 10 mg/gün ramipril (grup II, $n = 34$) ile edildi. Randomize edildiler. Ayrıca tüm hastalarla ilk 5 gün 1200 mg/yukleme, ardından 200 mg/gün idamde amiodaron tedavisi de başlandı. Etkili antikagulasyon ilaçlarının warfarin tedavileri INR değer 2-2.5 arası hedeflendiler. Elektrokardiyografi ile zamanlı olarak SR'ye döndürülerek takip edildi. Hastaların grup I'da 4 hafta ramipril (2.5 mg/gün veya 10 mg/gün) + amiodaron tedavisi altındaki son transüzegeçlik ekokardiografi kılavuzunda EKV yapıldı. Olguların takiplerinde tedarik değişikliği yapılmadı. EKV sonrası 1 hafta, 2. hafta ve 1. ayda ritim kontrolü yapıldı. Bulguları, ikinci arasında yaş, cinsiyet, AF yaşı, sol ventrikül capları, sol atriyum capları, etyolojisi ve KB degerleri arasında fark yoktu (tablo). EKV işlemi esnasında ve takip hizbir hasta koma kaynaklandı. İzlenme, 1., 2. ve 4. haftalarda ritim yeniden in grup arasında fark saptanmadı (her biri içn, $p > 0.05$). Dördüncü haftada grup I de 26 (%74) hastanın, grup II de ise 25 (%74) hastanın SR' de olduğunu görüldü (tablo). Sonuç: Kronik AF'li hastalarda, başlıyor EKV sonrası düşük veya yüksek doz ACE-1 kullanımın, bir aylık izlemede rekürüsü üzerine etkili olmadığı sonucuna vardı.

Tablo: Hastaların bazal karakteristik özellikleri ve takip süresince ritim kontrol sonuçları görülmektedir.

	Grup I (n = 34)	Grup II (n = 34)	p degeri
Cinsiyet (E/K)	13/21	11/23	>0.05
Yaş (yıl)	60.6 ± 12.1	54.7 ± 14.2	>0.05
AF yaş (ay)	6.9 ± 5.0	7.2 ± 6.7	>0.05
SV diyastolik iç çap (mm)	46.8 ± 7.1	48.8 ± 4.3	>0.05
SV sistolik iç çap (mm)	31.3 ± 5.6	32.2 ± 2.9	>0.05
SV EF (%)	65.1 ± 6.6	65.6 ± 3.9	>0.05
Sol atriyum çapı (mm)	47.7 ± 7.6	48.5 ± 5.9	>0.05
Sistolik KB (mmHg)	123 ± 13	118 ± 12	>0.05
Diyastolik KB (mmHg)	73 ± 12	71 ± 9	>0.05
MKH (etiyoloji) (%)	35	40	>0.05
HT etyolojisi (%)	38	30	>0.05
1. hafta sinus ritmi (%)	88	85	>0.05
2. hafta sinus ritmi (%)	82	76	>0.05
4. hafta sinus ritmi (%)	76	74	>0.05

AF: atriyal fibrilasyon, SV: sol ventrikül, EF: ejeksyon fraksiyonu, KB: kan basıncı, MKH: mitral kapak hastlığı, HT: hipertansiyon.

508

P-233

BEHÇET HASTALIĞI OLANLarda SOL VENTRİKÜL DİYASTOLİK FONKSİYONLARININ KONVANSİYONEL VE YENİ YÖNTEMLERLE ARAŞTIRILMASI

Nezih Barış, Taha Okan, Bahri Akdeniz, Sonay Türker, Tu na İlknur, Servet Akar, Ozhan Göldeli, Sema Güneri

Dokuz Eylül Üniversitesi Tip Fakültesi, Kardiyoloji Anabilim Dalı, İzmir

Giriş: Behçet genital, oküler, vasküler ve kardiyak tutulum ile karakterize kronik inflamatur bir hastaluktur. Son zamanlarda sol ventrikül (SV) diyastolik fonksiyonlarının Behçet hastalarında bozulduğunu daır bilgiler vardır. Bu çalışmamızın amacı Behçet hastalarında SV diyastolik fonksiyonlarının konvansiyonel ve yeni yöntemler ile araştırılmışdır.

Yöntem: Çalışmaya 48 behçet hastası ve kontrol grubu olarak 26 sağlıklı birey alındı. Hipertansiyon, koroner arter hastalığı, diyabet ve sol ventrikül hipertrofisi olan hastalar çalışmadan dışlandı. Sol ventrikül diyastolik fonksiyonları transtorasik ekoangiografide mitral dolus akımının pulse wave Doppler (PD) ile kaydedilmiş, izovolemik relaksasyon zamanı (IVRZ), mitral ringin septal ve lateral duvarlarından doku dopler kayıtları (DDG) ve mitral dolus akımının renkli M-mode görüntülenmesi (mitral akım zamanı oranı - MAYO) yöntemleri ile arastırıldı. PD'de E>240 ms olması; IVRZ > 110 ms olması; DDG'de E'/A' < 1 olması ve MAYO'da E'in eğiminin (Vp) < 45 cm/sn olması diyastolik disfonksiyon olarak kabul edildi. **Bulgular:** Behçet hastalarının (25 kadın, 23 erkek) ortalama yaşı: $39,2 \pm 11,1$ iken kontrol hastalarının (15 kadın, 11 erkek) $37,7 \pm 9,6$ olarak hesaplandı ($p=0,563$). Diyastolik parametreler göre iki grup arasında fark Tablo 1'de gösterilmiştir. Behçet hastalığı olanlarda konvansiyonel yöntemlerde olan E/A oranı kontrol grubuna göre anlamlı olarak fazla bulunmuştur. Diğer yöntemlerde incelenliğinde diyastolik disfonksiyon açısından beşer hastalarında artış olmaya birlikte istatistiksel anlamlılık saptanmadı. Parametreler birebir karşılaştırıldığında sadece A' (septal) istatistiksel olarak Behçet hastalarında fazla bulundu ($p<0,01$). **Tanıma:** Hipertansiyon ve SV hipertrofisi olmayan Behçet hastalarında aynı yaş grubuna göre SV diyastolik disfonksiyonu daha fazla saptanmıştır.

Tablo 1. Behçet hastalığı olanlarda ve kontrol grubundaki diyastolik parametreler

	Behçet (n=48)	Kontrol (n=26)	P
E/A <1	18 (%37,5)	3 (%11,5)	0,036
DZ>240 msn	13 (%27)	6 (%23)	0,922
IVRZ	8 (%16,6)	3 (%11,5)	0,805
E'/A' <1 (septal)	21 (%43,7)	9 (%34,6)	0,608
E'/A' <1 (lateral)	19 (%39,5)	5 (%19,2)	0,128
Vp	8 (%16,6)	2 (%7,6)	0,467

p<0,05 anlamlı kabul edildi

P-235

KARDİYOVASKÜLER HASTALIKLarda KULLANILAN SALISİLİK ASİDİN BURUNDAKİ STAFİLOKOK TAŞIYICİLİĞİNE ETKİSİ

Hüseyin Gündüz, Oğuz Karabay, Hüseyin Arımcı, Ali Tamer, Ramazan Akdeniz*, Hakan Özhan*, Şahbender Koç, Serhan Özyıldırım, Cihangir Uyan

Abant İzzet Baysal Üniversitesi, İzzet Baysal Tıp Fakültesi
Abant İzzet Baysal Üniversitesi, Düzce Tıp Fakültesi*, Düzce

Amaç: Staphylococcus aureus, başta bakteriyel endokardit olmak üzere çeşitli kardiyovasküler enfeksiyonlarda tespit edilen önemli bir patojendir. S.aureus burun taşıyıcılığı, S.aureus'a bağlı infeksiyonların epidemiyolojisi ve patogenezinde anahat rolü oynar. Salisilik asit, fibrinojen, fibronektin ve hemolizin gibi faktörlerle etkileşime olup bu faktörler bakteriyonun konak dokuda üremesi için gerekli faktörlerdir. Bu çalışmada, kardiyovasküler hastalıklar nedeniyle salisilik asit kullanmanın S.aureus burun taşıyıcılığı üzerinde etkisi, salisilik asit kullanmayan kontrol grubu ile karşılaştırılarak araştırılmıştır.

Metod: Salisilik asit kullanan 200 koroner kalp hastalığı olan olgu, salisilik asit kullanmayan 150 olgu ile karşılaştırıldı. Kültür örnekleri, burun ön deliginin 1/3 önde kismında steril ekşiyon yardımıyla alınarak %5 koynun kanlı agar ve Chapman agar'a ekildi. Stafilocoklar'ın tiplendirilmesinde ticari API stafilocok kitleri kullanılmıştır.

Sonuçlar: Salisilik asit kullanan hastalarda burun taşıyıcılığı insidansı 10 hasta (%5) kullanmayanlarda 24 (%16) olarak saptandı. İki grup arasındaki salisilik asit dozuyla da ters orantılı olduğu saptandı. Ancak sigara içme, hipertansiyon, D.M varlığı ile burun taşıyıcılığı arasında ilişkili saptanmadı. **Sonuç:** S. aureus nasal taşıyıcılığı, kardiyovasküler hastalık nedeni ile salisilik asit kullanlanlarda, kullanmayan kontrol grubuna göre anlamlı derecede düşüktür. Salisilik asit profilaksi, başta bakteriyel endokardit olmak üzere S.aureus'a bağlı enfeksiyon riski olan hastalarda daha geniş çalışmalarla araştırılmalıdır.

Genel Kardiyoloji

P-234

KALBE ÖZGÜ CDNA KLONLARININ FARKLI DOKULARDAKİ EKSPRESYON DÜZEYLERİNİN KANTİTATİF PCR YÖNTEMİ İLE ANALİZİ

Neslihan Abacı, Çağrı Güleç, Evin Kömürcü-Bayrak, Nihan Erginel-Unalı

İstanbul Üniversitesi DETAE, İstanbul

Amaç: Kalbe özgü cDNA klonlarının farklı dokulardaki ekspresyon düzeylerinin kantitatif PCR yöntemi ile analizi amaçlandı. Çıkartılmış (Subtractive) Hibridizasyon küütphaneleri doku veya hücre serilerine özgü genlerin izolasyonu için kullanılan etkili bir yöntemdir. Çalışmamızda bu yöntemle elde edilen cDNA küütphanesinden seçilen fareye (*Mus musculus*) ait kalbe özgü klonlar kullanılmıştır. Bu yöntem güvenilir olmakla birlikte, konfirmasyon amacıyla cDNA küütphanesinden seçilmiş klonların dokulardaki ekspresyon düzeylerinin tespiti gerekmektedir. Bunun için klasik bir yöntem olan Northern blot analizi zaman ve pahali bir yöntemdir. Bu kıyaslamayı pratik ve çabuk bir şekilde yapmak amacıyla "Kantitatif PCR" yöntemi Lightcycler cihazında uygulandı.

Materyal / Metod: Fare iskelet ve kalp kasından total RNA izole edildi ve "revers transkriptaz" enzimi ile cDNA'ları yapıldı. Seçilen klonların farklı dokulardaki ekspresyonunu inclemek amacıyla, elde edilen cDNA'larla kantitatif PCR yöntemi optimize edildi. Kısaca LightCycler RNA Master SYBR Green I Kit'i kullanılarak realtime PCR yapıldı.

Sonuç: Bu çalışmada Beta-actin 'housekeeping' geni standart alımarak incelendiğimiz klonların farklı dokulardaki ekspresyonu analiz edildi. Aynı mRNA'lar prob olarak kullanılarak Northern blottar ile çalışmam doğruluğu konfirme edildi.

P-236

KARDİYOLOJİ PRATİK EĞİTİMİNDE OSKÜLTASYON MODELİNİN ROLU

Alparslan Birdane, Bilgin Timuralp, Yüksel Çavuşoğlu, Savaş Beyaztaş, Bülent Görenek, Ömer Göktekin, Necmi Ata, Ahmet Ünalır

Osmangazi Üniversitesi Tip Fakültesi, Kardiyoloji Anabilim Dalı, Eskişehir

Amaç: Oskultasyon kalp hastalıklarının teşhisinde vazgeçilmez bir fizik muayene şeklidir. Ancak son yıllarda yatak başında yapılan hasta muayenesinde ekle edilen becerilerin azaldığı dikkat çekmektedir. Bu çalışmada kalp seslerini ve titritmelerini gerçek yakının bir şekilde verilen bir oskultasyon modelini kullanarak tp öğrenicilerinin eğitimine katkısının ne olduğu araştırılmıştır.

Metod: 2004 eğitim-öğretim yılında kardiyoloji anabilim dalınuma staja gelen 78 tip fakültesi öğrencisi alındı. Öğrencilerin dinleyebilmesine uygun kapak hastalıklarına ait uitürümü, S3 ve S4 ile bulunan bulanın 35 ayrı hasta aldı. Öğrenciler 2 gruba ayrıldı, oskultasyon modelinde 2 saat eğitim gören öğrenciler Grup A (38 öğrenci), model üzerinde eğitim görmeyenler Grup B-Once (40 öğrenci) denildi. Grup B-Once de bulunan öğrenciler daha sonra model üzerinde 2 saat eğitim gördükten sonra aynı hastaları tekrar dinleyerek verilen formları doldurdular. Bu gruba da Grup B-Sonra denildi. Uzerindeki uitürümü ve sesleri uzaktan kumandıyla değiştirebilen bir simülasyon modeli kullanıldı (NASCO auscultation trainer ve smartscope). Hastaları dinlerken her öğrenci kendi steteskobunu kullandı (Littmann Classic II SE). Eğitimde en az 2 kardiyolojik buluturken teşhisin doğruluğu için ekokardiografi (m-mode, Doppler) ve fonokardiografi gerçekleştirildi. Grup A ve Grup B-Once arasındaki karşılaştırmada ki-kare testi, Grup B-Once ve Grup B-Sonra arasındaki karşılaştırmalarda McNemar testi kullanıldı.

Bulgular: Grup A'daki öğrencilerin doğru teşhis oranları Grup B-Once ye göre aort yetmezliği ve PDA dışında istatistiksel olarak anlamlıydı. Grup B-Once ile Grup B-Sonra arasındaki doğru teşhis ve dinleme bulgularıyla istatistiksel olarak tamamen anlamlıydı. Sonuçlar tablo 1'de gösterilmiştir.

Sonuç: Kalp oskultasyonu halen, işi eğitilen kişiler tarafından yapırlarsa çok değerli, kolay, çabuk, ucuz, evrensel olarak kullanılabilir ve tekrarlanabilecek yöntemdir. Kendi öğrencilerimiz üzerinde yaptığımımız bu çalışmaya oskultasyon modelinin verdiği yapıyay seslerle eğitim verilmesinin doğru teşhis oranlarını artıracak eğitime katkıda bulunduğu gösterilmiştir.

Tablo 1. Grupların tanıtılmış bulmaları

	Grup A (n: 38)	Grup B-Once (n:40)	P değeri	Grup B-Sonra (n:40)	P değeri
Mitral yetmezliği	24 (% 63)	13 (%32)	P< 0,05	28 (%70)	P<0,001
Mitral Durluğu	20 (%53)	8 (%20)	P<0,01	28 (%70)	P<0,001
Aort Durluğu	30 (% 79)	20 (%50)	P< 0,05	38 (%95)	P<0,001
Aort yetmezliği	16 (%42)	9 (%22)	p>0,05	19 (%47)	P<0,01
VSD	20 (%53)	7 (%17,5)	P<0,01	26 (%65)	P<0,001
PDA	4 / 12 (%30)	1 / 12 (%8,9)	p>0,05	7 / 12 (%58)	P< 0,05
Sistolik uitürüm	36 (%95)	29 (%73,5)	P<0,01	37 (%92,5)	P<0,01
Diyastolik uitürüm	23 (%60,5)	7 (%17,5)	P<0,001	24 (%60)	P<0,001
S 3	14 (% 50)	4 (%10)	P<0,01	18 (%45)	P<0,001
S 4	12 (%32)	12 (%31,6)	P< 0,05	13 (%32,5)	P<0,01

Genel Kardiyoloji

P-237

TERS-J STERNOTOMİ İLE YÜKSEK TORASİK EPİDURAL ANESTEZİ ALTINDA KORONER ARTER "BYPASS" CERRAHİSİ

Kaan Kıraklı, Nihan Kayalar, Deniz Göksedef, Füsun Güzelmeriç,
Tuncer Koçak, Cevat Yakut

Koşuyolu Kalp Eğitim ve Araştırma Hastanesi İstanbul

Amaç: Bu çalışmanın amacı, daha az invaziv ters-J sternotominin epidural anestezi (HTEA) altında CABG uygulanan hastalardaki olumlu etkisini araştırmaktır.

Metod: Yirmi-iki hastaya elektif olarak HTEA ile tek damar koroner arter bypass greft ameliyatı uygulandı. Ters-J sternotomi 15 hastaya uygulanırken (Grup A), yedi hastaya standart sternotomi yapıldı (Grup B). Ameliyat sırasında teknik zorluklar, akeşer fonksiyonları (spirometrik testlerle) ve hastane kalis süreleri incelendi.

Bulgular: Ters-J sternotomi ile koroner revaskülarizasyon uygulanan grupta standart sternotomiye dönüs hiçbir hasta gerekli olmadı. Jiguler bölgelerde ek lokal anestetik kullanımına gereklilik duymadı. Grup B'de plevra açılma oranının Grup A'ya göre daha fazla olduğu gözlandı, ancak bu istatistiksel olarak anlamlı bulunmadı. (%57 vs %26.7; p=0.1). O2 satürasyonu ameliyat süresince Grup A'da daha iyi seyretti (%98.6 ± %0.6 karşın %97.1 ± %2.1; p = 0.006). Intraoperatif PCO2 her iki grupta benzerlik gösteriyordu. Grup A'daki hastalar hastaneden daha erken taburcu oldular (2.8 ± 1.2 kışını 7.3 ± 3.5 gün; p = 0.0001).

Sonuçlar: Koroner arter bypass ameliyatlarının HTEA ve ters-J sternotomi esliğinde daha az invaziv olarak yapılması mümkündür. Bu teknik, hasta için daha az travmatik olup daha iyi oksijen satürasyonu ve daha kısa hastane kalis süresi sağlamaktadır.

P-239

KARBON MONOKSİT ZEHİRLENMESİ VE TROPONİN POZİTİFLİĞİ

Gültün Aydoğu Taçoy, Gültiz Erdem Yazıcı, Bülent Boyacı, Atiye Çengel

Gazi Üniversitesi Tıp Fakültesi, Kardiyoloji Anabilim Dalı, Ankara

Amaç: Ülkemizde karbon monoksit zehirlenmesi önemli bir morbidite ve mortalite nedenidir. Karbon monoksit (CO) zehirlenmesinde kardiyak hasarın birincil sebebi doku hipoksisiidir, kardiyak hasarı belirlemekte altın standart olarak kabul edilen troponin pozitifliğinin bu klinik tabloda değerlendirilmesi önem taşımaktadır. Bu nedenle CO zehirlenmesi nedeni ile hospitalize edilen hastamızda mevcut olan troponin pozitifliğini tartışmak istedik. Olgu Sunumu: Yirmi üç yaşında, aterosklerotik risk faktörü olmayan bayan hasta acil servise başvurduğunda konfüze idi. Diğer fizik muayene bulguları ve karboksihemoglobin yükseltiği dışında laboratuvar tetkikleri normaldi. Normobürik oksijen tedavisi bölge hastanesinde uygulanmıştır. Yatışının ikinci günündeki klinik tablosunda düzelseme oldu. İstirahat elektrokardiyogramı ve kreatin kinaz düzeyleri normal olmasına karşın troponin T pozitifliği nedeni ile beşinci gününde kardiyak durumunun değerlendirilmesi amacıyla efor testi yapıldı. Testin pozitif olması üzerine Talyum sintigrafisi planlandı ve normal sınırlarda bulundu. Efor testi ve troponin T değerinin pozitifleşmesine sebep olabilecek başka bir etyoloji mevcut değildi. Talyum sintigrafisinin normal olması kardiyak hasarın sınırlı olduğunu göstermektedir.

Sonuç: Sınırlı kardiyak hasar durumunda dahi toplumumuzda önemli bir morbidite ve mortalite nedeni olan karbon monoksit zehirlenmelerinde, troponin T bakılması ile kardiyak durumun belirlenmesi önem taşımaktadır.

P-238

ANTERİÖR AKUT MİYOKARD İNFARKTÜSLÜ HASTALARDA ANJİYOTENSİN KONVERTİNG ENZİM GEN POLİMORFİZMİNE GORE ANJİYOTENSİN KONVERTİNG ENZİM İNHİBİTÖR TEDAVİNİN QT DİSPERSİYONU ÜZERİNDEKİ ETKİSİ

Önder ÖzTÜRK, M. Siddik ÜLGEN, Ünal ÖZTÜRK*, Nizamettin TOPRAK

Dicle Üniversitesi Tıp Fakültesi, Kardiyoloji Anabilim Dalı, Halk Sağlığı Anabilim Dalı*, Diyarbakır

Giriş ve Amaç: Anterior akut miyokard infarktüslü hastalarda QT dispersiyonu üzerinde genetik etkî bilinmemektedir. ACE I/D gen polimorfizminde, D allele olsa bireysiyon 1 allele'ine göre, dolaylı olarak miyokardı ACE düzeyi daha fazladır. Miyokard infarktüslü hastalarda, ACE inhibitör tedavisinin QT dispersiyonunu azaltığı bilinmemektedir. Yapmış olduğumuz bu çalışmamızın amacı, ilk kez anterior akut miyokard infarktüslü geçiren hastalarda ACE inhibitör (silazapril) tedavisi sonrası ACE I/D gen polimorfizminin QT dispersiyonu üzerindeki etkileri araştırmaktır.

Maleryal ve Metod: Çalışmaya ilk kez anterior akut miyokard infarktüslü geçiren toplam 83 hasta (68 erkek, 15 kadın, ort.yaş 59 ± 12) alındı. ACE gen polimorfizmine göre hastalar iki gruba ayrıldı: Grup 1, ACE DD genotipi 37 hastadan, Grup 2 ACE I/D ve ACE II genotipi 46 hastadan olmuştu. Akut miyokard infarktüsinin başlangıcından sonraki ilk 24 saat içerisinde tüm hastalara silazapril verildi. Miyokard infarktüsinin beşinci gününde, tüm hastalar 12 derivasyonlu EKG çekildi. QT dispersiyonu, maksimum QT' den minimum QT'ının çkarılmasıyla elde edildi.

Bulgular: Klinik özelliklerini bakımından gruplar arasında anlamlı farklılıklar saptanmadı ($p > 0.05$). QT, QTc, QTd, QTcd bakımından iki grup arasında anlamlı fark, saptanmadı (Table 1, $p > 0.05$).

Sonuç: Yapmış olduğumuz çalışmada, ACE inhibitörü verilen anterior akut miyokard infarktüslü hastalarda, ACE I/D gen polimorfizminin QT dispersiyonu üzerindeki etkisi bakımından, genotipler arasında anlamlı fark saptanmadı. Bununla beraber, daha fazla sayıda çalışma yapılması gerekmektedir.

Table 1. ACE I/D gen polimorfizmine göre elektrokardiyografik bulgular

	ACE DD Genotipi (n= 37)	ACE II / ID Genotipi (n= 46)	p değeri
QT (ms)	406.4 ± 41.3	409.1 ± 48.5	AD
QTc (ms)	548.8 ± 74.5	551.1 ± 92.4	AD
QTd (ms)	75.1 ± 24.2	75.2 ± 28.3	AD
QTcd (ms)	103.2 ± 37.9	100.5 ± 37.3	AD

ACE: Angiotensin Konverting Enzim, QT = QT intervalı, QTc = Düzeltilmiş QT intervalı, QTd = QT dispersiyonu, QTcd = Düzeltilmiş QT dispersiyonu. AD: Anlamlı Değil.

P-240

YAVAŞ KORONER AKIMLI HASTALARDA ORAL TRIMETAZİDİNE TEDAVİSİ ENDOTEL DİSFONKSİYONUNU DUZELTİR Mİ?

Ergün Topal, Yiğit Aksoy, Ramazan Özdemir, Nusret Açıkgöz, Necip Erimiş, Feridun Koşar, Sengül Çehreli

İnönü Üniversitesi Turgut Özal Tıp Merkezi, Kardiyoloji Anabilim Dalı, Malatya

Amaç: Yavaş koroner kan akımı (YKA) endotel disfonksiyonuya birlikte olabilmektedir. Bu çalışmada, YKA'lı hastalarda oral oral trimetazidime (TMZ) tedavisinin endotel fonksiyonları üzerine etkisini araştırdık.

Yöntemler: Her üç koroner arterinde YKA saptanın ve ayrıca patolojik saptanmayan 35 hasta (27 erkek, 8 kadın) çalışmaya aldı. Hastalar gün boyunca 400 mg/ gün TMZ'ye iki grupta randomize edildi: 20 mg/ gün 3 kez TMZ alan grup (n=18) ve placebo grubu (n=17). TMZ'ının endotel fonksiyonlarına etkisini değerlendirmek için TMZ ve placebo öncesi ve sonrası endotel ürünlerinden NO ve ET-1 düzeylerine bakıldı.

Bulgular: Her iki grupta yaş, vücut kitle indeksi, ortalama kan basıncı ve lipid parametreleri benzerdi. Bazal NO ve ET-1 düzeyleri bakımından gruplar arasında fark yoktu (24.4 ± 3.8 ve 24.1 ± 4.3 $\mu\text{mol}/\text{dl}$, 12.1 ± 1.0 ve 11.9 ± 1.0 $\mu\text{g}/\text{dl}$). Bazal değerlere göre dört hafta TMZ tedavisiyle, plazma NO düzeyleri anlamlı olarak artmışken ET-1 düzeyleri anlamlı olarak azalmıştı ($p=0.026$ ve $p=0.0001$). Plasebo grubunda ise bazal değerlere göre değişme izlenmedi.

Sonuç: Kısa süreli TMZ tedavisi; NO, ET-1 gibi endotel ürünlerini üzerinde etki ederek endotel fonksiyonlarını iyileştirmektedir. Böylece YKA hastalarında TMZ ek bir tedavi seçeneği oluşturulabilir. Ancak sonuçlarımız geniş olmamıştır ve uzun süreli çalışmalarla desileklenmelidir.

P-241

AKUT MİYOKARD İNFARKTÜSÜ İLE TANINAN CİDDİ UYKU APNE SENDROMU

Neşe Aydemir, Dursun Dursunoğlu*, Harun Evrençil*, Halil Tanrıverdi*, Asımhan Kaftan*, Mustafa Kılıç

Pamukkale Üniversitesi Tıp Fakültesi,
Kardiyoloji Anabilim Dalı*, Denizli

Giriş: Uyku apne sendromu (UAS), aralıklı nokturnal arteriel hipoksemî ve tekrarlayan semptomatik sinir sistemi aktivasyonu ile karakterize olup kalp yetersizliği, akut miyokard infarktüsü, aritmiler, sistemik ve pulmoner hipertansiyon gibi kardiyak komplikasyonlara neden olabilmektedir.

Vaka: Koronerde izlenen akut inferolateral miyokard infarktüslü 55 yaşındaki bir erkek hastada, genet durumu ve hemodinamik parametreleri stabil seyrederken ciddi oksijen desatürasyonları ve apneler gözleendi. Hipertansiyonu, diyabeti ve hiperlipidemi bulunanmayan, 70 paket/yıl sigara anamnesi olan, alkol kullanmayan, obez hasta sorgulandığında habitüel horlamasının ve gündüz sonrası uykuluklu halinin olduğu ve eşinden zaman zaman gece nefesinin durduğu (tanıltı apne) öğrenildi. UAS düşününterek hastaya gece polisomnografi uyguladık ve hastanın ağır UAS'lu (apne hipopne indeksi=31) olduğu anlaşıldı. Hastaya uygulanan solunum fonksiyon testi aynı zamanda bronkoobstrüksiyonu gösterdi. Sol ventrikül yetersizliği olmadan, apne ve ciddi nokturnal oksijen desatürasyonları gösteren akut miyokard infarktüslü bir hastada overlap sendromunu (kronik obstrüktif akciğer hastalığı ve UAS birliliği) teşhis etmiş olduk. Medikal tedavisi'ne ek olarak uyguladığımız bilevel positive airway pressure (BiPAP) tedavisi ile hastanın apneleri ve desatürasyonları tamamen düzeldi.

Sonuç: Kalp yetersizliği bulunanmayan ve apne nöbetleri ile ciddi hipoksemisi olan akut miyokard infarktüslü hastaların, uyku bozuklukları ve özellikle UAS bakımından da değerlendirilmelerinin tanı ve tedavi stratejileri açılarından gereklî olduğu düşüncesiindeyiz.

P-242

VÜCUT KİTLE ENDEKSİNİN ORTALAMA TROMBOSIT HACMİ ÜZERİNE ETKİSİ

Sennur Ünal Dayı, Nuri ten Sayar, Nazmiye Çakmak, Hülya Kaşıkçıoğlu, Zeynep Tarhan, İsmail Erdem, Hale Ünal, Sait Terzi, Neşe Çam, Neşe Çam

Siyami Ersek Göğüs Kalp Damar Cerrahisi Merkezi, Kardiyoloji İstanbul

Amaç: Obezite sıklığı gittikçe artan ve toplulu tchid eden önemli bir halk sağlığı sorunudur. Ortalaması trombosit hacmi (OTH) artan trombosit fonksiyonlarındaki artış biliriktedir. Obez hasta grupplarında kardiyovasküler hastalıklarda artış olduğu bilinmektedir. Bunun olası sebeplerinin insülin direnci, hipergliseminin yanı sıra, hipertansiyon, sol ventrikül hipertrofisi, dislipidemi, endotel fonksiyon bozukluğu, artmış tromboza eğilimden kaynaklandığı bildirilmektedir. Çalışmamızda Vücut kitle endeksinin OTH üzerinde etkisini araştırdık.

Metod: Kontrol amaçlı polikliniğimize başvuran toplam 91 bayan olgu Vücut kitle endekslerine göre gruplara ayrıldı. A) VKI<24.9 olan olgular (n=17) (normal grub); B) VKI 25-29.9 olan aşırı kilolu grub (n=25); C) VKI 30-34.9 olanlar (n=20); D) VKI 35-39.9 olanlar (n=22); E) VKI>40 olanlar(n=7). Normal grub dışında gruplar arasında yaş, lipit profili, hipertansiyon mevcudiyeti açısından anlamlı farklılık yoktu. OTH'nın diyabetik hastalarda yüksek olduğu bilindiğinden diyabetik hastalar veya bozulmuş açlık glikozu mevcut hastalar, koroner arter hastalığı kliniği olan veya ölüksü olan hastalar çalışma grubuna dahil edildi. OTH, EDTA'lı tüplerle ABX120 Pentra cihazında, optik sistemle incelendi. Bulgular: OTH sırası ile A grubunda yani sağlıklı kişilerde 7.9 ± 0.9 fL bulunurken, bu değer sırası ile B grubunda 8.4 ± 0.9 fL, C grubunda 8.6 ± 0.7 fL, D grubunda 8.7 ± 0.9 fL ve E grubunda 8.75 ± 0.5 fL olarak bulunmuştur. Gruplar arasındaki OTH değerlerindeki farklılıklar istatistikî açıdan anlamlı bulunmuştur ($p=0.05$). Normal grubda göre VKI arttıkça OTH'de arttığı gözlemlenmektedir. Sonuç: Obezite artan trombosit fonksiyonlarına neden olmaktadır. VKI'J arttıkça OTH'de artış dikkat çekmektedir. Bakılması kolay olan OTH obez hasta takibinde risk belirlemede kullanılabilecek ucuz ve pratik bir belirteçti.

P-243

KARDİYAK KATATERİZASYON YAPILAN KRONİK BOBREK YETERSİZLİKLİ HASTALARDA KONTRAST NEFROPATİSİ GELİŞİMİNİ ENGELLEMEDE ISOQSMOLAR İODİKSANOL İLE BİRLİKTE VERILEN N-ASETİL SİSTEİNİN ETKİNLİĞİ

Fahri Gülen, Ercan Erdoğan, Hakan Özkan, Tahsin Bozat, Vedat Koca

Bursa Yüksek İhtisas Hastanesi, Kardiyoloji Kliniği, Bursa

Giriş: Kardiyak kataterizasyon işleminin en iyi bilinen komplikasyonlarından biri kullanım radyokontrast ajan ile oluşan akut böbrek yetmezliğidir (Kontrast Nefropatisi). Kontrast nefropatisinin tamış işlemi takip eden 1-7 gün içinde serum kreatininin düzeyinde %50 artışı olması bulunmaktadır.

Amaç: Bu çalışmada Kronik Böbrek yetersizliği olup kardiyak kataterizasyon sırasında kontrast madde olarak isoosmolar iodiksanol kullanımın hastalarında, izotonik NaCl ile hidrasyon tedavisinde ilave olarak verilen N-Asetil sistein(NAC)'in kontrast nefropatisi gelişmesini önlemedeki etkinliğinin araştırılması planlandı.

Yöntem: Bu amaçla serum kreatinin >1.5 mg/dl ve kreatinin klirensi < 50 ml/dk olan 43 hasta çalışmaya dahil edilerek i.v. %0.09 NaCl(kontrol grubu) ve %0.09 NaCl + oral NAC (NAC grubu) tedavisi alınmak üzere 2 gruba ayrıldı. Hastaların tamamina işlemenden 12 saat önce Icc/kg/saat %0.09 NaCl infüzyonu başlandı. NAC grubunda ise hidrasyon ilave olarak işlemenden 12 saat önce ve işlemenden hemen önce 600 mg oral NAC verildi. Kateterizasyon sırasında tüm hastalarla radyokontrast madde olarak non-iyonik,suda çözündür, osmolalitesi 290 mOsm/kg olan iodiksanol kullanıldı. Tüm hastalarla işlemden 48 saat sonra serum kreatinin düzeylerini alınarak gruplar karşılaştırıldı.

Bulgular: Toplam 43 hastanın 21'i NAC grubu, 22'si kontrol grubundaydı. İki grubun özlükleri tablo 1'de özdeşlenmiştir. Takipte 1'i NAC grubunda, 2'si Kontrol grubunda olmak üzere toplam 3 hastada kontrast nefropatisi gelişti. NAC grubunda işlem öncesi serum kreatinin düzeyi 2,21±0,78 mg/dl ve 48 saat sonra 2,22±0,87 mg/dl, kontrol grubunda işlem öncesi 1,94±0,25 mg/dl ve 48 saat sonra 1,97±0,31 mg/dl olarak ölçüldü. Her iki grup işlem öncesi ve sonrasında serum kreatinin düzeyi ve bu düzeydeki değişim açısından karşılaştırıldığında istatistiksel açıdan anlamlı fark saptanmadı ($p>0.05$).

Sonuç: Bu çalışmada kronik böbrek yetmezliği olup isoosmolar iodiksanol kullanılarak yapılan kardiyak kataterizasyondan sonra kontrast nefropatisi 3 hasta (%0.07) gelişmiştir.

İstalamı kreatinin klirensi 33 mg/dl olan çalışmada hastalar için bu oran düşük kabul edilmiştir. Kontrast nefropatisini önlemek için hasta grubuna intravenöz sıvı desteği ile olaraq verilen oral N-Asetil sistein ek bir fayda sağlamamıştır. Böylece orta düzeyde renal fonksiyonundan azalma olan hastalarda isoosmolar kontrast madde (iodiksanol) kullanımı ile kontrast nefropati gelişme riski azaltılmıştır. Bu hastalarda i.v. hidrasyon yeterli olmamak ve oral N-Asetil sistein tedavisinin ilave olarak uygulanmasının ek bir fayda göstermediği sonucuna varılmıştır.

Tablo 1. Hastaların Özellikleri

	Kontrol Grubu	NAC grubu	P değeri
Hasta Sayısı(n)	22	21	
Erkek Cinsiyet	17(%77)	16(%76)	p>0.05
Diyabetes Mellitus	11(%50)	7(%33)	p>0.05
Giriş Kreatinin	1,94±0,25	2,21±0,78	p>0.05
Çıkış Kreatinin	1,97±0,31	2,22±0,87	p>0.05
Kreatinin klirensi	33,7±3,8	33,1±7,9	p>0.05
Kontrast miktarı	92,5±15,4	93,8±33,5	p>0.05
Hipertansiyon	16(%72)	13(%62)	p>0.05

P-244

DIYABET MELLİTUSLU HASTALARDA C-REAKTİF PROTEİN DÜZEYİNİN ATEROSKLOROZ VE KRONİK KOMPLİKASYONLARLA OLAN İLİŞKİSİNİN DEĞERLENDİRİLMESİ

İbrahim Şahin, Feridun Koşar*, Serkan Zengin, Ergün Topal*, Yüksel Aksoy*, Ramazan Özdemir*, Hülya Taşkapan, Gülaçan Özgün*, Jülide Yağmur*, Sengül Çehreli*

İnönü Üniversitesi Tıp Fakültesi, Malatya

İnönü Üniversitesi Turgut Özal Tıp Merkezi, Kardiyoloji Anabilim Dalı*, Malatya

Amaç: Diyabetes Mellitus (DM), ateroskleroz için önemli ve bağımsız bir risk faktörüdür. Çalışmamızda inflamasyonun önemli göstergelerinden birisi olan C-reaktif protein (CRP) düzeylerinin ateroskleroz ve DM komplikasyonlarıyla olan ilişkisini araştırdık.

Yöntemler: Tip 2 DM'li 38 hasta (19 erkek, 19 kadın) ile 20 sağlıklı gönüllü (19 erkek, 19 kadın) çalışmaya alındı. Tüm bireylerin bel ve kafta çevresi, boy, kilo, beden-kitle indeksi (BMI) hesaplamaları yapıldı. Tüm bireylerin CRP, eritrosit sedimentasyon hızları, rutin biyokimya parametreleri, lipit profilleri, HbA1c, aklık ve topluk kan şekerleri ile EKG kayıtları alındı. Ayrıca tüm bireylerin karotis Doppler ultrasonografilerine (KADUSG) bakıldı.

Bulgular: Diyabetli grupta kontrol grubuna göre CRP değerleri anlamlı düzeyde yüksek bulundu (23.6 ± 4.2 ve 4.9 ± 3.8 , $p<0.01$). Ayrıca diyabetli grupta KADUSG incelenmesinde karotis kominus, karotis interna ve eksterna arterlerinde intimal kalınlaşma izlendi. Tip 2 DM hastalarında CRP düzeyiyle EKG'de iskemik tipde ST değişikliği ($p<0.014$), nefropati ($p<0.01$), nöropati ($p<0.001$) ve retinopati ($p<0.008$) ilişkisi arasında istatistiksel olarak anlamlı artış tespit edildi. CRP düzeyiyle intimal kalınlaşma arasında anlamlı artış saptanmadı.

Sonuç: DM'li hastalarda CRP düzeyiyle karotis intimal kalınlık arasında ilişki bulunmazken diyabete bağlı mikrovasküler komplikasyonların gelişimi (nephropati, retinopati ve nöropati) bakımından anlamlı düzeyde ilişki bulunmuştur.

Genel Kardiyoloji

P-245

MITRAL BİYOPROTEZ KAPAK DİSFONKSİYONUNA BAĞLI REOPERASYON UYGULANAN HASTALarda MORTALİTEyi ETKİLEYEN RISK FAKTORLERİNİN ANALİZİ

Kaan Kiralı, Hasan Bası Erdoğan, Denyan Mansur oğlu, Altıağ Tuncer, Mustafa Güler, Mehmet Balkanay, Gökhan İpek, Cevat Yakut

Koşuyolu Kalp Eğitim ve Araştırma Hastanesi İstanbul

Amaç: Çalışmanın amacı mitral biyoprotez disfonksiyonuna bağlı reoperasyon uygulanan hastalarda mortaliteye neden olan risk faktörlerini incelemektir. Materyel ve Metod: 1993 ve 2003 yılları arasında yaş ortalaması 47.1 ± 11.4 yıl olan toplam 97 hasta mitral konumda biyoprotez kapak disfonksiyonuna bağlı olarak reopere edildi. İlk operasyon sonrası ortalama takip süresi 122.1 ± 34.8 ay idi. Reoperasyon endikasyonu 91 hastada yapısal dejenerasyon, 4 hastada endokardit ve 2 hastada paravalvular kaçak idi.

Bulgular: Reoperasyon operasyonlarının mortalitesi %8.2 olarak bulundu. Tek yönlü varyans analizi ile mortalite ile ilişkili risk faktörleri olarak preoperatif fonksiyonel kapasite, operasyonun acil veya elektif olarak yapılması, operasyon öncesi kreatinin değerinin $> 1.5 \text{ mg/dL}$ olması, toplam perfüzyon süresi, aortik kros klemp süresi, pulmoner hipertansiyon ve eşzamanlı triküspid kapağı müdahale edilmesi saptandı. Bu faktörlerin mortaliteye etkilei multivaryans analiz ile değerlendirildiğinde pulmoner hipertansiyon ($p = 0.05$; OR 8.8, 95% CI 0.9-78.7) ve eşzamanlı triküspid kapağı müdahale edilmesinin ($p = 0.02$; OR 19.5, 95% CI 1.6-237.9) istatistiksel olarak anlamlı etkilerinin olduğu saptandı.

Sonuç: Mitral biyoprotez kapak disfonksiyonuna bağlı reoperasyon, sağ kalp yetersizliği bulguları gelişmeden önce yapılır ise operasyon mortalitesi azalabilir.

P-246

EKSTRAKARDİYAK KOMPLİKASYONLAR YÖNÜNDEN İNFETTİF ENDOKARDİTİN İNCELENMESİ

Mehmet Doğan, Ersin Sarıçam, Omaç Tüfekçioğlu, Neslişüllü Yıldırım, Arslan Öcal, Sakine Firat, İrfan Sabah

Türkiye Yüksek İhtisas Hastanesi, Kardiyoloji Kliniği, Ankara

Amaç: Infekatif endokardit kalbin endotelial yüzeyinin mikrobiyal enfeksiyonudur. En sık kalp kapakları olmakla beraber septal defektlerde, korda tendineada ya da mural endokard tutulabilir. Kardiyak komplikasyonlar olarak konjestif kalp yetmezliği, koroner emboli, ileti anomalilerinden kaynaklı anevrizma ile kendini gösterir. Bu çalışmada infekatif endokarditler ekstrakardiyak komplikasyonları yönünden incelemisti. Yöntem: Türkiye Yüksek İhtisas Hastanesi Kardiyoloji Kliniğinde 2001-2004 yılları arasında infekatif endokardit tanısı ile izlenen 60 hasta (41 erkek, 19 kadın) ekstrakardiyak komplikasyonlar açısından retrospektif olarak incelemisti. Yaş aralığı 12-76 yıl idi. Hastaların 31'de (%51) romatizmal kapak hastalığı, 12'sinde (%20) protez kapak, 8'inde (%13) konjenital kalp hastalığı, 5'inde (%8) mitral kapak prolapsusu predispozan faktör olarak vardı.

Bulgular: Altıñ hastanın 24'ünde ekstrakardiyak komplikasyon izlenmiştir. Bu hastalar hedef organa göre değerlendirildiğinde beyinde toplam 11 (%18) hasta (serebral abses 5, serebral infarkt 6), dalakta toplam 13 (%22) hasta (dalak absesi 9, dalak infarkt 4), akiçigerde toplam 5 (%8) hasta (pulmoner infarkt 1, pulmoner abses 3, pulmoner emboli 1), periferik arterlerde 3 (%5) hasta (internal torasik arterde mikotik anevrizma 1, fist mezenterik arterde mikotik anevrizma 1, femoral arterde mikotik anevrizma 1) ekstrakardiyak komplikasyon saptanmıştır.

Sonuç: Hasta serimizde literatürlere uygun oranlarda cerebral, periferik arter komplikasyonları gelişmişken, ilginç olarak dalak ile ilgili komplikasyon oranı çoğu literatürlere göre (%8) yüksek bulunmuş iken bazı serilere (%35) ise yakın bulunmuştur. Dalak komplikasyonlarındaki artış duyarlılığın daha yüksek olması nedeniyle abdominal tomografisini tanıda yaygın kullanımıyla ilgili olabilir. Dalak ile ilgili komplikasyonların yüksek oranda bulunması nedeniyle infekatif endokardit hastalarda rutin olarak öncelikle abdominal ultrasonografi kullanılması gerektiğini düşünenmekteyiz.

P-247

DİGOKSİN İNTOKSİKASYONU KLINİK ÖZELLİKLERİ VE KULLANIRKEN NELERE DİKKAT EDELİM?

Bahadır Kırılmaz, Serdar Akyüz, Hamza Duygu, Filiz Özberk, Can Hasdemir, Ayşegül Türekoğlu, Oğuz Yavuzgil

Ege Üniversitesi Tip Fakültesi, Kardiyoloji Anabilim Dalı, İzmir

Digoksin esas itibariyle konjestif kalp yetmezliğinin belirli şekilleri, atrial fibrilasyon ve atrial flutterin tedavisinde kullanılan bir ilaçtır. Digoksin'in toksik ve terapötik dozları arasındaki oranın ufak olmasından dolayı karşımıza intoksikasyon kliniği şeklinde çöküntülmektedir.

Metod: Merkezimize 2001-2004 yılları arasında digoksin intoksikasyonu ön tanısıyla yatırılan ve yapılan laboratuvar tetkikleriyle kan digoksin seviyesi yüksük çıkan toplam 26 olgu prospektif olarak klinik, laboratuvar ve EKG özelliklerine göre değerlendirildi.

Bulgular: Değerlendirilen hastaların yaş ortalaması 76 ± 7 idi. Kadın hastaların oranı %69 (18 olgu), erkeklerin oranı ise %31 (8 olgu) idi. Olguların geliş yakınlıkları sırasıyla çarpıntı %34,6, baş dönmesi ve göz kararması %30,8, bulantı ve kusma yakınıması %26,9, halsizlik %26,9, karın ağrısı ve iştahsızlık %15,4, görme ile ilgili yakınıması olan hasta yüzdesi ise %7,6 olarak bulundu. Olguların yarısında yoldan digoxin düzeyi ortalaması $3.74 \pm 1.18 \text{ ng/ml}$ bulundu. Serum kreatinin seviyesi 1.69 ± 0.67 , serum potasyum değeri ortalaması 4.9 ± 0.7 olarak bulundu. Olguların %73,1'i ACE inhibitörü kullanmaktadır.

Diüretik kullanan hastaların yüzdesi ise %46,2 olarak bulundu. EKG'de ventriküler aritmî (ventriküler erken vuru, bigemin ventriküler erken vuru, ventriküler taşkınlığı, ventriküler taşkınlığı) saptanan hastaların yüzdesi %65,3, ciddi derecede bradikardi saptanan olguların ortalaması ise %50 olarak bulundu. Olguların ortalaması klinikümüzde yarış süresi 8.84 ± 5.26 gün olarak bulundu. Hastalarımızın klinik takibi esnasında 3 olgu kaybedildi (2 olgu ventriküler fibrilasyon, 1 olgu posteior fasiküler taşkınlığı takiben ventriküler taşkınlığı).

Sonuç: Günümüzde yeni antiaritmik ilaçların kullanımıyla birlikte digoksin'in kullanımı azalsa da hala digoksin intoksikasyonu özellikle yaşlı bayan hastalarda vücut kitlesinin de az olmasından dolayı morbidite ve mortalite açısından sorun oluşturmaktadır. Özellikle yaşlı populasyonda digoksin tedavisi başlaması ve sürdürülmesi konusunda dikkatli davranılmalıdır. Bu olgu serisinde olguların potasyum seviyelerinin yüksek olması; renal fonksiyonların yaşla hafif azalması ve bizim hasta grubumuzda ACE inhibitörünün yüksek oranda kullanılmasıyla açıklanabilir. Bu durum özellikle digoksin intoksikasyonunda hipototasminin artırtabileceğini aritmî riskini azaltır olabilir.

P-248

KRONİK ATRİYUM FİBRİLASYONUNDА C-REAKTİF PROTEİN, FİBRİNOJEN VE ANTITROMBIN-III DÜZEYLERİ

Yüksel Çavuşoğlu, Nurten Yıldız, Alparslan Birdane, Afşin Parspür, Necmi Ata, Bülent Görenek, Ahmet Ünalır, Ömer Göktekin, Bilgin Timurtaş

Osmangazi Üniversitesi Tıp Fakültesi, Kardiyoloji Anabilim Dalı, Eskişehir

Amaç: Atriyum fibrilasyonunda (AF); atriyum duvarında kronik inflamatuvar bir sürecin varlığı ile AF'nin devamlılığı ve oluşumunda söz konusu inflamatuvar sürecin rolü ile ilgili bilgiler giderek artmaktadır. Tekrarlayan atrial aritmileri bulunan olgularda inflamatuvar göstergelerde bildirilen artışlar bunu desteklemektedir. C-reaktif protein (CRP) kronik inflamasyonun sensitif bir göstergesi olarak kabul edilmektedir. Fibrinojenin aynı şekilde inflamatuvar süreçte yanıt olarak arttığı bilinmektedir. Ayrıca fibrinojen ve antitrombin-III (AT-III) protrombotik süreçle birebirlerini olarak gösterilmektedir. Bu çalışmamızın amacı, kronik AF'de, inflamatuvar ve protrombotik sürecin CRP, fibrinojen, AT-III düzeyleri ile değerlendirilmesiydi. Metod: Çalışmaya permanent veya persistant AF'si olan 26'sı erkek, 53'sü kadın, yaş ortalaması 65 ± 12 yıl olan 79 olgu almıştır. Ayrıca sinüs ritimi bulunan 38 olgudan kontrol grubu oluşturulmuştur. Tüm olguların CRP, fibrinojen ve AT-III düzeylerine bakıldı. CRP, fibrinojen, AT-III düzeylerini etkileyebilecek olan kararsız angina pektoris, akut miyokard infarktüsü, post MI angina, kronik akiçiger, karaciğer, böbrek hastalığı, ateş, enfeksiyon, sedimentasyon yüksekliği bulunan olgular çalışmaya dâşı tutuldu.

Bulgular: AF ve kontrol grubu arasında yaş, cins, boy, kilo, hipertansiyon, dijabet, sigara kullanımı açısından fark yoktu. AF grubunun ortalaması sedimentasyon düzeyi $17 \pm 2 \text{ mm/saat}$ idi. Olguların 5'inde 1 aylık, 5'inde 3 aylık, 3'ünde 6 aylık ve 66 olguda > 6 aylık AF mevcuttu. Kontrol grubu ile karşılaştırıldığında, AF grubunda CRP (sırasıyla; 0.35 ± 0.3 ve $1.72 \pm 3.08 \text{ mg/dL}$, $p < 0.01$) ve fibrinojen düzeyleri (sırasıyla; 259 ± 63 ve $436 \pm 110 \text{ mg/dL}$, $p < 0.01$) anlamlı yüksek bulundu. AT-III değerleri açısından kontrol ve AF grubu arasında anlamlı farklılık gözlenmedi (sırasıyla; 28.6 ± 3.7 ve 27 ± 7.0 , $p > 0.05$).

Sonuç: Sinüs ritimindeki olgularla karşılaşıldığından, kronik AF'de CRP ve fibrinojen düzeyleri daha yüksek bulunmaktadır. CRP yüksekliği, AF'de kronik inflamatuvar bir sürecin varlığını desteklemektedir. Kronik AF'de fibrinojen düzeyi yüksekliği hem protrombotik süreci hem de kronik inflamatuvar süreci bağlı olabilir.

P-249 GLIKOZ TOLERANS BOZUKLUĞUNDU SAĞ VENTRİKÜL FONKSİYONLARI

Mustafa Çalışkan, Abdurrahman Oğuzhan, İbrahim Özdoğu, Mustafa Gür, Ali Güllü, Tuğrul İnanç, Yücel Yılmaz, İbrahim Güllü, Hüseyin Katlandır, Nihat Kalay

Erciyes Üniversitesi Tıp Fakültesi, Kardiyoloji Anabilim Dalı, Kayseri

Giriş ve Amaç: Öceden yapılan çalışmalarla diyastolik fonksiyon bozukluğunun, diyabetik kardiyomyopati (KMP) en erken bir bulgusu olduğu bildirilmiştir. Sağ ve sol ventriküller birlikte etkileyen idiyopatik dilate KMP' nin de diyabetik populasyonda sık olduğu bilinmektedir. Çalışmanın amacı; diyabetin öncüsü bir durum olan Glikoz Tolerans Bozukluğu (GTB), Doku Doppler Ekokardiyografi (DDE) ile Sağ ventriküller (SgV) diyastolik fonksiyonlarını değerlendirmesidir.

Metod: Dünya Sağlık Örgütü Kriterlerine göre GTB tanısı konan asyptomatik, normotansif, efor testi negatif 50 olgu (yaş ortalaması=37 ± 8 yıl, 12 erkek, 38 kadın) ve 37 sağlıklı gönüllülerden (yaş ortalaması=37 ± 7 yıl, 15 erkek, 22 kadın) oluşan 87 birey alındı. Pulsal dalga DDE ile apikal dört boşluk penceereden sağ ventriküller anulus ve serbest duvar basal miyokardiyal erken diyastolik (E), geç diyastolik (A), E dalga deselerasyon zamanı (EDEZ) ve izovolumetrik gevşeme zamanı (IVGZ) ölçüldü.

Bulgular: tabloda özetlenmiştir. $p<0,05$: istatistiksel anlamlı.

Sonuç: DDE ile GTB'de SgV' nin diyastolik fonksiyonları etkilenmemektedir. Bu durum GTB' li olguların da diğer risk faktörlerinin etkisinden bağımsız, SgV' nin diyastolik fonksiyon bozukluğunda rol oynayabileceğini göstermektedir.

Tablo. Bulguların karşılaştırılması

Sağ V DDE Parametleri	GTB n=50	Kontrol n=37	p değeri
Anulus E m/sn	0,13±0,03	0,15±0,04	<0,05
Anulus A m/sn	0,12±0,03	0,13±0,03	<0,05
Anulus EDEC msn	188±39,2	155±28,3	<0,05
Anulus IVGZ msn	66±19,5	51±11,2	<0,05
Bazal miyokardiyal E m/sn	0,11±0,03	0,12±0,03	<0,05
Bazal miyokardiyal A m/sn	0,13±0,03	0,09±0,0	<0,05
Bazal miyokardiyal EDEZ msn	175±34,4	140±34,2	<0,05
Bazal miyokardiyal IVGZ msn	64±18,3	49±11,6	<0,05

P-251

YAVAŞ KORONER AKIMLI HASTALarda TRİMETAZİDİNİN ENDOTEL DİSFONKSİYONU ÜZERİNE ETKİSİ

Ergün Topal, Nusret Açıkgoz, Ramazan Özdemir, Yüksel Aksoy, Necip Ermiş, Feridun Koşar, Gülaçan Özgün, Sengül Çehreli

Inönü Üniversitesi Turgut Özal Tıp Merkezi, Kardiyoloji Anabilim Dalı, Malatya

Amaç: Yavaş koroner akım (YKA) endotel disfonksiyona birlikte olabilir. Çalışmamızda oral trimetazidine (TMZ) kullanımının endotel fonksiyon üzerine etkisini araştırdık.

Yöntemler: Her üç damarında anjiyografik olarak YKA tanısı alan 35 hasta (27 erkek, 8 kadın; yaş 51 ± 7) çalışmaya alındı ve koroner arterlerde ayrıca patoloji yoktu. Çalışma periyodu boyunca hastaların antianjinal ilaçları kesildi. Ultrasonografik incelemeden 24 saat önceki dardarki çalışma süresince yalnızca anjinaya yakınlama olan hastaların sublingual nitrat almamasına izin verildi. Hastalar çift-kör iki gruba randomize edildi: TMZ grubu (20 mg/günde 3 kez, n=18) ve placebo grubu (n=17). Tedavi öncesi ve dört haftalık tedavi sonrası her iki grupta endotel fonksiyonu değerlendirilmek için brakiyal arterde flow-mediated dilatasyon yöntemi kullanıldı. **Bulgular:** Brakiyal arter çapında gruplar arasında fark yoktu ($3,9\pm1,0$ mm ve $4,0\pm0,6$ mm, $p=0,34$). Dört hafta sonraki ölçümde TMZ grubundaki %FMD belirgin olarak artmışken ($p=0,03$) placebo grubunda değişiklik saptanmadı. NTG'ye bağlı % dilatasyon bakımından ise gruplar arasında fark yoktu. Ayrıca placebo grubuna göre, TMZ grubunda anjinal yakınmalar kaybolmuş veya azalmış olarak tespit edildi.

Sonuç: YKA hastalarında kısa süreli TMZ tedavisi endotel fonksiyonları ve semptomları olumslu yönde etkilemektedir. Böylece YKA fenomeninde TMZ, ek bir tedavi seçenekleri oluşturabilir. Ancak geniş ölçüli ve uzun süreli çalışmalar gereklidir.

P-250

TIP-2 DİABETES MELLİTUS TANISI OLAN KALP HASTALARINDA SULFONİLURE VE BIGUANİD GRUBU ORAL ANTİDİABETİKLERİN QT DİSPERSİYONU VE KARDİYAK MORTALİTEYE ETKİLERİNİN KARŞILAŞTIRILMASI

Özgür Tanrıverdi

T.C. Sağlık Bakanlığı, Palu Devlet Hastanesi

Amaç: Sulfonilure (SÜ) grubu oral antidiabetik (OAD) ilaçlar hücre içi potasyum-kalsiyum dengesini bozarak aritmiler neden olup kardiyak mortaliteyi artırabilirler. SÜ'lerin diabetik hastalarda otomot nöropati göstergesi olan QT dispersiyonuna olumsuz etkisinin gösterilmesi amaçlandı.

Yöntem: Kardiyovasküler hastalığı (KVH) olan 67 diabetik hastadan, herhangi bir SÜ kullanın 56'sı çalışmaya alındı. Bunlarda istirahat elektrokardiografi (EKG)'sında QT analizi yapıldı. Üç günlük ilaçsız dönemin sonunda ölçümler tekrarlanıp, biguanid grubu OAD (metformin) başlandı. Bu ilaç 3. gününde QT analizleri tekrarlandı. Öncesinde de düzensiz ilaç kullandıklarından ayaktan die ile takip edildi ve günlük AKŞ değerlerine göre insulin ile çok yüksek değerlerle müdahale edildi. Çalışma süresince hastaların kullandığı diğer ilaçlar aynen devam edildi. İstirahat halinde, 12 derivasyonlu EKG'ler 50mm/sn'de hızla çekildi. QT intervali QRS kompleksinin başlangıcından T dalgasının sonu ya da U dalgası arasında U ve T dalgaları arasındaki en düşük nokta alınarak hesaplandı. EKG'inde 7 veya daha fazla derivasyonda QT intervali ölçülebilenler çalışmaya dahil edildi. QT dispersiyonu, ölçülen maksimum ve minimum QT intervalleri arasındaki fark olarak tanımlandı. Ayrıca kalp hizasına göre düzeltilmiş QT intervali (QTc), QT/RR1/2 formülü ile hesaplandı. **Bulgular:** Çalışmadaki 56 hastadan uygun şekilde QT analizi yapılabilen 51 (24 erkek)ının yaş ortalaması $56,0\pm11,0$ idi. Hastaların 15 (11 erkek)'i koroner arter hastası, 21 (15 kadın)'i hipertansif kalp hastası, 14 (8 kadın)'ı geçirilmiş miyokard infarktüslü, 1 (1 erkek) ise primer dilate kardiyomyopati hasta idi. Hastaların SU tedavisi altındaki QT dispersiyonu (36 ± 16 msn) ve QTc dispersiyonu (40 ± 12 msn) değerlerinin metformin tedavisi altındaki QT dispersiyonu (26 ± 8 msn) ve QTc dispersiyonu (29 ± 11 msn) değerlerinden anlamlı olarak daha yüksek olduğu gözlenmiştir. (sırasiyla $p=0,011$ ve $p=0,018$).

Sonuçlar: Çalışmamızda SÜ grubu ilaçların KVH olan tip 2 DM tanılı hastalarda QT ve QTc dispersiyon değerlerini olumsuz etkilediği ve söz konusu bu değerlerin DM hastalarda mortalitenin belirleyici olduğu göz önünde alındığında, kardiyak ve genel mortalitede artışa yol açabileceğini görüşüne varılmıştır.

P-252

KRONİK BÖBREK YETMEZLİKLİ HASTALarda TROPONİN POZİTİFLİĞİNİN ZAMAN İÇİNDE DEĞİŞİMİ

Adnan Abacı, Eyyüp Ekici*, Abdurrahman Oğuzhan**, Cengiz Utas*, Servet Çetin**

Gazi Üniversitesi Tıp Fakültesi, Kardiyoloji Anabilim Dalı, Ankara Erciyes Üniversitesi Tıp Fakültesi, Nefroloji*, Kardiyoloji Anabilim Dalı**, Kayseri

Tropomin T ve I miyokardiyal nekrozun duyarlı ve özgü bir göstergesidir. Buna rağmen kronik böbrek yetmezlikli hastaların önemli bir kısmında tropomin pozitifliği görülmektedir. Çalışmamızın amacı tropomin pozitifliği olan kronik böbrek yetmezlikli hastalarda, tropomin pozitifliğinin zaman içindeki seyrini araştırmaktır.

Metod: Çalışmaya akut koroner sendromlu olmayan kronik böbrek yetmezlikli 139 hasta (78 erkek, ortalama yaş 45 ± 16) alındı. Tropomin T enzyme-linked immunosorbet yöntemi (Roche) ve tropomin I mikropartikül enzim immunoassay yöntemi (Abbott) ile ölçüldü. Tropomin T pozitiliği için sınır değer $0,03$ ng/mL, tropomin I pozitiliği için $0,5$ ng/mL idi. Bu sınırlar değerlere göre başlangıçta 139 hastanın 63 'ünde (%45,3) tropomin pozitifliği ve 38 (%27,3) hastada tropomin I pozitifliği saptandı. Hastalar ortalaması $18,3\pm2,2$ ay takip edildi. Bu takipte hastaların 23 'ü (%16,5) kaybedildi. Geri kalan 116 hastada tropomin ölçümleri tekrarlandı.

Bulgular: Takipte yaşamaya devam eden 116 hastanın, başlangıçta 44 'inde (%37,9) tropomin T pozitif, 27 'inde (%23,3) tropomin I pozitif idi. Takip sonrası 48 (%41,4) hastada tropomin T, 50 'inde (%43,1) tropomin I pozitif olarak saptandı. Troponin T pozitif olan 44 hastanın 37 'inde (%84,1) tropomin T pozitif olmaya devam ederken, 11 hastada yeni tropomin T pozitifliği gelişti ve tropomin pozitif olan 7 (%15,9) hastada tropomin T negatif olarak saptandı. Troponin I pozitif olan 27 hastanın 15 'inde (%55,6) tropomin I pozitif olmaya devam ederken, 35 hastada yeni tropomin I pozitifliği gelişti ve tropomin I pozitif olan 12 (%44,4) hastada kontrolde tropomin I negatif olarak saptandı.

Sonuç: Kronik böbrek yetmezlikli hastaların önemli bir bölümünde tropomin T ve I pozitifliği görülmektedir. Troponin T ve I pozitifliği olan kronik böbrek yetmezlikli hastalarda büyük oranda tropomin durumunda değişiklik meydana gelmektedir. Troponin T pozitifliğinin zaman içinde değişimi daha az olurken, tropomin I'da çok fazla değişiklik meydana gelmektedir.

Genel Kardiyoloji

P-253

AKUT İNFERİYOR MİYOKARD İNFARKTÜSÜN GELİŞ ELEKTROKARDİYOGRAFİSİYLE SORUMLU ARTERİN TAHMİNİ : NEREDEYİZ?

Alparslan Birdane, Ömer Göktekin, Yüksel Çavuşoğlu, Büllent Görenek, Savaş Beyaztaş, Ayşe Çitak, Necmi Ata, Ahmet Ünalır, Bilgin Timurtaş

Osmangazi Üniversitesi Tip Fakültesi, Kardiyoloji Anabilim Dalı, Eskişehir

Amaç: Miyokard infarktüsünden (MI) sorumlu arteri elektrokardiyografiyle (EKG) tahmin etmek bir kardiyoloğa heyecan vermesinden öte, çabuk ve ucuz bir yöntem olup hasta takip, tedavi ve прогнозunu olumlu katkı sağlamaktadır. Çalışmamızda inferior MI'ın ilk saatlerinde kabul edilen hastaların sorumlu arterlerini tespit etmeye yönelik, var olan EKG kriterlerinin kullanılması amaçlanmıştır. Metod: Çalışmaya prospektif olarak, 2000-2004 tarihlerinde akut inferior MI ile klinimize başvuran 130 hasta (116 erkek/14 bayan)ortalama yaşı 56 ± 11 (29-86) alımıstır. Daha önce MI geçiren, CABG olan, koroner anjiyografide sorumlu arterin tespit edilemediği vakalar çalışmaya alınmadı. Ağrı sonrası ortalama kabul saatleri 0,5-9 saat (3,9±2,1). Sorumlu arter tahmin etmeye yönelik aşağıdaki bulgulara göre EKG ler incelendi. RCA yi tahunın içi: D I ST < 1 mm, AVL ST < 1 mm, A: D III elevasyon > D II, B: AVL depresyon > D I, A + B, D I ve AVL de ST depresyonu, Cx için ise: ST elevasyonu D II > D III kullanıldı. Hastaların koroner anjiyografileri (KAG) EKG bulgularından haberci işaretleri tarafından yapıldı ve sorumlu arter için en az >70 darlık ve/veya koronerde trombus varlığı esas alındı. Bulgular: Yapılan KAG de vakaların 97 si (%74,6) sağ koroner arter (RCA), 33 içinde (%35,4) sirkumflex (Cx) arter sorumluydu. AVL elevasyonunda ST < 1 mm olması sorumlu arterin RCA olduğunu belirlemeye %95 sensitif, ancak % 21 spesifikti. ST elevasyonunun D II / D III > 1 olmasını infarktan sorumlu arteri Cx olduğunu belirlemeye %36 sensitif ve %89 spesifikti. Tüm bulgular tablo 1'de verilmiştir.

Sonuç: Akut inferior MI'ın geliş EKG style sorumlu arteri tahminde kullanılan EKG kriterlerinin spesifitesinin sensitivitesine göre daha düşük olduğu tespit edilmiştir.

Tablo 1. Akut inferior miyokard infarktüsünde sorumlu arteri tahminde kullanılan EKG bulgularının öncemi

	Sensitivite	Spesifite	P Prediktif değeri	N Prediktif değeri	Tesit Doğruluğu
D I < 1 mm	72	52	81	39	67
AVL < 1 mm	95	21	78	58	76
D III elevasyonu > D II	91	30	79	53	75
AVL depresyonu > D I	89	18	76	35	71
D I ve AVL ST depresyonu	80	45	80	4	72
ST elevasyonu D II / D III > 1 (Cx için)	36	89	52	80	75

P-254

İLERİ YAŞTA TESPİT EDİLEN İZOLE AORTİK INTERRUPTION

M. Timur Selçuk, Hatice Selçuk, Ömer Alyan, Bülent Deveci, Halil Kisacık, Şule Korkmaz

Türkiye Yüksek İhtisas Hastanesi, Kardiyoloji Kliniği, Ankara

Erişkin yaşta tespit edilen izole aortik interruption'a ait vaka bildirimleri oldukça az sayıdadır. Literatürde bildirilen en yaşlı aortik interruption'lu hasta 5. dekkattır. Biz bu olgu sunumunda 25 yıldır hipertansiyon hikayesi bulunan, 4 yıldır stabil anjina tarifleyen ve istirahet göğüs ağrısı ile başvuran 75 yaşındaki bir bayan hastayı sunmaktadır. Hastanın fizik muayenesinde bilateral karotislerde sistolik tıffürüm, mezokardiyak odakta 1-2/6 diystistolik tıffürüm saptandı. Hastanın alt ekstremité näbziblari üst ekstremitete göre zayıftı. Çekilen elektrokardiyografinin akut inferior ve sağ ventriküller miyokard enfarktüsü (MI) ile uyumlu olmasının nedeniyle trombolytic tedavi uygulandı. Ekokardiyografisinde, sol ventrikül konsantrik hipertrofisi ve segmenter duvar hareket bozukluğu, minimal mitral yetmezliği saptandı. Post MI 7. günde kateter laboratuvarına alınan hastanın sağ femoral arterinden ilerletilen guidewire'in, inen aortadan arkus aortaya geçmediği izlendi. Hen aortaya pigtail kateter yoluyla verilen radyoöpük maddesinin inen aortadan arkus aortaya geçmediği saptanırken, sağ brakiyal arter yoluyla yapılan aortografide aortik interruption ile uyumlu olarak radyoöpük maddenin arkus aortadan inen aortaya geçmediği izlendi. Aortografi esnasında patent duktus arteryoza izlenmedi. Başın kayıtlarında arkus aorta ve inen aorta arasında 110mmhg gradiente bulundu. Koroner anjiyografide koroner arter hastalığı tespit edilerek medikal takip kararı alındı.



Resim 1. Sağ femoral arterden ilerletilen pigtail kateter yoluyla verilen radyoöpük maddenin, inen aortadan arkus aortaya geçmediği izlenmektedir.



Resim 2. Sağ brakial arter yoluyla yapılan aortografide, aortik interruption ile uyumlu olarak radyoöpük maddenin arkus aortadan inen aortaya geçmediği izlenmektedir.

P-255

UZUN DÖNEM AKTİF VEYA PASİF SİGARA İÇİCİLİRİNİN ORTALAMA TROMBOSİT HACMİNE ETKİSİ

Ahmet Taha Alper, Ahmet Akyol, Nazmiye Çakmak, Abdurrahman Eksik, Ebru Üntükk, Alper Aydin

Siyami Ersek Göğüs Kalp Damar Cerrahisi Merkezi, Kardiyoloji, İstanbul

Amaç: Aktif veya pasif sigara içiminin trombosit fonksiyonlarını etkilediğini gösteren birçok çalışma mevcuttur. Ancak aktif veya pasif sigara içiminin ortalaması trombosit hacmi (OTH) üzerine etkileri yeterince araştırılmamıştır. Çalışmamızda aktif veya pasif sigara içicilerde ortalaması trombosit hacmi düzeylerini araştırdık.

Metod: Çalışmaya en az 10 yıldır pasif sigara içicisi olan 88, en az 10 paket/yıldır aktif sigara içicisi olan 94 ve sigara içmeyen 105, toplam 287 denek dahil edildi. Hipertansiyon, diabetes mellitus, metabolik sendrom, hematolojik hastalık, koroner arter hastalığı, endokrinolojik hastalık olanlar, antikoagulan yada antiagregan ilaç kullanımları çalışma almamıştı. Tüm deneklerden sabah saatlerinde %7,5 edetik asit (EDTA) içeren tüplere kan alındıktan sonra bir saat içinde ortalaması trombosit hacmi bakıldı.

Bulgular: Deneklerin yaş ortalaması 48,1±9,2 idi. Sigara içicileri ile içmeyen grub arasında yaş ve cinsiyet açısından anlamlı fark saptanmadı. Aktif sigara içicileri ile pasif sigara içicileri karşılaştırıldığında OTH düzeyleri arasında anlamlı fark saptanmadı. Ancak sigara içmeyen grupla (OTH düzeyleri 8,0 ± 0,59 fl) karşılaştırıldıklarında, aktif (OTH düzeyleri 8,64 ± 0,44 fl) yada pasif sigara içicilerinde (OTH düzeyleri 8,44 ± 0,50 fl) OTH düzeyleri belirgin daha yükseldi ($P = 0,04$).

Sonuç: Aktif yada pasif sigara içimi, sigara içmeyenlere göre OTH düzeylerini belirgin şekilde artırmaktadır. Pasif sigara içimi, sigara içmeyen gruba göre aktif sigara içimine eşdeğer şekilde OTH düzeylerinde artışa neden olmuştur.

P-256

ATRIYAL SEPTAL DEFEKT TANISIYLA KLINİĞİMİZE YATIRILAN HASTALARIN DEMOGRAFİK ÖZELLİKLERİ

Emre Nuri Günel, Hakan Altay, Mehmet Birhan Yılmaz, Ümit Güray, Yeşim Güray, Meltem Refiker Ege, Şule Korkmaz

Türkiye Yüksek İhtisas Hastanesi, Kardiyoloji Kliniği, Ankara

Atrial septal defect (ASD) konjenital kalp hastalıkları arasında erişkin yaşta en sık rastlanan grubu oluşturur. Sıklıkla asemptomatik bir sürede sonunda, erişkin yaş grubunda aritmogenik komplikasyonlar neticesinde veya lesedüfen fark edilir. Her ne kadar genel seyri açısından diğer konjenital kalp hastalıklarına oranla benign görünümde de uzun dönemde bu grup hastalann yaşam beklenisi kısalır ve morbiditeleri belirgin artar. Biz klinikimize ASD tanısıyla yatırılan hastaları değerlendirdik.

Materyal & Metot: Çalışmamızda ASD tanımla hospitalize edilen 102 hasta dahil edildi (61 kadın, 41 erkek, ortalama yaşı: 37). Klinik ve laboratuvar parametreleri arşiv kayıtlarından değerlendirildi.

Bulgular: Ortalama sol/sağ şant oranı 2.4 ± 0.7 , ortalama pulmoner basıncı 39 ± 14 mmHg olarak bulundu. Hastaların 10'unda (%9,8) ritim atriyal fibrilasyondu (AF), tüm vakaların %96,1'i (n=98) ostium sekundum tipi ASD idi. Hastaların %20,6'sında incomplet sağ dal bloğu, %47,1'inde incomplet sağ dal bloğu vardı. Cinsiyet ritim arasında istatistiksel anlamda ilişkili olmasına rağmen erkek hastalarda AF daha sıklı (%17,1-%4,9).

Her iki cinsiyet için yaş dağılımı benzerdi. Ancak AF'si olan hastalar olmalarında beklenmediğine göre daha yaşıydı (%44,7 ile 35±15 yıl, $p<0,001$).

Hastaların yaşları <40 ve >40 yaş ikiye ayrıldığında, AF varlığı ile anlamlı ilişki ortaya çıktı. Daha yaşlı olan hasta grubunda (>40 yıl) AF sıklığı daha fazlaydı (%18,6-%3,4, $p=0,016$). Ancak kompleks veya incomplet sağ dal bloğu gelişimi ile yaş ilişkili değildi. Yaş ile trikuspid yetersizlik Spearman korelasyon ile değerlendirildiğinde her iki değişken arası orta derecede korelasyon saptandı ($r = 0,376$, $p=0,001$).

Sonuç: ASD erişkin populasyonda nadir olmayarak karşılaşılan bir durumdu. Erken müdahale, klinik tablonun iyi tanımlanması прогнозu iyileştirir ve morbiditeyi düzeltbilir.

P-257

AKUT MIYOKARD İNFARKTÜSÜ VE KRONİK KORONER ARTER HASTALIĞINDA CHLAMYDIA PNEUMONIAE, CYTOMEGALOVİRUS VE EPSTEIN-BARR VIRUS SEROPOZİTİFLİĞİ

Mihyar Yakar, Ozan Ütkü, Özgür Bayturan, Ali Rıza Bilge, Hakan Tızkız, Uğur Kemal Tezcan

Celal Bayar Üniversitesi Tıp Fakültesi, Kardiyoloji Anabilim Dalı, Manisa

Amaç: Bu çalışmada koroner arter hastalığı (KAH) etiyopatogenezinde rol oynadığı ileri sürülen kronik infeksiyoz ajanlardan Chlamydia pneumoniae (CP), Cytomegalovirus (CMV) ve Epstein-Barr virus (EBV) seropozitifliği ile KAH arasındaki ilişkinin araştırılması amaçlandı.

Yöntem: Bu amaçla çalışma akut miyokard infarktüsü (AMI) saptanan 48 hasta, koroner anjiyografi ile KAH tanısı olan stabil angina pektoris 43 hasta (kronik KAH) ve kontrol grubunda KAH olmayan sağlam 41 birey olmak üzere toplam 132 hasta alındı. Tüm hastalarda infeksiyon ajanı olarak CP, CMV ve EBV IgG antikor düzeyleri ayrıntılıdır.

Bulgular: Chlamydia pneumoniae IgG antikor düzeyi AMI, kronik KAH ve kontrol grubunda sırasıyla %87,5, %79,1 ve %63,4 oranında pozitif saptandı. Yapılan istatistiksel değerlendirmelerde antikor pozitifliği yönünden AMI grubu ile hem kronik KAH grubu hem de kontrol grubu arasında anlamlı farklılık saptandı (srasıyla P:0,024 ve p:0,008). Epstein-Barr virus antikor pozitifliği AMI, kronik KAH ve kontrol grubunda sırasıyla %89,6, %90,7 ve %78 oranında, CMV IgG antikor pozitifliği ise akut MI, kronik KAH ve kontrol grubunda sırasıyla %93,8, %90,7 ve %92,7 olarak saptandı. Gruplar arasında gerek CMV gerekebilecek EBV antikor pozitifliği açısından anlamlı fark saptanmadı.

Sonuç: Araştırılan infeksiyoz ajanlardan sadece CP antikor pozitifliğinin AMI ve kronik KAH grubunda kontrol grubuna oranla anlamlı derecede yüksek olduğu, buna karşın CMV ve EBV antikor pozitifliğinin üç grupta da benzer olduğu gözlemlendi. Bu sonucumuz KAH etiyopatogenezinde CP'ın diğer ajanlara oranla daha belirgin rol oynadığını ilişi süren yayınları desteklemektedir.

P-259

EISENMENGER SENDROMLU BİR OLGUDA İNHALER İLOPROST KULLANIMI

Kaan Okyay, Asife Şahinarslan, Mehmet Güngör Kaya, Vedat Şimşek, Mustafa Çemri, Ridvan Yalçın, Atiye Çengel

Gazi Üniversitesi Tıp Fakültesi, Kardiyoloji Anabilim Dalı, Ankara

Eisenmenger sendromu, konjenital kalp defektlerinde görülen ileri derecede pulmoner hipertansiyon (PH) ve şanti sağdan sola dönmesi olarak tanımlanır. PH' genellikle erkenlik döneminde once ortaya çıkar fakat ostium sekundum ASD'lerde dahil ileri yaşta da görülebilir. Tanı konduktan sonra mortalitesi yükselt olup, seçilmiş merkez ve olgularda erkenlikte kalp-akciğer naktı yapılmıştır. 67 yaşındaki kadın hasta, dimlennme esnasında ortaya çıkan nefes darlığı ve göğüs ağrısı nedenyile acil servise getirildi. Anamnezinden 10 yılır PHT tanısı ile takip edildiği öğrenilen hastanın fizik muayenesinde boyun venöz dolgunluğu, akeşlerinde yayılmış kaba tâflar, prekordiyumda 2/6 derece pansistolik lîftrum ve P2'de sertleşme tespit edildi. EKG'de sağ ventrikül hipertrofisi, kan gazlarında ise belirgin hipoksi saptandı. EKO'da sağ ventrikül, sağ atrium ve pulmoner arterde genişleme; ostium primum ASD ve 3 : 1 şant oranı saptandı. Trikuspit yetmezliği jet akimi üzerinden hesaplanan zirve pulmoner arter basincı 140 mm Hg olarak hesaplandı. Klinikimize yatarılan hasta Eisenmenger sendromu sağ kalp kriterizasyonu ile doğrulandı. Koroner anjiyografisi normal bulundu. Mevcut bulgularla hastaya stabil bir PG12 analogu olan iloprost (10 mikrogram / 10 dakikada, günde 8 inhalasyonu şeklinde) başlandı. 1 hafta sonra hastanın klinikinde belirgin düzelmeye oldu. Iloprost inhalasyonu esnasında hastanın ekokardiyografik olarak sistolik pulmoner arter basinci ve sistemik arter basinci eş zamanlı kaydedildi ve pulmoner arter basincındaki düşmenin daha belirgin olduğu ve etkisini 90 dakikaya kadar sürdürdü. Tanı aranıda sınıf 4 olan fonksiyonel kapasite, sınıf 2'ye geriledi. Tabureculuk sonrasında yapılan 6 dakika yürüme testinde hastanın 192 metre yürüdüğünü gözlemedi. 2 yıllık dönemde ciddi bir yakınına ve fonksiyonel kapasitede azalma kaydedildi. Literatürde Eisenmenger sendromunda çok sınırlı sayıda bilgi yer almaktan vaka sunulmaya değer görülmüştür.

Hastanın inhalasyonu esnasındaki sistenik arteriel ve sistolik pulmoner arter basinci değişimi Sistolik pulmoner arter basincındaki düşüş, sistemik arteriel basincın daha belirgin ve uzun süreli dir.

	Sistemik arteriel basincı	Sistolik pulmoner arter basincı
İlaçlanmadı	155 / 60 mmHg	147 mmHg
3 dakika sonra	146 / 60 mmHg	132 mmHg
10 dakika sonra	139 / 59 mmHg	126 mmHg
30 dakika sonra	145 / 65 mmHg	122 mmHg
60 dakika sonra	148 / 64 mmHg	130 mmHg
90 dakika sonra	150 / 60 mmHg	140 mmHg

Ekokardiyografide apikal dört boşluk görüntüüsü



P-258

HİPOTIROİDİ VE BİLATERAL SENSÖRİNÖRAL İŞİTME KAYBI OLAN SOL VENTRİKÜL KÖKENLİ NONCOMPACTİON OLGUSU

Alparslan Birdane, Necmi Ata, Yüksel Çavuşoğlu, Bülent Görenek, Ahmet Ünalır, Ömer Göktekin, Serhat Kuskus, Bilgin Timuralp

Osmangazi Üniversitesi Tıp Fakültesi, Eskişehir

Bal peteği veya süngeymsi miyokard olarak da adlandırılan ventriküler miyokardiyal noncompaction (MN), miyokard liflerinin bütinleşme sürecinin endomiyo-kardiyal embriyogenetis sırasında duraklaması sonucu, miyokard duvar yapısında değişikliklerin olduğu nadir bir doğumsal kardiyomiyopati türüdür.

Olgu: On dokuz yaşında bayan hastanın 1 yıl önce başlayan karın ve ayak şişliği şikayetleri sebebiyle gittiği bir klinike verilen tedavi ile yakınlamada gerileme olmuş. Son 2-3 aydır bu şikayetlerinde artma, efor ve istirahet dispnesi, istahsızlık, halsizlik yakınımlarının da eklenmesi nedeniyle hastaneye başvurdu. Öyküsünde tanısı 8 yaşında konulmuş bilateral sensörinöral işitme kaybı olduğu öğrenildi. Tiroid hormon tetkiklerinden TSH 11,56 uIU/ml (normal aralığı 0,5-4,95) tesbit edildi. Tiroid oto-antikorları negatif olarak tespit edildi. Tiroid ultrasonografisinde lobların büyüklükleri normal ve nodüler görünüm yoktu. Transtoraksik ekokardiyografide, sol ventrikül normalden geniş, yaygın hipokinezi (EF:35%) ve septunda paradoksal hareket vardı. Orta derecede şiddetti trikuspit kaçak akımı (kaçak gradiyenti 36mmHg), sağ atriyal dilatasyon ve hafiforta derecede mitral ve pulmoner kapak yetmezliği tespit edildi. Sol ventriküller apiksinde ve lateral duvarında MN ile uyumlu olduğunu düşündürmüştür. Sayı 3 den fazla olan ve aralarına renkli akimi girdiği derin tekribülasyonlar mevcuttu. Sağ ventrikül boyutu ve duvar yapısı normaldi. Anne, baba ve kardeşinin yaptığı ekokardiyografik incelemesinde noncompaction görünümüne rastlanmadığından olgunyu izole ventriküler MN olarak değerlendirildi. Sol ventrikülide görülen MN a diğer morfolojik kalp kökenli anomaliliklerin eşlik ettiğine dair yazılar mevcuttur. Nörolojik, fasiyal, hematolojik, endokrinolojik, deri ve iskelet anomaliliklerinin oluşturduğu kalp dışı anomaliliklerin çoğu nadir vakalar olarak yayınlanmıştır. Konjenital bir hastalık olan ventriküler MN ile yanısıra hastanızın tıbbi likasına göre hem hipotiroidi hem de bilateral sensorinöral işitme kaybına da doğustan olduğu bilinmektedir. Literatürde bir vakada hipotiroidi ve MN birlikte bildirilmiştir. İşitme azlığı görülen sadece iki vakada yayınlanmıştır. Olgumuzda görülen sol ventrikül MN, bilateral konjenital sensorinöral işitme kaybı ve hipotiroidi birlikteinin literatürde ilk olması özelliğinden dolayı ve aynı zamanda MN ile beraber diğer konjenital anomaliliklerin de birlikte görülebileceğini vurgulamaktayız.

P-260

DIABETES MELLİTUS TANILI HASTALARDA ELEKTROKARDİYOGRAFİDE SAPTANAN ANORMAL BULGULARIN NON-DİABETİK KALP HASTALIĞI TANISI OLAN VEYA OLМАYAN POPÜLASYON İLE KARŞILAŞTIRILMASI

Özgür Tanrıverdi

T.C. Sağlık Bakanlığı Palu Devlet Hastanesi

Amaç: Çalışmamızda DM tanısı olan hastaların şikayetlerine bakılmaksızın elektrokardiyografileri (EKG)'nin incelemesi ve saptanan patolojik özelliklerin idenlendirerek, DM tanısı olmayan kardiyak veya nonkardiyak popülasyonla karşılaştırılmış amaçlanmıştır.

Yöntem: DM tanısı olan toplam 146(102 kadın) hastanın istirahet EKG'si ekilek, non-diabetik 150 hastayı karşılaştırdı. Non-diabetik hasta grubu kalp hastalığı olm (n=60) ve olmayan (n=90) olarak, diabetik hasta grubu ile benzer cinsiyet ve hasta sayısı korunarak sınıflandırıldı. Elektrokardiyografi ile hipertansif kalp hastalığı (n=31), koroner arter hastalığı (KAH, n=14), kalp yetersizliği (n=5) tanları mevcuttur. Tüm hastaların istirahet EKG'si 50 mm/s hızda kaydedildi. EKG incelemesi tüm dalgaları içine alacak şekilde sistematik olarak yapıldı. EKG değişiklikleri sınırlı ritim, PR intervalleri, aritmiler, sol ventrikül hipertrofisi (SVH), patolojik Q dalgası, ST ve T dalgalarının iskeletik ve non-iskeletik değişiklikleri, QT dispersioni (QTd) ve QTc dispersioni (QTcd), sol dal bloku (LBBB) ve sağ dal bloku (RBBB) açısından değerlendirildi. Diabetik hastalar nondiabetik grup ile bu özelliklerin sıklığı ve değerleri açısından karşılaştırıldı. Bulgular: Diabetik hastaların yaş ortalaması 52,3±9,75 idi, cinsiyet farklı yoktu. (p>0,05) Kalp hastalığı olan ve olmayan non-diabetik gruplarının diabetik hastalar ile cinsiyet bakımından yaş ortalaması açısından farklı yoktu. (p>0,05, r=0,18) Diabetik grupta 40 hastanın EKG si ritim ve dalgalar açısından normal değerlendirildi. Bu hastaların 34'ünde QTd (36±16 msn) ve QTcd (40±12 msn) değerleri uzamış olarak bulundu. Yine EKG si normal olan bu diabetik hastaların tipik angina tarihinin 6'ının ve risk faktörleri fazla olması nedeni ile tipik angina olmasına da 9' un eforlu EKG sonucu pozitif olarak değerlendirildi. Diabetik grubun QTd ve QTcd değerleri nondiabetik grupların birlikte ve ayrı değerlendirilmesinde de anlamlı olarak uzamsız olarak tespit edildi. (nondiabetiklerin tarihi için p<0,01, kalp hastalığı olan nondiabetikler ile p<0,06, kalp hastalığı olmayan nondiabetikler için p<0,0001) EKG değişiklikleri ile ilişili değerlendirilme tablosu görülmektedir. (Kalp hastalığı olmayan nondiabetik ve diabetikler karşılaştırılmıştır) Kalp hastalığı olan diabetiklerin sadece 6'sında EKG normal bulunmuştur. Sonuç: Diabetik hastaların istirahet EKG si normal bile olsa iskeletik kalp hastalığı için dikkat edilmesi gerekti, en önemli EKG değişikliklerinin ise kardiyak mortaliteyi artırmış gelişimi rölyen olarak gösteren QT süresi değişiklikleri oluşturmaktadır.

Tablo 1. Elektrokardiyografı Bulgularının Gruplara Göre Dağılımları

	Diabetik (n=146)	Nondiabetik, kalp hastalığı olmayan (n=90)
Normal EKG	40	74
Sol ventrikül hipertrofisi	24	8
İskemik ST ve T dalgalı değişiklikleri	11	0
Patolojik Q dalgası	3	0
Sol dal bloku	4	1
Sağ dal bloku	8	5
Ventrikül erken atımı	2	2
Atrial fibrilasyon	5	0

Genel Kardiyoloji

P-261

HİPERGLİSEMINİN AKUT MİYOKARD İNFARKTÜSLÜ HASTALARDA SOL VENTRİKÜL FONKSİYONU, KOMPLİKASYONLAR VE ERKEN DÖNEM MORTALİTE ÜZERİNE ETKİSİ

Mehmet Küçükosmanoğlu, Cihan Örem, Hasan Kasap, İsmet Durmuş, Şahin Kaplan, Salih Turan, Mustafa Gökcé

Karadeniz Teknik Üniversitesi Tıp Fakültesi, Kardiyoloji Anabilim Dalı, Trabzon

Amaç: Çalışmamızda hiperglisemin ST segment elevasyonlu miyokard infarktüs (STEMI)'lı hastalarda sol ventrikül fonksiyonları, MI komplikasyonları ve kisa dönem mortalite üzerine etkisini araştırdık.

Yöntemler: STEMI'lı 102 hasta (17 kadın, yaş ortalamaları 58 ± 10 yıl) çalışmaya alındı. 15 hasta diabetik, 87 hasta nondiabetik. Hastalar başvuru esnasındaki glukoz seviyelerine göre ayrıldılar (Grup1: ≥ 180 mg/dl n=35, Grup 2: < 180 mg/dl n=67). Hastaların AMI'ının 6. gününden ekoardiyografik inceleme yapıldı. Mitral E, A akımı hızı, E/A oranı, E desesrelasyon zamanı (EDZ), izovolumetrik gevşeme ve kasılma zamanı (IVGZ, IVKZ), ejeksiyon zamanı (EZ) ölçüldü. Duvur hareket skor indeksi (DHSI) ve ejeksiyon fraksiyonu (EF) değerlendirildi. Global sol ventrikül fonksiyonlarını yansitan sol ventrikül myokardiyal performans indeksi, SVMPI= (IVKZ+IVGZ)/EZ formülü ile hesaplandı. Hastalar 30 gün takip edildiler. Bulgular: Gruplar arasında cinsiyet, obezite, hipertansiyon, geçirilmiş MI, trombolitik tedavi açısından fark yoktu. Grup 1'deki hastalar daha yaşlı idi (61 ± 8 'e 57 ± 11 , p=0.03). Preinfarktüs anjina oranı Grup 2'de daha yükseltti (%50,7, p=0.05). Gruplar arasında E ve EDZ açısından fark yoktu. Grup 1'de A dala yüksek, E/A dala düşük bulundu (sırasıyla, 0.78 ± 0.21 e 0.69 ± 0.18 , p=0.04 ve 0.88 ± 0.63 e 0.99 ± 0.50 , p=0.03). Gruplar arasında IVGZ açısından fark yoktu. Grup 1'de IVKZ'da daha yüksek (70 ± 32 'ye 39 ± 26 , p<0.0001), EZ'da düşük bulundu (246 ± 36 'ya 272 ± 28 p=0.0001). Grup 1'de DHSI daha yüksek (1.93 ± 0.48 e 1.51 ± 0.42 , p=0.0001), EF daha düşük bulundu (0.38 ± 0.13 'e 0.49 ± 0.11 p=0.0001). SVMPI Grup 1'de daha yüksek idi (0.64 ± 0.20 e 0.44 ± 0.14 , p=0.0001). Bu gruptaki Kiliç sınıfı 1 olan hastalar Grup 2'de, Kiliç sınıfı ≥2 olan hastalar ise Grup 1'de daha fazla idi (p=0.0001). AIF (%42.9'a %19.4, p=0.02) ve apikal trombü gelışimi (%37.1'e %9.0 p=0.001) Grup 1'de daha yükseltti. Hastane içi ve sonrasındaki takipteki KKY gelişimi (%54.3'e %10.4 p=0.0001) ve ölen hastaların oranı (%31.4'e %3.0, p=0.0001) Grup 1'de daha yükseltti. 30 günlük mortalitenin, yaş, diyetebes mellitus, anterior MI, preinfarktüs anjina ve > 180 mg/dl glukoz seviyeleri ile ilişkisi regresyon analizi ile değerlendirildiğinde, sadece yüksek glukoz seviyelerinin mortalite için bağımsız belirleyici olduğu bulundu (p=0.008, B=10.8, %95 CI 1.8-63.4). Sonuç: Hiperglisemin STEMI'lı hastalarda bozulmuş global sol ventrikül fonksiyonları ve MI komplikasyonları ile ilişkili ve kisa dönem mortaliteyi bağımsız bir belirleyicisi olduğu sonucuna varıldı.

P-262

KRONİK HEMODİYALİZ HASTALAINDA P DİSPERSİYONU İLE HEMODİYALİZ EFFEKTİVİTESİ ARASINDAKI İLİŞKİ

Namık Özmen, Ergün Demiralp, Bekir Sırkı Cebeci, Ejder Kardeşoğlu, Enes Murat Atasoylu, Eralp Ulusoy, Mustafa Aparci, Mehmet Dingürk

GATA Haydarpaşa Eğitim Hastanesi, İstanbul

Amaç: Kronik hemodiyaliz hastalarında, diyalizin etkinliği gösteren fazla parametre yoktur. Ayrıca kronik hemodiyaliz hastalarında atrial fibrilasyon sık rastlanan bir aritmidir. Ayrıca hemodiyaliz hastalarında p dalga dispersiyonun arttığını gösteren çalışmalar mevcuttur. Bu çalışmada amacımız; kronik hemodiyaliz hastalarında, p dalga dispersiyonun hemodiyaliz etkinliğini gösteren bir kriter olup/olmadığını göstermek. Metod: Çalışmaya kronik böbrek yetmezliği nedeniyle düzenli olarak hemodiyaliz giren 20 hasta alındı. Hastaların yaş ortalaması 61.7 ± 10.95 ve 14 erkek, 6 si kadındır. Hemodiyalizden sonra hemodinamik parametreleri bozulmayan ve kuru vücut ağırlığına ulaşan hastalar aldı. Hemodiyalizden hemen önce ve hemen sonra $25-50$ mm/sn standart 12 derivasyon elektrokardiografileri çekildi, bipedal bioelektrik impedans analiz cihazı (Tanita-450, Japonya) ile total vücut sıvıları ölçüldü. Ayrıca kan elektrolitleri için kan alındı. Serum elektrolitleri fizyolojik sınırlarda olmayanlar, diyaliz sonrası hemodinamik parametreleri bozulanlar ve anfamlı sıvı azaltması olmayanlar çalışmaya alınmadı. Diyaliz öncesi ve sonrası EKG'lerden her derivasyondan maximum P dalga süresi (Pmax) ve minimum P dalga süresi (P min) ve en uzun P max'dan, en kısa P min çıkarılarak P dalga dispersiyonu (P disp) hesaplandı. Bulgular Student-t testi ile karşılaştırıldı ve p<0.05 istenilenle kabul edildi.

Bulgular: Diyaliz öncesi Diyaliz sonrası p BMI(kg/m²) 22.5 ± 3.3 21.5±3.8 AD TVS(lt) 33.9 ± 6 32±5.6 0.001 Impedans(ohm) 499 ± 10 596±136 0.001 P max(msn) $103,1 \pm 8.9$ 106.3±12.7 AD P min(msn) 70.2 ± 11 72.5±7.9 AD P disp(msn) 32.2 ± 11.9 33.8 ±13.4 AD AD:Anlamlı değil TVS:Total vücut sıvısı, BMI:Bady mass indeks. BIA:Bipedal impedans Sonuç olarak; Diyaliz öncesi ve sonrası Pmax ve Pdispersiyonun anlamlı olarak değişmemesi effektif hemodiyaliz göstergesi olarak kullanılabilir. Basit ve noninvaziv bir testtir.

P-263

ATAN KALP VE KARDİYOPULMONER "BYPASS" İLE TAM ARTERİYEL KOMPLET REVASKÜLARİZASYON: 6 AYLIK ANJİYOGRAFİK SONUÇLAR

Kaan Kiralı, Güçlü Elevli, Suat Nail Omeroğlu, Mehmet Erdem Toker, Yücel Özén, Akın İzgi*, Cevat Kırma*, Mete Alp, Cevat Yakut

Koşuyolu Kalp Eğitim ve Araştırma Hastanesi, Kalp Damar Cerrahisi Kardiyoloji*, İstanbul

Amaç: Atan kalpte komplet revaskülarizasyon, yeni cihazların ve tekniklerin yardımı ile gittikçe daha popüler olan, güvenilir bir revaskülarizasyon metodudur. Bu çalışmanın amacı atan kalpte revaskülarizasyon sırasında kullanılan arteriyel greftlerin kardiyopulmoner bypass altında yapılan konvansiyonel bypass operasyonlarında kullanılan arteriyel greftler ile anjiyografi sonuçlarını karşılaştırmaktır.

Materiel ve Metod: Yaş ortalamaları 55.2 ± 9.2 olan ve 3 damar hastalığı bulunan toplam 40 hastaya, 20'si atan kalpte ve 20'si kardiyopulmoner bypass altında olmak üzere komplet arteriyel revaskülarizasyon operasyonu uygulanmıştır. Atan kalpte yapılan operasyonlarda 20 LIMA, 20 RIMA ve 20 radial arter kullanılmıştır. Kardiyopulmoner bypass kullanılarak yapılan operasyonlarda da 20 LIMA, 20 RIMA ve 20 radial arter kullanılırken 4 radial arter sequential greftleme tekniği kullanılarak anastomoze edilmiştir. Bulgular: Tüm hastaların ortalaması takip süresi 12.2 ± 4.1 aydır. Erken veya geç mortalite gözlemlenmemiştir. Tüm hastalara operasyondan ortalaması 6.7 ± 3.3 ay sonra kontrol koroner anjiyografi yapılmıştır. Her iki grupta da kullanılan tüm LIMA greftleri açık olarak bulunmuştur. Atan kalp grubunda RIMA açıklık oranı %85 ve radial arter açıklık oranı %85 olarak bulunmuştur. Kardiyopulmoner bypass grubunda RIMA açıklık oranı %90 ve radial arter açıklık oranı %85 olarak bulunmuştur. Her iki grup arasında kullanılan greftlerin açıklık oranları açısından istatistiksel bir fark bulunmamıştır.

Sonuç: Üç damar hastalarında, atan kalpte tam arteriyel revaskülarizasyon, kardiyopulmoner bypass altında yapılan operasyonlardaki kadar eteffektif olarak gerçekleştirilebilir.

P-264

HEMODİYALİZ TEDAVİSİ SIRASINDA QT DİSPERSİYONUNDAKI UZAMADA AĞIR METAL VE ELEKTROLİTLER DÜZEYLERİİNDEKİ DEĞİŞİKLİKLERİN ROLÜ

Hülya Taşkapan, Çağatay Taşkapan*, Feridun Koşar**, İbrahim Şahin***, Yüksel Aksoy**, Ergün Topal**, Nasır Sıvıri**

İnönü Üniversitesi Turgut Özal Tıp Merkezi Nefroloji Anabilim Dalı, Biyokimya Anabilim Dalı*, Kardiyoloji Anabilim Dalı**, Dahiliye Ana Bilim Dalı***, Malatya

Amaç: Bu çalışmada hemodiyaliz (HD) seanslarında diyaliz öncesi ve sonrası QT dispersiyonu ölçüp diyaliz öncesi ve sonrası dönemde elektrolitlerde ve ağır metallerde meydana gelen değişiklik ile ilişkisi değerlendirilmesi amaçlandı.

Yöntem: Kalp yetmezliği, iskemik kalp hastalığı ve diyaliz tedavisinde hipotansiyon gelişmeye 30 kronik böbrek yetmezliği olan hasta (16 kadın, 14 erkek, ortalaması yaş 44.8 ± 11 yıl) çalışmaya aldı. QT intervalı 12 kanallı EKG'de ölçülmüş maksimum QT, minimum QT, maksimum düzeltilemiş QT ve minimum düzeltilemiş QT ve QT dispersiyonu hesaplandı. EKG çekimi ile eş zamanlı olarak hastaların serum potasyum, kalsiyum, sodyum, klor, BUN, kreatinin, selenyum, bakır, çinko düzeyleri ölçüldü. Bugular: QT dispersiyonu, maksimum QT ve minimum sırasıyla 62.4 ± 18.2 'den 90.9 ± 14.3 'e ms (p=0.000), 400.7 ± 38.1 'den 426 ± 44.5 'e ms (p=0.008) ve 349.2 ± 37.9 'den 349.7 ± 35.8 'e ms (p=0.011) uzadı. HD giriş ve çıkış serum K+, 5.3 ± 5.8 , 3.0 ± 0.6 mEq/L (p<0.05), BUN 67.4 ± 23.1 'den 24.9 ± 11 'e mg/L ve cr düzeyleri 6.1 ± 2.4 'den 2.6 ± 1.3 'e mg/L azaldı, serum kalsiyum 1s.6 ± 1.05'dan 10.3 ± 1.3 'e mEq/L yükseldi (p>0.05). HD giriş ve çıkış Se, Cu, Zn düzeyleri sırası ile 153.1 ± 8.1 $\mu\text{g}/\text{l}$, 156.5 ± 9.9 $\mu\text{g}/\text{l}$, ($p<0.05$), 978.4 ± 23.6 $\mu\text{g}/\text{l}$, 910.0 ± 18.9 $\mu\text{g}/\text{l}$, ($p>0.05$), 597.6 ± 0.7 $\mu\text{g}/\text{l}$, 502.4 ± 12 $\mu\text{g}/\text{l}$ (p>0.05). K+ düzeylerindeki azalma ile QT dispersiyonundaki değişiklik arasında bir istatistiksel olarak anlamlı bir ilişki bulundu (p<0.05). Se, Cu, Zn, Ca+2, BUN, cr düzeylerindeki değişikliklerle QT dispersiyonundaki uzama arasında bir ilişki bulunamadı. Sonuç olarak, QT dispersiyonu hemodiyaliz hastalarında normal populasyondan daha uzundu ve hemodiyaliz tedavisi sırasında uzama daha belirgindi. QT dispersiyonu uzaması ve serum K+ düzeyindeki değişimlerin azalması QT dispersiyonu artması ile ilişkilidir. Sonuç: Potasyum düzeyinin azalması QT dispersiyonu artması ile ilişkilidir bu birlikte kronik böbrek yetmezlikli hastalarda ventriküler aritmî açısından risk faktörü olabilir.

RİKÜLER SEPTAL DEFECT İLE BİRLİKTE SWYER-JAMES (MACLEOD'S) SENDROMU

cu Demirkan, Yeşim Güray, Halil Kısacık, Şule Korkmaz

Türkiye Yüksek İhtisas Hastanesi, Kardiyoloji Kliniği, Ankara

Swyer-James (MacLeod's) sendromu; direkt posteroanterior (PA) akeiğer grafisinde akiçelerin bir ya da birkaç lobunun veya tamanının hiperlisenst görünümü, aynı tarafta hiler gölge azlığı, güçlükle görülebilen arter içi ile karakterize radyolojik bir fenomendir. Etyolojisi kesin bilinmemekle birlikte infant dönemde veya çocuklu çağında sıklıkla viral enfeksiyonu ait bir sekil ve postenfeksiyöz bronşiolitis obliteransın bir varyantı olabileceğini düşünlmektedir. Sendromdaki patolojik değişiklikler; kükük bronşioflerin obliterasyonu, periferik vasküler yetişkin yokluğu, pulmoner arter hipoplazisi ve amfizem varlığı şeklinde dir. Toraks bülgesiyle yanıtlanan yokuşlu, pulmoner arter hipoplazisi ve amfizem dalgalarına ile pulmoner arter kükük olarak izlenir. Ekspiratör görünümlerinde etkilenen alanlarda hava tutulumu görürlür. Etkilenmiş akiçegerde şart olmamakla birlikte sıkılıkla bronşiklü mevcuttur. Klinikimize eforla yorguluk şikayetleri ile başvurulan 19 yaşındaki kadın hastanın fizik muayenesinde solda inspiratuar raller mevcuttu, kalp okşultasyonunda ikinci kalp sesi sert olmakla birlikte üfürmeler saptanmadı. Hastanın direkt PA akeiğer grafisinde solda hiperlisenst görünüm, sol hiler gölge azlığı (Resim 1) ve toraks bülgesiyle röntgenografisinde sol aya pulmoner arter ve dalları ince olarak izlenir. Solda amfizem mevcuttu. Hastaya ait alfa 1 antitripsin düzeyi normal sınırlarındadır. Transtorasik ve doppler ekokardiografisinde sol pulmoner arter hipoplastik görünümünde, peritembranöz ve daha geniş olarak müsküler bölgelerde geniş ventriküler septal defekt tespit edildi. Hastaya kardiyak kateterizasyon ve pulmoner anjiyografi uygulandı. Altman basinc kayalarının incelenmesinde sistolik pulmoner arter basincı ve eş zamanda sol ventrikül sistol basincı 115 mmHg olacak ölçüldü. Oksumetrik çalışmada sağ ventrikülde belirgin okşen 'step-up' tespit edildi. Sol anterior oblik projeksiyonunda yapılan sol ventrikül anjiyografisinde sağ ventrikül sol ventrikül ile eş zamanda dolduğu izlenir. Pulmoner anjiyografide sol pulmoner arter hipoplastik olarak izlenir (Resim 2). Literatürde ventriküler septal defekt ile birlikte Swyer-James (MacLeod's) sendromu ilk kez bildirilmektedir. Bu olgu sunumunda olgunun görüntüleme yöntemlerine ait bufugular ve birlikte nadir olan bu sendrom tartışılmaktadır.

Direkt PA grafide solda hiperlisenst görünüm

Pulmoner anjiyografide hipoplastik sol pulmoner arter okla gösterilmişdir



P-267

ANTERIOR AKUT MİYOKARD İNFARKTÜSLÜ HASTALARDA TRİMETAZİDİNİN QT DİSPERSİYONU ÜZERİNDEKİ ETKİSİ

Önder Öztürk, Ünal Öztürk*, Nizamettin Toprak

Dicle Üniversitesi Tip Fakültesi, Kardiyoloji Anabilim Dalı, Halk Sağlığı Anabilim Dalı*, Diyarbakır

Giriş ve Amaç: Daha önce yapılan çalışmalarında, akut miyokard infarktüslü hastalarda QT dispersiyonu artışı saptanmıştır. Trimetazidinin miyokard oksijen sunumu ve tüketimini etkilemekszin, antiiskemik etki antiarrhythmicileri gibi sürdürmüştür. Yapılmış olduğumuz bu çalışmaın amacı, anterior akut miyokard infarktüslü hastalarda genelense de tıbbi ek olakar trimetazidin verilmesinin QT dispersiyonu üzerindeki etkileri araştırılmıştır.

Materyal ve Metod: İlk kez anterior akut miyokard infarktüslü geçiren toplam 130 hasta çalışmaya alındı. Hastalar iki gruba randomize edildi: Trimetazidin grubu (n=60) ve kontrol grubu (n=70). Tüm hastalar geleneksel tedaviyi aldı. Ek olarak, randomize şekilde belirlenen trimetazidin grubu hastalar, 20 mg trimetazidin 8 saat arayla, hastaneye yatışlarının birinci gününden başlanarak verildi. Gelişte ve hastaneye yatışlarının beşinci gününden 12 derivasyonlu EKG çekildi. QT dispersiyonu, 12 derivasyonlu EKG'de 7 derivasyondan fazla derivasyonda QT ölçülebilinen hastalar incelenmeye alındı. QT dispersiyonu, maksimum QT'den minimum QT'nin ekspresiyonuyla elde edildi.

Bulgular: Hastaların klinik özellikleri bakımından gruplar arasında anlamlı fark yoktu. Trimetazidin grubunda, beşinci gün QT, QTc, QTcde değerleri birinci günkü değerlere göre anlamlı düzeye düşük bulundu (Tablo 1, p<0.05). bununla beraber, kontrol grubunda beşinci gün QT ölçümü ile birinci gün QT ölçümü arasındaki anlamlı fark bulunmadı (Tablo 1, p>0.05).

Sonuç: Yapılmış olduğumuz bu çalışmanın sonucunda trimetazidinin anterior akut miyokard infarktüslü hastalarda QT dispersiyonunu azalttığı sonucuna varıldı.

Tablo 1. Trimetazidin ve kontrol grubunda elektrokardiografik bulgular

Trimetazidin grubu (n=60)	1. gün	5. gün	p değeri
QT (ms)	400.3±47.4	356.9±46.2	<0.05
QTc (ms)	562.5±121.0	498.7±99.3	<0.05
QTd (ms)	83.7±46.0	61.5±33.9	<0.05
QTcd (ms)	117.6±60.0	101.0±48.3	<0.05
Kontrol grubu (n=70)	1. gün	5. gün	p değeri
QT (ms)	409.5±42.1	412.5±42.0	AD
QTc (ms)	546.8±84.6	546.9±77.6	AD
QTd (ms)	74.2±31.7	79.4±22.8	AD
QTcd (ms)	100.1±44.7	107.3±37.3	AD

QT = QT aralığı, QTc = Düzeltmiş QT aralığı, QTd = QT dispersiyonu,

QTcd = Düzeltmiş QT dispersiyonu, AD = Anlamlı Değil

P-266

2:1 BLOKLU ATRİYAL TAŞIKARDİ VE GÖĞÜS AĞRISI İLE BAŞVURAN HİPERTROFİK KARDİYOMİYOPATİ VE ATAKSİLİ HASTA; OLGU SUNUMU

Tulmaç, Turfan, Erden, Erdoğan, Türkoğlu, Pirkevi**, Başak**, Çengel

Gazi Üniversitesi Tıp Fakültesi, Kardiyoloji Anabilim Dalı, Nöroloji Anabilim Dalı*, Ankara

Boğaziçi Üniversitesi, Moleküler Biyoloji ve Genetik Bölümü, İstanbul**

Amaç: Troponin T pozitifliği ve 2:1 bloklu atriyal taşikardi ile başvuran hipertrofik kardiyomiyopatının eşlik ettiği spinoserebellar dejenerasyonu vakadan sunulmuştur.

Vaka Sunumu: 47 yaşında paraplegik hasta çarpıntı ve göğüs ağrısı yakınlaması ile klinikimize başvurdu. Çekilen elektrokardiogramda ST değişikliği olmaksızın 2:1 iletili atriyal taşikardi tespit edildi. TnT pozitif idi. Fizik muayene ve Kranial MRG ile hastada spinoserebellar dejenerasyon varlığı tespit edildi. Yapılan ekokardiografide asimetrik septal hipertrofi ve mitral kapak sistolde öne doğru hareket izlendi. Sol ventrikül çıkış yolunda anlamlı derecede gradiyenin eşlik etmediği tespit edildi. Ebeveynleri Hipertrofik KMP ya da spinoserebellar dejenerasyon için değerlendirildi ve her iki rahatsızlık da tespit edilmemişti. Aile hikayesi müsbet değildi. Atrial taşikardisi takibinde düzelmeyen hastanın ventrikül hızı yüksek dozda verapamil ve propranolol verilecek kontrol altına alındı. Hastanın TnT pozitifliği taşikardi varlığında iskemiye neden olabileceğii için hipertrofik KMP'ye bağlıdır. Bu nedenle koroner anjiyografi yapılmıştır. Hastaya, annesi ve babasına Friedrich atakası için genetik değerlendirme yapıldı. Hastanın Friedrich atakası için homozigot alleleri taşıdığı, anne ve babasının heterozigot olduğu tespit edildi. Hipertrofik kardiyomiyopatının eşlik ettiği birçok ailesel spinoserebellar dejenerasyon tipi mevcuttur. Aile hikayesine bakılmaksızın spinoserebellar dejenerasyonlu hastalar hipertrofik kardiyomiyopati açısından araştırılmıştır.

P-268

EMBRYONİK DOKULARDA NI EKSPRESİYONU VE KALP GELİŞİMİNDE ETKİSİ

Mehveş Poda

İstanbul Üniversitesi, Deneysel Tıp Araştırma Enstitüsü, İstanbul

Amaç: Kalp gelişimindeki yapısal ve işlevsel kusurlar klinikte sık rastlanan önemli sorumlardan biridir. Kardiyogenezi kontrol eden mekanizmaların anlaşılmasıyla sağlıklı kalp dokularının in vitro oluşturulması ve tedavilerde kullanımı söz konusu olabilir. Kalp, vertebral vücutlarındaki karmaşık organlardan ve gelişimi, tümü henüz aydınlatılmamış karmaşık moleküller olaylar zincirinden meydana gelir. Çeşitli çalışmalar, endoderml, nöral krest ve bu alanlarda ekspresiye olan pek çok faktörün, kalbin yapısal ve işlevsel gelişmesine katkıda bulunduğunu göstermiştir. Bunlardan birinin de NI proteini olduğu öne düşülmektedir. İşlevsel formda iken kalp gelişimi olduğu, aksa durumda ise bu gelişmenin tamamlanmadığı, gözlenen NI proteini ve geninin moleküller etki mekanizmaları henüz aydınlatılmış değildir. Bu genin ilk kez tanımlanıldığı paternini saptamayı ve böylece, katkıda bulunan moleküller mekanizmalar hakkında ipucu elde etmeyi amaçladık. Yöntem: Endoderml kaynaklı cDNA kütüphanesinden elde edilen NI genine ait klondan in vitro transkripsiyon ile cRNA probu oluşturuldu. Elde edilen işaretli prob, Ambystoma mexicanum'un doku kesitlerine hibridize edildi ve oluşan sinyallar işık mikroskopunda incelendi ve görüntülendi. Bulgular: Evre 14'deki embriyolarla NI geninin neredeysse hiç ekspresi olmadığı görüldü. Embriyoda kalp atısının başlığı gelişim aşamalarında ise, NI ekspresyonunun nöral tüp ve endodermin simetrik olarak her iki yanında ve kalpte güçlü biçimde olduğu görüldü. Aynı dönemde ait kalp kusuru taşıyan embriyolarla ise bu tarz bir ekspresyon dağılımına rastlanmadı. Genin ekspresyonuna ait dokusal dağılım incelerek literatürdeki bilinen genler ile karşılaştırılmıştır.

Sonuç: Bu çalışmada zor bir moleküler teknik olan 'in situ hibridizasyon' başarı ile uygulanmıştır. Daha önce 'immünofloresan' yöntem ile gösterilmiş olan dokusal dağılım paterni mRNA seviyesinde de gösterilmiştir.

POSTMENAPOZAL KADINDA ORAL HORMON TEDAVISİNE FOLİK ASIT EKLENMESİNİN SERUM HOMOSİSTEİN SEVİYESİ ÜZERİNDEKİ ETKİSİ

Ahmet Toprak, Mithat Erenus*, Adil Hakan İlhan*, Goncagül Haklar**, Ali Serdar Fak, Ahmet Oktay

Marmara Üniversitesi Tıp Fakültesi, Kardiyoloji Anabilim Dalı, Kadın Hastalıkları ve Doğum Anabilim Dalı*, Biyokimya Anabilim Dalı**, İstanbul

Amaç: Postmenapoza oral hormon tedavisinin (HT), oral folik asit ile kombin edilmesinin, serum homosistein (Hs) seviyesi üzerindeki etkisi randomize ve placebo kontrollü bir çalışma dizayn ile araştırılmıştır.

Yöntemler: Kırk sağlıklı, hysterektomiye olmamış postmenapoza kadınları iki gruba randomize edilmişdir. Birinci grupta hastalar sürekli kombin oral HT (0.625 mg konjugat eftrojen/gün ve 2.5 mg medroksiprogesteron/gün) ile oral folik asit (5 mg/gün; n= 20), ikinci grupta sürekli kombin oral HT ile placebo almışlardır. 15 yaşlıklı postmenapoza kadınların oluşan biri kontrol grubu da ayrıca 3 aylık çalışma süresince izlenmiştir. Ailek total serum Hs seviyesi floresans polarizasyon immunoassay yöntemi kullanılmıştır. <0.5 µmol/L duyarlılık ile ölçülmüştür. Ayrıca, serum folat, estrogén ve lipid profil çalışma süresince izlenmiştir.

Bulgular: Çalışmaya katılan postmenapoza kadınların ortalaması yaşı 52 ± 6 yıldır. Oral HT'ne oral folik asit eklenmesi ile ağızda serum Hs seviyesi 9.96 ± 2.82 µmol/L'den 8.92 ± 1.53 µmol/L'ye anamli olarak düşmüştür (p: 0.023, Tablo). Ancak oral HT ile placebo alan ikinci grupta serum Hs seviyesi 3 ay sonunda anamli olarak değişmemiştir (9.64 ± 1.89 µmol/L'den 10.22 ± 1.77 µmol/L'ye, p: 0.05). Aynı şekilde tedavi almamayı kontrol grubunda serum Hs seviyesi değişmemiştir (9.01 ± 1.83 µmol/L'den 9.58 ± 2.05 µmol/L'ye, p: anamli değil). 3 aylık çalışma süresince ilaç alımı veya alamamış olsak serum LDL-Kolesterol ve serum HDL-Kolesterol seviyeleri değiştirmemiştir.

Sonuç: Postmenapoza dönemde artmış olan Hs seviyesini azaltmak HT'ne oral folik asit desteği ile mümkün olabilir. 3 aylık sürekli kombin oral HT ailek total serum Hs seviyesini değiştirmemiştir.

Tablo: 3 Aylık çalışma sonunda serum Hs seviyesi ve diğer laboratuvar bulgularındaki değişiklikler

Ortalama	HT+FA n:20	HT+Placebo n:20	Kontrol n:15	p
Bazal Hs, µmol/L	9.96 ± 2.82	9.64 ± 1.89	9.01 ± 1.83	AD
Son Hs, µmol/L	8.92 ± 2.53	10.22 ± 1.77	9.58 ± 2.05	AD
p	0.023	0.05	AD	
Bazal Folat, ng/mL	9.54 ± 4.2	11.5 ± 4.0	11.2 ± 5.1	AD
Son Folat, ng/mL	17.8 ± 3.5	12.5 ± 4.7	10.9 ± 4.7	<0.001
p	<0.001	AD	AD	
Bazal LDL-KOL, mg/dL	141.5 ± 34.5	137.7 ± 26.1	142.2 ± 34.3	AD
Son LDL-KOL, mg/dL	138.8 ± 34.0	124.0 ± 29.9	126.9 ± 34.4	AD
p	AD	AD	AD	
Bazal HDL-KOL, mg/dL	50.4 ± 12.0	50.7 ± 9.6	61.1 ± 15.6	0.036
Son HDL-KOL, mg/dL	52.8 ± 9.8	52.2 ± 11.1	56.9 ± 16.8	AD
p	AD	AD	0.05	

HT:Hormon tedavisi, Hs: Homosistein, AD:Anamli değil

ANTERİYOR MİYOKARD İNFARKTÜSÜ GEÇİREN VE KORONER ARTER "BYPASS" GREFT CERRAHİSİ UYGULANACAK HASTALARDA B-TİPİ NATRİÜRETİK PEPTİD OLÇÜMÜ REVASKÜLARİZASYON SONRASI SOL VENTRIKÜL FONKSIYONLARINDAKİ DÜZELMEYİ ÖNGÖRDÜRMESİKTİR

Alp Bıçak Çatakoglu, Saitte Aytekin*, Vedat Aytekin*, Zeki Ozyedek, Reyyhan Kahraman, Aydin Aydintı, I.C.Cemşid Demiroğlu*

Florence Nightingale Hastanesi İstanbul
Kadir Has Üniversitesi Tıp Fakültesi, Florence Nightingale Hastanesi
Kardiyoloji Anabilim Dalı, İstanbul*

Giriş: Sol ventrikül sistolik fonksiyon bozukluğu (SVSFB) olan hastalarda revaskülarizasyon ile sol ventrikül fonksiyonlarında düzeltme olabilecegi pek çok çalışmada gösterilmiştir. SVSFB'nu tespit etmek için pek çok yöntem vardır. B-tipi natriüretik peptid (BNP) ve amino terminal pro BNP (NT-pro BNP), bu amaçla kullanılabilecek, güvenilir ve ekonomik bir yöntem olarak belirtilemektedir. Çalışmamızın amacı; revaskülarizasyon öncesi ölçülen NT-pro BNP seviyesinin, revaskülarizasyon sonrası sol ventrikül fonksiyonlarındaki (SVF) değişim ile ilişkisini ve bu değişimini öngördürmektedeki gücünü tespit etmektedir.

Gereç ve Yöntem: Mart 2003 ile Haziran 2003 tarihleri arasında, anteriyor miyokard infarktüsü (MI) geçirmiş ve koroner arter bypass greft cerrahisi (KABG) planlanmış,ortalama olarak 114.7 ± 19.1 gün takip edilen, yaş ortalaması 55.3 ± 9.1 yıl olan, 18'i erkek (%78.3) ve 5'i kadın (%21.7), sıralı 23 hasta çalışmaya dahil edildi. Çalışmadan dışlanma kriterleri:ileri dercede kapak hastalıkları, perioperatif MI ve altı aydan kısa bir süre içerisinde revaskülarizasyon işlemi uygulanmış olması idi. MI'den sonraki 2 hafta ile 3 ay arasında hastalardan periferik kan örnekleri arındı, NT-pro BNP seviyeleri ölçüldü ve ekokardiografi ile SVF'ni değerlendirildi. Tüm hastalar KABG operasyonu ile revaskülarize edildi. Revaskülarizasyondan üç ay sonra NT-pro BNP ölçümü ve ekokardiografi değerlendirme tekrarlandı. Revaskülarizasyon öncesi NT-pro BNP seviyeleri $300 \text{ fmol/ml}'nun$ üzerinde (Grup 1) ve altında olan hastalar (Grup 2) duvar hareket skor indeksindeki (DHSl) düzeline yönünden karşılaştırıldı. Bulgular: Tüm hastalar birlikte değerlendirme ile: revaskülarizasyon öncesi 1.66 ± 0.31 olan DHSl, revaskülarizasyon sonrasında 1.55 ± 0.22 'ye düşme eğilimi gösterdi fakat bu alamli anamli düzeyde değildi ($p=0.071$). Grup 1'deki hastalarda, DHSl revaskülarizasyon öncesi 1.84 ± 0.37 'den, revaskülarizasyon sonrası 1.57 ± 0.25 'e düşüğü gözleendi ve bu düzelmeye anamli bulundu ($p=0.03$). Grup 2'deki hastalarda anamli bir düzelmeye gelmedi. Lineer regresyon ve stepwise lojistik regresyon modellerinde NT-pro BNP'in, SVF'daki düzeline için tek bağımsız öngördürücü parametre olduğunu tespit etti.

Sonuç: Çalışmamızın elde ettigimiz verilere dayanarak, anteriyor MI sonrası KABG ile revaskülarize edilen hastalarda, revaskülarizasyondan önce ölçülen NT-pro BNP seviyeleri yüksek bulunan hastalarda SVF'larında iyileşme tespit edilmiştir. NT-pro BNP seviyesi ölçümünün, MI geçirgen ve revaskülarizasyon kararı verecek hastalarda, öngördürücü bir test olarak kullanılabileceği düşündürsiniz.

KRONİK HEMODİYALİZ HASTALARINDA DİYALİZ ÖNCESİ SONRASI TRIKUŞPİT KAPAK ANULUS DOKU DOPPLER PARAMETRELERİ VE HEMODİYALİZ ETKİNLİĞİ

Namık Özmen, Ergün Demiralp, Ejder Kardeşoğlu, Bekir Sıtkı Çepci, Enes Murat Atasoyu, Ata Kirılmaz, Eralp Uluşoy, Mehmet Dinctürk

GATA Haydarpaşa Eğitim Hastanesi, İstanbul

Amaç: Kronik hemodiyaliz hastalarında diyaliz öncesi volüm yükü vardır ve bu durum özelliği sağ kalp boşluklarını etkiler. Bu durumun trikusit kapak doku doppler parametrelerine etkisi ve etkili diyaliz kriteri olarak kullanılan/kullanılmamayaceği bilinmemektedir.

Metod: Çalışmaya kronik böbrek yetmezliği nedeniyle düzenli olarak hemodiyalize giren 14'ü erkek, 6'sı kadın 20 hasta aldı. Hastaların yaş ortalaması 61.7 ± 10.95 idi. Diyalizden hemen önce ve hemen sonra ekokardiografikleri yapıldı, kuru vücut ağırlığı tespiti için bipedal bioteknik impedans analizi (Tanita-450, Japan) ile total vücut suyu (TVS) ölçülü ve kan elektrotitleri için kan alındı. Diyaliz sonrası hemodinamik parametreleri bozulmayanlar, ideal kuru vücut ağırlığına ulaşanlar ve serum elektrotitler fizyolojik sınırlarda kalanlar çalışmaya alındı. Diyaliz öncesi (DÖ) ve diyaliz sonrası (DS), TVS'ları arasında anamli fark olmayanlar etkili hemodiyaliz kabul edilemeyecek çalışma dışı bırakıldı. DÖ ve DS trikuspit kapak medial ve lateral anulus doku doppler parametreleri aldı. Ve veriler Student t testi ile karşılaştırıldı, $p<0.05$ denkten kütük ise istatistiksel olarak anamli kabul edildi.

Bulgular: Diyaliz sonrası trikuspit kapak lateral anulus doku doppler parametrelerinden sistolik S Vmax, diastolik E' Vmax ve diastolik A' Vmax değerlerinde belirgin azalma gözleendi. Sırasıyla Sistolik S Diastolik E' Diastolik A' 12.57 ± 3.9 , 8.94 ± 3.0 , 16.73 ± 5.9 , 9.2 ± 2.4 , 5.61 ± 3.3 , 12.65 ± 3.8 p:0.01 p: 0.03 p:0.03

Sonuç: Trikuspit kapak lateral anulus doku doppler parametrelerinden sistolik S, diastolik A' ve diastolik E' dalgaları maximum hızlarında (Vmax) diyaliz sonrası azalma, effektif hemodiyaliz göstergesi olarak klinik takipterde kullanılabilir. Ancak daha fazla hasta içeren çalışmalarla ihtiyaç vardır.

"REGIONAL SERVICAL" BLOK (RSB) ALTINDA KAROT ENDARTEREKTOMİ(KEA) OPERASYONLARINDA KARDİYAK PROBLEMLER VE YAKLAŞIM

Ibrahim Erdinç

SSK İzmir Eğitim Hastanesi, İzmir

Giriş: Karot operasyon geçicek hastaların birçoğunda beraberinde kardiyak sorunları da bulunmaktadır. Bu çalışmada, genel anestezideki RSB altında oper做的 karot stenozlu hastalarda karşılaşılan kardiyak problemler ve tedavilerini göstermek amaçlanmıştır.

Materyal ve Metod: Ekim 2001-Haziran 2004 arasında toplam 32 hastaya RSB altında 35 adet CEA uygulanmıştır.(24 erkek, 8 kadın) Hastaların 14'ünde (%40.00) CABG gerektiren, 13'ünde (%37.14) PTCA/sten geçirmiş Koroner arter hastlığı, 2 hastada (%5.71) Mitral valv replasmanı gerektirecek kapak lezyonu, 4 hastada (%11.42) pür karot stenozu olduğunu gözledi. 14 hastada (%40.00) diabet gözlemdi. Hastalarla preoperative kardiyolojik tetkik olarak koroner angiografi yada myokardiyal sintigrafı uygulandı. Karot lezyonları için MR anjioografi/DSA uygulandı. Cerrahi endikasyonu semptomatik yada asemptomatik hastalara yükselen dereceli hemodinamik stenozda koyulmuştur (>70%). RSB olan hastalara rutin olarak sistemik heparinasyon, EKG, invaziv arteriyel monitorizasyon uygulanmıştır. Hastaların biling ve şuur durumu operasyon sırasında anaestezist tarafından sorulan birtakım sorularla kontrol edilmiştir. Preoperatif dönemde hastalarla kardiyolojik problemlerle uygun medikal ve invaziv kardiyak tedavileri uygulanmıştır. Operasyonda 20 hastada (%57.14) hipertansiyon gelişmiştir ve perlinganit infüzyonu ile kontrol edilmiştir. 12 hastada (%40.00) (12 KAH, 1 pür karot stenozu, 1 Mitral stenoz) bradikardia hıçkırık ve ST değişikliği ve MI görülmemiştir.

Sonuç: RSB altında CEA sırasında gelişebilecek kardiyolojik problemler kolayca tedavi edilebilmektedir. RSB ta genel anestezik maddelerin kardiyak yan etkilerinden kaçınıldığı için kardiyolojik problemleri olan hastalarda güvenle kullanılabilir.

T PULMONER EMBOLİ SIRASINDA ATRİOVENTRİKÜLER BLOK VE SENKOP

Mur Ayan, Fehmi Kaçmaz, Özcan Özdemir, Gökhan Cihan,
Ramazan Atak, Hatice Sağmaz

Türkiye Yüksek İhtisas Hastanesi, Kardiyoloji Kliniği, Ankara

Giriş: Akut pulmoner emboli (PE) çeşitli Elektrokardiyografik (EKG) değişikliklere neden olabilen ciddi bir hastaluktur. Massif PE esnasında vasoagal refleks bağlı olarak sinus bradikardisi ve Atrioventriküler (AV) blok görülebilir. Bu yazida daha önceden herhangi bir EKG anomalisiği bulunmamış massif PE esnasında AV tam blok ve senkop gelişen 63 yaşında bir kadın hasta sunulmuştur. Vaka: Tekrarlayan senkop atakları ile acil servisimize başvuran 63 yaşındaki bayan hastanın yaklaşık 3 gündür ani başlayan nefes darlığı şikayeti mevcuttu. Acil serviste çekilen EKG’de AV tam blok gözlenmesi üzerine geçici pacemakar takılarak yoğun bakım servisine yatırıldı. Sıkıntılı, soluk ve biliç bulanıklığı olan hastanın ilk başvuru sırasında kan basıncı 70/50 mmHg, kalp hızı 34/dakika ve solunum sayısı 27/dakika idi. Kardiyak muayenesinde; sternumun sol alt kenarında 1-2/6 sistolik tıffürüm, ikinci kalp sesi olarak çift ve pulmoner komponenti belirgin olarak duyuluyordu. Laboratuvar incelenmesinde; D-dimer=2.300, arteriyal kan gazında; pH=7.56, Pco₂=23 ve Po₂=45 bulundu. Ekokardiyografik incelemede; sağ boğuların genişlemiş olduğu ve septumun paradoskal hareket ettiği gözlandı. Sistolik pulmoner arter basıncı 45 mmHg olarak ölçüldü. Hikaye, fizik muayene ve laboratuvar bulgular ile pulmoner emboli düşünülen hasta pulmoner anjiyografi yapıldı. Pulmoner anjiyografide; sağ pulmoner arter proksimalde tama yakın tikali (figür) olduğu görüldü. Kotoner anjiyografisi normal bulundu. Massif pulmoner emboli tanısı konulan hasta; kabulünün ikinci saatinde 250 000 unite 30 dakikada sonra saatte 100 000 unite gidecek şekilde 48 saat streptokinaz infüzyonu başlandı. Streptokinaz infüzyon sonrası; 10000 unite bolus takiben saatte 1500 unite gidecek şekilde 7 gün heparin infüzyonuna başlandı.

Streptokinaz infüzyonun 6. saatinde ritmin normal sınırlere döndüğü görüldü. Izleminde arteriel kan gazında düzelleme oldu (pH=7.39, Pco₂=34 ve Po₂=95). Genel durumu düzelen hasta oral (warfarin) antikoagulan tedavi verilecek 15. gündə tabure edildi. Pulmoner emboli sırasında bradikardi ve AV blok nadir olarak görülmüşsinde rağmen hastalardaki senkop vb mevcut semptomlarından sorumludurlar. En önemli mekanizma ise PE sırasında vazovagal refleksin tetiklenmesi sonucu olusur. Sonuç olarak artmış olan bu vagal tonus, sinüs nodu ve atrioventriküler nod üzerinde intrinsik kardiyak ileti sistemini etkileyerek senkopa sonuclanan sinus bradikardisi ve AV bloğu neden olabilir. Bu nedenle Senkop veya presenkop ile başvuran hastaların ayrıca tanıda massif PE de düşünülmelidir.



Figür. Aortik interruption'ının anjiyografik görünümü